

**KOCAELİ ÜNİVERSİTESİ - FEN BİLİMLERİ ENSTİTÜSÜ**

133094

**UZUN AÇIKLIKLI ÇATILAR İÇİN BÜKÜMLÜ BORU MAKAS  
KONSTRÜKSİYONU DİZAYN VE UYGULAMASI**

**YÜKSEK LİSANS TEZİ**

**Makina Müh. Murat TEMEL**

**Anabilim Dalı : Makina Mühendisliği**

**Danışman : Prof. İbrahim UZMAN**

133094

**T.C. YÜKSEKÖĞRETİM KURULU  
DOKÜMANTASYON MERKEZİ**

**OCAK 2000**

KOCAELİ ÜNİVERSİTESİ \* FEN BİLİMLERİ ENSTİTÜSÜ

UZUN AÇIKLIKLI ÇATILAR İÇİN BÜKÜMLÜ BORU MAKAS  
KONSTRÜKSİYONU DİZAYN VE UYGULAMASI

YÜKSEK LİSANS TEZİ

Makine Müh. Murat TEMEL

Tezin Enstitüye Teslim Tarihi : 18.01.2000

Tezin Savunulduğu Tarihi : 28.03.2000

Tez Danışmanı  
Prof. İbrahim UZMAN

(.....)

Üye  
Prof.Dr. Mustafa ALIŞVERİŞÇİ

(.....)

Üye  
Prof.Dr. Erdiñ KALUÇ

(.....)

MART 2000

## **UZUN AÇIKLIKLI ÇATILAR İÇİN BÜKÜMLÜ BORU MAKAS KONSTRÜKSİYONU DİZAYN VE UYGULAMASI**

**Murat TEMEL**

**Anahtar Kelimeler : Çelik Konstrüksiyon, Boru Makas, Çelik Çatılar, Kaynak,  
Uzun Açıklık**

**Özet :** Bu çalışmada, uzun açıklıkların geçilmesini gerektiren yapıların çatılarına, hem güzel bir mimari hem de dayanıklı bir çözümün uygulanması incelenmiştir. Burada en önemli nokta çok zor olan kaynaklı boru birleşimlerin uygulanması sırasında oluşan iç gerilmeler ve kaynak çatlama problemlerinin ortadan kaldırılmasıdır. Uygulanan kaynak ağız şekli, kaynak sıralaması ve %100 kontrol yapılması imalat aşamasında doğabilecek tüm riskleri ortadan kaldırmaktadır. Bu kadar büyük çelik parçaların şantiye ortamında birleştirilip çatı sisteminin kurulması için yapılan çalışmalar da detaylı olarak incelenmiştir.

# **DESIGN AND APPLICATION OF THE CURVED PIPE TRUSSES FOR HIGH SPAN ROOFS**

**Murat TEMEL**

**Keywords : Steel Construction, Pipe Truss, Steel Roof, Welding, High Span**

**Abstract :** In this project roofing of high span steel structures with pipe trusses is studied. Very high span is sometimes needed for architectural buildings. And also for long durability steel structures are advantageous. In the production of pipe trusses the major problems come from residual stresses and consequent cracks. To reduce those problems in production and erection a special method for welding edge preparation through %100 inspection and a specific welding sequence are applied. Difficulties emerged in the construction of the roof due to huge truss pieces are examined in detail and solutions are proposed.

## ÖNSÖZ ve TEŞEKKÜR

Yapılarda çelik kullanılması insanlara birçok avantaj sağlamaktadır. İmalatının seri olması, özellikle depreme karşı çok dayanıklı olması, sökülebilir olması ve hurdasının dahi değerli olması nedeniyle ekonomikliği çelik yapıların avantajları arasındadır. Ancak en önemli özelliği mimari açısından çok esnek olmasıdır. Betonarme yapılarda uygulanması imkansız olan estetik çelik yapılar için sıradan sayılmaktadır. Ancak istenen kompleks estetik teknolojinin sınırlarını zorlamakta ve mühendisleri daha karışık problemleri çözmeye zorlamaktadır.

Türkiye için yeni sayılabilecek çelik yapılar hızla çoğalmaktadır. Bu tezde incelenen ve betonarme yapılarla mukayese dahi edilemeyecek kadar güzel, ekonomik, karmaşık olan ve uluslararası standartlarda olan çelik çatı dizaynı, imalatı ve montajı tam olarak bir mühendislik harikasıdır.

Bana bu konuda çalışma olanağı veren danışmanım Sayın Prof. İbrahim UZMAN'a ; kaynak konusundaki engin bilgisiyle imalat aşamasında büyük yardımlarını gördüğüm Sayın Prof. Dr. Selahaddin ANIK'a, Sayın Prof. Dr. Ahmet OĞUR'a ; projede beraber çalıştığımız Sayın Y.Müh. Metin OYSU'ya ve Sayın Y. Tekniker Yasemin KARDEŞ'e teşekkürlerimi sunarım.

Bu yapının gelecekte uygulaması yapılacak diğer yapılara örnek teşkil etmesi dileğiyle....

Ocak 2000, Kocaeli

Makina Müh.  
Murat TEMEL

## İÇİNDEKİLER

|   |          |
|---|----------|
| ÖZET .....  | ii       |
| ABSTRACT .....  | iii      |
| ÖNSÖZ ve TEŞEKKÜR .....   | iv       |
| İÇİNDEKİLER .....   | v        |
| SİMGELER DİZİNİ ve KISALTMALAR .....                                      | viii     |
| ŞEKİLLER LİSTESİ .....  | ix       |
| TABLolar LİSTESİ .....  | xi       |
| <br>  |          |
| <b>BÖLÜM 1. GİRİŞ</b> .....   | <b>1</b> |
| 1.1. Konunun Tanıtılması .....  | 1        |
| 1.2. Çalışmanın Amacı ve İçeriği .....                                    | 2        |
| <br>  |          |
| <b>BÖLÜM 2. PROJELENDİRME</b> .....                                       | <b>4</b> |
| 2.1. Ana Projeler .....   | 4        |
| 2.1.1. Makasların statik hesabı .....                                     | 4        |
| 2.1.2. Makas bağlantı prensipleri .....                                   | 5        |
| 2.2. Projenin Detaylandırılması ve<br>İmalat Resimlerinin Çizilmesi ..... | 5        |
| 2.2.1. Projenin detaylandırılması aşamaları .....                         | 6        |
| 2.2.2. İmalat resimlerinin çizilmesi aşamaları .....                      | 7        |
| <br>  |          |
| <b>BÖLÜM 3. MALZEME TEMİNİ ve RAPORLAMA</b> .....                         | <b>9</b> |

|  |           |
|--|-----------|
| 3.1. Raporlama .....   | 10        |
| 3.2. Kaynakçı Sertifikalandırma .....                              | 14        |
| 3.3. Kaynak Prosedürlerinin Hazırlanması .....                     | 15        |
| 3.4. Kaynak Kontrol Prosedürlerinin<br>Hazırlanması .....          | 17        |
| 3.4.1. Ultrasonik test prosedürü .....                             | 17        |
| 3.4.2. Manyetik parçacık test prosedürü .....                      | 19        |
| <b>BÖLÜM 4. İMALAT HAZIRLIKLARI .....</b>                          | <b>24</b> |
| 4.1. Boruların Bükülmesi .....                                     | 24        |
| 4.2. Numune Parçaların Hazırlanması .....                          | 26        |
| 4.3. Boru Kesim Listelerinin Hazırlanması .....                    | 28        |
| 4.4. Boru Kurtağzı Şablonlarının Hazırlanması ..                   | 39        |
| 4.5. Makas İmalat Tezgahının Kurulması .....                       | 40        |
| 4.6. Aşık ve Çapraz İmalat Kalıplarının<br>Hazırlanması .....      | 41        |
| <b>BÖLÜM 5. İMALAT .....</b>                                       | <b>44</b> |
| 5.1. Kurtağzı Alıştırmaları .....                                  | 44        |
| 5.2. Makas Çatma .....   | 45        |
| 5.3. Makas Kaynağı .....   | 47        |
| 5.3.1. Kaynakların penetrant ile kontrolü .....                    | 47        |
| 5.3.2. Kaynakların ultrasonik kontrolü .....                       | 48        |
| 5.3.3. Kaynakların manyetik parçacık<br>yöntemi ile kontrolü ..... | 51        |
| 5.4. Aşık İmalatı .....  | 51        |
| 5.5. Çapraz İmalatı .....  | 52        |
| 5.6. Kuşlama ve Boyama .....                                       | 54        |

|  |            |
|--|------------|
| 5.7. Kalite Kontrol. ....                            | 56         |
| <b>BÖLÜM 6. MONTAJ. ....</b>                         | <b>57</b>  |
| 6.1. Makas Birleştirme Tezgahının Kurulması. . . . . | 57         |
| 6.2. Makasların Nakliyesi . . . . .                  | 59         |
| 6.3. Makasları Kaldırma Aparatı İmalatı. . . . .     | 60         |
| 6.4. Makasların Montaj Vincinin Seçimi. . . . .      | 62         |
| 6.5. Montaj. . . . .                                 | 63         |
| <b>BÖLÜM 7. SONUÇ . . . . .</b>                      | <b>59</b>  |
| <b>KAYNAKLAR. . . . .</b>                            | <b>68</b>  |
| <b>EKLER. . . . .</b>                                | <b>69</b>  |
| EK-1 Detay Resimleri. . . . .                        | 69         |
| EK-2 Kaynak Prosedürü Spesifikasyonu . . . . .       | 115        |
| EK-3 Bir Uygulama Kalifiye Raporu . . . . .          | 139        |
| EK-4 ITP – Muayene ve Test Planı. . . . .            | 145        |
| EK-5 Statik Analizler . . . . .                      | 148        |
| <b>ÖZGEÇMİŞ. . . . .</b>                             | <b>202</b> |



## SİMGELER DİZİNİ ve KISALTMALAR

|      |   |   |
|------|---|---|
| t    | : | Et kalınlığı  |
| ø    | : | Çap   |
| ⚡    | : | Köşe kaynağı  |
| ⚡    | : | Çevresel kaynak   |
| ⚡    | : | Çift köşe kaynağı   |
| ≠    | : | Sac   |
| μ    | : | Mikron  |
| PL   | : | Plaka   |
| P    | : | Poz   |
| CHS  | : | Circular Hollow Section – Boru Kesitli                            |
| U.T. | : | Ultrasonik Test   |
| R.T. | : | Radyografik Test  |
| TSE  | : | Türk Standartları Enstitüsü                                       |
| EN   | : | Euro Norm   |
| ASME | : | American Society of Mechanical Engineers                          |
| AWS  | : | American Welding Society  |
| BS   | : | British Steel   |
| ITAB | : | Isının Tesiri Altındaki Bölge                                     |
| WPS  | : | Welding Procedure Specification – Kaynak Prosedürü Spesifikasyonu |
| PQR  | : | Procedure Quality Record – Uygulama Kalifiye Raporu               |
| IIP  | : | Inspection and Test Plan – Muayene ve Test Planı                  |
| Y.Ç. | : | Yatay Çapraz  |
| D.Ç. | : | Dikey Çapraz  |
| μ    | : | Mikron  |
| SMAW | : | Shielded Metal Arc Welding – Elektrik Ark Kaynağı                 |
| GMAW | : | Gas Metal Arc Welding – Gazaltı Kaynağı                           |

## ŞEKİLLER DİZİNİ

|             |   |    |
|-------------|---|----|
| Şekil 2.1.  | Makas üzerindeki aşık ve çapraz bağlantı plakalarının ayrı ayrı çizilerek gösterilmesi.....   | 8  |
| Şekil 3.1.  | 5G pozisyonunda test olan bir boru kaynakçısı.....  | 13 |
| Şekil 3.2.  | AWS D.1.1. Welding Code ile tanımlanmış 5G, 6G ve 6 GR test pozisyonları.....   | 14 |
| Şekil 3.3.  | Ultrasonik test yapılacak kaynak tipleri.....   | 17 |
| Şekil 3.4.  | Ultrasonik test için değişik bölgelerden kesitler alınmış ve test cihazının kalibrasyonu için gerekli 1mm çapında delikler açılmış numuneler..... | 18 |
| Şekil 3.5.  | Ultrasonik test yapılacak kaynakların tarama teknikleri.....  | 19 |
| Şekil 3.6.  | Manyetik parçacık testi için uygun olan kaynak bölgesi ve test aleti.....   | 20 |
| Şekil 3.7.  | Manyetik parçacık testinde kullanılan kalibrasyon parçası.....  | 20 |
| Şekil 3.8.  | Kontrol edilecek kaynakların numaralandırılması.....  | 21 |
| Şekil 4.1.  | $\phi 273 \times 16$ mm boruların bükülmesi işlemi. Borular bükülürken önceden hazırlanmış şablonlar ile kontrolleri yapılır.....                 | 25 |
| Şekil 4.2.  | Boruların bükülmesi işleminde merdaneler arası boşluk nedeniyle iki başta $\sim 75'$ er cm düz kalır.....   | 26 |
| Şekil 4.3.  | Makasların taban plakası birleşiminden bir numunenin kaynatılması işlemi.....   | 27 |
| Şekil 4.4.  | Makas üzerinde bir düğüm noktasının kaynak ağzı detayını gösteren numune parça.....   | 28 |
| Şekil 4.5.  | $\phi 273 \times 16$ mm boruların kesim kombinasyonu.....   | 29 |
| Şekil 4.6.  | $\phi 193 \times 12,5$ mm boruların kesim kombinasyonu.....   | 30 |
| Şekil 4.7.  | $\phi 193 \times 10$ mm boruların kesim kombinasyonu.....   | 31 |
| Şekil 4.8.  | $\phi 193 \times 8$ mm boruların kesim kombinasyonu.....  | 32 |
| Şekil 4.9.  | $\phi 193 \times 6,3$ mm boruların kesim kombinasyonu.....  | 33 |
| Şekil 4.10. | $\phi 193 \times 5$ mm boruların kesim kombinasyonu.....  | 34 |

|             |   |    |
|-------------|---|----|
| Şekil 4.11. | φ139,7x5 mm boruların kesim kombinasyonu.....   | 35 |
| Şekil 4.12. | φ114,3x5 mm boruların kesim kombinasyonu.....   | 36 |
| Şekil 4.13. | φ60,3x5 mm boruların kesim kombinasyonu.....  | 37 |
| Şekil 4.14. | φ60,3x5 mm boruların kesim kombinasyonu.....  | 38 |
| Şekil 4.15. | Uygun kaynak ağızı açılarak hazırlanan 68 adet ayrı kurtağzı<br>numunesi.....   | 39 |
| Şekil 4.16. | Bilgisayardan alınan bir kurtağzı açılımı.....  | 40 |
| Şekil 4.17. | Bilgisayarda hazırlanmış makas imalat tezgahı kontrol ölçüleri.....   | 42 |
| Şekil 4.18. | Bilgisayarda çizilip ölçülendirilmiş makas imalat tezgahı ölçüleri... 43  |    |
| Şekil 5.1.  | Tornada kurtağzı alıştırılan bir boru.....  | 44 |
| Şekil 5.2.  | Kurtağzı alıştırılmış ve kaynak ağızları hazırlanmış borular.....   | 45 |
| Şekil 5.3.  | Ø 273 x 16 mm boruların içine ring konularak kaynatılmış kesiti.....  | 46 |
| Şekil 5.4.  | Üst ve alt başlıkların nivo ile kontrol edilerek çatılması işlemi.....  | 47 |
| Şekil 5.5.  | Çatma tezgahı üzerindeki bir makasın devam eden kaynak işlemi... 48   |    |
| Şekil 5.6.  | Ultrasonik testi yapılan bir alın kaynağı.....  | 49 |
| Şekil 5.7.  | Tüm testleri yapılmış ve hata bulunmayan bir kaynak bölgesi.....  | 52 |
| Şekil 5.8.  | Kaynakları yapılan aşıklar.....   | 53 |
| Şekil 5.9.  | Çatılmış ve henüz kalıp içinde olan bir çapraz.....   | 54 |
| Şekil 5.10. | İsveç standartlarına göre yüzey kalitelerinin görsel olarak ifadesi.....  | 55 |
| Şekil 6.1.  | Şantiyedeki ekleme tezgahının ölçülendirilmiş resmi.....  | 58 |
| Şekil 6.2.  | Şantiyedeki ekleme tezgahında süren kaynak işlemi.....  | 59 |
| Şekil 6.3.  | Kaldırma aparatının ölçülendirilmiş resmi.....  | 61 |
| Şekil 6.4.  | Kaldırma aparatı ile manevralar yapılarak binanın içerisine kadar<br>getirilirmiş ve montajı yapılmak üzere olan ilk makas..... | 62 |
| Şekil 6.5.  | 200 ton Liebherr / LT 1200 vinç için kaldırma eğrisi.....   | 63 |
| Şekil 6.6.  | Birinci makasın montaj resmi.....   | 64 |
| Şekil 6.7.  | Birinci makasın montajdan sonraki resmi.....  | 65 |
| Şekil 6.8.  | İlk altı makasın montajının tamamlanmış hali.....   | 66 |
| Şekil 6.9.  | Montajın tamamlanma aşamasına gelmiş durumu.....  | 66 |

## TABLolar DİZİNİ

|             |  |    |
|-------------|--|----|
| Tablo 3.1.  | Malzemelerin geliş miktarlarını, geliş tarihlerini ve gidecekleri yerleri gösteren tablo.....                            | 9  |
| Tablo 3.2.  | Boruların kimyasal içeriğini, dolayısıyla kaynak kabiliyetini öğrenmek için yapılan spektral analiz sonuçları.....       | 10 |
| Tablo 3.3.  | Boruların kaynak işleminden sonra mekanik özelliklerinin test edildiği çekme deneyi sonuçları.....                       | 10 |
| Tablo 3.4.  | Boruların kaynak işleminden sonra mekanik özelliklerinin test edildiği eğme deneyi sonuçları.....                        | 11 |
| Tablo 3.5.  | Boruların kaynak işleminden sonra mekanik özelliklerinin test edildiği çentik darbe deneyi sonuçları.....                | 11 |
| Tablo 3.6.  | Boruların kaynak işleminden sonra kesit alınarak sertlik ölçümü yapılan kurttağzı araştırması.....                       | 11 |
| Tablo 3.7.  | Elektrik ark kaynağı ile kaynatılmış ve kesit alınarak sertlik ölçümü yapılan köşe kaynağı.....                          | 12 |
| Tablo 3.8.  | Elektrik ark kaynağı ile kaynatılmış ve kesit alınarak sertlik ölçümü yapılan alın kaynağı.....                          | 12 |
| Tablo 3.9.  | Gazaltı kaynağı ile kaynatılmış ve kesit alınarak sertlik ölçümü yapılan köşe kaynağı.....                               | 12 |
| Tablo 3.10. | Gazaltı kaynağı ile kaynatılmış ve kesit alınarak sertlik ölçümü yapılan alın kaynağı.....                               | 13 |
| Tablo 3.11. | Ultrasonik test aletinin hafızasına kaydedilmiş olan kalibrasyon verileri.....   | 18 |
| Tablo 3.12. | Ultrasonik ve Manyetik Parçacak testi için Y,T,K bağlantıları listesi.....   | 22 |
| Tablo 3.13. | Ultrasonik ve Manyetik Parçacak testi için alın kaynakları listesi. Bu listeler her makas için ayrı ayrı hazırlanır..... | 23 |
| Tablo 5.1.  | Alın kaynaklarının ultrasonik ve manyetik parçacak testleri için raporlama listeleri.....                                | 49 |
| Tablo 5.2.  | Ultrasonik ve manyetik parçacak testleri için raporlama listeleri.....   | 50 |
| Tablo 6.1.  | Montajda kullanılacak cıvataların listesi.....   | 64 |

# 1. GİRİŞ

## 1.1. Konunun Tanıtılması

Günümüzde büyük ve özellikle mimari önem taşıyan yapıların birçoğu bünyesinde yüksek oranlarda çelik konstrüksiyon barındırmaktadır. Büyük açıklıklar geçilen fabrika binalarında, yüksek binalarda, dinamik yüklere maruz yapılarda, ekonomikliği ve imalat esnekliği nedeniyle çelik tercih sebebidir. Çelik konstrüksiyon bina yapımı Türkiye’de henüz emekleme döneminde. Ancak gelişen teknolojik imkanlar ve mühendislik hesaplarında bilgisayarların yardımları inşaat sektöründe çelik kullanımını belirgin bir şekilde arttırmıştır.

Çelik yapıların imatları fabrika veya atölye ortamında hassas makinalar ile yapılırken şantiye sahasının fizibilite ve alt yapı çalışmaları devam edebilir, binanın temelleri atılabilir. Bu avantajla, zamanın çok değerli olduğu günümüzde, çelik yapılar betonarme yapılara göre çok daha kısa sürede tamamlanabilir.

Mimari alanda çelik yapılar betonarme yapılara göre tercih sebebidir, çünkü çelik istenilen şekle sokulabilir, istenilen cephe veya çatı formu rahatlıkla uygulanabilir.

Çelik yapı maliyetleri betonarme yapılara göre daha yüksekmiş gibi görünse de aslında daha ekonomiktir. Betonarme yapının ömrü tamamlandıktan sonra yıkılması ve enkazın atılması gereklidir. Ancak çelik binaların böyle bir problemi yoktur, bina ömrünü tamamlayınca çelik hurdası satılır ve kullanılmış bina para olarak sahibine geri döner. Ayrıca çeliğin kendisi de fırınlarda eritilerek tekrar kullanılır, çevreye ve doğaya zarar vermez.

Çelik binalar güvenlidir. Çelik esnek bir malzeme olduğu için çökmesi söz konusu değildir. En kötü ihtimalle, kalıcı deformasyona uğrayarak eğrilip bükülür ama hiçbir zaman içinde bulunanları öldürecek kadar hasar görmez. Çelik binaların kontrolleri

kolaydır. Kesitler, işçiliğin ve kullanılan malzemenin kalitesi çok rahat kontrol edilebilir. Betonarme binaların tahribatsız muayenesi çok zordur ve kısmen yapılabilir.

## 1.2. Çalışmanın Amacı ve İçeriği

İnşaat sektörü dahilinde gelişmekte olan çelik konstrüksiyon uygulamalarının zorlarından bir tanesi bu tezin konusu olmuştur. 50,4 metre x 48 metrelik bir spor salonu kompleksinin çatısının bükümlü düzlem boru makas kullanılarak inşa edilmesi ve söz konusu boru makasın 50,4 metre açıklık geçiyor olması bu uygulamayı özellikli bir hale getirmektedir. Bir makasın teorik ağırlığı 16 ton civarındadır. Eksen araları 4 metredir ve toplam 13 adet makas imal edilecektir.

Makas tamamen borudan oluşmaktadır, boru kalınlıkları standart borulara göre çok fazladır, üst ve alt başlıklar bükümlüdür ve kaynakları %100 Ultrasonik kontrollü olup tam nüfuziyet istenmektedir. Boru kalınlıklarının fazlalığı, kaynakların %100 ultrasonik kontrollü ve tam nüfuziyetli olması makasın tümünde özel kaynak ağız sistemi kullanılmasını zorunlu kılmıştır. Tüm bunlar Türkiye’de daha önce denenmemiş bir imalatın yapılması anlamını taşımaktadır.

Borular British Steel’e yaptırılıp Türkiye’ye getirilmiştir. Malzeme sertifikaları borular ile beraber gelmiştir. Bununla beraber tüm kimyasal analizler tekrar yaptırılmıştır. Kullanılacak kaynak metodu ve bütün kalite güvence evrakları hazırlanıp gerekli testler uygulanmıştır. Test sonuçlarına göre elektrot tipi seçilmiştir.

İmalat için 60 metre uzunluğunda ve 8 metre genişliğinde bir çatma tezgahı imal edilmiştir. Tezgah henüz çizim aşamasındayken makas üzerindeki plakalara, kaynak yerlerine ve alt başlık - üst başlık ek yerlerine dikkat edilmiştir. Böylece makas tezgahıtan alınmadan önce tüm plakalar yerine konabilmekte ve kaynaklar yapılabilmektedir.

İmalatı tamamlanmış makasların boyları saçaklarla beraber ~60 metre olduğu için nakliyesi 5 parça olarak yapılacaktır. Parçalar; 2 adet 21 metre, 1 adet 8 metre ve 2

adet 4,6 metrelik saçaklardan ibarettir. Şantiye sahasına kurulacak bir ekleme tezgahı ile makas tek parça haline getirilip yerine monte edilecektir.

Kaldırılan makasların bir defada yerlerine problemsiz koyulması montaj sahası ve imkanlar dar olduğu için çok önemlidir. Montaj sonrasında makasların zati ağırlıklarından dolayı çok az olsa da geometrilerinde bir değişiklik olacağı tespit edilmiştir. Bu nedenle makasların bağlanacağı ankrajlar bu esnemeye uygun olarak yerleştirilmiştir ve makas geometrisindeki değişikliğin montajda sebep olacağı zorluklar ortadan kaldırılmıştır.



## **2. PROJELENDİRME**

Spor salonu çatısının proje çalışmaları ;

- Boston Design Collaborative – Mozhan Khadem
- ARUP Mühendislik ve Müşavirlik Ltd. Şti.
- METEX Design Group

firmaları tarafından yapılmıştır.

Mimari ve statığı bu firmalar tarafından yapılan çatının detaylandırılması ve imalat resimlerinin çizilmesi tarafından yapılmıştır.

### **2.1. Ana Projeler**

Binanın mimarisi ortaya çıktıktan sonra statik hesaplar sonucu belirlenen aks araları, alt ve üst başlıkta bulunan aşık, yatay çapraz, dikey çaprazlar yerleri ile kesitler, genel görünüş olarak çizilmiştir. Bu paftalardaki prensiplere uygun olarak proje detaylandırılacaktır.

3 adet ana proje elimize geçmiştir (Bkz. Ek-6). Bunlar ;

- Çatı üst başlık genel görünüşü
- Çatı alt başlık genel görünüşü
- Makas bağlantı prensipleri

#### **2.1.1. Makasların statik hesabı**

Mimari projelerden makas boyutları belirlendikten sonra statik hesaplar ile kesitler tayin edilmiştir. Burada ARUP firması kendisine ait olan bir bilgisayar programı kullanmıştır (Bkz. Ek-5). Program bu sonuçları kullanarak kendiliğinden düğüm



noktalarını ve boru ebatlarını bulmaktadır. Gerekli hesaplamalar ile beton kolon üzerindeki ankraj bağlantıları da ortaya çıkmıştır. Tüm bu hesaplamalar ile ortaya çıkarılan makasların rijitliğini sağlamak için gerekli aşık ve çapraz bağlantılarının tespit edilmesi ile çatı üst başlığı genel planı ve çatı alt başlığı genel planı tamamlanmış olmaktadır. Ayrıca bu hesaplar göstermektedir ki makaslar yerine monte edildikten sonra 8 cm alçalarak ve açıklıkları 6 cm artacaktır.

### **2.1.2. Makas bağlantı prensipleri**

Makas bağlantı prensiplerinde şu esaslar verilmiştir ;

- Makas çaprazlarının bağlanma şekli
- Makas çaprazlarının kaynak prensibi
- Makas ankraj plakasının yerleşimi
- Çatı aşıklarının makaslara civatalı bağlantı şekilleri
- Çatı çaprazlarının makaslara civatalı bağlantı şekilleri
- Makas üst ve alt başlık borularının kaynaklı ekleme detayları

Bu prensiplere bağlı kalınarak gerekli detaylandırmanın ve imalat resimlerinin çizilmesi ayrıca imalatçıya ters düşen noktaların gözden geçirilerek düzeltilmesi istenmiştir.

### **2.2. Projenin Detaylandırılması ve İmalat Resimlerinin Çizilmesi**

Verilen tüm bilgiler doğrultusunda imalatın ve montajın rahatlıkla yapılabilmesi için gerekli tüm detayların ve çizimlerin hazırlanması gereklidir. Projelerde, imal edilecek bir parça bütün olarak görülür, gereken detaylar ve malzeme cinsleri çizimlerin yanına not olarak düşülür. Daha önce hazırlanması gereken parçaların teker teker resimlerinin çıkartılması ve imalatın uygun yapılabilmesi için gerekli ölçülerin verilip detayların görünür hale getirilmesi projenin en önemli safhalarından biridir. Bu detaylandırma işlemi sırasında yapılan bir hata tüm imalata yansır ve bazen montajı çok zorlaştırabilir. Detaylandırmanın iyi bir şekilde yapılması durumunda ise projelerdeki aksaklıklar görülebilir ve düzeltilebilir.

### 2.2.1. Projenin detaylandırılması aşamaları

Gelen projeler aşağıdaki aşamalar sırasıyla takip edilerek detaylandırılır ;

- Bina ana eksenleri belirlenip ölçü kontrolü yapılır.
- Makaslar ana projelerde belirlenen eksen araları boyunca yerleştirilir.
- Gerçek boyutlarına uygun makaslar çizilerek tipik parçalar belirlenir.
- Ana projelerde verilen aralar boyunca aşıkların ve çaprazların ölçüleri belirlenir.
- Makaslara, aşık ve çapraz bağlantı prensiplerine uygun plakalar yerleştirilir.
- Aşıkların ve çaprazların üzerindeki plakalar prensiplere uygun biçimde yerleştirilir.
- Aşıkların ve çaprazların tipik olanlarına numara verilir.
- Bağlantı plakalarındaki farklılıklara göre makaslar numaralandırılır.
- Aşık, çapraz ve makas numaraları çatı planlarına işlenir. Bu sayede markalama planı elde edilmiş olur.
- Montaj veya imalat açısından gerekli değişiklikler yapılarak resimlere işlenir.

Spor salonu çatısında detaylandırma sırasında prensip detayları dahil olmak üzere bir çok noktada değişiklik yapılmıştır. Yapılan değişiklikler ;

- Makas üst ve alt başlık ek detaylarında boru içine bir "baking ring" konularak kaynak ağız detayı değiştirilmiştir.
- Aşık ve çapraz bağlantı kulaklarına montajda kolaylık olması açısından ikinci delikler delinmiştir.
- Aşık ve çapraz boylarında değişiklikler yapılmıştır.
- Bu açıklıktaki makas sehimi düşeyde ~8 cm, yatayda ~6 cm olarak alınmıştır. Dolayısıyla düşey çapraz ölçülerinde değişiklikler yapılmıştır.
- Makas sehiminin makasın montajından sonra yavaş yavaş ortaya çıkacağı düşünüldükçe tüm çapraz bağlantılarda birer uçlar oval delik olarak delinmiştir.
- Makas sehimi yüzünden boydaki uzama makas taban plakasının bağlandığı kolon üstü ankraj yerleşimini etkilemiştir. Bu ~6 cm lik fark iki baştaki ankrajları 3'er cm eksenden kaçırarak bertaraf edilmiştir. Makasın monte edildikten sonra

uzayacağı düşünülerek makas taban plakasının tek tarafına oval delik açılmıştır. Böylece normal delik olan tarafta makaslar ipinde dururken uzama oval delik tarafına kaydırma şeklinde basite indirgenmiştir.

Makaslarda ve genel olarak sistemde yapılan bu değişikliklerden sonra makas üzerine eklenmesi gereken diğer elemanların detaylandırılması yapılır. Bunlar ;

- Yağmur deresi detayları.
- Kaplama detayları.
- Saçak kaplaması detayları.

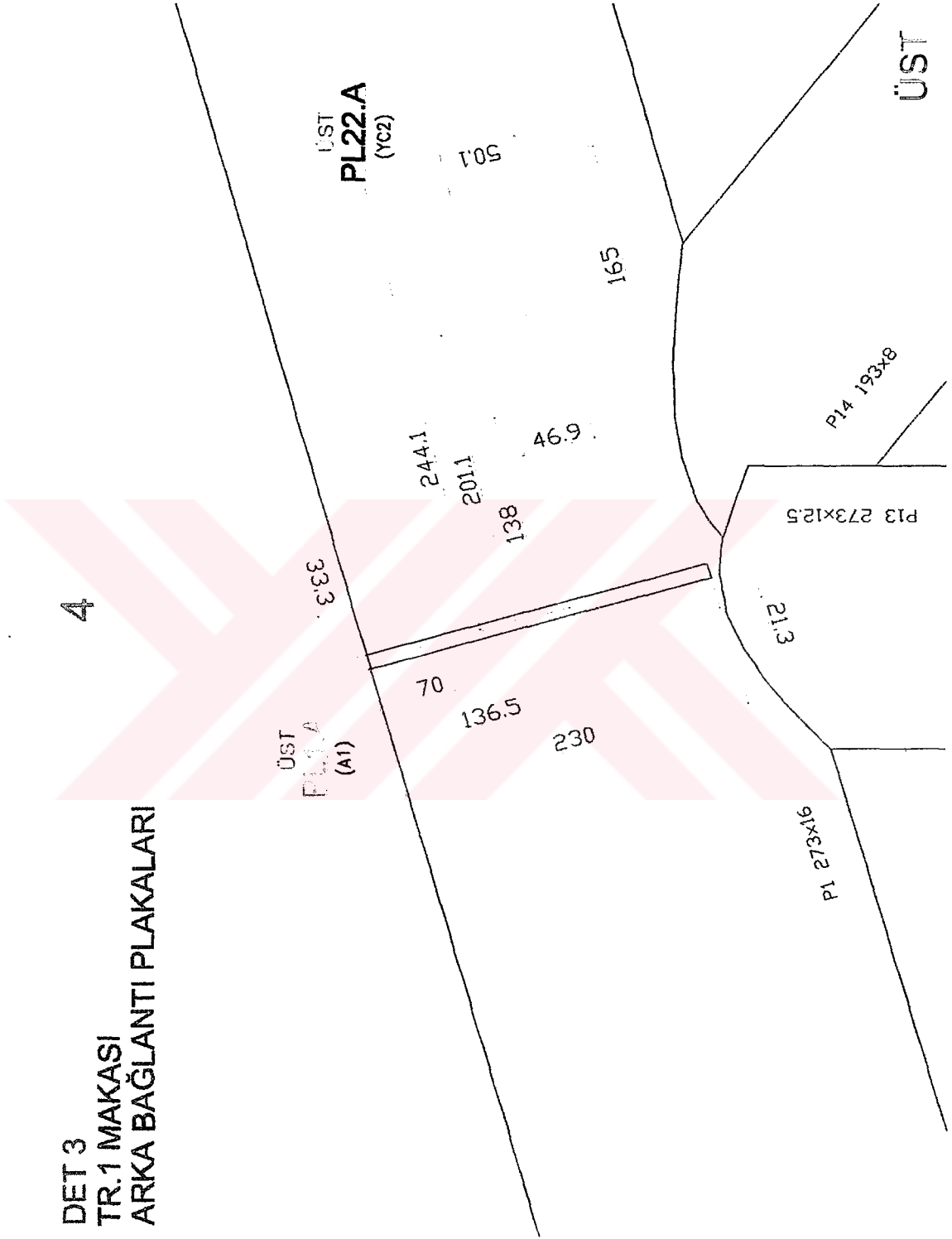
### **2.2.2. İmalat resimlerinin çizilmesi aşamaları**

Detaylandırmalar konusunda kararlar verilip uygun bulunduktan sonra imalat resimlerinin çizilmesi işlemine başlanır. Bu projede imalat resimlerinin çizilmesinde değişik yöntemler kullanılmıştır.

Öncelikle çatı sistemi kararlaştırılan detaylara uygun olarak komple çizilmiştir. Buradan makas tiplerinin sadece bağlantı plakalarına göre değişiklik gösterdiği ortaya çıkmıştır. Çatı makası imalatı için makas bilgisayarda 1:1 ölçekli çizilmiş ve makas üzerindeki elemanlar birer birer bu resimden çekilmiştir. Böylece herhangi bir elemanda yanlışlık yapma riski ortadan kalkmıştır. Makas üzerindeki tüm elemanların imalat resimleri teker teker çıkartılmıştır. Boylar ve boru alıştırılmaları için gerekli tüm ölçüler resimlerin üzerinde gösterilmiştir.

Daha sonra makasların üzerindeki aşık ve çapraz bağlantı plakaları yerleşimleri ile imalatta kullanılacak ölçüler her bir plaka için detay olarak çizilmiştir (Şekil 2.1.).

Aşık ve çaprazlar üzerlerindeki plakalar ile birlikte tiplerine göre detaylandırılıp imalat resimleri ayrı ayrı çizilmiştir.



DET 3  
TR.1 MAKASI  
ARKA BAĞLANTI PLAKALARI

Şekil 2.1. Makas üzerindeki aşık ve çapraz bağlantı plakalarının ayrı ayrı çizilerek gösterilmesi.

### 3. MALZEME TEMİNİ ve RAPORLAMA

Bu projede kullanılan borular British Steel tarafından imal edilmiştir. Sac ve standart profiller yerli temin edilmiştir. Borulardan alt ve üst başlıklar bükümlü olduğu için büküm işlemi Kartal Bombe – Gebze ‘de yapılmıştır.

**Tablo 3.1.** Malzemelerin geliş miktarlarını, geliş tarihlerini ve gidecekleri yerleri gösteren tablo.

#### MALZEME SEVKİYAT PROGRAMI

|    | MALZEME                  | BOY   | ADET    | YÜKLEME TARİHİ | VARIŞ TARİHİ     | GİDECEĞİ YER |
|----|--------------------------|-------|---------|----------------|------------------|--------------|
| 1. | CHS 273 x 16 ( Boru )    | 12 mt | 150 BOY | 10.OCAK.1999   | ~ 26.OCAK.1999   | KARTAL BOMBE |
| 2. | CHS 139,7 x 5 ( Boru )   | 12 mt | 230 BOY | 20.ARALIK.1998 | ~ 6.OCAK.1999    | ELTEK        |
| 3. | CHS 69,3 x 5 ( Boru )    | 12 mt | 85 BOY  | 20.ARALIK.1998 | ~ 6.OCAK.1999    | ELTEK        |
| 4. | CHS 193,7 x 5 ( Boru )   | 6 mt  | 92 BOY  | 25.KASIM.1998  | ~ 11.ARALIK.1998 | ELTEK        |
| 5. | CHS 193,7 x 6,3 ( Boru ) | 6 mt  | 55 BOY  | 25.KASIM.1998  | ~ 11.ARALIK.1998 | ELTEK        |
| 6. | CHS 193,7 x 8 ( Boru )   | 6 mt  | 17 BOY  | 25.KASIM.1998  | ~ 11.ARALIK.1998 | ELTEK        |
| 7. | CHS 193,7 x 10 ( Boru )  | 12 mt | 15 BOY  | 25.KASIM.1998  | ~ 11.ARALIK.1998 | ELTEK        |
| 8. | CHS 193,7x12,5 ( Boru )  | 6 mt  | 17 BOY  | 20.ARALIK.1998 | ~ 06.OCAK.1999   | ELTEK        |
| 9. | CHS 114,3 x 5 ( Boru )   | 6 mt  | 19 BOY  | 6.ARALIK.1998  | ~ 22.ARALIK.1998 | ELTEK        |

Yukarıdaki tablodan da anlaşılacağı üzere büküm işlemi olmayan borular Eltek Atölyesine indirilmiştir. Saclar ve standart profiller bilahare Eltek Atölyesine gelmiştir (Tablo 3.1.).

Malzemeler ile beraber sertifikaları da istenmiştir. Ancak yine de boruların ve sacların kimyasal analizleri tekrar yaptırılmıştır. Analizlerdeki amaç malzeme kalitesini belgelemek ve kaynak işleminde uygulanacak yöntemi seçmektir. Kimyasal analizler ve sertifikalar sonucunda malzemelerde herhangi bir uyumsuzluk olmadığı anlaşılmıştır (Tablo 3.2.).

**Tablo 3.2.** Boruların kimyasal içeriğini, dolayısıyla kaynak kabiliyetini öğrenmek için yapılan spektral analiz sonuçları.

| BORULARIN SPEKTRAL ANALİZLERİ |       |       |      |      |      |      |      |      |      |      |      |       |      |      |      |       |      |      |      |      |
|-------------------------------|-------|-------|------|------|------|------|------|------|------|------|------|-------|------|------|------|-------|------|------|------|------|
|                               | Fe1   | Fe2   | C    | Si   | Mn   | P    | S    | Cr1  | Mo   | Ni1  | Al   | B     | Co   | Cu   | Nb   | Pb    | Sn   | Ti   | V    | W    |
| CHS<br>273x16                 | 98.53 | 98.51 | .179 | .159 | .811 | .014 | .006 | .000 | .000 | .026 | .043 | .0001 | .003 | .019 | .003 | .0000 | .005 | .000 | .000 | .000 |
| CHS<br>193x12,5               | 98.31 | 98.49 | .162 | .188 | .809 | .018 | .011 | .010 | .000 | .026 | .039 | .0001 | .002 | .020 | .004 | .0000 | .002 | .000 | .000 | .000 |
| CHS<br>193x10                 | 98.47 | 98.45 | .181 | .177 | .846 | .011 | .005 | .007 | .000 | .026 | .051 | .0001 | .003 | .015 | .002 | .0000 | .002 | .000 | .000 | .000 |
| CHS<br>193x8                  | 98.50 | 98.48 | .172 | .172 | .837 | .016 | .006 | .009 | .000 | .024 | .044 | .0000 | .002 | .006 | .003 | .0000 | .002 | .000 | .000 | .000 |
| CHS<br>193x6,3                | 98.50 | 98.48 | .171 | .172 | .838 | .016 | .006 | .010 | .000 | .024 | .044 | .0001 | .002 | .007 | .003 | .0000 | .002 | .000 | .000 | .000 |
| CHS<br>139,7x5                | 98.45 | 98.43 | .166 | .173 | .875 | .017 | .013 | .010 | .000 | .024 | .047 | .0000 | .003 | .013 | .003 | .0000 | .002 | .000 | .000 | .000 |
| CHS<br>114,3x5                | 98.49 | 98.47 | .172 | .169 | .801 | .009 | .017 | .008 | .000 | .029 | .047 | .0001 | .002 | .043 | .003 | .0000 | .003 | .000 | .000 | .000 |
| CHS<br>60,3x5                 | 98.42 | 98.41 | .172 | .179 | .882 | .016 | .009 | .007 | .000 | .024 | .068 | .0001 | .003 | .009 | .003 | .0000 | .002 | .000 | .000 | .000 |

### 3.1. Raporlama

Kimyasal analizlerden sonra malzemelere çeşitli tahribatlı muayeneler uygulanır. Kaynaklı numunelere uygulanan çekme deneyi, bükme deneyi, çentik darbe deneyi, sertlik ölçme, makro yapının incelenmesi sonucunda kaynak metodunda herhangi bir uyumsuzluk varsa veya malzemede herhangi bir anormallik varsa ortaya çıkar.

**Tablo 3.3.** Boruların kaynak işleminden sonra mekanik özelliklerinin test edildiği çekme deneyi sonuçları.

| KAYNAKLI ÇEKME DENEYİ   |                                |                 |                                     |            |
|-------------------------|--------------------------------|-----------------|-------------------------------------|------------|
| Numune Cinsi            | Kesit Alanı (mm <sup>2</sup> ) | Çekme Yüklü (N) | Çekme Dayanımı (N/mm <sup>2</sup> ) | Kopma Yeri |
| CHS273x16-CHS273x16     | 16 x 30 = 480                  | 216000          | 450                                 | SAC        |
| CHS273x16-CHS193x12,5   | 19,85 x 11 = 218,35            | 10200           | 467,14                              | SAC        |
| CHS273x16-CHS193x10     | 19,50 x 4,75 = 92,62           | 44000           | 475,05                              | SAC        |
| CHS273x16-CHS193x8      | 19,50 x 5,10 = 99,45           | 48000           | 482,65                              | SAC        |
| CHS273x16-CHS193x6,3    | 19,30 x 3,55 = 68,51           | 33500           | 488,97                              | SAC        |
| CHS273x16-CHS193x5      | 24,6 x 2 = 49,2                | 28000           | 569,10                              | SAC        |
| CHS193x12,5-CHS193x12,5 | 8,7 x 25 = 217,5               | 10200           | 468,96                              | SAC        |
| CHS193x6,3-CHS193x6,3   | 19,75 x 3,65 = 72              | 35000           | 486,11                              | SAC        |
| CHS60,3x5-CHS60,3x5     | 7,65 x 3,80 = 29,07            | 14500           | 498,79                              | SAC        |

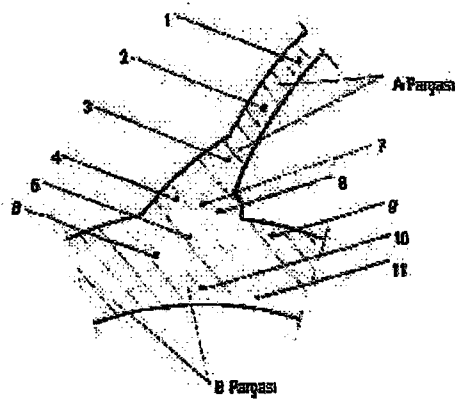
**Tablo 3.4.** Boruların kaynak işleminden sonra mekanik özelliklerinin test edildiği eğme deneyi sonuçları.

| KAYNAKLI EĞME DENEYİ       |                               |                     |                        |            |                           |
|----------------------------|-------------------------------|---------------------|------------------------|------------|---------------------------|
| Numune Cinsi               | Mesnetler Arası Mesafe ( mm ) | Mandrel Çapı ( mm ) | Parça Kalınlığı ( mm ) | Eğme Açısı | Sonuç                     |
| CHS273x16-CHS273x16 KÖK    | 85                            | 46                  | 13                     | 180°       | Çatlama ve Kırılma Olmadı |
| CHS273x16-CHS273x16 ALIN   | 85                            | 46                  | 13                     | 180°       | Çatlama ve Kırılma Olmadı |
| CHS273x16-CHS193x12,5 KÖK  | 72,4                          | 46                  | 8,8                    | 180°       | Çatlama ve Kırılma Olmadı |
| CHS273x16-CHS193x12,5 ALIN | 71,5                          | 46                  | 8,5                    | 180°       | Çatlama ve Kırılma Olmadı |
| CHS273x16-CHS193x10 KÖK    | 66,25                         | 46                  | 6,75                   | 180°       | Çatlama ve Kırılma Olmadı |
| CHS273x16-CHS193x10 ALIN   | 64                            | 46                  | 6                      | 180°       | Çatlama ve Kırılma Olmadı |
| CHS273x16-CHS193x8 KÖK     | 58                            | 46                  | 4                      | 180°       | Çatlama ve Kırılma Olmadı |
| CHS273x16-CHS193x8 ALIN    | 62,5                          | 46                  | 4                      | 180°       | Çatlama ve Kırılma Olmadı |
| CHS273x16-CHS193x6,3 KÖK   | 55                            | 46                  | 3                      | 180°       | Çatlama ve Kırılma Olmadı |
| CHS273x16-CHS193x6,3 ALIN  | 56,8                          | 46                  | 3,6                    | 180°       | Çatlama ve Kırılma Olmadı |
| CHS273x16-CHS193x5 KÖK     | 51,55                         | 46                  | 1,85                   | 180°       | Çatlama ve Kırılma Olmadı |
| CHS273x16-CHS193x5 ALIN    | 55                            | 46                  | 3                      | 180°       | Çatlama ve Kırılma Olmadı |
| CHS193x6,3-CHS193x6,3 KÖK  | 56,8                          | 46                  | 3,6                    | 180°       | Çatlama ve Kırılma Olmadı |
| CHS193x6,3-CHS193x6,3 ALIN | 56,8                          | 46                  | 3,6                    | 180°       | Çatlama ve Kırılma Olmadı |
| CHS60,3x5-CHS60,3x5 KÖK    | 57,4                          | 46                  | 3,8                    | 180°       | Çatlama ve Kırılma Olmadı |
| CHS60,3x5-CHS60,3x5 ALIN   | 57,4                          | 46                  | 3,8                    | 180°       | Çatlama ve Kırılma Olmadı |

**Tablo 3.5.** Boruların kaynak işleminden sonra mekanik özelliklerinin test edildiği çentik darbe deneyi sonuçları.

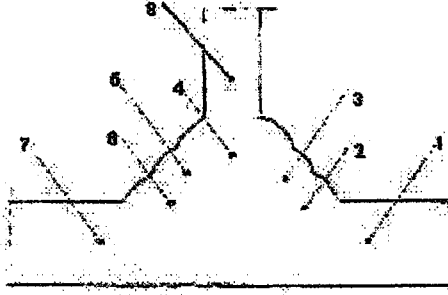
| Numune Cinsi      | Sıcaklık ( °C ) | Darbe Çentik Muk.<br>"V" Çentik ( Joule ) |
|-------------------|-----------------|---|
| CHS 273x16 KÖK    | -20 °C          | 154                                       |
| CHS 273x16 ALIN   | -20 °C          | 147                                       |
| CHS 273x16 ITAB   | -20 °C          | 163                                       |
| CHS 193x12,5 KÖK  | -20 °C          | 135                                       |
| CHS 193x12,5 ALIN | -20 °C          | 126                                       |
| CHS 193x12,5 ITAB | -20 °C          | 174                                       |

**Tablo 3.6.** Boruların kaynak işleminden sonra kesit alınarak sertlik ölçümü yapılan kurtağzı alıştırması.



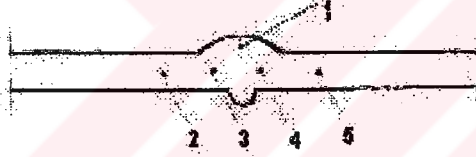
| Ölçüm Yapılan Nokta | Ölçüm Değeri (HV) |
|---------------------|-------------------|
| 1                   | 167               |
| 2                   | 165               |
| 3                   | 185               |
| 4                   | 180               |
| 5                   | 150               |
| 6                   | 140               |
| 7                   | 190               |
| 8                   | 177               |
| 9                   | 142               |
| 10                  | 130               |
| 11                  | 145               |

**Tablo 3.7.** Elektrik ark kaynağı ile kaynatılmış ve kesit alınarak sertlik ölçümü yapılan köşe kaynağı.



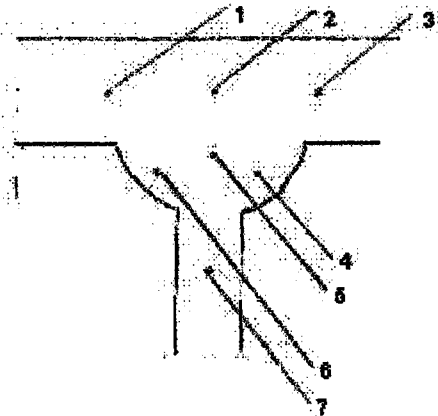
| Ölçüm Yapılan Nokta | Ölçüm Değeri (HV) |
|---------------------|-------------------|
| 1                   | 115               |
| 2                   | 122               |
| 3                   | 159               |
| 4                   | 131               |
| 5                   | 126               |
| 6                   | 155               |
| 7                   | 122               |
| 8                   | 114               |

**Tablo 3.8.** Elektrik ark kaynağı ile kaynatılmış ve kesit alınarak sertlik ölçümü yapılan alın kaynağı.



| Ölçüm Yapılan Nokta | Ölçüm Değeri (HV) |
|---------------------|-------------------|
| 1                   | 148               |
| 2                   | 124               |
| 3                   | 126               |
| 4                   | 149               |
| 5                   | 139               |

**Tablo 3.9.** Gazaltı kaynağı ile kaynatılmış ve kesit alınarak sertlik ölçümü yapılan köşe kaynağı.



| Ölçüm Yapılan Nokta | Ölçüm Değeri (HV) |
|---------------------|-------------------|
| 1                   | 124               |
| 2                   | 129               |
| 3                   | 124               |
| 4                   | 210               |
| 5                   | 150               |
| 6                   | 180               |
| 7                   | 113               |

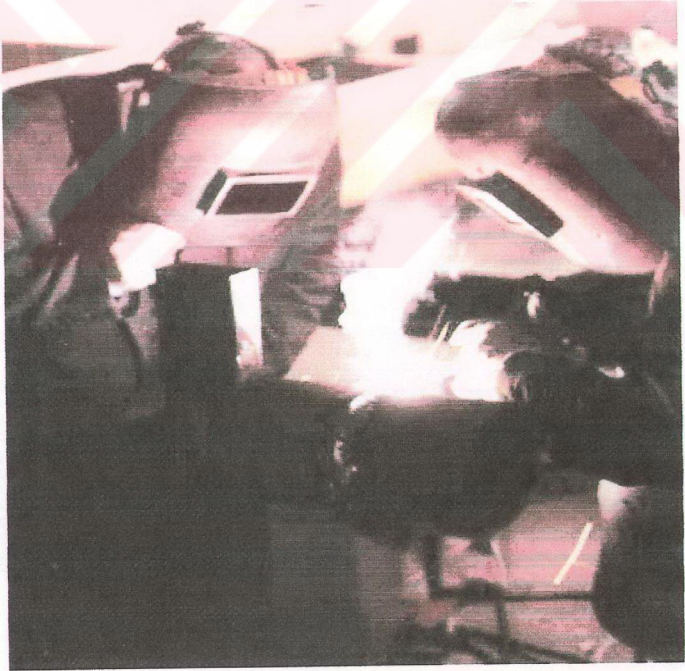


**Tablo 3.10.** Gazaltı kaynağı ile kaynatılmış ve kesit alınarak sertlik ölçümü yapılan alın kaynağı.



| Ölçüm Yapılan Nokta | Ölçüm Değeri (HV) |
|---------------------|-------------------|
| 1                   | 176               |
| 2                   | 118               |
| 3                   | 121               |
| 4                   | 148               |
| 5                   | 149               |
| 6                   | 130               |
| 7                   | 120               |

Testlerden de anlaşılacağı gibi elimizdeki malzemeye göre uygulanan kaynak yöntemi doğrudur ve malzeme yapısında herhangi bir uygunsuzluğa neden olmamaktadır. Bu aşamadan sonra uygulanacak kaynak metodunu raporlayan WPS ( Kaynak Prosedürü Spesifikasyonu ) ve PRQ ( Uygulama Kalifiye Raporu ) lar yazılır (Bkz. Ek-2 ve Ek-3).

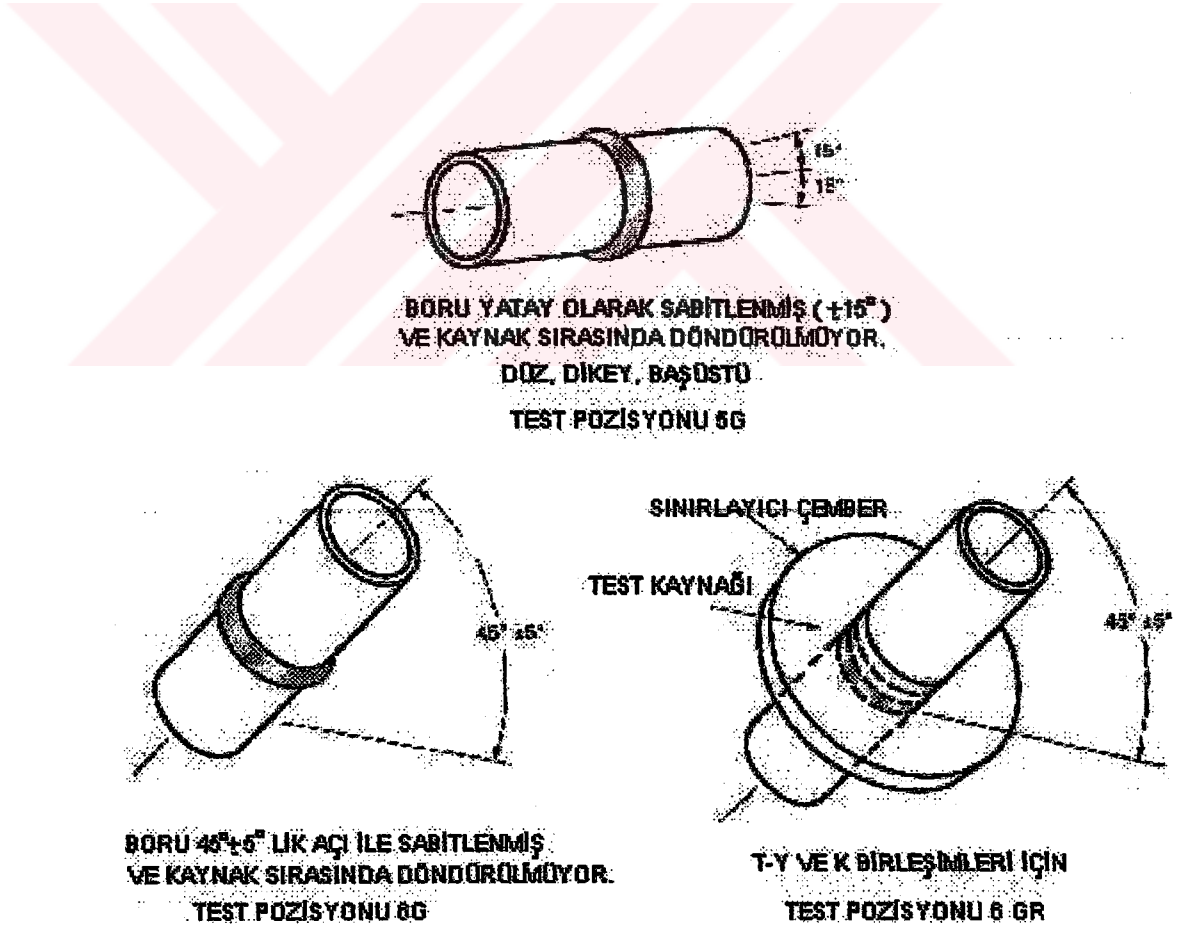


**Şekil 3.1.** 5G pozisyonunda test olan bir boru kaynakçısı.

### 3.2. Kaynakçı Sertifikalandırma

Bu projede yapılan kaynakların %100 ultrasonik kontrollü olmasından dolayı kaynakçıların sertifikalandırılması çok önemlidir. Kaynakçıları Sakarya Üniversitesinden Katamer gözetiminde Prof. Dr. Selahaddin Anık sertifikandırmıştır (Şekil 3.1.).

Kaynakçıların test parçaları ultrasonik veya radyografik muayeneden geçirilir. Kaynak dikişine göz ile muayene yapılır. Penetrant testi uygulanır. Tüm bu kontrollerin sonucu olumlu ise kaynakçı sertifikasını alır. Kaynakçı sertifikalandırma işleminde AWS D1.1. Structural Welding Code 1996 dikkate alınmıştır. Kaynakçıların tamamı aşağıda şekli verilen 5G ve 6G pozisyonlarında sertifikalandırılmıştır (Şekil 3.2.).



Şekil 3.2. AWS D.1.1. Welding Code ile tanımlanmış 5G, 6G ve 6 GR test pozisyonları.

### **3.3. Kaynak Prosedürlerinin Hazırlanması**

Kaynak prosedürleri hazırlama işleminde AWS D 1.1 Structural Welding Code 1996 dikkate alınmıştır. Bu aşamada öncelikle kaynakların WPS'leri ( Kaynak Prosedürü Spesifikasyonu) hazırlanmıştır. Yapılan tüm deneyler; sertlik, çekme, bükme, çentik darbe, makro; PQR'lara ( Uygulama Kalifiye Raporu ) eklenmiştir. PQR'lar ve deney sonuçları uygulanacak kaynak yöntemini, kullanılacak elektrot cinslerini ve özelliklerini ortaya çıkarmıştır. Tüm kaynak işlemleri bu sayede uluslararası standartlara uygun olarak raporlanmış ve kaliteleri belgelenmiştir.

Kaynaklar, tiplerine (köşe, alın v.s.) ve metotlarına (elektrik ark, gazaltı, tozaltı v.s.) göre ayrılarak her bir çeşit kaynak için ayrı ayrı PQR ve WPS hazırlanır.

Kaynak prosedürünün içeriğini üzerinde çalışılan çelik çatının imalatı ve montajı için gerekli teknik zorunluluklar oluşturur.

Kaynak prosedüründe tanımlanan tüm işlemlerin kontrolü I&T Plan (Inspection and Test Plan – Muayene ve Test Planı) doğrultusunda yapılacaktır (Bkz Ek-4).

Uygulanacak kaynak yöntemleri şunlardır ;

- SMAW (Shielded Metal Arc Welding - Elektrik Ark Kaynağı)
- GMAW (Gas Metal Arc Welding - Gazaltı Kaynağı)

Bu projede kullanılan St 37-2 ve eşdeğeri malzemelerin kaynağı için gerekli kaynak elektrotları ve yardımcı malzemeler elektrik ark kaynağı için AWS A.5.1.'de belirtildiği gibi E7018 ve E6010, gazaltı kaynağı için AWS A.5.18.'de belirtildiği gibi E70 S-6 sertifikalı olacaktır.

Bazı elektrotlar kullanılmadan önce 250-300°C'de fırınlanacaktır ve kullanım sırasında özel termoslarda saklanacaktır. Kaynak malzemesi üreticinin sağladığı paketlerde muhafaza edilecektir.

Elektrotların saklandığı yer nem almamalıdır ve üreticinin önerdiği minimum koruma koşullarına uygun olmalıdır.

Kaynak işleminden önce yapılan hazırlıklarla WPS'lerde aşağıdaki tüm şartlar sağlanmalıdır ;

- Kullanılacak özel bir proses veya prosesler bileşiminin kaynaktan önce belirlenmesi gereklidir. Uygun manuel veya yarı otomatik proseslerden biri belirtilmelidir.
- Kaynak prosedürünün uygulanacağı boruların çapları ve malzemenin et kalınlığı belirtilmelidir.
- Kaynak ağız detaylarını gösteren şekiller kullanılmalıdır. Kaynak açısı ve birleştirilen malzemelerin arasındaki boşluk belirtilmelidir. Köşe ve alın kaynaklarının şekli ve kaynak kalınlığı gösterilmeli, eğer altlık kullanılacaksa belirtilmelidir. Y, T ve K birleşimlerinde kaynak ağızları AWS D.1.1.'e göre dizayn edilecektir.
- Dolgu malzemesinin özellikleri kaynak pasolarının adetleri belirtilmelidir.
- Akım, kutuplanma, voltaj ve akım şiddeti gibi elektriksel özellikler her bir paso ve kullanılan elektrot veya tel için ayrı ayrı belirtilmelidir.
- Kaynak pozisyonu ve doğrultusu belirtilmelidir.

Kaynak işlemi rüzgar, yağmur ve kar gibi kötü hava koşullarına maruz ortamlarda yapılmayacaktır. Islak yüzeyler kaynak edilmeyecektir.

Her çeşit kaynakta %100 gözle muayene yapılarak raporlanacaktır.

K, Y, T birleşimlerinde ve alın kaynaklarında kök pasolarında %100 penetrant testi uygulanacaktır. Dolgu pasolarından sonra bu kaynaklarda % 100 ultrasonik ve % 50 manyetik parçacık testleri uygulanacaktır.

Kaynak içindeki çatlakların tamamı tamir edilecektir. Porozite ve gözeneklerin 1,5mm genişliğinden büyük olanları ve genişliği ne olursa olsun sürekliliği 20mm'den büyük olanları tamir edilecektir. Kaynaklardaki undercut hatalarının 0,5mm'den derin olanları tamir edilecektir.

Kaynakçıların tamamı yaptıkları kaynakların kenarına kendi numaralarını vuracaklardır. Tüm kaynakçıların test sonuçları raporlanarak çıkan hatalar ve yapılan tamirler raporlanacaktır.

Kaynak prosedürüne ayrıca kaynakçıların sertifikalandırılmasının nasıl olması gerektiği dahil edilmiştir (Bkz Bölüm 3.2.).

### 3.4. Kaynak Kontrol Prosedürlerinin Hazırlanması

İmal edilen makasların kaynakları için %100 ultrasonik ve %50 manyetik parçacık testi uygulanması öngörülmüştür.

#### 3.4.1. Ultrasonik test prosedürü

Prosedür kodu : ELT. KÜSS. U.T.

Malzeme : 13 Adet çatı makası

Ultrasonik alet : Marka : Krautkramer

Model : USN 52

Seri No : 622112

Prob tipi :

Krautkramer marka

1) MWB60 N4 8x9mm

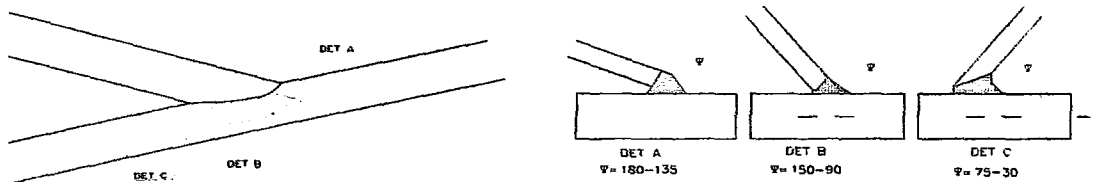
2) MWB70 N4 8x9mm

Automatic marka

1) 5 MHz  $\phi$ 13mm

Kaynak tipleri ve test oranı :

Kaynaklar 273x16mm boruya 193mm çapında 5-6,3-8-10-12,5mm kalınlıklarındaki boruların K,Y ve T birleşimleri şeklindedir. Kaynaklar %100 kontrol edilecektir.



Şekil 3.3. Ultrasonik test yapılacak kaynak tipleri

Markalama : Ekteki çizim ve liste (Şekil 3.8.).

Test yüzeyleri : Makine ile temizlenmiş.

Temas sıvısı : Tutkal (Gliserin esası).

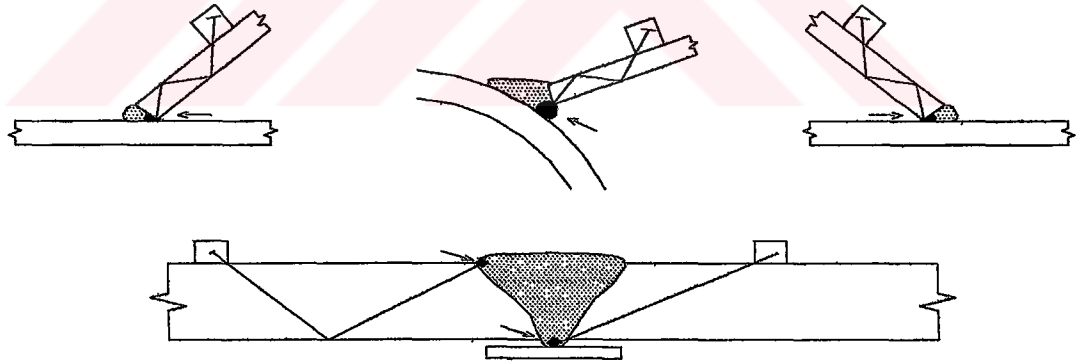
Teknik :

A) Şüphelenilen yerlerde laminasyon testi. Normal Probla (Automatic 5 MHz  $\phi$ 13mm) kontrol.

B) Alın kaynaklarında (16mm) doğrudan temas  $60^\circ$  ve  $70^\circ$  açılı Prob (4 MHz) ile kontrol.

C) Y , K ve T birleşimlerinde doğrudan temas  $60^\circ$  ve  $70^\circ$  açılı Prob (4 MHz) ile kontrol.

Kalibrasyon : Cihazın yatay ekranı V2 bloğunda ayarlanacak. Dikey ekran ayarları için Y, K, T şeklindeki kaynaklı bağlantılar üzerinde kontrol yapılacak üç bölgeden kesitler alınıp test numuneleri hazırlanmıştır. Bu numunelere göre D.A.C. eğrileri oluşturulup cihazın hafızasına yerleştirilmiştir. CHS 273x16 mm alın kaynakları için ayrı bir numune hazırlanmıştır. Ve bu numuneye göre ayrı bir D.A.C. eğrisi daha hazırlanmıştır. Hata derinlikleri zorunluluklar yüzünden 3mm olarak açılmıştır. 273x16mm alın kaynağı için referans hata çapı 2,5mm olarak hazırlanmıştır.



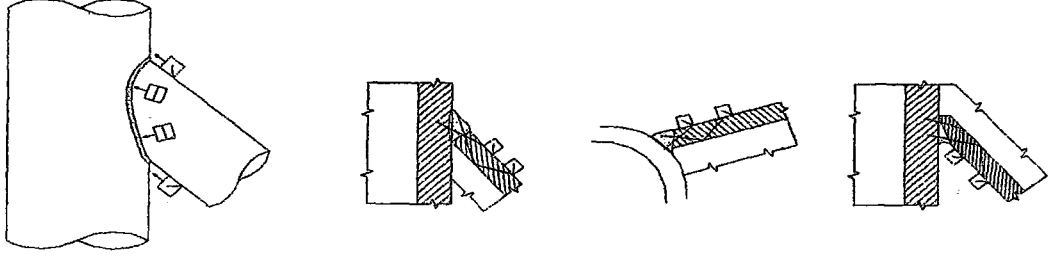
Hazırlanan 4 D.A.C. eğrisi hafızaya alındı. Kontroller 6 dB arttırılarak yapılacak.

**Şekil 3.4.** Ultrasonik test için değişik bölgelerden kesitler alınmış ve test cihazının kalibrasyonu için gerekli 1mm çapında delikler açılmış numuneler.

**Tablo 3.11.** Ultrasonik test aletinin hafızasına kaydedilmiş olan kalibrasyon verileri.

| Hafıza Kodu | Prob    | Açı        |      | Kristal Boyutu | Bölüm 1.02 D AC Kazançları | Bölüm 1.03 Kontrol Kazanç Değerleri |
|-------------|---------|------------|------|----------------|----------------------------|-------------------------------------|
| ELT P1      | MWB70N4 | $70^\circ$ | 4MHz | 8 x 9mm        | 60 dB                      | 66 dB                               |
| ELT 60 / 6  | MWB60N4 | $60^\circ$ | 4MHz | 8 x 9mm        | 60 dB                      | 66 dB                               |
| ELT 70 / 16 | MWB70N4 | $70^\circ$ | 4MHz | 8 x 9mm        | 70 dB                      | 76 dB                               |
| ELT 60 / 16 | MWB60N4 | $60^\circ$ | 4MHz | 8 x 9mm        | 55 dB                      | 61 Db                               |

Tarama yönü ve kapsamı : Aşağıda şematik olarak çizilen teknik kullanılmıştır.



**Şekil 3.5.** Ultrasonik test yapılacak kaynakların tarama teknikleri.

Raporlama : Bulunan bütün süreksizlikler kayıt edilecek. Kabul red kriteri olarak Teknik Şartname'nin 11.5.2.ci maddesindeki değerler kullanılacaktır. Tamir gerektiren kaynaklar tamir sonrası tekrar kontrol edilecektir.

#### 3.4.2. Manyetik parçacık test prosedürü

Prosedür kodu : ELT. KÜSS. M.T.

Malzeme : 13 Adet Çatı makası

Test standardı : EN 1291

Manyetik parçacık Marka : Tiede

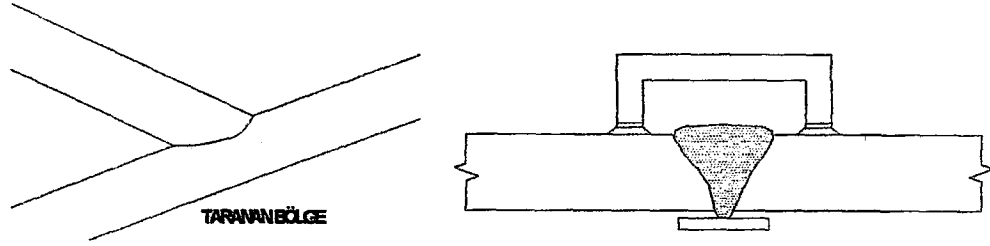
Test cihazı : Model : TWM

Seri No : 743852

Manyetizasyon : Nal tipi, ayak açıklığı ayarlanabilir aparat

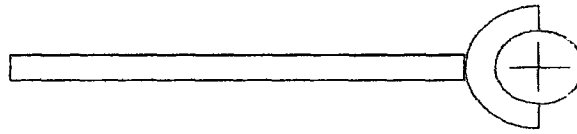
Kaynak tipleri ve test oranı :

Kaynaklar 273 x 16mm boruya 193mm pında 5-6,3-8-10-12,5 mm kalınlıklarındaki boruların K, Y ve T birleşimleri şeklindedir. Ayarlanabilir ayaklar K, Y ve T birleşimlerinin %50'sini kontrol etmeye uygundur.



**Şekil 3.6.** Manyetik parçacık testi için uygun olan kaynak bölgesi ve test aleti.

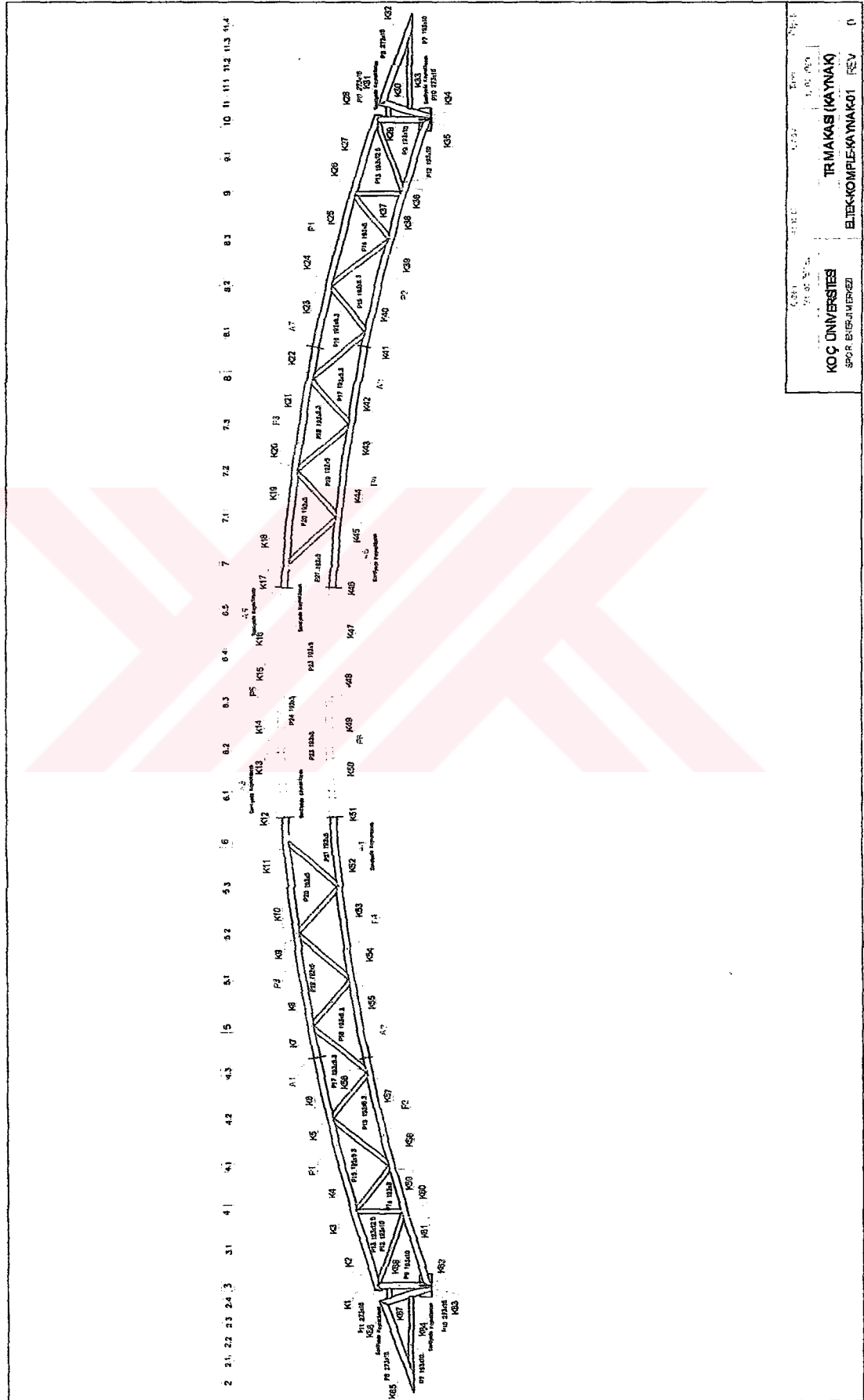
- Markalama** : Ekteki çizim ve liste (Şekil 3.8.).
- Test yüzeyleri** : Makine ile temizlenmiş.
- Kontrast spray** : ELY. White Contrast Paint 712 Code 2614
- Manyetik parçacık tipi** : Sulandırılmış siyah tip.:ELY. White Contrast Paint 712 Code 2614
- Teknik** :
- 1) Çanak fırça ile temizlenmiş yüzeylere beyaz fon sıkılır.
  - 2) Parçacıklar kalibrasyon parçası yüzeyine püskürtülür. Manyetik alan yaratılarak gözle izlenir. Kalibrasyon parçası üzerindeki hata görülebiliyorsa kaynağın kontrolüne aynı şekilde devam edilir.
- Kalibrasyon** : Üzerinde gözle görülmeyen “+” şeklinde hata olan standart parça.



**Şekil 3.7.** Manyetik parçacık testinde kullanılan kalibrasyon parçası.

**Raporlama** : Bulunan bütün süreksizlikler kayıt edilecek. Kabul red kriteri olarak Teknik Şartname'nin 11.5.2.ci maddesindeki değerler kullanılacaktır. Tamir gerektiren kaynaklar tamir sonrası tekrar kontrol edilecektir.





|   |                 |          |
|---|-----------------|----------|
| KOÇ ÜNİVERSİTESİ<br>SPOR BİLİMLERİ VE<br>FİZİKSEL EĞİTİM BÖLÜMÜ | TRAKYA (KAYNAK) | Revizyon |
| ELJEK-KOMPLEKSYONAK-01  | REV             | 0        |

Şekil 3.8. Kontrol edilecek kaynakların numaralandırılması .

**Tablo 3.12. Ultrasonik ve Manyetik Parçacık testi için Y,T,K bağlantıları listesi.**

| KAYNAK NO | Bölüm 1.04 KAYNATILAN PARÇALAR |
|-----------|--------------------------------|
| K1        | P1 (273x16) + P11 (273x16)     |
| K2        | P1 (273x16) + P12 (193x10)     |
| K3        | P1 (273x16) + P13 (193x12.5)   |
| K4        | P1 (273x16) + P14 (193x8)      |
| K5        | P1 (273x16) + P15 (193x6.3)    |
| K6        | P1 (273x16) + P16 (193x6.3)    |
| K7        | P3 (273x16) + P17 (193x6.3)    |
| K8        | P3 (273x16) + P18 (193x6.3)    |
| K9        | P3 (273x16) + P19 (193x5)      |
| K10       | P3 (273x16) + P20 (193x5)      |
| K11       | P3 (273x16) + P21 (193x5)      |
| K12       | P3 (273x16) + P22 (193x5)      |
| K13       | P5 (273x16) + P23 (193x5)      |
| K14       | P5 (273x16) + P24 (193x5)      |
| K15       | P5 (273x16) + P24 (193x5)      |
| K16       | P5 (273x16) + P23 (193x5)      |
| K17       | P3 (273x16) + P22 (193x5)      |
| K18       | P3 (273x16) + P21 (193x5)      |
| K19       | P3 (273x16) + P20 (193x5)      |
| K20       | P3 (273x16) + P19 (193x5)      |
| K21       | P3 (273x16) + P18 (193x6.3)    |
| K22       | P3 (273x16) + P17 (193x6.3)    |
| K23       | P1 (273x16) + P16 (193x6.3)    |
| K24       | P1 (273x16) + P15 (193x6.3)    |
| K25       | P1 (273x16) + P14 (193x8)      |
| K26       | P1 (273x16) + P13 (193x12.5)   |
| K27       | P1 (273x16) + P12 (193x10)     |
| K28       | P1 (273x16) + P11 (273x16)     |
| K29       | P11 (273x16) + P9 (193x10)     |
| K30       | P10 (273x16) + P9 (193x10)     |
| K31       | P10 (273x16) + P8 (273x16)     |
| K32       | P8 (273x16) + P7 (193x10)      |
| K33       | P10 (273x16) + P7 (193x10)     |
| K34       | P10 (273x16) + P11 (273x16)    |
| K35       | P2 (273x16) + P11 (273x16)     |
| K36       | P2 (273x16) + P12 (193x10)     |
| K37       | P2 (273x16) + P13 (193x12.5)   |
| K38       | P2 (273x16) + P14 (193x8)      |
| K39       | P2 (273x16) + P15 (193x6.3)    |
| K40       | P2 (273x16) + P16 (193x6.3)    |
| K41       | P2 (273x16) + P17 (193x6.3)    |
| K42       | P4 (273x16) + P18 (193x6.3)    |
| K43       | P4 (273x16) + P19 (193x5)      |
| K44       | P4 (273x16) + P20 (193x5)      |
| K45       | P4 (273x16) + P21 (193x5)      |
| K46       | P6 (273x16) + P22 (193x5)      |
| K47       | P6 (273x16) + P23 (193x5)      |
| K48       | P6 (273x16) + P24 (193x5)      |
| K49       | P6 (273x16) + P24 (193x5)      |
| K50       | P6 (273x16) + P23 (193x5)      |
| K51       | P6 (273x16) + P22 (193x5)      |
| K52       | P4 (273x16) + P21 (193x5)      |
| K53       | P4 (273x16) + P20 (193x5)      |
| K54       | P4 (273x16) + P19 (193x5)      |
| K55       | P4 (273x16) + P18 (193x6.3)    |
| K56       | P2 (273x16) + P17 (193x6.3)    |
| K57       | P2 (273x16) + P16 (193x6.3)    |
| K58       | P2 (273x16) + P15 (193x6.3)    |
| K59       | P2 (273x16) + P14 (193x8)      |
| K60       | P2 (273x16) + P13 (193x12.5)   |
| K61       | P2 (273x16) + P12 (193x10)     |
| K62       | P2 (273x16) + P11 (273x16)     |
| K63       | P11 (273x16) + P10 (273x16)    |
| K64       | P10 (273x16) + P7 (193x10)     |
| K65       | P8 (273x16) + P7 (193x10)      |
| K66       | P10 (273x16) + P8 (273x16)     |
| K67       | P10 (273x16) + P9 (193x10)     |
| K68       | P11 (273x16) + P9 (193x10)     |

**Tablo 3.13. Ultrasonik ve Manyetik Parçacık testi için alın kaynakları listesi.**  
Bu listeler her makas için ayrı ayrı hazırlanır.

| KAYNAK NO | KAYNATILAN PARÇALAR       |
|-----------|---------------------------|
| A1        | P1 (273x16) + P3 (273x16) |
| A2        | P2 (273x16) + P4 (273x16) |
| A3        | P3 (273x16) + P5 (273x16) |
| A4        | P4 (273x16) + P6 (273x16) |
| A5        | P3 (273x16) + P5 (273x16) |
| A6        | P4 (273x16) + P6 (273x16) |
| A7        | P1 (273x16) + P3 (273x16) |
| A8        | P2 (273x16) + P4 (273x16) |

#### **4. İMALAT HAZIRLIKLARI**

Malzemeler Kartal Bombe ve ELTEK Atölyesine gelmeye başladıktan sonra imalat için gerekli hazırlıklar yapılmaya başlanmıştır. Bunlar sırasıyla şöyledir :

- Boruların bükülmesi
- Numune parçaların hazırlanması
- Boru kesim listelerinin hazırlanması
- Boru kurtajı alıştırma şablonlarının hazırlanması
- Makas imalat tezgahının kurulması
- Aşık ve çapraz imalat kalıplarının hazırlanması

##### **4.1. Boruların Bükülmesi**

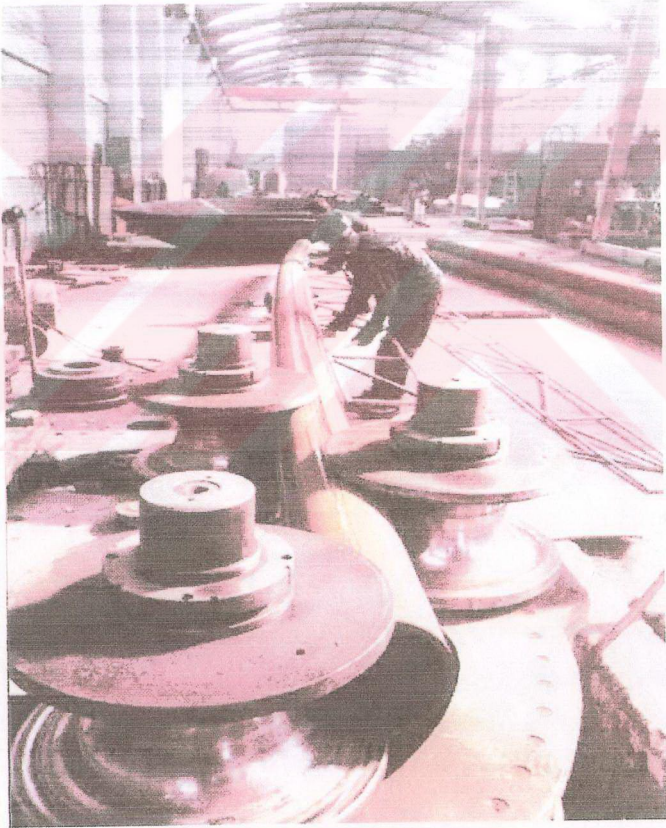
British Steel' den temin edilen boruların  $\varnothing 273 \times 16$  mm olan alt ve üst başlıkları bükümlü formu vermek amacıyla Gebze- Kartal Bombe'de bükülmüştür. Büküm işlemi sırasında borularda herhangi bir ovalleşmenin olmasını engellemek amacıyla boruları eksenlerine kadar saran merdaneler kullanılmıştır. Boruların büküm aşamasında tek bir düzlem içinde kalmalarını sağlamak için büküm makinasının önüne ve arkasına yükseklik ayarlı rulolar konulmuştur.

Boruların her birinin büküm çaplarının aynı olması gerekmektedir. Eğer bu sağlanamazsa imalat tezgahına konulamayacak olan borular problem çıkaracaktır. Büküm işlemi sırasında boru malzemesi içindeki homojensizlik kendisini büküm çapının istenilenden büyük veya küçük olması şeklinde gösterir. Bu durum bazen aynı borunun birkaç defa bükme makinasına sokulmasına neden olur.

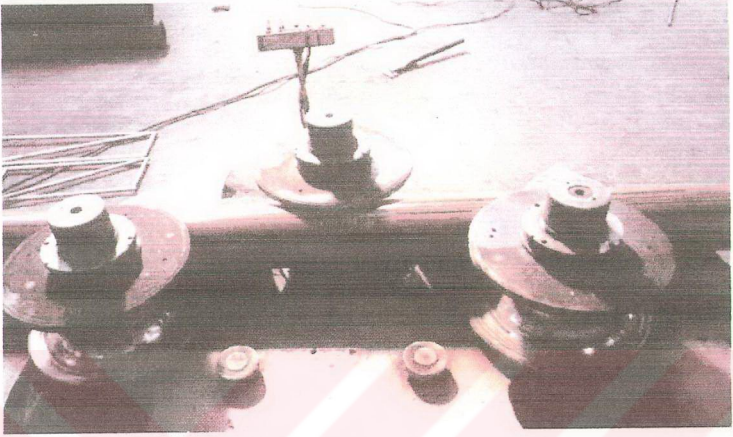
Bu nedenle büküm çapları farklı olan üst ve alt başlıklar için ince etli kutu profilden büküm şablonları hazırlanmıştır. Bu şablonlar; yaklaşık 130 adet 12 mt boru kontrol

edileceđi için deforme olmamaları amacıyla makas Őeklinde hazırlanmıŐtır (Őekil 4.1.).

Bükülen borular %100 Őablonlar ile kontrol edilmiŐtir. Üst ve alt baŐlık boruları “ Ü “ ve “ A “ harfleriyle sođuk markalanmıŐtır. Makinada merdaneler arasındaki ~75 cm’lik boŐluk nedeniyle boruların baŐından ve sonundan bükülemeyerek düz kalmıŐ bölümler imalat aŐamasında kesilmiŐtir (Őekil 4.2.).



**Őekil 4.1.**  $\phi 273 \times 16$  mm boruların bükülmesi iŐlemi. Borular bükülürken önceden hazırlanmıŐ Őablonlar ile kontrolleri yapılır.



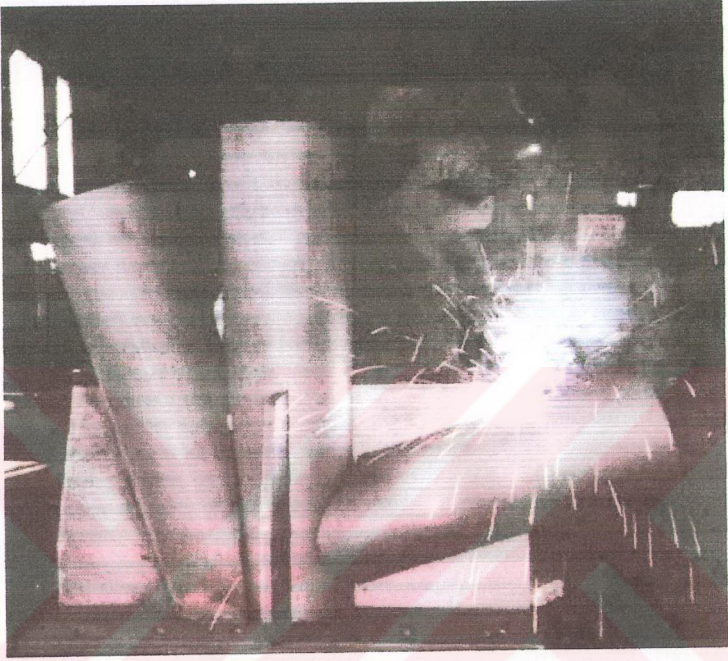
**Şekil 4.2.** Boruların bükülmesi işleminde merdaneler arası boşluk nedeniyle iki başta ~75'er cm düz kalır.

#### **4.2. Numune Parçaların Hazırlanması**

İmalat başlamadan önce bazı karışık detaylar 1:1 ölçek ile orijinal malzemeye sadık kalınarak hazırlanmıştır. Bunun iki nedeni vardır ;

- İmalatta karşılaşılabilecek bazı problemler önceden saptanarak çözümler numune parçalar üzerinde uygulanır ve sonuçlar kontrol edilebilir.
- Bu tür karışık detaylar özen ile hazırlanacağı için imalatta çalışan elemanlara örnek teşkil ederler. Böylece imalat hataları en aza indirgenir.

Numune parçalar hazırlanırken aynı parçadan iki adet hazırlanmıştır. Parçalardan biri kaynatılmış diğeri kaynak ağzı açılmış puntalı olarak bırakılmıştır. Böylece bir parçada kaynağı incelemek ve örnek olarak kaynakçılara göstermek mümkünken diğeri parçada kaynak ağzı ve imalat özelliklerini çalışanlara göstermek mümkün olmaktadır (Şekil 4.3. ve 4.4.).



**Şekil 4.3.** Makasların taban plakası birleşiminden bir numunenin kaynatılması işlemi. Kaynak sonucunda taban plakasının aşırı çektiği gözlenmiştir. Bu olumsuzluğu gidermek için taban plakaları altına kaynak sırasında takılmak üzere kalın sactan bir kalıp hazırlanmıştır ve kaynak çekmesi engellenmiştir.



**Şekil 4.4.** Makas üzerinde bir düğüm noktasının kaynak ağzı detayını gösteren numune parça.

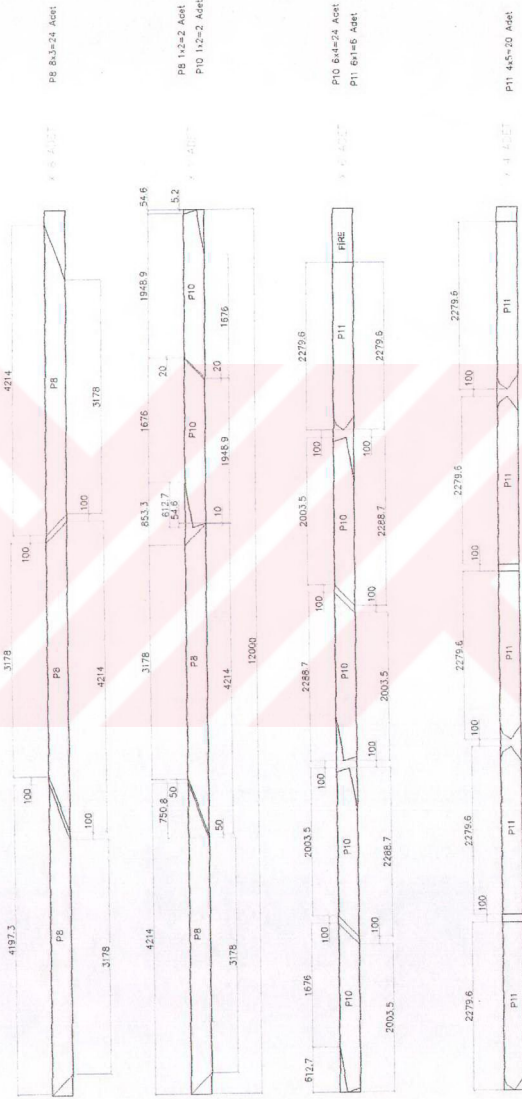
### **4.3. Boru Kesim Listelerinin Hazırlanması**

British Steel'den alınan boruların imalat aşamasında en az fire ile kullanılması çok önemlidir. Boruların istenilen ölçülerde ve minimum fire ile kesilmesi için kesim kombinasyonları yapılmıştır. Bu kombinasyon listeleri sayesinde boyları birbirine çok yakın olan boruların adetleri karıştırılmamıştır. Bu tür kombinasyon listeleri esnek çalışma şartlarındaki atölyelerde iş takibini kolaylaştırmakta ve hata oranını düşürmektedir. Aksi halde yapılacak en küçük karışıklık telafisi çok zor ve masraflı sonuçlar doğurabilir. Yapılacak kombinasyonların kolay anlaşılır olmasına özellikle dikkat edilmiştir.

Boru kesimleri açılı olduğu ve daha sonra tornada kurtağzı alıştırması yapılacağı için kombinasyonlarda açılar ölçü olarak verilmiştir. Bu sayede borular ilk kesimlerinden sonra tornaya direkt olarak bağlanmışlardır. İşçilik ve zamandan kazanç sağlanmıştır. Listeler AutoCAD ortamında çizildiği için gerçek kesim ölçülerine ve boru boylarına sadık kalınmıştır. Tüm listeler kolaylıkla uygulanmıştır.



ø 273x16

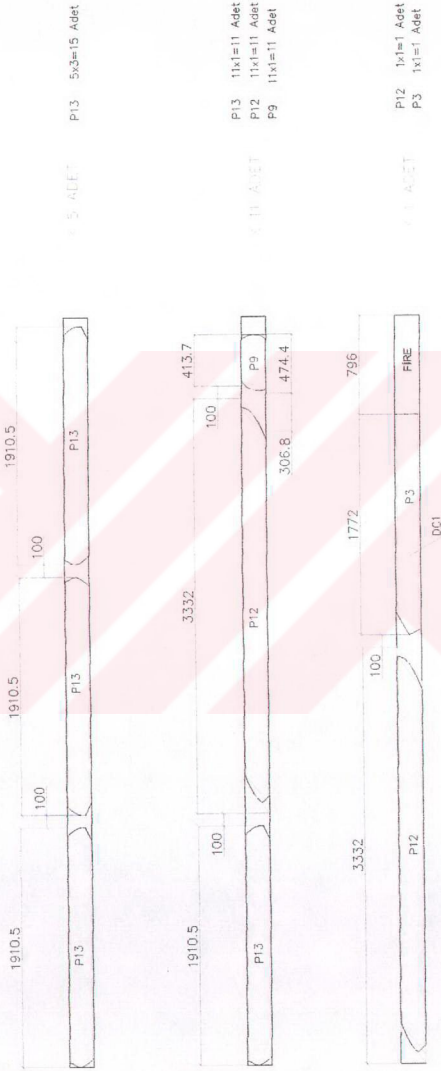


19 ADET

Borular 12m'dir.

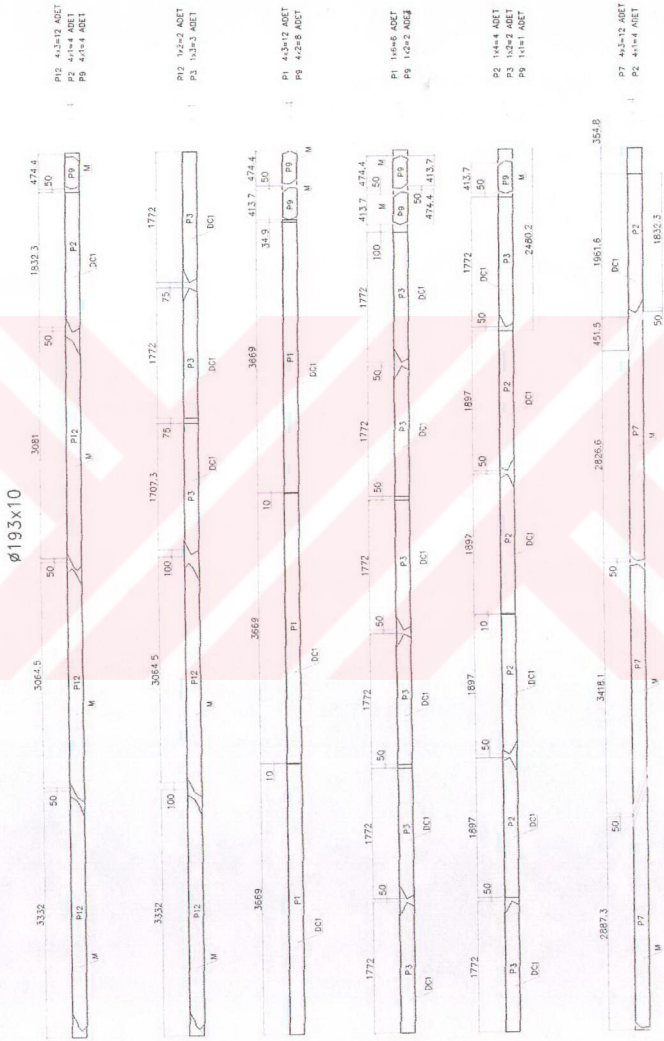
Şekil 4.5. ø273x16 mm boruların kesim kombinasyonu.

Ø193x12.5



17 ADET  
Borular 6m' dir.

Şekil 4.6. Ø193x12,5 mm boruların kesim kombinasyonu.



**Şekil 4.7.**  $\phi 193 \times 10$  mm boruların kesim kombinasyonu.

Ø193x8



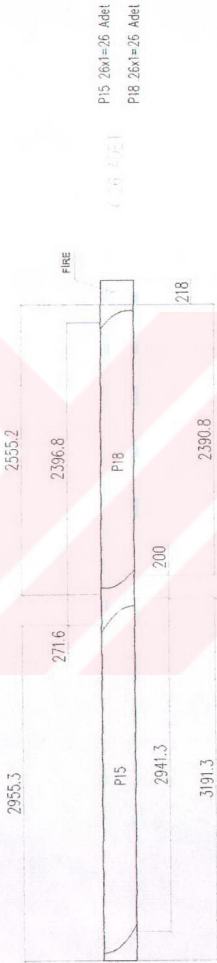
13 ADET P14 13x2=26 Adet

13 ADET

Borular 6m'dir.

Şekil 4.8. Ø193x8 mm boruların kesim kombinasyonu.

Ø193x6.3



52 ADET

Proje No: 10/11

Şekil 4.9. Ø193x6,3 mm boruların kesim kombinasyonu.

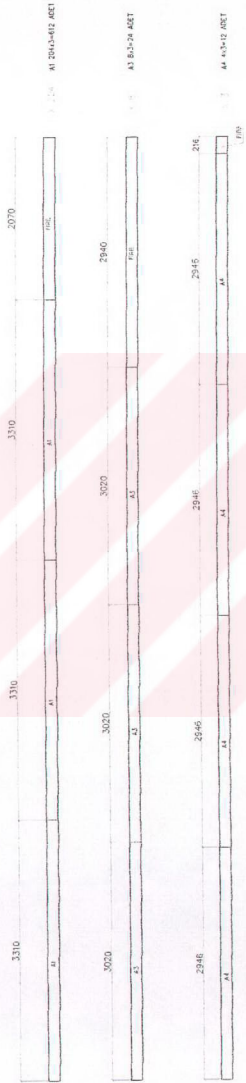
Ø193x5



78 ADET  
Borular 6m'dir.

Şekil 4.10. Ø193x5 mm boruların kesim kombinasyonu.

Ø139,7x5



215 ADET  
Borular 12m'lik

Şekil 4.11.  $\phi 139,7 \times 5$  mm boruların kesim kombinasyonu.

$\phi 114,3 \times 5$



A2 6.6=54 ADET

6 ADET

Borular 6m 'dir.

Şekil 4.12.  $\phi 114,3 \times 5$  mm boruların kesim kombinasyonu.



ø60.3x5



Bunlar 12m dir.

Şekil 4.13. ø60,3x5 mm boruların kesim kombinasyonu.

ø60,3x5



4870.4 ADET P/002  
4870.4 ADET P/002

504.0 ADET P/002, P/004-1  
504.0 ADET P/002

414.0 ADET P/004-1  
414.0 ADET P/004-1

414.0 ADET P/002  
414.0 ADET P/002

184.0 ADET P/002  
184.0 ADET P/002  
184.0 ADET P/002

50.0 ADET P/002  
50.0 ADET P/002

230.3 ADET P/002  
230.3 ADET P/002  
230.3 ADET P/002

184.0 ADET P/002  
184.0 ADET P/002

184.0 ADET P/002  
184.0 ADET P/002-1

72 ADET  
Borular 12m Yık.

Şekil 4.14. ø60,3x5 mm boruların kesim kombinasyonu.

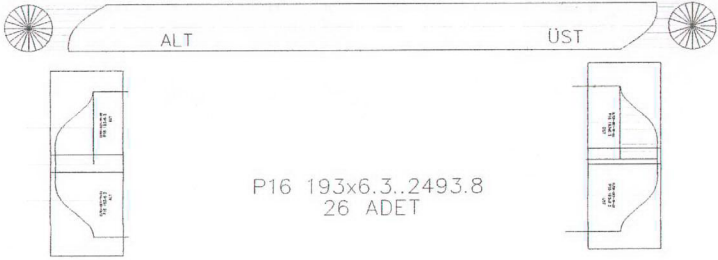
#### 4.4. Boru Kurtağızı Alıştırma Şablonlarının Hazırlanması

Aynı pozlu boruların kurtağızlarının açılması için şablon hazırlanması şarttır. Bunun için bilgisayarda 1:1 ölçekli çizilen makastan çekilen boruların kurtağızı açılımları alınır. Dikkat edilecek nokta; et kalınlığı fazla olan ve kaynak ağızı açılacak olan boruların iç ve dış yüzeylerinin farklı açılımlara sahip olmasıdır.



**Şekil 4.15.** Uygun kaynak ağızı açılarak hazırlanan 68 adet ayrı kurtağızı numunesi .

Bilgisayardan alınan çıktılar önce kartonların üzerine çizilir ve poz numaraları kartonun üzerine yazılır (Şekil 4.16.). Daha sonra kartondan açılımlar yumuşak tenekelere aktarılır. Bu tenekeler boruların üzerine sarılarak kesim profili çizilir. Böylece hatasız bir kesim için her şey sağlanmış olur. Bu yöntem öncelikle sayısı 68'i bulan kaynak ağızı açılmış numuneleri yaparken kullanıldı. Açık ve kaynak ağızı kontrolleri yapılan numuneler daha sonra tornada açılacak kurtağızlarının doğruluklarının kontrolünde kullanılırlar.



**Şekil 4.16.** Bilgisayardan alınan bir kurtağzı açılımı.

#### 4.5. Makas İmalat Tezgahının Hazırlanması

Böyle bir makasın doğru yapılmasının tek yolu çok hassas bir imalat tezgahının kurulmasıdır. Bu tezgahın üzerinde tüm parçaları ve plakaları ile bir makas tam olarak çatılabilmeli, ölçü kontrolleri ve kaynak işlemi rahatlıkla yapılabilmelidir.

Yapılacak tezgah dayamalı tip tezgahtır, yani konulacak tüm parçaların birden fazla dayaması vardır ve bu dayamalar ölçü hatlarını engellemenin yanısıra kaynak işlemi sırasında makasın deforme olmasını engellemektedir. Makaslar ile üzerlerindeki plakalar çok iyi irdelenerek tezgahı oluşturan profillerin ve dayamaların yerleri çok iyi seçilmiştir. Tezgahın yüksekliği 80 cm yapılarak makasın üst ve alt tarafındaki kaynaklar dahil tüm elemanların rahat pozisyonda kaynatılabilmesi sağlanmıştır.

Kaynatılan makas boyutsal çekmeye maruz kalır, tezgahın üzerindeki dayamalar nedeniyle kalıp içinde sıkışır eğer tezgah yeterli tolerans ile yapılmazsa kaynaklar yüksek iç gerilmeler nedeniyle henüz soğumadan çatlak veya soğumuş olan kaynaklar ITAB bölgesinden koparlar. Eğer kalıp çatma ölçülerinde ve sıfır tolerans ile imal edilirse makas soğuduktan sonra kalıptan sıkışma nedeniyle çıkartılamayacaktır.

Tüm bu nedenlerden dolayı tezgah bilgisayarda çizilmiştir (Şekil 4.17.-Şekil 4.18.). Kullanılan profillerin yerleri milimetrik olarak ölçülandırılmıştır. Tezgahın boyutları çok büyük olduğu için atölye içine yerleştirilmesi işlemi de bilgisayar yardımıyla yapılmış ve en uygun yerleştirme biçimi seçilmiştir. Tezgah kurulurken teodolit ve nivo kullanılmıştır. Ölçüler defalarca kontrol edilip sağlamaları yapılmıştır.

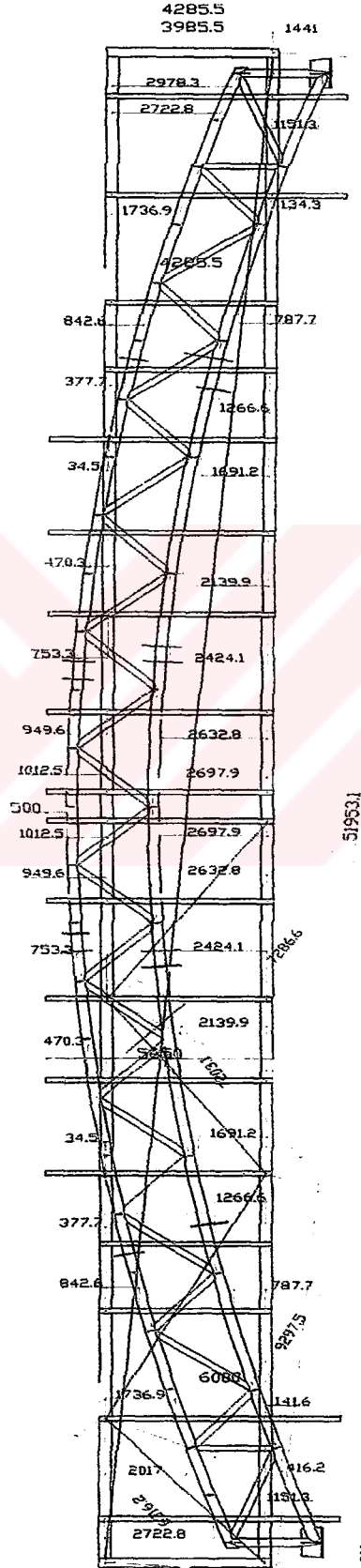
Bu tezgah ile üst ve alt başlıklardaki boru eklerinin detaylarındaki ringlerin boru içlerine geçirilip kaynatılması dahil tüm gerekli birleşimler ve makasın nakliye işlemi için gerekli olan 3 parçaya ayrılması işlemleri rahatlıkla yapılabilmektedir.

#### **4.6. Aşık ve Çapraz İmalat Kalıplarının Hazırlanması**

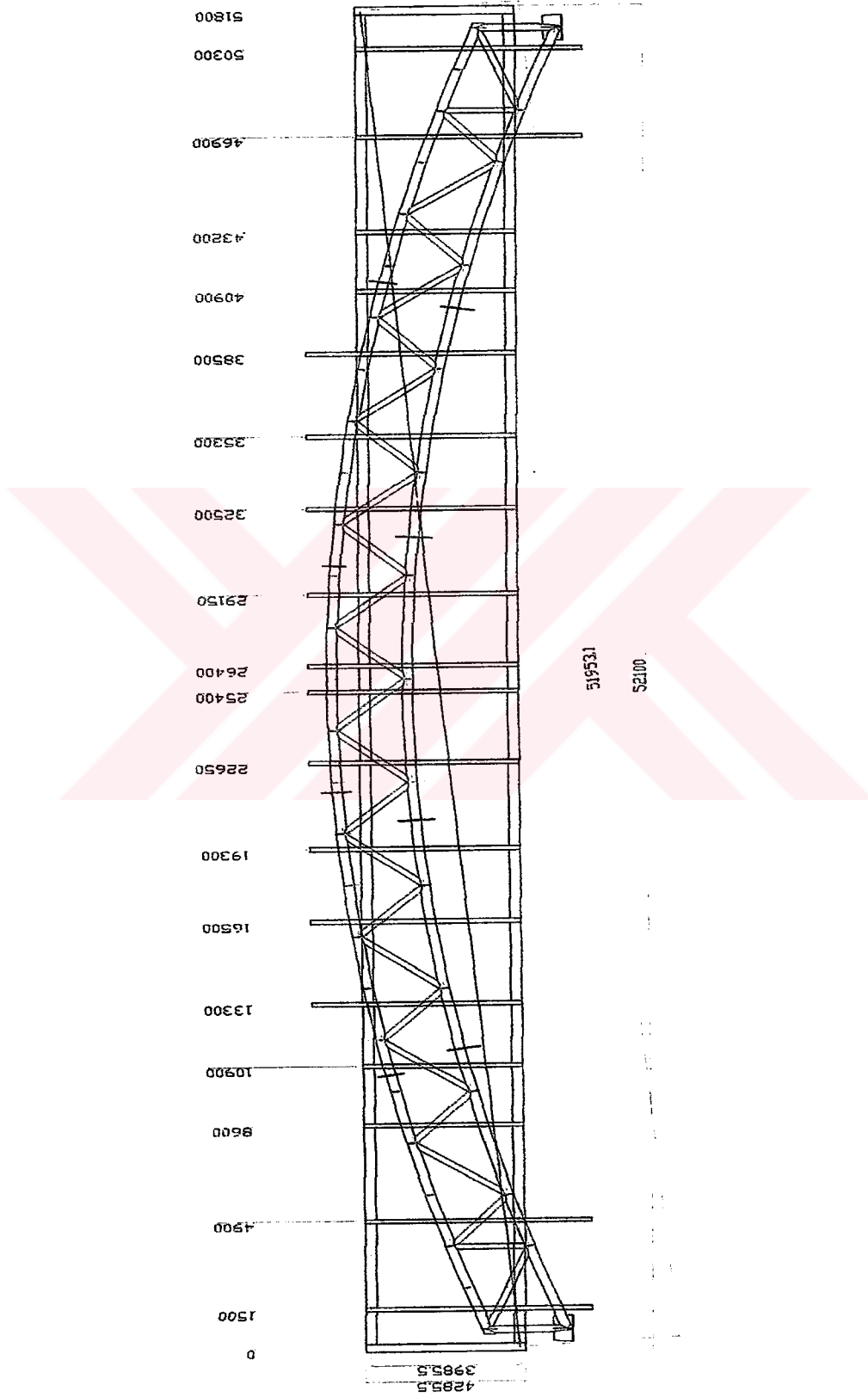
Projede toplam 4 tip aşık, 3 tip düşey çapraz ve 15 tip yatay çapraz vardır. Aşıklar için pimli tip imalat kalıpları hazırlanmıştır. Bu kalıplar aşığın bağlanacağı net ölçülerde ve iki başta delikli plakaların olduğu kalıplardır. İki baştaki delikli plakaların arasına önceden olması gereken boyda kesilmiş aşık malzemesi koyulur aşığın bağlantı plakaları kalıbın delikli plakalarına ikişer pim ile bağlanır ve plakalar puntalanır. Böylece bağlantı plakaları arasında bir eksantriklik olmaz ve aynı tipteki tüm aşıklar standart boyda olurlar.

Düşey çaprazların tümü ve yatay çaprazların 2 tipi için dayamalı ve pimli tip imalat kalıpları hazırlanmıştır. Bu kalıplar çaprazın bağlanacağı net ölçülerde ve olması gereken açıda kurulmuştur. Açığı dayamalar ölçüyü ise pim ile çapraza bağlanan plakalar sabitlemektedir. Bu kalıplarda çatılıp puntalanan çaprazların açılarında ve boylarında hiçbir yanlışlık olamaz.

Geriye kalan 13 tip yatay çaprazın imalatı pimli tip imalat kalıplarında yapılmıştır.



Şekil 4.17. Bilgisayarda hazırlanmış makas imalat tezgahı kontrol ölçüleri.



Şekil 4.18. Bilgisayarda çizilip ölçülendirilmiş makas imalat tezgahı ölçüleri.

## 5. İMALAT

### 5.1. Kurtağzı Alıřtırmaları

Makas imalatının yapmak için öncelikle boruları net boylarına keserek kurtağzı alıřtırmalarını yapmak gerekir. Boruların kesimi için gerekli kombinasyonlar 4.3. Boru Kesim Listelerinin Hazırlanması bölümünde anlatılmıřtı. 4.4. Boru Kurtağzı Alıřtırma Şablonlarının Hazırlanması bölümünde anlatılan ve bilgisayar yardımıyla hazırlanmıř şablonlar yardımıyla tornada kurtağzı alıřtırma işlemine başlanır.



Şekil 5.1. Tornada kurtağzı alıřtırılan bir boru.

Sayı 68' i bulan kurtağzı tipleri makası oluřturan borulara teker teker tornada alıřtırılır. Bu işlemde bazı kurtağzı tiplerinin açıları çok fazla olduđu için tornada alınması gereken büyük pasolar karřımıza çıkar. Önceden hazırlanmıř numunelerin üzerlerine ve içlerine tenek şablonlar sarılarak kesilir. Borular bu tenek şablonlarla sarılır ve renkli bir kalem ile çizilir. Üzerleri ve içleri çizilen borular yaklaşık 1cm



pay bırakılarak oksijen ile kesilir. Böylece alınacak pasonun kalınlığı ayarlanmış olur, zaman ve işçilik kaybı en aza indirilir (Şekil 5.1.).

Boruların iki tarafına birden kurtağzı alıştırılacağı için tornaya özel bir bağlama aparatı yapılmıştır. Bu aparat ile hem boruya istenen açı verilebilmekte hem de iki baştaki kurtağzılarının eksantrik açılmasını engellemektedir. Kurtağzı alıştırılan borulara, AWS D.1.1.'de belirtilen tam nüfuziyetli kaynak ağzı detayına uygun, kaynak ağzları taşlama yöntemiyle açılır. Şekil 4.5.'de görülen kurtağzı numuneleri bu işlemi yapan kişiye örnek teşkil ederek yanlış kaynak ağzı açılmamasını sağlar.



**Şekil 5.2.** Kurtağzı alıştırılmış ve kaynak ağzları hazırlanmış borular.

## 5.2. Makas Çatma

Ø 273 x 16 mm olan alt ve üst başlıkları oluşturan bükülmüş borular olmaları gereken boylara kesilerek kaynak ağzları açılır. Makas çatma tezgahına ilk olarak bu borular koyulur. Bu borular koyulurken kaynatılarak eklenecek olanlarının içlerine altlık teşkil etmesi için ringler yerleştirilir (Şekil 5.3.). Kaynatılmayacak üst ve alt başlık ekleri sonra sökülmeğe üzere puntalanır. Daha sonra kurtağzıları alıştırılmış ve kaynak ağzları açılmış ara elemanlar örülür. Tüm parçaların koyulması bir sıraya tabidir ve birbirlerine puntalanırlar. Makası oluşturan her parçanın kaynağı çok

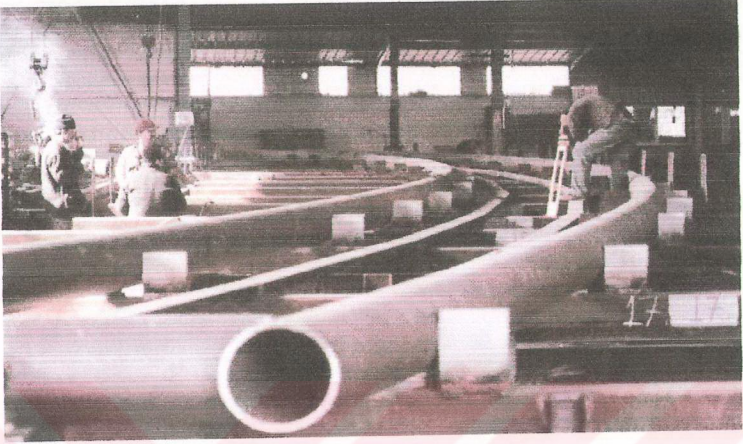
önemli olduğundan parçalar arasında bırakılan kaynak boşluğu büyük titizlikle bu sırada ayarlanır. Bırakılan boşluğun 1mm'den büyük olması durumunda kaynaktaki nüfuziyetsizlik; 5mm'den büyük olması durumunda kök oluşmama gibi problemlerle karşılaşılır. Makas çatılırken dayamalı tip olan çatma tezgahı parçaların tam yerlerine oturmaları için önceden hassas biçimde ayarlandığı için ölçülerde hiçbir hata olmaz.

Şekil 2.1.'de gösterilen ve her makas için çizilen aşık ve çapraz bağlantı plakalarının yerleştirilmesi işlemine geçilir. Bu plakalar makasa dik ve yatay doğrultuda tam yerlerinde olabilmeleri için küçük kalıplar yardımıyla yerleştirilmiştir. Tezgahtaki makasın üst ve alt yüzeyinde kalan plakalar yerleştirildikten sonra kaynak işlemine başlanır.



**Şekil 5.3.** Ø 273 x 16 mm boruların içine ring konularak kaynatılmış kesiti.

Kaynak işlemi ve testleri tamamlandıktan sonra nakliye nedeniyle kaynatılmayan parçaların puntaları kopartılarak makas 3 parça halinde tezgahtan çıkartılır.



**Şekil 5.4.** Üst ve alt başlıkların nivo ile kontrol edilerek çatılması işlemi.

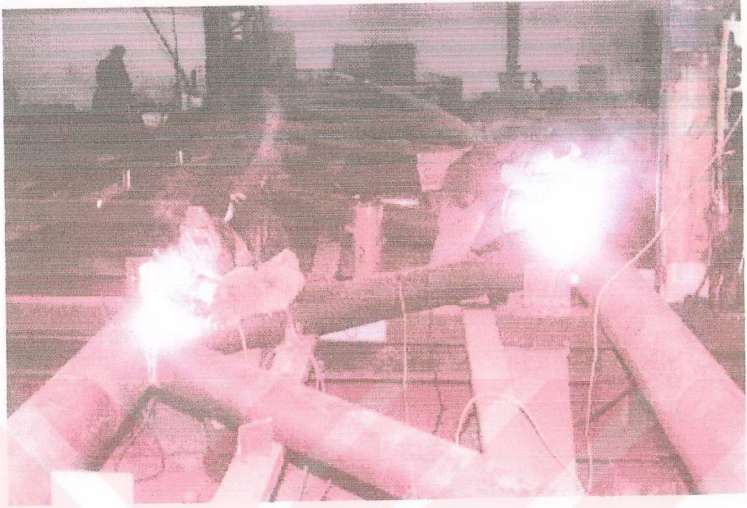
### **5.3. Makas Kaynağı**

Makasların kaynakları çatma tezgahından çıkartılmadan önce tamamlanır. Tüm kaynaklar 3.3. Kaynak Prosedürlerinin Hazırlanması bölümünde ele alınan prosedürlere uygun yapılır. Kaynakçılar 3.2. Kaynakçı Sertifikalandırma bölümündeki esaslara göre sertifikalandırılmışlardır.

Boruların Y, T ve K birleşimlerinde kök pasoda selülozik tip elektrot kullanılmıştır. Böylece hatasız kök elde edilmiştir. Üst pasolarda bazik tip elektrot kullanılmıştır. Böylece istenilen düzeyde fiziksel özellikler elde edilmiştir.

#### **5.3.1. Kaynakların penetrant ile kontrolü**

Yapılan tüm kaynakların kök pasoları penetrant testi ile kontrol edilir. Tamamlanan kök pasolar taşlanarak temizlenir ve bir bez parçası ile silinir. Temizlenen bölgeye sprey BT 68 penetrant sıvı sıkılır. Yaklaşık 10 dakika beklendikten sonra sprey BT 69 temizleyici sıvı bir bez parçasının üzerine sıkılır. Bu bez ile penetrant sıvı güzelce temizlenir. Eğer kaynakta bir çatlak varsa penetrant sıvı bu çatlığa nüfuz edecektir.



**Şekil 5.5.** Çatma tezgahı üzerindeki bir makasın devam eden kaynak işlemi.

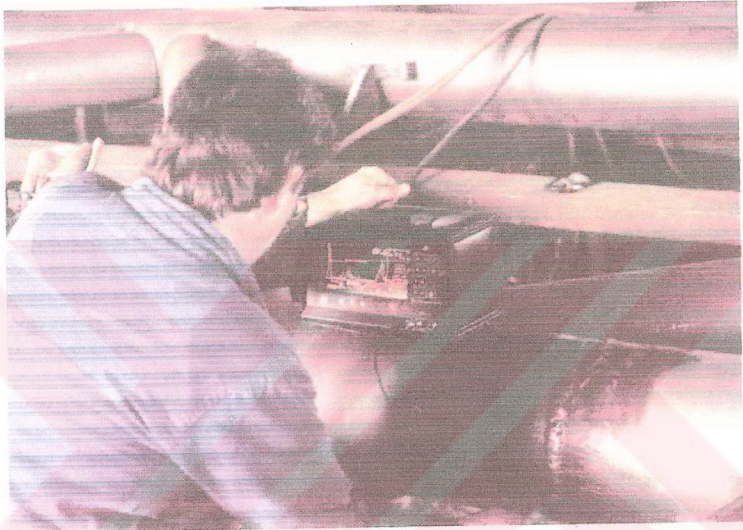
Nüfuz eden penetrant sıvıyı göz ile rahatlıkla görebilmek için spey BT 70 geliştirici kaynak bölgesine ince bir zar şeklinde sıkılır. Birkaç saniye içinde kuruyup beyazlaşan geliştirici eğer varsa çatlaklara nüfuz etmiş kırmızı penetrant sıvının görülmesini sağlar.

Kök pasoda herhangi bir çatlak veya gözenek bulunduğu takdirde bu hatalar ortadan kaldırıncaya kadar taşlanır ve tekrar penetrant testi uygulanır. Hata kalmayan çatlakların üst pasolarının kaynağına devam edilir.

### **5.3.2. Kaynakların ultrasonik kontrolü**

Makasların kaynakları %100 ultrasonik kontrollüdür. 3.4.1. Ultrasonik Test Prosedürü bölümünde anlatılan esaslar ve kalibrasyonlar çerçevesinde gerekli kontroller yapılır. Hata bulunan kaynaklar ve yerleri işaretlenir. Şekil 3.4.1.'deki kaynak numaralarına göre aşağıdaki raporlar doldurulur. Kontrol edilen kaynaklarda bulunan hatalar tamir edildikten sonra yapılan test sonuçları tekrar raporlara işlenir.

Eğer ikinci defa hata bulunuyorsa tekrar hatanın yeri ve derinliği hem kaynağın üzerine hem de raporlara işlenir. Bu işlem hatasız kaynağa erişilene kadar devam eder.



Şekil 5.6. Ultrasonik testi yapılan bir alın kaynağı.

Tablo 5.1. Alın kaynaklarının ultrasonik ve manyetik parçacık testleri için raporlama listeleri

| KAYNAK NO | KAYNATILAN PARÇALAR       | KONTROL SONUCU |
|-----------|---------------------------|----------------|
| A1        | P1 (273x16) + P3 (273x16) |                |
| A2        | P2 (273x16) + P4 (273x16) |                |
| A3        | P3 (273x16) + P5 (273x16) |                |
| A4        | P4 (273x16) + P6 (273x16) |                |
| A5        | P3 (273x16) + P5 (273x16) |                |
| A6        | P4 (273x16) + P6 (273x16) |                |
| A7        | P1 (273x16) + P3 (273x16) |                |
| A8        | P2 (273x16) + P4 (273x16) |                |

**Tablo 5.2. Ultrasonik ve manyetik parçacık testleri için raporlama listeleri.**

| KAYNAK NO | KAYNATILAN PARÇALAR          | KONTROL SONUCU |
|-----------|------------------------------|----------------|
| K1        | P1 (273x16) + P11 (273x16)   |                |
| K2        | P1 (273x16) + P12 (193x10)   |                |
| K3        | P1 (273x16) + P13 (193x12.5) |                |
| K4        | P1 (273x16) + P14 (193x8)    |                |
| K5        | P1 (273x16) + P15 (193x6,3)  |                |
| K6        | P1 (273x16) + P16 (193x6,3)  |                |
| K7        | P3 (273x16) + P17 (193x6,3)  |                |
| K8        | P3 (273x16) + P18 (193x6,3)  |                |
| K9        | P3 (273x16) + P19 (193x5)    |                |
| K10       | P3 (273x16) + P20 (193x5)    |                |
| K11       | P3 (273x16) + P21 (193x5)    |                |
| K12       | P3 (273x16) + P22 (193x5)    |                |
| K13       | P5 (273x16) + P23 (193x5)    |                |
| K14       | P5 (273x16) + P24 (193x5)    |                |
| K15       | P5 (273x16) + P24 (193x5)    |                |
| K16       | P5 (273x16) + P23 (193x5)    |                |
| K17       | P3 (273x16) + P22 (193x5)    |                |
| K18       | P3 (273x16) + P21 (193x5)    |                |
| K19       | P3 (273x16) + P20 (193x5)    |                |
| K20       | P3 (273x16) + P19 (193x5)    |                |
| K21       | P3 (273x16) + P18 (193x6,3)  |                |
| K22       | P3 (273x16) + P17 (193x6,3)  |                |
| K23       | P1 (273x16) + P16 (193x6,3)  |                |
| K24       | P1 (273x16) + P15 (193x6,3)  |                |
| K25       | P1 (273x16) + P14 (193x8)    |                |
| K26       | P1 (273x16) + P13 (193x12.5) |                |
| K27       | P1 (273x16) + P12 (193x10)   |                |
| K28       | P1 (273x16) + P11 (273x16)   |                |
| K29       | P11 (273x16) + P9 (193x10)   |                |
| K30       | P10 (273x16) + P9 (193x10)   |                |
| K31       | P10 (273x16) + P8 (273x16)   |                |
| K32       | P8 (273x16) + P7 (193x10)    |                |
| K33       | P10 (273x16) + P7 (193x10)   |                |
| K34       | P10 (273x16) + P11 (273x16)  |                |
| K35       | P2 (273x16) + P11 (273x16)   |                |
| K36       | P2 (273x16) + P12 (193x10)   |                |
| K37       | P2 (273x16) + P13 (193x12.5) |                |
| K38       | P2 (273x16) + P14 (193x8)    |                |
| K39       | P2 (273x16) + P15 (193x6,3)  |                |
| K40       | P2 (273x16) + P16 (193x6,3)  |                |
| K41       | P2 (273x16) + P17 (193x6,3)  |                |
| K42       | P4 (273x16) + P18 (193x6,3)  |                |
| K43       | P4 (273x16) + P19 (193x5)    |                |
| K44       | P4 (273x16) + P20 (193x5)    |                |
| K45       | P4 (273x16) + P21 (193x5)    |                |
| K46       | P6 (273x16) + P22 (193x5)    |                |
| K47       | P6 (273x16) + P23 (193x5)    |                |
| K48       | P6 (273x16) + P24 (193x5)    |                |
| K49       | P6 (273x16) + P24 (193x5)    |                |
| K50       | P6 (273x16) + P23 (193x5)    |                |
| K51       | P6 (273x16) + P22 (193x5)    |                |
| K52       | P4 (273x16) + P21 (193x5)    |                |
| K53       | P4 (273x16) + P20 (193x5)    |                |
| K54       | P4 (273x16) + P19 (193x5)    |                |
| K55       | P4 (273x16) + P18 (193x6,3)  |                |
| K56       | P2 (273x16) + P17 (193x6,3)  |                |
| K57       | P2 (273x16) + P16 (193x6,3)  |                |
| K58       | P2 (273x16) + P15 (193x6,3)  |                |
| K59       | P2 (273x16) + P14 (193x8)    |                |
| K60       | P2 (273x16) + P13 (193x12.5) |                |
| K61       | P2 (273x16) + P12 (193x10)   |                |
| K62       | P2 (273x16) + P11 (273x16)   |                |
| K63       | P11 (273x16) + P10 (273x16)  |                |
| K64       | P10 (273x16) + P7 (193x10)   |                |
| K65       | P8 (273x16) + P7 (193x10)    |                |
| K66       | P10 (273x16) + P8 (273x16)   |                |
| K67       | P10 (273x16) + P9 (193x10)   |                |
| K68       | P11 (273x16) + P9 (193x10)   |                |

### **5.3.3. Kaynakların manyetik parçacık yöntemi ile kontrolü**

Makasların kaynakları %50 ultrasonik kontrollüdür. 3.4.2. Manyetik Parçacık Test Prosedürü bölümünde anlatılan esaslar çerçevesinde gerekli kontroller yapılır.

Manyetik parçacık yöntemi ile yapılan kontrollerde ultrasonik kontrol ile hataları tespit etmesi zor olan kaynak yüzeyinden yaklaşık 5 mm derinliğe kadar olan bölgede sağlıklı sonuçlar elde edilir. Ayrıca undercut hataları en küçük ayrıntısına kadar görülebilir.

Kontrol yapılacak kaynak üzerine demir tozlarının rahatlıkla görülebileceği beyaz fon sıkılır. Aynı zamanda kaygan olan beyaz fon kuruduktan sonra üzerine sulandırılmış demir tozları püskürtülür. Hata bulunan kaynaklar ve yerleri işaretlenir. Şekil 3.3.'deki kaynak numaralarına göre Tablo 5.1. ve 5.2'deki raporlar doldurulur. Kontrol edilen kaynaklarda bulunan hatalar tamir edildikten sonra yapılan test sonuçları tekrar raporlara işlenir. Eğer ikinci defa hata bulunuyorsa tekrar hatanın yeri ve derinliği hem kaynağın üzerine hem de raporlara işlenir. Bu işlem hatasız kaynağa erişilene kadar devam eder.

### **5.4. Aşık İmalatı**

Aşık imalatının en önemli noktası detaylandırılmasının uygun yapılmasıdır. Makasların aralarına girecek olan aşıkların hem konstrüksiyon olarak, hem de adet çokluğu nedeniyle montajlarının kolay yapılması için taşımaları gerekli özelliklere sahip olmalıdırlar.

Konstrüksiyon olarak tüm aşıkların bağlantı plakaları kaynağı çok önemlidir. Ek-1'deki aşık resimlerinden de görüldüğü gibi boru olan aşıkların bağlantı plakalarının kaynağında düzgün bir kök oluşması ve tam nüfuziyetli kaynak elde edilmesi amacıyla 5 mmlik dairesel altlık kullanılmıştır. Aşık bağlantı plakalarının borulara kaynaklanmasında borulara kaynak ağzı açılmıştır kök pasolara penetrant testi uygulanmıştır.



**Şekil 5.7.** Tüm testleri yapılmış ve hata bulunmayan bir kaynak bölgesi.

Montaj kolaylığı açısından aşıklar çift delikli plakalar ile makaslara bağlanmıştır. Böylece aşık iki başından kavale ile makastaki plakaya tutturulurken boşta kalan deliğe cıvata takılır ve yüksekte yapılan montajda büyük kolaylık sağlanır.

4.3. Boru Kesim Listelerinin Hazırlanması bölümünde anlatılan gerekli kombinasyonlar ile kesilen borulara önceden hazırlanan pimli tip kalıplarda bağlantı plakaları puntalanır ve aşıklar çatılır. Bu kalıpların ölçüleri kontrollü olduğu için imal edilen aşıkların ölçülerinde bir yanlışlık olamaz. Çatılan aşıkların kaynakları yapılır.

### **5.5. Çapraz İmalatı**

Çaprazlar tüm çatı sistemini kararlı hale getiren yegane elemanlardır. Makasların akslarındaki veya şaküllerindeki kaçıklıklar çaprazlar sayesinde ortadan kaldırılır. Ancak çaprazlar olmaları gerekli ölçülerinde imal edilemezlerse düzeltilmesi gereken kaçıklıklar daha fazla artarak sistemde büyük uyumsuzluklara sebep olabilirler.



Bunun için aşık imalatında olduğu gibi detaylandırmanın uygun yapılması çok önemlidir.



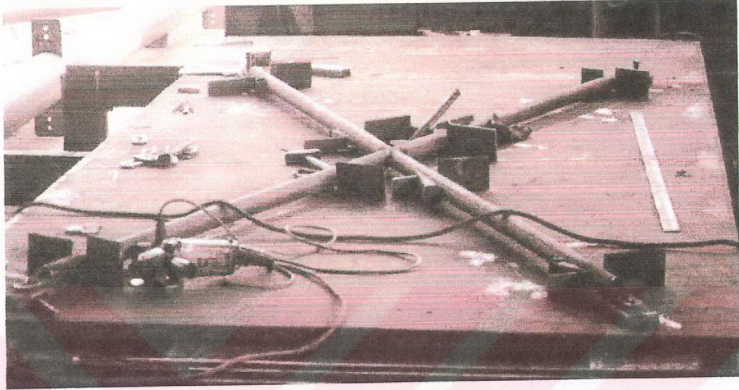
**Şekil 5.8.** Kaynakları yapılan aşıklar.

Çaprazlar sistemi karalı hale getirdikleri için montajları zor olur. Birçok defalar makasın çektilmesi veya ötelenmesi gerekli olur. Bunun için çaprazlar çift delikli plakalar ile makaslara bağlanmıştır. Böylece çapraz iki başından kavale ile makastaki plakaya tutturulurken boşta kalan deliğe civata takılır ve yüksekte yapılan montajda büyük kolaylık sağlanır.

Çapraz bağlantı plakalarının kaynaklarında Ek-1'deki DC.1. resimlerinden de görülebileceği gibi uygun çaptaki borularda düzgün kök oluşması için 5mm sactan dairesel altlık kullanılmıştır. Küçük çaptaki borular dahil tüm borulara kaynak ağzı açılmıştır ve kök pasolara penetrant testi uygulanmıştır.

Çapraz boruları 4.3. Boru Kesim Listelerinin Hazırlanması bölümündeki kombinasyonlar ile kesilir. Önceden hazırlanan pimli ve dayamalı tip kalıplarda hem uygun açılı ile çatılır hem de bağlantı plakaları puntalanır. Bu kalıpların ölçüleri

kontrollü olduđu için imal edilen çaprazların ölçülerinde ve açılarında bir yanlışlık olamaz. Çatılan çaprazların kaynakları yapılır.



**Şekil 5.9.** Çatılmış ve henüz kalıp içinde olan bir çapraz.

### **5.6. Kumlama ve Boyama**

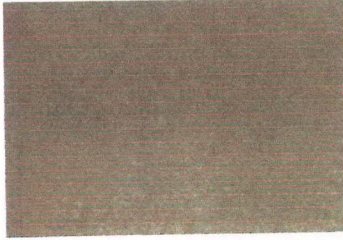
Malzemeler üzerlerindeki muhtemel tufal veya meneviş tabakalarının alınması amacıyla imalata girmeden önce kumlanırlar. Bu işlem malzemeyi işlemeyi kolaylaştırır. Kaynak için zararı olan pas tabakası malzeme üzerinden alınmış olur.

İmalat tamamlandıktan sonra mekanik temizliğe geçilir. Bu aşamada parçalar üzerinde göze hoş görünmeyen kaynak sıçrıntıları, kesim çapakları, keskin köşeler, kaynak cürüfları ve kabukları mekanik yöntemlerle temizlenir. Mekanik temizlik işleri için taşlama motorları, tel çanak fırça ve keski kullanılır.

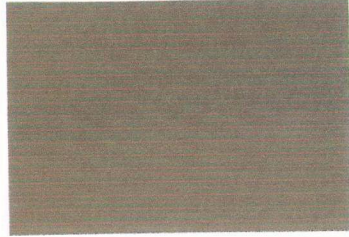
Temizlenen makas parçaları, aşıklar ve çaprazlar boyama için uygun yüzey eldesi için kumlanırlar. Kumlanan parçaların yüzey kalitesinin Sa 2½ olması istenir.

Çelik konstrüksiyonun dayanıklılığını ve ekonomikliğini etkileyen en önemli faktör malzemesinin dış etkenlerden korunmasıdır. Çeliğin ömrü üzerindeki boyanın ömrü ile doğru orantılıdır. Boyanın cinsi ve tatbikatı çok önemlidir. Boyanın yapışması için malzeme yüzeyinin gerekli miktarda pürüzlü olması istenir. Uygun pürüzlülük

miktarı kumlamanın süresine ve kumlama malzemesi olarak kullanılan gridlerin tane büyüklüğüne bağlıdır. Sa 2½ yüzey kalitesi için belirli oranlarda değişik tane büyüklüğündeki gridler karıştırılır.



Sa 2 1/2 kalitesinde kumlama



Sa 3 kalitesinde kumlama



Sa 1 kalitesinde kumlama



Sa 2 kalitesinde kumlama

**Şekil 5.10.** İsveç standartlarına göre yüzey kalitelerinin görsel olarak ifadesi.

Sa 2½ yüzey kalitesinin sağlanmasından sonra boya tatbikatına geçilir. Bu projedeki boya tipleri ve kalınlıkları aşağıdaki gibi uygulanmıştır.

- Astar boya (antipas) Resist 78 (Inorganic Zilc Silicate) 60µ
- Ara kat Penguard HB (High Build Epoxy) 50µ
- Son kat Futura AS (Polyurethane Topcoat) 50µ

Şantiye ortamında çok kaynak işi olduğu için imalatlar astar boyalı olarak nakledilmişlerdir. Kaynak nedeniyle yanan astarlı kısımlar touch-up yöntemi ile tamir edildikten sonra ara kat tatbikatı makaslar henüz yerdeyken yapılmıştır. Son

kat boya tatbikatı makaslar yerlerine monte edildikten sonra yapılmıştır. Makasların son kat boya renk kodu standart boya kartelasında bulunmayan RAL 030.50.50 'dir.

### 5.7. Kalite Kontrol

Çatı Konstrüksiyonunu oluşturmak için kullanılan tüm malzemelerin, yarı mamullerin, yapılan tüm kaynak işlemlerinin ve boya tatbikatının kaliteleri belgelenmiştir. Kalite kontrol raporları aşağıdaki unsurların tamamını aynı sıra ile içermektedir.

- Temin edilen boruların sertifikalandırılması ayrıca fiziksel ve kimyasal özelliklerinin test edilerek raporlanması
- Temin edilen standart profillerin ve sac malzemenin sertifikalandırılması ayrıca fiziksel ve kimyasal özelliklerinin test edilerek raporlanması
- Kullanılan her türlü kaynak elektrotları, kaynak telleri, argon shield vs. gibi yardımcı malzemelerin kalite belgelerinin temin edilip uygunluklarının raporlanması
- Tüm kaynak işlemleri için gerekli raporlarının hazırlanarak gerekli testlerin yapılması (WPS-PQR) (Bkz. Ek-2 ve Ek-3)
- Tüm kaynakçıların yeterliliklerini belgelemek amacıyla sertifikalandırılması
- Kesilen, bükülen, delinen tüm parçaların, yarı mamullerin ve tam mamullerin boyutsal kontrollerinin yapılarak uygunluklarının raporlanması
- Yapılan kaynakların penetrant, ultrasonik, manyetik parçacık testlerinin yapılarak uygunluklarının raporlanması
- Yapılan kaynakların, imalatların, mekanik temizliğin ve boyanın gözle kontrolü yapılarak uygunluklarının raporlanması
- Astar, ara kat ve son kat boya tatbikatının kalınlıklarının ölçülerek uygunluklarının raporlanması

Bu projede yukarıda sözü edilen raporlar hazırlanırken gözlenen her türlü olumsuzluk tamir edilerek düzeltilmiş ve tüm tamir işlemleri raporlara dahil edilmiştir.

## 6. MONTAJ

Şantiye sahasındaki yer problemi bu büyüklükteki makasların montajını güçleştirdi. Ancak nakliye öncesi yapılan etütler ile şantiye sahasında önlemler alınmış ve düzenlemeler ile saha montaja uygun hale getirilmiştir. Montaj işleminin altı makaslık ve yedi makaslık iki grupta tamamlanması planlanmıştır.

### 6.1. Makas Birleştirme Tezgahının Kurulması

Şantiyeye 5 parça halinde götürülen makasların eklenmesi için bir ekleme tezgahının kurulması gereklidir. Bu tezgah sayesinde makaslar herhangi bir ölçü hatası olmaksızın eklenebilecek, kaynakları ve gerekli testleri rahatlıkla yapılabilecektir. Şantiye sahasındaki yerin darlığı nedeniyle kurulacak tezgahın konumu hem montaj hem de nakliye açısından çok önemlidir. Bu tezgahın kurulması yapılacak olan nakliyeyi etkileyeceği için önceliklidir.

Tezgaha makas parçalarının koyulması ve tezgahtan bitmiş makasın çıkartılması işlemleri mobil vinçler sayesinde yapılacağı için TIR'ların ve vinçlerin geçebileceği kadar boş alanın tezgahın yanında kalması gereklidir. Ayrıca biten makaslar için de yer ayrılması gereklidir. Bu yerler parçaların ve biten makasların en az manevra ile montaj edilmesini sağlayacak şekilde seçilmiştir.

Sahanın çamur olması nedeniyle ekleme tezgahının kurulacağı yer düzeltildi. Stabilize malzeme döküldü. Kurulacak tezgah çok karmaşık bir yapıya sahip olmadığı için ayakların geldiği yerlere beton dökülmesi yeterli oldu. Dökülecek beton ayakların konumları ve ölçüleri Şekil 6.1. de görüldüğü gibi resimlendi. Tezgah yüksekliği ~80cm yapılarak kaynak ve testler için kolaylık elde edildi. Makasın ana ölçülerine sadık kalmak amacıyla taban plakalarının geldiği yerlere karşılık plakalar koyularak cıvata ile bağlanması dolayısıyla otomatik bir ölçü kontrolü sağlandı.



Makas parçalarının tezgaha alınmasını ve biten makasın tezgahtan çıkartılmasını kolaylaştırmak için tezgah mümkün olduğu kadar basitleştirilerek üstündeki gereksiz parçalar alındı.

Henüz astar boyalı olarak eklenen makaslara gerekli boya rötuşları yapıldıktan sonra yerdeyken ara kat boyaları atılır. Son kat boya makasların montajları sırasında zarar göreceği düşüncesiyle çatıda atılacaktır.



**Şekil 6.2.** Şantiyedeki ekleme tezgahında süren kaynak işlemi

## 6.2. Makasların Nakliyesi

Tamamlanmış makasın boyu ~60 metredir. Bu haliyle bir makasın nakliyesi imkansızdır. Makaslar nakliye işlemi düşünülerek 2 adet 21 metre, 1 adet 8 metre ve 2 adet 4,6 metrelik saçaklar olmak üzere 5 parçaya ayrılmışlardır.

21 metrelik büyük parçalar için özel olarak iki adet “dolly” adı verilen alçak tip treyler hazırlanmıştır. Parçalar düz değil bükümlü olduğu ve trafikte sol değil sağ taraftan çıkıntı olması istendiği için yükleme işlemi bir kat daha zorlaşmıştır. 21 metrelik makas parçaları çok rahatlıkla hareket ettirilemeyeceği ve şantiyedeki yerin

darlığı nedeniyle bir yükleme programı yapılmıştır. Bu program ile en son montaj yapılacak makasın parçaları en önce; birinci monte edilecek makasın parçaları en son yüklenecek biçimde ayarlanmıştır. Ayrıca yükleme sırasında makas parçalarının yönleri montaj yönüne ve ekleme tezgahı yönüne göre önceden tayin edilmiştir. Nakliyede yapılan sıralamanın ve yön tayininin sayesinde kısıtlı olan şantiye sahası imkanları olabildiğince verimli kullanılmıştır.

Nakliye, tonaj ve yükseklik sınırlamaları nedeniyle 4'er adet 21 metrelik parçalar halinde gerçekleştirilmiştir. Küçük parçalar ise normal TIR'larla ve kamyonlarla sevk edilmişlerdir. Nakliyede karşılaşılan tek problem şantiyede makas parçalarını indirirken bir vincin yetersiz kalarak ikinci vince ihtiyaç duyulması olmuştur.

### **6.3. Makasları Kaldırma Aparatı İmalatı**

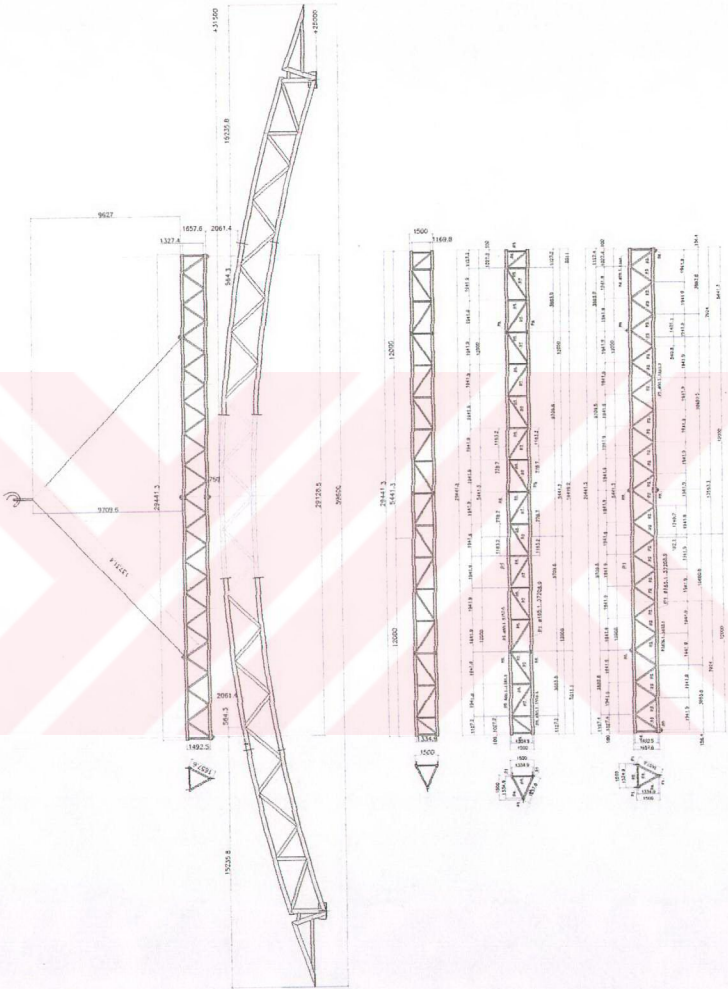
Makaslar yer darlığından dolayı tek vinç ile monte edilecektir. 60 metrelik ve 16 tonluk bir düzlem makasın tek noktadan kaldırılması ve havada dengesini bozmadan çeşitli manevralar yapması mümkün değildir. Üç noktadan makası taşıyacak olan aparat taşıyıcı olacağı için üçgen boru makas şeklinde dizayn edilmiştir.

Bu aparat dizayn edilirken işlevselliği ön planda tutulmuştur. Çelik konstrüksiyon montajı hakkındaki tecrübeler ve mevcut makasların bilinen yönleri söz konusu aparatın ne gibi özelliklere sahip olması gerektiğini belirlemiştir.

- Aparat hafif olmalıdır.
- Mümkün olduğunca küçük ve kıvrak olmalıdır.
- Makasları dengeli tutmalıdır.
- Kaldırırken makaslara zarar vermemelidir.
- Makaslara rahat bağlanabilmeli ve çözülebilmelidir.
- 16 ton taşıyacağı için yeteri kadar sağlam olmalıdır.

Ölçülendirilmiş ve kesitleri belirlenmiş aparat için proje firmasından statik açıdan yardım istenmiştir. Kesitler gerekli hesaplar yapılarak onaylandıktan sonra aparat imal edilmiştir.





Şekil 6.3. Kaldırma aparatının ölçülendirilmiş resmi .

Kaldırma aparatı sayesinde makaslar eklendikleri yerden zarar görmeyen alınmışlar ve rahatlıkla çatıya monte edilmişlerdir.



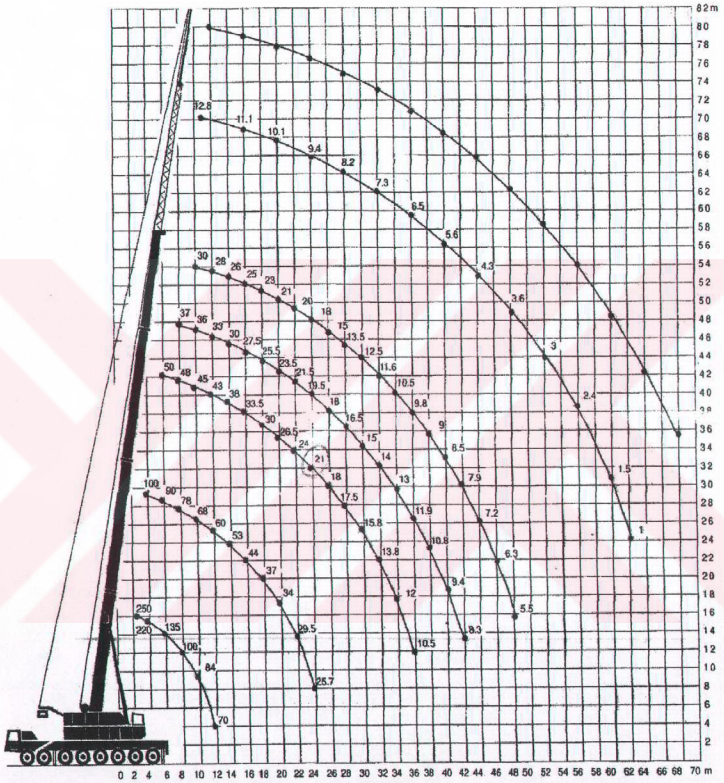
**Şekil 6.4.** Kaldırma aparatı ile manevralar yapılarak binanın içerisine kadar getirilmiş ve montajı yapılmak üzere olan ilk makas.

#### **6.4. Makasların Montaj Vincinin Seçimi**

Kaldırılacak birinci makas vincinin seçimi için bağlayıcı olmuştur. İlk makasın koyulacağı yer vincin en fazla yaklaşabildiği noktadan 24 metre açıktadır ve vinç bomu aparat ve halatlar bağlı haliyle 32 metre yükseklikte olacaktır. Makasın ağırlığı 16 tondur aparat, halatlar vs. ile beraber kaldırılacak olan ağırlık 18,5 tonu bulmaktadır.

Aşağıda görülen 200 tonluk vinç eğrisi 24 metre açıklık ve 32 metre yükseklik için 21 tonluk kapasiteyi göstermektedir. Kaldırmayı planladığımız ağırlık 18,5 ton olduğuna göre bu kapasitedeki vinç bizim için yeterli olmaktadır.

Dar alanlara gireceği için eni, boyu ve bomu döndürebilmesi için gerekli en küçük alan da vinç seçimi için belirleyici olmuştur. Ayak açıklıkları kurtarmadığı için henüz betonu dökülmemiş olan 2 kolon sonradan tekrar yapılmak üzere kesilmiştir.



Şekil 6.5. 200 ton Liebherr / LT 1200 vinç için kaldırma eğrisi.

## 6.5. Montaj

Saha içinde gerekli hazırlıklar tamamlandıktan sonra ilk altı makaslık bölümünü monte etmek üzere teknik malzemelerin hazırlanmasına geçilir. Bunların içinde en önemlisi montajda kullanılacak cıvata, somun ve pulun tedarik edilmesidir.

**Tablo 6.1.** Montajda kullanılacak civataların listesi.

| AŞIK BAĞLANTI CIVATALARI             |            |                 |           |                     |
|--------------------------------------|------------|-----------------|-----------|---------------------|
| Tip : M20                            | Boy : 60mm | Diş Boyu : 45mm | 2496 adet | 2496 adet somun+pul |
| AŞIK-2 BAĞLANTI CIVATALARI           |            |                 |           |                     |
| Tip : M12                            | Boy : 50mm | Diş Boyu : 35mm | 108 adet  | 108 adet somun+pul  |
| Tip : M16                            | Boy : 50mm | Diş Boyu : 35mm | 108 adet  | 108 adet somun+pul  |
| AŞIK-3 BAĞLANTI CIVATALARI           |            |                 |           |                     |
| Tip : M20                            | Boy : 70mm | Diş Boyu : 45mm | 96 adet   | 96 adet somun+pul   |
| DÜŞEY ÇAPRAZ 2-3 BAĞLANTI CIVATALARI |            |                 |           |                     |
| Tip : M20                            | Boy : 60mm | Diş Boyu : 45mm | 288 adet  | 288 adet somun+pul  |
| DÜŞEY ÇAPRAZ 1 BAĞLANTI CIVATALARI   |            |                 |           |                     |
| Tip : M24                            | Boy : 80mm | Diş Boyu : 50mm | 96 adet   | 96 adet somun+pul   |
| YATAY ÇAPRAZ BAĞLANTI CIVATALARI     |            |                 |           |                     |
| Tip : M20                            | Boy : 60mm | Diş Boyu : 45mm | 512 adet  | 512 adet somun+pul  |

İlk makas monte edildikten ve teodolit ile şakülüne getirildikten sonra ön tarafında bulunan beton perdeye geçici olarak bağlanacaktır.



**Şekil 6.6.** Birinci makasın montaj resmi.



**Şekil 6.7.** Birinci makasın montajdan sonraki resmi.

Birinci makasın montajından sonra ikinci makasın gereğince monte edilebilmesi için alt ve üst başlıklarından bağlanmak üzere en az 4'er aşık ve 3 dikey çapraz montaja hazır hale getirilmiştir. İkinci makas yerine kaldırdığı zaman vinç çözülmeden bu aşıklar ve çaprazlar başka bir vinç yardımıyla bağlanarak sistemin doğruluğu ölçümlerle kontrol edilir.

İlk üç makas yerlerine kaldırıldıktan sonra sistemin doğruluğunun kontrolü çok önemlidir çünkü olası bir hata tüm sistemin yanlış olmasına ve son makasın montajına kadar artarak süreklilik kazanmasına neden olacaktır. Tüm sistemin montajı bittikten sonra bu tür hataların giderilmesi veya tamiri, sistemin tamamen sökülerek bir kez daha monte edilmesi haricinde mümkün değildir.

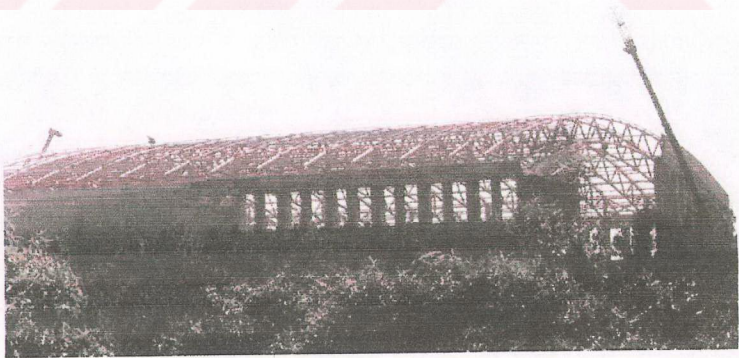
Tüm montaj sırasında herhangi bir bağlantı uyumsuzluğu veya ölçü hatasına rastlanmamıştır. Herhangi bir nedenle delik patlatılmamıştır. Altı makaslık ve yedi makaslık olmak üzere iki partide sistemli bir şekilde gerçekleştirilen montajda hiçbir aksaklık olmamıştır.

Aşıkları, çaprazları monte edilen ve cıvata sıkımları tamamlanan bölümlere son kat boyaları atılır. Bu bölümlerin montajları tamamlanmış olur.

Son makasın montajı, aynı aksta olan beton perdenin dökülebilmesi için bir ay sonraya ertelenmiştir. Tekrar 200 tonluk vincin sahaya girmemesi için makas olması gereken yerden 1,5 metre geriye geçici aşıklarla monte edilmiştir. Beton perdenin dökülmesinden ve hazır hale getirilmesinden sonra son makas ve son aks arasının elemanlarının montajı yapılmış ve sistem tamamlanmıştır.



**Şekil 6.8.** İlk altı makasın montajının tamamlanmış hali.



**Şekil 6.9.** Montajın tamamlanma aşamasına gelmiş durumu .  
Beton perdenin dökülebilmesi için son makasın geçici aşıklarla 1,5 metre geriye monte edildiği görülebiliyor.

## 7. SONUÇ

Bu çalışmanın amacı, çelik konstrüksiyon yapıların dizayn, imalat ve montaj aşamalarını örneklerle anlatmaktır. İncelenen çelik konstrüksiyon çatıyı oluşturan makas, aşık, çapraz, gibi elemanların imalatı, kayağı, boyanması, montajı prosedürlere bağlanmıştır. Bu prosedürler oluşturulurken değerlendirilen ilgili yerli ve yabancı standartlar tüm aşamaların uluslararası kurallara uygun yapılmasını sağlamıştır. Tüm teorik bilgiler uygulanmış ve doğrulukları kanıtlanmıştır.

Uygulama şeklinde yapılan bu çalışma ile ~50 metrelik açıklık ~90 kg/m<sup>2</sup>'lik bir ağırlık ile geçilmiştir. Bu kadar büyük bir açıklığı çelikten başka malzemelerle bu kadar hafif geçmek hemen hemen mümkün değildir.

Özgün bir mimari yapıya sahip olan çatı cıvatalı bağlantı detayları ile kolay monte edilmiştir. 13 adet makasın büyük titizlikle yapılan kaynakları birçok testten geçirilerek raporlanmıştır. Konstrüktif olarak çok önemli olan kaynakların standartlara uygun şekilde incelenerek raporlanması için tüm evreler detaylı olarak ele alınmıştır. İmalatta ve montajda karşılaşılabilecek sorunlara pratik çözümler getirilerek uygulamalarına deyinilmiştir.

Ortaya çıkan çatı konstrüktif özellikleri açısından çeşitli otoritelerden olumlu yönde eleştiriler almıştır. Çeşitli ülkelerdeki benzeri çalışmalar gibi bu çatı da mimarisi ve çelik konstrüksiyon olması nedeniyle literatürdeki saygın yerini almıştır.

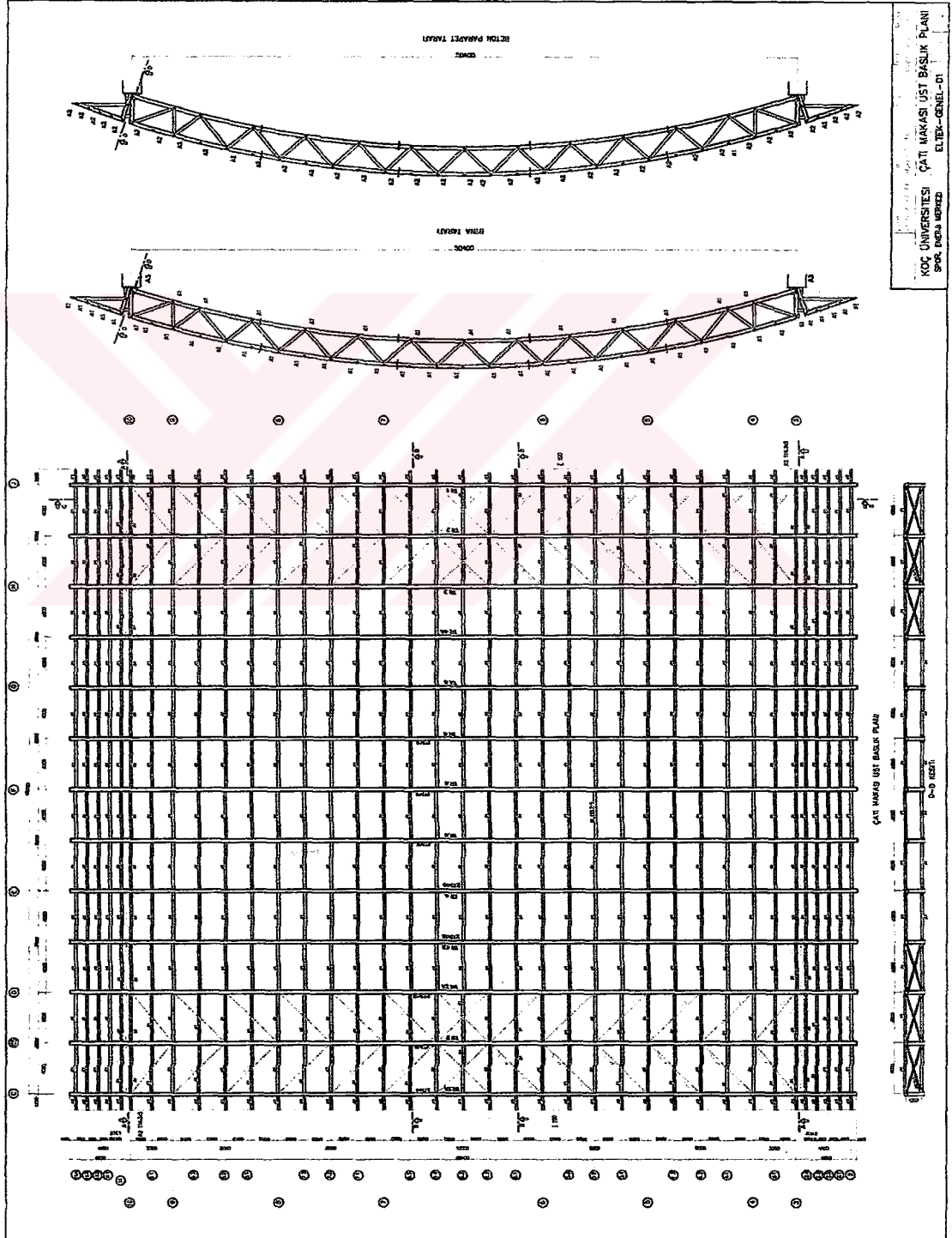
## KAYNAKLAR

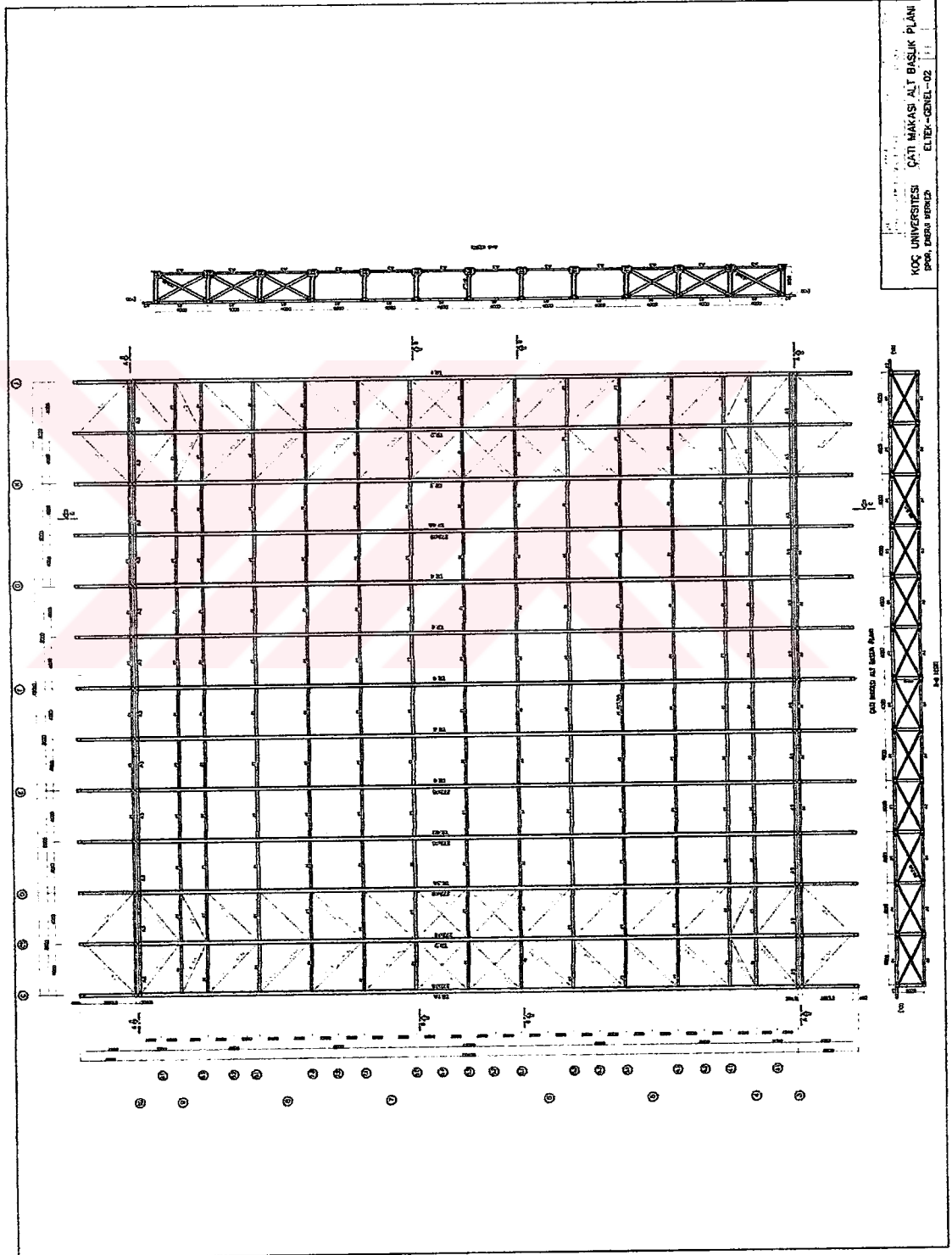
1. AWS Committee., February 1996. AWS D.1.1 Structural Welding Code-Steel, Florida-USA.
2. ANIK S. ve TLBENTI K. ve KALU E., 1991. rtl Elektrod ile Elektrik Ark Kaynađı. Gedik Holding Yayını, İstanbul.
4. GEREK C., 1979. Yapıda Taşıyıcı Sistemler. Yaprak Kitabevi, Ankara.
5. ANIK S. ve VURAL M., 1993. 1000 Soruda Kaynak Teknolojisi El Kitabı. Birsen Yayınevi, Cilt I ve II, İstanbul.
6. ANIK S., 1981. Kaynak Teknolojisi El Kitabı. Ergr Matbaası, İstanbul.

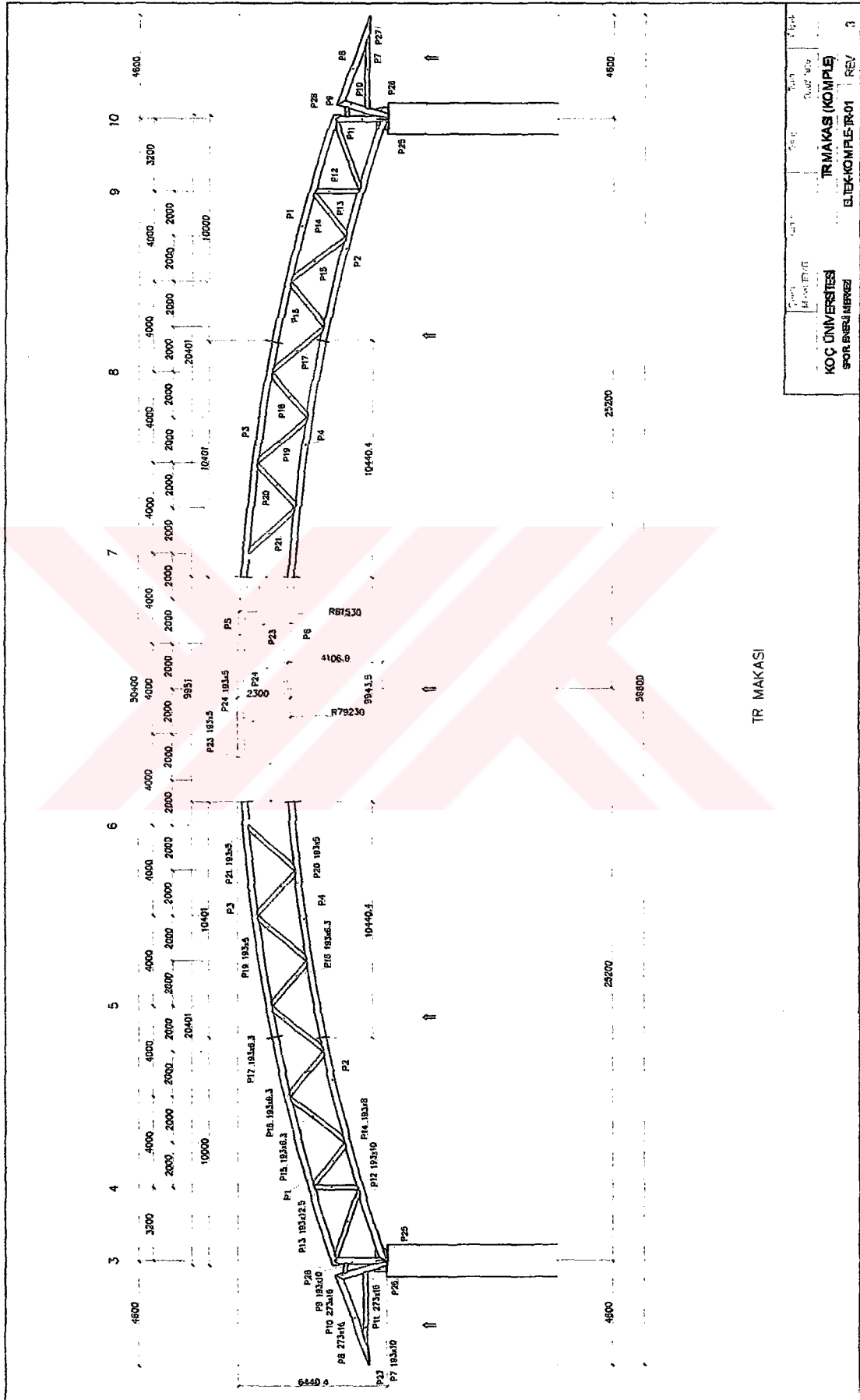


## EKLER

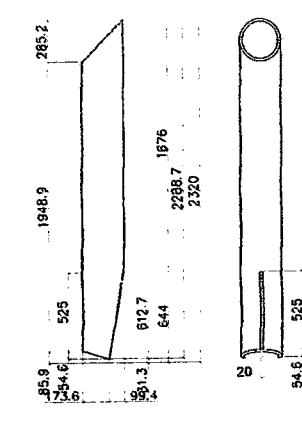
### EK-1 Detay Resimleri



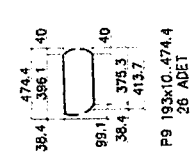




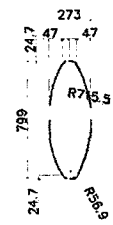
TR MAKASI



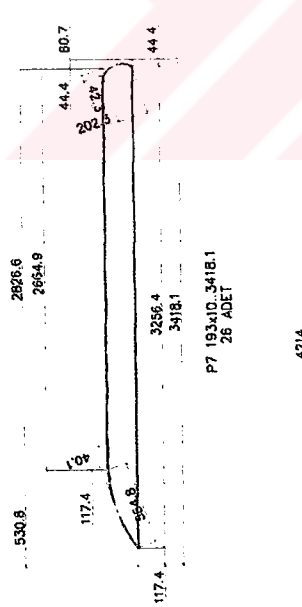
P10 273x16..2320  
26 ADET



P9 193x10..474.4  
26 ADET

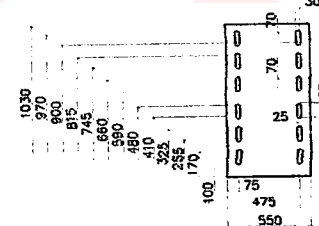


P27 20x273..789  
26 ADET

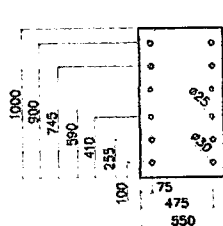


P7 193x10..3418.1  
26 ADET

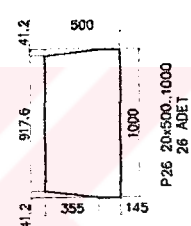
P8 273x16..4214  
26 ADET



P25A 25x550..1030  
13 ADET



P25 25x550..1000  
13 ADET



P26 20x500..1000  
26 ADET

PROJE VE ÇİZİMİNİN YAPILDIĞI YERİ VE TARİHİ GÖSTERİR.

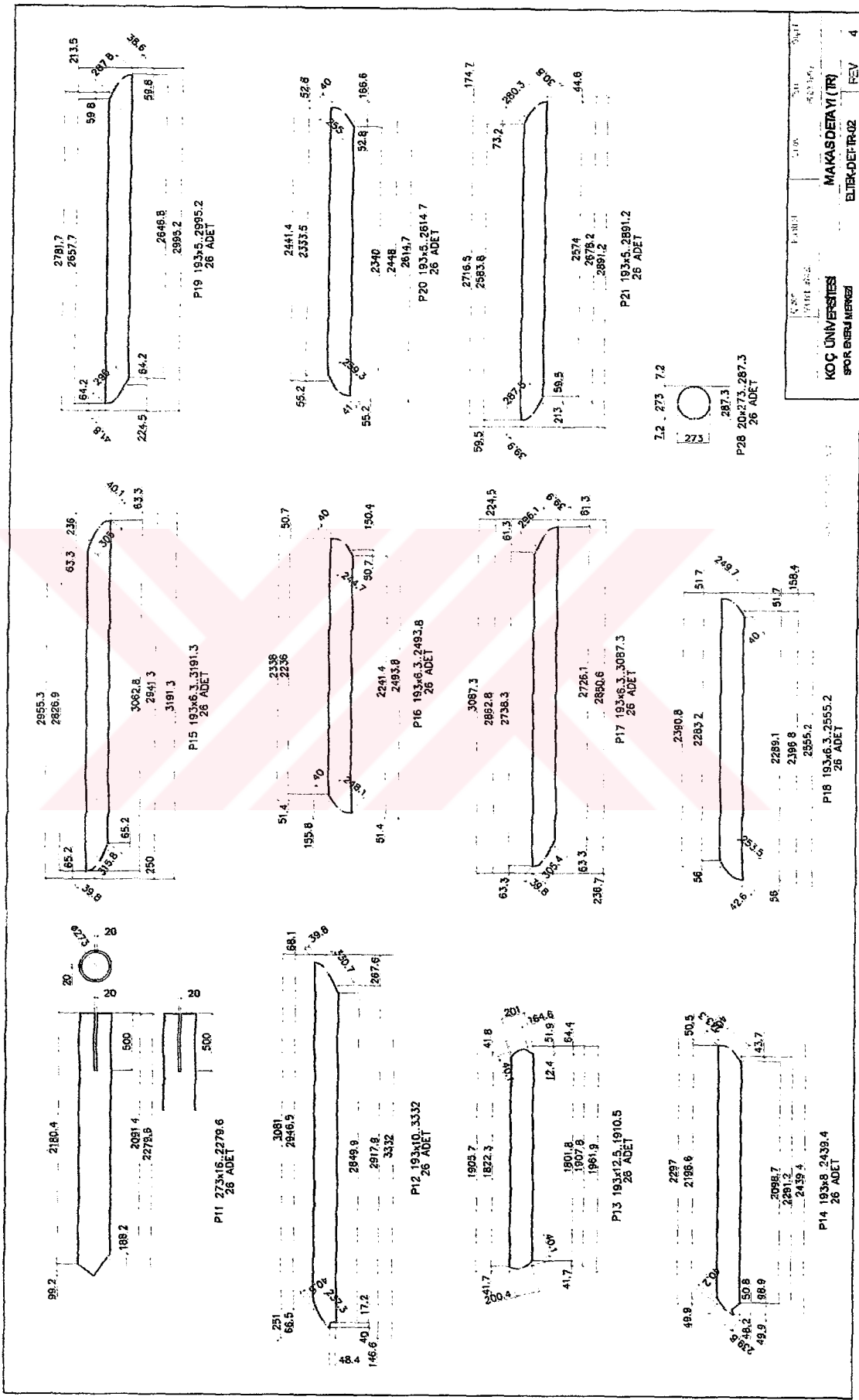
AKTİFİM 2014 0000

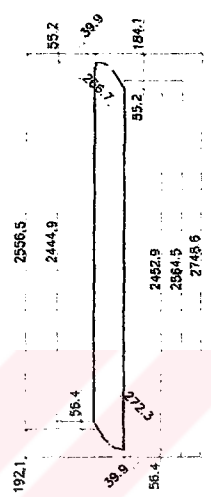
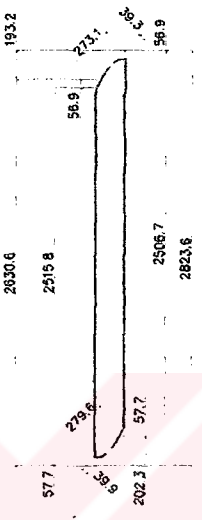
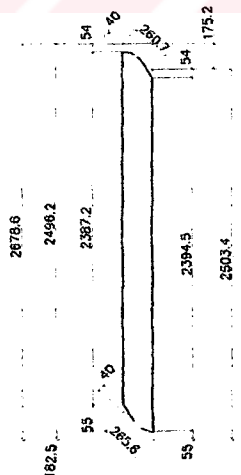
|          |       |       |       |       |
|----------|-------|-------|-------|-------|
| Çizim No | Çizim | Çizim | Çizim | Çizim |
| 1251     | 1252  | 1253  | 1254  | 1255  |
| 1256     | 1257  | 1258  | 1259  | 1260  |
| 1261     | 1262  | 1263  | 1264  | 1265  |
| 1266     | 1267  | 1268  | 1269  | 1270  |
| 1271     | 1272  | 1273  | 1274  | 1275  |
| 1276     | 1277  | 1278  | 1279  | 1280  |
| 1281     | 1282  | 1283  | 1284  | 1285  |
| 1286     | 1287  | 1288  | 1289  | 1290  |
| 1291     | 1292  | 1293  | 1294  | 1295  |
| 1296     | 1297  | 1298  | 1299  | 1300  |
| 1301     | 1302  | 1303  | 1304  | 1305  |
| 1306     | 1307  | 1308  | 1309  | 1310  |
| 1311     | 1312  | 1313  | 1314  | 1315  |
| 1316     | 1317  | 1318  | 1319  | 1320  |
| 1321     | 1322  | 1323  | 1324  | 1325  |
| 1326     | 1327  | 1328  | 1329  | 1330  |
| 1331     | 1332  | 1333  | 1334  | 1335  |
| 1336     | 1337  | 1338  | 1339  | 1340  |
| 1341     | 1342  | 1343  | 1344  | 1345  |
| 1346     | 1347  | 1348  | 1349  | 1350  |
| 1351     | 1352  | 1353  | 1354  | 1355  |
| 1356     | 1357  | 1358  | 1359  | 1360  |
| 1361     | 1362  | 1363  | 1364  | 1365  |
| 1366     | 1367  | 1368  | 1369  | 1370  |
| 1371     | 1372  | 1373  | 1374  | 1375  |
| 1376     | 1377  | 1378  | 1379  | 1380  |
| 1381     | 1382  | 1383  | 1384  | 1385  |
| 1386     | 1387  | 1388  | 1389  | 1390  |
| 1391     | 1392  | 1393  | 1394  | 1395  |
| 1396     | 1397  | 1398  | 1399  | 1400  |
| 1401     | 1402  | 1403  | 1404  | 1405  |
| 1406     | 1407  | 1408  | 1409  | 1410  |
| 1411     | 1412  | 1413  | 1414  | 1415  |
| 1416     | 1417  | 1418  | 1419  | 1420  |
| 1421     | 1422  | 1423  | 1424  | 1425  |
| 1426     | 1427  | 1428  | 1429  | 1430  |
| 1431     | 1432  | 1433  | 1434  | 1435  |
| 1436     | 1437  | 1438  | 1439  | 1440  |
| 1441     | 1442  | 1443  | 1444  | 1445  |
| 1446     | 1447  | 1448  | 1449  | 1450  |
| 1451     | 1452  | 1453  | 1454  | 1455  |
| 1456     | 1457  | 1458  | 1459  | 1460  |
| 1461     | 1462  | 1463  | 1464  | 1465  |
| 1466     | 1467  | 1468  | 1469  | 1470  |
| 1471     | 1472  | 1473  | 1474  | 1475  |
| 1476     | 1477  | 1478  | 1479  | 1480  |
| 1481     | 1482  | 1483  | 1484  | 1485  |
| 1486     | 1487  | 1488  | 1489  | 1490  |
| 1491     | 1492  | 1493  | 1494  | 1495  |
| 1496     | 1497  | 1498  | 1499  | 1500  |
| 1501     | 1502  | 1503  | 1504  | 1505  |
| 1506     | 1507  | 1508  | 1509  | 1510  |
| 1511     | 1512  | 1513  | 1514  | 1515  |
| 1516     | 1517  | 1518  | 1519  | 1520  |
| 1521     | 1522  | 1523  | 1524  | 1525  |
| 1526     | 1527  | 1528  | 1529  | 1530  |
| 1531     | 1532  | 1533  | 1534  | 1535  |
| 1536     | 1537  | 1538  | 1539  | 1540  |
| 1541     | 1542  | 1543  | 1544  | 1545  |
| 1546     | 1547  | 1548  | 1549  | 1550  |
| 1551     | 1552  | 1553  | 1554  | 1555  |
| 1556     | 1557  | 1558  | 1559  | 1560  |
| 1561     | 1562  | 1563  | 1564  | 1565  |
| 1566     | 1567  | 1568  | 1569  | 1570  |
| 1571     | 1572  | 1573  | 1574  | 1575  |
| 1576     | 1577  | 1578  | 1579  | 1580  |
| 1581     | 1582  | 1583  | 1584  | 1585  |
| 1586     | 1587  | 1588  | 1589  | 1590  |
| 1591     | 1592  | 1593  | 1594  | 1595  |
| 1596     | 1597  | 1598  | 1599  | 1600  |

KOÇ ÜNİVERSİTESİ  
SPOR BİLİMİ MERKEZİ

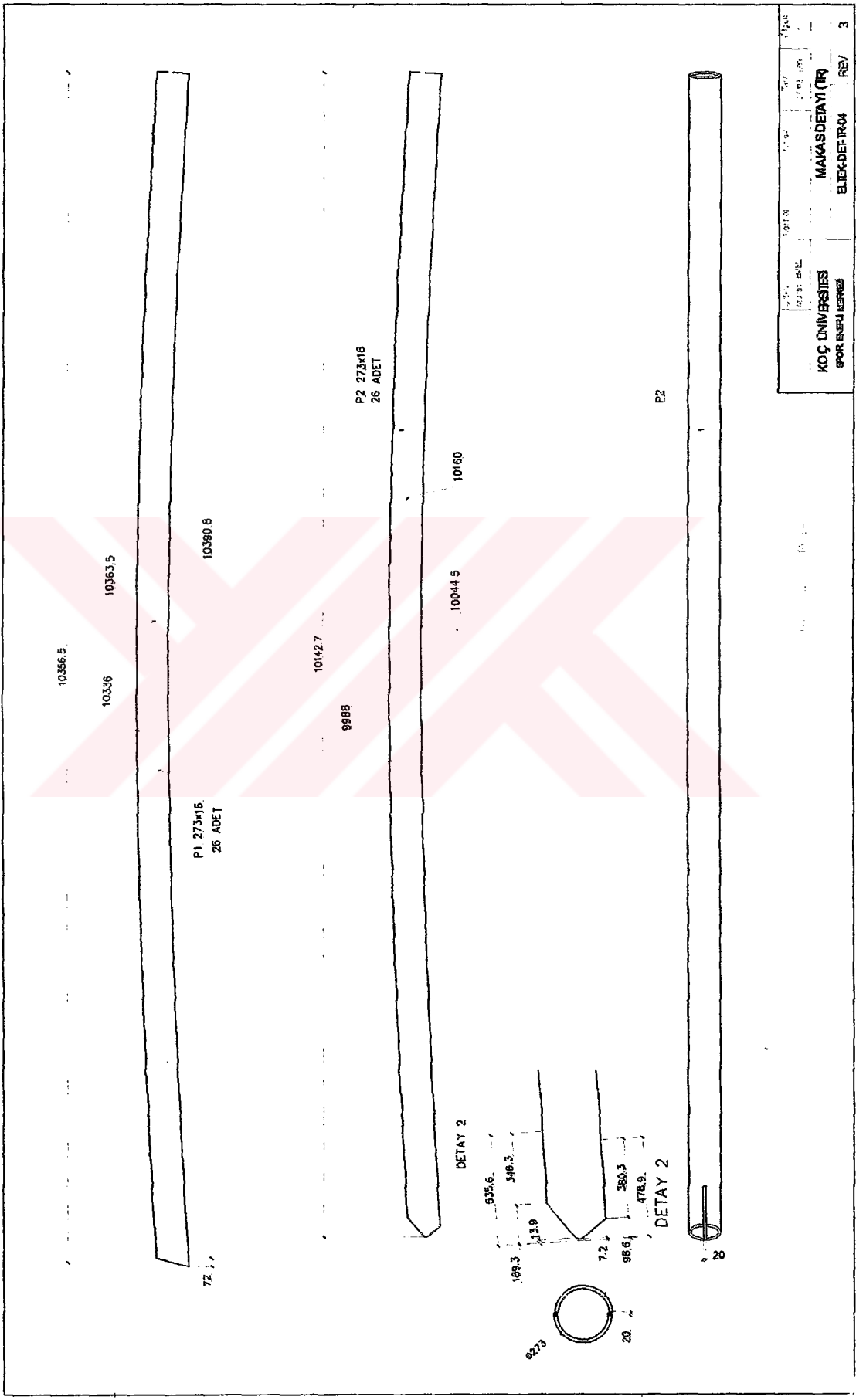
MAKASDEYİM (TR)  
ELİTER-DEYİR-01

REV 2





|  |     |     |   |
|--|-----|-----|---|
| ÇİZİM NO   | 170 | REV | 1 |
| MİMARLIK   |     |     |   |
| İNŞAAT   |     |     |   |
| METALURJİ  |     |     |   |
| MAKİNE MÜHÜR   |     |     |   |
| MAKİNE MÜHÜR   |     |     |   |
| METALURJİ MÜHÜR                                      |     |     |   |
| İNŞAAT MÜHÜR   |     |     |   |
| ÇİZİM NO   | 170 | REV | 1 |
| KOC UNIVERSITESI<br>SPOR ENERJİLERİ<br>ELEKTRİK-TR03 |     |     |   |



|   |          |      |               |                                    |        |
|---|----------|------|---------------|------------------------------------|--------|
| NO                                      | REVİZYON | YERİ | YAPILAN İŞLER | YAPAN                              | YERİ   |
|   |          |      |               |                                    |        |
| KOÇ ÜNİVERSİTESİ<br>SPOR ENERJİ MERKEZİ |          |      |               | MAKASDEYİM (TR)<br>ELTOK-DET-TR-04 |        |
|   |          |      |               |                                    | REVİ 3 |

.10465.8

P3 273416  
26 ADET

10490.5

10473

10455.5

10509.6

10535.5

10517.5

10499.2

P4 273416  
26 ADET

BEKLENTİLERİ

2024

3045

2024

10465

10465

10465

10465

10465

10465

10465

10465

10465

10465

10465

10465

10465

10465

10465

10465

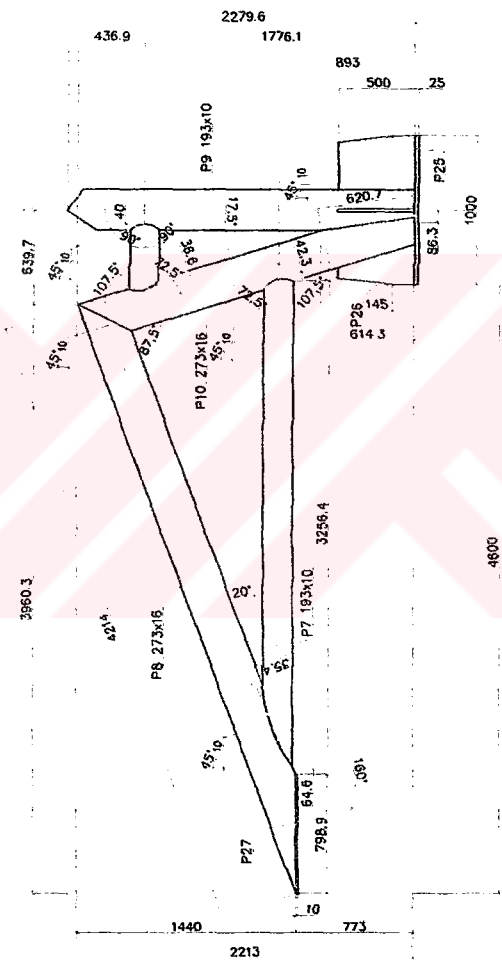
10465

10465

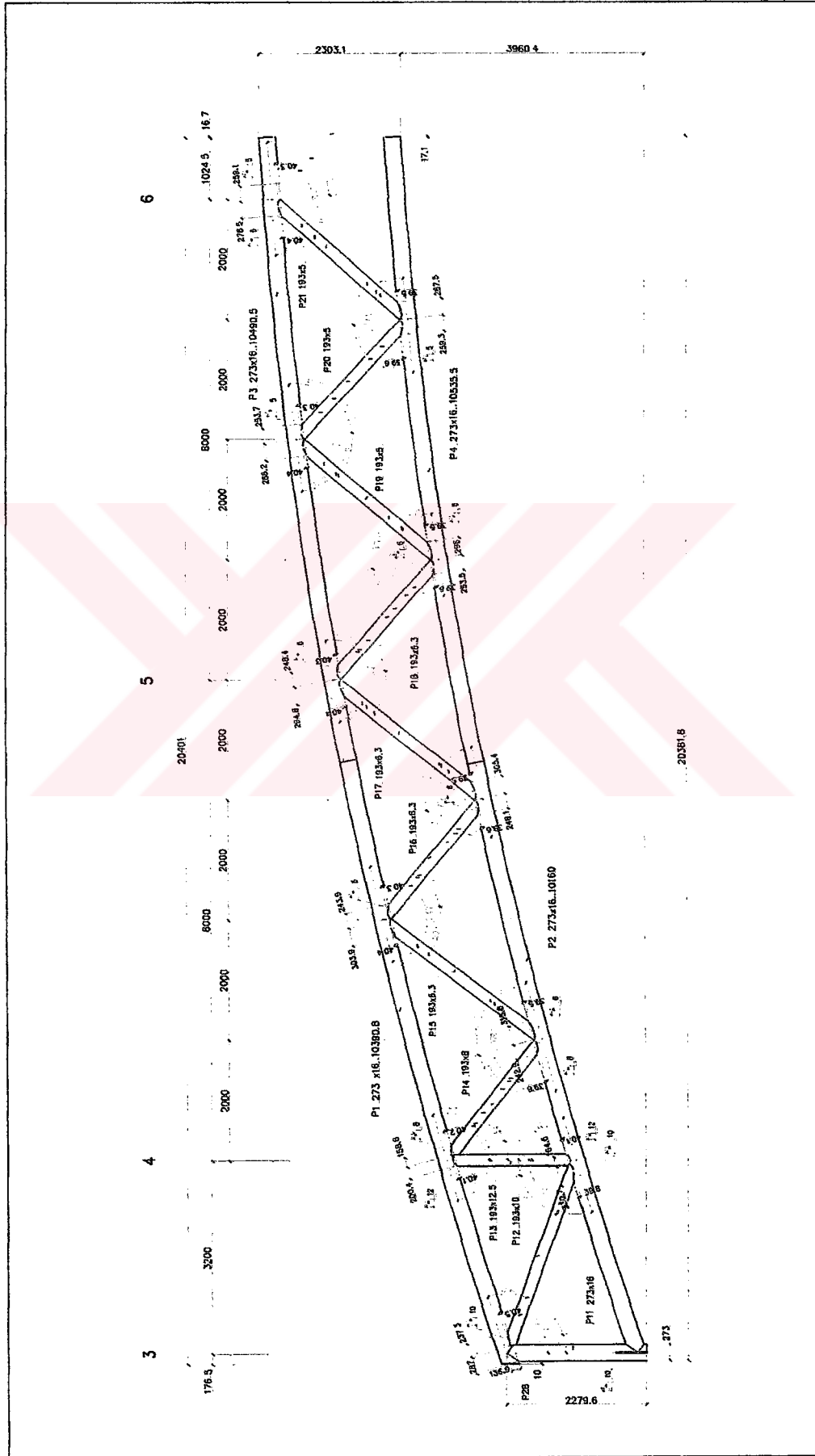


| NO     | AD                   | STOK | DEĞER | REV |
|--------|----------------------|------|-------|-----|
| 9951   |                      |      |       |     |
| 9957.2 | PS 273x16<br>13 ADET |      |       |     |
| 9923.8 |                      |      |       |     |
| 9945.5 |                      |      |       |     |
| 9926.4 |                      |      |       |     |
| 9932.8 |                      |      |       |     |
| 9950   |                      |      |       |     |
| 9915   | PS 273x16<br>13 ADET |      |       |     |

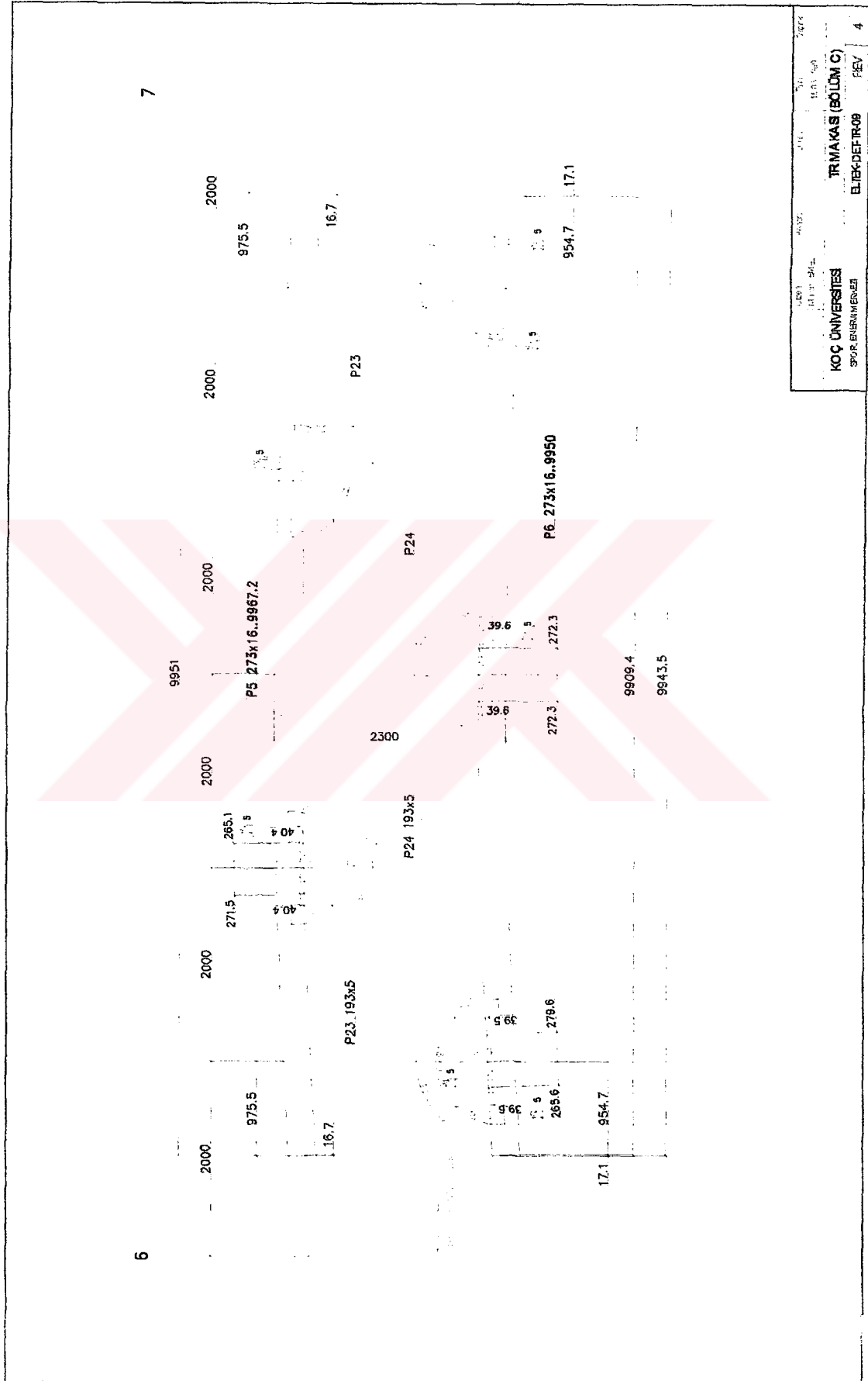
3

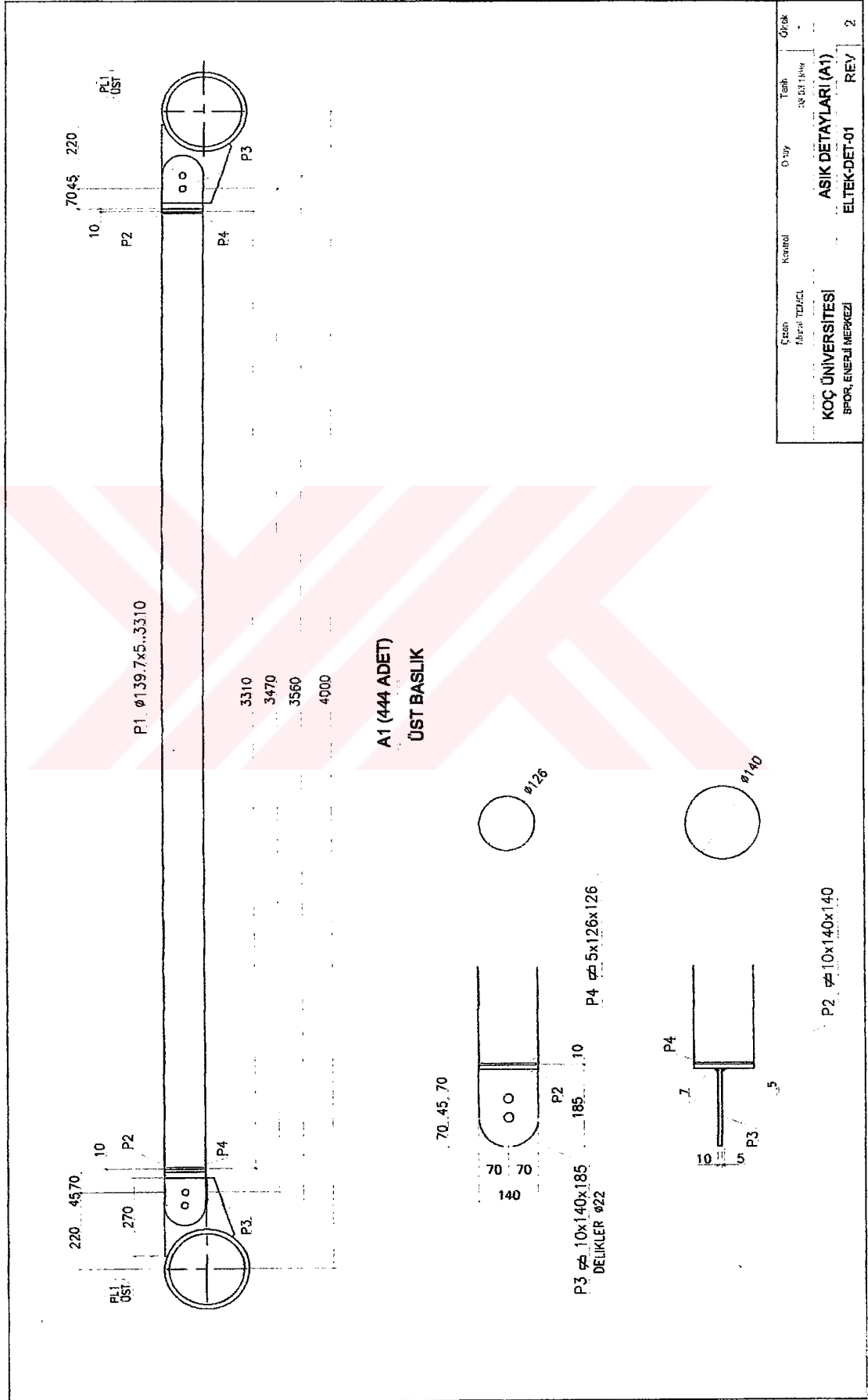


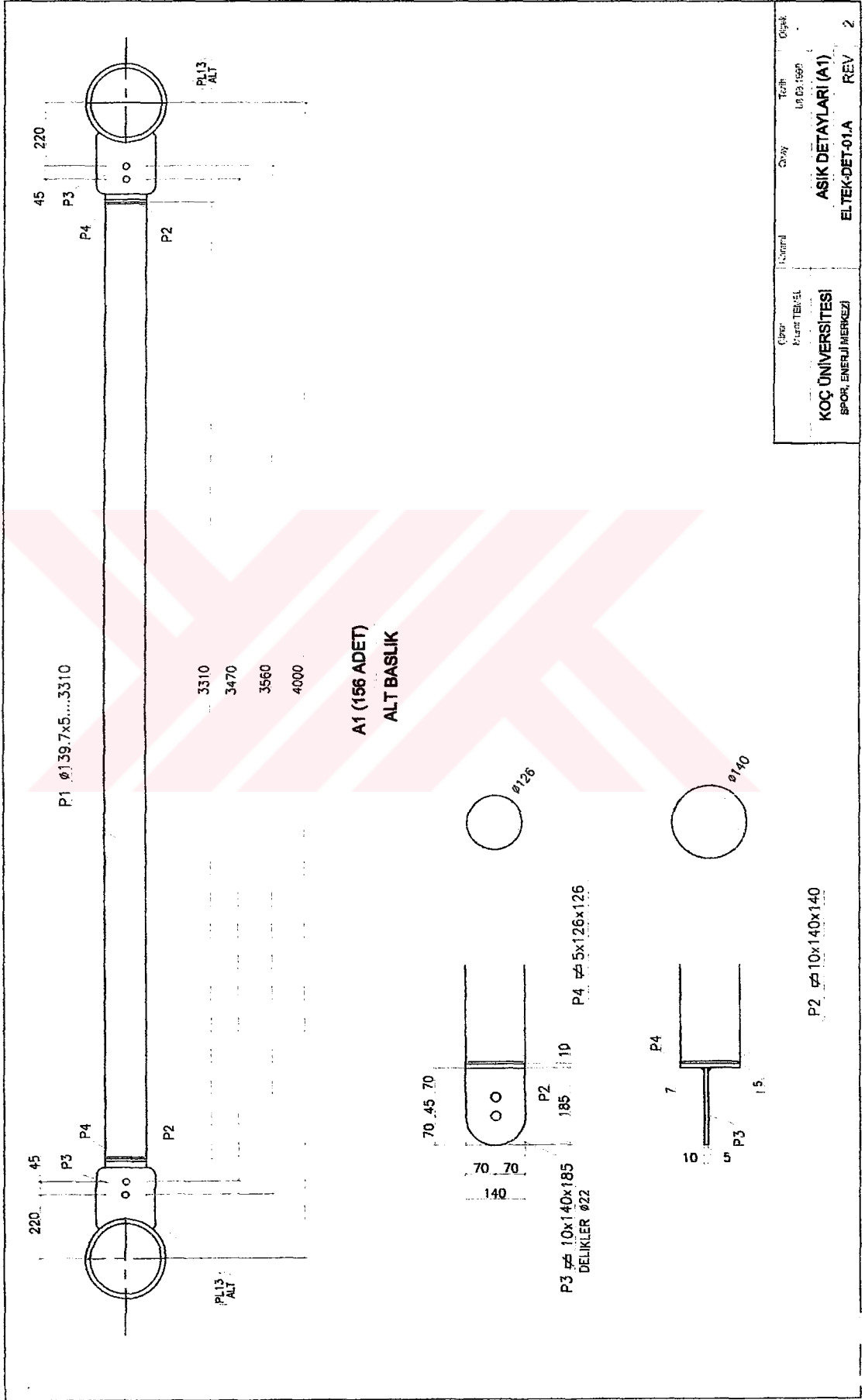
|                     |      |                  |       |
|---------------------|------|------------------|-------|
| Çizim               | Onay | Tarih            | Ölçek |
| MURAT TAHER         |      | 16.05.2019       |       |
| Kontrol             |      | TRAKYA (SÖLÜM A) |       |
| KOÇ ÜNİVERSİTESİ    |      | ELEKTR-07        |       |
| SP.R. ENERJİ MÜHÜRÜ |      | REV              | 3     |



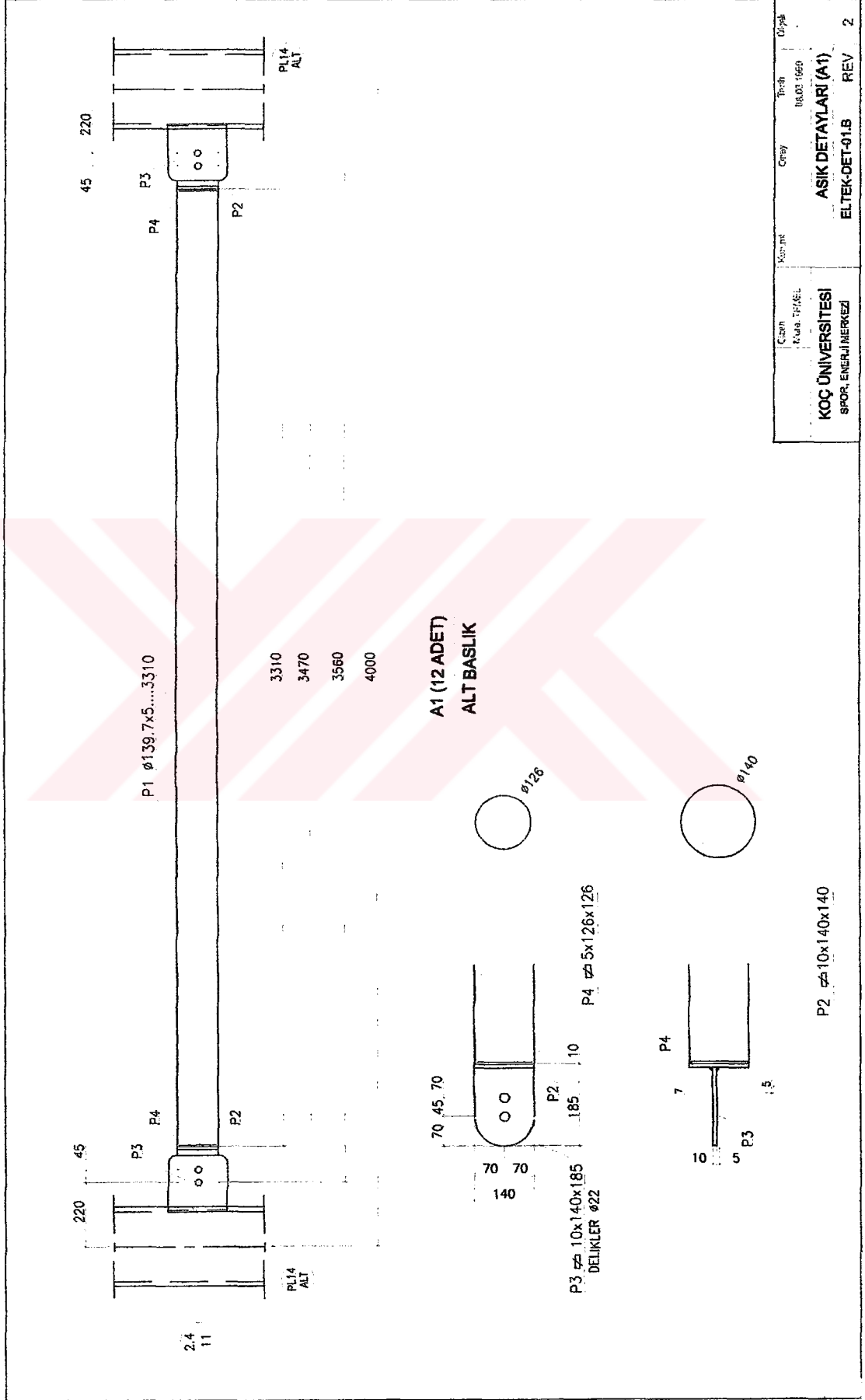
|                           |      |       |       |       |
|---------------------------|------|-------|-------|-------|
| YERİ                      | NOVA | ÇİFTİ | ÇİFTİ | ÇİFTİ |
| KÖYÜ                      | NOVA | ÇİFTİ | ÇİFTİ | ÇİFTİ |
| <b>KOÇ ÜNİVERSİTESİ</b>   |      |       |       |       |
| FOR ENERJİLERGEZ          |      |       |       |       |
| <b>IRMAKASI (BÖLÜM B)</b> |      |       |       |       |
| ELEKTRİKLER               |      |       |       |       |
|                           |      |       |       | REV 4 |



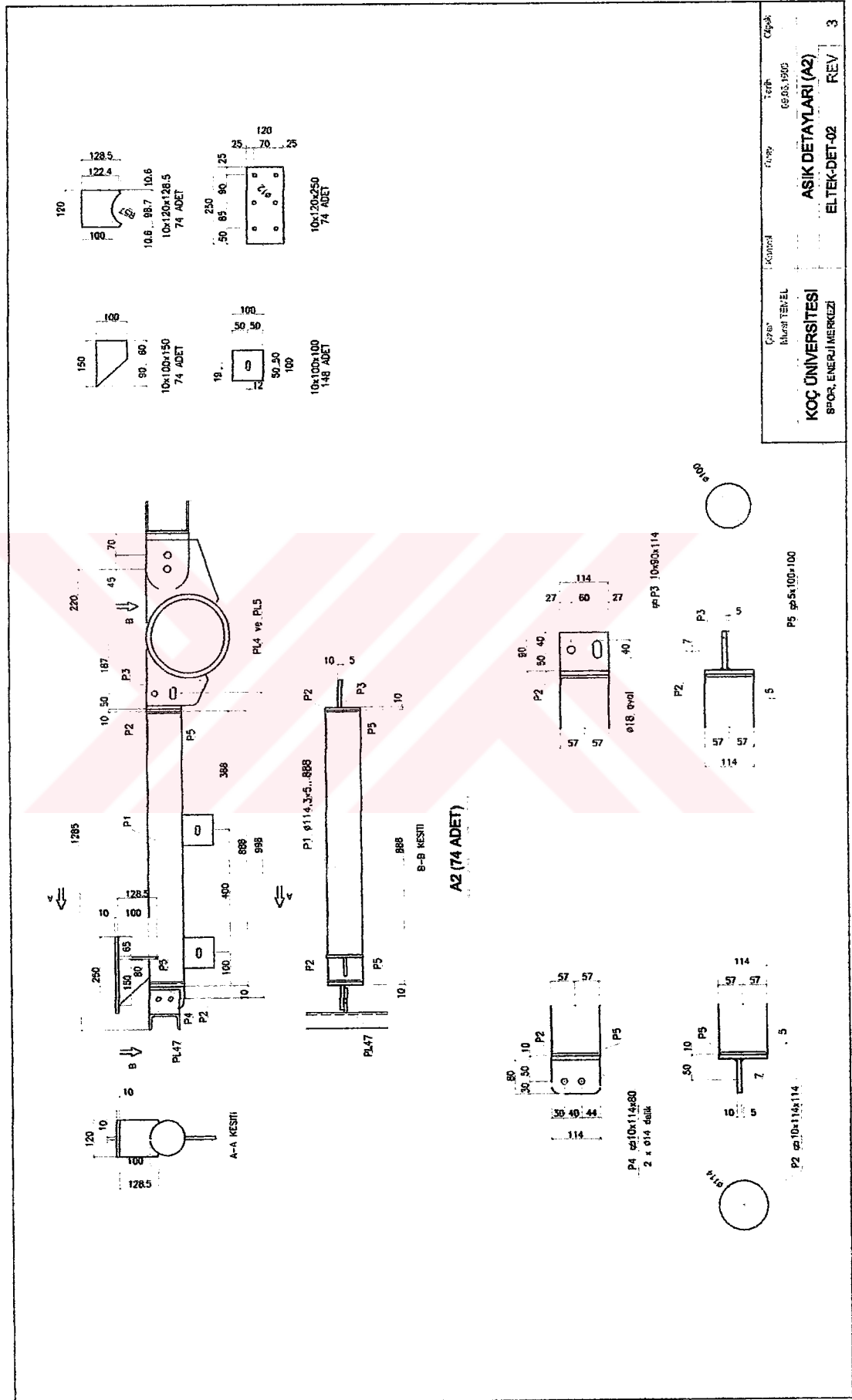




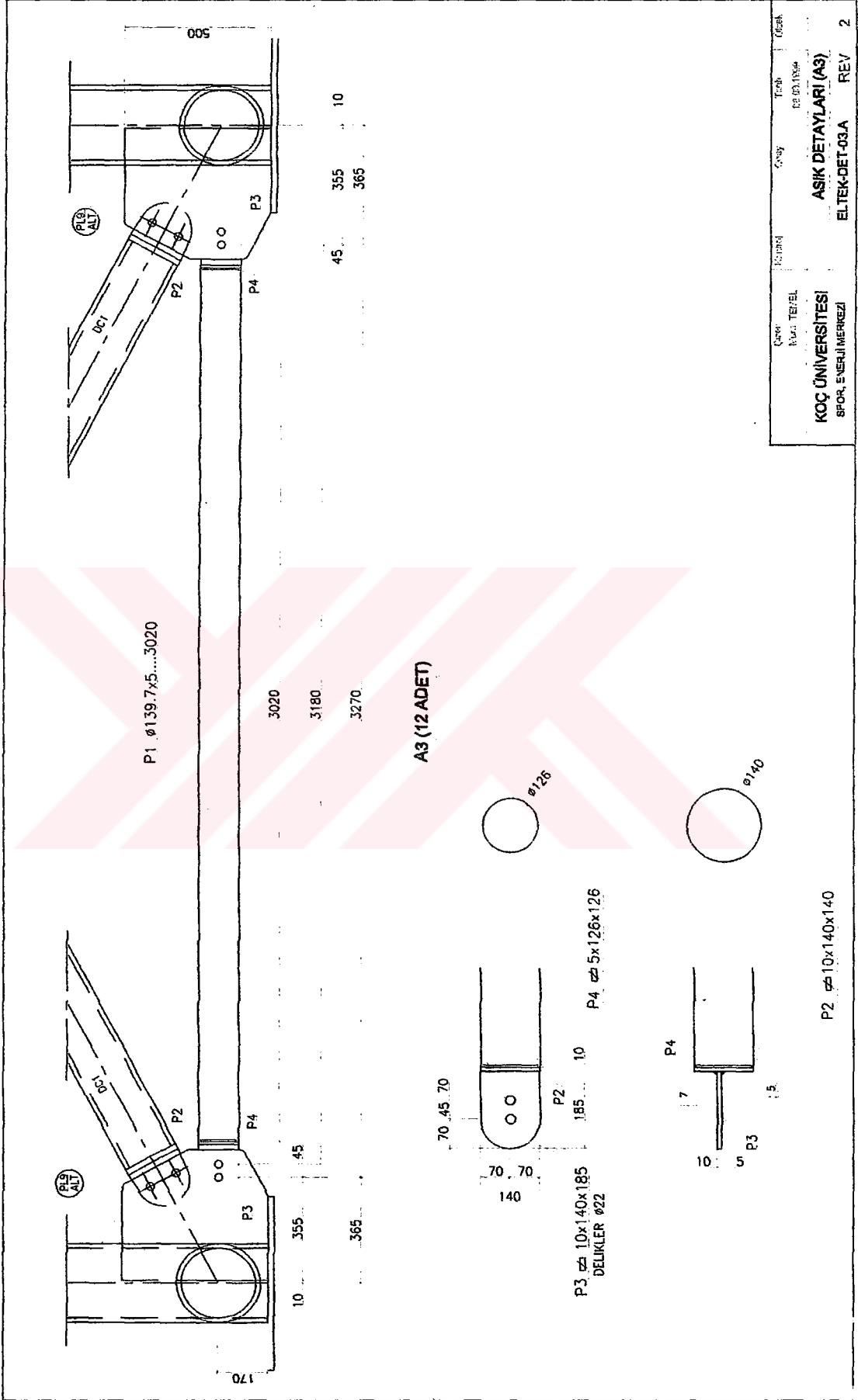
|  |        |       |            |       |
|--|--------|-------|------------|-------|
| Çizim<br>Kısmı: TEKVEL                   | Numara | Çizim | Tarih      | Ölçek |
| KOÇ ÜNİVERSİTESİ<br>SPOR, ENERJİ MERKEZİ |        |       | 10.03.1999 |       |
| <b>ASIK DETAYLARI (A1)</b>               |        |       | REV        | 2     |
| ELTEK-DET-01A                            |        |       |            |       |



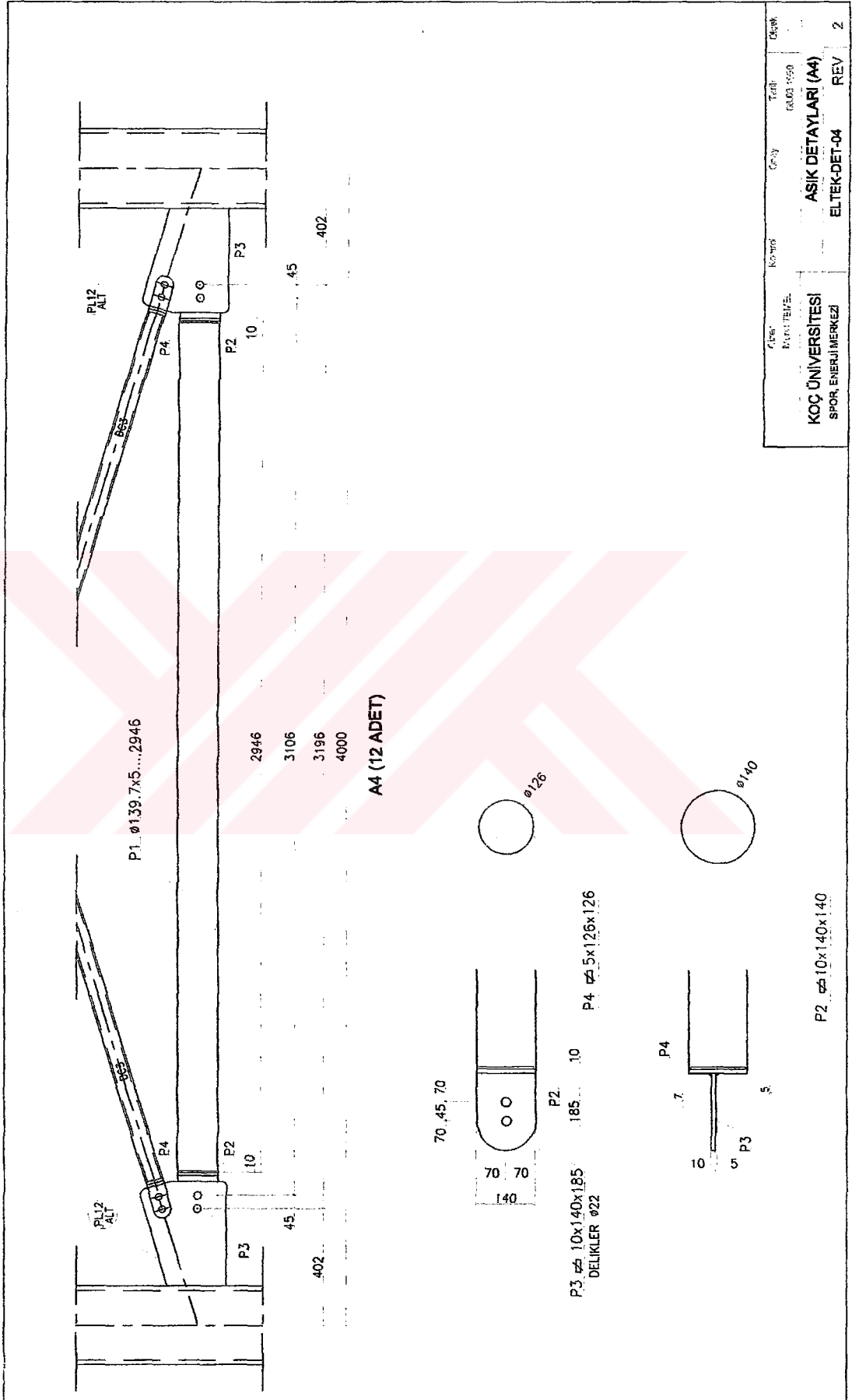
|  |         |               |                                       |                |
|--|---------|---------------|---------------------------------------|----------------|
| Çizim<br>Kısa: TR/ASL                    | Kon: mt | Çizim<br>Gney | İşlet<br>BB.03.15659                  | Çizim<br>01/98 |
| KOÇ ÜNİVERSİTESİ<br>SPOR. ENERJİ MERKEZİ |         |               | ASIK DETAYLARI (A1)<br>ELTEK-OET-01.B | REV 2          |



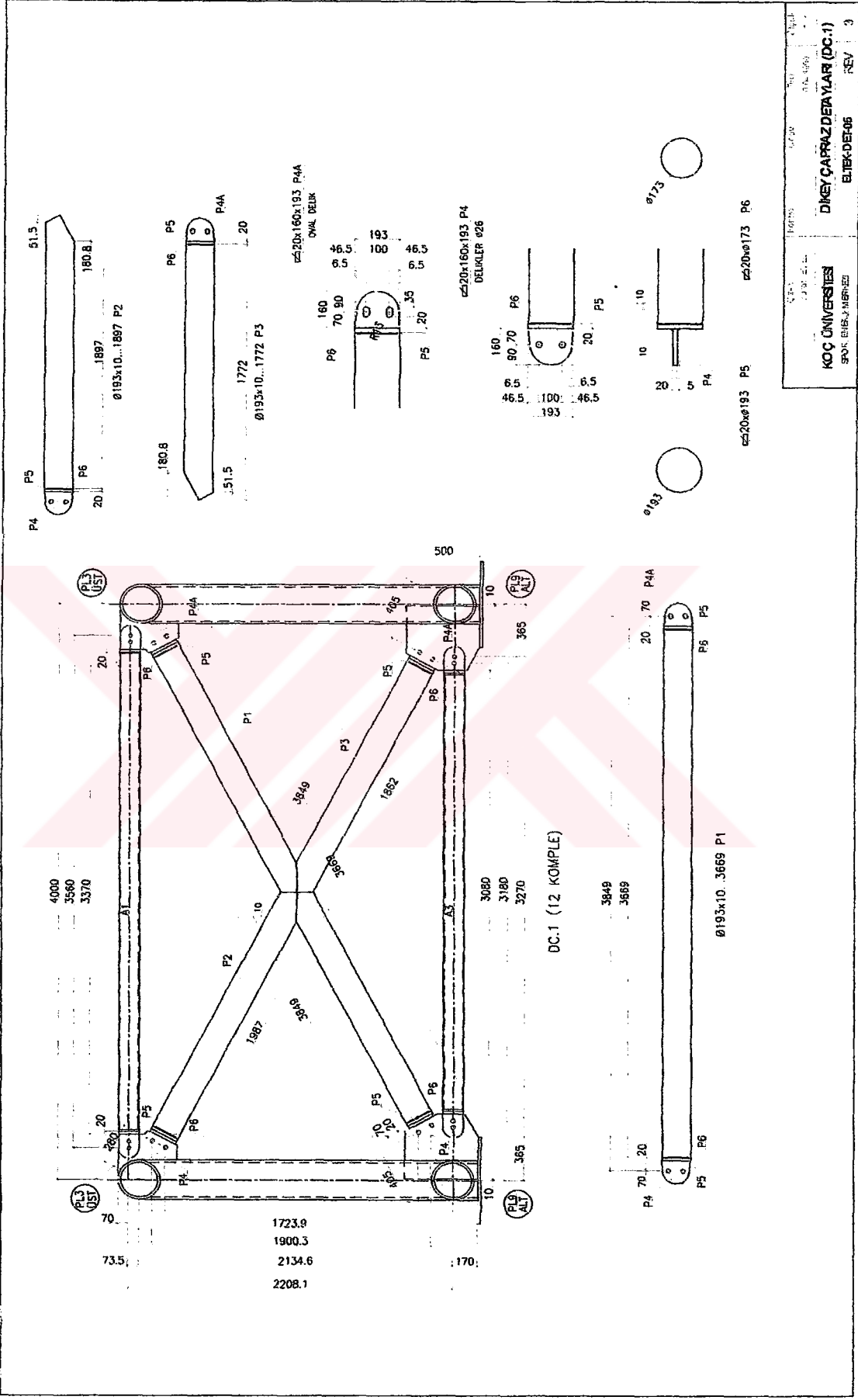


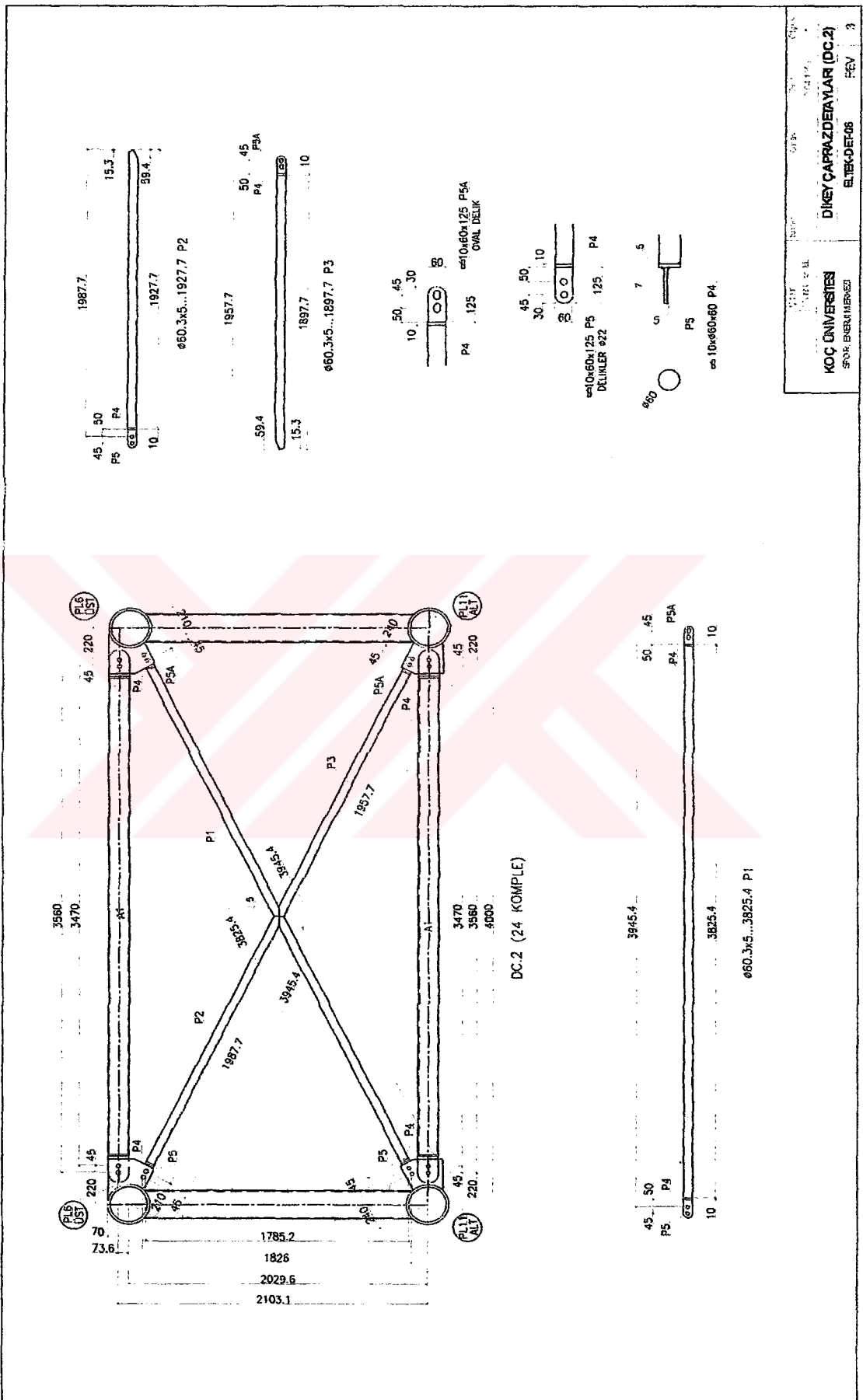


| Çizim                                    | Revizyon                              | Tarih      | Çizim |
|--|---------------------------------------|------------|-------|
| KOÇ ÜNİVERSİTESİ<br>SPOR, ENERJİ MERKEZİ | ASIK DETAYLARI (A3)<br>ELTEK-DET-03.A | 03.03.2018 | REV 2 |

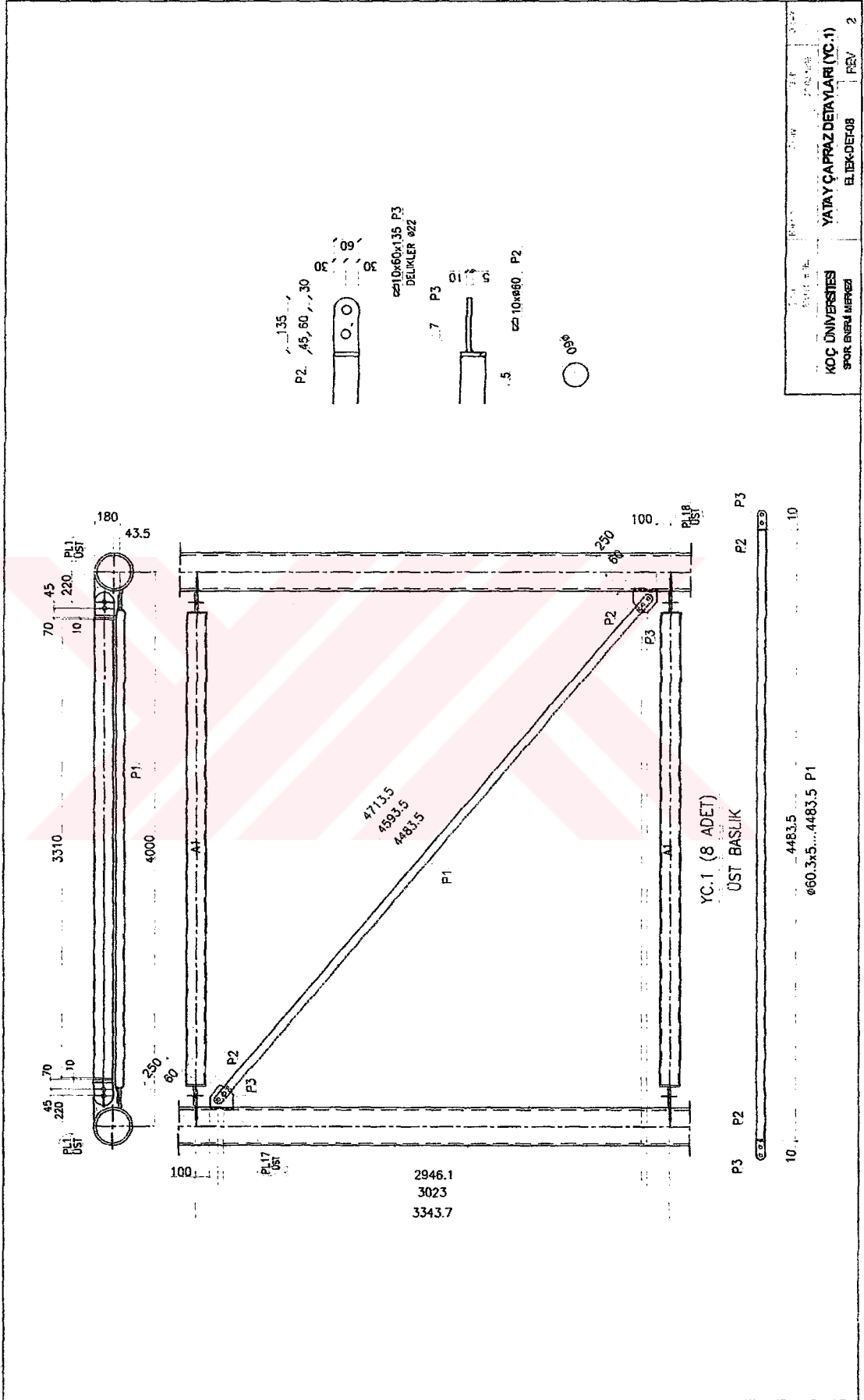


|  |          |       |                                     |       |
|--|----------|-------|-------------------------------------|-------|
| Çizim                                    | Revizyon | Çizim | Tarih                               | Çizim |
| YAPILAN                                  |          |       | 03.03.1990                          |       |
| KOÇ ÜNİVERSİTESİ<br>SPOR, ENERJİ MERKEZİ |          |       | ASIK DETAYLARI (A4)<br>ELTEK-DET-04 |       |
|  |          |       | REV                                 | 2     |

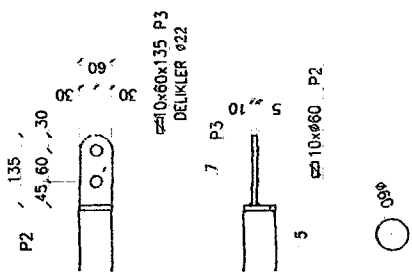
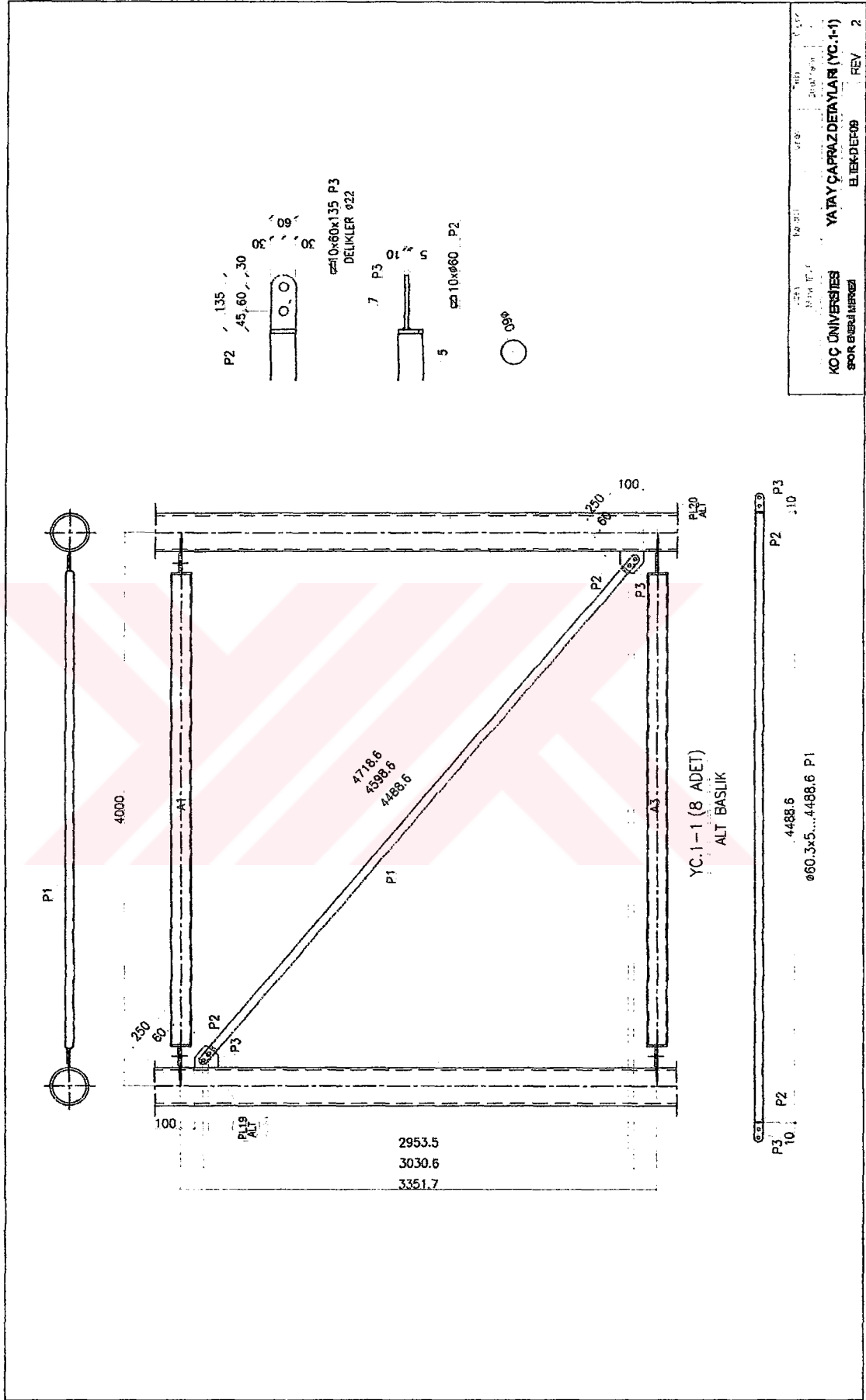




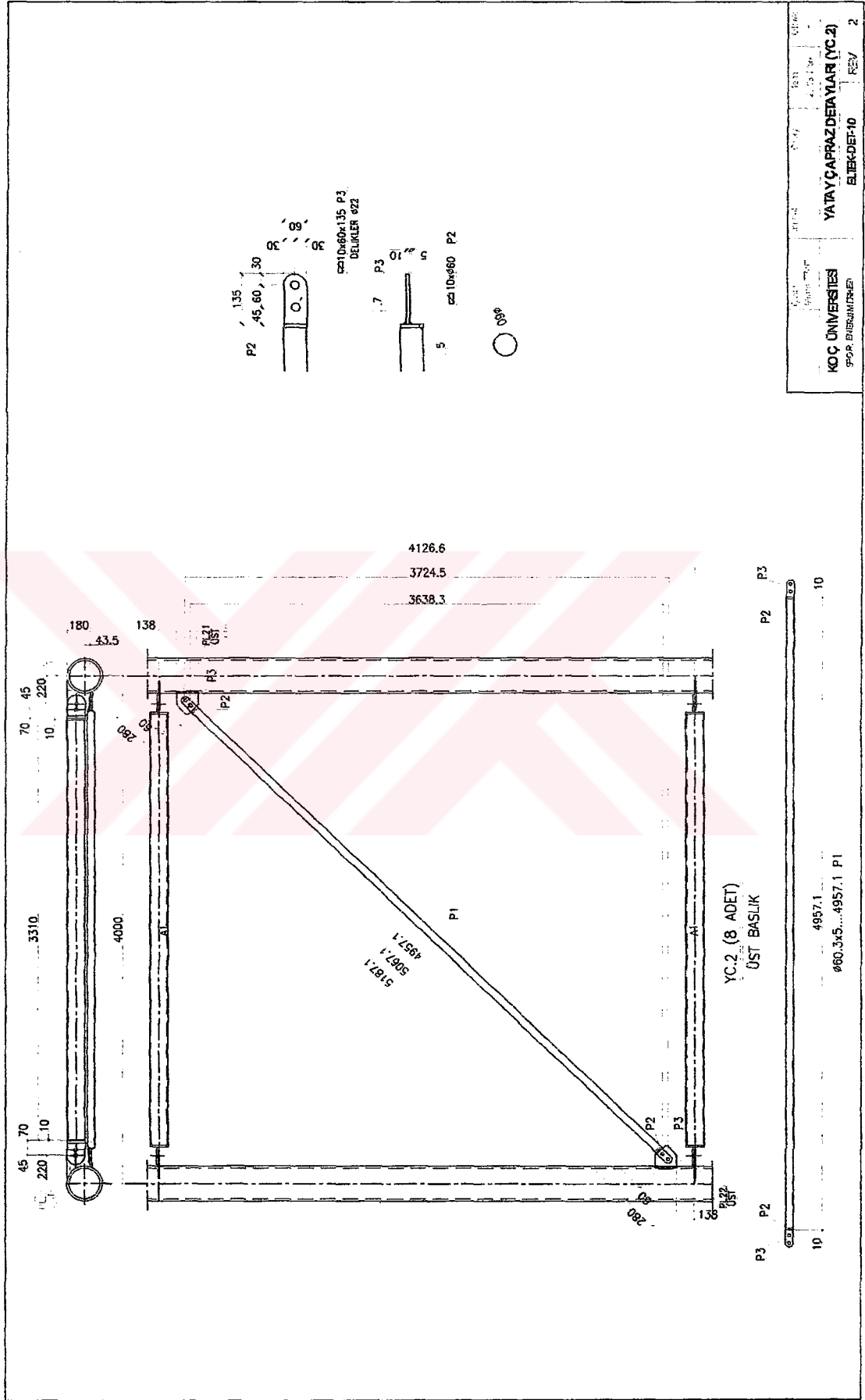




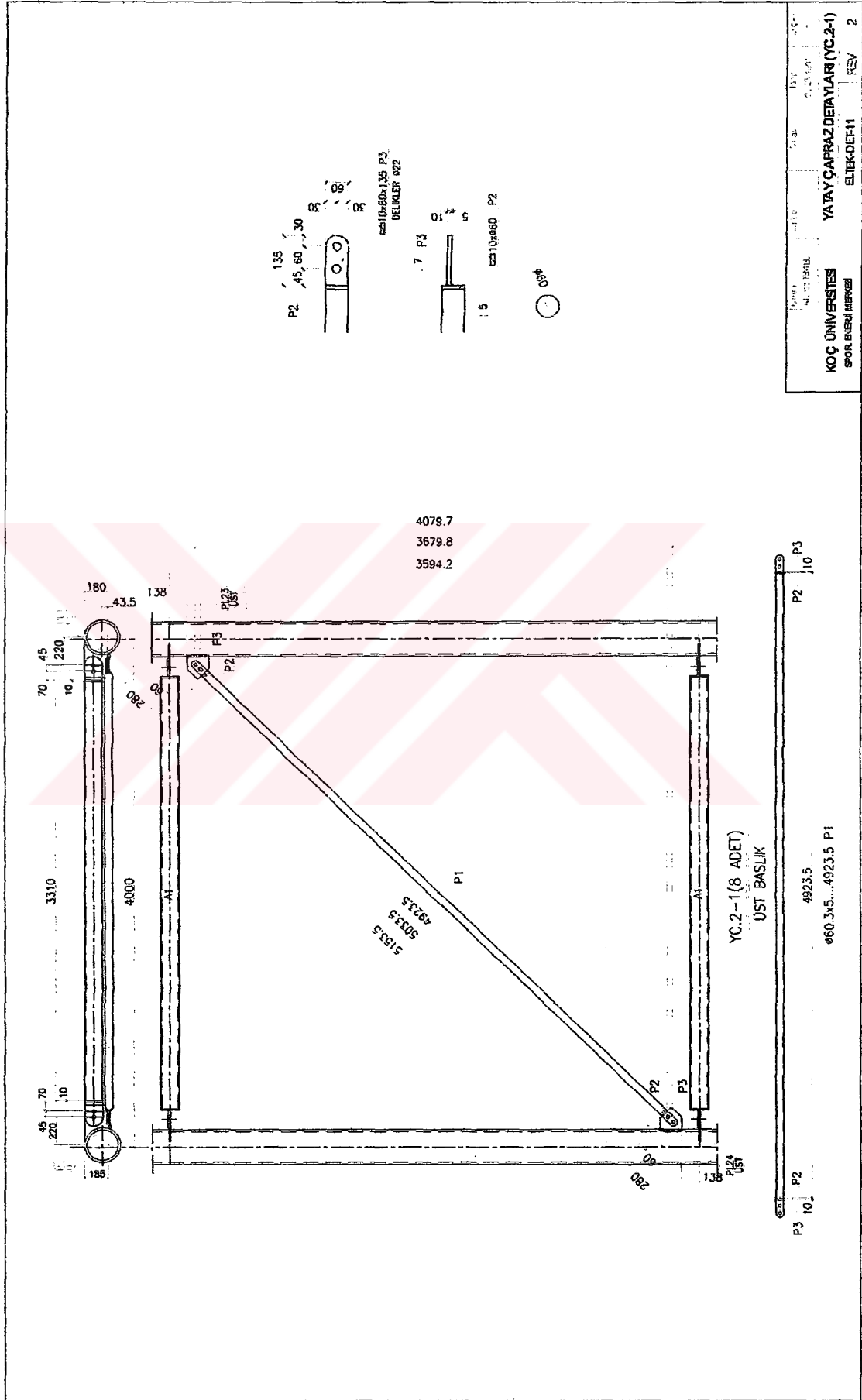
|                               |                    |     |   |
|-------------------------------|--------------------|-----|---|
| YATAY ÇAPRAZ DETAYLARI (YC-1) | EL TEK-DET-08      | FSV | 2 |
| KOCÜ ÜNİVERSİTESİ             | SPOR ENJENİYERLİĞİ |     |   |



|   |                                  |             |     |   |
|---|----------------------------------|-------------|-----|---|
| KOÇ ÜNİVERSİTESİ<br>SPOR ENERJİ MERKEZİ | YATAY ÇAPRAZ DETAYLARI (Y.C.1-1) | BLTİK-DEF09 | REV | 2 |
|---|----------------------------------|-------------|-----|---|





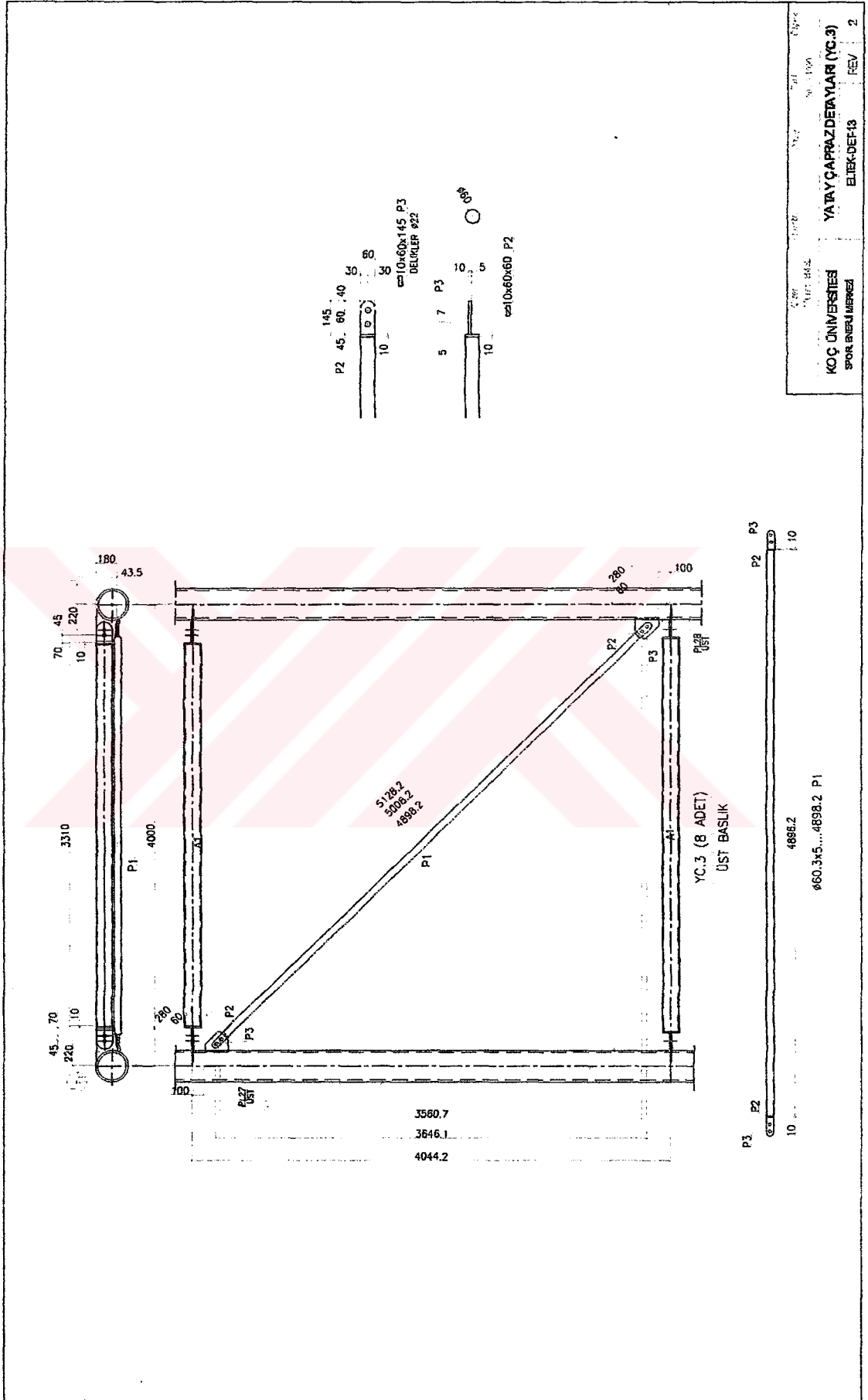


KOÇ ÜNİVERSİTESİ  
SPOR ENJENYERLİĞİ

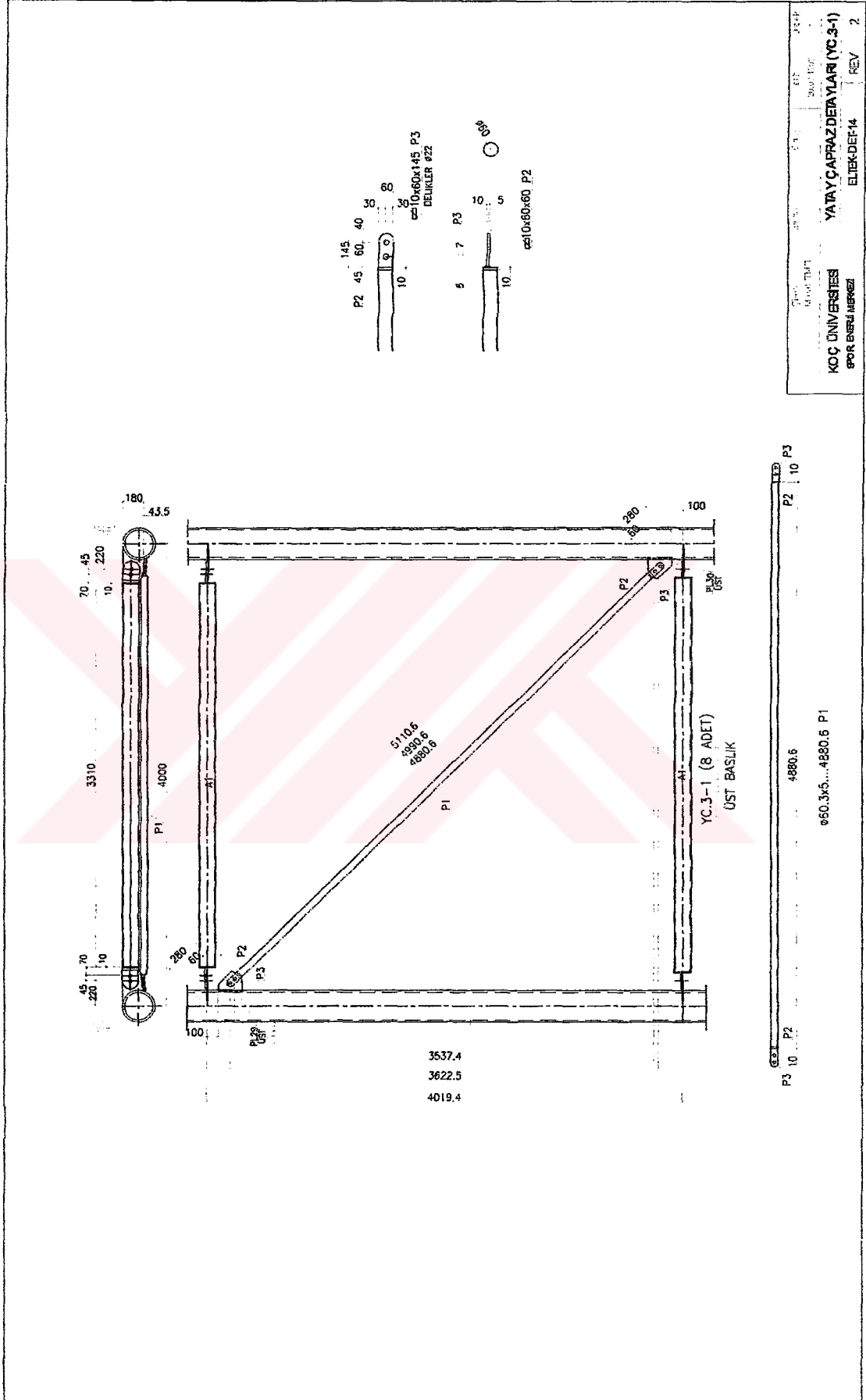
YATAY ÇAPRAZ DETAYLARI (YC.2-1)

ELTEK-DET11 REV 2





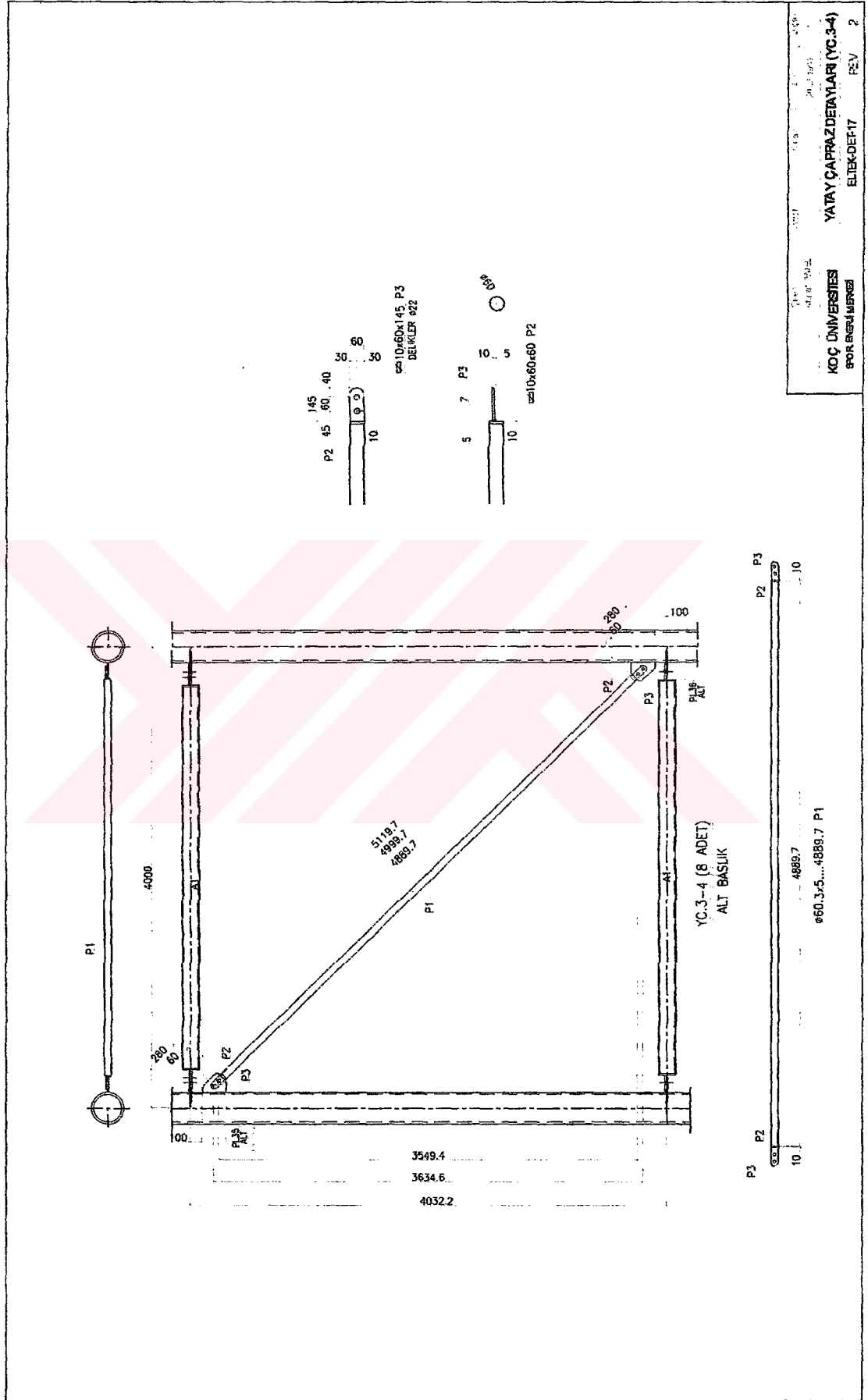
|                                     |                             |              |             |
|-------------------------------------|-----------------------------|--------------|-------------|
| ŞİRKETİ                             | PROJE NO                    | REVİZYON     | REVİZYON NO |
| KOÇ ÜNİVERSİTESİ<br>SPOR ENJİNİNERİ | YATAY ÇAPRAZDEYİRLER (YC.3) | ELTEK-DEF-18 | 2           |



KOC UNIVERSITESI  
 SPOR ENERJİ MERKEZİ  
 YATAY ÇAPRAZ DETAYLARI (YC.3-1)  
 ELTBK-DEF14  
 REV 2



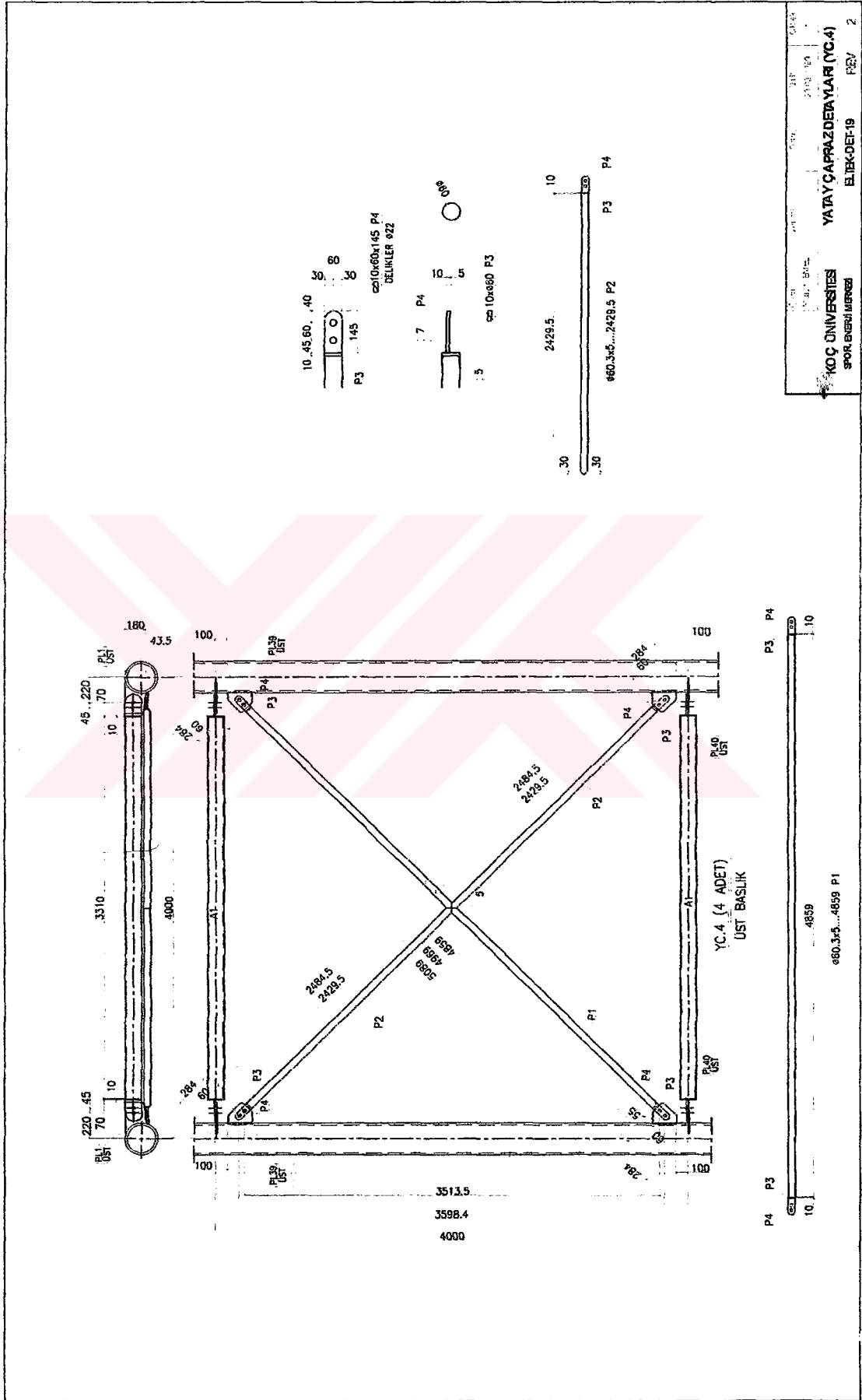


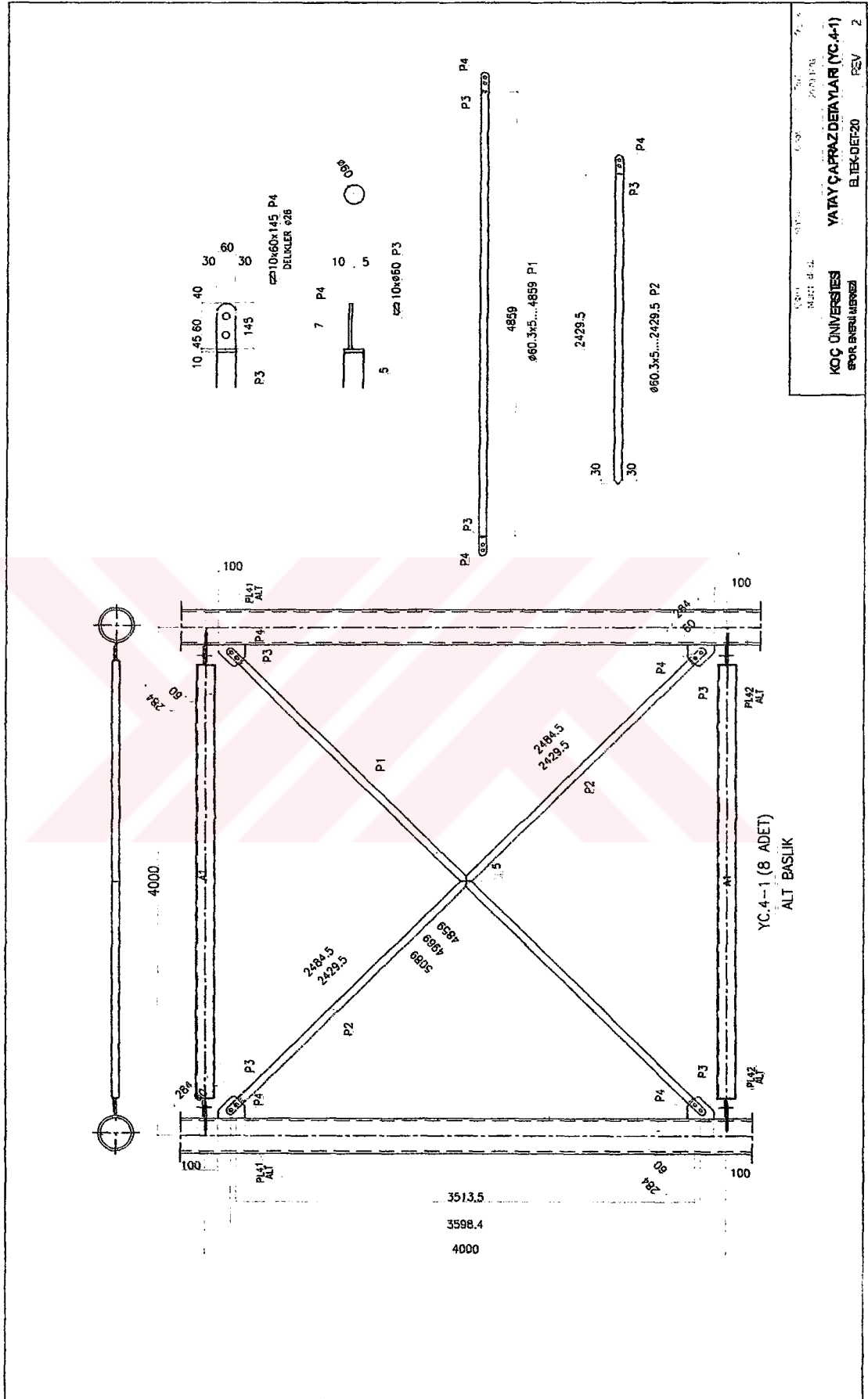


KOÇ ÜNİVERSİTESİ  
 İNŞAAT MÜHÜRÜ  
 YATAY ÇAPRAZDETAIYARI (YC.3-4)  
 ELİBÖRER17 REV. 2





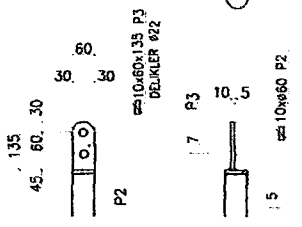
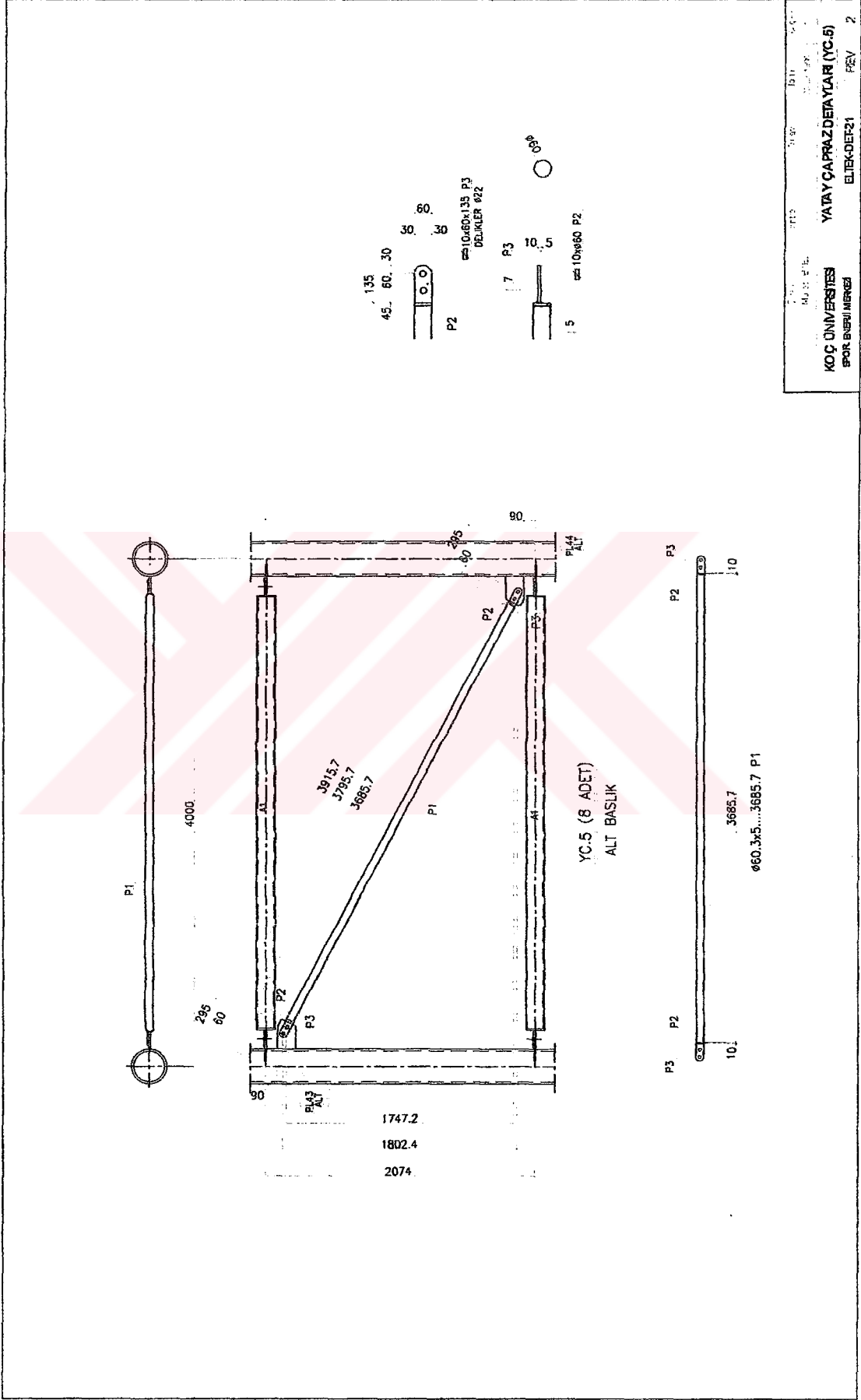




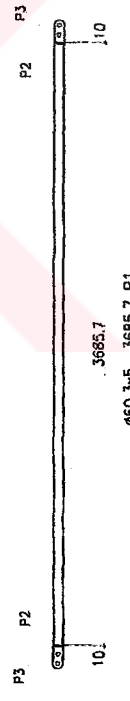
KOC UNIVERSITESI  
SPOR ENERJİ MERKEZİ

YATAY ÇAPRAZ DETAYLARI (YC.4-1)

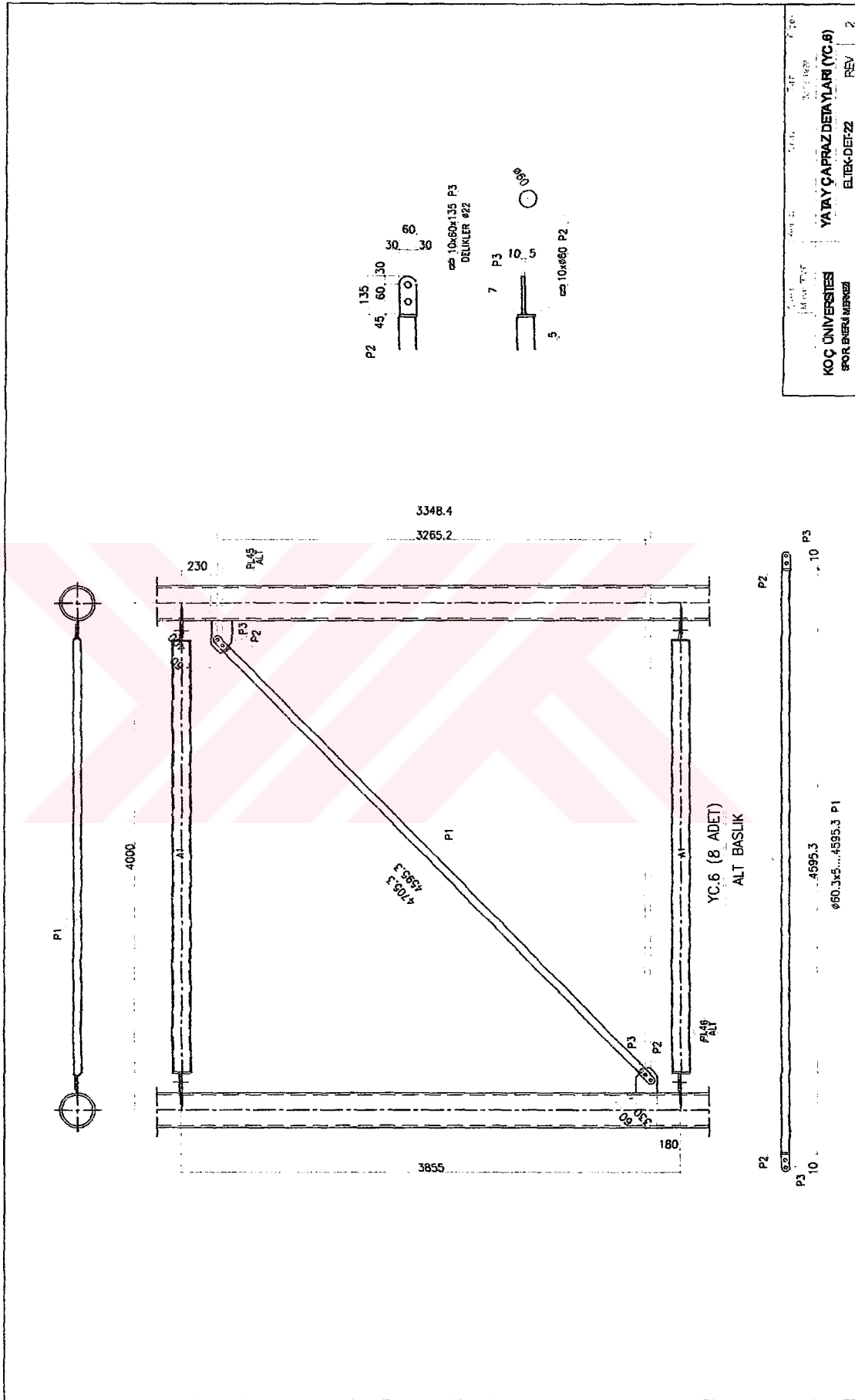
B. TEK-DEF20 REV 2



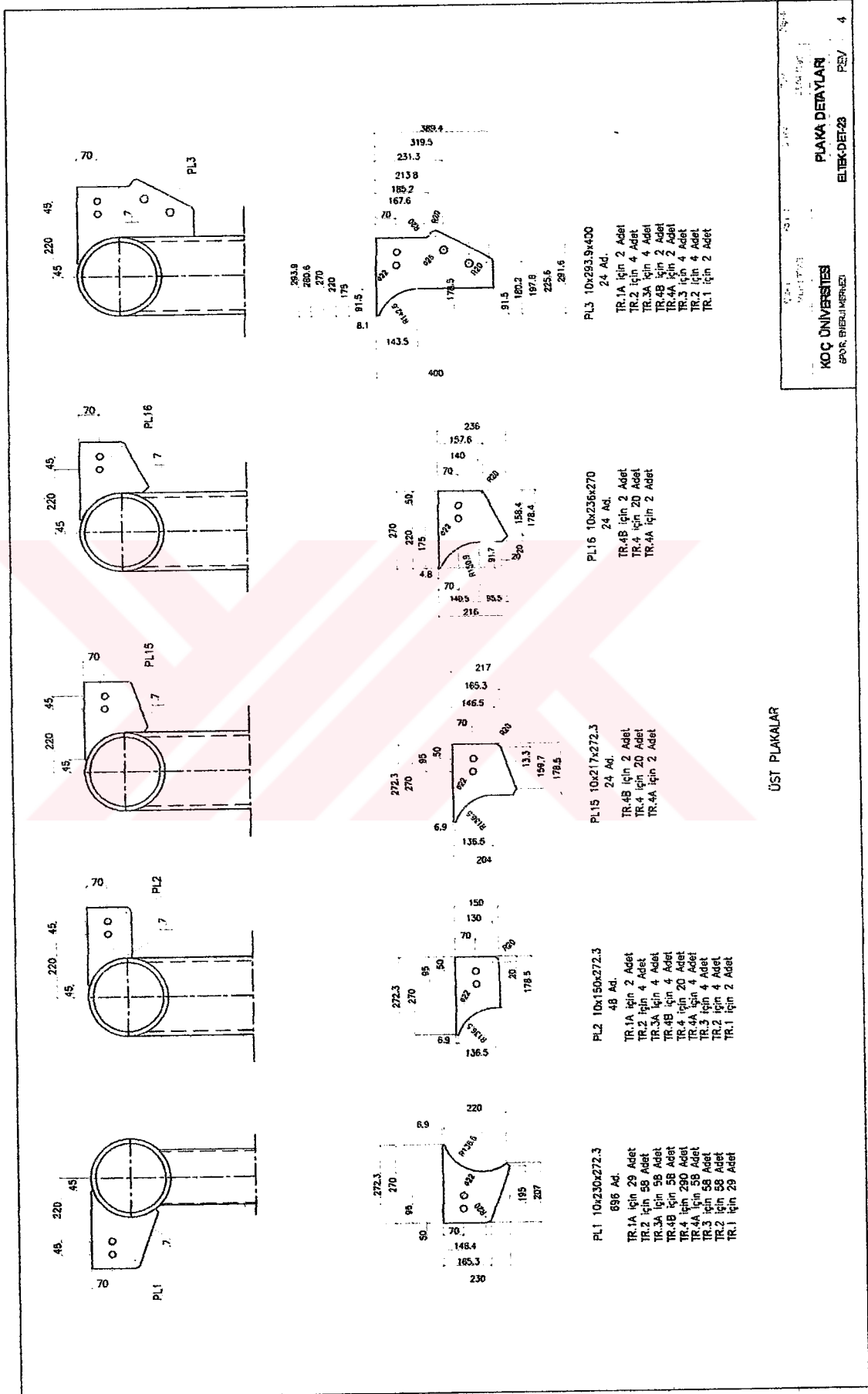
1747.2  
1802.4  
2074



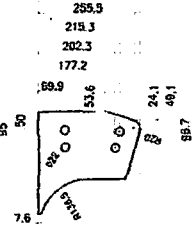
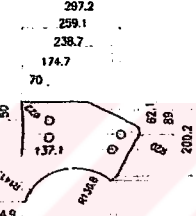
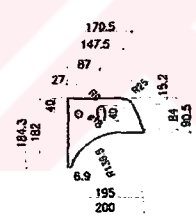
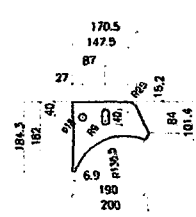
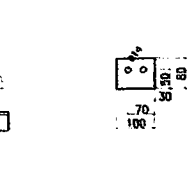
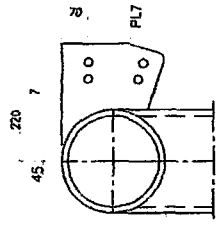
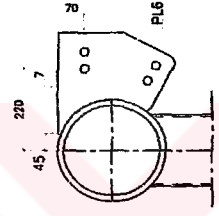
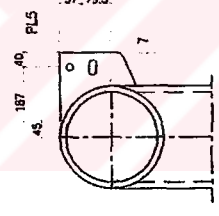
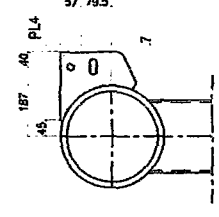
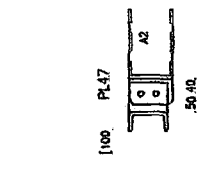
ø60.3x5....3685.7 P1



|  |  |     |   |
|--|--|-----|---|
| KOC UNIVERSITESI<br>SPOR BIRLERI MERKEZI | YATAY ÇAPRAZ DETAJLARI (Y.C.6)<br>ELTEK-DET-22 | REV | 2 |
|--|--|-----|---|



ÜST PLAKALAR



PL4 10x184,3x200  
50 Ad.  
TR.1A için 25 Adet  
TR.1 için 25 Adet

PL5 10x184,3x200  
4 Ad.  
TR.1A için 2 Adet  
TR.1 için 2 Adet

PL6 10x270x308,1  
48 Ad.  
TR.1A için 2 Adet  
TR.2 için 4 Adet  
TR.3A için 4 Adet  
TR.4B için 4 Adet  
TR.4 için 20 Adet  
TR.4A için 4 Adet  
TR.3 için 4 Adet  
TR.2 için 4 Adet  
TR.1 için 2 Adet

PL7 10x270x269,6  
24 Ad.  
TR.1A için 2 Adet  
TR.2 için 4 Adet  
TR.3A için 4 Adet  
TR.4B için 2 Adet  
TR.4A için 2 Adet  
TR.3 için 4 Adet  
TR.2 için 4 Adet  
TR.1 için 2 Adet

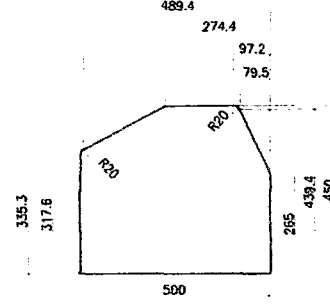
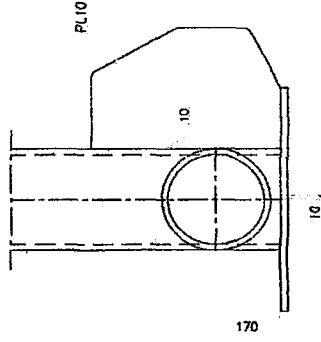
PL7 10x270x269,6  
24 Ad.  
TR.1A için 2 Adet  
TR.2 için 4 Adet  
TR.3A için 4 Adet  
TR.4B için 2 Adet  
TR.4A için 2 Adet  
TR.3 için 4 Adet  
TR.2 için 4 Adet  
TR.1 için 2 Adet

ÜST PLAKALAR

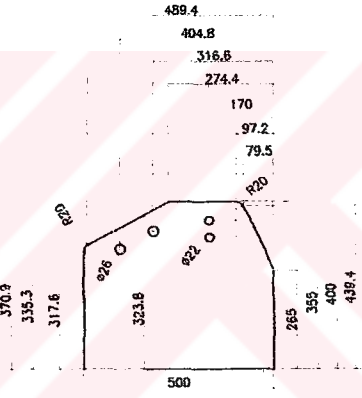
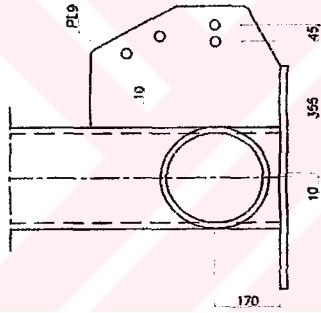
KOÇ ÜNİVERSİTESİ  
SPOR ENJENYERLİĞİ

PLAKA DEAYLAR  
ELTRK-DET24

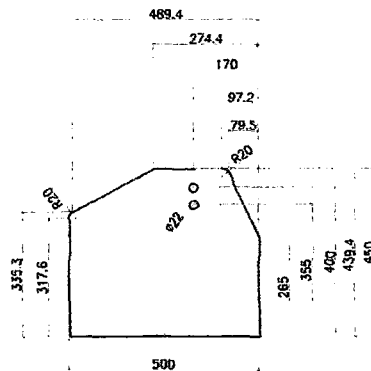
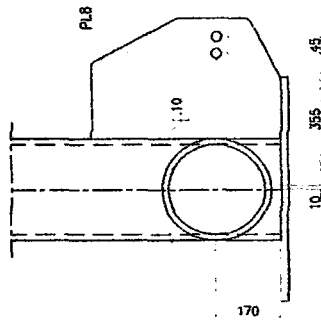
REV 3



PL10 20x450x500  
4 Ad.  
TR.1A için 2 Adet  
TR.1 için 2 Adet



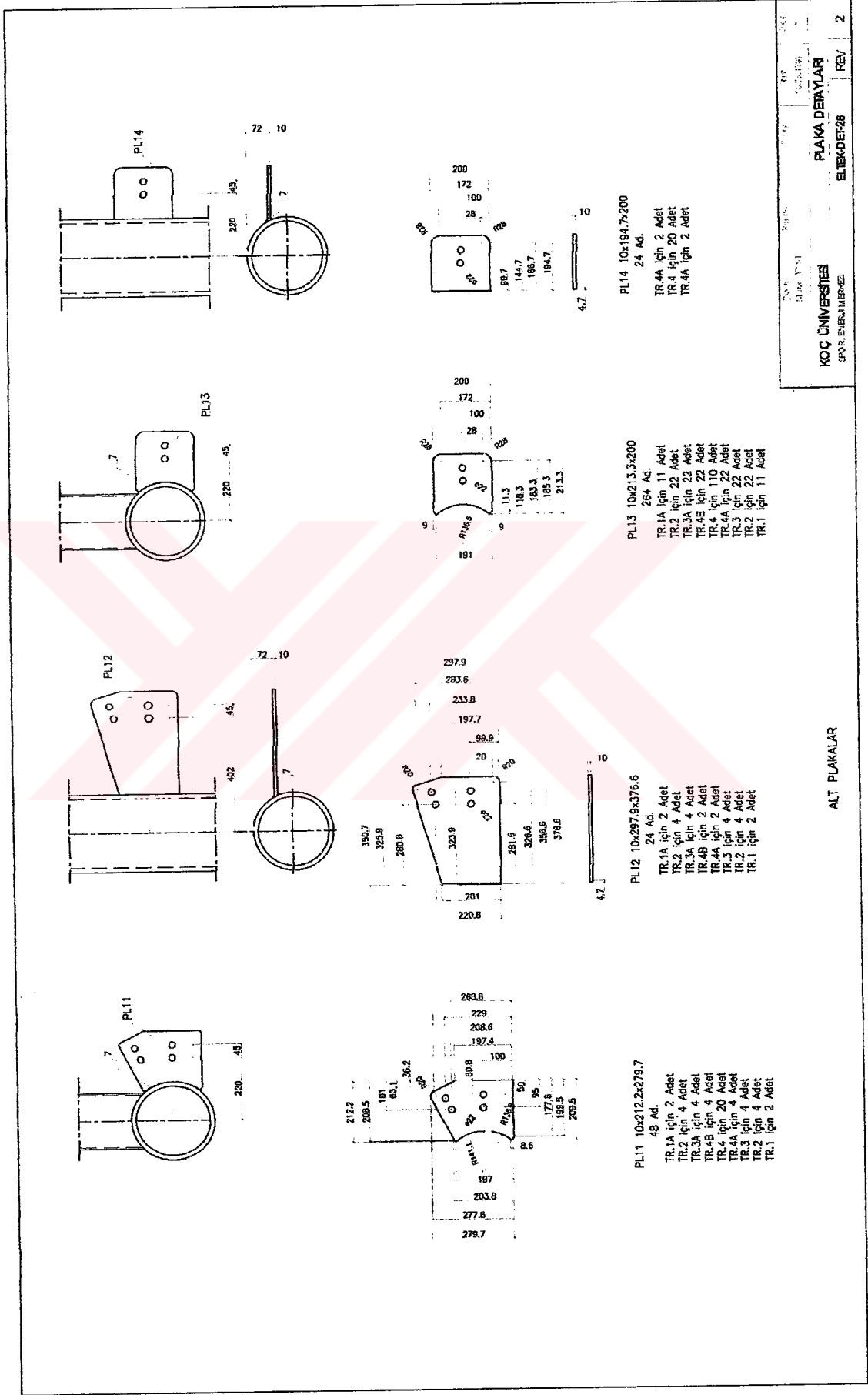
PL9 20x450x500  
24 Ad.  
TR.1A için 2 Adet  
TR.2 için 4 Adet  
TR.3A için 4 Adet  
TR.4B için 2 Adet  
TR.4A için 2 Adet  
TR.3 için 4 Adet  
TR.2 için 4 Adet  
TR.1 için 2 Adet



PL8 20x450x500  
24 Ad.  
TR.4B için 2 Adet  
TR.4 için 20 Adet  
TR.4A için 2 Adet

ALT PLAKALAR

KOC UNIVERSITESI  
SPOR ENERJİ MERKEZİ  
ELİBÖĞEZ  
PLAKA DETAYLARI  
REV 3



PL11 10x212.2x279.7  
48 Ad.  
TR.1A için 2 Adet  
TR.2 için 4 Adet  
TR.3A için 4 Adet  
TR.4B için 4 Adet  
TR.4 için 20 Adet  
TR.4A için 4 Adet  
TR.3 için 4 Adet  
TR.2 için 4 Adet  
TR.1 için 2 Adet

PL12 10x297.9x376.6  
24 Ad.  
TR.1A için 2 Adet  
TR.2 için 4 Adet  
TR.3A için 4 Adet  
TR.4B için 2 Adet  
TR.4A için 2 Adet  
TR.3 için 4 Adet  
TR.2 için 4 Adet  
TR.1 için 2 Adet

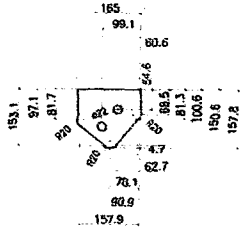
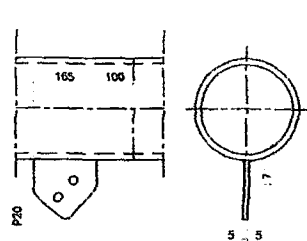
PL13 10x213.3x200  
264 Ad.  
TR.1A için 11 Adet  
TR.2 için 22 Adet  
TR.3A için 22 Adet  
TR.4B için 22 Adet  
TR.4 için 110 Adet  
TR.4A için 22 Adet  
TR.3 için 22 Adet  
TR.2 için 22 Adet  
TR.1 için 11 Adet

PL14 10x194.7x200  
24 Ad.  
TR.4A için 2 Adet  
TR.4 için 20 Adet  
TR.4A için 2 Adet

ALT PLAKALAR

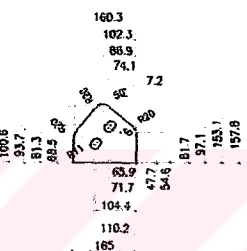
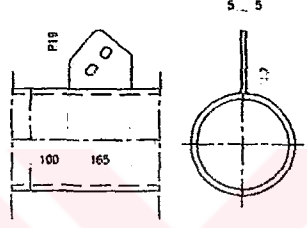
|                                     |       |         |               |
|-------------------------------------|-------|---------|---------------|
| Yazan                               | Çizim | Denetim | Revizyon      |
| M.ÖZGEN                             |       |         |               |
| KOC ÇİMERİTESİ<br>GARİBESLER MİHİRİ |       |         | PLAKA DEAYLAR |
| EJTBKDET-28                         |       |         | REV 2         |





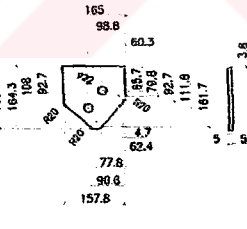
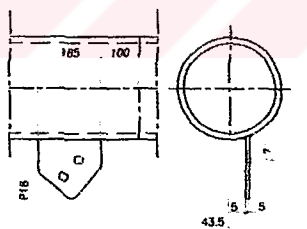
P20  
165 100  
17  
5  
5  
153.1 97.1 81.7 165 99.1 80.6 54.6 88.5 4.7 78.1 80.9 157.9 62.7 100.6 150.6 81.3 157.2

PL20 10x157,8x165  
8 Adet  
TR.1A için 2 Adet  
TR.3A için 2 Adet  
TR.3 için 2 Adet  
TR.1 için 2 Adet



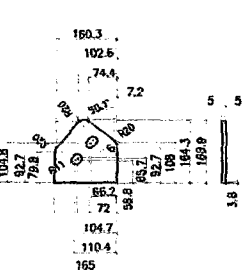
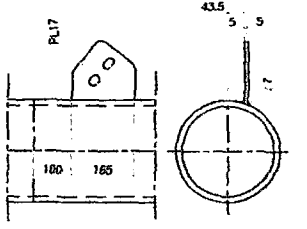
P19  
100 165  
17  
5  
5  
150.6 100.6 93.7 81.3 88.5 160.3 102.3 88.9 74.1 7.2 98 95 90 80 80.9 47.7 54.6 81.7 104.4 71.7 110.2 165 153.1 157.8

PL19 10x157,8x165  
8 Adet  
TR.2 için 4 Adet  
TR.2 için 4 Adet



P18  
165 100  
17  
5  
5  
168.9 164.3 109 92.7 165 98.8 60.3 80.7 78.8 70.8 82.7 111.8 161.7 77.8 62.4 90.6 157.8 165 104.7 110.4 165 181.7 111.8 104.8 82.7 79.8 85.2 85.2 82.7 164.3 168.9 72 58.8 104.7 110.4 165 3.8 5 5

PL18 10x165x168.9  
8 Adet  
TR.1A için 2 Adet  
TR.3A için 2 Adet  
TR.3 için 2 Adet  
TR.1 için 2 Adet

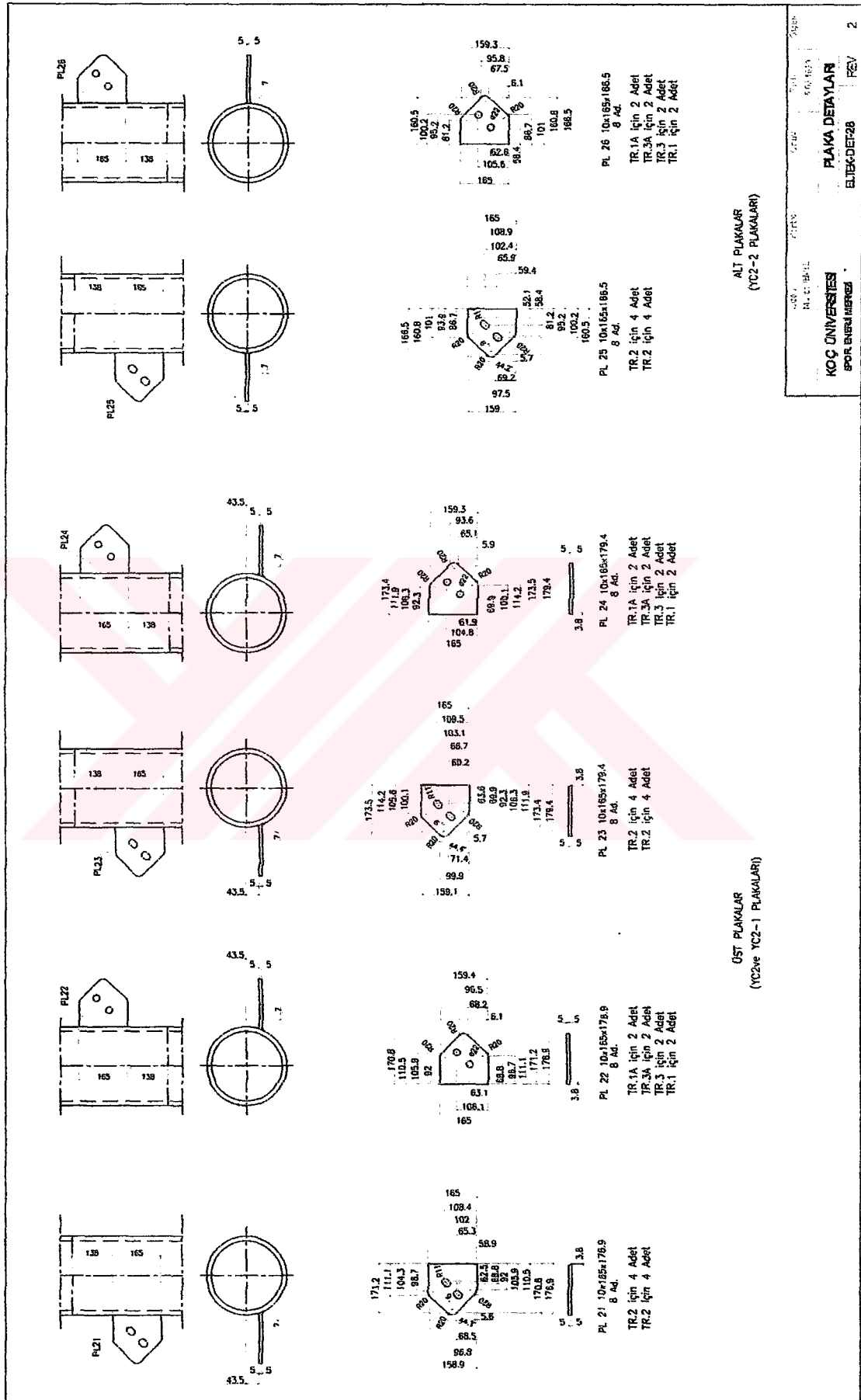


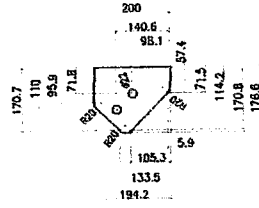
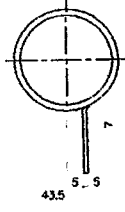
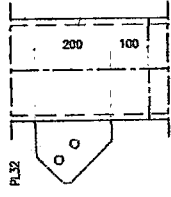
P17  
100 165  
17  
5  
5  
160.3 102.6 74.4 7.2 98 95 90 80 80.9 47.7 54.6 81.7 104.4 71.7 110.2 165 153.1 157.8

PL17 10x165x168.9  
8 Adet  
TR.2 için 4 Adet  
TR.2 için 4 Adet

ALT PLAKALAR  
(YC1-1 PLAKALARI)

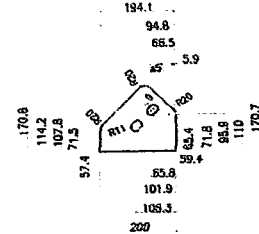
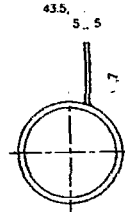
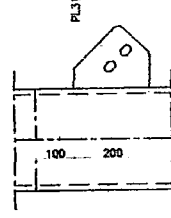
ÜST PLAKALAR  
(YC1 PLAKALARI)





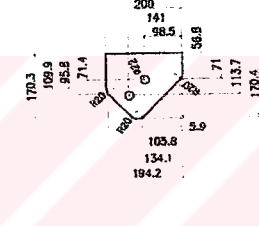
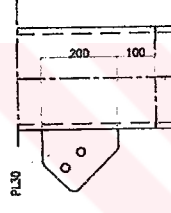
PL 32 10x176.5x200  
8 ADET

TR.1A için 2 Adet  
TR.3A için 2 Adet  
TR.3 için 2 Adet  
TR.1 için 2 Adet



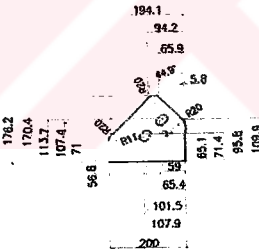
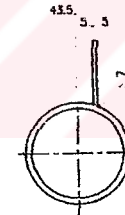
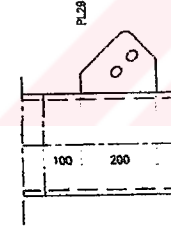
PL 31 10x176.5x200  
8 ADET

TR.2 için 4 Adet  
TR.2 için 4 Adet



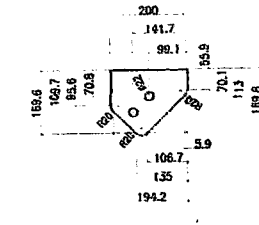
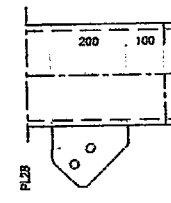
PL 30 10x176.5x200  
8 ADET

TR.1A için 2 Adet  
TR.3A için 2 Adet  
TR.3 için 2 Adet  
TR.1 için 2 Adet



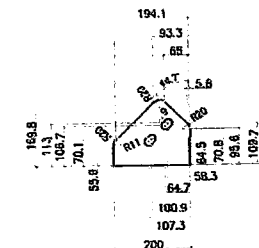
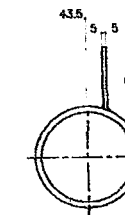
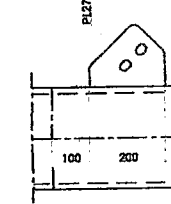
PL 29 10x176.5x200  
8 ADET

TR.2 için 4 Adet  
TR.2 için 4 Adet



PL 28 10x176.5x200  
8 ADET

TR.1A için 2 Adet  
TR.3A için 2 Adet  
TR.3 için 2 Adet  
TR.1 için 2 Adet

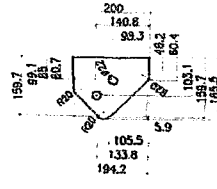
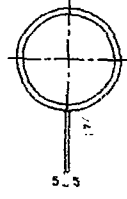
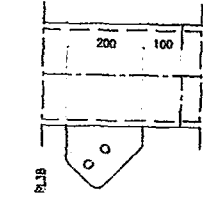


PL 27 10x176.5x200  
8 ADET

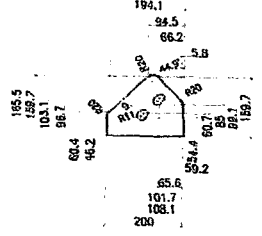
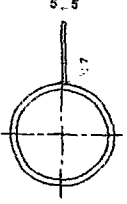
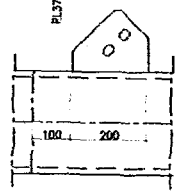
TR.2 için 4 Adet  
TR.2 için 4 Adet

UST PLAKALAR  
(YC3 , YC3-1 ve YC3-2 PLAKALARI)

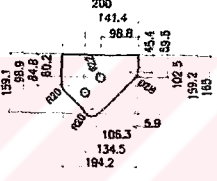
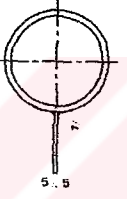
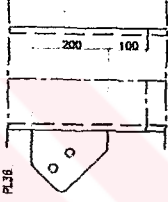
|                          |         |            |                    |
|--------------------------|---------|------------|--------------------|
| Yazan                    | Çizilen | Denetleyen | Revizyon           |
|                          |         |            |                    |
| <b>KOC UNIVERSITESI</b>  |         |            | <b>REV</b>         |
| <b>SPOR ENJENYERLIGI</b> |         |            | <b>ELTEK/DET28</b> |
| <b>PLAKA DEIAYLAR</b>    |         |            | <b>3</b>           |



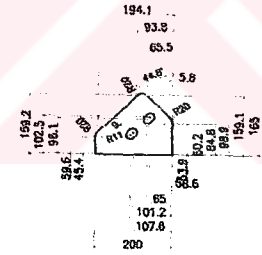
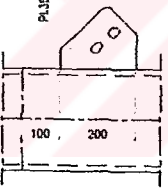
PL 38 10x165x200  
8 ADET  
TR.1A için 2 Adet  
TR.3A için 2 Adet  
TR.3 için 2 Adet  
TR.1 için 2 Adet



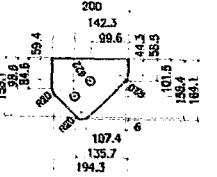
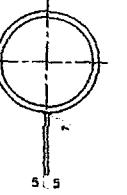
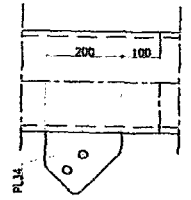
PL 37 10x165x200  
8 ADET  
TR.2 için 4 Adet  
TR.2 için 4 Adet



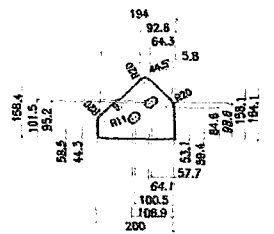
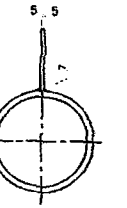
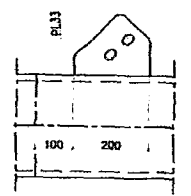
PL 36 10x165x200  
8 ADET  
TR.1A için 2 Adet  
TR.3A için 2 Adet  
TR.3 için 2 Adet  
TR.1 için 2 Adet



PL 35 10x165x200  
8 ADET  
TR.2 için 4 Adet  
TR.2 için 4 Adet



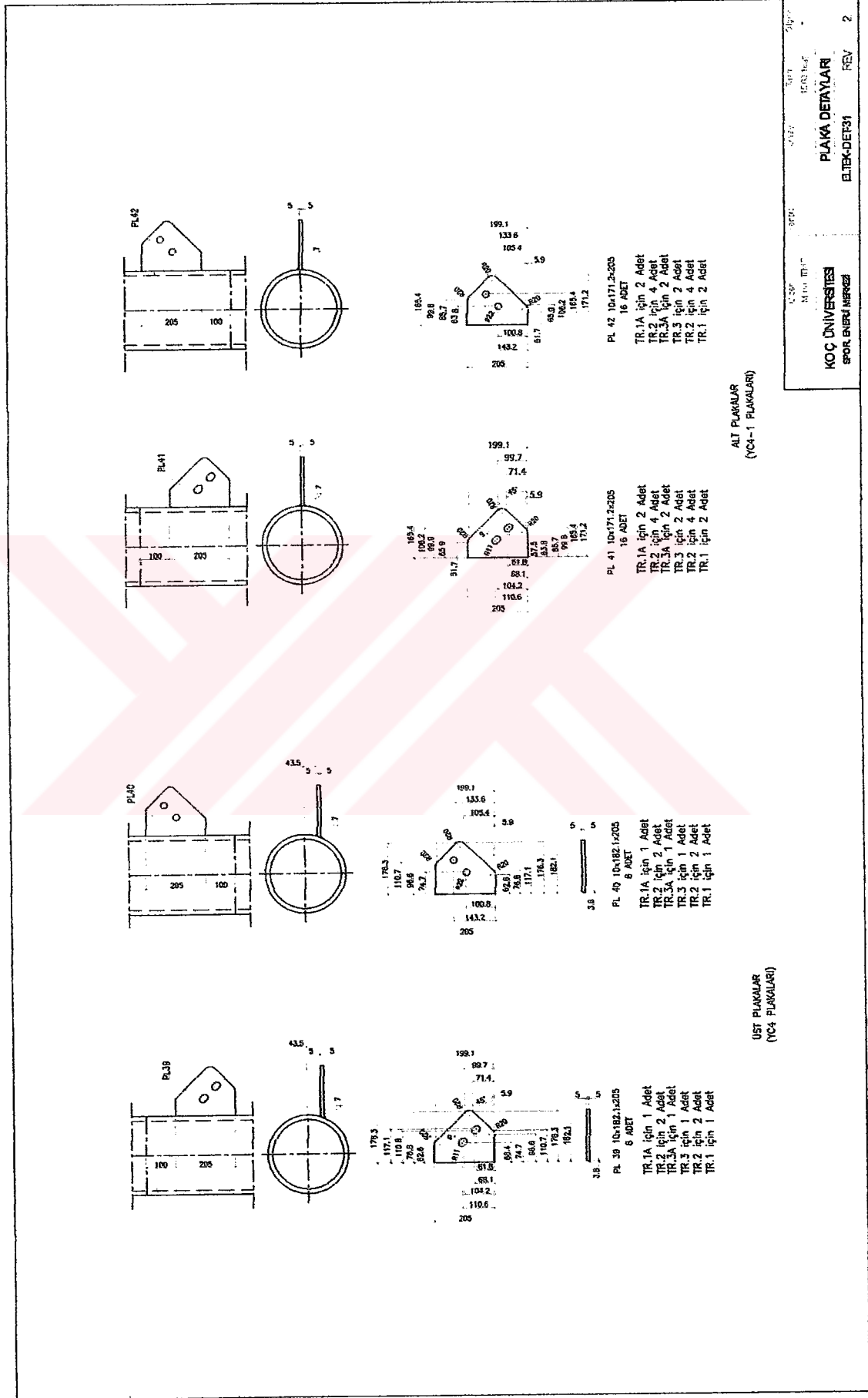
PL 34 10x164,1x200  
8 ADET  
TR.1A için 2 Adet  
TR.3A için 2 Adet  
TR.3 için 2 Adet  
TR.1 için 2 Adet

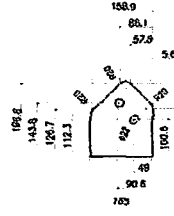
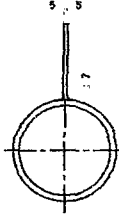
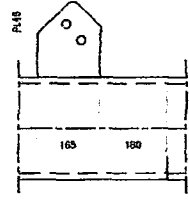


PL 33 10x164,1x200  
8 ADET  
TR.2 için 4 Adet  
TR.2 için 4 Adet

ALT PLAKALAR

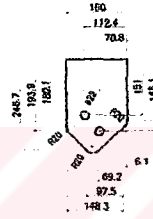
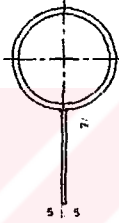
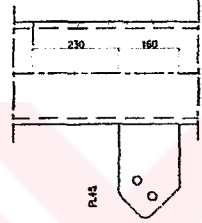
(YC3-3 , YC3-4 ve YC3-5 PLAKALARI)





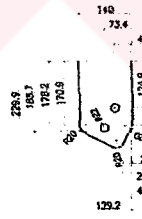
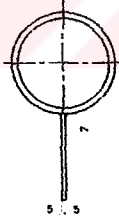
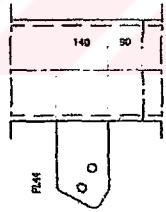
PL 48 10x185x202.4  
8 ADET

TR-2 için 4 Adet  
TR-2 için 4 Adet



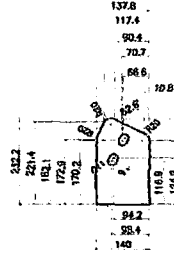
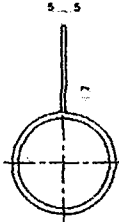
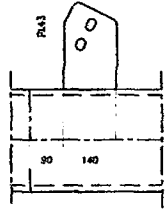
PL 45 10x185x253.8  
8 ADET

TR-1A için 2 Adet  
TR-3A için 2 Adet  
TR-3 için 2 Adet  
TR-1 için 2 Adet



PL 44 10x140x232.2  
8 ADET

TR-1A için 2 Adet  
TR-3A için 2 Adet  
TR-3 için 2 Adet  
TR-1 için 2 Adet



PL 43 10x140x232.2  
8 ADET

TR-2 için 4 Adet  
TR-2 için 4 Adet

ALT PLAKALAR  
(Y06 PLAKALARI)

ALT PLAKALAR  
(Y05 PLAKALARI)

## EK-2 Kaynak Prosedürü Spesifikasyonları

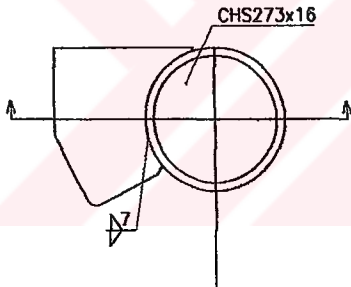
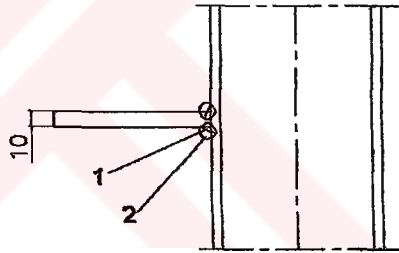
|   |  |                                    |
|---|--|------------------------------------|
| <b>WELDING PROCEDURE SPECIFICATION (WPS)</b>                            |  | Tarih 18.06.99<br>Rev. 2<br>Page 1 |
| WPS NO : 1  |  |                                    |
| SUBJECT : Pipe Purlins / Diagonals                                      |  |                                    |
| PROCEDURE DETAILS : Acc. to welding procedure                           |  |                                    |
| MANUFACTURER'S NAME : ELTEK Çelik A.Ş.                                  |  |                                    |
| WELDING PROCESSES<br>SMAW   | PARENT MATERIAL<br>St 37.2   |                                    |
| JOINT TYPE<br>Fillet Weld   | SPECIFICATION<br>AWS D 1.1   |                                    |
| WELDING POSITION<br>Horizontal - Vertical                               | MATERIALS GROUP<br>St 37.2   |                                    |
| WORK PIECE POSITION<br>Horizontal                                       | BACKING<br>Backing Ring Used   |                                    |
| WELD-EDGE PREPARATION<br>(DIMENSIONED SKETCH)                           | RUN SEQUENCE AND COMPLETED<br>WELD DIMENSION(SKETCH)   |                                    |
|   |  |                                    |
| FILLER MATERIAL<br>type E 7018<br>composition C : 0.07 Si : 0.5 Mn: 0.9 | WELDING CONDITIONS<br>run no 1, run no 2, run no 3<br>Filler material size<br>run1 $\phi$ 3.25, run2 $\phi$ 3.25, run3 $\phi$ 3.25 |                                    |
| SHIELDING   | Current 1(110-150), 2(80-100), 3(110-150)<br>polarity (+)  |                                    |
| HEAT TREATMENT<br>preheating N/A  | POSTWELD HEAT TREATMENT<br>N/A   |                                    |
| Quality Assurance   |  |                                    |

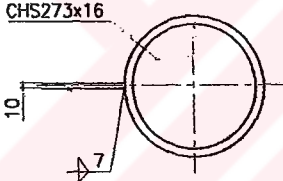
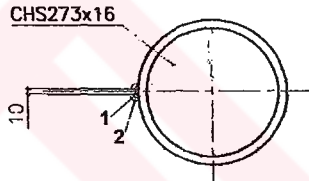
|   |   |                                    |
|---|---|------------------------------------|
|   | <b>WELDING PROCEDURE<br/>SPECIFICATION (WPS)</b>  | Tarih 18.06.99<br>Rev. 2<br>Page 1 |
| WPS NO : 2  |   |                                    |
| SUBJECT : Pipe Purlins / Diagonals                                      |   |                                    |
| PROCEDURE DETAILS : Acc. to welding procedure                           |   |                                    |
| MANUFACTURER'S NAME : ELTEK Çelik A.Ş.                                  |   |                                    |
| WELDING PROCESSES<br>SMAW   | PARENT MATERIAL<br>St 37.2  |                                    |
| JOINT TYPE<br>Fillet Weld   | SPECIFICATION<br>AWS D 1.1  |                                    |
| WELDING POSITION<br>Horizontal - Vertical                               | MATERIALS GROUP<br>St 37.2  |                                    |
| WORK PIECE POSITION<br>Horizontal                                       | BACKING<br>Backing Ring Used  |                                    |
| WELD-EDGE PREPARATION<br>(DIMENSIONED SKETCH)                           | RUN SEQUENCE AND COMPLETED<br>WELD DIMENSION(SKETCH)  |                                    |
|   |   |                                    |
| FILLER MATERIAL<br>type E 7018<br>composition C : 0.07 Si : 0.5 Mn: 0.9 | WELDING CONDITIONS<br>run no 1, run no 2, run no 3<br>Filler material size<br>run1 $\phi$ 3.25 , run2 $\phi$ 3.25 , run3 $\phi$ 3.25<br>Current 1(110-150), 2(80-100), 3(110-150)<br>polarity (+) |                                    |
| SHIELDING   |   |                                    |
| HEAT TREATMENT<br>preheating N/A  | POSTWELD HEAT TREATMENT<br>N/A  |                                    |
| Quality Assurance   |   |                                    |

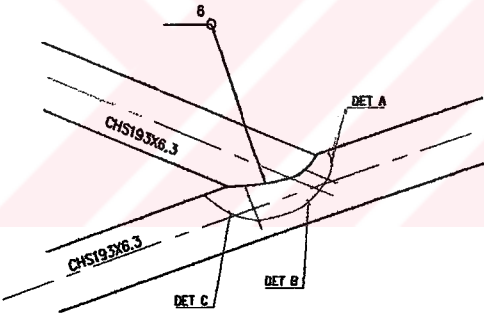
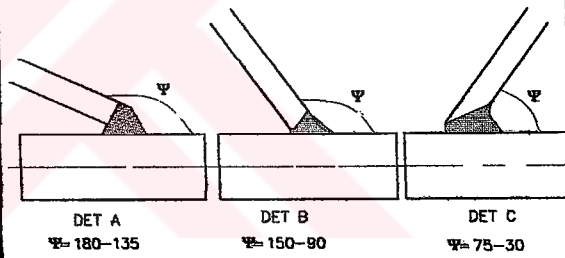


| <b>WELDING PROCEDURE SPECIFICATION (WPS)</b>                                   |   | Tarih 18.06.99<br>Rev. 2<br>Page 1 |
|--|---|------------------------------------|
| <b>WPS NO</b>  | : 3   |                                    |
| <b>SUBJECT</b>   | : Pipe Purlins / Diagonals  |                                    |
| <b>PROCEDURE DETAILS</b>   | : Acc. to welding procedure   |                                    |
| <b>MANUFACTURER'S NAME</b> : ELTEK Çelik A.Ş.                                  |   |                                    |
| <b>WELDING PROCESSES</b><br>SMAW   | <b>PARENT MATERIAL</b><br>St 37.2   |                                    |
| <b>JOINT TYPE</b><br>Fillet Weld   | <b>SPECIFICATION</b><br>AWS D 1.1   |                                    |
| <b>WELDING POSITION</b><br>Horizontal - Vertical                               | <b>MATERIALS GROUP</b><br>St 37.2   |                                    |
| <b>WORK PIECE POSITION</b><br>Horizontal                                       | <b>BACKING</b><br>Backing Ring Used   |                                    |
| <b>WELD-EDGE PREPARATION (DIMENSIONED SKETCH)</b>                              | <b>RUN SEQUENCE AND COMPLETED WELD DIMENSION(SKETCH)</b>  |                                    |
|  |   |                                    |
| <b>FILLER MATERIAL</b><br>type E 7018<br>composition C : 0.07 Si : 0.5 Mn: 0.9 | <b>WELDING CONDITIONS</b><br>run no 1, run no 2, run no 3, run no 4<br><br>Filler material size<br>run1 $\phi 3.25$ , run2 $\phi 3.25$ , run3 $\phi 3.25$ ,<br>run4 $\phi 3.25$<br><br>current 1(110-150), 2(110-150), 3(80-100),<br>4(110-150)<br><br>polarity (+) |                                    |
| <b>SHIELDING</b>   |   |                                    |
| <b>HEAT TREATMENT</b><br>preheating N/A  | <b>POSTWELD HEAT TREATMENT</b><br>N/A   |                                    |
| <b>Quality Assurance</b>   |   |                                    |

|  |  |                                    |
|--|--|------------------------------------|
| <b>WELDING PROCEDURE<br/>SPECIFICATION (WPS)</b>                                   |  | Tarih 18.06.99<br>Rev. 2<br>Page 1 |
| <b>WPS NO</b>  | : 4  |                                    |
| <b>SUBJECT</b>   | : Pipe Purlins / Diagonals   |                                    |
| <b>PROCEDURE DETAILS</b>   | : Acc. to welding procedure  |                                    |
| <b>MANUFACTURER'S NAME</b> : ELTEK Çelik A.Ş.                                      |  |                                    |
| <b>WELDING PROCESSES</b><br>SMAW   | <b>PARENT MATERIAL</b><br>St 37.2  |                                    |
| <b>JOINT TYPE</b><br>Fillet Weld   | <b>SPECIFICATION</b><br>AWS D 1.1  |                                    |
| <b>WELDING POSITION</b><br>Horizontal- Vertical                                    | <b>MATERIALS GROUP</b><br>St 37.2  |                                    |
| <b>WORK PIECE POSITION</b><br>Horizontal   | <b>BACKING</b><br>Backing Ring Used  |                                    |
| <b>WELD-EDGE PREPARATION<br/>(DIMENSIONED SKETCH)</b>                              | <b>RUN SEQUENCE AND COMPLETED<br/>WELD DIMENSION(SKETCH)</b>   |                                    |
|  |  |                                    |
| <b>FILLER MATERIAL</b><br><br>type E 7018<br>composition C : 0.07 Si : 0.5 Mn: 0.9 | <b>WELDING CONDITIONS</b><br>run no 1, run no 2, run no 3<br><br>Filler material size<br>run1 $\phi 3.25$ , run2 $\phi 3.25$ , run3 $\phi 3.25$<br>current 1(110-150), 2(80-100), 3(110-150)<br><br>polarity (+) |                                    |
| <b>SHIELDING</b>   |  |                                    |
| <b>HEAT TREATMENT</b><br>preheating N/A  | <b>POSTWELD HEAT TREATMENT</b><br>N/A  |                                    |
| <b>Quality Assurance</b>   |  |                                    |

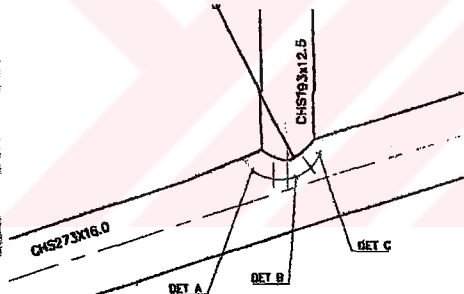
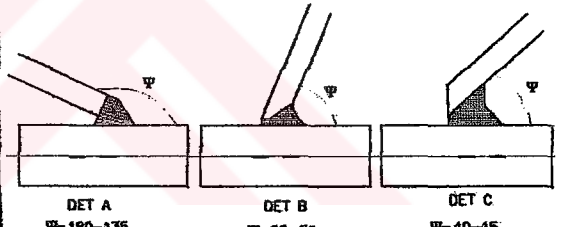
| <b>WELDING PROCEDURE SPECIFICATION (WPS)</b>   |   | Tarih 18.06.99<br>Rev. 2<br>Page 1 |
|--|---|------------------------------------|
| <b>WPS NO</b>  | : 5   |                                    |
| <b>SUBJECT</b>   | : Pipe Trusses / Plates   |                                    |
| <b>PROCEDURE DETAILS</b>   | : Acc. to welding procedure   |                                    |
| <b>MANUFACTURER'S NAME</b> : ELTEK Çelik A.Ş.  |   |                                    |
| <b>WELDING PROCESSES</b><br>SMAW   | <b>PARENT MATERIAL</b><br>St 37.2   |                                    |
| <b>JOINT TYPE</b><br>Fillet Weld   | <b>SPECIFICATION</b><br>AWS D 1.1   |                                    |
| <b>WELDING POSITION</b><br>Horizontal-Vertical   | <b>MATERIALS GROUP</b><br>St 37.2   |                                    |
| <b>WORK PIECE POSITION</b><br>Horizontal   | <b>BACKING</b>  |                                    |
| <b>WELD-EDGE PREPARATION (DIMENSIONED SKETCH)</b><br> | <b>RUN SEQUENCE AND COMPLETED WELD DIMENSION(SKETCH)</b><br>                        |                                    |
| <b>FILLER MATERIAL</b><br>Type E 7018<br>Composition: C : 0.07 Si : 0.5 Mn: 0.9  | <b>WELDING CONDITIONS</b><br>run no 1, run no 2<br><br>Filler material size<br>run1 $\phi$ 3.25 , run2 $\phi$ 3.25<br>current 1(80-100), 3(110-150)<br><br>polarity (+) |                                    |
| <b>SHIELDING</b>   |   |                                    |
| <b>HEAT TREATMENT</b><br>preheating N/A  | <b>POSTWELD HEAT TREATMENT</b><br>N/A   |                                    |
| <b>Quality Assurance</b>   |   |                                    |

| <b>WELDING PROCEDURE SPECIFICATION (WPS)</b>  |  | Date<br>Rev. 2<br>Page 1 |
|---|--|--------------------------|
| WPS NO : 6  |  |                          |
| SUBJECT : Pipe Trusses / Plates   |  |                          |
| PROCEDURE DETAILS : Acc. to welding procedure                                       |  |                          |
| MANUFACTURER'S NAME : ELTEK Çelik A.Ş.  |  |                          |
| WELDING PROCESSES<br>SMAW   | PARENT MATERIAL<br>St 37.2   |                          |
| JOINT TYPE<br>Fillet Weld   | SPECIFICATION<br>AWS D 1.1   |                          |
| WELDING POSITION<br>Horizontal-Vertical   | MATERIALS GROUP<br>St 37.2   |                          |
| WORK PIECE POSITION<br>Horizontal   | BACKING  |                          |
| WELD-EDGE PREPARATION<br>(DIMENSIONED SKETCH)                                       | RUN SEQUENCE AND COMPLETED<br>WELD DIMENSION(SKETCH)   |                          |
|  |    |                          |
| FILLER MATERIAL<br>type E 7018<br>composition C : 0.07 Si : 0.5 Mn: 0.9             | WELDING CONDITIONS<br>run no 1, run no 2<br>Filler material size<br>run1 $\phi$ 3.25 , run2 $\phi$ 3.25<br>current 1(80-100), 2(110-150)<br>polarity (+) |                          |
| SHIELDING   | POSTWELD HEAT TREATMENT<br>N/A   |                          |
| HEAT TREATMENT<br>preheating N/A  | Quality Assurance  |                          |

| <b>WELDING PROCEDURE<br/>SPECIFICATION (WPS)</b>  |  | Tarih 18.06.99<br>Rev. 2<br>Page 1 |
|---|--|------------------------------------|
| <b>WPS NO</b>   | : 7  |                                    |
| <b>SUBJECT</b>  | : Pipe Trusses   |                                    |
| <b>PROCEDURE DETAILS</b>  | : Acc. to welding procedure  |                                    |
| <b>MANUFACTURER'S NAME</b> : ELTEK Çelik A.Ş.   |  |                                    |
| <b>WELDING PROCESSES</b><br>SMAW  | <b>PARENT MATERIAL</b><br>St 37.2  |                                    |
| <b>JOINT TYPE</b><br>T- JOINT   | <b>SPECIFICATION</b><br>AWS D 1.1  |                                    |
| <b>WELDING POSITION</b><br>Horizontal- Vertical   | <b>MATERIALS GROUP</b><br>St 37.2  |                                    |
| <b>WORK PIECE POSITION</b><br>Horizontal  | <b>BACKING</b>   |                                    |
| <b>WELD-EDGE PREPARATION<br/>(DIMENSIONED SKETCH)</b>   | <b>RUN SEQUENCE AND COMPLETED<br/>WELD DIMENSION(SKETCH)</b>   |                                    |
|    |    |                                    |
| <b>FILLER MATERIAL</b><br>type E 6010<br>composition C: 0.08 Si : 0.1 Mn: 0.7 Mo: 0.5<br>type E 7018<br>composition C : 0.07 Si : 0.5 Mn: 0.9 | <b>WELDING CONDITIONS</b><br>run no 1, run no 2, run no 3<br><br>Filler material size<br>run1 $\phi$ 3.25 , run2 $\phi$ 3.25 , run3 $\phi$ 3.25<br><br>current 1(80-100), 2(110-150), 3(110-150)<br>polarity (+) |                                    |
| <b>SHIELDING</b>  |  |                                    |
| <b>HEAT TREATMENT</b><br>preheating ~150 °C Preheated   | <b>POSTWELD HEAT TREATMENT</b><br>N/A  |                                    |
| <b>Quality Assurance</b>  |  |                                    |

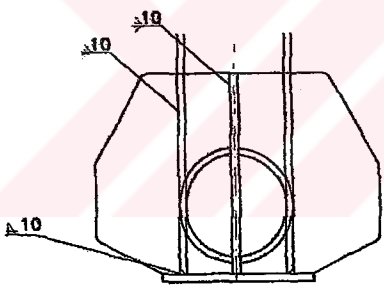
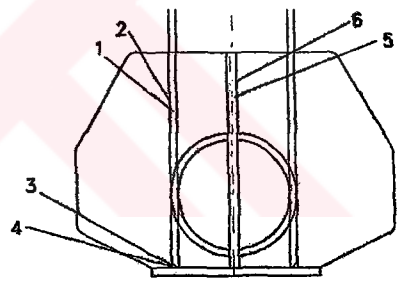
| <b>WELDING PROCEDURE<br/>SPECIFICATION (WPS)</b>  |  | Tarih 18.06.99<br>Rev. 2<br>Page 1 |
|---|--|------------------------------------|
| <b>WPS NO</b>   | : 8  |                                    |
| <b>SUBJECT</b>  | : Pipe Trusses   |                                    |
| <b>PROCEDURE DETAILS</b>  | : Acc. to welding procedure  |                                    |
| <b>MANUFACTURER'S NAME</b> : ELTEK Çelik A.Ş.   |  |                                    |
| <b>WELDING PROCESSES</b><br>SMAW  | <b>PARENT MATERIAL</b><br>St 37.2  |                                    |
| <b>JOINT TYPE</b><br>T - JOINT  | <b>SPECIFICATION</b><br>AWS D 1.1  |                                    |
| <b>WELDING POSITION</b><br>Horizontal- Vertical   | <b>MATERIALS GROUP</b><br>St 37.2  |                                    |
| <b>WORK PIECE POSITION</b><br>Horizontal  | <b>BACKING</b>   |                                    |
| <b>WELD-EDGE PREPARATION<br/>(DIMENSIONED SKETCH)</b>   | <b>RUN SEQUENCE AND COMPLETED<br/>WELD DIMENSION(SKETCH)</b>   |                                    |
|   |  |                                    |
| <b>FILLER MATERIAL</b><br>type E6010<br>composition C: 0.08 Si: 0.1 Mn: 0.7 Mo: 0.5<br>type E 7018<br>composition C : 0.07 Si : 0.5 Mn: 0.9 | <b>WELDING CONDITIONS</b><br>run no 1, run no2, run no 3<br>Filler material size<br>run1 $\phi$ 3.25 , run2 $\phi$ 3.25 , run3 $\phi$ 3.25 |                                    |
| <b>SHIELDING</b>  | current 1(80-100), 2(110-150), 3(110-150)<br>polarity (+)  |                                    |
| <b>HEAT TREATMENT</b><br>preheating ~150 °C Preheated   | <b>POSTWELD HEAT TREATMENT</b><br>N/A  |                                    |
| <b>Quality Assurance</b>  |  |                                    |

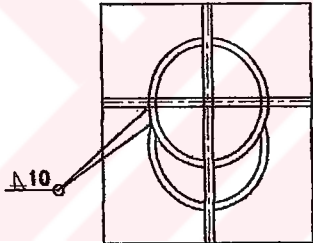
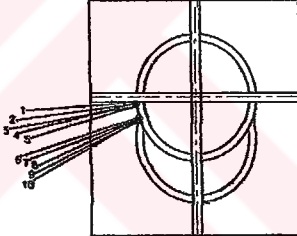
| <b>WELDING PROCEDURE SPECIFICATION (WPS)</b>   |   | Tarih 18.06.99<br>Rev. 2<br>Page 1 |
|--|---|------------------------------------|
| <b>WPS NO</b>  | : 9   |                                    |
| <b>SUBJECT</b>   | : Pipe Trusses  |                                    |
| <b>PROCEDURE DETAILS</b>   | : Acc. to welding procedure   |                                    |
| <b>MANUFACTURER'S NAME</b> : ELTEK Çelik A.Ş.  |   |                                    |
| <b>WELDING PROCESSES</b><br>SMAW   | <b>PARENT MATERIAL</b><br>St 37.2   |                                    |
| <b>JOINT TYPE</b><br>T - JOINT   | <b>SPECIFICATION</b><br>AWS D 1.1   |                                    |
| <b>WELDING POSITION</b><br>Horizontal- Vertical  | <b>MATERIALS GROUP</b><br>St 37.2   |                                    |
| <b>WORK PIECE POSITION</b><br>Horizontal   | <b>BACKING</b>  |                                    |
| <b>WELD-EDGE PREPARATION (DIMENSIONED SKETCH)</b>  | <b>RUN SEQUENCE AND COMPLETED WELD DIMENSION(SKETCH)</b>  |                                    |
|  |   |                                    |
| <b>FILLER MATERIAL</b><br>type E 6010<br>composition C: 0.08 Si: 0.1 Mn: 0.7 Mo: 0.5<br>type E 7018<br>composition C : 0.07 Si : 0.5 Mn: 0.9 | <b>WELDING CONDITIONS</b><br>run no 1, run no 2, run no 3<br><br>Filler material size<br>run1 $\phi$ 3.25 , run2 $\phi$ 3.25 , run3 $\phi$ 3.25 |                                    |
| <b>SHIELDING</b>   | current 1(80-100), 2(110-150), 3(110-150)<br>polarity (+)   |                                    |
| <b>HEAT TREATMENT</b><br>preheating ~150 °C Preheated  | <b>POSTWELD HEAT TREATMENT</b><br>N/A   |                                    |
| <b>Quality Assurance</b>   |   |                                    |

| <b>WELDING PROCEDURE<br/>SPECIFICATION (WPS)</b>  |  | Tarih 18.06.99<br>Rev. 2<br>Page 1 |
|---|--|------------------------------------|
| WPS NO : 10   |  |                                    |
| SUBJECT : Pipe Trusses  |  |                                    |
| PROCEDURE DETAILS : Acc. to welding procedure   |  |                                    |
| MANUFACTURER'S NAME : ELTEK Çelik A.Ş.  |  |                                    |
| WELDING PROCESSES<br>SMAW   | PARENT MATERIAL<br>St 37.2   |                                    |
| JOINT TYPE<br>T - JOINT   | SPECIFICATION<br>AWS D 1.1   |                                    |
| WELDING POSITION<br>Horizontal- Vertical  | MATERIALS GROUP<br>St 37.2   |                                    |
| WORK PIECE POSITION<br>Horizontal   | BACKING  |                                    |
| WELD-EDGE PREPARATION<br>(DIMENSIONED SKETCH)   | RUN SEQUENCE AND COMPLETED<br>WELD DIMENSION(SKETCH)   |                                    |
|    |    |                                    |
| FILLER MATERIAL<br>type E 6010<br>composition C: 0.08 Si: 0.1 Mn: 0.7 Mo: 0.5<br>type E 7018<br>composition C : 0.07 Si : 0.5 Mn: 0.9 | WELDING CONDITIONS<br>run no 1, run no 2, run no 3, run no 4<br>Filler material size<br>run1 $\phi$ 3.25 , run2 $\phi$ 3.25 , run3 $\phi$ 3.25 ,<br>run4 $\phi$ 3.25<br>Current 1(80-110), 2(110-150), 3(110-150),<br>4(130-300)<br>polarity (+) |                                    |
| SHIELDING   |  |                                    |
| HEAT TREATMENT<br>preheating ~150 °C Preheated  | POSTWELD HEAT TREATMENT<br>N/A   |                                    |
| Quality Assurance   |  |                                    |



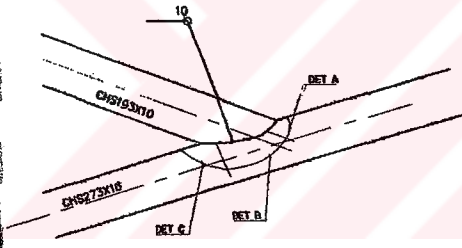
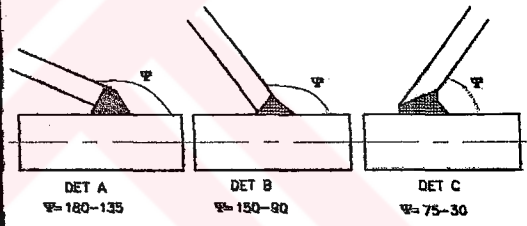
|  |   |                                    |
|--|---|------------------------------------|
| <b>WELDING PROCEDURE SPECIFICATION (WPS)</b>   |   | Tarih 18.06.99<br>Rev. 2<br>Page 1 |
| WPS NO : 11  |   |                                    |
| SUBJECT : Pipe Trusses   |   |                                    |
| PROCEDURE DETAILS : Acc. to welding procedure  |   |                                    |
| MANUFACTURER'S NAME : ELTEK Çelik A.Ş.   |   |                                    |
| WELDING PROCESSES<br>SMAW  | PARENT MATERIAL<br>St 37.2  |                                    |
| JOINT TYPE<br>Fillet Weld  | SPECIFICATION<br>AWS D 1.1  |                                    |
| WELDING POSITION<br>Horizontal- Vertical   | MATERIALS GROUP<br>St 37.2  |                                    |
| WORK PIECE POSITION<br>Horizontal  | BACKING   |                                    |
| WELD-EDGE PREPARATION<br>(DIMENSIONED SKETCH)  | RUN SEQUENCE AND COMPLETED WELD DIMENSION(SKETCH)   |                                    |
|  |   |                                    |
| FILLER MATERIAL<br>type E 6010<br>composition C: 0.08 Si : 0.1 Mn: 0.7 Mo: 0.5<br>type E 7018<br>composition C : 0.07 Si : 0.5 Mn: 0.9 | WELDING CONDITIONS<br>run no 1, run no 2, run no 3, run no 4, run no 5,<br>run no 6<br>Filler material size<br>run1 $\phi$ 3.25 , run2 $\phi$ 3.25 , run3 $\phi$ 3.25 ,<br>run4 $\phi$ 3.25 , run5 $\phi$ 3.25 , run6 $\phi$ 3.25<br>current 1(80-110), 1(110-150), 3(110-150),<br>4(110-150), 5(110-150), 6(110-150)<br>polarity (+) |                                    |
| SHIELDING  |   |                                    |
| HEAT TREATMENT<br>preheating ~150 °C Preheated   | POSTWELD HEAT TREATMENT<br>N/A  |                                    |
| Quality Assurance  |   |                                    |

|   |   |                                    |
|---|---|------------------------------------|
| <b>WELDING PROCEDURE SPECIFICATION (WPS)</b>  |   | Tarih 18.06.99<br>Rev. 2<br>Page 1 |
| <b>WPS NO</b>   | : 12  |                                    |
| <b>SUBJECT</b>  | : Pipe Trusses / Base Plate   |                                    |
| <b>PROCEDURE DETAILS</b>  | : Acc. to welding procedure   |                                    |
| <b>MANUFACTURER'S NAME</b> : ELTEK Çelik A.Ş.   |   |                                    |
| <b>WELDING PROCESSES</b><br>SMAW  | <b>PARENT MATERIAL</b><br>St 37.2   |                                    |
| <b>JOINT TYPE</b><br>Fillet Weld  | <b>SPECIFICATION</b><br>AWS D 1.1   |                                    |
| <b>WELDING POSITION</b><br>Horizontal- Vertical   | <b>MATERIALS GROUP</b><br>St 37.2   |                                    |
| <b>WORK PIECE POSITION</b><br>Horizontal  | <b>BACKING</b>  |                                    |
| <b>WELD-EDGE PREPARATION (DIMENSIONED SKETCH)</b>   | <b>RUN SEQUENCE AND COMPLETED WELD DIMENSION(SKETCH)</b>  |                                    |
|    |   |                                    |
| <b>FILLER MATERIAL</b><br>type E6010<br>composition C: 0.08 Si: 0.1 Mn: 0.7 Mo: 0.5<br>type E 7018<br>composition C : 0.07 Si : 0.5 Mn: 0.9 | <b>WELDING CONDITIONS</b><br>run no 1, run no 2, run no 3, run no 4, run no 5, run no 6<br>Filler material size<br>run1 $\phi 3.25$ , run2 $\phi 3.25$ , run3 $\phi 3.25$ ,<br>run4 $\phi 3.25$ , run5 $\phi 3.25$ , run6 $\phi 3.25$<br>current 1(110-150), 2(110-150), 3(110-150)<br>4(110-150), 5(110-150), 6(110-150)<br>polarity (+) |                                    |
| <b>SHIELDING</b>  |   |                                    |
| <b>HEAT TREATMENT</b><br>preheating ~150 °C Preheated   | <b>POSTWELD HEAT TREATMENT</b><br>N/A   |                                    |
| <b>Quality Assurance</b>  |   |                                    |

|   |  |                                    |
|---|--|------------------------------------|
| <b>(a) WELDING PROCEDURE SPECIFICATION (WPS)</b>  |  | Tarih 18.06.99<br>Rev. 2<br>Page 1 |
| WPS NO : 13   |  |                                    |
| SUBJECT : Pipe Trusses / Base Plate   |  |                                    |
| PROCEDURE DETAILS : Acc. to welding procedure   |  |                                    |
| MANUFACTURER'S NAME : ELTEK Çelik A.Ş.  |  |                                    |
| WELDING PROCESSES<br>SMAW   | PARENT MATERIAL<br>St 37.2   |                                    |
| JOINT TYPE<br>Fillet Weld   | SPECIFICATION<br>AWS D 1.1   |                                    |
| WELDING POSITION<br>Horizontal- Vertical  | MATERIALS GROUP<br>St 37.2   |                                    |
| WORK PIECE POSITION<br>Horizontal   | BACKING  |                                    |
| WELD-EDGE PREPARATION<br>(DIMENSIONED SKETCH)   | RUN SEQUENCE AND COMPLETED<br>WELD DIMENSION(SKETCH)   |                                    |
|    |    |                                    |
| FILLER MATERIAL<br>type E 6010<br>composition C : 0.08 Si : 0.1 Mn: 0.7 Mo: 0.5<br>type E 7018<br>composition C : 0.07 Si : 0.5 Mn: 0.9 | WELDING CONDITIONS<br>run no 1, run no 2, run no 3, run no 4, run no 5,<br>run no 6, run no 7, run no 8, run no 9, run no 10<br>Filler material size<br>run1 $\phi$ 3.25, run2 $\phi$ 3.25, run3 $\phi$ 3.25, run4 $\phi$ 3.25,<br>run5 $\phi$ 3.25, run6 $\phi$ 3.25, run7 $\phi$ 3.25, run8 $\phi$ 3.25,<br>run9 $\phi$ 3.25, run10 $\phi$ 3.25<br>current 1(80-100), 2(110-150), 3(110-150),<br>4(80-100), 5(110-150), 6(80-100), 7(110-150),<br>8(110-150), 9(110-50), 10(110-150)<br>polarity (+) |                                    |
| SHIELDING   |  |                                    |
| HEAT TREATMENT<br>preheating ~150 °C Preheated  | POSTWELD HEAT TREATMENT<br>N/A   |                                    |
| Quality Assurance   |  |                                    |

|   |  |                                    |
|---|--|------------------------------------|
| <b>(b) WELDING PROCEDURE SPECIFICATION (WPS)</b>  |  | Tarih 18.06.99<br>Rev. 2<br>Page 1 |
| WPS NO : 14   |  |                                    |
| SUBJECT : Pipe Trusses / Main Pipes   |  |                                    |
| PROCEDURE DETAILS : Acc. to welding procedure   |  |                                    |
| MANUFACTURER'S NAME : ELTEK Çelik A.Ş.  |  |                                    |
| WELDING PROCESSES<br>SMAW   | PARENT MATERIAL<br>St 37.2   |                                    |
| JOINT TYPE<br>Butt Weld   | SPECIFICATION<br>AWS D 1.1   |                                    |
| WELDING POSITION<br>Horizontal- Vertical  | MATERIALS GROUP<br>St 37.2   |                                    |
| WORK PIECE POSITION<br>Horizontal   | BACKING<br>Backing Ring Used   |                                    |
| WELD-EDGE PREPARATION<br>(DIMENSIONED SKETCH)   | RUN SEQUENCE AND COMPLETED<br>WELD DIMENSION(SKETCH)   |                                    |
| <p>CHS273X16.0      CHS273X16.0</p>   | <p>CHS273X16.0      CHS273X16.0</p>  |                                    |
| FILLER MATERIAL<br>type E 6010<br>composition C : 0.08 Si : 0.1 Mn: 0.7 Mo: 0.5<br>type E 7018<br>composition C : 0.07 Si : 0.5 Mn: 0.9 | WELDING CONDITIONS<br>run no 1, run no 2, run no 3, run no 4, run no 5,<br>run no 6<br>Filler material size<br>run1 $\phi$ 3.25 , run2 $\phi$ 3.25 , run3 $\phi$ 3.25 ,<br>run4 $\phi$ 3.25 , run5 $\phi$ 3.25 , run6 $\phi$ 3.25<br>Current 1(80-100), 2(110-150), 3(110-150),<br>4(110-150), 5(110-150),6(110-150)<br>polarity (+) |                                    |
| SHIELDING   |  |                                    |
| HEAT TREATMENT<br>preheating ~150 °C Preheated  | POSTWELD HEAT TREATMENT<br>N/A   |                                    |
| Quality Assurance   |  |                                    |

| <b>WELDING PROCEDURE SPECIFICATION (WPS)</b>   |   | Tarih 18.06.99<br>Rev. 2<br>Page 1 |
|--|---|------------------------------------|
| <b>WPS NO</b>  | : 15  |                                    |
| <b>SUBJECT</b>   | : Pipe Trusses  |                                    |
| <b>PROCEDURE DETAILS</b>   | : Acc. to welding procedure   |                                    |
| <b>MANUFACTURER'S NAME</b> : ELTEK Çelik A.Ş.  |   |                                    |
| <b>WELDING PROCESSES</b><br>SMAW   | <b>PARENT MATERIAL</b><br>St 37.2   |                                    |
| <b>JOINT TYPE</b><br>T - JOINT   | <b>SPECIFICATION</b><br>AWS D 1.1   |                                    |
| <b>WELDING POSITION</b><br>Horizontal- Vertical  | <b>MATERIALS GROUP</b><br>St 37.2   |                                    |
| <b>WORK PIECE POSITION</b><br>Horizontal   | <b>BACKING</b>  |                                    |
| <b>WELD-EDGE PREPARATION (DIMENSIONED SKETCH)</b>  | <b>RUN SEQUENCE AND COMPLETED WELD DIMENSION(SKETCH)</b>  |                                    |
|  |   |                                    |
| <b>FILLER MATERIAL</b><br>type E 6010<br>composition C: 0.08 Si: 0.1 Mn: 0.7 Mo: 0.5<br>type E 7018<br>composition C : 0.07 Si : 0.5 Mn: 0.9 | <b>WELDING CONDITIONS</b><br>run no 1, run no 2, run no 3   |                                    |
| <b>SHIELDING</b>   | Filler material size<br>run1 $\phi$ 3.25 , run2 $\phi$ 3.25 , run3 $\phi$ 3.25<br>Current 1(80-100), 2(110-150), 3(110-150)<br>polarity (+) |                                    |
| <b>HEAT TREATMENT</b><br>preheating ~150 °C Preheated  | <b>POSTWELD HEAT TREATMENT</b><br>N/A   |                                    |
| <b>Quality Assurance</b>   |   |                                    |

| <b>WELDING PROCEDURE SPECIFICATION (WPS)</b>   |   | Tarih 18.06.99<br>Rev. 2<br>Page 1 |
|--|---|------------------------------------|
| <b>WPS NO</b>  | : 16  |                                    |
| <b>SUBJECT</b>   | : Pipe Trusses  |                                    |
| <b>PROCEDURE DETAILS</b>   | : Acc. to welding procedure   |                                    |
| <b>MANUFACTURER'S NAME</b> : ELTEK Çelik A.Ş.  |   |                                    |
| <b>WELDING PROCESSES</b><br>SMAW   | <b>PARENT MATERIAL</b><br>St 37.2   |                                    |
| <b>JOINT TYPE</b><br>T - JOINT   | <b>SPECIFICATION</b><br>AWS D 1.1   |                                    |
| <b>WELDING POSITION</b><br>Horizontal- Vertical  | <b>MATERIALS GROUP</b><br>St 37.2   |                                    |
| <b>WORK PIECE POSITION</b><br>Horizontal   | <b>BACKING</b>  |                                    |
| <b>WELD-EDGE PREPARATION (DIMENSIONED SKETCH)</b>  | <b>RUN SEQUENCE AND COMPLETED WELD DIMENSION(SKETCH)</b>  |                                    |
|   |   |                                    |
| <b>FILLER MATERIAL</b><br>type E 6010<br>composition C : 0.08 Si : 0.1 Mn: 0.7 Mo: 0.5<br>type E 7018<br>composition C : 0.07 Si : 0.5 Mn: 0.9 | <b>WELDING CONDITIONS</b><br>run no 1, run no 2 run no 3, run no 4, run no 5<br><br>Filler material size<br>run1 φ3.25 , run2 φ3.25 , run3 φ3.25 ,<br>run4 φ3.25 , run5 φ3.25 |                                    |
| <b>SHIELDING</b>   | current 1(80-100), 2(110-150), 3(110-150),<br>4(110-150), 5(110-150)<br>polarity (+)  |                                    |
| <b>HEAT TREATMENT</b><br>preheating ~150 °C Preheated  | <b>POSTWELD HEAT TREATMENT</b><br>N/A   |                                    |
| <b>Quality Assurance</b>   |   |                                    |

|   |  |                                    |
|---|--|------------------------------------|
| <b>(c) WELDING PROCEDURE SPECIFICATION (WPS)</b>  |  | Tarih 18.06.99<br>Rev. 2<br>Page 1 |
| WPS NO : 17   |  |                                    |
| SUBJECT : Pipe Trusses  |  |                                    |
| PROCEDURE DETAILS : Acc. to welding procedure   |  |                                    |
| MANUFACTURER'S NAME : ELTEK Çelik A.Ş.  |  |                                    |
| WELDING PROCESSES<br>SMAW   | PARENT MATERIAL<br>St 37.2   |                                    |
| JOINT TYPE<br>T - JOINT   | SPECIFICATION<br>AWS D 1.1   |                                    |
| WELDING POSITION<br>Horizontal- Vertical  | MATERIALS GROUP<br>St 37.2   |                                    |
| WORK PIECE POSITION<br>Horizontal   | BACKING  |                                    |
| WELD-EDGE PREPARATION<br>(DIMENSIONED SKETCH)   | RUN SEQUENCE AND COMPLETED<br>WELD DIMENSION(SKETCH)   |                                    |
|   |  |                                    |
| FILLER MATERIAL<br>type E 6010<br>composition C: 0.08 Si: 0.1 Mn: 0.7 Mo: 0.5<br>type E 7018<br>composition C : 0.07 Si : 0.5 Mn: 0.9 | WELDING CONDITIONS<br>run no 1, run no 2, run no 3, run no 4<br><br>Filler material size<br>run1 $\phi$ 3.25, run2 $\phi$ 3.25, run3 $\phi$ 3.25, run4 $\phi$ 3.25<br>current 1(80-100), 2(110-150), 3(110-150),<br>4(110-150)<br>polarity (+) |                                    |
| SHIELDING   |  |                                    |
| HEAT TREATMENT<br>preheating ~150 °C Preheated  | POSTWELD HEAT TREATMENT<br>N/A   |                                    |
| Quality Assurance   |  |                                    |

| <b>WELDING PROCEDURE SPECIFICATION (WPS)</b>   |   | Tarih 18.06.99<br>Rev. 2<br>Page 1 |
|--|---|------------------------------------|
| <b>WPS NO</b>  | : 18  |                                    |
| <b>SUBJECT</b>   | : Pipe Trusses  |                                    |
| <b>PROCEDURE DETAILS</b>   | : Acc. to welding procedure   |                                    |
| <b>MANUFACTURER'S NAME</b> : ELTEK Çelik A.Ş.  |   |                                    |
| <b>WELDING PROCESSES</b><br>SMAW   | <b>PARENT MATERIAL</b><br>St 37.2   |                                    |
| <b>JOINT TYPE</b><br>T - JOINT   | <b>SPECIFICATION</b><br>AWS D 1.1   |                                    |
| <b>WELDING POSITION</b><br>Horizontal- Vertical  | <b>MATERIALS GROUP</b><br>St 37.2   |                                    |
| <b>WORK PIECE POSITION</b><br>Horizontal   | <b>BACKING</b>  |                                    |
| <b>WELD-EDGE PREPARATION (DIMENSIONED SKETCH)</b>  | <b>RUN SEQUENCE AND COMPLETED WELD DIMENSION(SKETCH)</b>  |                                    |
|  |   |                                    |
| <b>FILLER MATERIAL</b><br>type E 6010<br>composition C: 0.08 Si: 0.1 Mn: 0.7 Mo: 0.5<br>type E 7018<br>composition C : 0.07 Si : 0.5 Mn: 0.9 | <b>WELDING CONDITIONS</b><br>Run no 1, run no 2, run no 3<br><br>Filler material size<br>run1 $\phi$ 3.25, run2 $\phi$ 3.25, run3 $\phi$ 3.25 |                                    |
| <b>SHIELDING</b>   | Current 1(80-100), 2(110-150), 3(110-150)<br>polarity (+)   |                                    |
| <b>HEAT TREATMENT</b><br>preheating ~150 °C Preheated  | <b>POSTWELD HEAT TREATMENT</b><br>N/A   |                                    |
| <b>Quality Assurance</b>   |   |                                    |

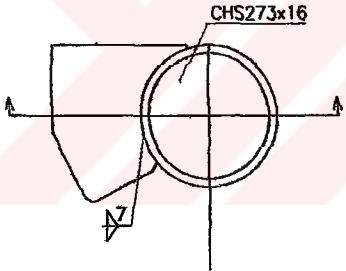
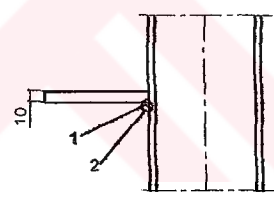


| <b>WELDING PROCEDURE SPECIFICATION (WPS)</b>  |  | Tarih 18.06.99<br>Rev. 2<br>Page 1 |
|---|--|------------------------------------|
| <b>WPS NO</b>   | : 19   |                                    |
| <b>SUBJECT</b>  | : Pipe Purlins / Diagonals   |                                    |
| <b>PROCEDURE DETAILS</b>  | : Acc. to welding procedure  |                                    |
| <b>MANUFACTURER'S NAME</b> : ELTEK Çelik A.Ş.   |  |                                    |
| <b>WELDING PROCESSES</b><br>GMAW  | <b>PARENT MATERIAL</b><br>St 37.2  |                                    |
| <b>JOINT TYPE</b><br>Fillet Weld  | <b>SPECIFICATION</b><br>AWS D 1.1  |                                    |
| <b>WELDING POSITION</b><br>Horizontal - Vertical  | <b>MATERIALS GROUP</b><br>St 37.2  |                                    |
| <b>WORK PIECE POSITION</b><br>Horizontal  | <b>BACKING</b><br>Backing Ring Used  |                                    |
| <b>WELD-EDGE PREPARATION (DIMENSIONED SKETCH)</b>   | <b>RUN SEQUENCE AND COMPLETED WELD DIMENSION(SKETCH)</b>   |                                    |
|   |  |                                    |
| <b>FILLER MATERIAL</b><br>type SG-2<br>composition C : 0.07-0.14 Si : 0.7-1.0<br>Mn: 1.3- 1.5 | <b>WELDING CONDITIONS</b><br>run no 1, run no 2<br><br>Filler material size<br>run1 $\phi$ 1.2 , run2 $\phi$ 1.2 |                                    |
| <b>SHIELDING</b><br>type M2-1 (BOS Argoshield)<br>composition 75% Argon, 25% CO <sub>2</sub>  | current 1(130-300), 2(130-300)<br>voltage 1(19-29), 2(19-29)<br>polarity (+)<br>wire feed speed                  |                                    |
| <b>HEAT TREATMENT</b><br>preheating N/A   | <b>POSTWELD HEAT TREATMENT</b><br>N/A  |                                    |
| <b>Quality Assurance</b>  |  |                                    |

|   |   |                                    |
|---|---|------------------------------------|
| <b>WELDING PROCEDURE SPECIFICATION (WPS)</b>  |   | Tarih 18.06.99<br>Rev. 2<br>Page 1 |
| WPS NO : 20   |   |                                    |
| SUBJECT : Pipe Purlins / Diagonals  |   |                                    |
| PROCEDURE DETAILS : Acc. to welding procedure   |   |                                    |
| MANUFACTURER'S NAME : ELTEK Çelik A.Ş.  |   |                                    |
| WELDING PROCESSES<br>GMAW   | PARENT MATERIAL<br>St 37.2  |                                    |
| JOINT TYPE<br>Fillet Weld   | SPECIFICATION<br>AWS D 1.1  |                                    |
| WELDING POSITION<br>Horizontal - Vertical   | MATERIALS GROUP<br>St 37.2  |                                    |
| WORK PIECE POSITION<br>Horizontal   | BACKING<br>Backing Ring Used  |                                    |
| WELD-EDGE PREPARATION<br>(DIMENSIONED SKETCH)   | RUN SEQUENCE AND COMPLETED<br>WELD DIMENSION(SKETCH)  |                                    |
|   |   |                                    |
| FILLER MATERIAL<br>type SG-2<br>composition C : 0.07-0.14 Si : 0.7-1.0<br>Mn: 1.3-1.5 | WELDING CONDITIONS<br>run no 1, run no 2<br>Filler material size<br>run1 $\phi$ 1.2 , run2 $\phi$ 1.2 |                                    |
| SHIELDING<br>type M2-1 (BOS Argoshield)<br>composition 75% Argon, 25% CO <sub>2</sub> | current 1(130-300), 2(130-300)<br>voltage 1(19-29), 2(19-29)<br>polarity (+)<br>wire feed speed       |                                    |
| HEAT TREATMENT<br>preheating N/A  | POSTWELD HEAT TREATMENT<br>N/A  |                                    |
| Quality Assurance   |   |                                    |

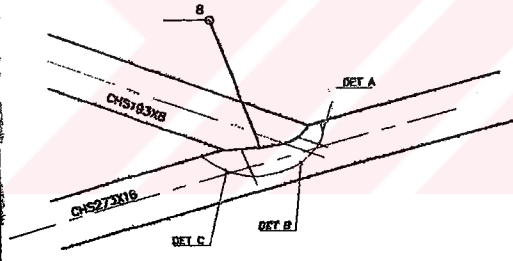
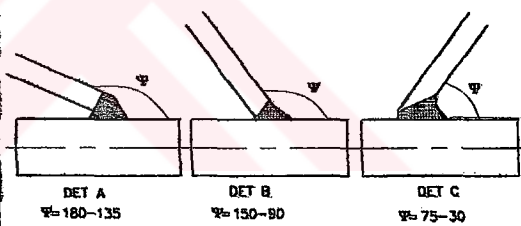
| <b>WELDING PROCEDURE<br/>SPECIFICATION (WPS)</b>  |   | Tarih 18.06.99<br>Rev. 2<br>Page 1 |
|---|---|------------------------------------|
| <b>WPS NO</b>   | : 21  |                                    |
| <b>SUBJECT</b>  | : Pipe Purlins / Diagonals  |                                    |
| <b>PROCEDURE DETAILS</b>  | : Acc. to welding procedure   |                                    |
| <b>MANUFACTURER'S NAME</b> : ELTEK Çelik A.Ş.   |   |                                    |
| <b>WELDING PROCESSES</b><br>GMAW  | <b>PARENT MATERIAL</b><br>St 37.2   |                                    |
| <b>JOINT TYPE</b><br>Fillet Weld  | <b>SPECIFICATION</b><br>AWS D 1.1   |                                    |
| <b>WELDING POSITION</b><br>Horizontal - Vertical  | <b>MATERIALS GROUP</b><br>St 37.2   |                                    |
| <b>WORK PIECE POSITION</b><br>Horizontal  | <b>BACKING</b><br>Backing Ring Used   |                                    |
| <b>WELD-EDGE PREPARATION<br/>(DIMENSIONED SKETCH)</b>   | <b>RUN SEQUENCE AND COMPLETED<br/>WELD DIMENSION(SKETCH)</b>  |                                    |
|   |   |                                    |
| <b>FILLER MATERIAL</b><br>type SG-2<br>composition C : 0.07-0.14 Si : 0.7-1.0<br>Mn: 1.3- 1.5 | <b>WELDING CONDITIONS</b><br>run no 1 run no 2, run no 3, run no 4<br><br>Filler material size<br>run1 $\phi$ 1.2 , run2 $\phi$ 1.2 , run3 $\phi$ 1.2 , run4 $\phi$ 1.2 |                                    |
| <b>SHIELDING</b><br>type M2-1 (BOS Argoshield)<br>composition 75% Argon, 25% CO <sub>2</sub>  | current 1(130-300), 2(130-300) 3(130-300)<br>4(130-300)<br>voltage 1(19-29), 2(19-29), 3(19-29), 4(19-29)<br>polarity (+)<br>wire feed speed                            |                                    |
| <b>HEAT TREATMENT</b><br>preheating N/A   | <b>POSTWELD HEAT TREATMENT</b><br>N/A   |                                    |
| <b>Quality Assurance</b>  |   |                                    |

|  |   |                                    |
|--|---|------------------------------------|
| <b>(d) WELDING PROCEDURE SPECIFICATION (WPS)</b>   |   | Tarih 18.06.99<br>Rev. 2<br>Page 1 |
| <b>WPS NO</b>  | : 22  |                                    |
| <b>SUBJECT</b>   | : Pipe Purlins / Diagonals  |                                    |
| <b>PROCEDURE DETAILS</b>   | : Acc. to welding procedure   |                                    |
| <b>MANUFACTURER'S NAME</b> : ELTEK Çelik A.Ş.  |   |                                    |
| <b>WELDING PROCESSES</b><br>GMAW   | <b>PARENT MATERIAL</b><br>St 37.2   |                                    |
| <b>JOINT TYPE</b><br>Fillet Weld   | <b>SPECIFICATION</b><br>AWS D 1.1   |                                    |
| <b>WELDING POSITION</b><br>Horizontal- Vertical  | <b>MATERIALS GROUP</b><br>St 37.2   |                                    |
| <b>WORK PIECE POSITION</b><br>Horizontal   | <b>BACKING</b><br>Backing Ring Used   |                                    |
| <b>WELD-EDGE PREPARATION (DIMENSIONED SKETCH)</b>  | <b>RUN SEQUENCE AND COMPLETED WELD DIMENSION(SKETCH)</b>  |                                    |
|  |   |                                    |
| <b>FILLER MATERIAL</b><br>type SG-2<br>composition C : 0.07-0.14 Si : 0.7-1.0<br>Mn:1.3- 1.5 | <b>WELDING CONDITIONS</b><br>run no 1, run no 2<br><br>Filler material size<br>run1 $\phi$ 1.2 , run2 $\phi$ 1.2<br>current 1(130-300), 2(130-300)<br>voltage 1(19-29), 2(19-29)<br>polarity (+)<br>wire feed speed |                                    |
| <b>SHIELDING</b><br>type M2-1 (BOS Argoshield)<br>composition 75% Argon, 25% CO <sub>2</sub> |   |                                    |
| <b>HEAT TREATMENT</b><br>preheating N/A  | <b>POSTWELD HEAT TREATMENT</b><br>N/A   |                                    |
| <b>Quality Assurance</b>   |   |                                    |

|  |   |                                    |
|--|---|------------------------------------|
| <b>WELDING PROCEDURE<br/>SPECIFICATION (WPS)</b>   |   | Tarih 18.06.99<br>Rev. 2<br>Page 1 |
| <b>WPS NO</b>  | : 23  |                                    |
| <b>SUBJECT</b>   | : Pipe Trusses / Plates   |                                    |
| <b>PROCEDURE DETAILS</b>   | : Acc. to welding procedure   |                                    |
| <b>MANUFACTURER'S NAME</b> : ELTEK Çelik A.Ş.  |   |                                    |
| <b>WELDING PROCESSES</b><br>GMAW   | <b>PARENT MATERIAL</b><br>St 37.2   |                                    |
| <b>JOINT TYPE</b><br>Fillet Weld   | <b>SPECIFICATION</b><br>AWS D 1.1   |                                    |
| <b>WELDING POSITION</b><br>Horizontal-Vertical   | <b>MATERIALS GROUP</b><br>St 37.2   |                                    |
| <b>WORK PIECE POSITION</b><br>Horizontal   | <b>BACKING</b>  |                                    |
| <b>WELD-EDGE PREPARATION<br/>(DIMENSIONED SKETCH)</b>  | <b>RUN SEQUENCE AND COMPLETED<br/>WELD DIMENSION(SKETCH)</b>  |                                    |
|           |   |                                    |
| <b>FILLER MATERIAL</b><br>type SG-2<br>composition C: 0.07-0.14 Si: 0.7-1.0<br>Mn: 1.3-1.5   | <b>WELDING CONDITIONS</b><br>run no 1, run no 2<br><br>Filler material size<br>run1 $\phi$ 1.2 , run2 $\phi$ 1.2<br>current 1(130-300), 2(130-300)<br>voltage 1(19-29), 2(19-29)<br>polarity (+)<br>wire feed speed |                                    |
| <b>SHIELDING</b><br>type M2-1 (BOS Argoshield)<br>composition 75% Argon, 25% CO <sub>2</sub> |   |                                    |
| <b>HEAT TREATMENT</b><br>preheating N/A  | <b>POSTWELD HEAT TREATMENT</b><br>N/A   |                                    |
| <b>Quality Assurance</b>   |   |                                    |

| <b>WELDING PROCEDURE<br/>SPECIFICATION (WPS)</b>   |   | Tarih 18.06.99<br>Rev. 2<br>Page 1 |
|--|---|------------------------------------|
| <b>WPS NO</b>  | : 24  |                                    |
| <b>SUBJECT</b>   | : Pipe Trusses / Plates   |                                    |
| <b>PROCEDURE DETAILS</b>   | : Acc. to welding procedure   |                                    |
| <b>MANUFACTURER'S NAME</b> : ELTEK Çelik A.Ş.  |   |                                    |
| <b>WELDING PROCESSES</b><br>GMAW   | <b>PARENT MATERIAL</b><br>St 37.2   |                                    |
| <b>JOINT TYPE</b><br>Fillet Weld   | <b>SPECIFICATION</b><br>AWS D 1.1   |                                    |
| <b>WELDING POSITION</b><br>Horizontal  | <b>MATERIALS GROUP</b><br>St 37.2   |                                    |
| <b>WORK PIECE POSITION</b><br>Horizontal   | <b>BACKING</b>  |                                    |
| <b>WELD-EDGE PREPARATION<br/>(DIMENSIONED SKETCH)</b>  | <b>RUN SEQUENCE AND COMPLETED<br/>WELD DIMENSION(SKETCH)</b>  |                                    |
|  |   |                                    |
| <b>FILLER MATERIAL</b><br>type SG-2<br>composition C : 0.07-0.14 Si : 0.7 - 1.0<br>Mn: 1.3-1.5 | <b>WELDING CONDITIONS</b><br>run no 1, run no 2<br><br>Filler material size<br>run1 $\phi$ 1.2 , run2 $\phi$ 1.2<br>current 1(130-300), 2(130-300)<br>voltage 1(19-29), 2(19-29)<br>polarity (+)<br>wire feed speed |                                    |
| <b>SHIELDING</b><br>type M2-1 (BOS Argoshield)<br>composition 75% Argon, 25% CO <sub>2</sub>   |   |                                    |
| <b>HEAT TREATMENT</b><br>preheating N/A  | <b>POSTWELD HEAT TREATMENT</b><br>N/A   |                                    |
| <b>Quality Assurance</b>   |   |                                    |

**EK-3 Bir Uygulama Kalifiye Raporu**

|   |  |                                    |
|---|--|------------------------------------|
| <b>(e) WELDING PROCEDURE SPECIFICATION (WPS)</b>  |  | Tarih 18.06.99<br>Rev. 2<br>Page 1 |
| WPS NO  | : 17   |                                    |
| SUBJECT   | : Pipe Trusses   |                                    |
| PROCEDURE DETAILS   | : Acc. to welding procedure  |                                    |
| MANUFACTURER'S NAME : ELTEK Çelik A.Ş.  |  |                                    |
| WELDING PROCESSES<br>SMAW   | PARENT MATERIAL<br>St 37.2   |                                    |
| JOINT TYPE<br>T - JOINT   | SPECIFICATION<br>AWS D 1.1   |                                    |
| WELDING POSITION<br>Horizontal- Vertical  | MATERIALS GROUP<br>St 37.2   |                                    |
| WORK PIECE POSITION<br>Horizontal   | BACKING  |                                    |
| WELD-EDGE PREPARATION<br>(DIMENSIONED SKETCH)   | RUN SEQUENCE AND COMPLETED WELD DIMENSION(SKETCH)  |                                    |
|    |    |                                    |
| FILLER MATERIAL<br>type E 6010<br>composition C: 0.08 Si: 0.1 Mn: 0.7 Mo: 0.5<br>type E 7018<br>composition C : 0.07 Si : 0.5 Mn: 0.9 | WELDING CONDITIONS<br>run no 1, run no 2, run no 3, run no 4<br>Filler material size<br>run1 $\phi$ 3.25, run2 $\phi$ 3.25, run3 $\phi$ 3.25, run4 $\phi$ 3.25 |                                    |
| SHIELDING   | current 1(80-100), 2(110-150), 3(110-150),<br>4(110-150)<br>polarity (+)   |                                    |
| HEAT TREATMENT<br>preheating ~150 °C Preheated  | POSTWELD HEAT TREATMENT<br>N/A   |                                    |
| Quality Assurance   |  |                                    |

|  |    |                                     |
|--|----|-------------------------------------|
| <b>PROCEDURE QUALIFICATION<br/>REPORT FORM (PQR)</b> |    | Date 18.06.1999<br>Page 2<br>Rev. 2 |
| PQR NO   | 17 |                                     |
| WELDER NO  | 8  |                                     |

| TENSILE TEST         |                    |                      |                           |                                    |                                   |            |
|----------------------|--------------------|----------------------|---------------------------|------------------------------------|-----------------------------------|------------|
| Specimen Description | Specimen Dimension |                      | Ultimate Tensile load (N) | Tensile strength N/mm <sup>2</sup> | Character of failure and location | Remarks    |
|                      | b x h (mm)         | s (mm <sup>2</sup> ) |                           |                                    |                                   |            |
| CHS273x16-CHS183x8   | 19,5x5,10          | 99,45                | 48000                     | 482,65                             | plate                             | acceptable |
|                      |                    |                      |                           |                                    |                                   |            |
|                      |                    |                      |                           |                                    |                                   |            |

| GUIDED BEND TEST         |                       |                             |                       |                       |                 |
|--------------------------|-----------------------|-----------------------------|-----------------------|-----------------------|-----------------|
| Specimen Description     | Specimen Dimension mm | Dist. between supports (mm) | Mandril Diameter (mm) | Elongation Bend Angle | Remarks         |
|                          |                       |                             |                       |                       |                 |
| CHS273x16-CHS183x8(ROOT) | 4                     | 58                          | 46                    | 180                   | crack and break |
|                          |                       |                             |                       |                       |                 |

| IMPACT TEST          |          |            |            |         |
|----------------------|----------|------------|------------|---------|
| Specimen Description | Temp (C) | Width (mm) | Values (J) | Remarks |
|                      |          |            |            |         |
|                      |          |            |            |         |
|                      |          |            |            |         |

| VISUAL INSPECTION |            |                   |      |
|-------------------|------------|-------------------|------|
| Appearance :      | acceptable | Convexity :       | none |
| Undercut :        | none       | Piping porosity : | none |

| RADIOGRAPHIC - ULTRASONIC EXAMINATION |        |
|---------------------------------------|--------|
| RT Report no                          | Result |
| UT Report no                          | Result |

| OTHER TEST    |                      |
|---------------|----------------------|
| HARDNES TEST  | Result: Satisfactory |
| MACROETC TEST | Result: acceptable   |

|          |         |          |
|----------|---------|----------|
| PREPARED | CHECKED | APPROVED |
|----------|---------|----------|



| <b>PATTERN LIST</b> |               |              | Date            |
|---------------------|---------------|--------------|-----------------|
| <b>(PQR)</b>        |               |              | 18.06.99        |
|                     |               |              | Page 3          |
| Stamp               | Welder's Name | Pattern Code | Welding Process |
| 1                   | Remzi SEZGİN  |              | SMAW            |
| 2                   | Yaşar İLMAZ   |              | SMAW            |
| 3                   | Yaman ÖZ      |              | SMAW            |
| 5                   | Süleyman YÜRE |              | SMAW            |
| 6                   | Hamit KONAK   |              | SMAW            |
| 7                   | Cengiz SEREN  |              | SMAW            |
| 8                   | Yemliha ÖZEN  |              | SMAW            |

**CHS 273x16mm ÇEKME DENEYİ RAPORU**  
**CHS 273x16mm TENSILE TEST REPORT**

DENEY LABORATUVARI  
LABORATORY : ANADOLU DÖKÜM SANAYİ A.Ş.

NUMUNENİN AİT OLDUĞU FİRMA  
COMPANY : ELTEK ÇELİK A.Ş.

İSTENEN TEST TİPİ  
TEST TYPE : ÇEKME TESTİ

NUMUNENİN CİNSİ VE ADEDİ  
SAMPLE DESCR. and QUANTITY : 1 ad. KAYNAKLI ÇEKME NUMUNESİ

DENEYİN YAPILDIĞI TARİH  
DATE of TESTING : 01 / 03 / 1999

UYGULANAN STANDART  
APPLIED STANDART : TS. 138

DENEYLERİ YAPANLAR  
OPERATORS : Lab. N. DEMİR/ Mak. Müh. M. TEMEL

DENEYİ KONTROL EDEN  
APPROVAL : Met. Müh. METEHAN BOYDAK

DENEY SONUÇLARI :  
TEST RESULTS :

| NUMUNE CİNSİ ve NO<br>SAMPLE IDENTIFICATION | KESİT ALANI<br>SECTION AREA<br>(mm <sup>2</sup> ) | ÇEKME YÜKÜ<br>TENSILE LOAD<br>(N) | Madde II.<br>EKME DAYANIMI<br>TENSILE STRENGTH<br>(N/mm <sup>2</sup> ) | KOPMA YERİ<br>BREAK POINT |
|---|---|-----------------------------------|--|---------------------------|
| CHS 273 x 16                                | 19,5 x 5,1 =99,45                                 | 48000                             | 482,65   | SAC                       |

**CHS 273x16mm EĞME DENEYİ RAPORU**  
**CHS 273x16mm BEND TEST REPORT**

DENEY LABORATUVARI  
LABORATORY

: ANADOLU DÖKÜM SANAYİ A.Ş.

NUMUNENİN AİT OLDUĞU FİRMA  
COMPANY

: ELTEK ÇELİK A.Ş.

Bölüm 2.01  
TEST TYPE

İSTENEN TEST TİPİ  
: ÇEKME TESTİ

NUMUNENİN CİNSİ VE ADEDİ  
Bölüm 2.02  
KAYNAKLI EĞME NUMUNESİ

SAMPLE DESCR. and QUANTITY : 1 ad.

DENEYİN YAPILDIĞI TARİH  
DATE of TESTING

: 01 / 03 / 1999

UYGULANAN STANDART  
APPLIED STANDART

: TS. 205

DENEYLERİ YAPANLAR  
OPERATORS

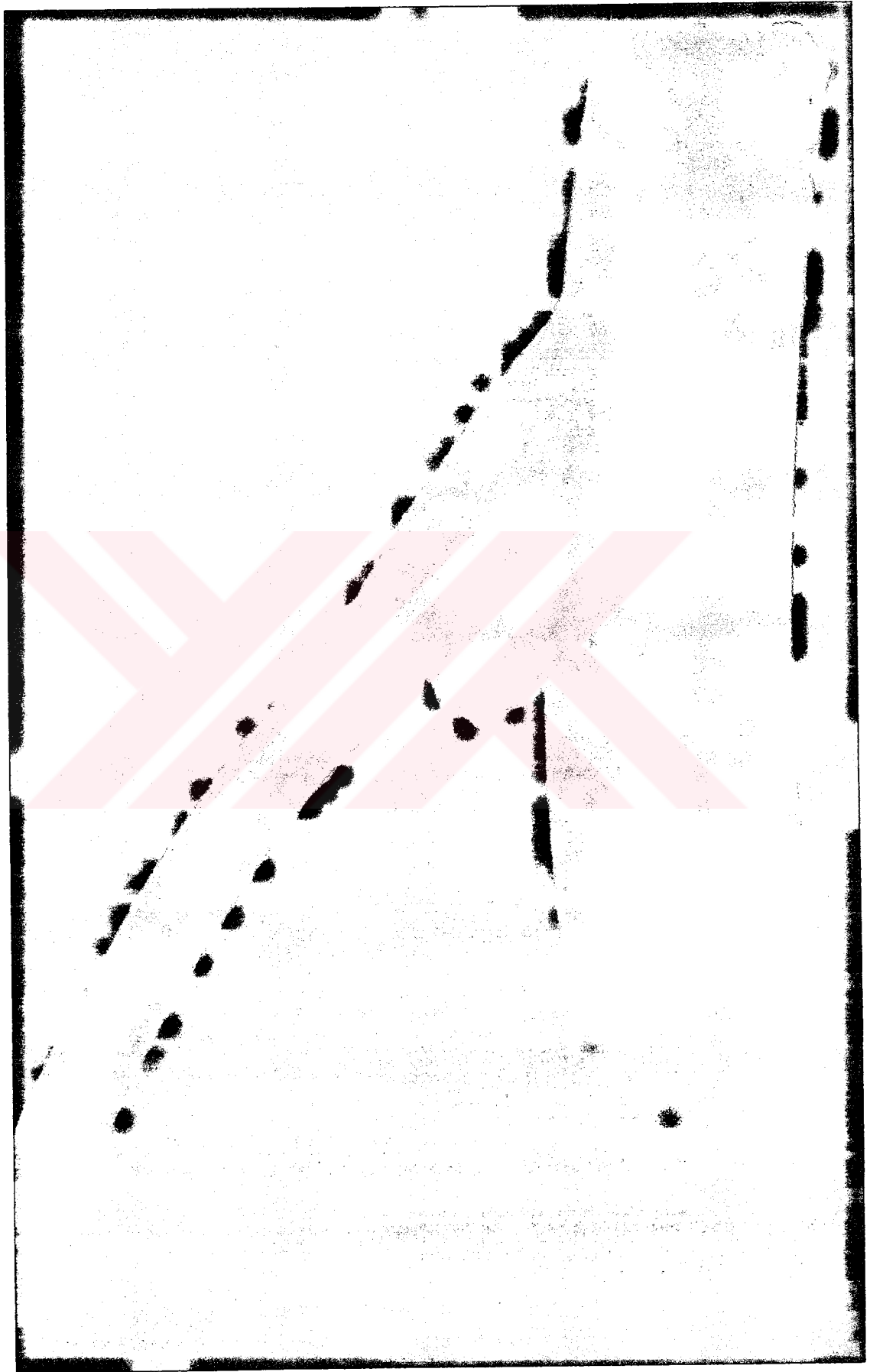
: Lab. N. DEMİR / Mak. Müh. M. TEMEL

DENEYİ KONTROL EDEN  
APPROVAL

: Met. Müh. METEHAN BOYDAK

DENEY SONUÇLARI :  
TEST RESULTS :

| NUMUNE CİNSİ ve NO<br>SAMPLE<br>IDENTIFICATION | MESNETLER ARASI<br>MESAFE<br>DISTANCE BETWEEN<br>ROLLERS<br>(mm) | MANDREL ÇAP<br>DIAMETER<br>of MANDREL<br>(mm) | PARÇANIN<br>KALINLIĞI<br>THICKNESS of<br>SAMPLE<br>(mm) | EĞME AÇISI<br>BENDING<br>ANGLE | SONUÇ<br>RESULT           |
|--|--|---|---|--------------------------------|---------------------------|
| CHS 273x16 CHS 193x8<br>ROOT                   | 58   | 46  | 4   | 180°                           | Çatlama ve kırılma olmadı |
| CHS 273x16 CHS 193x8<br>FACE                   | 62,5   | 46  | 5,5   | 180°                           | Çatlama ve kırılma olmadı |



# EK-4 ITP – Muayene ve Test Planı

PREPARED BY: MURAT TRMEL

| INSPECTION AND TEST PLAN FOR STEEL STRUCTURE (I & T) |    |   |                   |                      |  |             |         |        |         |
|--|----|---|-------------------|----------------------|--|-------------|---------|--------|---------|
| SKEPS  | NO | DESCRIPTION   | QUALITY RECORD NO | QUALITY PROCEDURE NO | ACCEPTANCE CRITERIAS   | INVOLVEMENT |         |        | REMARKS |
|  |    |   |                   |                      |  | EL/EEK      | APPROVE | CLIENT |         |
| BEFORE CUTTING OFFPLATE AND PIPES                    | 1  | MATERIAL INSPECTION<br>1.1 Verification Of Material Certificate Of Mill Test Report | EL-QC/RN-03       | Hold                 | DIN 1022<br>DIN 1014<br>DIN 1017<br>DIN 59411<br>DIN 59410<br>DIN 1028<br>DIN 50123<br>DIN 50111<br>DIN 50123-EX16XS0<br>DIN 1025<br>DIN 1027<br>DIN 1026<br>DIN 17700<br>DIN 10025<br>FES608FN<br>TS 3357<br>TS 207<br>TS 205<br>TS 138<br>TS 913<br>TS 10321<br>TS 648<br>TS 910<br>TS 912<br>ASTM E A-252                   |             | R       | R      |         |
|  | 1  | 1.2 Dimensional check   | EL-QC/RN-06       | SSP-001              | Table-1 Accepted   | F           | W/R     |        |         |
| AFTER CUTTING OFFPLATE AND PIPES                     | 1  | DIMENSIONAL CHECK (Length, Width, Diagonal)   | EL-QC/RN-06       | SSP-001<br>SSP-007   | DIN 1022<br>DIN 1014<br>DIN 1017<br>DIN 59411<br>DIN 59410<br>DIN 1028<br>DIN 50123<br>DIN 50111<br>DIN 50123-EX16XS0<br>DIN 1025<br>DIN 1027<br>DIN 1026<br>DIN 17700<br>DIN 10025<br>FES608FN<br>TS 3357<br>TS 207<br>TS 205<br>TS 138<br>TS 913<br>TS 10321 EN10113-2<br>TS 648<br>TS 910<br>TS 912<br>ASTM E A-252         | F           | W/R     | R      |         |
|  | 2  | WELD BEVEL CHECK  | *                 |                      |  | F           | SW/SE   | R      |         |
| BEFORE AND AFTER DRILLING                            | 1  | CHECK OF DRILLING LOCATION & DIAMETER   | *                 |                      |  | F           | SE      | R      |         |
|  | 3  | ASSEMBLY CHECK IN ACCORDANCE WITH RELATED DRAWINGS                                  | *                 |                      | AWS E 7018 E 6010<br>ASTM E A 252<br>TS 5618<br>TS 3387  | F           | W       | R      |         |
| PRIOR TO WELDING                                     | 2  | REVIEW OF WPS & PQR   |                   | SSP-005              | AWS E 7018 E 6010<br>ASTM E A 252  | F           | R       | R      |         |
|  | 3  | REVIEW OF WELDERS CERTIFICATE   |                   |                      | AWS E 7018 E 6010<br>ASTM E A 252<br>TS 563<br>AWS D 1.1<br>DIN 50111<br>DIN 8560<br>AWS 5.1 / E 7018<br>EL OC / EN 01<br>EL OC / EN 02<br>EL OC / EN 03<br>EL OC / EN 01<br>EL OC / EN 05<br>DIN 17100 E 287<br>EN 288<br>ASME SEC 9<br>TS 5913<br>TS 8365<br>TS EN 719<br>TS 3437<br>TS 6205 pr EN 1157<br>AWS 5.1 SEC 5 B.C | F           | R       |        |         |
|  | 4  | CHECK OF WELDING CONSUMABLE AND SEROGRAPHE OF IT (CLEAN, FREEMOISTURE)              |                   |                      | DIN 17100 E 287<br>EN 288<br>ASME SEC 9<br>TS 5913<br>TS 8365<br>TS EN 719<br>TS 3437<br>TS 6205 pr EN 1157<br>AWS 5.1 SEC 5 B.C   | F           | SW      |        |         |
|  | 4  |   |                   |                      |  |             |         |        |         |

| INSPECTION AND TEST PLAN FOR STEEL STRUCTURE (I & T) |    |  |                   |                      |   |             |         |        |         |
|--|----|--|-------------------|----------------------|---|-------------|---------|--------|---------|
| STEPS  | NO | DESCRIPTION  | QUALITY RECORD NO | QUALITY PROCEDURE NO | ACCEPTANCE CRITERIAS  | INVOLVEMENT |         |        | REMARKS |
|  |    |  |                   |                      |   | EL/TEK      | APPROVE | CLIENT |         |
| DURING WELDING                                       | 1  | CHECK OF PREHEATING INTERPASS TEMPERATURE                          | *                 |                      | AWS D 1.1   | P           |         |        |         |
|  | 2  | CHECK OF TACK WELDS  | *                 |                      | AWS D 1.1<br>TS 563<br>TS 5618<br>TS 5367   | P           |         | W      |         |
|  | 3  | CHECK OF WELDING CONSUMABLE  | *                 |                      | AWS D 1.1   | P           |         | W      |         |
|  | 4  | CHECK OF WELDING PARAMETERS  | *                 | SSP-002              | TS 9913<br>TS 8369<br>TS EN 719<br>TS 5437<br>TS 6205 or EN 1157  |             | R       | R      |         |
|  | 5  | CHECK OF WELDER'S CERTIFICATE                                      | *                 | SSP-002              | TS 563<br>TS 5618<br>AWS D 1.1<br>DIN 50111<br>DIN 8560<br>AWS 5.1 / E 7018<br>TS 9913<br>TS 8369<br>TS EN 719<br>TS 5437                             |             | R       | R      |         |
| AFTER WELDING  | 1  | NDT INSPECTION   |                   |                      |   |             |         |        |         |
|  |    | 1.1 %100 Visual Check (All Welds)                                  | EN-QC/RN-05       | SSP-003              | AWS D 1.1<br>TS 5127  | P           | SI      | R      |         |
|  |    | 1.2.3 Ultrasonic inspection (%100) Full penetration butt welds     | EN-QC/RN-08       | SSP-008              | AWS D 1.1<br>TS 5127<br>TS 4822<br>TS 5187<br>TS EN 10246-7<br>TS prEN 10246-6<br>TS prEN 9556<br>TS 7482<br>TS EN 571-1<br>ASTM E 142<br>ASTM E 8294 |             |         | W/R    |         |
|  |    | 1.3 Penetrant or MPI inspection (Fillet Welds) (%10 min.)          | EN-QC/RN-04       | SSP-005              | ASTM 163<br>TS prEN 956<br>TS 7482<br>TS EN 571-1   |             | SWR     | W/R    |         |
|  | 2  | CHECK OF WELDER STAMP  | *                 | SSP-002              |   | P           |         | I      |         |
|  | 3  | CHECK OF MARKING   | *                 | SSP-002              |   | P           |         | R      |         |
| 6  | 4  | CHECK OF BOLTED CONNECT  | *                 | SSP-002              |   | P           |         | R      |         |
|  | 5  | CHECK OF COMPLETION OF TEST PREPARATION OF REPORT                  | *                 | SSP-002              |   |             | A       | R      |         |
|  | 1  | CHECK OF SAND BLASTING   | EN-QC/RN-07       | SSP-006              | DIN 50310<br>ASTM C 922   | P           | W       | W/R    |         |
| PAINTING   | 2  | CHECK OF PAINT TYPE  | EN-QC/RN-07       |                      | SA 2.5<br>SA 3<br>SPPC SP.5<br>SPPC SP.2<br>SPPC SP.3<br>TS 914<br>ES 3900 B 2<br>ES 3900 B 3<br>ES 2620  | P           |         | W      |         |
|  | 3  | VISUAL INSPECTION AND THICKNESS MEASUREMENT OF FIRST COATING (DRY) | EN-QC/RN-07       |                      | ES 5411<br>ES 3900<br>ISO 2178<br>ISO 2808<br>ISO 2360<br>DIN 50981<br>DIN 50984<br>ASTM D 1400<br>ASTM B 499   | P           | SW      | I/R    |         |
|  | 4  | VISUAL INSPECTION AND THICKNESS MEASUREMENT OF TOTAL COATING (DRY) | EN-QC/RN-07       |                      | ES 5411<br>ES 3900<br>ISO 2178<br>ISO 2808<br>ISO 2360<br>DIN 50981<br>DIN 50984<br>ASTM D 1400<br>ASTM B 499   |             | SWR     |        |         |
|  | 7  |  |                   |                      |   |             |         |        |         |

| INSPECTION AND TEST PLAN FOR STEEL STRUCTURE (I & T) |    |   |                   |                      |   |             |         |        |         |
|--|----|---|-------------------|----------------------|---|-------------|---------|--------|---------|
| STEPS  | NO | DESCRIPTION   | QUALITY RECORD NO | QUALITY PROCEDURE NO | ACCEPTANCE CRITERIAS  | INVOLVEMENT |         |        | REMARKS |
|  |    |   |                   |                      |   | ELITEK      | APPROVE | CLIENT |         |
| AFTER THE SETTING                                    | 1  | VISUAL INSPECTION AND CHECK MEASUREMENT OF TOTAL PART'S |                   |                      | DIN 1023<br>DIN 1027<br>DIN 1026<br>DIN 17780<br>DIN 10025<br>FES60RFN<br>TS 3537<br>TS 915<br>TS 10321<br>EN10113-2<br>TS 648<br>TS 910<br>TS 912<br>SA 2.5<br>SA 3<br>SSPC SP.5<br>SSPC SP.2<br>SSPC SP.3<br>TS 914<br>DIN 8531<br>BS 3900 8.2<br>BS 3900 8.3<br>BS 2620<br>AWS D 1.1<br>TS 5127<br>DIN 8560<br>DIN 54109<br>ASTM E 186<br>ASTM E 446<br>BSI 3971<br>DIN 410<br>ASTM E 142<br>ASTM E 94<br>TS ISO 9002K6301/56<br>TS ISO 9002K6301/56<br>TS 1021A<br>TS 1021C<br>TS 10244<br>TS 1026<br>TS 80<br>TS 80<br>TS 33 | P           |         | WR     |         |
|  | 8  |   |                   |                      |   |             |         |        |         |
| PRIOR TO SHIPMENT                                    | 1  | TRIAL ASSEMBLY AND TRIAL ERECTION IN WORKSHOP           |                   |                      |   |             | P       |        | WR      |
|  | 2  | PREPARATION OF DATA FILE                                |                   |                      |   |             | P       |        | R       |
| 9  |    |   |                   |                      |   |             |         |        |         |
| ERECTION   | 1  | VISUAL INSPECTION AND CHECK MEASUREMENT OF TOTAL PART'S |                   |                      | TS ISO 9002K6301/56<br>TS 1021A<br>TS 1021C<br>TS 10244<br>TS 1026<br>TS 80<br>DIN 7990<br>DIN 7968<br>DIN 555 B 1.1<br>DIN 601   |             |         |        |         |
|  | 10 |   |                   |                      |   |             |         |        |         |

**ELITEK SPECIFICATIONS**

- \* - A REPORT SHALL BE PREPARED IF ANY NONCOMITY WAS FOUND.
- X - A REPORT SHALL BE PREPARED AFTER CHECK TEST.
- R - REVIEW.
- S - SPOT.
- N - TO BE SUBMITTED BY IRON MILL IN THEIR ORIGINAL FORM.
- QC - QUALITY CONTROL DEPARTMENT
- P - PERFORMANCE
- W - WITNESS.
- E - ELITEK STEEL STRUCTURE A.S.
- I - INSPECTION.

NOTE : PLEASE REFER TO THE QC PROCEDURE WITH SERIAL NO: EN-QC-SSP-001,002,003,004,005.

DATE:

PREPARED:

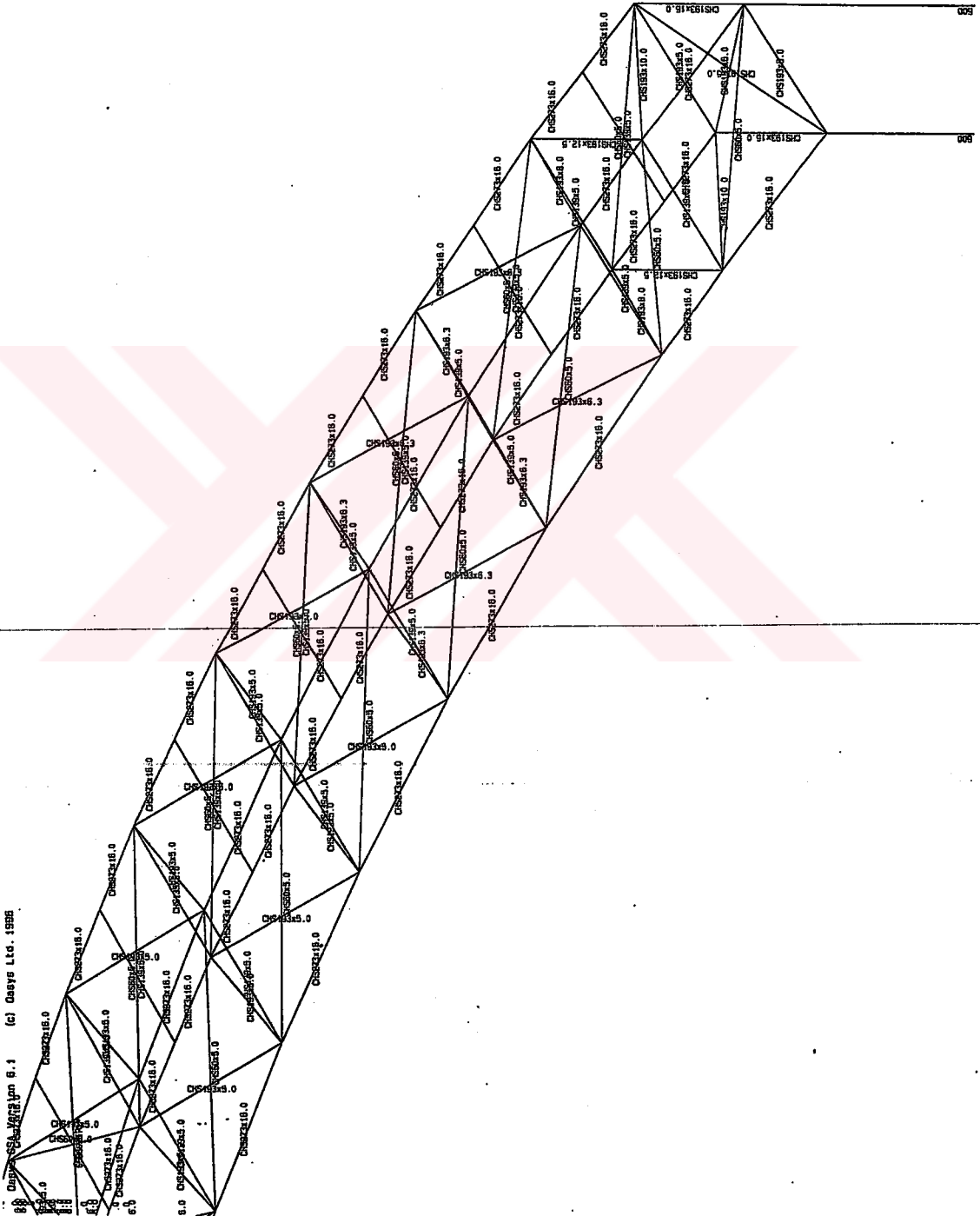
CHECKED:

APPROVAL:

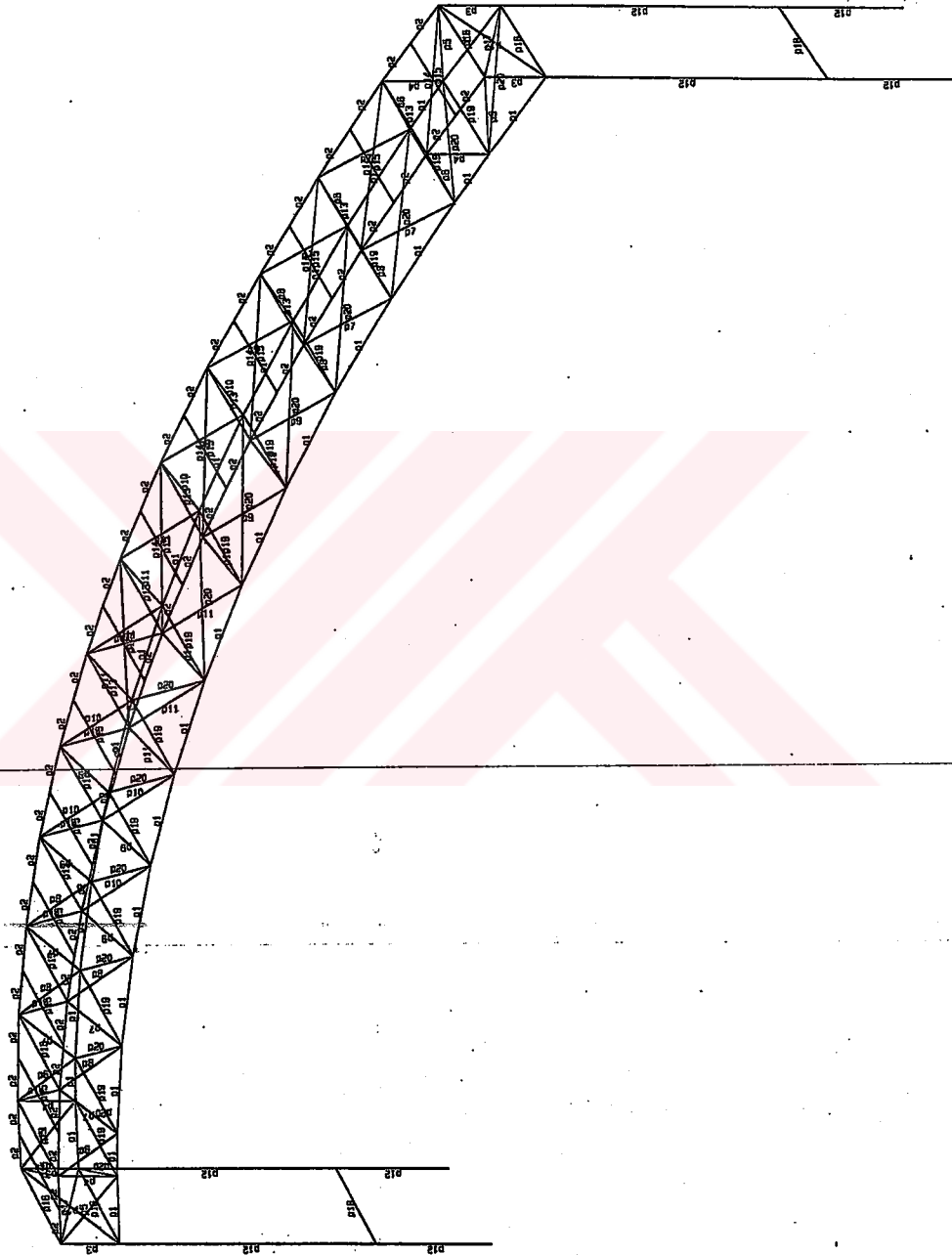
# EK-5 Statik Analizler

Unit Name

Perspective view







**KOC UNIVERSITESI**

SPOR SALONU

CELIK CATI ANA MAKASLARI t.seh

|           |           |         |
|-----------|-----------|---------|
| Job No.   | Sheet No. | Rev.    |
| 38035     |           |         |
| Drg. Ref. |           |         |
| Made by   | Date      | Checked |
| SK        | 06-May-98 |         |

Type of Structure: GENERAL 3D

Global Restraints: none

Input Data Units: kN m T s deg.C Gravity = 9.80665 m/s<sup>2</sup>

Results Units: - same as input data units

Number of Nodes = 130      Highest Node = 132  
 Number of Elements = 298      Highest Element = 395  
 Number of Basic Loadcases = 8      Highest Basic Loadcase = 8  
 Number of Combination Loadcases = 8  
 Number of Envelopes = 1

Static Loadcase Titles:

Basic Loadcases

|   |                               |
|---|-------------------------------|
| 1 | cati keplama + kar yuku       |
| 2 | ruzgar                        |
| 3 | ruzgar                        |
| 4 | servis yukleri                |
| 5 | celik cati zati eg. (gravity) |
| 6 | deprem x yomu                 |
| 7 | deprem x yomu                 |
| 8 | deprem x yomu                 |

Combination Loadcases

|    |                     |
|----|---------------------|
| 9  | dusey yukler        |
| 10 | ruzgar+dusey yukler |
| 11 | DSPRDM y yomu       |
| 12 | deprem x yomu +     |
| 13 | deprem xy +         |
| 14 | deprem 1x-3y        |
| 15 | deprem 1x-1y        |
| 16 | thermal             |

Envelopes

|   |                      |
|---|----------------------|
| 1 | tum kombinasyonlar   |
| 9 | 10 11 12 13 14 15 16 |

Nodes

| Node | X       | Y     | Z      | Axis |
|------|---------|-------|--------|------|
| 56   | 19.105  | 4.000 | 9.771  |      |
| 57   | 23.167  | 4.000 | 9.975  |      |
| 58   | 27.233  | 4.000 | 9.975  |      |
| 59   | 31.295  | 4.000 | 9.771  |      |
| 60   | 35.341  | 4.000 | 9.366  |      |
| 61   | 39.362  | 4.000 | 8.758  |      |
| 62   | 43.347  | 4.000 | 7.951  |      |
| 63   | 47.200  | 4.000 | 10.000 |      |
| 64   | 51.113  | 4.000 | 4.945  |      |
| 65   | 55.077  | 4.000 | 5.473  |      |
| 66   | 59.041  | 4.000 | 6.380  |      |
| 67   | 63.045  | 4.000 | 7.087  |      |
| 68   | 67.080  | 4.000 | 7.594  |      |
| 69   | 71.135  | 4.000 | 7.898  |      |
| 70   | 75.200  | 4.000 | 8.000  |      |
| 71   | 79.265  | 4.000 | 7.898  |      |
| 72   | 83.320  | 4.000 | 7.594  |      |
| 73   | 87.355  | 4.000 | 7.087  |      |
| 74   | 91.359  | 4.000 | 6.380  |      |
| 75   | 95.287  | 4.000 | 4.945  |      |
| 76   | 99.222  | 4.000 | 5.473  |      |
| 77   | 103.167 | 4.000 | 6.473  |      |
| 78   | 107.122 | 4.000 | 7.448  |      |
| 79   | 111.087 | 4.000 | 8.355  |      |
| 80   | 115.062 | 4.000 | 9.262  |      |
| 81   | 119.047 | 4.000 | 10.169 |      |
| 82   | 123.042 | 4.000 | 11.076 |      |
| 83   | 127.047 | 4.000 | 11.983 |      |
| 84   | 131.052 | 4.000 | 12.890 |      |
| 85   | 135.057 | 4.000 | 13.797 |      |
| 86   | 139.062 | 4.000 | 14.704 |      |
| 87   | 143.067 | 4.000 | 15.611 |      |
| 88   | 147.072 | 4.000 | 16.518 |      |
| 89   | 151.077 | 4.000 | 17.425 |      |
| 90   | 155.082 | 4.000 | 18.332 |      |
| 91   | 159.087 | 4.000 | 19.239 |      |
| 92   | 163.092 | 4.000 | 20.146 |      |
| 93   | 167.097 | 4.000 | 21.053 |      |
| 94   | 171.102 | 4.000 | 21.960 |      |
| 95   | 175.107 | 4.000 | 22.867 |      |
| 96   | 179.112 | 4.000 | 23.774 |      |
| 97   | 183.117 | 4.000 | 24.681 |      |
| 98   | 187.122 | 4.000 | 25.588 |      |
| 99   | 191.127 | 4.000 | 26.495 |      |
| 100  | 195.132 | 4.000 | 27.402 |      |
| 101  | 199.137 | 4.000 | 28.309 |      |
| 102  | 203.142 | 4.000 | 29.216 |      |
| 103  | 207.147 | 4.000 | 30.123 |      |
| 104  | 211.152 | 4.000 | 31.030 |      |
| 105  | 215.157 | 4.000 | 31.937 |      |
| 106  | 219.162 | 4.000 | 32.844 |      |
| 107  | 223.167 | 4.000 | 33.751 |      |
| 108  | 227.172 | 4.000 | 34.658 |      |
| 109  | 231.177 | 4.000 | 35.565 |      |
| 110  | 235.182 | 4.000 | 36.472 |      |
| 111  | 239.187 | 4.000 | 37.379 |      |
| 112  | 243.192 | 4.000 | 38.286 |      |
| 113  | 247.197 | 4.000 | 39.193 |      |
| 114  | 251.202 | 4.000 | 40.100 |      |
| 115  | 255.207 | 4.000 | 41.007 |      |
| 116  | 259.212 | 4.000 | 41.914 |      |
| 117  | 263.217 | 4.000 | 42.821 |      |
| 118  | 267.222 | 4.000 | 43.728 |      |
| 119  | 271.227 | 4.000 | 44.635 |      |
| 120  | 275.232 | 4.000 | 45.542 |      |
| 121  | 279.237 | 4.000 | 46.449 |      |
| 122  | 283.242 | 4.000 | 47.356 |      |
| 123  | 287.247 | 4.000 | 48.263 |      |
| 124  | 291.252 | 4.000 | 49.170 |      |
| 125  | 295.257 | 4.000 | 50.077 |      |
| 126  | 299.262 | 4.000 | 50.984 |      |
| 127  | 303.267 | 4.000 | 51.891 |      |
| 128  | 307.272 | 4.000 | 52.798 |      |
| 129  | 311.277 | 4.000 | 53.705 |      |
| 130  | 315.282 | 4.000 | 54.612 |      |
| 131  | 319.287 | 4.000 | 55.519 |      |
| 132  | 323.292 | 4.000 | 56.426 |      |

ANALYSIS BY GSA Version 6x021

Static analysis

| Nodes | X       | Y   | Z      | Axis |
|-------|---------|-----|--------|------|
| 1     | 0.0     | 0.0 | -9.000 |      |
| 2     | 0.0     | 0.0 | 4.000  |      |
| 3     | 50.400  | 0.0 | -9.000 |      |
| 4     | 50.400  | 0.0 | 4.000  |      |
| 5     | 0.0     | 0.0 | 6.000  |      |
| 6     | 50.400  | 0.0 | 6.000  |      |
| 7     | 3.113   | 0.0 | 6.945  |      |
| 8     | 47.287  | 0.0 | 6.945  |      |
| 9     | 7.953   | 0.0 | 7.951  |      |
| 10    | 11.918  | 0.0 | 8.758  |      |
| 11    | 15.859  | 0.0 | 9.366  |      |
| 12    | 19.105  | 0.0 | 9.771  |      |
| 13    | 23.167  | 0.0 | 9.975  |      |
| 14    | 27.233  | 0.0 | 9.975  |      |
| 15    | 31.295  | 0.0 | 9.771  |      |
| 16    | 35.341  | 0.0 | 9.366  |      |
| 17    | 39.362  | 0.0 | 8.758  |      |
| 18    | 43.347  | 0.0 | 7.951  |      |
| 19    | 47.200  | 0.0 | 10.000 |      |
| 20    | 51.113  | 0.0 | 4.945  |      |
| 21    | 55.077  | 0.0 | 5.473  |      |
| 22    | 59.041  | 0.0 | 6.380  |      |
| 23    | 63.045  | 0.0 | 7.087  |      |
| 24    | 67.080  | 0.0 | 7.594  |      |
| 25    | 71.135  | 0.0 | 7.898  |      |
| 26    | 75.200  | 0.0 | 8.000  |      |
| 27    | 79.265  | 0.0 | 7.898  |      |
| 28    | 83.320  | 0.0 | 7.594  |      |
| 29    | 87.355  | 0.0 | 7.087  |      |
| 30    | 91.359  | 0.0 | 6.380  |      |
| 31    | 95.287  | 0.0 | 4.945  |      |
| 32    | 99.222  | 0.0 | 5.473  |      |
| 33    | 103.167 | 0.0 | 6.473  |      |
| 34    | 107.122 | 0.0 | 7.448  |      |
| 35    | 111.087 | 0.0 | 8.355  |      |
| 36    | 115.062 | 0.0 | 9.262  |      |
| 37    | 119.047 | 0.0 | 10.169 |      |
| 38    | 123.042 | 0.0 | 11.076 |      |
| 39    | 127.047 | 0.0 | 11.983 |      |
| 40    | 131.052 | 0.0 | 12.890 |      |
| 41    | 135.057 | 0.0 | 13.797 |      |
| 42    | 139.062 | 0.0 | 14.704 |      |
| 43    | 143.067 | 0.0 | 15.611 |      |
| 44    | 147.072 | 0.0 | 16.518 |      |
| 45    | 151.077 | 0.0 | 17.425 |      |
| 46    | 155.082 | 0.0 | 18.332 |      |
| 47    | 159.087 | 0.0 | 19.239 |      |
| 48    | 163.092 | 0.0 | 20.146 |      |
| 49    | 167.097 | 0.0 | 21.053 |      |
| 50    | 171.102 | 0.0 | 21.960 |      |
| 51    | 175.107 | 0.0 | 22.867 |      |
| 52    | 179.112 | 0.0 | 23.774 |      |
| 53    | 183.117 | 0.0 | 24.681 |      |
| 54    | 187.122 | 0.0 | 25.588 |      |
| 55    | 191.127 | 0.0 | 26.495 |      |

Elements

| Elem. No. | Type | Fixity      | Prop. | Group | Topology             | Length |
|-----------|------|-------------|-------|-------|----------------------|--------|
|           |      | xx yy zz    |       |       | End 1 End 2 3rd Node | [m]    |
| 18        | BEAM | E/E E/E E/E | 2     | 2     | 13 19                | 2.033  |
| 19        | BEAM | E/E E/E E/E | 1     | 2     | 19 14                | 2.033  |
| 20        | BEAM | E/E E/E E/E | 1     | 1     | 2 20                 | 3.253  |
| 21        | BEAM | E/E E/E E/E | 1     | 1     | 20 21                | 2.034  |
| 22        | BEAM | E/E E/E E/E | 1     | 1     | 21 23                | 4.066  |
| 23        | BEAM | E/E E/E E/E | 1     | 1     | 23 24                | 4.066  |
| 24        | BEAM | E/E E/E E/E | 1     | 1     | 24 25                | 4.067  |
| 25        | BEAM | E/E E/E E/E | 1     | 1     | 25 26                | 4.066  |
| 26        | BEAM | E/E E/E E/E | 1     | 1     | 26 27                | 4.066  |
| 27        | BEAM | E/E E/E E/E | 1     | 1     | 27 28                | 4.066  |
| 28        | BEAM | E/E E/E E/E | 1     | 1     | 28 29                | 4.066  |
| 29        | BEAM | E/E E/E E/E | 1     | 1     | 29 30                | 4.067  |
| 30        | BEAM | E/E E/E E/E | 1     | 1     | 30 31                | 4.066  |
| 31        | BEAM | E/E E/E E/E | 1     | 1     | 31 22                | 4.066  |
| 32        | BEAM | E/E E/E E/E | 1     | 1     | 22 32                | 2.034  |
| 33        | BEAM | E/E E/E E/E | 1     | 1     | 32 4                 | 3.253  |
| 34        | BEAM | E/E E/E E/E | 4     | 4     | 20 7                 | 2.000  |
| 35        | BEAM | E/E E/E E/E | 4     | 4     | 32 8                 | 2.000  |
| 36        | BEAM | E/E E/E E/E | 6     | 6     | 7 21                 | 2.454  |
| 37        | BEAM | E/E E/E E/E | 6     | 6     | 8 22                 | 2.454  |
| 38        | BEAM | E/E E/E E/E | 7     | 7     | 21 9                 | 3.169  |
| 39        | BEAM | E/E E/E E/E | 7     | 7     | 22 18                | 3.169  |
| 40        | BEAM | E/E E/E E/E | 7     | 7     | 23 10                | 3.105  |
| 41        | BEAM | E/E E/E E/E | 7     | 7     | 31 17                | 3.105  |
| 42        | BEAM | E/E E/E E/E | 8     | 8     | 9 23                 | 2.534  |
| 43        | BEAM | E/E E/E E/E | 8     | 8     | 18 31                | 2.534  |
| 44        | BEAM | E/E E/E E/E | 8     | 8     | 17 30                | 2.612  |
| 45        | BEAM | E/E E/E E/E | 8     | 8     | 10 24                | 2.612  |
| 46        | BEAM | E/E E/E E/E | 9     | 9     | 24 11                | 3.041  |

KOC UNIVERSITESI

SPOR SALONU

CELIK CATT ANA MAKASLARI t.seh

|           |           |         |
|-----------|-----------|---------|
| Job No.   | Sheet No. | Rev.    |
| 38035     |           |         |
| Drg. Ref. |           |         |
| Made by   | Date      | Checked |
| SK        | 06-May-98 |         |

Elements

| Elem. No. | Type | Fixity  | Prop. | Group | Topology |       |          | Length  |
|-----------|------|---------|-------|-------|----------|-------|----------|---------|
| of elem.  | xx   | yy      | zz    | No.   | End 1    | End 2 | 3rd Node | [m]     |
| 55        | BEAM | E/E/E/E | 9     | 9     | 28       | 12    |          | 2.973   |
| 56        | BEAM | E/E/E/E | 9     | 9     | 30       | 16    |          | 3.041   |
| 57        | BEAM | E/E/E/E | 9     | 9     | 29       | 15    |          | 2.973   |
| 58        | BEAM | E/E/E/E | 10    | 10    | 11       | 25    |          | 2.688   |
| 59        | BEAM | E/E/E/E | 10    | 10    | 12       | 25    |          | 2.762   |
| 60        | BEAM | E/E/E/E | 10    | 10    | 16       | 29    |          | 2.688   |
| 61        | BEAM | E/E/E/E | 10    | 10    | 15       | 28    |          | 2.762   |
| 62        | BEAM | E/E/E/E | 11    | 11    | 26       | 13    |          | 2.906   |
| 63        | BEAM | E/E/E/E | 11    | 11    | 28       | 14    |          | 2.906   |
| 64        | BEAM | E/E/E/E | 11    | 11    | 14       | 37    |          | 2.834   |
| 65        | BEAM | E/E/E/E | 11    | 11    | 27       | 13    |          | 2.834   |
| 66        | BEAM | E/E/E/E | 2     | 2     | 5        | 33    |          | 1.527   |
| 67        | BEAM | E/E/E/E | 2     | 2     | 33       | 7     |          | 1.526   |
| 68        | BEAM | E/E/E/E | 2     | 2     | 8        | 34    |          | 1.627   |
| 69        | BEAM | E/E/E/E | 2     | 2     | 34       | 6     |          | 1.626   |
| 70        | BEAM | E/E/E/E | 2     | 2     | 7        | 35    |          | 2.033   |
| 71        | BEAM | E/E/E/E | 2     | 2     | 35       | 9     |          | 2.033   |
| 72        | BEAM | E/E/E/E | 2     | 2     | 9        | 36    |          | 2.014   |
| 73        | BEAM | E/E/E/E | 2     | 2     | 36       | 10    |          | 2.032   |
| 74        | BEAM | E/E/E/E | 2     | 2     | 10       | 37    |          | 2.034   |
| 75        | BEAM | E/E/E/E | 2     | 2     | 37       | 11    |          | 2.033   |
| 76        | BEAM | E/E/E/E | 2     | 2     | 11       | 38    |          | 2.033   |
| 77        | BEAM | E/E/E/E | 2     | 2     | 38       | 12    |          | 2.034   |
| 78        | BEAM | E/E/E/E | 2     | 2     | 12       | 39    |          | 2.034   |
| 79        | BEAM | E/E/E/E | 2     | 2     | 39       | 13    |          | 2.034   |
| 80        | BEAM | E/E/E/E | 2     | 2     | 14       | 40    |          | 2.034   |
| 81        | BEAM | E/E/E/E | 2     | 2     | 40       | 15    |          | 2.033   |
| 82        | BEAM | E/E/E/E | 2     | 2     | 15       | 41    |          | 2.033   |
| 83        | BEAM | E/E/E/E | 2     | 2     | 41       | 16    |          | 2.034   |
| 84        | BEAM | E/E/E/E | 2     | 2     | 16       | 42    |          | 2.033   |
| 85        | BEAM | E/E/E/E | 2     | 2     | 42       | 17    |          | 2.033   |
| 86        | BEAM | E/E/E/E | 2     | 2     | 17       | 43    |          | 2.033   |
| 87        | BEAM | E/E/E/E | 2     | 2     | 43       | 18    |          | 2.033   |
| 88        | BEAM | E/E/E/E | 2     | 2     | 18       | 44    |          | 2.033   |
| 89        | BEAM | E/E/E/E | 2     | 2     | 44       | 8     |          | 2.033   |
| 90        | BEAM | E/E/E/E | 2     | 2     | 57       | 63    |          | 2.033   |
| 93        | BEAM | E/E/E/E | 2     | 2     | 63       | 98    |          | 3.353   |
| 94        | BEAM | E/E/E/E | 1     | 1     | 64       | 64    |          | 2.034   |
| 96        | BEAM | E/E/E/E | 1     | 1     | 64       | 65    |          | 2.034   |
| 100       | BEAM | E/E/E/E | 1     | 1     | 65       | 67    |          | 4.066   |
| 101       | BEAM | E/E/E/E | 1     | 1     | 67       | 68    |          | 4.066   |
| 102       | BEAM | E/E/E/E | 1     | 1     | 68       | 69    |          | 4.066   |
| 103       | BEAM | E/E/E/E | 1     | 1     | 69       | 70    |          | 4.066   |
| 104       | BEAM | E/E/E/E | 1     | 1     | 70       | 71    |          | 4.066   |
| 105       | BEAM | E/E/E/E | 1     | 1     | 71       | 72    |          | 4.066   |
| 106       | BEAM | E/E/E/E | 1     | 1     | 72       | 73    |          | 4.066   |
| 107       | BEAM | E/E/E/E | 1     | 1     | 73       | 74    |          | 4.066   |
| 108       | BEAM | E/E/E/E | 1     | 1     | 74       | 75    |          | 4.066   |
| 109       | BEAM | E/E/E/E | 1     | 1     | 75       | 76    |          | 4.066   |
| 110       | BEAM | E/E/E/E | 1     | 1     | 66       | 76    |          | 2.000   |
| 111       | BEAM | E/E/E/E | 1     | 1     | 76       | 48    |          | 2.000   |
| 114       | BEAM | E/E/E/E | 4     | 4     | 64       | 51    |          | 2.000 V |
| 115       | BEAM | E/E/E/E | 4     | 4     | 76       | 52    |          | 2.000 V |
| 118       | BEAM | E/E/E/E | 6     | 6     | 51       | 65    |          | 2.484   |
| 119       | BEAM | E/E/E/E | 6     | 6     | 52       | 66    |          | 2.484   |
| 120       | BEAM | E/E/E/E | 7     | 7     | 65       | 63    |          | 3.169   |
| 122       | BEAM | E/E/E/E | 7     | 7     | 66       | 64    |          | 3.169   |
| 123       | BEAM | E/E/E/E | 7     | 7     | 67       | 94    |          | 3.105   |
| 124       | BEAM | E/E/E/E | 7     | 7     | 75       | 61    |          | 3.105   |
| 125       | BEAM | E/E/E/E | 8     | 8     | 53       | 67    |          | 2.334   |
| 126       | BEAM | E/E/E/E | 8     | 8     | 62       | 78    |          | 2.334   |
| 127       | BEAM | E/E/E/E | 8     | 8     | 61       | 74    |          | 2.612   |
| 128       | BEAM | E/E/E/E | 8     | 8     | 94       | 68    |          | 2.612   |
| 129       | BEAM | E/E/E/E | 9     | 9     | 68       | 55    |          | 3.041   |
| 130       | BEAM | E/E/E/E | 9     | 9     | 69       | 56    |          | 2.973   |
| 131       | BEAM | E/E/E/E | 9     | 9     | 74       | 60    |          | 3.041   |
| 132       | BEAM | E/E/E/E | 9     | 9     | 73       | 59    |          | 2.973   |
| 133       | BEAM | E/E/E/E | 10    | 10    | 55       | 69    |          | 2.688   |
| 134       | BEAM | E/E/E/E | 10    | 10    | 56       | 70    |          | 2.688   |
| 135       | BEAM | E/E/E/E | 10    | 10    | 60       | 73    |          | 2.688   |
| 136       | BEAM | E/E/E/E | 10    | 10    | 59       | 72    |          | 2.762   |
| 137       | BEAM | E/E/E/E | 11    | 11    | 70       | 57    |          | 2.906   |
| 138       | BEAM | E/E/E/E | 11    | 11    | 72       | 58    |          | 2.906   |
| 139       | BEAM | E/E/E/E | 11    | 11    | 58       | 71    |          | 2.834   |
| 140       | BEAM | E/E/E/E | 11    | 11    | 71       | 57    |          | 2.834   |
| 141       | BEAM | E/E/E/E | 2     | 2     | 49       | 77    |          | 1.527   |
| 142       | BEAM | E/E/E/E | 2     | 2     | 77       | 51    |          | 1.527   |
| 143       | BEAM | E/E/E/E | 2     | 2     | 52       | 78    |          | 1.626   |
| 144       | BEAM | E/E/E/E | 2     | 2     | 78       | 50    |          | 1.626   |
| 145       | BEAM | E/E/E/E | 2     | 2     | 51       | 79    |          | 2.033   |
| 146       | BEAM | E/E/E/E | 2     | 2     | 79       | 53    |          | 2.033   |
| 147       | BEAM | E/E/E/E | 2     | 2     | 53       | 80    |          | 2.034   |
| 148       | BEAM | E/E/E/E | 2     | 2     | 80       | 54    |          | 2.034   |
| 149       | BEAM | E/E/E/E | 2     | 2     | 54       | 81    |          | 2.034   |
| 150       | BEAM | E/E/E/E | 2     | 2     | 81       | 55    |          | 2.033   |
| 151       | BEAM | E/E/E/E | 2     | 2     | 55       | 82    |          | 2.033   |
| 152       | BEAM | E/E/E/E | 2     | 2     | 82       | 56    |          | 2.034   |
| 153       | BEAM | E/E/E/E | 2     | 2     | 56       | 83    |          | 2.034   |
| 154       | BEAM | E/E/E/E | 2     | 2     | 83       | 57    |          | 2.034   |
| 155       | BEAM | E/E/E/E | 2     | 2     | 57       | 84    |          | 2.034   |
| 156       | BEAM | E/E/E/E | 2     | 2     | 84       | 59    |          | 2.033   |
| 157       | BEAM | E/E/E/E | 2     | 2     | 59       | 85    |          | 2.033   |
| 158       | BEAM | E/E/E/E | 2     | 2     | 60       | 86    |          | 2.034   |
| 159       | BEAM | E/E/E/E | 2     | 2     | 86       | 61    |          | 2.033   |
| 160       | BEAM | E/E/E/E | 2     | 2     | 61       | 87    |          | 2.033   |
| 161       | BEAM | E/E/E/E | 2     | 2     | 87       | 62    |          | 2.033   |
| 162       | BEAM | E/E/E/E | 2     | 2     | 62       | 88    |          | 2.033   |
| 163       | BEAM | E/E/E/E | 2     | 2     | 88       | 58    |          | 2.033   |
| 166       | BEAM | E/E/E/E | 15    | 15    | 49       | 8     |          | 4.000   |
| 167       | BEAM | E/E/E/E | 15    | 15    | 51       | 7     |          | 4.000   |
| 168       | BEAM | E/E/E/E | 13    | 13    | 53       | 9     |          | 4.000   |
| 169       | BEAM | E/E/E/E | 13    | 13    | 54       | 10    |          | 4.000   |
| 170       | BEAM | E/E/E/E | 13    | 13    | 55       | 11    |          | 4.000   |
| 171       | BEAM | E/E/E/E | 13    | 13    | 56       | 12    |          | 4.000   |
| 172       | BEAM | E/E/E/E | 13    | 13    | 57       | 13    |          | 4.000   |
| 173       | BEAM | E/E/E/E | 13    | 13    | 58       | 14    |          | 4.000   |
| 174       | BEAM | E/E/E/E | 13    | 13    | 59       | 15    |          | 4.000   |

Elements

| Elem. No. | Type   | Fixity  | Prop. | Group | Topology |       |          | Length  |
|-----------|--------|---------|-------|-------|----------|-------|----------|---------|
| of elem.  | xx     | yy      | zz    | No.   | End 1    | End 2 | 3rd Node | [m]     |
| 175       | BEAM   | E/E/E/E | 13    | 13    | 80       | 16    |          | 4.000   |
| 176       | BEAM   | E/E/E/E | 13    | 13    | 81       | 17    |          | 4.000   |
| 177       | BEAM   | E/E/E/E | 13    | 13    | 82       | 18    |          | 4.000   |
| 178       | BEAM   | E/E/E/E | 13    | 13    | 83       | 8     |          | 4.000   |
| 179       | BEAM   | E/E/E/E | 14    | 14    | 80       | 6     |          | 4.000   |
| 180       | BEAM   | E/E/E/E | 14    | 14    | 81       | 7     |          | 5.156   |
| 181       | BEAM   | E/E/E/E | 14    | 14    | 82       | 9     |          | 5.704   |
| 182       | BEAM   | E/E/E/E | 14    | 14    | 83       | 10    |          | 5.704   |
| 183       | BEAM   | E/E/E/E | 14    | 14    | 94       | 11    |          | 5.704   |
| 184       | BEAM   | E/E/E/E | 14    | 14    | 93       | 12    |          | 5.704   |
| 185       | BEAM   | E/E/E/E | 14    | 14    | 56       | 13    |          | 5.704   |
| 186       | BEAM   | E/E/E/E | 14    | 14    | 57       | 14    |          | 5.704   |
| 187       | BEAM   | E/E/E/E | 14    | 14    | 58       | 13    |          | 5.704   |
| 188       | BEAM   | E/E/E/E | 14    | 14    | 14       | 59    |          | 5.705   |
| 189       | BEAM   | E/E/E/E | 14    | 14    | 15       | 60    |          | 5.704   |
| 190       | BEAM   | E/E/E/E | 14    | 14    | 16       | 61    |          | 5.704   |
| 191       | BEAM   | E/E/E/E | 14    | 14    | 17       | 62    |          | 5.704   |
| 192       | BEAM   | E/E/E/E | 14    | 14    | 18       | 63    |          | 5.704   |
| 193       | BEAM   | E/E/E/E | 14    | 14    | 8        | 60    |          | 5.156   |
| 194       | BEAM   | E/E/E/E | 15    | 15    | 77       | 23    |          | 4.000   |
| 195       | BEAM   | E/E/E/E | 15    | 15    | 79       | 35    |          | 4.000   |
| 196       | BEAM   | E/E/E/E | 15    | 15    | 80       | 36    |          | 4.000   |
| 197       | BEAM   | E/E/E/E | 15    | 15    | 81       | 37    |          | 4.000   |
| 198       | BEAM   | E/E/E/E | 15    | 15    | 82       | 38    |          | 4.000   |
| 199       | BEAM   | E/E/E/E | 15    | 15    | 83       | 39    |          | 4.000   |
| 200       | BEAM   | E/E/E/E | 15    | 15    | 62       | 19    |          | 4.000   |
| 201       | BEAM   | E/E/E/E | 15    | 15    | 64       | 40    |          | 4.000   |
| 202       | BEAM   | E/E/E/E | 15    | 15    | 65       | 41    |          | 4.000   |
| 203       | BEAM   | E/E/E/E | 15    | 15    | 86       | 42    |          | 4.000   |
| 204       | BEAM   | E/E/E/E | 15    | 15    | 87       | 43    |          | 4.000   |
| 205       | BEAM   | E/E/E/E | 15    | 15    | 88       | 44    |          | 4.000   |
| 206       | BEAM   | E/E/E/E | 15    | 15    | 78       | 34    |          | 4.000   |
| 207       | BEAM   | E/E/E/E | 15    | 15    | 36       | 2     |          | 4.000   |
| 208       | BEAM   | E/E/E/E | 16    | 16    | 4        | 46    |          | 4.000   |
| 209       | BEAM   | E/E/E/E | 16    | 16    | 4        | 46    |          | 4.000   |
| 210       | BEAM   | E/E/E/E | 17    | 17    | 5        | 48    |          | 4.472   |
| 211       | BEAM   | E/E/E/E | 17    | 17    | 2        | 49    |          | 4.472   |
| 212       | BEAM   | E/E/E/E | 17    | 17    | 4        | 50    |          | 4.472   |
| 213       | BEAM   | E/E/E/E | 17    | 17    | 6        | 48    |          | 4.472   |
| 214       | BEAM   | E/E/E/E | 17    | 17    | 1        | 89    |          | 4.000 V |
| 215       | BEAM   | E/E/E/E | 12    | 12    | 3        | 90    |          | 9.000 V |
| 216       | BEAM   | E/E/E/E | 12    | 12    | 3        | 90    |          | 9.000 V |
| 217       | BEAM   | E/E/E/E | 12    | 12    | 91       | 2     |          | 9.000 V |
| 218       | BEAM   | E/E/E/E | 12    | 12    | 45       | 91    |          | 4.000 V |
| 219       | BEAM   | E/E/E/E | 12    | 12    | 46       | 92    |          | 9.000 V |
| 220       | BEAM   | E/E/E/E | 12    | 12    | 47       | 92    |          | 4.000 V |
| 221       | BEAM   | E/E/E/E | 12    | 12    | 92       | 48    |          | 9.000 V |
| 222       | BEAM   | E/E/E/E | 18    | 18    | 89       | 91    |          | 4.000   |
| 223       | BEAM   | E/E/E/E | 18    | 18    | 90       | 92    |          | 4.000   |
| 224       | BEAM   | E/E/E/E | 19    | 19    | 64       | 20    |          | 4.000   |
| 225       | BEAM   | E/E/E/E | 19    | 19    | 65       | 21    |          | 4.000   |
| 226       | BEAM   | E/E/E/E | 19    | 19    | 67       | 23    |          | 4.000   |
| 227       | BEAM   | E/E/E/E | 19    | 19    | 69       | 25    |          | 4.000   |
| 228       | BEAM   | E/E/E/E | 19    | 19    | 70       | 26    |          | 4.000   |
| 229       | BEAM   | E/E/E/E | 19    | 19    | 71       | 27    |          | 4.000   |
| 230       | BEAM   | E/E/E/E | 19    | 19    | 72       | 28    |          | 4.000   |
| 231       | BEAM   | E/E/E/E | 19    | 19    | 73       | 29    |          | 4.000   |
| 232       | BEAM   | E/E/E/E | 19    | 19    | 74       | 30    |          | 4.000   |
| 233       | BEAM   | E/E/E/E | 19    | 19    | 75       | 31    |          | 4.000   |
| 234       | BEAM   | E/E/E/E | 19    | 19    | 66       | 22    |          | 4.000   |
| 235       | BEAM   | E/E/E/E | 19    | 19    | 76       | 32    |          | 4.000   |
| 236       | BEAM   | E/E/E/E | 20    | 20    | 48       | 20    |          | 5.156   |
| 237       | BEAM   | E/E/E/E | 20    | 20    | 64       | 21    |          | 4.487   |
| 238       | BEAM   | E/E/E/E | 20    | 20    | 65       | 23    |          | 5.704   |
| 239       | BEAM   | E/E/E/E | 20    | 20    | 67       | 24    |          | 5.704   |
| 240       | BEAM   | E/E/E/E | 20    | 20    | 68       | 25    |          | 5.704   |
| 241       | BEAM</ |         |       |       |          |       |          |         |

KOC UNIVERSITESI  
SPOR SALONU  
CELIK CATI ANA MAKASLARI t.seh

|           |           |         |
|-----------|-----------|---------|
| Job No.   | Sheet No. | Rev.    |
| 38035     |           |         |
| Drg. Ref. |           |         |
| 38035     | 06-May-98 | SK      |
| Made by   | Date      | Checked |

Elements

| Elem. No. | Type | Fixity | Prop. | Group     | Topology | Length | Jrd Node |
|-----------|------|--------|-------|-----------|----------|--------|----------|
| xx        | yy   | zz     | No.   | of elems. | End 1    | End 2  |          |
| 295       | BEAM | E/E    | E/E   | 25        | 25       | 110    | 114      |
| 296       | BEAM | E/E    | E/E   | 25        | 25       | 114    | 117      |
| 297       | BEAM | E/E    | E/E   | 25        | 25       | 107    | 112      |
| 298       | BEAM | E/E    | E/E   | 25        | 25       | 112    | 116      |
| 299       | BEAM | E/E    | E/E   | 25        | 25       | 116    | 119      |
| 302       | BEAM | E/E    | E/E   | 3         | 3        | 2      | 121      |
| 304       | BEAM | E/E    | E/E   | 3         | 3        | 46     | 122      |
| 306       | BEAM | E/E    | E/E   | 22        | 22       | 46     | 123      |
| 308       | BEAM | E/E    | E/E   | 22        | 22       | 2      | 124      |
| 310       | BEAM | E/E    | E/E   | 23        | 23       | 100    | 123      |
| 311       | BEAM | E/E    | E/E   | 23        | 23       | 123    | 122      |
| 312       | BEAM | E/E    | E/E   | 23        | 23       | 122    | 64       |
| 313       | BEAM | E/E    | E/E   | 23        | 23       | 99     | 124      |
| 314       | BEAM | E/E    | E/E   | 23        | 23       | 124    | 121      |
| 315       | BEAM | E/E    | E/E   | 23        | 23       | 121    | 20       |
| 318       | BEAM | E/E    | E/E   | 3         | 3        | 121    | 123      |
| 319       | BEAM | E/E    | E/E   | 3         | 3        | 123    | 8        |
| 320       | BEAM | E/E    | E/E   | 3         | 3        | 122    | 126      |
| 321       | BEAM | E/E    | E/E   | 3         | 3        | 126    | 49       |
| 322       | BEAM | E/E    | E/E   | 5         | 5        | 5      | 127      |
| 323       | BEAM | E/E    | E/E   | 5         | 5        | 127    | 20       |
| 324       | BEAM | E/E    | E/E   | 5         | 5        | 49     | 128      |
| 325       | BEAM | E/E    | E/E   | 5         | 5        | 128    | 64       |
| 326       | BEAM | E/E    | E/E   | 22        | 22       | 123    | 129      |
| 327       | BEAM | E/E    | E/E   | 22        | 22       | 129    | 96       |
| 328       | BEAM | E/E    | E/E   | 22        | 22       | 124    | 130      |
| 329       | BEAM | E/E    | E/E   | 22        | 22       | 130    | 95       |
| 330       | BEAM | E/E    | E/E   | 24        | 24       | 100    | 131      |
| 331       | BEAM | E/E    | E/E   | 24        | 24       | 131    | 96       |
| 332       | BEAM | E/E    | E/E   | 24        | 24       | 99     | 132      |
| 333       | BEAM | E/E    | E/E   | 24        | 24       | 132    | 96       |
| 334       | BEAM | E/E    | E/E   | 25        | 25       | 131    | 129      |
| 335       | BEAM | E/E    | E/E   | 25        | 25       | 129    | 126      |
| 336       | BEAM | E/E    | E/E   | 25        | 25       | 126    | 128      |
| 337       | BEAM | E/E    | E/E   | 25        | 25       | 132    | 130      |
| 338       | BEAM | E/E    | E/E   | 25        | 25       | 130    | 128      |
| 339       | BEAM | E/E    | E/E   | 25        | 25       | 128    | 127      |
| 340       | BEAM | E/E    | D/D   | 13        | 13       | 97     | 98       |
| 341       | BEAM | E/E    | D/D   | 13        | 13       | 117    | 119      |
| 342       | BEAM | E/E    | D/D   | 13        | 13       | 93     | 94       |
| 343       | BEAM | E/E    | D/D   | 14        | 14       | 98     | 117      |
| 344       | BEAM | E/E    | D/D   | 13        | 13       | 100    | 99       |
| 345       | BEAM | E/E    | D/D   | 13        | 13       | 111    | 132      |
| 346       | BEAM | E/E    | D/D   | 13        | 13       | 96     | 95       |
| 347       | BEAM | E/E    | D/D   | 14        | 14       | 100    | 132      |
| 348       | BEAM | E/E    | E/E   | 17        | 17       | 4      | 94       |
| 349       | BEAM | E/E    | E/E   | 17        | 17       | 93     | 98       |
| 350       | BEAM | E/E    | E/E   | 17        | 17       | 96     | 2        |
| 351       | BEAM | E/E    | E/E   | 17        | 17       | 46     | 95       |
| 352       | BEAM | E/E    | D/D   | 21        | 21       | 26     | 83       |
| 353       | BEAM | E/E    | D/D   | 21        | 21       | 39     | 70       |
| 354       | BEAM | E/E    | D/D   | 21        | 21       | 40     | 72       |
| 355       | BEAM | E/E    | D/D   | 21        | 21       | 28     | 84       |

Beam Sections

| Prop. Section Name | Area  | Iyy   | Izz   | Torsion | Ky | Kz |
|--------------------|-------|-------|-------|---------|----|----|
| 9 CHS193x5.0       | -     | -     | -     | -       | -  | -  |
| 10 CHS193x5.0      | -     | -     | -     | -       | -  | -  |
| 11 CHS193x5.0      | -     | -     | -     | -       | -  | -  |
| 12 GRS1200x500     | -     | -     | -     | -       | -  | -  |
| 13 CHS193x5.0      | -     | -     | -     | -       | -  | -  |
| 14 CHS60x5.0       | -     | -     | -     | -       | -  | -  |
| 15 CHS193x5.0      | -     | -     | -     | -       | -  | -  |
| 16 CHS193x5.0      | -     | -     | -     | -       | -  | -  |
| 17 CHS193x10.0     | -     | -     | -     | -       | -  | -  |
| 18 GRS800x400      | -     | -     | -     | -       | -  | -  |
| 19 CHS193x5.0      | -     | -     | -     | -       | -  | -  |
| 20 CHS60x5.0       | -     | -     | -     | -       | -  | -  |
| 21 CHS60x5.0       | -     | -     | -     | -       | -  | -  |
| 22 CHS273x16.0     | -     | -     | -     | -       | -  | -  |
| 23 CHS2x76x17      | x2.00 | x2.00 | x2.00 | x2.00   | -  | -  |
| 24 CHS273x16.0     | -     | -     | -     | -       | -  | -  |
| 25 CHS2x76x17      | x2.00 | x2.00 | x2.00 | x2.00   | -  | -  |

Note: General sections are specified in [mm] as follows:  
GMS Depth x Width

Materials

| Material | Youngs Mod. (E) | Poissons Ratio (nu) | Density (Ro) | Coef. of Exp. (Alpha) |
|----------|-----------------|---------------------|--------------|-----------------------|
|          | [N/m2]          |                     | [T/m3]       | [1/dsq. C]            |
| 1        | 205.0E+6        | 300.0E-3            | 7.850        | 12.00E-6              |
| 2        | 33.00E+6        | 300.0E-3            | 2.400        | 12.00E-6              |

Restraints

| Rest. set | Trans. x | Rot. y | Plans z | Plans xz | Plans yz | List of nodes |
|-----------|----------|--------|---------|----------|----------|---------------|
|           | x        | x      | x       | x        | x        |               |
| 1         | x        | x      | x       | x        | x        | 1 3 45 47     |
| 2         | x        | -      | -       | -        | -        | 89 90 91 92   |

Beam Properties

Indicates that properties are derived from the Beam Sections module

| Prop. Secty | Matl       | Area     | Iyy      | Izz  | Stata    | Tors. (C) | Ky    | Kz |
|-------------|------------|----------|----------|------|----------|-----------|-------|----|
| rial [m2]   |            | [m4]     | [m4]     | [m4] | [m2]     |           |       |    |
| 1*          | 12.92E-3   | 107.1E-6 | 107.1E-6 | 0.0  | 214.1E-6 | 0.500     | 0.500 |    |
| 2*          | 12.92E-3   | 107.1E-6 | 107.1E-6 | 0.0  | 214.1E-6 | 0.500     | 0.500 |    |
| 3*          | 12.92E-3   | 107.1E-6 | 107.1E-6 | 0.0  | 214.1E-6 | 0.500     | 0.500 |    |
| 4*          | 7.11E-3    | 29.34E-6 | 29.34E-6 | 0.0  | 58.69E-6 | 0.498     | 0.498 |    |
| 5*          | 5.77E-3    | 24.42E-6 | 24.42E-6 | 0.0  | 48.33E-6 | 0.498     | 0.498 |    |
| 6*          | 4.56E-3    | 20.16E-6 | 20.16E-6 | 0.0  | 40.31E-6 | 0.498     | 0.498 |    |
| 7*          | 3.70E-3    | 16.30E-6 | 16.30E-6 | 0.0  | 32.60E-6 | 0.498     | 0.498 |    |
| 8*          | 3.70E-3    | 16.30E-6 | 16.30E-6 | 0.0  | 32.60E-6 | 0.498     | 0.498 |    |
| 9*          | 3.96E-3    | 13.20E-6 | 13.20E-6 | 0.0  | 26.40E-6 | 0.498     | 0.498 |    |
| 10*         | 2.96E-3    | 8.20E-6  | 8.20E-6  | 0.0  | 20.40E-6 | 0.498     | 0.498 |    |
| 11*         | 2.96E-3    | 11.20E-6 | 11.20E-6 | 0.0  | 26.40E-6 | 0.498     | 0.498 |    |
| 12*         | 2.720.0E-3 | 86.40E-3 | 21.60E-3 | 0.0  | 59.33E-3 | 0.833     | 0.833 |    |
| 13*         | 2.116E-3   | 4.80E-6  | 4.80E-6  | 0.0  | 9.611E-6 | 0.497     | 0.497 |    |
| 14*         | 1.86E-3    | 334.8E-9 | 334.8E-9 | 0.0  | 669.8E-9 | 0.497     | 0.497 |    |
| 15*         | 2.116E-3   | 4.80E-6  | 4.80E-6  | 0.0  | 9.611E-6 | 0.497     | 0.497 |    |
| 16*         | 2.96E-3    | 13.20E-6 | 13.20E-6 | 0.0  | 26.40E-6 | 0.498     | 0.498 |    |
| 17*         | 5.77E-3    | 24.42E-6 | 24.42E-6 | 0.0  | 48.33E-6 | 0.498     | 0.498 |    |
| 18*         | 2.320.0E-3 | 17.07E-3 | 4.26E-3  | 0.0  | 11.72E-3 | 0.833     | 0.833 |    |
| 19*         | 2.116E-3   | 4.80E-6  | 4.80E-6  | 0.0  | 9.611E-6 | 0.497     | 0.497 |    |
| 20*         | 1.86E-3    | 334.8E-9 | 334.8E-9 | 0.0  | 669.8E-9 | 0.497     | 0.497 |    |
| 21*         | 2.96E-3    | 13.20E-6 | 13.20E-6 | 0.0  | 26.40E-6 | 0.498     | 0.498 |    |
| 22*         | 12.92E-3   | 107.1E-6 | 107.1E-6 | 0.0  | 214.1E-6 | 0.500     | 0.500 |    |
| 23*         | 4.59E-3    | 17.03E-6 | 2.27E-6  | 0.0  | 118.8E-6 | 0.476     | 0.305 |    |
| 24*         | 12.92E-3   | 107.1E-6 | 107.1E-6 | 0.0  | 214.1E-6 | 0.500     | 0.500 |    |
| 25*         | 4.59E-3    | 17.03E-6 | 2.27E-6  | 0.0  | 118.8E-6 | 0.476     | 0.305 |    |

Beam Sections

Modified Properties labelled x are factors of the section properties  
Derived properties are listed in the Beam Properties module above

| Prop. Section Name | Area | Iyy | Izz | Torsion | Ky | Kz |
|--------------------|------|-----|-----|---------|----|----|
| 1 CHS273x16.0      | -    | -   | -   | -       | -  | -  |
| 2 CHS273x16.0      | -    | -   | -   | -       | -  | -  |
| 3 CHS273x16.0      | -    | -   | -   | -       | -  | -  |
| 4 CHS193x12.5      | -    | -   | -   | -       | -  | -  |
| 5 CHS193x10.0      | -    | -   | -   | -       | -  | -  |
| 6 CHS193x5.0       | -    | -   | -   | -       | -  | -  |
| 7 CHS193x5.0       | -    | -   | -   | -       | -  | -  |
| 8 CHS193x5.0       | -    | -   | -   | -       | -  | -  |

Node Loads

| Nodes | Loadcase | Direction | Value  |
|-------|----------|-----------|--------|
| 6     | 1        | FZ        | -10.00 |
| 7     | 1        | FZ        | -10.00 |
| 8     | 1        | FZ        | -10.00 |
| 9     | 1        | FZ        | -10.00 |
| 10    | 1        | FZ        | -10.00 |
| 11    | 1        | FZ        | -10.00 |
| 12    | 1        | FZ        | -10.00 |
| 13    | 1        | FZ        | -10.00 |
| 14    | 1        | FZ        | -10.00 |
| 15    | 1        | FZ        | -10.00 |
| 16    | 1        | FZ        | -10.00 |
| 17    | 1        | FZ        | -10.00 |
| 18    | 1        | FZ        | -10.00 |
| 19    | 1        | FZ        | -10.00 |
| 20    | 1        | FZ        | -10.00 |
| 21    | 1        | FZ        | -10.00 |
| 22    | 1        | FZ        | -10.00 |
| 23    | 1        | FZ        | -10.00 |
| 24    | 1        | FZ        | -10.00 |
| 25    | 1        | FZ        | -10.00 |
| 5     | 2        | FZ        | 1.280  |
| 7     | 2        | FZ        | 1.280  |
| 9     | 2        | FZ        | 1.280  |
| 10    | 2        | FZ        | 1.280  |
| 11    | 2        | FZ        | 1.280  |
| 12    | 2        | FZ        | 1.280  |
| 13    | 2        | FZ        | 1.280  |
| 33    | 2        | FZ        | 1.280  |
| 35    | 2        | FZ        | 1.280  |
| 36    | 2        | FZ        | 1.280  |
| 37    | 2        | FZ        | 1.280  |
| 38    | 2        | FZ        | 1.280  |
| 39    | 2        | FZ        | 1.280  |
| 6     | 3        | FZ        | 3.080  |
| 8     | 3        | FZ        | 3.080  |
| 14    | 3        | FZ        | 3.080  |
| 15    | 3        | FZ        | 3.080  |
| 16    | 3        | FZ        | 3.080  |
| 17    | 3        | FZ        | 3.080  |
| 18    | 3        | FZ        | 3.080  |
| 19    | 3        | FZ        | 3.080  |
| 34    | 3        | FZ        | 3.080  |
| 40    | 3        | FZ        | 3.080  |
| 41    | 3        | FZ        | 3.080  |

KOC UNIVERSITESI

SPOR SALONU

CELIK CATI ANA MAKASLARI t.seh

|           |           |         |
|-----------|-----------|---------|
| Job No.   | Sheet No. | Rev.    |
| 38035     |           |         |
| Drg. Ref. |           |         |
| Made by   | Date      | Checked |
| SK        | 06-May-98 |         |

| Node Loads |          |           |        | Units: [kN] | [kNm] | Node Loads |          |           |          | Units: [kN] | [kNm]    |    |    |    |
|------------|----------|-----------|--------|-------------|-------|------------|----------|-----------|----------|-------------|----------|----|----|----|
| Node       | Loadcase | Direction | Value  |             |       | Node       | Loadcase | Direction | Value    |             |          |    |    |    |
| 43         | 3        | FZ        | 3.080  |             |       | 72         | 4        | FZ        | -4.600   |             |          |    |    |    |
| 43         | 3        | FZ        | 3.080  |             |       | 73         | 4        | FZ        | -4.600   |             |          |    |    |    |
| 44         | 3        | FZ        | 3.080  |             |       | 74         | 4        | FZ        | -4.600   |             |          |    |    |    |
| 2          | 4        | FZ        | -4.600 |             |       | 75         | 4        | FZ        | -4.600   |             |          |    |    |    |
| 4          | 4        | FZ        | -4.600 |             |       | 76         | 4        | FZ        | -4.600   |             |          |    |    |    |
| 20         | 4        | FZ        | -4.600 |             |       | 48         | 6        | FY        | -6.120   |             |          |    |    |    |
| 21         | 4        | FZ        | -4.600 |             |       | 48         | 6        | FY        | -6.120   |             |          |    |    |    |
| 22         | 4        | FZ        | -4.600 |             |       | 64         | 6        | FY        | -6.120   |             |          |    |    |    |
| 23         | 4        | FZ        | -4.600 |             |       | 65         | 6        | FY        | -6.120   |             |          |    |    |    |
| 24         | 4        | FZ        | -4.600 |             |       | 66         | 6        | FY        | -6.120   |             |          |    |    |    |
| 25         | 4        | FZ        | -4.600 |             |       | 67         | 6        | FY        | -6.120   |             |          |    |    |    |
| 26         | 4        | FZ        | -4.600 |             |       | 68         | 6        | FY        | -6.120   |             |          |    |    |    |
| 27         | 4        | FZ        | -4.600 |             |       | 69         | 6        | FY        | -6.120   |             |          |    |    |    |
| 28         | 4        | FZ        | -4.600 |             |       | 70         | 6        | FY        | -6.120   |             |          |    |    |    |
| 29         | 4        | FZ        | -4.600 |             |       | 71         | 6        | FY        | -6.120   |             |          |    |    |    |
| 30         | 4        | FZ        | -4.600 |             |       | 72         | 6        | FY        | -6.120   |             |          |    |    |    |
| 31         | 4        | FZ        | -4.600 |             |       | 73         | 6        | FY        | -6.120   |             |          |    |    |    |
| 32         | 4        | FZ        | -4.600 |             |       | 74         | 6        | FY        | -6.120   |             |          |    |    |    |
| 49         | 6        | FY        | -5.760 |             |       | 75         | 6        | FY        | -6.120   |             |          |    |    |    |
| 50         | 6        | FY        | -5.760 |             |       | 76         | 6        | FY        | -6.120   |             |          |    |    |    |
| 51         | 6        | FY        | -5.760 |             |       | 97         | 1        | FZ        | -8.400   |             |          |    |    |    |
| 52         | 6        | FY        | -5.760 |             |       | 98         | 1        | FZ        | -8.400   |             |          |    |    |    |
| 53         | 6        | FY        | -5.760 |             |       | 117        | 1        | FZ        | -10.53   |             |          |    |    |    |
| 54         | 6        | FY        | -5.760 |             |       | 119        | 1        | FZ        | -10.53   |             |          |    |    |    |
| 55         | 6        | FY        | -5.760 |             |       | 93         | 1        | FZ        | -2.250   |             |          |    |    |    |
| 56         | 6        | FY        | -5.760 |             |       | 94         | 1        | FZ        | -2.250   |             |          |    |    |    |
| 57         | 6        | FY        | -5.760 |             |       | 95         | 1        | FZ        | -2.250   |             |          |    |    |    |
| 58         | 6        | FY        | -5.760 |             |       | 100        | 1        | FZ        | -8.400   |             |          |    |    |    |
| 59         | 6        | FY        | -5.760 |             |       | 131        | 1        | FZ        | -10.53   |             |          |    |    |    |
| 60         | 6        | FY        | -5.760 |             |       | 132        | 1        | FZ        | -10.53   |             |          |    |    |    |
| 61         | 6        | FY        | -5.760 |             |       | 95         | 1        | FZ        | -2.250   |             |          |    |    |    |
| 62         | 6        | FY        | -5.760 |             |       | 96         | 1        | FZ        | -2.250   |             |          |    |    |    |
| 63         | 6        | FY        | -5.760 |             |       | 99         | 2        | FZ        | 960.0E-3 |             |          |    |    |    |
| 77         | 6        | FY        | -5.760 |             |       | 100        | 2        | FZ        | 960.0E-3 |             |          |    |    |    |
| 78         | 6        | FY        | -5.760 |             |       | 131        | 2        | FZ        | 1.200    |             |          |    |    |    |
| 79         | 6        | FY        | -5.760 |             |       | 132        | 2        | FZ        | 1.200    |             |          |    |    |    |
| 80         | 6        | FY        | -5.760 |             |       | 95         | 2        | FZ        | 260.0E-3 |             |          |    |    |    |
| 81         | 6        | FY        | -5.760 |             |       | 96         | 2        | FZ        | 260.0E-3 |             |          |    |    |    |
| 82         | 6        | FY        | -5.760 |             |       | 97         | 3        | FZ        | 2.300    |             |          |    |    |    |
| 83         | 6        | FY        | -5.760 |             |       | 98         | 3        | FZ        | 2.300    |             |          |    |    |    |
| 84         | 6        | FY        | -5.760 |             |       | 117        | 3        | FZ        | 2.900    |             |          |    |    |    |
| 85         | 6        | FY        | -5.760 |             |       | 119        | 3        | FZ        | 2.900    |             |          |    |    |    |
| 86         | 6        | FY        | -5.760 |             |       | 93         | 3        | FZ        | 615.0E-3 |             |          |    |    |    |
| 87         | 6        | FY        | -5.760 |             |       | 94         | 3        | FZ        | 615.0E-3 |             |          |    |    |    |
| 88         | 6        | FY        | -5.760 |             |       | 98         | 6        | FY        | -4.320   |             |          |    |    |    |
| 49         | 1        | FZ        | -10.00 |             |       | 119        | 6        | FY        | -5.400   |             |          |    |    |    |
| 50         | 1        | FZ        | -10.00 |             |       | 131        | 6        | FY        | -5.400   |             |          |    |    |    |
| 51         | 1        | FZ        | -10.00 |             |       | 100        | 6        | FY        | -4.320   |             |          |    |    |    |
| 52         | 1        | FZ        | -10.00 |             |       |            |          |           |          |             |          |    |    |    |
| 53         | 1        | FZ        | -10.00 |             |       |            |          |           |          |             |          |    |    |    |
| 54         | 1        | FZ        | -10.00 |             |       |            |          |           |          |             |          |    |    |    |
| 55         | 1        | FZ        | -10.00 |             |       |            |          |           |          |             |          |    |    |    |
| 56         | 1        | FZ        | -10.00 |             |       |            |          |           |          |             |          |    |    |    |
| 57         | 1        | FZ        | -10.00 |             |       |            |          |           |          |             |          |    |    |    |
| 58         | 1        | FZ        | -10.00 |             |       |            |          |           |          |             |          |    |    |    |
| 59         | 1        | FZ        | -10.00 |             |       |            |          |           |          |             |          |    |    |    |
| 60         | 1        | FZ        | -10.00 |             |       |            |          |           |          |             |          |    |    |    |
| 61         | 1        | FZ        | -10.00 |             |       | 68         | 7        | U.D.L.    | Fx       | Global      | 520.0E-3 | .0 | .0 | .0 |
| 62         | 1        | FZ        | -10.00 |             |       | 69         | 7        | U.D.L.    | Fx       | Global      | 520.0E-3 | .0 | .0 | .0 |
| 63         | 1        | FZ        | -10.00 |             |       | 70         | 7        | U.D.L.    | Fx       | Global      | 520.0E-3 | .0 | .0 | .0 |
| 77         | 1        | FZ        | -10.00 |             |       | 71         | 7        | U.D.L.    | Fx       | Global      | 520.0E-3 | .0 | .0 | .0 |
| 78         | 1        | FZ        | -10.00 |             |       | 72         | 7        | U.D.L.    | Fx       | Global      | 520.0E-3 | .0 | .0 | .0 |
| 79         | 1        | FZ        | -10.00 |             |       | 73         | 7        | U.D.L.    | Fx       | Global      | 520.0E-3 | .0 | .0 | .0 |
| 80         | 1        | FZ        | -10.00 |             |       | 74         | 7        | U.D.L.    | Fx       | Global      | 520.0E-3 | .0 | .0 | .0 |
| 81         | 1        | FZ        | -10.00 |             |       | 75         | 7        | U.D.L.    | Fx       | Global      | 520.0E-3 | .0 | .0 | .0 |
| 82         | 1        | FZ        | -10.00 |             |       | 76         | 7        | U.D.L.    | Fx       | Global      | 520.0E-3 | .0 | .0 | .0 |
| 83         | 1        | FZ        | -10.00 |             |       | 77         | 7        | U.D.L.    | Fx       | Global      | 520.0E-3 | .0 | .0 | .0 |
| 84         | 1        | FZ        | -10.00 |             |       | 78         | 7        | U.D.L.    | Fx       | Global      | 520.0E-3 | .0 | .0 | .0 |
| 85         | 1        | FZ        | -10.00 |             |       | 79         | 7        | U.D.L.    | Fx       | Global      | 520.0E-3 | .0 | .0 | .0 |
| 86         | 1        | FZ        | -10.00 |             |       | 80         | 7        | U.D.L.    | Fx       | Global      | 520.0E-3 | .0 | .0 | .0 |
| 87         | 1        | FZ        | -10.00 |             |       | 81         | 7        | U.D.L.    | Fx       | Global      | 520.0E-3 | .0 | .0 | .0 |
| 88         | 1        | FZ        | -10.00 |             |       | 82         | 7        | U.D.L.    | Fx       | Global      | 520.0E-3 | .0 | .0 | .0 |
| 49         | 2        | FZ        | 1.280  |             |       | 83         | 7        | U.D.L.    | Fx       | Global      | 520.0E-3 | .0 | .0 | .0 |
| 51         | 2        | FZ        | 1.280  |             |       | 84         | 7        | U.D.L.    | Fx       | Global      | 520.0E-3 | .0 | .0 | .0 |
| 53         | 2        | FZ        | 1.280  |             |       | 85         | 7        | U.D.L.    | Fx       | Global      | 520.0E-3 | .0 | .0 | .0 |
| 54         | 2        | FZ        | 1.280  |             |       | 86         | 7        | U.D.L.    | Fx       | Global      | 520.0E-3 | .0 | .0 | .0 |
| 55         | 2        | FZ        | 1.280  |             |       | 87         | 7        | U.D.L.    | Fx       | Global      | 520.0E-3 | .0 | .0 | .0 |
| 56         | 2        | FZ        | 1.280  |             |       | 88         | 7        | U.D.L.    | Fx       | Global      | 520.0E-3 | .0 | .0 | .0 |
| 57         | 2        | FZ        | 1.280  |             |       | 89         | 7        | U.D.L.    | Fx       | Global      | 520.0E-3 | .0 | .0 | .0 |
| 77         | 2        | FZ        | 1.280  |             |       | 92         | 7        | U.D.L.    | Fx       | Global      | 520.0E-3 | .0 | .0 | .0 |
| 79         | 2        | FZ        | 1.280  |             |       | 93         | 7        | U.D.L.    | Fx       | Global      | 520.0E-3 | .0 | .0 | .0 |
| 80         | 2        | FZ        | 1.280  |             |       | 140        | 7        | U.D.L.    | Fx       | Global      | 520.0E-3 | .0 | .0 | .0 |
| 81         | 2        | FZ        | 1.280  |             |       | 141        | 7        | U.D.L.    | Fx       | Global      | 520.0E-3 | .0 | .0 | .0 |
| 82         | 2        | FZ        | 1.280  |             |       | 142        | 7        | U.D.L.    | Fx       | Global      | 520.0E-3 | .0 | .0 | .0 |
| 83         | 2        | FZ        | 1.280  |             |       | 143        | 7        | U.D.L.    | Fx       | Global      | 520.0E-3 | .0 | .0 | .0 |
| 80         | 3        | FZ        | 3.080  |             |       | 144        | 7        | U.D.L.    | Fx       | Global      | 520.0E-3 | .0 | .0 | .0 |
| 82         | 3        | FZ        | 3.080  |             |       | 145        | 7        | U.D.L.    | Fx       | Global      | 520.0E-3 | .0 | .0 | .0 |
| 88         | 3        | FZ        | 3.080  |             |       | 146        | 7        | U.D.L.    | Fx       | Global      | 520.0E-3 | .0 | .0 | .0 |
| 59         | 3        | FZ        | 3.080  |             |       | 147        | 7        | U.D.L.    | Fx       | Global      | 520.0E-3 | .0 | .0 | .0 |
| 60         | 3        | FZ        | 3.080  |             |       | 148        | 7        | U.D.L.    | Fx       | Global      | 520.0E-3 | .0 | .0 | .0 |
| 61         | 3        | FZ        | 3.080  |             |       | 149        | 7        | U.D.L.    | Fx       | Global      | 520.0E-3 | .0 | .0 | .0 |
| 62         | 3        | FZ        | 3.080  |             |       | 150        | 7        | U.D.L.    | Fx       | Global      | 520.0E-3 | .0 | .0 | .0 |
| 63         | 3        | FZ        | 3.080  |             |       | 151        | 7        | U.D.L.    | Fx       | Global      | 520.0E-3 | .0 | .0 | .0 |
| 78         | 3        | FZ        | 3.080  |             |       | 152        | 7        | U.D.L.    | Fx       | Global      | 520.0E-3 | .0 | .0 | .0 |
| 84         | 3        | FZ        | 3.080  |             |       | 153        | 7        | U.D.L.    | Fx       | Global      | 520.0E-3 | .0 | .0 | .0 |
| 85         | 3        | FZ        | 3.080  |             |       | 154        | 7        | U.D.L.    | Fx       | Global      | 520.0E-3 | .0 | .0 | .0 |
| 86         | 3        | FZ        | 3.080  |             |       | 155        | 7        | U.D.L.    | Fx       | Global      | 520.0E-3 | .0 | .0 | .0 |
| 87         | 3        | FZ        | 3.080  |             |       | 156        | 7        | U.D.L.    | Fx       | Global      | 520.0E-3 | .0 | .0 | .0 |
| 88         | 3        | FZ        | 3.080  |             |       | 157        | 7        | U.D.L.    | Fx       | Global      | 520.0E-3 | .0 | .0 | .0 |
| 46         | 4        | FZ        | -4.600 |             |       | 158        | 7        | U.D.L.    | Fx       | Global      | 520.0E-3 | .0 | .0 | .0 |
| 48         | 4        | FZ        | -4.600 |             |       | 159        | 7        | U.D.L.    | Fx       | Global      | 520.0E-3 | .0 | .0 | .0 |
| 84         | 4        | FZ        | -4.600 |             |       | 160        | 7        | U.D.L.    | Fx       | Global      | 520.0E-3 | .0 | .0 | .0 |
| 85         | 4        | FZ        | -4.600 |             |       | 161        | 7        | U.D.L.    | Fx       | Global      | 520.0E-3 | .0 | .0 | .0 |
| 86         | 4        | FZ        | -4.600 |             |       | 162        | 7        | U.D.L.    | Fx       | Global      | 520.0E-3 | .0 | .0 | .0 |
| 87         | 4        | FZ        | -4.600 |             |       | 163        | 7        | U.D.L.    | Fx       | Global      | 520.0E-3 | .0 | .0 | .0 |
| 88         | 4        | FZ        | -4.600 |             |       | 20         | 7        | U.D.L.    | Fx       | Global      | 259.0E-3 | .0 | .0 | .0 |
| 69         | 4        | FZ        | -4.600 |             |       | 22         | 7        | U.D.L.    | Fx       | Global      | 259.0E-3 | .0 | .0 | .0 |
| 70         | 4        | FZ        | -4.600 |             |       | 26         | 7        | U.D.L.    | Fx       | Global      | 259.0E-3 | .0 | .0 | .0 |
| 71         | 4        | FZ        | -4.600 |             |       | 27         | 7        | U.D.L.    | Fx       | Global      | 259.0E-3 | .0 | .0 | .0 |





**KOC UNIVERSITESI**

**SPOR SALONU**

**CELIK CATI ANA MAKASLARI t.seh**

|                  |                  |                |
|------------------|------------------|----------------|
| <b>Job No.</b>   | <b>Sheet No.</b> | <b>Rev.</b>    |
| 38035            |                  |                |
| <b>Drp. Ref.</b> |                  |                |
| <b>Made by</b>   | <b>Date</b>      | <b>Checked</b> |
| SK               | 06-May-98        |                |

**BEAM & SPRING FORCE & MOMENT ENVELOPES**

| Elem Load Node no. case no. | Axial [kN]  |    |    | Shear [kN] |    | Torsion [kNm] | Moment [kNm] |     |
|-----------------------------|---|----|----|------------|----|---------------|--------------|-----|
|                             | Fx  | Fy | Fz | Fx         | Fz | Max           | Min          | Max |
| 37 EI 32                    | (10) (15) (15) (10) (10) (10) (11) (10) (10) (15) (12) (11) |    |    |            |    |               |              |     |
| 4                           | (10) (15) (15) (10) (10) (10) (11) (10) (10) (15) (10) (10) |    |    |            |    |               |              |     |
| 94 EI 46                    | (15) (16) (10) (11) (11) (12) (16) (15) (16) (15) (10) (11) |    |    |            |    |               |              |     |
| 64                          | (15) (16) (10) (11) (15) (9) (16) (15) (15) (9) (16) (15)   |    |    |            |    |               |              |     |
| 96 EI 64                    | (12) (16) (16) (13) (10) (12) (11) (12) (16) (14) (11) (10) |    |    |            |    |               |              |     |
| 68                          | (12) (16) (16) (13) (10) (12) (11) (12) (16) (14) (11) (10) |    |    |            |    |               |              |     |
| 100 EI 65                   | (12) (13) (15) (16) (11) (15) (15) (10) (14) (15) (15) (16) |    |    |            |    |               |              |     |
| 67                          | (12) (13) (15) (16) (11) (15) (15) (10) (14) (15) (15) (16) |    |    |            |    |               |              |     |
| 101 EI 67                   | (12) (13) (15) (16) (11) (15) (15) (10) (14) (15) (15) (16) |    |    |            |    |               |              |     |
| 68                          | (12) (13) (15) (16) (11) (15) (15) (10) (14) (15) (15) (16) |    |    |            |    |               |              |     |
| 102 EI 68                   | (12) (13) (15) (16) (11) (15) (15) (10) (14) (15) (15) (16) |    |    |            |    |               |              |     |
| 69                          | (12) (13) (15) (16) (11) (15) (15) (10) (14) (15) (15) (16) |    |    |            |    |               |              |     |
| 103 EI 69                   | (12) (13) (15) (16) (11) (15) (15) (10) (14) (15) (15) (16) |    |    |            |    |               |              |     |
| 70                          | (12) (13) (15) (16) (11) (15) (15) (10) (14) (15) (15) (16) |    |    |            |    |               |              |     |
| 104 EI 70                   | (12) (13) (15) (16) (11) (15) (15) (10) (14) (15) (15) (16) |    |    |            |    |               |              |     |
| 71                          | (12) (13) (15) (16) (11) (15) (15) (10) (14) (15) (15) (16) |    |    |            |    |               |              |     |
| 105 EI 71                   | (9) (15) (11) (12) (10) (11) (10) (15) (11) (12) (11) (12)  |    |    |            |    |               |              |     |
| 72                          | (9) (15) (11) (12) (10) (11) (10) (15) (11) (12) (11) (12)  |    |    |            |    |               |              |     |
| 106 EI 72                   | (9) (15) (11) (12) (10) (11) (10) (15) (11) (12) (11) (12)  |    |    |            |    |               |              |     |
| 73                          | (9) (15) (11) (12) (10) (11) (10) (15) (11) (12) (11) (12)  |    |    |            |    |               |              |     |
| 107 EI 73                   | (9) (15) (11) (12) (10) (11) (10) (15) (11) (12) (11) (12)  |    |    |            |    |               |              |     |
| 74                          | (9) (15) (11) (12) (10) (11) (10) (15) (11) (12) (11) (12)  |    |    |            |    |               |              |     |
| 108 EI 74                   | (9) (15) (11) (12) (10) (11) (10) (15) (11) (12) (11) (12)  |    |    |            |    |               |              |     |
| 75                          | (9) (15) (11) (12) (10) (11) (10) (15) (11) (12) (11) (12)  |    |    |            |    |               |              |     |
| 109 EI 75                   | (9) (15) (11) (12) (10) (11) (10) (15) (11) (12) (11) (12)  |    |    |            |    |               |              |     |
| 66                          | (9) (15) (11) (12) (10) (11) (10) (15) (11) (12) (11) (12)  |    |    |            |    |               |              |     |
| 110 EI 66                   | (9) (15) (11) (12) (10) (11) (10) (15) (11) (12) (11) (12)  |    |    |            |    |               |              |     |
| 76                          | (9) (15) (11) (12) (10) (11) (10) (15) (11) (12) (11) (12)  |    |    |            |    |               |              |     |
| 111 EI 76                   | (11) (12) (15) (10) (12) (11) (11) (16) (11) (13) (16) (11) |    |    |            |    |               |              |     |
| 48                          | (11) (12) (15) (10) (12) (11) (11) (16) (11) (13) (16) (11) |    |    |            |    |               |              |     |

**BEAM & SPRING FORCE & MOMENT ENVELOPES**

| Elem Load Node no. case no.            | Axial [kN]  |          |          | Shear [kN] |        | Torsion [kNm] | Moment [kNm] |     |
|--|---|----------|----------|------------|--------|---------------|--------------|-----|
|  | Fx  | Fy       | Fz       | Fx         | Fz     | Max           | Min          | Max |
| Maximum values in this output:         |   |          |          |            |        |               |              |     |
| 30 EI 26 15                            | 1,009E+3  | 576.7E-3 | -2.116   | 1.987      | -7.447 | 1.390         |              |     |
| 111 EI 76 15                           | 108.0   | 2.898    | 1.573    | 9.779      | -3.645 | 666.7E-3      |              |     |
| 37 EI 4 11                             | 136.1   | 1.830    | 7.060    | 10.19      | 13.35  | -0.113        |              |     |
| 37 EI 12 11                            | 325.2   | 1.030    | 4.772    | 10.39      | -7.312 | -187.1E-3     |              |     |
| 20 EI 2 11                             | 327.1   | -1.743   | -7.962   | -10.42     | 13.48  | -5.861        |              |     |
| 32 EI 29 15                            | 945.8   | -1.113   | 2.262    | -5.476     | -8.814 | 3.746         |              |     |
| Minimum values in this output:         |   |          |          |            |        |               |              |     |
| 37 EI 4 15                             | -332.4  | 1.835    | 7.860    | 10.39      | 13.33  | -6.118        |              |     |
| 94 EI 46 11                            | -183.2  | -2.451   | -4.618   | -9.811     | 6.340  | -7.365        |              |     |
| 20 EI 2 15                             | -320.8  | -1.737   | -7.978   | -10.42     | 13.40  | -5.850        |              |     |
| 20 EI 2 15                             | -320.8  | -1.737   | -7.978   | -10.42     | 13.40  | -5.850        |              |     |
| 28 EI 29 15                            | 925.3   | 369.8E-3 | 859.4E-3 | 5.740      | -8.574 | 1.800         |              |     |
| 111 EI 48 15                           | -189.1  | 2.855    | 4.597    | 9.779      | 6.351  | -7.644        |              |     |
| BEAM & SPRING FORCE & MOMENT ENVELOPES |   |          |          |            |        |               |              |     |
| Beam Property 2                        |   |          |          |            |        |               |              |     |
| Elem Load Node no. case no.            | Axial [kN]  |          |          | Shear [kN] |        | Torsion [kNm] | Moment [kNm] |     |
|  | Fx  | Fy       | Fz       | Fx         | Fz     | Max           | Min          | Max |
| 18 EI 13                               | (10) (9) (12) (11) (12) (16) (11) (12) (16) (15) (12) (11)  |          |          |            |        |               |              |     |
| 19                                     | (10) (12) (12) (11) (12) (16) (11) (12) (16) (15) (12) (11) |          |          |            |        |               |              |     |
| 19 EI 19                               | (10) (12) (15) (9) (16) (10) (9) (15) (16) (11) (15) (16)   |          |          |            |        |               |              |     |
| 14                                     | (10) (12) (15) (9) (16) (10) (9) (15) (16) (11) (15) (16)   |          |          |            |        |               |              |     |
| 66 EI 5                                | (10) (15) (12) (11) (10) (15) (11) (12) (15) (10) (12) (11) |          |          |            |        |               |              |     |
| 33                                     | (10) (15) (12) (11) (10) (15) (11) (12) (15) (10) (12) (11) |          |          |            |        |               |              |     |
| 67 EI 33                               | (10) (15) (11) (12) (16) (15) (11) (12) (11) (12) (11) (12) |          |          |            |        |               |              |     |
| 7                                      | (10) (15) (11) (12) (16) (15) (11) (12) (11) (12) (11) (12) |          |          |            |        |               |              |     |
| 80 EI 8                                | (10) (11) (16) (15) (15) (16) (12) (11) (16) (11) (10) (15) |          |          |            |        |               |              |     |
| 34                                     | (10) (11) (16) (15) (15) (16) (12) (11) (16) (11) (10) (15) |          |          |            |        |               |              |     |
| 69 EI 34                               | (10) (11) (16) (15) (15) (16) (12) (11) (16) (11) (10) (15) |          |          |            |        |               |              |     |
| 6                                      | (10) (11) (16) (15) (15) (16) (12) (11) (16) (11) (10) (15) |          |          |            |        |               |              |     |
| 70 EI 7                                | (10) (15) (12) (11) (10) (15) (11) (12) (15) (10) (12) (11) |          |          |            |        |               |              |     |
| 35                                     | (10) (15) (12) (11) (10) (15) (11) (12) (15) (10) (12) (11) |          |          |            |        |               |              |     |
| 71 EI 35                               | (10) (15) (11) (12) (16) (15) (15) (16) (10) (14) (11) (12) |          |          |            |        |               |              |     |
| 9                                      | (10) (15) (11) (12) (16) (15) (15) (16) (10) (14) (11) (12) |          |          |            |        |               |              |     |
| 72 EI 9                                | (10) (15) (12) (11) (10) (15) (11) (12) (15) (10) (12) (11) |          |          |            |        |               |              |     |
| 36                                     | (10) (15) (12) (11) (10) (15) (11) (12) (15) (10) (12) (11) |          |          |            |        |               |              |     |
| 73 EI 36                               | (10) (15) (11) (12) (16) (15) (15) (16) (10) (14) (11) (12) |          |          |            |        |               |              |     |
| 74 EI 10                               | (10) (15) (12) (11) (10) (15) (11) (12) (15) (10) (12) (11) |          |          |            |        |               |              |     |



**KOC UNIVERSITESI**  
**SPOR SALONU**  
**CELIK CATI ANA MAKASLARI t.seh**

|                  |                   |         |
|------------------|-------------------|---------|
| Job No.<br>38035 | Sheet No.         | Rev.    |
| Drg. Ref.        |                   |         |
| Made by<br>SK    | Date<br>06-May-98 | Checked |

BEAM & SPRING FORCE & MOMENT ENVELOPES

BEAM & SPRING FORCE & MOMENT ENVELOPES

| Elem | Load | Node | Beam Property 2  |                  |                      |                     |                     |  |  |
|------|------|------|--|------------------|----------------------|---------------------|---------------------|--|--|
|      |      |      | Axial [kN]<br>Fx   | Shear [kN]<br>Fy | Torsion [kNm]<br>Mxx | Moment [kNm]<br>Myy | Moment [kNm]<br>Mzz |  |  |
| 75   | EL   | 37   | ( 10 ) ( 15 ) ( 11 ) ( 12 ) ( 14 ) ( 10 )<br>-684.8    5.046    4.401    5.758    -10.53    7.338              |                  |                      |                     |                     |  |  |
|      |      | 11   | ( 10 ) ( 15 ) ( 11 ) ( 12 ) ( 13 ) ( 10 )<br>-784.5    -696.98-3    3.833    1.224    -12.52    -696.98-3      |                  |                      |                     |                     |  |  |
| 76   | EL   | 11   | ( 10 ) ( 14 ) ( 12 ) ( 11 ) ( 10 ) ( 15 )<br>-799.5    519.98-3    -6.347    5.847    447.68-3    333.98-3     |                  |                      |                     |                     |  |  |
|      |      | 38   | ( 10 ) ( 14 ) ( 12 ) ( 11 ) ( 10 ) ( 11 )<br>-904.6    -4.402    -7.745    1.580    -372.78-3    -3.945        |                  |                      |                     |                     |  |  |
| 77   | EL   | 38   | ( 10 ) ( 14 ) ( 11 ) ( 12 ) ( 12 ) ( 11 )<br>-798.4    4.393    4.852    5.645    -10.83    5.007              |                  |                      |                     |                     |  |  |
|      |      | 12   | ( 10 ) ( 14 ) ( 11 ) ( 12 ) ( 12 ) ( 11 )<br>-905.2    -763.08-3    4.128    1.110    -13.87    -721.38-3      |                  |                      |                     |                     |  |  |
| 78   | EL   | 12   | ( 10 ) ( 12 ) ( 12 ) ( 11 ) ( 11 ) ( 12 )<br>-866.2    1.142    -5.685    4.141    1.356    100.18-3           |                  |                      |                     |                     |  |  |
|      |      | 39   | ( 10 ) ( 12 ) ( 12 ) ( 11 ) ( 13 ) ( 9 )<br>-983.2    -9.804    -9.374    1.668    -2.563    -6.475            |                  |                      |                     |                     |  |  |
| 79   | EL   | 39   | ( 10 ) ( 12 ) ( 11 ) ( 12 ) ( 16 ) ( 11 )<br>-868.1    1.142    -3.663    4.141    -12.09    13.46             |                  |                      |                     |                     |  |  |
|      |      | 13   | ( 10 ) ( 12 ) ( 11 ) ( 12 ) ( 11 ) ( 11 )<br>-984.1    -9.804    -7.310    1.668    -15.99    -2.031           |                  |                      |                     |                     |  |  |
| 80   | EL   | 14   | ( 10 ) ( 9 ) ( 9 ) ( 15 ) ( 15 ) ( 16 )<br>-847.4    3.153    -1.631    -1.672    -6.882    4.444              |                  |                      |                     |                     |  |  |
|      |      | 40   | ( 10 ) ( 9 ) ( 9 ) ( 15 ) ( 15 ) ( 16 )<br>-975.8    -6.396    -5.169    -4.143    -10.95    469.78-3          |                  |                      |                     |                     |  |  |
| 81   | EL   | 40   | ( 10 ) ( 9 ) ( 15 ) ( 15 ) ( 16 ) ( 11 )<br>-847.5    3.153    372.58-3    -1.672    -11.93    13.47           |                  |                      |                     |                     |  |  |
|      |      | 15   | ( 10 ) ( 9 ) ( 15 ) ( 15 ) ( 16 ) ( 11 )<br>-978.7    -6.396    -3.148    -4.143    -15.87    -1.957           |                  |                      |                     |                     |  |  |
| 82   | EL   | 15   | ( 10 ) ( 11 ) ( 9 ) ( 15 ) ( 10 ) ( 16 )<br>-847.9    9.812    7.325    -1.672    -12.03    12.47              |                  |                      |                     |                     |  |  |
|      |      | 41   | ( 10 ) ( 11 ) ( 9 ) ( 15 ) ( 10 ) ( 16 )<br>-979.2    -1.095    3.668    -4.143    -15.89    -1.966            |                  |                      |                     |                     |  |  |
| 83   | EL   | 41   | ( 10 ) ( 11 ) ( 9 ) ( 15 ) ( 10 ) ( 16 )<br>-848.0    9.812    9.332    -1.672    1.362    261.68-3            |                  |                      |                     |                     |  |  |
|      |      | 16   | ( 10 ) ( 11 ) ( 9 ) ( 15 ) ( 10 ) ( 16 )<br>-979.3    -1.095    5.676    -4.143    -2.539    -6.482            |                  |                      |                     |                     |  |  |
| 84   | EL   | 16   | ( 10 ) ( 11 ) ( 9 ) ( 15 ) ( 10 ) ( 16 )<br>-768.7    740.38-3    -5.357    -1.864    147.88-3    799.08-3     |                  |                      |                     |                     |  |  |
|      |      | 42   | ( 10 ) ( 11 ) ( 9 ) ( 15 ) ( 10 ) ( 16 )<br>-897.9    -4.397    -6.863    -5.943    -3.187    -3.931           |                  |                      |                     |                     |  |  |
| 85   | EL   | 42   | ( 10 ) ( 11 ) ( 9 ) ( 15 ) ( 10 ) ( 16 )<br>-768.8    740.38-3    -3.349    -1.864    -9.628    -2.610         |                  |                      |                     |                     |  |  |
|      |      | 17   | ( 10 ) ( 11 ) ( 9 ) ( 15 ) ( 10 ) ( 16 )<br>-898.1    -4.397    -4.851    -5.943    -11.83    -706.08-3        |                  |                      |                     |                     |  |  |
| 86   | EL   | 17   | ( 10 ) ( 11 ) ( 15 ) ( 10 ) ( 16 ) ( 11 )<br>-769.6    4.405    5.709    -1.964    -9.648    5.007             |                  |                      |                     |                     |  |  |
|      |      | 43   | ( 10 ) ( 11 ) ( 15 ) ( 10 ) ( 16 ) ( 11 )<br>-899.1    -501.28-3    3.488    -5.848    14.01    -706.98-3      |                  |                      |                     |                     |  |  |
| 87   | EL   | 43   | ( 10 ) ( 11 ) ( 15 ) ( 10 ) ( 16 ) ( 11 )<br>-769.8    4.405    5.709    -1.964    427.18-3    312.18-3        |                  |                      |                     |                     |  |  |
|      |      | 18   | ( 10 ) ( 11 ) ( 15 ) ( 10 ) ( 16 ) ( 11 )<br>-899.3    -501.28-3    5.500    -5.848    -811.28-3    -3.950     |                  |                      |                     |                     |  |  |
| 88   | EL   | 18   | ( 10 ) ( 11 ) ( 15 ) ( 10 ) ( 16 ) ( 11 )<br>-650.9    632.18-3    -4.897    -1.195    -411.68-3    614.48-3   |                  |                      |                     |                     |  |  |
|      |      | 44   | ( 10 ) ( 11 ) ( 15 ) ( 10 ) ( 16 ) ( 11 )<br>-780.9    -5.049    -4.352    -5.753    -12.39    -871.18-3       |                  |                      |                     |                     |  |  |
| 89   | EL   | 44   | ( 10 ) ( 11 ) ( 15 ) ( 10 ) ( 16 ) ( 11 )<br>-652.3    6.309    5.044    -1.195    -9.282    7.341             |                  |                      |                     |                     |  |  |
|      |      | 19   | ( 10 ) ( 11 ) ( 15 ) ( 10 ) ( 16 ) ( 11 )<br>-782.4    -483.98-3    4.220    -5.784    -12.64    -671.28-3     |                  |                      |                     |                     |  |  |
| 90   | EL   | 19   | ( 10 ) ( 11 ) ( 15 ) ( 10 ) ( 16 ) ( 11 )<br>-652.6    6.309    8.039    -1.195    2.496    311.78-3           |                  |                      |                     |                     |  |  |
|      |      | 20   | ( 10 ) ( 11 ) ( 15 ) ( 10 ) ( 16 ) ( 11 )<br>-782.7    -483.98-3    6.218    -5.784    1.358    -5.489         |                  |                      |                     |                     |  |  |
| 91   | EL   | 20   | ( 10 ) ( 11 ) ( 15 ) ( 10 ) ( 16 ) ( 11 )<br>-493.1    525.48-3    -4.702    -630.48-3    788.28-3    505.08-3 |                  |                      |                     |                     |  |  |
|      |      | 21   | ( 10 ) ( 11 ) ( 15 ) ( 10 ) ( 16 ) ( 11 )<br>-604.3    -6.204    -6.119    -5.486    -1.094    -4.389          |                  |                      |                     |                     |  |  |
| 92   | EL   | 21   | ( 10 ) ( 11 ) ( 15 ) ( 10 ) ( 16 ) ( 11 )<br>-493.5    525.48-3    -2.720    -630.48-3    -7.752    8.225      |                  |                      |                     |                     |  |  |
|      |      | 22   | ( 10 ) ( 11 ) ( 15 ) ( 10 ) ( 16 ) ( 11 )<br>-604.7    -6.204    -4.136    -5.486    -10.87    -962.38-3       |                  |                      |                     |                     |  |  |
| 93   | EL   | 22   | ( 10 ) ( 11 ) ( 15 ) ( 10 ) ( 16 ) ( 11 )<br>-494.9    7.458    6.002    -630.48-3    -7.789    8.222          |                  |                      |                     |                     |  |  |
|      |      | 23   | ( 10 ) ( 11 ) ( 15 ) ( 10 ) ( 16 ) ( 11 )<br>-605.7    -342.68-3    4.095    -5.490    -10.88    -862.78-3     |                  |                      |                     |                     |  |  |
| 94   | EL   | 23   | ( 10 ) ( 11 ) ( 15 ) ( 10 ) ( 16 ) ( 11 )<br>-495.3    7.458    6.063    -630.48-3    3.627    133.78-3        |                  |                      |                     |                     |  |  |
|      |      | 24   | ( 10 ) ( 11 ) ( 15 ) ( 10 ) ( 16 ) ( 11 )<br>-607.1    -342.68-3    6.076    -5.490    2.949    -6.938         |                  |                      |                     |                     |  |  |
| 95   | EL   | 24   | ( 10 ) ( 11 ) ( 15 ) ( 10 ) ( 16 ) ( 11 )<br>-297.0    227.48-3    -4.416    -49.198-3    1.980    93.988-3    |                  |                      |                     |                     |  |  |
|      |      | 25   | ( 10 ) ( 11 ) ( 15 ) ( 10 ) ( 16 ) ( 11 )<br>-379.2    -7.710    -5.771    -5.587    458.08-3    -5.918        |                  |                      |                     |                     |  |  |
| 96   | EL   | 25   | ( 10 ) ( 11 ) ( 15 ) ( 10 ) ( 16 ) ( 11 )<br>-297.5    227.48-3    -2.487    -49.198-3    -6.110    9.758      |                  |                      |                     |                     |  |  |
|      |      | 26   | ( 10 ) ( 11 ) ( 15 ) ( 10 ) ( 16 ) ( 11 )<br>-379.7    -7.710    -3.811    -5.987    -8.843    -368.88-3       |                  |                      |                     |                     |  |  |
| 97   | EL   | 26   | ( 10 ) ( 11 ) ( 15 ) ( 10 ) ( 16 ) ( 11 )<br>-299.3    8.433    6.802    -49.198-3    -6.146    9.788          |                  |                      |                     |                     |  |  |
|      |      | 27   | ( 10 ) ( 11 ) ( 15 ) ( 10 ) ( 16 ) ( 11 )<br>-382.2    -327.48-3    4.963    -5.987    -8.388    -368.88-3     |                  |                      |                     |                     |  |  |
| 98   | EL   | 27   | ( 10 ) ( 11 ) ( 15 ) ( 10 ) ( 16 ) ( 11 )<br>-299.8    8.433    8.782    -49.198-3    7.439    396.98-3        |                  |                      |                     |                     |  |  |
|      |      | 28   | ( 10 ) ( 11 ) ( 15 ) ( 10 ) ( 16 ) ( 11 )<br>-382.7    -327.48-3    6.522    -5.987    5.124    -7.188         |                  |                      |                     |                     |  |  |

| Elem | Load | Node | Beam Property 2  |                  |                      |                     |                     |  |
|------|------|------|--|------------------|----------------------|---------------------|---------------------|--|
|      |      |      | Axial [kN]<br>Fx   | Shear [kN]<br>Fy | Torsion [kNm]<br>Mxx | Moment [kNm]<br>Myy | Moment [kNm]<br>Mzz |  |
| 92   | EL   | 57   | ( 10 ) ( 11 ) ( 10 ) ( 11 ) ( 15 ) ( 16 ) ( 11 ) ( 12 ) ( 13 ) ( 12 ) ( 10 ) ( 11 )<br>-802.3    -1.773    4.430    47.198-3    -7.021    -481.38-3          |                  |                      |                     |                     |  |
|      |      | 63   | ( 10 ) ( 15 ) ( 10 ) ( 11 ) ( 18 ) ( 16 ) ( 11 ) ( 12 ) ( 13 ) ( 16 ) ( 15 ) ( 10 )<br>-944.1    -2.867    3.652    34.918-3    -9.070    -1.402             |                  |                      |                     |                     |  |
| 93   | EL   | 63   | ( 10 ) ( 15 ) ( 15 ) ( 10 ) ( 16 ) ( 11 ) ( 16 ) ( 14 ) ( 13 ) ( 16 ) ( 15 ) ( 10 )<br>-802.3    2.869    -5.674    -42.158-3    4.027    3.818              |                  |                      |                     |                     |  |
|      |      | 58   | ( 10 ) ( 15 ) ( 15 ) ( 10 ) ( 16 ) ( 11 ) ( 16 ) ( 14 ) ( 13 ) ( 16 ) ( 15 ) ( 10 )<br>-944.1    -2.867    5.674    34.918-3    1.197    3.123               |                  |                      |                     |                     |  |
| 140  | EL   | 49   | ( 10 ) ( 15 ) ( 10 ) ( 15 ) ( 11 ) ( 12 ) ( 11 ) ( 16 ) ( 12 ) ( 11 ) ( 16 ) ( 11 )<br>-197.1    -93.848-3    -9.778    7.629    14.37    -3.4508-3          |                  |                      |                     |                     |  |
|      |      | 77   | ( 10 ) ( 13 ) ( 10 ) ( 15 ) ( 11 ) ( 12 ) ( 11 ) ( 16 ) ( 10 ) ( 11 ) ( 12 ) ( 11 )<br>-225.9    -1.922    -11.60    -869.18-3    -7.019    -831.98-3        |                  |                      |                     |                     |  |
| 141  | EL   | 77   | ( 10 ) ( 13 ) ( 12 ) ( 11 ) ( 11 ) ( 10 ) ( 11 ) ( 15 ) ( 10 ) ( 15 ) ( 16 ) ( 11 )<br>-194.0    1.868    1.860    7.828    -2.782    197.68-3               |                  |                      |                     |                     |  |
|      |      | 51   | ( 10 ) ( 13 ) ( 12 ) ( 11 ) ( 10 ) ( 10 ) ( 11 ) ( 15 ) ( 11 ) ( 11 ) ( 12 ) ( 11 ) ( 12 )<br>-222.9    -11.80    -162.08-3    -869.18-3    -4.302    -9.061 |                  |                      |                     |                     |  |
| 142  | EL   | 51   | ( 10 ) ( 13 ) ( 12 ) ( 11 ) ( 10 ) ( 10 ) ( 11 ) ( 15 ) ( 11 ) ( 11 ) ( 12 ) ( 11 ) ( 12 )<br>-193.6    496.68-3    3.145    7.828    -484.78-3    10.12     |                  |                      |                     |                     |  |
|      |      | 82   | ( 10 ) ( 13 ) ( 12 ) ( 11 ) ( 10 ) ( 10 ) ( 11 ) ( 15 ) ( 11 ) ( 11 ) ( 12 ) ( 11 ) ( 12 )<br>-223.0    -11.80    1.385    -869.18-3    -1.929    -694.98-3  |                  |                      |                     |                     |  |
| 143  | EL   | 78   | ( 10 ) ( 11 ) ( 11 ) ( 10 ) ( 9 ) ( 10 ) ( 16 ) ( 15 ) ( 10 ) ( 11 ) ( 16 ) ( 15 )<br>-180.7    11.84    -700.08-3    876.88-3    -820.28-3    10.13         |                  |                      |                     |                     |  |
|      |      | 50   | ( 10 ) ( 11 ) ( 11 ) ( 10 ) ( 9 ) ( 10 ) ( 16 ) ( 15 ) ( 10 ) ( 11 ) ( 16 ) ( 15 )<br>-220.2    -461.98-3    -3.022    -7.822    -2.144    -616.68-3         |                  |                      |                     |                     |  |
| 144  | EL   | 51   | ( 10 ) ( 11 ) ( 15 ) ( 10 ) ( 11 ) ( 11 ) ( 10 ) ( 15 ) ( 16 ) ( 11 ) ( 11 ) ( 12 ) ( 11 )<br>-181.2    11.84    848.48-3    876.88-3    -2.022    147.18-3  |                  |                      |                     |                     |  |
|      |      | 79   | ( 10 ) ( 11 ) ( 15 ) ( 10 ) ( 11 ) ( 11 ) ( 10 ) ( 15 ) ( 16 ) ( 11 ) ( 11 ) ( 12 ) ( 11 )<br>-220.7    -461.98-3    -1.511    -7.822    -4.280    -9.128    |                  |                      |                     |                     |  |
| 145  | EL   | 79   | ( 10 ) ( 15 ) ( 11 ) ( 12 ) ( 10 ) ( 12 ) ( 15 ) ( 16 ) ( 11 ) ( 13 ) ( 12 ) ( 11 ) ( 12 )<br>-318.1    5.518    5.621    6.621    6.750    147.68-3         |                  |                      |                     |                     |  |
|      |      | 53   | ( 10 ) ( 15 ) ( 11 ) ( 12 ) ( 10 ) ( 12 ) ( 15 ) ( 16 ) ( 11 ) ( 13 ) ( 12 ) ( 11 ) ( 12 )<br>-395.9    -181.88-3    -6.242    -62.988-3    -8.257    -3.692 |                  |                      |                     |                     |  |
| 146  | EL   | 53   | ( 10 ) ( 15 ) ( 11 ) ( 12 ) ( 10 ) ( 12 ) ( 15 ) ( 16 ) ( 11 ) ( 13 ) ( 12 ) ( 11 ) ( 12 )<br>-316.0    3.884    -6.952    5.350    3.792    5.099           |                  |                      |                     |                     |  |
|      |      | 80   | ( 10 ) ( 15 ) ( 11 ) ( 12 ) ( 10 ) ( 12 ) ( 15 ) ( 16 ) ( 11 ) ( 13 ) ( 12 ) ( 11 ) ( 12 )<br>-395.9    -181.88-3    -6.242    -62.988-3    -8.257    -3.692 |                  |                      |                     |                     |  |
| 147  | EL   | 80   | ( 10 ) ( 15 ) ( 11 ) ( 12 ) ( 10 ) ( 12 ) ( 15 ) ( 16 ) ( 11 ) ( 13 ) ( 12 ) ( 11 ) ( 12 )<br>-318.1    5.518    5.621    6.621    6.750    147.68-3         |                  |                      |                     |                     |  |
|      |      | 54   | ( 10 ) ( 15 ) ( 11 ) ( 12 ) ( 10 ) ( 12 ) ( 15 ) ( 16 ) ( 11 ) ( 13 ) ( 12 ) ( 11 ) ( 12 )<br>-395.9    -181.88-3    -6.242    -62.988-3    -8.257    -3.692 |                  |                      |                     |                     |  |
| 148  | EL   | 54   | ( 10 ) ( 15 ) ( 11 ) ( 12 ) ( 10 ) ( 12 ) ( 15 ) ( 16 ) ( 11 ) ( 13 ) ( 12 ) ( 11 ) ( 12 )<br>-316.0    3.884    -6.952    5.350    3.792    5.099           |                  |                      |                     |                     |  |
|      |      | 81   | ( 10 ) ( 15 ) ( 11 ) ( 12 ) ( 10 ) ( 12 ) ( 15 ) ( 16 ) ( 11 ) ( 13 ) ( 12 ) ( 11 ) ( 12 )<br>-395.9    -181.88-3    -6.242    -62.988-3    -8.257    -3.692 |                  |                      |                     |                     |  |
| 149  | EL   | 81   | ( 10 ) ( 15 ) ( 11 ) ( 12 ) ( 10 ) ( 12 ) ( 15 ) ( 16 ) ( 11 ) ( 13 ) ( 12 ) ( 11 ) ( 12 )<br>-316.0    3.884    -6.952    5.350    3.792    5.099           |                  |                      |                     |                     |  |
|      |      | 82   | ( 10 ) ( 15 ) ( 11 ) ( 12 ) ( 10 ) ( 12 ) ( 15 ) ( 16 ) ( 11 ) ( 13 ) ( 12 ) ( 11 ) ( 12 )<br>-395.9    -181.88-3    -6.242    -62.988-3    -8.257    -3.692 |                  |                      |                     |                     |  |
| 150  | EL   | 82   | ( 10 ) ( 15 ) ( 11 ) ( 12 ) ( 10 ) ( 12 ) ( 15 ) ( 16 ) ( 11 ) ( 13 ) ( 12 ) ( 11 ) ( 12 )<br>-316.0    3.884    -6.952    5.350    3.792    5.099           |                  |                      |                     |                     |  |
|      |      | 83   | ( 10 ) ( 15 ) ( 11 ) ( 12 ) ( 10 ) ( 12 ) ( 15 ) ( 16 ) ( 11 ) ( 13 ) ( 12 ) ( 11 ) ( 12 )<br>-395.9    -181.88-3    -6.242    -62.988-3    -8.257    -3.692 |                  |                      |                     |                     |  |
| 151  | EL   | 83   | ( 10 ) ( 15 ) ( 11 ) ( 12 ) ( 10 ) ( 12 ) ( 15 ) ( 16 ) ( 11 ) ( 13 ) ( 12 ) ( 11 ) ( 12 )<br>-316.0    3.884    -6.952    5.350    3.792    5.099           |                  |                      |                     |                     |  |
|      |      | 8    |  |                  |                      |                     |                     |  |

KOC UNIVERSITESI  
SPOR SALONU  
CELIK CATI ANA MAKASLARI t.seh

|           |           |         |
|-----------|-----------|---------|
| Job No.   | Sheet No. | Rev.    |
| 38035     |           |         |
| Drg. Ref. |           |         |
| Made by   | Date      | Checked |
| SK        | 06-May-98 |         |

BEAM & SPRING FORCE & MOMENT ENVELOPES

BEAM & SPRING FORCE & MOMENT ENVELOPES

| Beam Property 2 |      |            |   |  |
|-----------------|------|------------|---|--|
| Elem Load       | Node | Axial [kN] | Shear [kN]  | Torsion [kNm]  |
| no. case no.    | no.  | Fx         | Fy  | Mxx  |
| 153             | 51   | 83         | (10) (15) (11) (12) (15) (10) (11) (10) (10) (15) (11) (10)       | -811.1<br>6.669<br>5.058<br>3.646<br>-12.66<br>12.11           |
| 57              |      |            | -987.2<br>-14.07E-3<br>2.028<br>1.960<br>-17.69<br>480.0E-3       |  |
| 154             | 51   | 58         | (10) (11) (9) (15) (10) (11) (10) (15) (11) (12) (9) (15)         | -793.3<br>-6.137E-3<br>-3.305<br>-1.954<br>-11.58<br>849.1E-3  |
| 84              |      |            | -955.8<br>-6.671<br>-7.074<br>-3.647<br>-7.143<br>-1.468          |  |
| 155             | 51   | 84         | (10) (11) (15) (10) (15) (10) (10) (15) (10) (11) (13) (13) (10)  | -793.7<br>7.007<br>9.546<br>-1.954<br>-17.58<br>838.2E-3       |
| 99              |      |            | -956.7<br>7.007<br>11.56<br>-1.954<br>3.689<br>-983.0E-3          |  |
| 156             | 51   | 59         | (10) (11) (15) (9) (10) (11) (10) (15) (11) (10) (15) (9)         | -731.3<br>831.7E-3<br>-5.300<br>-1.820<br>2.816<br>606.9E-3    |
| 85              |      |            | -886.5<br>-514.3E-3<br>-7.433<br>-8.904<br>-816.9E-3<br>-478.0E-3 |  |
| 157             | 51   | 85         | (10) (11) (9) (15) (12) (10) (10) (15) (10) (9) (9) (15)          | -732.2<br>727.2E-3<br>-5.106<br>-1.920<br>-9.539<br>569.7E-3   |
| 60              |      |            | -887.7<br>-3.210<br>3.983<br>-5.904<br>-12.04<br>-1.091           |  |
| 158             | 51   | 60         | (10) (11) (15) (9) (10) (11) (10) (15) (10) (15) (9) (15)         | -712.4<br>831.7E-3<br>-3.288<br>-1.920<br>-9.567<br>570.6E-3   |
| 86              |      |            | -886.7<br>-514.3E-3<br>-5.422<br>-5.904<br>-12.07<br>-1.098       |  |
| 159             | 51   | 86         | (10) (11) (15) (9) (10) (11) (10) (15) (10) (15) (9) (15)         | -628.9<br>-731.3<br>2.914<br>-4.966<br>-1.244<br>553.9E-3      |
| 87              |      |            | -765.9<br>-831.1E-3<br>-6.654<br>-5.563<br>-998.0E-3<br>-596.2E-3 |  |
| 160             | 51   | 61         | (10) (11) (15) (9) (10) (11) (10) (15) (10) (15) (9) (15)         | -629.2<br>2.914<br>-2.986<br>-1.144<br>-9.107<br>484.0E-3      |
| 88              |      |            | -765.2<br>-831.1E-3<br>-6.654<br>-5.563<br>-11.52<br>-1.344       |  |
| 161             | 51   | 87         | (10) (11) (15) (9) (10) (11) (10) (15) (10) (15) (9) (15)         | -484.8<br>457.3E-3<br>5.636<br>-880.1E-3<br>-7.742<br>233.7E-3 |
| 89              |      |            | -605.7<br>-3.892<br>4.048<br>-5.342<br>-9.539<br>-8.907           |  |
| 162             | 51   | 62         | (10) (11) (15) (9) (10) (11) (10) (15) (10) (15) (9) (15)         | -485.2<br>457.3E-3<br>5.616<br>-880.1E-3<br>-7.772<br>234.1E-3 |
| 90              |      |            | -606.1<br>-3.892<br>6.029<br>-5.342<br>2.499<br>-895.8E-3         |  |
| 163             | 51   | 88         | (10) (11) (15) (9) (10) (11) (10) (15) (10) (15) (9) (15)         | -393.0<br>157.2E-3<br>8.185<br>64.94E-3<br>-6.138<br>193.0E-3  |
| 91              |      |            | -297.4<br>-5.524<br>6.468<br>-5.614<br>5.052<br>-126.6E-3         |  |

Maximum values in this output:

| Elem | Load | Node | Axial [kN] | Shear [kN] | Torsion [kNm] |
|------|------|------|------------|------------|---------------|
| 68   | 51   | 810  | -179.9     | 139.0E-3   | -636.9E-3     |
| 142  | 51   | 52   | -218.1     | 11.84      | -2.986        |
| 69   | 51   | 6    | -271.7     | 10.95      | 13.17         |
| 143  | 51   | 51   | -220.3     | -11.89     | 13.17         |
| 69   | 51   | 6    | -271.7     | 10.95      | 13.17         |
| 81   | 51   | 40   | -994.0     | 9.812      | 3.673         |

Minimum values in this output:

| Elem | Load | Node | Axial [kN] | Shear [kN] | Torsion [kNm] |
|------|------|------|------------|------------|---------------|
| 19   | 51   | 14   | -989.3     | -2.027     | -4.943        |
| 141  | 51   | 77   | -220.8     | -11.80     | 1.960         |
| 66   | 51   | 9    | -271.9     | -10.87     | -13.32        |
| 142  | 51   | 52   | -218.1     | 11.84      | -2.986        |
| 153  | 51   | 83   | -987.2     | 6.662      | 9.658         |
| 69   | 51   | 6    | -270.2     | 10.95      | 13.08         |

| Beam Property 3 |      |            |   |  |
|-----------------|------|------------|---|--|
| Elem Load       | Node | Axial [kN] | Shear [kN]  | Torsion [kNm]  |
| no. case no.    | no.  | Fx         | Fy  | Mxx  |
| 252             | 51   | 4          | (10) (11) (13) (12) (11) (10) (15) (10) (12) (11) (13) (12)     | -90.56<br>64.44<br>3.347<br>13.56<br>4.506<br>113.4          |
| 101             |      |            | -182.3<br>199.9E-3<br>1.325<br>666.7E-3<br>3.624<br>98.98E-3    |  |
| 254             | 51   | 48         | (25) (9) (11) (16) (9) (15) (11) (10) (15) (10) (11) (16)       | -20.09<br>64.67<br>2.282<br>13.03<br>5.428<br>111.5          |
| 102             |      |            | -107.2<br>-636.7E-3<br>704.7E-3<br>714.6E-3<br>3.908<br>-1.296  |  |
| 276             | 51   | 101        | (10) (11) (13) (12) (10) (11) (15) (10) (11) (10) (13) (12)     | -119.3<br>64.64<br>-41.78<br>13.01<br>18.90<br>52.49         |
| 109             |      |            | -224.1<br>-796.8E-3<br>-96.05<br>448.9E-3<br>13.63<br>-130.9E-3 |  |
| 277             | 51   | 109        | (10) (11) (13) (12) (10) (11) (15) (10) (11) (12) (13) (10)     | -118.9<br>64.64<br>-41.78<br>13.01<br>18.90<br>52.49         |
| 110             |      |            | -223.8<br>-796.8E-3<br>-96.05<br>448.9E-3<br>13.63<br>-130.9E-3 |  |
| 278             | 51   | 110        | (10) (11) (13) (12) (16) (11) (15) (10) (12) (11) (10)          | -122.6<br>62.88<br>-18.87<br>12.33<br>-7.369<br>7.984        |
| 6               |      |            | -229.9<br>-1.327<br>-32.52<br>216.3E-3<br>-19.60<br>-14.98      |  |
| 279             | 51   | 102        | (15) (9) (11) (16) (10) (9) (15) (10) (10) (15) (11) (16)       | -47.30<br>62.53<br>-42.10<br>11.92<br>17.12<br>59.33         |
| 111             |      |            | -144.4<br>-1.903<br>-52.13<br>509.8E-3<br>13.66<br>-705.3E-3    |  |
| 280             | 51   | 111        | (15) (9) (11) (16) (10) (9) (15) (10) (10) (15) (11) (16)       | -47.03<br>62.53<br>-42.10<br>11.92<br>17.12<br>59.33         |
| 112             |      |            | -144.0<br>-1.903<br>-52.13<br>509.8E-3<br>13.66<br>-705.3E-3    |  |
| 281             | 51   | 112        | (15) (9) (11) (16) (15) (9) (15) (10) (10) (15) (11) (16)       | -49.81<br>58.98<br>-10.17<br>10.59<br>-7.288<br>6.368        |
| 50              |      |            | -149.2<br>-1.784<br>-23.30<br>396.0E-3<br>-11.45<br>388.7E-3    |  |
| 302             | 51   | 2          | (10) (15) (15) (10) (16) (13) (10) (11) (15) (16) (15) (10)     | -103.1<br>65.36<br>-978.3E-3<br>-648.1E-3<br>-2.831<br>124.1 |
| 131             |      |            | -102.1<br>65.36<br>-978.3E-3<br>-648.1E-3<br>-2.831<br>124.1    |  |
| 304             | 51   | 46         | (11) (12) (15) (16) (11) (12) (10) (11) (10) (11) (15) (16)     | -116.2<br>-802.8E-3<br>-2.424<br>-12.01<br>-6.630<br>-1.365  |
| 122             |      |            | -23.44<br>62.23<br>-486.1E-3<br>-694.4E-3<br>-5.787<br>80.37    |  |
| 318             | 51   | 121        | (10) (15) (15) (9) (15) (10) (10) (11) (10) (15) (15) (9)       | -128.3<br>64.48<br>53.78<br>-432.3E-3<br>-14.68<br>52.29     |
| 128             |      |            | -127.6<br>64.48<br>53.78<br>-432.3E-3<br>-12.91<br>17.52        |  |
| 319             | 51   | 128        | (10) (15) (11) (12) (15) (10) (10) (11) (10) (15) (15) (9)      | -132.9<br>62.18<br>34.46<br>-182.8E-3<br>9.639<br>7.292      |
| 5               |      |            | -230.3<br>-1.395<br>19.19<br>-12.18<br>7.271<br>399.8E-3        |  |
| 320             | 51   | 122        | (11) (12) (15) (16) (12) (13) (10) (11) (11) (12) (15) (16)     | -148.7<br>-1.407<br>46.51<br>-11.85<br>-16.88<br>619.0E-3    |
| 126             |      |            | -46.40<br>62.61<br>51.46<br>-516.2E-3<br>19.38<br>6.684         |  |
| 321             | 51   | 126        | (11) (12) (15) (16) (12) (11) (10) (11) (11) (12) (15) (16)     | -50.49<br>58.94<br>26.82<br>-376.1E-3<br>11.05<br>6.680      |
| 49              |      |            | -151.4<br>-1.846<br>11.17<br>-10.92<br>15.04<br>-14.39          |  |

# KOC UNIVERSITESI

SPOR SALONU

CELIK CATI ANA MAKASLARI t. seh

|           |           |         |
|-----------|-----------|---------|
| Job No.   | Sheet No. | Rev.    |
| 38035     |           |         |
| Drq. Ref. |           |         |
| Made by   | Date      | Checked |
| SK        | 06-May-98 |         |

### BEAM & SPRING FORCE & MOMENT ENVELOPES

| Elem Load Node                 |            | Beam Property |               |              |          |           |          |
|--------------------------------|------------|---------------|---------------|--------------|----------|-----------|----------|
| no. case no.                   | Axial [kN] | Shear [kN]    | Torsion [kNm] | Moment [kNm] |          |           |          |
|                                | Fx         | Fy            | Roz           | Mxx          | Myy      | Mzz       |          |
| Maximum values in this output: |            |               |               |              |          |           |          |
| LC.                            |            |               |               |              |          |           |          |
| 254 EI                         | 102        | 151           | 64.67         | 704.78-3     | 13.03    | 6.894     | 80.13    |
| 102 EI                         | 7          | 151           | 65.36         | -2.760       | -13.58   | -3.119    | 114.1    |
| 318 EI                         | 121        | 151           | 64.48         | 53.78        | -12.90   | -17.66    | 52.29    |
| 252 EI                         | 4          | 151           | 64.44         | 3.097        | 13.56    | 3.698     | 113.4    |
| 318 EI                         | 128        | 111           | 64.48         | 53.97        | -12.91   | 19.01     | 7.284    |
| 302 EI                         | 2          | 151           | 65.36         | -2.760       | -13.58   | -1.819    | 114.1    |
| Minimum values in this output: |            |               |               |              |          |           |          |
| LC.                            |            |               |               |              |          |           |          |
| 319 EI                         | 128        | 151           | 62.18         | 34.46        | -12.18   | 7.271     | 7.292    |
| 281 EI                         | 112        | 161           | -1.734        | -20.08       | 393.25-3 | -9.948    | 350.78-3 |
| 277 EI                         | 109        | 111           | 65.64         | -55.06       | 13.01    | -634.95-3 | 19.73    |
| 302 EI                         | 2          | 111           | 65.36         | -2.534       | -13.58   | -3.881    | 114.1    |
| 277 EI                         | 110        | 151           | 64.63         | -95.81       | 13.01    | -20.37    | 7.045    |
| 278 EI                         | 6          | 151           | 62.58         | -31.68       | 12.33    | -19.49    | -14.98   |

### BEAM & SPRING FORCE & MOMENT ENVELOPES

| Elem Load Node                 |            | Beam Property |               |              |          |        |          |        |       |       |       |       |
|--------------------------------|------------|---------------|---------------|--------------|----------|--------|----------|--------|-------|-------|-------|-------|
| no. case no.                   | Axial [kN] | Shear [kN]    | Torsion [kNm] | Moment [kNm] |          |        |          |        |       |       |       |       |
|                                | Fx         | Fy            | Roz           | Mxx          | Myy      | Mzz    |          |        |       |       |       |       |
| Maximum values in this output: |            |               |               |              |          |        |          |        |       |       |       |       |
| LC.                            |            |               |               |              |          |        |          |        |       |       |       |       |
| 273 EI                         | 50         | ( 9)          | ( 15)         | ( 15)        | ( 15)    | ( 9)   | ( 16)    | ( 11)  | ( 9)  | ( 15) | ( 16) | ( 11) |
|                                |            |               |               |              |          |        |          |        |       |       |       |       |
| 274 EI                         | 107        | ( 9)          | ( 15)         | ( 15)        | ( 15)    | ( 15)  | ( 16)    | ( 11)  | ( 10) | ( 9)  | ( 16) | ( 15) |
| 108                            | ( 9)       | ( 15)         | ( 15)         | ( 9)         | ( 12)    | ( 11)  | ( 16)    | ( 11)  | ( 10) | ( 9)  | ( 16) | ( 15) |
| 275 EI                         | 108        | ( 9)          | ( 15)         | ( 15)        | ( 9)     | ( 12)  | ( 11)    | ( 16)  | ( 11) | ( 10) | ( 9)  | ( 16) |
| 76                             | ( 9)       | ( 15)         | ( 15)         | ( 9)         | ( 12)    | ( 11)  | ( 16)    | ( 11)  | ( 10) | ( 11) | ( 16) | ( 15) |
| 322 EI                         | 5          | ( 15)         | ( 10)         | ( 12)        | ( 11)    | ( 10)  | ( 15)    | ( 9)   | ( 15) | ( 10) | ( 15) | ( 9)  |
| 127                            | ( 15)      | ( 10)         | ( 12)         | ( 11)        | ( 10)    | ( 15)  | ( 9)     | ( 15)  | ( 10) | ( 15) | ( 9)  | ( 9)  |
| 323 EI                         | 127        | ( 15)         | ( 10)         | ( 10)        | ( 11)    | ( 11)  | ( 10)    | ( 15)  | ( 9)  | ( 10) | ( 15) | ( 11) |
| 20                             | ( 15)      | ( 10)         | ( 10)         | ( 11)        | ( 11)    | ( 10)  | ( 15)    | ( 9)   | ( 11) | ( 10) | ( 11) | ( 12) |
| 324 EI                         | 49         | ( 12)         | ( 11)         | ( 16)        | ( 11)    | ( 11)  | ( 15)    | ( 16)  | ( 12) | ( 11) | ( 15) | ( 16) |
| 128                            | ( 12)      | ( 11)         | ( 16)         | ( 11)        | ( 11)    | ( 12)  | ( 15)    | ( 16)  | ( 16) | ( 15) | ( 11) | ( 16) |
| 325 EI                         | 128        | ( 12)         | ( 11)         | ( 12)        | ( 11)    | ( 9)   | ( 15)    | ( 16)  | ( 11) | ( 12) | ( 11) | ( 16) |
| 64                             | ( 12)      | ( 11)         | ( 12)         | ( 11)        | ( 9)     | ( 15)  | ( 16)    | ( 11)  | ( 16) | ( 9)  | ( 15) | ( 11) |
| Minimum values in this output: |            |               |               |              |          |        |          |        |       |       |       |       |
| LC.                            |            |               |               |              |          |        |          |        |       |       |       |       |
| 271 EI                         | 105        | 111           | 381.3         | 171.48-3     | 1.051    | -2.731 | -2.095   | -1.970 |       |       |       |       |
| 272 EI                         | 90         | 151           | 144.6         | 853.15-3     | -1.181   | -2.965 | -1.441   | -1.980 |       |       |       |       |
| 273 EI                         | 32         | 151           | 280.3         | 172.08-3     | -2.149   | -2.790 | -1.429   | -1.949 |       |       |       |       |
| 270 EI                         | 6          | 111           | 173.3         | -693.38-3    | 731.5E-3 | 2.836  | -1.651   | 1.498  |       |       |       |       |
| 325 EI                         | 64         | 111           | 172.1         | -694.08-3    | 1.654    | 2.836  | 962.2E-3 | 3.015  |       |       |       |       |

KOC UNIVERSITESI

SPOR SALONU

CELIK CATI ANA MAKASLARI t.csh

Job No. 38035, Sheet No., Rev., Drg. Ref., Made by SK, Date 06-May-98, Checked

BEAM & SPRING FORCE & MOMENT ENVELOPES

Beam Property 6 table with columns: Elem Load Node no., case no., Axial [kN], Shear [kN], Torsion [kNm], Moment [kNm]

BEAM & SPRING FORCE & MOMENT ENVELOPES

Beam Property 7 table with columns: Elem Load Node no., case no., Axial [kN], Shear [kN], Torsion [kNm], Moment [kNm]

Table with columns: Elem Load Node no., case no., Axial [kN], Shear [kN], Torsion [kNm], Moment [kNm]

Table with columns: Elem Load Node no., case no., Axial [kN], Shear [kN], Torsion [kNm], Moment [kNm]

Table with columns: Elem Load Node no., case no., Axial [kN], Shear [kN], Torsion [kNm], Moment [kNm]

Table with columns: Elem Load Node no., case no., Axial [kN], Shear [kN], Torsion [kNm], Moment [kNm]

BEAM & SPRING FORCE & MOMENT ENVELOPES

Beam Property 8 table with columns: Elem Load Node no., case no., Axial [kN], Shear [kN], Torsion [kNm], Moment [kNm]

Table with columns: Elem Load Node no., case no., Axial [kN], Shear [kN], Torsion [kNm], Moment [kNm]

Table with columns: Elem Load Node no., case no., Axial [kN], Shear [kN], Torsion [kNm], Moment [kNm]

Table with columns: Elem Load Node no., case no., Axial [kN], Shear [kN], Torsion [kNm], Moment [kNm]

Table with columns: Elem Load Node no., case no., Axial [kN], Shear [kN], Torsion [kNm], Moment [kNm]

BEAM & SPRING FORCE & MOMENT ENVELOPES

Beam Property 9 table with columns: Elem Load Node no., case no., Axial [kN], Shear [kN], Torsion [kNm], Moment [kNm]

Table with columns: Elem Load Node no., case no., Axial [kN], Shear [kN], Torsion [kNm], Moment [kNm]

**KOC UNIVERSITESI**

SPOR SALONU

CELIK CATI ANA MAKASLARI t.seh

|           |           |         |
|-----------|-----------|---------|
| Job No.   | Sheet No. | Rev.    |
| 38035     |           |         |
| Drg. Ref. |           |         |
| Made by   | Date      | Checked |
| SK        | 06-May-98 |         |

**BEAM & SPRING FORCE & MOMENT ENVELOPES**

| Elem no.                       | Load case no. | Beam Property 9   |            |               |              |                  |                    |
|--------------------------------|---------------|---|------------|---------------|--------------|------------------|--------------------|
|                                |               | Axial [kN]  | Shear [kN] | Torsion [kNm] | Moment [kNm] |                  |                    |
|                                |               | Fx  | Fy         | Fz            | Max          | Myz              |                    |
| 87                             | 29            | (10) (15) (11) (12) (12) (11) (15) (9) (10) (12) (11) (10)  | -41.05     | 324.28-3      | 504.28-3     | -3.2908-3        | -1.372 1.418       |
| 15                             |               | (10) (15) (11) (12) (12) (11) (15) (9) (10) (12) (11) (10)  | -55.82     | -114.88-3     | 298.88-3     | -29.268-3        | -1.587 121.48-3    |
| 128                            | 58            | (15) (9) (9) (10) (11) (10) (11) (10) (10) (9) (9) (15)     | -83.79     | 207.98-3      | 273.98-3     | 159.48-3         | -1.057 100.58-3    |
| 95                             |               | (15) (9) (9) (10) (11) (10) (11) (10) (10) (9) (9) (15)     | -83.78     | 180.18-3      | 195.48-3     | 22.388-3         | -1.202 -443.95-3   |
| 129                            | 69            | (15) (9) (9) (10) (11) (10) (11) (10) (10) (9) (9) (15)     | -30.80     | 86.208-3      | 1.105        | 17.008-3         | 979.08-3 -363.78-3 |
| 56                             |               | (15) (9) (9) (10) (11) (10) (11) (10) (10) (9) (9) (15)     | -41.67     | -274.08-3     | 787.98-3     | 7.8858-3         | 397.38-3 -871.18-3 |
| 130                            | 74            | (11) (12) (10) (12) (15) (10) (10) (15) (10) (12) (11) (12) | -84.85     | -182.38-3     | 279.08-3     | -22.288-3        | -1.031 441.08-3    |
| 60                             |               | (11) (12) (10) (12) (15) (10) (10) (15) (10) (12) (11) (12) | -87.27     | -212.38-3     | 201.08-3     | -159.58-3        | -1.208 108.88-3    |
| 131                            | 73            | (11) (12) (10) (12) (15) (10) (10) (15) (10) (12) (11) (12) | -84.34     | -182.38-3     | 279.08-3     | -22.288-3        | 377.28-3 1.012     |
| 59                             |               | (11) (12) (10) (12) (15) (10) (10) (15) (10) (12) (11) (12) | -83.26     | 180.18-3      | 695.08-3     | 22.388-3         | 236.28-3 -1.011    |
| Maximum values in this output: |               |   |            |               |              |                  |                    |
| 60                             | 16            | 153.0   | 51.138-3   | 264.88-3      | 108.28-3     | -1.198 -1.061    |                    |
| 133                            | 56            | 153.0   | 1.693      | -313.68-3     | -304.98-3    | 453.28-3 3.403   |                    |
| 60                             | 29            | 122.6   | 51.138-3   | 725.98-3      | 108.28-3     | 133.58-3 -1.198  |                    |
| 135                            | 72            | 50.10   | -1.692     | 165.48-3      | 208.28-3     | -654.18-3 1.270  |                    |
| 60                             | 29            | 122.6   | 51.138-3   | 725.98-3      | 108.28-3     | 133.58-3 -1.198  |                    |
| 133                            | 56            | 153.0   | 1.693      | -305.68-3     | -305.28-3    | -462.58-3 3.403  |                    |
| Minimum values in this output: |               |   |            |               |              |                  |                    |
| 133                            | 70            | 47.83   | 1.693      | 149.68-3      | -304.98-3    | -679.68-3 -1.273 |                    |
| 132                            | 58            | 153.0   | -1.692     | -305.68-3     | 308.18-3     | -647.48-3 -3.402 |                    |
| 132                            | 58            | 153.0   | -1.692     | -305.68-3     | 308.18-3     | -647.48-3 -3.402 |                    |
| 133                            | 56            | 153.0   | 1.693      | -305.68-3     | -305.28-3    | -462.58-3 3.403  |                    |
| 60                             | 16            | 153.0   | 51.138-3   | 264.88-3      | 108.28-3     | -1.198 -1.061    |                    |
| 135                            | 59            | 111   | -1.692     | -305.68-3     | 308.18-3     | -461.98-3 -3.402 |                    |

**BEAM & SPRING FORCE & MOMENT ENVELOPES**

| Elem no.                       | Load case no. | Beam Property 10  |            |               |              |                  |                   |
|--------------------------------|---------------|---|------------|---------------|--------------|------------------|-------------------|
|                                |               | Axial [kN]  | Shear [kN] | Torsion [kNm] | Moment [kNm] |                  |                   |
|                                |               | Fx  | Fy         | Fz            | Max          | Myz              |                   |
| 134                            | 50            | (12) (11) (12) (11) (12) (11) (15) (10) (11) (12) (11) (10) | 96.97      | 232.58-3      | -65.218-3    | 177.78-3         | 82.808-3 24.788-3 |
| 73                             |               | (12) (11) (12) (11) (12) (11) (15) (10) (10) (11) (10) (15) | 69.47      | 30.588-3      | -498.68-3    | 19.918-3         | -619.48-3 -1.014  |
| 135                            | 59            | (12) (11) (12) (11) (12) (11) (15) (10) (11) (12) (11) (10) | 96.97      | 232.58-3      | -65.218-3    | 177.78-3         | 82.808-3 24.788-3 |
| 72                             |               | (12) (11) (12) (11) (12) (11) (15) (10) (10) (11) (10) (15) | 69.06      | 30.588-3      | -47.488-3    | 19.918-3         | -667.68-3 -1.099  |
| Maximum values in this output: |               |   |            |               |              |                  |                   |
| 60                             | 16            | 153.0   | 51.138-3   | 264.88-3      | 108.28-3     | -1.198 -1.061    |                   |
| 133                            | 56            | 153.0   | 1.693      | -313.68-3     | -304.98-3    | 453.28-3 3.403   |                   |
| 60                             | 29            | 122.6   | 51.138-3   | 725.98-3      | 108.28-3     | 133.58-3 -1.198  |                   |
| 135                            | 72            | 50.10   | -1.692     | 165.48-3      | 208.28-3     | -654.18-3 1.270  |                   |
| 60                             | 29            | 122.6   | 51.138-3   | 725.98-3      | 108.28-3     | 133.58-3 -1.198  |                   |
| 133                            | 56            | 153.0   | 1.693      | -305.68-3     | -305.28-3    | -462.58-3 3.403  |                   |
| Minimum values in this output: |               |   |            |               |              |                  |                   |
| 133                            | 70            | 47.83   | 1.693      | 149.68-3      | -304.98-3    | -679.68-3 -1.273 |                   |
| 132                            | 58            | 153.0   | -1.692     | -305.68-3     | 308.18-3     | -647.48-3 -3.402 |                   |
| 132                            | 58            | 153.0   | -1.692     | -305.68-3     | 308.18-3     | -647.48-3 -3.402 |                   |
| 133                            | 56            | 153.0   | 1.693      | -305.68-3     | -305.28-3    | -462.58-3 3.403  |                   |
| 60                             | 16            | 153.0   | 51.138-3   | 264.88-3      | 108.28-3     | -1.198 -1.061    |                   |
| 135                            | 59            | 111   | -1.692     | -305.68-3     | 308.18-3     | -461.98-3 -3.402 |                   |

**BEAM & SPRING FORCE & MOMENT ENVELOPES**

| Elem no. | Load case no. | Beam Property 11   |            |               |              |           |                     |
|----------|---------------|--|------------|---------------|--------------|-----------|---------------------|
|          |               | Axial [kN]   | Shear [kN] | Torsion [kNm] | Moment [kNm] |           |                     |
|          |               | Fx   | Fy         | Fz            | Max          | Myz       |                     |
| 62       | 26            | (10) (11) (10) (11) (11) (10) (11) (12) (10) (11) (10) (11)      | 8.878      | -534.88-3     | -262.18-3    | 178.88-3  | -549.48-3 -1.105    |
| 13       |               | (10) (11) (10) (11) (11) (10) (11) (12) (10) (11) (10) (11)      | -4.808     | -37.38-3      | -408.88-3    | -177.48-3 | 64.338-3 1.017      |
| 63       | 28            | (9) (13) (11) (10) (12) (9) (9) (15) (10) (15) (10) (15)         | -1.871     | 2.216         | -254.48-3    | 6.8188-3  | -647.48-3 -3.526    |
| 14       |               | (9) (13) (11) (10) (12) (9) (9) (15) (10) (15) (10) (15)         | 2.045      | 2.216         | 209.18-3     | 6.8188-3  | -909.38-3 -438.78-3 |
| 64       | 14            | (15) (16) (10) (11) (15) (9) (9) (15) (10) (15) (10) (15)        | 44.69      | -1.197        | -782.98-3    | 83.488-3  | 1.170 -1.788        |
| 27       |               | (15) (16) (10) (11) (15) (9) (9) (15) (10) (15) (10) (15)        | 32.39      | -2.118        | -1.238       | 7.3268-3  | 314.18-3 -3.106     |
| 65       | 27            | (11) (10) (15) (10) (12) (11) (11) (12) (11) (11) (12) (15) (10) | 42.79      | 2.119         | 803.48-3     | -7.3388-3 | -1.260 2.898        |
| 13       |               | (11) (10) (15) (10) (12) (11) (11) (12) (11) (11) (12) (15) (10) | 23.34      | 1.202         | 327.68-3     | -83.888-3 | -1.728 1.622        |
| 136      | 70            | (15) (16) (10) (11) (15) (9) (9) (15) (10) (15) (10) (15)        | -42.24     | -2.118        | -774.48-3    | 7.3268-3  | 314.18-3 -3.106     |
| 27       |               | (15) (16) (10) (11) (15) (9) (9) (15) (10) (15) (10) (15)        | 32.39      | -2.118        | -1.238       | 7.3268-3  | 314.18-3 -3.106     |
| 137      | 72            | (11) (12) (11) (10) (10) (11) (9) (15) (10) (12) (15) (10)       | 6.728      | 1.966         | -272.58-3    | 35.328-3  | -640.78-3 3.164     |
| 88       |               | (11) (12) (11) (10) (10) (11) (9) (15) (10) (12) (15) (10)       | -4.371     | 467.88-3      | -367.48-3    | -157.28-3 | -743.68-3 996.18-3  |
| 138      | 58            | (12) (11) (10) (11) (10) (11) (9) (15) (10) (12) (15) (10)       | 36.59      | -1.166        | -988.88-3    | 48.368-3  | 1.788 -1.761        |
| 71       |               | (12) (11) (10) (11) (10) (11) (9) (15) (10) (12) (15) (10)       | 23.34      | -1.905        | -1.529       | 32.548-3  | 870.78-3 -2.808     |
| 139      | 58            | (12) (11) (10) (11) (10) (11) (9) (15) (10) (12) (15) (10)       | 36.59      | -1.166        | -988.88-3    | 48.368-3  | 1.788 -1.761        |
| 71       |               | (12) (11) (10) (11) (10) (11) (9) (15) (10) (12) (15) (10)       | 23.34      | -1.905        | -1.529       | 32.548-3  | 870.78-3 -2.808     |
| 139      | 71            | (9) (15) (15) (10) (15) (10) (11) (12) (10) (15) (15) (10)       | -31.80     | 1.908         | 1.072        | -32.538-3 | -1.396 2.593        |
| 57       |               | (9) (15) (15) (10) (15) (10) (11) (12) (10) (15) (15) (10)       | 32.28      | 1.905         | 1.072        | -32.538-3 | -1.396 2.593        |
| 133      | 56            | (9) (15) (15) (10) (15) (10) (11) (12) (10) (15) (15) (10)       | 32.28      | 1.905         | 1.072        | -32.538-3 | -1.396 2.593        |
| 70       |               | (9) (15) (15) (10) (15) (10) (11) (12) (10) (15) (15) (10)       | 47.83      | 71.888-3      | 149.68-3     | -305.28-3 | -679.68-3 -1.273    |

# KOC UNIVERSITESI

SPOR SALONU

CELIK CATI ANA MAKASLARI t.seh

|           |           |         |
|-----------|-----------|---------|
| Job No.   | Sheet No. | Rev.    |
| 38035     |           |         |
| Drq. Ref. |           |         |
| Made by   | Date      | Checked |
| SK        | 06-May-98 |         |

## BEAM & SPRING FORCE & MOMENT ENVELOPES

| Elem Load Mode no. case no.    | Beam Property 11 |               |                  |                  |                  |        |
|--------------------------------|------------------|---------------|------------------|------------------|------------------|--------|
|                                | Axial [kN] Fx    | Shear [kN] Fy | Torsion [kNm] Fz | Moment [kNm] Myy | Moment [kNm] Mzz |        |
| Maximum values in this output: |                  |               |                  |                  |                  |        |
| 64 El 14 15)                   | 44.69            | -2.118        | -782.9E-3        | 7.326E-3         | 314.1E-3         | -3.106 |
| 61 El 28 11)                   | -4.941           | 2.216         | -261.8E-3        | -178.7E-3        | -833.7E-3        | 3.826  |
| 139 El 57 15)                  | 22.02            | 1.905         | 1.827            | -32.59E-3        | 1.795            | -2.808 |
| 62 El 13 11)                   | -4.428           | -2.217        | 201.8E-3         | 178.8E-3         | -921.2E-3        | 3.913  |
| 139 El 57 15)                  | 22.02            | 1.905         | 1.827            | -32.59E-3        | 1.795            | -2.808 |
| 63 El 28 15)                   | -6.414           | 2.216         | -254.8E-3        | -178.8E-3        | -843.1E-3        | 3.826  |
| Minimum values in this output: |                  |               |                  |                  |                  |        |
| 63 El 28 15)                   | -6.414           | 2.216         | -254.8E-3        | -178.8E-3        | -843.1E-3        | 3.826  |
| 62 El 13 11)                   | -4.428           | -2.217        | 201.8E-3         | 178.8E-3         | -921.2E-3        | 3.913  |
| 138 El 58 11)                  | 21.34            | -1.905        | -1.829           | 32.57E-3         | 1.785            | -2.807 |
| 63 El 14 15)                   | -8.940           | 2.216         | 209.1E-3         | -178.8E-3        | -909.3E-3        | -2.913 |
| 139 El 57 15)                  | 21.37            | 1.905         | 1.073            | -32.59E-3        | -1.903           | 2.893  |
| 62 El 26 11)                   | -4.902           | -2.217        | -262.1E-3        | 178.8E-3         | -833.7E-3        | -3.827 |

## BEAM & SPRING FORCE & MOMENT ENVELOPES

| Elem Load Mode no. case no. | Beam Property 12  |               |                  |                  |                  |           |           |
|-----------------------------|---|---------------|------------------|------------------|------------------|-----------|-----------|
|                             | Axial [kN] Fx   | Shear [kN] Fy | Torsion [kNm] Fz | Moment [kNm] Myy | Moment [kNm] Mzz |           |           |
| 213 El 1                    | ( 10) ( 11) ( 16) ( 15) ( 10) ( 11) ( 10) ( 11) ( 11) ( 10) ( 16) ( 15) | -488.2        | 2.733            | -602.7           | -5.290           | 1.078E+3  | 3.864     |
| 09                          | ( 10) ( 11) ( 16) ( 15) ( 10) ( 11) ( 10) ( 11) ( 10) ( 11) ( 10) ( 15) | -420.4        | 2.733            | -602.7           | -5.290           | -1.607E+3 | -340.2E-3 |
| 214 El 89                   | ( 10) ( 11) ( 10) ( 15) ( 11) ( 10) ( 10) ( 11) ( 10) ( 11) ( 10) ( 15) | -408.3        | -168.8E-3        | 240.5            | -8.290           | -1.608E+3 | -340.2E-3 |
| 2                           | ( 10) ( 11) ( 10) ( 15) ( 11) ( 10) ( 10) ( 11) ( 9) ( 9) ( 15) ( 10)   | -658.3        | -67.20           | 178.7            | -64.81           | -2.165E+3 | -361.4    |
| 215 El 3                    | ( 10) ( 15) ( 16) ( 11) ( 15) ( 10) ( 11) ( 10) ( 10) ( 15) ( 16) ( 11) | -471.9        | 2.750            | 831.1            | 64.21            | -803.5    | 3.882     |
| 90                          | ( 10) ( 15) ( 16) ( 11) ( 15) ( 10) ( 11) ( 10) ( 15) ( 10) ( 12) ( 11) | -404.1        | 2.750            | 831.1            | 64.21            | 2.218E+3  | -311.5E-3 |
| 216 El 90                   | ( 10) ( 15) ( 10) ( 11) ( 10) ( 15) ( 11) ( 10) ( 10) ( 15) ( 16) ( 11) | -389.0        | -168.7E-3        | -178.7           | 64.21            | 2.228E+3  | -311.5E-3 |
| 4                           | ( 10) ( 15) ( 10) ( 11) ( 10) ( 15) ( 11) ( 10) ( 9) ( 9) ( 11) ( 10)   | -216.5        | -168.7E-3        | -178.7           | 64.21            | 0         | 243.9     |
| 217 El 48                   | ( 15) ( 16) ( 10) ( 15) ( 15) ( 16) ( 10) ( 11) ( 15) ( 15) ( 9) ( 15)  | -295.6        | -234.8E-3        | -827.7           | -5.485           | 971.8     | 6.948E-3  |
| 91                          | ( 15) ( 16) ( 10) ( 15) ( 15) ( 16) ( 10) ( 11) ( 15) ( 16) ( 16) ( 15) | -833.7        | -67.25           | -728.6           | -65.10           | 703.6     | -627.4    |
| 218 El 91                   | ( 15) ( 16) ( 16) ( 15) ( 16) ( 15) ( 10) ( 11) ( 15) ( 16) ( 16) ( 15) | -192.8        | 1.184            | 215.8            | -5.485           | -1.398E+3 | 7.641     |
| 46                          | ( 15) ( 16) ( 16) ( 15) ( 16) ( 15) ( 10) ( 11) ( 9) ( 9) ( 15) ( 16)   | -430.9        | -66.20           | 185.4            | -65.10           | -1.942E+3 | -358.2    |
| 219 El 47                   | ( 11) ( 12) ( 10) ( 11) ( 12) ( 11) ( 11) ( 10) ( 11) ( 12) ( 12) ( 11) | -276.4        | -235.8E-3        | 736.7            | 64.50            | -733.4    | 138.8E-3  |
| 92                          | ( 11) ( 12) ( 10) ( 11) ( 12) ( 11) ( 11) ( 10) ( 12) ( 11) ( 16) ( 11) | -516.9        | -67.30           | 890.1            | 5.347            | -982.2    | -626.8    |
| 220 El 92                   | ( 11) ( 12) ( 16) ( 11) ( 11) ( 12) ( 11) ( 10) ( 12) ( 11) ( 16) ( 11) | -449.1        | -67.30           | 890.1            | 5.347            | 1.467E+3  | -367.6    |
| 48                          | ( 11) ( 12) ( 16) ( 11) ( 11) ( 12) ( 11) ( 10) ( 9) ( 9) ( 11) ( 15)   | -193.8        | 1.198            | -162.0           | 64.50            | 0         | 238.0     |
| 215 El 90 15)               | -649.8  | -67.19        | -247.3           | 64.21            | 2.228E+3         | -360.9    |           |
| 216 El 4 11)                | -516.0  | -67.19        | -247.3           | 5.212            | 0                | 1.150     |           |

|                                |        |           |        |        |           |          |
|--------------------------------|--------|-----------|--------|--------|-----------|----------|
| Maximum values in this output: |        |           |        |        |           |          |
| 218 El 46 15)                  | -49.28 | -66.20    | 185.4  | -65.10 | 0         | 237.6    |
| 218 El 3 16)                   | -814.0 | 2.750     | 783.8  | 5.827  | -1.005E+3 | 3.892    |
| 215 El 3 15)                   | -782.4 | -66.06    | 831.1  | 64.21  | -1.108E+3 | -625.1   |
| 220 El 92 11)                  | -193.8 | -66.17    | -162.0 | 64.50  | 1.468E+3  | -397.6   |
| 215 El 90 15)                  | -649.8 | -67.19    | -247.3 | 64.21  | 2.228E+3  | -360.9   |
| 216 El 4 11)                   | -516.0 | -67.19    | -240.6 | 64.21  | 0         | 243.9    |
| Minimum values in this output: |        |           |        |        |           |          |
| 215 El 3 15)                   | -782.4 | -66.06    | 831.1  | 64.21  | -1.108E+3 | -625.1   |
| 219 El 47 11)                  | -276.4 | -235.8E-3 | 736.7  | 64.50  | -733.4    | 138.8E-3 |
| 213 El 1 11)                   | -781.1 | -66.10    | -808.3 | -64.81 | 1.078E+3  | -628.0   |
| 218 El 91 11)                  | -193.7 | -66.20    | -162.0 | -65.10 | -1.468E+3 | -358.2   |
| 214 El 89 11)                  | -666.3 | -67.20    | 240.5  | -64.81 | -2.165E+3 | -361.4   |
| 217 El 48 15)                  | -275.6 | -67.25    | -827.7 | -65.10 | 703.6     | -627.4   |

## BEAM & SPRING FORCE & MOMENT ENVELOPES

| Elem Load Mode no. case no. | Beam Property 13   |               |                  |                  |                  |   |   |
|-----------------------------|--|---------------|------------------|------------------|------------------|---|---|
|                             | Axial [kN] Fx  | Shear [kN] Fy | Torsion [kNm] Fz | Moment [kNm] Myy | Moment [kNm] Mzz |   |   |
| 167 El 51                   | ( 12) ( 11) ( 11) ( 10) ( 11) ( 9) ( 10) ( 11) ( 9) ( 9) ( 9) ( 9) | 1.750         | 16.608E-9        | -325.8E-3        | -39.31E-3        | 0 | 0 |
| 7                           | ( 12) ( 11) ( 11) ( 10) ( 11) ( 9) ( 10) ( 11) ( 9) ( 9) ( 9) ( 9) | -66.33        | 1.098E-9         | -325.8E-3        | -327.2E-3        | 0 | 0 |
| 168 El 53                   | ( 12) ( 11) ( 11) ( 10) ( 11) ( 9) ( 10) ( 11) ( 9) ( 9) ( 9) ( 9) | 3.866         | 9.694E-9         | 325.8E-3         | -36.38E-3        | 0 | 0 |
| 9                           | ( 12) ( 11) ( 11) ( 10) ( 11) ( 9) ( 10) ( 11) ( 9) ( 9) ( 9) ( 9) | -67.15        | 383.9E-12        | -325.8E-3        | -325.5E-3        | 0 | 0 |
| 169 El 54                   | ( 12) ( 11) ( 11) ( 10) ( 11) ( 9) ( 10) ( 11) ( 9) ( 9) ( 9) ( 9) | 4.912         | 4.679E-9         | -325.8E-3        | -35.86E-3        | 0 | 0 |
| 10                          | ( 12) ( 11) ( 11) ( 10) ( 11) ( 9) ( 10) ( 11) ( 9) ( 9) ( 9) ( 9) | -65.33        | 1.098E-9         | 325.8E-3         | -327.2E-3        | 0 | 0 |
| 170 El 95                   | ( 12) ( 11) ( 15) ( 9) ( 11) ( 9) ( 10) ( 11) ( 9) ( 9) ( 9) ( 9)  | 8.908         | 1.679E-9         | -325.8E-3        | -21.83E-3        | 0 | 0 |
| 11                          | ( 12) ( 11) ( 15) ( 9) ( 11) ( 9) ( 10) ( 11) ( 9) ( 9) ( 9) ( 9)  | -36.59        | -484.8E-12       | -325.8E-3        | -21.83E-3        | 0 | 0 |
| 171 El 86                   | ( 12) ( 11) ( 15) ( 9) ( 11) ( 9) ( 10) ( 11) ( 9) ( 9) ( 9) ( 9)  | 8.838         | 349.5E-12        | -325.8E-3        | -27.53E-3        | 0 | 0 |
| 12                          | ( 12) ( 11) ( 15) ( 9) ( 11) ( 9) ( 10) ( 11) ( 9) ( 9) ( 9) ( 9)  | -23.47        | -494.4E-12       | -325.8E-3        | -96.83E-3        | 0 | 0 |
| 172 El 57                   | ( 12) ( 11) ( 15) ( 9) ( 11) ( 9) ( 10) ( 11) ( 9) ( 9) ( 9) ( 9)  | 19.84         | -22.89E-12       | -325.8E-3        | 984.3E-6         | 0 | 0 |
| 13                          | ( 12) ( 11) ( 15) ( 9) ( 11) ( 9) ( 10) ( 11) ( 9) ( 9) ( 9) ( 9)  | 15.09         | -204.7E-12       | -325.8E-3        | -82.12E-3        | 0 | 0 |
| 173 El 98                   | ( 9) ( 15) ( 12) ( 11) ( 11) ( 9) ( 15) ( 9) ( 9) ( 9) ( 9) ( 9)   | 19.84         | -22.89E-12       | -325.8E-3        | 984.3E-6         | 0 | 0 |
| 14                          | ( 9) ( 15) ( 12) ( 11) ( 11) ( 9) ( 15) ( 9) ( 9) ( 9) ( 9) ( 9)   | 10.09         | -204.7E-12       | -325.8E-3        | -82.12E-3        | 0 | 0 |
| 174 El 59                   | ( 9) ( 15) ( 12) ( 11) ( 11) ( 9) ( 11) ( 10) ( 9) ( 9) ( 9) ( 9)  | 19.77         | 214.1E-12        | -325.8E-3        | 82.23E-3         | 0 | 0 |
| 15                          | ( 9) ( 15) ( 12) ( 11) ( 11) ( 9) ( 11) ( 10) ( 9) ( 9) ( 9) ( 9)  | 10.07         | -17.89E-12       | -325.8E-3        | -530.9E-6        | 0 | 0 |
| 175 El 80                   | ( 9) ( 15) ( 12) ( 11) ( 11) ( 9) ( 11) ( 10) ( 9) ( 9) ( 9) ( 9)  | 5.696         | 489.3E-12        | -325.8E-3        | 218.3E-3         | 0 | 0 |
| 16                          | ( 9) ( 15) ( 12) ( 11) ( 11) ( 9) ( 11) ( 10) ( 9) ( 9) ( 9) ( 9)  | -36.64        | -1.723E-9        | 325.8E-3         | 10.56E-3         | 0 | 0 |
| 176 El 61                   | ( 9) ( 15) ( 12) ( 11) ( 11) ( 9) ( 11) ( 10) ( 9) ( 9) ( 9) ( 9)  | 4.688         | 162.1E-12        | -325.8E-3        | 277.6E-3         | 0 | 0 |
| 17                          | ( 9) ( 15) ( 12) ( 11) ( 11) ( 9) ( 11) ( 10) ( 9) ( 9) ( 9) ( 9)  | -46.11        | -4.729E-9        | 325.8E-3         | 35.68E-3         | 0 | 0 |
| 177 El 62                   | ( 9) ( 15) ( 10) ( 11) ( 11) ( 9) ( 11) ( 10) ( 9) ( 9) ( 9) ( 9)  | 3.338         | -401.9E-12       | -325.8E-3        | 325.4E-3         | 0 | 0 |
| 18                          | ( 9) ( 15) ( 10) ( 11) ( 11) ( 9) ( 11) ( 10) ( 9) ( 9) ( 9) ( 9)  | -57.19        | -9.740E-9        | 325.8E-3         | 36.12E-3         | 0 | 0 |
| 178 El 52                   | ( 9) ( 15) ( 10) ( 11) ( 11) ( 9) ( 11) ( 10) ( 9) ( 9) ( 9) ( 9)  | 1.966         | -1.112E-9        | -325.8E-3        | 327.3E-3         | 0 | 0 |
| 8                           | ( 9) ( 15) ( 10) ( 11) ( 11) ( 9) ( 11) ( 10) ( 9) ( 9) ( 9) ( 9)  | -65.33        | -16.68E-9        | 325.8E-3         | 35.15E-3         | 0 | 0 |
| 340 El 97                   | ( 10) ( 11) ( 10) ( 11) ( 11) ( 9) ( 11) ( 10) ( 9) ( 9) ( 9) ( 9) | -90.49E-3     | -2.499E-9        | -325.8E-3        | 272.3E-3         | 0 | 0 |
| 98                          | ( 10) ( 11) ( 10) ( 11) ( 11) ( 9) ( 11) ( 10) ( 9) ( 9) ( 9) ( 9) | -1.929        | -28.47E-9        | -325.8E-3        | 34.14E-3         | 0 | 0 |
| 341 El 117                  | ( 9) ( 15) ( 10) ( 11) ( 11) ( 9) ( 11) ( 10) ( 9) ( 9) ( 9) ( 9)  | 465.3E-3      | -2.019E-9        | -325.8E-3        | 271.1E-3         | 0 | 0 |
| 119                         | ( 9) ( 15) ( 10) ( 11) ( 11) ( 9) ( 11) ( 10) ( 9) ( 9) ( 9) ( 9)  | -1.777        | -24.59E-9        | -325.8E-3        | 32.62E-3         | 0 | 0 |
| 342 El 93                   | ( 16) ( 15) ( 10) ( 11) ( 11) ( 9) ( 11) ( 10) ( 9) ( 9) ( 9) ( 9) | 1.487         | -1.920E-9        | -325.8E-3        | 269.0E-3         | 0 | 0 |
| 94                          | ( 16) ( 15) ( 10) ( 11) ( 11) ( 9) ( 11) ( 10) ( 9) ( 9) ( 9) ( 9) | -1.133        | -23.76E-9        | -325.8E-3        | 11.91E-3         | 0 | 0 |
|                             |  | 1.487         | -1.920E-9        | -325.8E-3        | 269.0E-3         | 0 | 0 |
|                             |  | -1.133        | -23.76E-9        | -325.8E-3        | 11.91E-3         | 0 | 0 |

KOC UNIVERSITESI

SPOR SALONU

CELIK CATI ANA MAKASLARI t.seh

|           |           |         |
|-----------|-----------|---------|
| Job No.   | Sheet No. | Rev.    |
| 38035     |           |         |
| Drg. Ref. |           |         |
| Made by   | Date      | Checked |
| SK        | 06-May-98 |         |

BEAM & SPRING FORCE & MOMENT ENVELOPES

| Elem Load Node no. case no.    | Axial [kN] Fx  | Shear [kN] Fy | Torsion [kNm] Mxx | Beam Property 13 |                  |   |   |
|--------------------------------|--|---------------|-------------------|------------------|------------------|---|---|
|                                |  |               |                   | Moment [kNm] Myy | Moment [kNm] Mzz |   |   |
| 344 El 100                     | ( 10) ( 15) ( 15) ( 10) ( 9) ( 11) ( 10) ( 15) ( 9) ( 9) ( 9) ( 9) | -76.98E-3     | 28.46E-9          | -325.8E-3        | -34.57E-3        | 0 | 0 |
| 99                             | ( 10) ( 15) ( 15) ( 10) ( 9) ( 11) ( 10) ( 15) ( 9) ( 9) ( 9) ( 9) | -1.73E        | 2.49E-9           | -325.8E-3        | -275.1E-3        | 0 | 0 |
| 345 El 131                     | ( 16) ( 11) ( 11) ( 10) ( 9) ( 9) ( 10) ( 15) ( 9) ( 9) ( 9) ( 9)  | 347.3E-3      | 24.56E-9          | -325.8E-3        | -33.02E-3        | 0 | 0 |
| 132                            | ( 16) ( 11) ( 11) ( 10) ( 9) ( 9) ( 10) ( 15) ( 9) ( 9) ( 9) ( 9)  | -1.377        | 2.01E-9           | -325.8E-3        | -275.1E-3        | 0 | 0 |
| 346 El 96                      | ( 16) ( 11) ( 11) ( 10) ( 9) ( 9) ( 10) ( 15) ( 9) ( 9) ( 9) ( 9)  | 805.3E-3      | 23.68E-9          | -325.8E-3        | -32.16E-3        | 0 | 0 |
| 95                             | ( 16) ( 11) ( 11) ( 10) ( 9) ( 9) ( 10) ( 15) ( 9) ( 9) ( 9) ( 9)  | -1.729        | 1.91E-9           | -325.8E-3        | -274.1E-3        | 0 | 0 |
| Maximum values in this output: |  |               |                   |                  |                  |   |   |
| Lc.                            |  |               |                   |                  |                  |   |   |
| 172 El 87 123                  | 19.84  | -195.8E-12    | -325.8E-3         | 984.3E-6         | 0                | 0 | 0 |
| 344 El 100 181                 | -1.73E   | 28.46E-9      | -325.8E-3         | -275.1E-3        | 0                | 0 | 0 |
| 170 El 11 111                  | -36.89   | -1.67E-9      | -325.8E-3         | -218.3E-3        | 0                | 0 | 0 |
| 178 El 52 111                  | -65.28   | -1.69E-9      | -325.8E-3         | -327.3E-3        | 0                | 0 | 0 |
| 167 El 51 91                   | 1.562  | 1.25E-9       | -325.8E-3         | -40.04E-3        | 0                | 0 | 0 |
| 167 El 51 91                   | 1.562  | 1.25E-9       | -325.8E-3         | -40.04E-3        | 0                | 0 | 0 |
| Minimum values in this output: |  |               |                   |                  |                  |   |   |
| Lc.                            |  |               |                   |                  |                  |   |   |
| 167 El 51 111                  | -65.31   | 16.60E-9      | -325.8E-3         | -327.2E-3        | 0                | 0 | 0 |
| 340 El 97 111                  | -1.929   | -28.47E-9     | -325.8E-3         | 272.3E-3         | 0                | 0 | 0 |
| 344 El 100 111                 | -1.737   | 28.46E-9      | -325.8E-3         | -275.0E-3        | 0                | 0 | 0 |
| 167 El 51 111                  | -65.31   | 16.60E-9      | -325.8E-3         | -327.2E-3        | 0                | 0 | 0 |
| 167 El 51 91                   | 1.562  | 1.25E-9       | -325.8E-3         | -40.04E-3        | 0                | 0 | 0 |
| 167 El 51 91                   | 1.562  | 1.25E-9       | -325.8E-3         | -40.04E-3        | 0                | 0 | 0 |

BEAM & SPRING FORCE & MOMENT ENVELOPES

| Elem Load Node no. case no.    | Axial [kN] Fx  | Shear [kN] Fy | Torsion [kNm] Mxx | Beam Property 14 |                  |            |            |
|--------------------------------|--|---------------|-------------------|------------------|------------------|------------|------------|
|                                |  |               |                   | Moment [kNm] Myy | Moment [kNm] Mzz |            |            |
| 188 El 14                      | ( 15) ( 9) ( 16) ( 12) ( 9) ( 16) ( 10) ( 9) ( 9) ( 11) ( 16) ( 9)       | 19.20         | -29.60E-9         | -190.6E-3        | -12.52E-3        | -116.4E-12 | 9.09E-12   |
| 99                             | ( 15) ( 9) ( 16) ( 12) ( 9) ( 16) ( 10) ( 9) ( 9) ( 11) ( 16) ( 9)       | -9.97E        | -126.7E-9         | -190.6E-3        | -14.41E-3        | -131.0E-12 | 7.27E-12   |
| 189 El 15                      | ( 15) ( 9) ( 9) ( 9) ( 10) ( 9) ( 10) ( 11) ( 9) ( 10) ( 10) ( 11)       | 51.03         | 238.4E-9          | -190.2E-3        | -8.407E-3        | 86.21E-12  | -26.19E-12 |
| 60                             | ( 15) ( 9) ( 9) ( 9) ( 10) ( 9) ( 10) ( 11) ( 9) ( 10) ( 10) ( 11)       | -10.5E        | 238.4E-9          | -190.2E-3        | -10.39E-3        | 86.93E-12  | -40.02E-12 |
| 190 El 16                      | ( 15) ( 9) ( 11) ( 11) ( 16) ( 9) ( 15) ( 9) ( 9) ( 9) ( 10) ( 9)        | 51.01         | 238.4E-9          | -190.2E-3        | -8.407E-3        | 86.21E-12  | -26.19E-12 |
| 91                             | ( 15) ( 9) ( 11) ( 11) ( 16) ( 9) ( 15) ( 9) ( 9) ( 9) ( 10) ( 9)        | -10.5E        | 238.4E-9          | -190.2E-3        | -10.38E-3        | 86.93E-12  | -40.02E-12 |
| Maximum values in this output: |  |               |                   |                  |                  |            |            |
| Lc.                            |  |               |                   |                  |                  |            |            |
| 191 El 17                      | ( 15) ( 9) ( 10) ( 16) ( 16) ( 9) ( 15) ( 9) ( 9) ( 11) ( 12) ( 9) ( 10) | 84.47         | 931.3E-12         | -188.8E-3        | -1.79E-3         | 116.4E-12  | -14.95E-12 |
| 62                             | ( 15) ( 9) ( 10) ( 16) ( 16) ( 9) ( 15) ( 9) ( 9) ( 11) ( 12) ( 9) ( 10) | -7.07E        | -1.02E-6          | -188.8E-3        | -8.21E-3         | -7.27E-12  | -21.83E-12 |
| 192 El 18                      | ( 15) ( 9) ( 10) ( 16) ( 16) ( 9) ( 15) ( 9) ( 9) ( 11) ( 12) ( 9) ( 10) | 104.4         | 29.80E-9          | -187.7E-3        | 1.25E-3          | -29.10E-12 | 29.10E-12  |
| 52                             | ( 15) ( 9) ( 10) ( 16) ( 16) ( 9) ( 15) ( 9) ( 9) ( 11) ( 12) ( 9) ( 10) | -4.44E        | -1.147E-6         | -187.7E-3        | -1.53E-3         | -36.38E-12 | 0          |
| 193 El 8                       | ( 15) ( 9) ( 9) ( 11) ( 9) ( 16) ( 11) ( 10) ( 10) ( 11) ( 10) ( 11)     | 108.3         | 37.25E-9          | -169.5E-3        | 6.150E-3         | 3.63E-12   | 1.819E-12  |
| 50                             | ( 15) ( 9) ( 9) ( 11) ( 9) ( 16) ( 11) ( 10) ( 10) ( 11) ( 10) ( 11)     | -1.371        | -3.777E-6         | -169.5E-3        | -3.67E-3         | -145.9E-12 | -36.38E-12 |
| 343 El 98                      | ( 9) ( 15) ( 9) ( 16) ( 16) ( 9) ( 15) ( 10) ( 15) ( 10) ( 9) ( 11)      | 234.5E-3      | 12.11E-9          | -164.2E-3        | 11.69E-3         | 480.3E-12  | 0          |
| 117                            | ( 9) ( 15) ( 9) ( 16) ( 16) ( 9) ( 15) ( 10) ( 15) ( 10) ( 9) ( 11)      | -650.8E-3     | -821.0E-9         | -164.2E-3        | 934.4E-6         | 12.73E-12  | -116.4E-12 |
| 347 El 100                     | ( 12) ( 11) ( 12) ( 16) ( 9) ( 16) ( 10) ( 11) ( 9) ( 10) ( 12) ( 9)     | 215.3E-3      | -6.40E-9          | -164.2E-3        | -1.31E-3         | 43.66E-12  | 3.86E-12   |
| 132                            | ( 12) ( 11) ( 12) ( 16) ( 9) ( 16) ( 10) ( 11) ( 9) ( 10) ( 12) ( 9)     | -1.079        | -826.7E-9         | -164.2E-3        | -12.16E-3        | 32.74E-12  | 3.63E-12   |
| Maximum values in this output: |  |               |                   |                  |                  |            |            |
| Lc.                            |  |               |                   |                  |                  |            |            |
| 180 El 7 111                   | 105.4  | -1.82E-6      | 169.5E-3          | -6.07E-3         | -97.31E-12       | 21.83E-12  | 0          |
| 181 El 51 111                  | 104.2  | 3.81E-6       | -187.7E-3         | -6.07E-3         | -97.31E-12       | 21.83E-12  | 0          |
| 186 El 14 111                  | -30.24   | 59.60E-9      | 190.7E-3          | 5.00E-3          | 0                | 0          | 0          |
| 185 El 96 121                  | -10.22   | 0             | -190.6E-3         | 14.48E-3         | -3.63E-12        | 14.95E-12  | 0          |
| 343 El 98 181                  | 650.8E-3   | -17.71E-9     | -188.8E-3         | 11.69E-3         | 480.3E-12        | -116.4E-12 | 0          |
| 192 El 53 151                  | 84.22  | 183.3E-9      | -188.8E-3         | 1.91E-3          | -147.7E-12       | 30.20E-12  | 0          |
| Minimum values in this output: |  |               |                   |                  |                  |            |            |
| Lc.                            |  |               |                   |                  |                  |            |            |
| 186 El 57 181                  | -30.26   | 59.60E-9      | -190.7E-3         | 5.00E-3          | 0                | 0          | 0          |
| 180 El 49 151                  | 105.2  | -1.82E-6      | -169.5E-3         | -6.07E-3         | -97.18E-12       | 21.90E-12  | 0          |
| 188 El 57 91                   | -26.43   | 0             | 190.6E-3          | 6.714E-3         | -39.10E-12       | 0          | 0          |
| 188 El 14 91                   | -9.97E   | -126.7E-9     | -190.6E-3         | -14.41E-3        | -131.0E-12       | 7.27E-12   | 0          |
| 182 El 53 121                  | -7.537   | 193.7E-9      | -188.8E-3         | -14.77E-3        | -152.8E-12       | 3.63E-12   | 0          |
| 343 El 98 111                  | -650.8E-3  | -17.70E-9     | -164.2E-3         | 11.69E-3         | 480.2E-12        | -116.4E-12 | 0          |

BEAM & SPRING FORCE & MOMENT ENVELOPES

| Elem Load Node no. case no. | Axial [kN] Fx  | Shear [kN] Fy | Torsion [kNm] Mxx | Beam Property 14 |                  |            |            |
|-----------------------------|--|---------------|-------------------|------------------|------------------|------------|------------|
|                             |  |               |                   | Moment [kNm] Myy | Moment [kNm] Mzz |            |            |
| 180 El 49                   | ( 11) ( 12) ( 9) ( 15) ( 11) ( 16) ( 10) ( 11) ( 10) ( 11) ( 11) ( 9)      | 105.3         | -7.451E-9         | -169.5E-3        | -3.69E-3         | -21.83E-12 | 21.90E-12  |
| 7                           | ( 11) ( 12) ( 9) ( 15) ( 11) ( 16) ( 10) ( 11) ( 10) ( 11) ( 11) ( 9)      | -1.70E        | -3.82E-6          | -169.5E-3        | -6.07E-3         | -87.31E-12 | 7.27E-12   |
| 181 El 51                   | ( 11) ( 12) ( 11) ( 16) ( 16) ( 11) ( 12) ( 11) ( 9) ( 11) ( 10) ( 9)      | 104.2         | 3.81E-6           | -187.7E-3        | -1.74E-3         | 14.58E-12  | 1.819E-12  |
| 9                           | ( 11) ( 12) ( 11) ( 16) ( 16) ( 11) ( 12) ( 11) ( 9) ( 11) ( 10) ( 9)      | -1.69E        | -6.8E-9           | -187.7E-3        | -1.59E-3         | -101.9E-12 | 0          |
| 182 El 53                   | ( 11) ( 12) ( 12) ( 16) ( 9) ( 16) ( 10) ( 11) ( 10) ( 12) ( 13) ( 9)      | 84.34         | 193.7E-9          | -188.8E-3        | 8.477E-3         | -141.9E-12 | 30.20E-12  |
| 10                          | ( 11) ( 12) ( 12) ( 16) ( 9) ( 16) ( 10) ( 11) ( 10) ( 12) ( 13) ( 9)      | -7.483        | -521.5E-9         | -188.8E-3        | 1.84E-3          | -152.8E-12 | 0          |
| 183 El 54                   | ( 11) ( 12) ( 12) ( 16) ( 16) ( 11) ( 12) ( 11) ( 16) ( 9) ( 11) ( 12)     | 65.8E         | 327.8E-9          | -189.6E-3        | 6.394E-3         | 29.10E-12  | 7.27E-12   |
| 11                          | ( 11) ( 12) ( 12) ( 16) ( 16) ( 11) ( 12) ( 11) ( 16) ( 9) ( 11) ( 12)     | -9.91E        | 0                 | -189.6E-3        | 6.03E-3          | 0          | -9.09E-12  |
| 184 El 55                   | ( 11) ( 12) ( 16) ( 16) ( 9) ( 16) ( 9) ( 15) ( 10) ( 9) ( 10) ( 11) ( 12) | 50.94         | -327.8E-9         | -190.2E-3        | 10.42E-3         | -116.4E-12 | -54.57E-12 |
| 12                          | ( 11) ( 12) ( 16) ( 16) ( 9) ( 16) ( 9) ( 15) ( 10) ( 9) ( 10) ( 11) ( 12) | -10.9E        | -417.2E-9         | -190.2E-3        | 8.83E-3          | -131.0E-12 | -59.12E-12 |
| 185 El 56                   | ( 11) ( 12) ( 10) ( 11) ( 9) ( 11) ( 12) ( 10) ( 11) ( 10) ( 9) ( 10)      | 19.24         | 14.90E-9          | -190.6E-3        | 14.48E-3         | 14.58E-12  | 14.58E-12  |
| 13                          | ( 11) ( 12) ( 10) ( 11) ( 9) ( 11) ( 12) ( 10) ( 11) ( 10) ( 9) ( 10)      | -10.21        | -993.7E-9         | -190.6E-3        | 12.91E-3         | -29.10E-12 | 12.73E-12  |
| 186 El 57                   | ( 10) ( 15) ( 11) ( 16) ( 11) ( 9) ( 9) ( 10) ( 11) ( 11) ( 10) ( 9) ( 9)  | -24.97        | 59.60E-9          | -190.7E-3        | 5.714E-3         | 0          | 0          |
| 14                          | ( 10) ( 15) ( 11) ( 16) ( 11) ( 9) ( 9) ( 10) ( 11) ( 11) ( 10) ( 9) ( 9)  | -30.26        | -596.0E-9         | -190.7E-3        | 4.807E-3         | -58.21E-12 | 0          |
| 187 El 58                   | ( 10) ( 11) ( 10) ( 16) ( 11) ( 9) ( 9) ( 10) ( 12) ( 10) ( 9) ( 9) ( 9)   | -24.81        | 29.80E-9          | -190.7E-3        | -4.809E-3        | 265.6E-12  | 0          |
| 13                          | ( 10) ( 11) ( 10) ( 16) ( 11) ( 9) ( 9) ( 10) ( 12) ( 10) ( 9) ( 9) ( 9)   | -30.2E        | -536.4E-9         | -190.7E-3        | -5.721E-3        | 232.6E-12  | 0          |
| 188 El 59                   | ( 10) ( 11) ( 10) ( 16) ( 11) ( 9) ( 9) ( 10) ( 12) ( 10) ( 9) ( 9) ( 9)   | -24.81        | 29.80E-9          | -190.7E-3        | -4.809E-3        | 265.6E-12  | 0          |
| 13                          | ( 10) ( 11) ( 10) ( 16) ( 11) ( 9) ( 9) ( 10) ( 12) ( 10) ( 9) ( 9) ( 9)   | -30.2E        | -536.4E-9         | -190.7E-3        | -5.721E-3        | 232.6E-12  | 0          |

BEAM & SPRING FORCE & MOMENT ENVELOPES

| Elem Load Node no. case no. | Axial [kN] Fx  | Shear [kN] Fy | Torsion [kNm] Mxx | Beam Property 15 |                  |   |   |
|-----------------------------|--|---------------|-------------------|------------------|------------------|---|---|
|                             |  |               |                   | Moment [kNm] Myy | Moment [kNm] Mzz |   |   |
| 194 El 77                   | ( 12) ( 11) ( 11) ( 10) ( 9) ( 9) ( 10) ( 15) ( 9) ( 9) ( 9) ( 9)  | 609.7E-3      | 19.71E-9          | -325.8E-3        | -34.76E-3        | 0 | 0 |
| 33                          | ( 12) ( 11) ( 11) ( 10) ( 9) ( 9) ( 10) ( 15) ( 9) ( 9) ( 9) ( 9)  | -14.57        | 1.434E-9          | -325.8E-3        | -336.4E-3        | 0 | 0 |
| 195 El 79                   | ( 12) ( 11) ( 11) ( 10) ( 11) ( 9) ( 10) ( 15) ( 9) ( 9) ( 9) ( 9) | 609.7E-3      | 19.71E-9          | -325.8E-3        | -34.76E-3        | 0 | 0 |
| 35                          | ( 12) ( 11) ( 11) ( 10) ( 11) ( 9) ( 10) ( 15) ( 9) ( 9) ( 9) ( 9) | -14.57        | 1.434E-9          | -325.8E-3        | -336.4E-3        | 0 | 0 |
| 196 El 80                   | ( 12) ( 11) ( 11) ( 10) ( 11) ( 9) ( 10) ( 15) ( 9) ( 9) ( 9) ( 9) | 916.7E-3      | 7.08E-9           | -325.8E-3        | -36.30E-3        | 0 | 0 |
| 36                          | ( 12) ( 11) ( 11) ( 10) ( 11) ( 9) ( 10) ( 15) ( 9) ( 9) ( 9) ( 9) | -13.6E        | 116.4E-12         | -325.8E-3        | -311.4E-3        | 0 | 0 |

**KOC UNIVERSITESI**

SPOR SALONU

CELIK CATI ANA MAKASLARI t. seh

|           |           |         |
|-----------|-----------|---------|
| Job No.   | Sheet No. | Rev.    |
| 38035     |           |         |
| Drg. Ref. |           |         |
| Made by   | Date      | Checked |
| SK        | 06-May-98 |         |

**BEAM & SPRING FORCE & MOMENT ENVELOPES**

| Elem no. | Load case no. | Node no. | Beam Property 15                                       |                  |                     |                     |                     |    |
|----------|---------------|----------|--|------------------|---------------------|---------------------|---------------------|----|
|          |               |          | Axial [kN]<br>Fx                                       | Shear [kN]<br>Fy | Torsion [kNm]<br>Fz | Moment [kNm]<br>Myy | Moment [kNm]<br>Mzz |    |
| 197      | E1            | 82       | (12) (11) (11) (12) (11) (9) (10) (11) (9) (9) (9) (9) | 1.163 3.088E-9   | -328.8E-3           | -34.20E-3           | .0                  | .0 |
| 37       | E1            | 37       | (12) (11) (11) (12) (11) (9) (10) (11) (9) (9) (9) (9) | 1.163 3.088E-9   | -328.8E-3           | -34.20E-3           | .0                  | .0 |
| 198      | E1            | 82       | (12) (11) (15) (9) (11) (9) (10) (11) (9) (9) (9) (9)  | 1.282 888.7E-12  | -328.8E-3           | -37.27E-3           | .0                  | .0 |
| 38       | E1            | 38       | (12) (11) (15) (9) (11) (9) (10) (11) (9) (9) (9) (9)  | 1.282 888.7E-12  | -328.8E-3           | -37.27E-3           | .0                  | .0 |
| 199      | E1            | 83       | (12) (11) (15) (9) (11) (9) (10) (11) (9) (9) (9) (9)  | 4.431 191.1E-12  | -328.8E-3           | -16.40E-3           | .0                  | .0 |
| 39       | E1            | 39       | (12) (11) (15) (9) (11) (9) (10) (11) (9) (9) (9) (9)  | 4.431 191.1E-12  | -328.8E-3           | -16.40E-3           | .0                  | .0 |
| 200      | E1            | 63       | (12) (11) (12) (11) (11) (9) (14) (16) (9) (9) (9) (9) | 4.077 9.462E-12  | -328.8E-3           | 307.9E-6            | .0                  | .0 |
| 19       | E1            | 19       | (12) (11) (12) (11) (11) (9) (14) (16) (9) (9) (9) (9) | 4.077 9.462E-12  | -328.8E-3           | 307.9E-6            | .0                  | .0 |
| 201      | E1            | 84       | (9) (15) (12) (11) (11) (9) (15) (10) (9) (9) (9) (9)  | 4.406 378.7E-12  | -328.8E-3           | 89.18E-3            | .0                  | .0 |
| 40       | E1            | 40       | (9) (15) (12) (11) (11) (9) (15) (10) (9) (9) (9) (9)  | 4.406 378.7E-12  | -328.8E-3           | 89.18E-3            | .0                  | .0 |
| 202      | E1            | 85       | (9) (15) (12) (11) (11) (9) (15) (10) (9) (9) (9) (9)  | 1.241 499.0E-12  | -328.8E-3           | 177.4E-3            | .0                  | .0 |
| 41       | E1            | 41       | (9) (15) (12) (11) (11) (9) (15) (10) (9) (9) (9) (9)  | 1.241 499.0E-12  | -328.8E-3           | 177.4E-3            | .0                  | .0 |
| 203      | E1            | 86       | (9) (15) (12) (11) (11) (9) (15) (10) (9) (9) (9) (9)  | 1.116 334.5E-12  | -328.8E-3           | 253.2E-3            | .0                  | .0 |
| 42       | E1            | 42       | (9) (15) (12) (11) (11) (9) (15) (10) (9) (9) (9) (9)  | 1.116 334.5E-12  | -328.8E-3           | 253.2E-3            | .0                  | .0 |
| 204      | E1            | 87       | (9) (15) (16) (11) (11) (9) (11) (10) (9) (9) (9) (9)  | 868.0E-3         | -134.4E-12          | 311.4E-3            | .0                  | .0 |
| 43       | E1            | 43       | (9) (15) (16) (11) (11) (9) (11) (10) (9) (9) (9) (9)  | 868.0E-3         | -134.4E-12          | 311.4E-3            | .0                  | .0 |
| 205      | E1            | 88       | (9) (15) (10) (11) (11) (9) (11) (10) (9) (9) (9) (9)  | 594.8E-3         | -759.6E-12          | 342.3E-3            | .0                  | .0 |
| 44       | E1            | 44       | (9) (15) (10) (11) (11) (9) (11) (10) (9) (9) (9) (9)  | 594.8E-3         | -759.6E-12          | 342.3E-3            | .0                  | .0 |
| 206      | E1            | 78       | (10) (15) (10) (11) (11) (9) (11) (10) (9) (9) (9) (9) | 536.5E-3         | -1.447E-9           | 336.5E-3            | .0                  | .0 |
| 34       | E1            | 34       | (10) (15) (10) (11) (11) (9) (11) (10) (9) (9) (9) (9) | 536.5E-3         | -1.447E-9           | 336.5E-3            | .0                  | .0 |

Maximum values in this output:  
LC.

|     |    |    |       |            |           |           |           |    |
|-----|----|----|-------|------------|-----------|-----------|-----------|----|
| 199 | E1 | 83 | 4.431 | -364.1E-12 | -328.8E-3 | -18.47E-3 | .0        | .0 |
| 194 | E1 | 77 | 11.57 | -19.72E-9  | -328.8E-3 | -336.2E-3 | .0        | .0 |
| 198 | E1 | 38 | 11.1  | -8.79E     | -328.8E-3 | -177.4E-3 | .0        | .0 |
| 205 | E1 | 88 | 16.13 | -13.19E-9  | -328.8E-3 | 342.3E-3  | .0        | .0 |
| 194 | E1 | 77 | 91    | 564.4E-3   | 1.637E-9  | -328.8E-3 | -39.48E-3 | .0 |
| 194 | E1 | 77 | 91    | 564.4E-3   | 1.637E-9  | -328.8E-3 | -39.48E-3 | .0 |

Minimum values in this output:  
LC.

|     |    |    |       |           |           |           |           |    |
|-----|----|----|-------|-----------|-----------|-----------|-----------|----|
| 205 | E1 | 88 | 16.14 | -13.19E-9 | -328.8E-3 | 342.3E-3  | .0        | .0 |
| 206 | E1 | 78 | 11.1  | -19.76E-9 | -328.8E-3 | 336.5E-3  | .0        | .0 |
| 194 | E1 | 77 | 91    | 564.4E-3  | 1.637E-9  | -328.8E-3 | -39.48E-3 | .0 |
| 195 | E1 | 79 | 15    | -16.12    | 13.14E-9  | -328.8E-3 | -342.3E-3 | .0 |
| 194 | E1 | 77 | 91    | 564.4E-3  | 1.637E-9  | -328.8E-3 | -39.48E-3 | .0 |
| 194 | E1 | 77 | 91    | 564.4E-3  | 1.637E-9  | -328.8E-3 | -39.48E-3 | .0 |

**BEAM & SPRING FORCE & MOMENT ENVELOPES**

| Elem no. | Load case no. | Node no. | Beam Property 16                                    |                  |                     |                     |                     |    |
|----------|---------------|----------|---|------------------|---------------------|---------------------|---------------------|----|
|          |               |          | Axial [kN]<br>Fx                                    | Shear [kN]<br>Fy | Torsion [kNm]<br>Fz | Moment [kNm]<br>Myy | Moment [kNm]<br>Mzz |    |
| 166      | E1            | 49       | (16) (11) (9) (9) (9) (9) (10) (15) (9) (9) (9) (9) | 4.825            | .0                  | -456.4E-3           | -93.6E-3            | .0 |
| 8        | E1            | 8        | (16) (11) (9) (9) (9) (9) (10) (15) (9) (9) (9) (9) | 4.825            | .0                  | -456.4E-3           | -93.6E-3            | .0 |
| 179      | E1            | 50       | (16) (15) (9) (9) (9) (9) (11) (10) (9) (9) (9) (9) | 4.972            | .0                  | -456.4E-3           | 761.9E-3            | .0 |
| 6        | E1            | 6        | (16) (15) (9) (9) (9) (9) (11) (10) (9) (9) (9) (9) | 4.972            | .0                  | -456.4E-3           | 761.9E-3            | .0 |
| 207      | E1            | 2        | (11) (16) (9) (9) (9) (9) (10) (15) (9) (9) (9) (9) | 8.219            | .0                  | -456.4E-3           | -89.8E-3            | .0 |
| 46       | E1            | 46       | (11) (15) (9) (9) (9) (9) (10) (15) (9) (9) (9) (9) | 3.675            | .0                  | -456.4E-3           | -758.7E-3           | .0 |
| 208      | E1            | 4        | (15) (16) (9) (9) (9) (9) (11) (10) (9) (9) (9) (9) | 4.115            | .0                  | -456.4E-3           | 89.28E-3            | .0 |
| 48       | E1            | 48       | (15) (16) (9) (9) (9) (9) (11) (10) (9) (9) (9) (9) | 4.115            | .0                  | -456.4E-3           | 89.28E-3            | .0 |

Maximum values in this output:  
LC.

|     |    |    |       |    |           |           |    |    |
|-----|----|----|-------|----|-----------|-----------|----|----|
| 208 | E1 | 4  | 8.729 | .0 | -456.4E-3 | 762.3E-3  | .0 | .0 |
| 166 | E1 | 49 | 4.033 | .0 | -456.4E-3 | -105.9E-3 | .0 | .0 |
| 166 | E1 | 5  | 4.033 | .0 | -456.4E-3 | -105.9E-3 | .0 | .0 |
| 166 | E1 | 4  | 4.033 | .0 | -456.4E-3 | -105.9E-3 | .0 | .0 |
| 166 | E1 | 49 | 4.033 | .0 | -456.4E-3 | -105.9E-3 | .0 | .0 |

Minimum values in this output:  
LC.

|     |    |    |        |    |           |           |    |    |
|-----|----|----|--------|----|-----------|-----------|----|----|
| 179 | E1 | 50 | -20.45 | .0 | -456.4E-3 | 761.9E-3  | .0 | .0 |
| 166 | E1 | 49 | 4.033  | .0 | -456.4E-3 | -105.9E-3 | .0 | .0 |
| 166 | E1 | 49 | 4.033  | .0 | -456.4E-3 | -105.9E-3 | .0 | .0 |
| 166 | E1 | 49 | 4.033  | .0 | -456.4E-3 | -105.9E-3 | .0 | .0 |
| 166 | E1 | 49 | 4.033  | .0 | -456.4E-3 | -105.9E-3 | .0 | .0 |

**BEAM & SPRING FORCE & MOMENT ENVELOPES**

| Elem no. | Load case no. | Node no. | Beam Property 17  |                  |                     |                     |                     |          |
|----------|---------------|----------|---|------------------|---------------------|---------------------|---------------------|----------|
|          |               |          | Axial [kN]<br>Fx  | Shear [kN]<br>Fy | Torsion [kNm]<br>Fz | Moment [kNm]<br>Myy | Moment [kNm]<br>Mzz |          |
| 209      | E1            | 5        | (11) (12) (11) (12) (9) (9) (10) (11) (9) (9) (9) (9)       | 109.1            | -98.30E-9           | -888.5E-3           | -173.9E-3           | .0       |
| 46       | E1            | 46       | (11) (12) (11) (12) (9) (9) (10) (11) (9) (9) (9) (9)       | 104.2            | -98.30E-9           | -888.5E-3           | -173.9E-3           | .0       |
| 210      | E1            | 2        | (10) (11) (15) (10) (11) (9) (16) (15) (9) (9) (9) (9)      | -2.31E           | 851.2E-9            | -888.5E-3           | -1.660              | .0       |
| 49       | E1            | 49       | (10) (11) (15) (10) (11) (9) (16) (15) (9) (9) (9) (9)      | -1.427           | 851.2E-9            | -888.5E-3           | -1.660              | .0       |
| 211      | E1            | 4        | (10) (15) (10) (11) (11) (9) (11) (16) (9) (9) (9) (9)      | -1.868           | -295.4E-9           | -888.5E-3           | 1.668               | .0       |
| 50       | E1            | 50       | (10) (15) (10) (11) (11) (9) (11) (16) (9) (9) (9) (9)      | -1.868           | -295.4E-9           | -888.5E-3           | 1.668               | .0       |
| 212      | E1            | 6        | (15) (16) (9) (15) (9) (9) (15) (10) (9) (9) (9) (9)        | 105.9            | 296.0E-9            | -888.5E-3           | 1.750               | .0       |
| 48       | E1            | 48       | (15) (16) (9) (15) (9) (9) (15) (10) (9) (9) (9) (9)        | 105.9            | 296.0E-9            | -888.5E-3           | 1.750               | .0       |
| 348      | E1            | 4        | (10) (11) (11) (10) (12) (11) (11) (10) (11) (10) (11) (10) | -3.019           | 692.8E-3            | -904.8E-3           | 1.305               | 13.49    |
| 94       | E1            | 94       | (10) (11) (11) (10) (12) (11) (11) (10) (11) (10) (11) (10) | -77.08           | 210.0E-3            | -3.982              | 566.5E-3            | 862.9E-3 |
| 349      | E1            | 93       | (15) (16) (11) (16) (16) (15) (15) (9) (11) (16) (10) (11)  | 74.63            | 490.8E-3            | -777.6E-3           | 239.9E-3            | 1.511    |
| 48       | E1            | 48       | (15) (16) (11) (16) (16) (15) (15) (9) (11) (16) (10) (11)  | 1.425E-3         | 17.74E-3            | -2.884              | -359.3E-3           | 447.7E-3 |
| 350      | E1            | 96       | (10) (15) (10) (15) (15) (9) (10) (15) (12) (11) (10) (15)  | -1.850           | -213.8E-3           | 2.123               | -608.2E-3           | 904.5E-3 |
| 2        | E1            | 2        | (10) (15) (10) (15) (15) (9) (10) (15) (12) (11) (10) (15)  | -2.349           | -213.8E-3           | 2.123               | -608.2E-3           | 904.5E-3 |



**KOC UNIVERSITESI**

SPOR SALONU

CELIK CATI ANA MAKASLARI t.seh

|           |           |         |
|-----------|-----------|---------|
| Job No.   | Sheet No. | Rev.    |
| 38035     |           |         |
| Drq. Ref. |           |         |
| Made by   | Date      | Checked |
| SK        | 06-May-98 |         |

**BEAM & SPRING FORCE & MOMENT ENVELOPES**

Beam Property 17

| Elem | Load | Node | Axial [kN]  | Shear [kN]         | Torsion [kNm]      | Moment [kNm]       |
|------|------|------|---|--------------------|--------------------|--------------------|
| no.  | case | no.  | Fx  | Fy                 | Max                | Myz                |
| 351  | E1   | 46   | ( 11) ( 16) ( 16) ( 15) ( 19) ( 16) ( 12) ( 11) ( 16) ( 11) ( 16) ( 15) | 74.88 -33.36E-3    | 2.062 356.1E-3     | 1.004 -339.1E-3    |
| 95   |      |      | ( 11) ( 16) ( 16) ( 15) ( 15) ( 16) ( 12) ( 11) ( 15) ( 16) ( 15) ( 16) | 103.9E-3 -571.6E-3 | -1.031 -237.7E-3   | -11.78 -2.600      |
|      |      |      |   | 75.66 -33.36E-3    | 3.874 356.1E-3     | 1.451 -49.80E-3    |
|      |      |      |   | 903.6E-3 -571.6E-3 | 781.0E-3 -237.7E-3 | 446.1E-3 -190.3E-3 |

Maximum values in this output:  
 212 E1 6 151 105.9 96.45E-9 -888.5E-3 1.750 .0 .0  
 340 E1 4 111 -77.06 692.8E-3 -3.952 1.105 13.49 2.351  
 350 E1 2 151 -76.08 -747.3E-3 3.935 -1.265 13.47 2.412  
 212 E1 6 151 105.9 96.45E-9 -888.5E-3 1.750 .0 .0  
 340 E1 4 111 -77.06 692.8E-3 -3.952 1.105 13.49 2.351  
 350 E1 2 111 -76.05 -747.0E-3 3.935 -1.262 13.47 2.412

Minimum values in this output:  
 210 E1 2 111 -145.8 949.7E-9 -888.5E-3 -1.655 .0 .0  
 350 E1 96 151 -75.20 -747.3E-3 2.123 -1.265 -33.32E-3 -920.6E-3  
 340 E1 4 111 -77.06 692.8E-3 -3.952 1.105 13.49 2.351  
 209 E1 5 111 105.1 -98.30E-9 -888.5E-3 -1.748 .0 .0  
 351 E1 46 111 74.88 -571.6E-3 2.062 -237.7E-3 -11.78 -2.599  
 351 E1 46 151 74.88 -571.6E-3 2.062 -235.1E-3 -11.78 -2.600

**BEAM & SPRING FORCE & MOMENT ENVELOPES**

Beam Property 19

| Elem | Load | Node | Axial [kN]   | Shear [kN]                   | Torsion [kNm] | Moment [kNm] |
|------|------|------|--|------------------------------|---------------|--------------|
| no.  | case | no.  | Fx   | Fy                           | Max           | Myz          |
| 227  | E1   | 69   | ( 11) ( 12) ( 15) ( 10) ( 11) ( 9) ( 10) ( 11) ( 9) ( 9) ( 9) ( 9) | -4.443 6.900E-9 -325.8E-3    | -28.43E-3     | .0 .0        |
| 25   |      |      | ( 11) ( 12) ( 15) ( 10) ( 11) ( 9) ( 10) ( 11) ( 9) ( 9) ( 9) ( 9) | -7.427 610.6E-12 325.8E-3    | -175.4E-3     | .0 .0        |
|      |      |      |  | -4.443 6.900E-9 325.8E-3     | -28.43E-3     | .0 .0        |
|      |      |      |  | -7.427 610.6E-12 325.8E-3    | -175.4E-3     | .0 .0        |
| 228  | E1   | 70   | ( 11) ( 12) ( 15) ( 10) ( 11) ( 9) ( 10) ( 11) ( 9) ( 9) ( 9) ( 9) | -4.021 3.198E-9 325.8E-3     | -16.31E-3     | .0 .0        |
| 26   |      |      | ( 11) ( 12) ( 15) ( 10) ( 11) ( 9) ( 10) ( 11) ( 9) ( 9) ( 9) ( 9) | -4.809 278.1E-12 325.8E-3    | -89.49E-3     | .0 .0        |
|      |      |      |  | -4.021 3.198E-9 325.8E-3     | -16.31E-3     | .0 .0        |
|      |      |      |  | -4.809 278.1E-12 325.8E-3    | -89.49E-3     | .0 .0        |
| 229  | E1   | 71   | ( 10) ( 15) ( 12) ( 11) ( 11) ( 9) ( 14) ( 16) ( 9) ( 9) ( 9) ( 9) | -4.816 7.047E-12 325.8E-3    | 330.8E-6      | .0 .0        |
| 27   |      |      | ( 10) ( 15) ( 12) ( 11) ( 11) ( 9) ( 14) ( 16) ( 9) ( 9) ( 9) ( 9) | -10.67 -22.08E-12 325.8E-3   | 2.352E-6      | .0 .0        |
|      |      |      |  | -10.67 -22.08E-12 325.8E-3   | 2.352E-6      | .0 .0        |
| 230  | E1   | 72   | ( 15) ( 9) ( 10) ( 11) ( 11) ( 9) ( 15) ( 10) ( 9) ( 9) ( 9) ( 9)  | -3.958 -286.3E-12 325.8E-3   | 89.56E-3      | .0 .0        |
| 28   |      |      | ( 15) ( 9) ( 10) ( 11) ( 11) ( 9) ( 15) ( 10) ( 9) ( 9) ( 9) ( 9)  | -4.610 -3.241E-9 325.8E-3    | 16.81E-3      | .0 .0        |
|      |      |      |  | -3.958 -286.3E-12 325.8E-3   | 89.56E-3      | .0 .0        |
|      |      |      |  | -4.610 -3.241E-9 325.8E-3    | 16.81E-3      | .0 .0        |
| 231  | E1   | 73   | ( 15) ( 9) ( 10) ( 11) ( 11) ( 9) ( 15) ( 10) ( 9) ( 9) ( 9) ( 9)  | -4.360 -616.6E-12 325.8E-3   | 175.4E-3      | .0 .0        |
| 29   |      |      | ( 15) ( 9) ( 10) ( 11) ( 11) ( 9) ( 15) ( 10) ( 9) ( 9) ( 9) ( 9)  | -7.148 -6.943E-9 325.8E-3    | 26.42E-3      | .0 .0        |
|      |      |      |  | -4.360 -616.6E-12 325.8E-3   | 175.4E-3      | .0 .0        |
|      |      |      |  | -7.148 -6.943E-9 325.8E-3    | 26.42E-3      | .0 .0        |
| 232  | E1   | 74   | ( 10) ( 11) ( 10) ( 11) ( 11) ( 9) ( 11) ( 10) ( 9) ( 9) ( 9) ( 9) | -5.297 -1.034E-9 325.8E-3    | 252.4E-3      | .0 .0        |
| 30   |      |      | ( 10) ( 11) ( 10) ( 11) ( 11) ( 9) ( 11) ( 10) ( 9) ( 9) ( 9) ( 9) | -9.422 -11.76E-9 325.8E-3    | 34.38E-3      | .0 .0        |
|      |      |      |  | -5.297 -1.034E-9 325.8E-3    | 252.4E-3      | .0 .0        |
|      |      |      |  | -9.422 -11.76E-9 325.8E-3    | 34.38E-3      | .0 .0        |
| 233  | E1   | 75   | ( 10) ( 11) ( 10) ( 11) ( 11) ( 9) ( 11) ( 10) ( 9) ( 9) ( 9) ( 9) | -3.986 -1.555E-9 325.8E-3    | 310.4E-3      | .0 .0        |
| 31   |      |      | ( 10) ( 11) ( 10) ( 11) ( 11) ( 9) ( 11) ( 10) ( 9) ( 9) ( 9) ( 9) | -14.24 -17.75E-9 325.8E-3    | 36.16E-3      | .0 .0        |
|      |      |      |  | -3.986 -1.555E-9 325.8E-3    | 310.4E-3      | .0 .0        |
|      |      |      |  | -14.24 -17.75E-9 325.8E-3    | 36.16E-3      | .0 .0        |
| 234  | E1   | 66   | ( 10) ( 11) ( 10) ( 11) ( 11) ( 9) ( 11) ( 10) ( 9) ( 9) ( 9) ( 9) | -2.577 -2.173E-9 325.8E-3    | 326.1E-3      | .0 .0        |
| 22   |      |      | ( 10) ( 11) ( 10) ( 11) ( 11) ( 9) ( 11) ( 10) ( 9) ( 9) ( 9) ( 9) | -18.72 -24.83E-9 325.8E-3    | 35.67E-3      | .0 .0        |
|      |      |      |  | -2.577 -2.173E-9 325.8E-3    | 326.1E-3      | .0 .0        |
|      |      |      |  | -18.72 -24.83E-9 325.8E-3    | 35.67E-3      | .0 .0        |
| 235  | E1   | 76   | ( 12) ( 11) ( 10) ( 11) ( 11) ( 9) ( 11) ( 10) ( 9) ( 9) ( 9) ( 9) | -22.10E-3 -2.518E-9 325.8E-3 | 323.8E-3      | .0 .0        |
| 32   |      |      | ( 12) ( 11) ( 10) ( 11) ( 11) ( 9) ( 11) ( 10) ( 9) ( 9) ( 9) ( 9) | -16.16 -28.29E-9 325.8E-3    | 35.13E-3      | .0 .0        |
|      |      |      |  | -22.10E-3 -2.518E-9 325.8E-3 | 323.8E-3      | .0 .0        |
|      |      |      |  | -16.16 -28.29E-9 325.8E-3    | 35.13E-3      | .0 .0        |

Maximum values in this output:  
 222 E1 90 161 3.945 .0 -15.06 -876.1E-3 .0 .0  
 221 E1 89 91 426.1E-3 .0 -15.06 943.5E-3 .0 .0  
 221 E1 89 151 1.092 .0 -15.06 943.5E-3 .0 .0  
 221 E1 89 91 426.1E-3 .0 -15.06 943.5E-3 .0 .0  
 221 E1 89 91 426.1E-3 .0 -15.06 943.5E-3 .0 .0  
 221 E1 89 91 426.1E-3 .0 -15.06 943.5E-3 .0 .0  
 221 E1 89 91 426.1E-3 .0 -15.06 943.5E-3 .0 .0  
 221 E1 89 91 426.1E-3 .0 -15.06 943.5E-3 .0 .0  
 221 E1 89 91 426.1E-3 .0 -15.06 943.5E-3 .0 .0

**BEAM & SPRING FORCE & MOMENT ENVELOPES**

Beam Property 19

| Elem | Load | Node | Axial [kN]   | Shear [kN]                   | Torsion [kNm] | Moment [kNm] |
|------|------|------|--|------------------------------|---------------|--------------|
| no.  | case | no.  | Fx   | Fy                           | Max           | Myz          |
| 223  | E1   | 64   | ( 16) ( 15) ( 15) ( 10) ( 11) ( 9) ( 10) ( 15) ( 9) ( 9) ( 9) ( 9) | -51.80E-3 28.29E-9 -325.8E-3 | -35.31E-3     | .0 .0        |
| 20   |      |      | ( 16) ( 15) ( 15) ( 10) ( 11) ( 9) ( 10) ( 15) ( 9) ( 9) ( 9) ( 9) | -16.11 2.518E-9 325.8E-3     | -323.8E-3     | .0 .0        |
|      |      |      |  | -16.11 2.518E-9 325.8E-3     | -323.8E-3     | .0 .0        |
| 224  | E1   | 65   | ( 10) ( 15) ( 15) ( 10) ( 11) ( 9) ( 10) ( 15) ( 9) ( 9) ( 9) ( 9) | -3.003 24.79E-9 -325.8E-3    | -35.03E-3     | .0 .0        |
| 21   |      |      | ( 10) ( 15) ( 15) ( 10) ( 11) ( 9) ( 10) ( 15) ( 9) ( 9) ( 9) ( 9) | -18.79 2.171E-9 325.8E-3     | -326.1E-3     | .0 .0        |
|      |      |      |  | -3.003 24.79E-9 325.8E-3     | -35.03E-3     | .0 .0        |
|      |      |      |  | -18.79 2.171E-9 325.8E-3     | -326.1E-3     | .0 .0        |
| 225  | E1   | 67   | ( 10) ( 15) ( 15) ( 10) ( 11) ( 9) ( 10) ( 15) ( 9) ( 9) ( 9) ( 9) | -4.509 17.71E-9 -325.8E-3    | -36.32E-3     | .0 .0        |
| 23   |      |      | ( 10) ( 15) ( 15) ( 10) ( 11) ( 9) ( 10) ( 15) ( 9) ( 9) ( 9) ( 9) | -14.35 1.952E-9 325.8E-3     | -310.4E-3     | .0 .0        |
|      |      |      |  | -4.509 17.71E-9 325.8E-3     | -36.32E-3     | .0 .0        |
|      |      |      |  | -14.35 1.952E-9 325.8E-3     | -310.4E-3     | .0 .0        |
| 226  | E1   | 68   | ( 10) ( 15) ( 15) ( 10) ( 11) ( 9) ( 10) ( 15) ( 9) ( 9) ( 9) ( 9) | -8.840 11.72E-9 -325.8E-3    | -34.51E-3     | .0 .0        |
| 24   |      |      | ( 10) ( 15) ( 15) ( 10) ( 11) ( 9) ( 10) ( 15) ( 9) ( 9) ( 9) ( 9) | -9.523 1.030E-9 -325.8E-3    | -282.4E-3     | .0 .0        |
|      |      |      |  | -8.840 11.72E-9 325.8E-3     | -34.51E-3     | .0 .0        |
|      |      |      |  | -9.523 1.030E-9 325.8E-3     | -282.4E-3     | .0 .0        |

**BEAM & SPRING FORCE & MOMENT ENVELOPES**

Beam Property 20

| Elem | Load | Node | Axial [kN]  | Shear [kN]                 | Torsion [kNm]                  | Moment [kNm] |
|------|------|------|---|----------------------------|--------------------------------|--------------|
| no.  | case | no.  | Fx  | Fy                         | Max                            | Myz          |
| 236  | E1   | 46   | ( 15) ( 16) ( 9) ( 16) ( 9) ( 16) ( 10) ( 11) ( 15) ( 9) ( 16) ( 9)   | 14.37 29.80E-9 -169.5E-3   | -3.720E-3 817.1E-12-32.74E-12  | .0 .0        |
| 20   |      |      | ( 15) ( 16) ( 9) ( 16) ( 9) ( 16) ( 10) ( 11) ( 15) ( 9) ( 16) ( 9)   | -2.830 320.4E-9 -169.5E-3  | -27.21E-3 -116.4E-12-36.38E-12 | .0 .0        |
|      |      |      |   | 14.43 29.80E-9 169.5E-3    | -3.720E-3 817.1E-12-32.74E-12  | .0 .0        |
|      |      |      |   | -2.767 320.4E-9 169.5E-3   | -27.21E-3 -116.4E-12-36.38E-12 | .0 .0        |
| 237  | E1   | 64   | ( 15) ( 10) ( 11) ( 16) ( 16) ( 9) ( 10) ( 11) ( 11) ( 12) ( 10) ( 9) | 18.99 432.1E-9 -149.0E-3   | -1.395E-3 436.6E-12-5.457E-12  | .0 .0        |
| 21   |      |      | ( 15) ( 10) ( 11) ( 16) ( 16) ( 9) ( 10) ( 11) ( 11) ( 12) ( 10) ( 9) | -3.819 -111.8E-9 -149.0E-3 | -17.15E-3 -32.74E-12-7.276E-12 | .0 .0        |
|      |      |      |   | 19.03 432.1E-9 149.0E-3    | -1.395E-3 436.6E-12-5.457E-12  | .0 .0        |
|      |      |      |   | -2.654 -111.8E-9 149.0E-3  | -17.15E-3 -32.74E-12-7.276E-12 | .0 .0        |

**KOC UNIVERSITESI**

**SPOR SALONU**

**CELIK CATI ANA MAKASLARI t.seh**

|           |           |         |
|-----------|-----------|---------|
| Job No.   | Sheet No. | Rev.    |
| 38035     |           |         |
| Drg. Ref. |           |         |
| Made by   | Date      | Checked |
| SK        | 06-May-98 |         |

**BEAM & SPRING FORCE & MOMENT ENVELOPES**

|                                |               | Beam Property 20 |                                     |                                    |               |              |              |            |  |  |
|--------------------------------|---------------|------------------|-------------------------------------|------------------------------------|---------------|--------------|--------------|------------|--|--|
| Elem no.                       | Load case no. | Node no.         | Axial [kN]                          | Shear [kN]                         | Torsion [kNm] | Moment [kNm] | Moment [kNm] |            |  |  |
|                                |               |                  | Px                                  | Fy                                 | Mxx           | Myy          | Mzz          | Mzz        |  |  |
| 238                            | E1            | 65               | ( 15) ( 16) ( 10) ( 15) ( 16) ( 9)  | ( 12) ( 11) ( 16) ( 10) ( 9) ( 15) |               |              |              |            |  |  |
|                                |               |                  | 12.07                               | 1.878E-6                           | -189.2E-3     | 6.833E-3     | 87.31E-12    | -16.7E-12  |  |  |
|                                |               |                  | 19.57                               | -223.8E-9                          | -188.3E-3     | 3.319E-3     | -80.04E-12   | 14.88E-12  |  |  |
|                                |               |                  | 5.257                               | -719.7E-9                          | -188.3E-3     | -2.099E-3    | -94.59E-12   | -44.75E-12 |  |  |
|                                |               |                  | ( 15) ( 16) ( 10) ( 15) ( 16) ( 9)  | ( 12) ( 11) ( 16) ( 10) ( 9) ( 15) |               |              |              |            |  |  |
|                                |               |                  | 19.63                               | -223.8E-9                          | 188.3E-3      | 3.319E-3     | -80.04E-12   | 14.88E-12  |  |  |
|                                |               |                  | 5.318                               | -719.7E-9                          | 188.3E-3      | -2.099E-3    | -94.59E-12   | -44.75E-12 |  |  |
| 239                            | E1            | 67               | ( 15) ( 10) ( 16) ( 11) ( 10) ( 16) | ( 12) ( 11) ( 11) ( 12) ( 9) ( 10) |               |              |              |            |  |  |
|                                |               |                  | 12.07                               | 1.878E-6                           | -189.2E-3     | 6.833E-3     | 87.31E-12    | -16.7E-12  |  |  |
|                                |               |                  | 7.397                               | -238.4E-9                          | -189.2E-3     | 3.479E-3     | -36.38E-12   | -1.819E-12 |  |  |
|                                |               |                  | ( 15) ( 10) ( 16) ( 11) ( 10) ( 16) | ( 12) ( 11) ( 11) ( 12) ( 9) ( 10) |               |              |              |            |  |  |
|                                |               |                  | 12.92                               | 1.878E-6                           | 189.2E-3      | 6.833E-3     | 87.31E-12    | -16.7E-12  |  |  |
|                                |               |                  | 7.444                               | -238.4E-9                          | 189.2E-3      | 3.479E-3     | -36.38E-12   | -1.819E-12 |  |  |
| 240                            | E1            | 68               | ( 12) ( 11) ( 10) ( 16) ( 9) ( 11)  | ( 12) ( 10) ( 9) ( 10) ( 11) ( 16) |               |              |              |            |  |  |
|                                |               |                  | 10.51                               | 312.9E-9                           | -190.0E-3     | 9.495E-3     | .0           | -25.47E-12 |  |  |
|                                |               |                  | 5.653                               | -208.6E-9                          | -190.0E-3     | 8.402E-3     | -29.10E-12   | -32.74E-12 |  |  |
|                                |               |                  | ( 12) ( 11) ( 10) ( 16) ( 9) ( 11)  | ( 12) ( 10) ( 9) ( 10) ( 11) ( 16) |               |              |              |            |  |  |
|                                |               |                  | 10.54                               | 312.9E-9                           | 190.0E-3      | 9.495E-3     | .0           | -25.47E-12 |  |  |
|                                |               |                  | 5.687                               | -208.6E-9                          | 190.0E-3      | 8.402E-3     | -29.10E-12   | -32.74E-12 |  |  |
| 241                            | E1            | 69               | ( 12) ( 11) ( 12) ( 16) ( 16) ( 9)  | ( 15) ( 10) ( 11) ( 10) ( 9) ( 10) |               |              |              |            |  |  |
|                                |               |                  | 10.67                               | 312.9E-9                           | -190.4E-3     | 12.64E-3     | 407.5E-12    | -14.95E-12 |  |  |
|                                |               |                  | -1.737                              | -566.2E-9                          | -190.4E-3     | 10.28E-3     | 320.1E-12    | -16.37E-12 |  |  |
|                                |               |                  | ( 12) ( 11) ( 12) ( 16) ( 16) ( 9)  | ( 15) ( 10) ( 11) ( 10) ( 9) ( 10) |               |              |              |            |  |  |
|                                |               |                  | 10.69                               | 312.9E-9                           | 190.4E-3      | 12.64E-3     | 407.5E-12    | -14.95E-12 |  |  |
|                                |               |                  | -1.717                              | -566.2E-9                          | 190.4E-3      | 10.28E-3     | 320.1E-12    | -16.37E-12 |  |  |
| 242                            | E1            | 70               | ( 15) ( 10) ( 9) ( 16) ( 11) ( 16)  | ( 12) ( 10) ( 9) ( 10) ( 11) ( 16) |               |              |              |            |  |  |
|                                |               |                  | 11.82                               | .0                                 | -190.7E-3     | 11.44E-3     | .0           | -14.88E-12 |  |  |
|                                |               |                  | 7.302                               | -298.0E-9                          | -190.7E-3     | 10.04E-3     | -43.66E-12   | -14.61E-12 |  |  |
|                                |               |                  | ( 15) ( 10) ( 9) ( 16) ( 11) ( 16)  | ( 12) ( 10) ( 9) ( 10) ( 11) ( 16) |               |              |              |            |  |  |
|                                |               |                  | 11.82                               | .0                                 | 190.7E-3      | 11.44E-3     | .0           | -14.88E-12 |  |  |
|                                |               |                  | 7.209                               | -298.0E-9                          | 190.7E-3      | 10.04E-3     | -43.66E-12   | -14.61E-12 |  |  |
| 244                            | E1            | 48               | ( 11) ( 12) ( 12) ( 16) ( 16) ( 9)  | ( 15) ( 10) ( 10) ( 12) ( 9) ( 10) |               |              |              |            |  |  |
|                                |               |                  | 14.04                               | 134.1E-9                           | -169.5E-3     | 27.20E-3     | 14.58E-12    | 29.10E-12  |  |  |
|                                |               |                  | -3.019                              | -931.3E-9                          | -169.5E-3     | 3.620E-3     | -7.276E-12   | 27.28E-12  |  |  |
|                                |               |                  | ( 11) ( 12) ( 12) ( 16) ( 16) ( 9)  | ( 15) ( 10) ( 10) ( 12) ( 9) ( 10) |               |              |              |            |  |  |
|                                |               |                  | 14.10                               | 134.1E-9                           | 169.5E-3      | 37.20E-3     | 14.58E-12    | 29.10E-12  |  |  |
|                                |               |                  | -2.956                              | -931.3E-9                          | 169.5E-3      | 3.620E-3     | -7.276E-12   | 27.28E-12  |  |  |
| 249                            | E1            | 76               | ( 11) ( 10) ( 16) ( 12) ( 11) ( 16) | ( 15) ( 10) ( 15) ( 9) ( 12) ( 16) |               |              |              |            |  |  |
|                                |               |                  | 18.96                               | .0                                 | -149.0E-3     | 17.18E-3     | 497.7E-12    | 6.185E-12  |  |  |
|                                |               |                  | 2.227                               | -37.28E-9                          | -149.0E-3     | 1.902E-3     | 30.92E-12    | 8.366E-12  |  |  |
|                                |               |                  | ( 11) ( 10) ( 16) ( 12) ( 11) ( 16) | ( 15) ( 10) ( 15) ( 9) ( 12) ( 16) |               |              |              |            |  |  |
|                                |               |                  | 18.99                               | .0                                 | 149.0E-3      | 17.18E-3     | 497.7E-12    | 6.185E-12  |  |  |
|                                |               |                  | 2.262                               | -37.28E-9                          | 149.0E-3      | 1.902E-3     | 30.92E-12    | 8.366E-12  |  |  |
| 246                            | E1            | 66               | ( 11) ( 10) ( 11) ( 16) ( 11) ( 16) | ( 15) ( 9) ( 11) ( 9) ( 9) ( 10)   |               |              |              |            |  |  |
|                                |               |                  | 19.41                               | 689.9E-9                           | -188.3E-3     | 2.170E-3     | 14.58E-12    | 14.88E-12  |  |  |
|                                |               |                  | 4.641                               | -476.8E-9                          | -188.3E-3     | -3.077E-3    | -218.3E-12   | 14.32E-12  |  |  |
|                                |               |                  | ( 11) ( 10) ( 11) ( 16) ( 11) ( 16) | ( 15) ( 9) ( 11) ( 9) ( 9) ( 10)   |               |              |              |            |  |  |
|                                |               |                  | 19.47                               | 689.9E-9                           | 188.3E-3      | 2.170E-3     | 14.58E-12    | 14.88E-12  |  |  |
|                                |               |                  | 4.702                               | -476.8E-9                          | 188.3E-3      | -3.077E-3    | -218.3E-12   | 14.32E-12  |  |  |
| 247                            | E1            | 75               | ( 11) ( 10) ( 9) ( 16) ( 9) ( 16)   | ( 15) ( 9) ( 15) ( 9) ( 15) ( 9)   |               |              |              |            |  |  |
|                                |               |                  | 12.72                               | -59.60E-9                          | -189.2E-3     | -3.408E-3    | 147.7E-12    | 845.7E-15  |  |  |
|                                |               |                  | 6.625                               | -745.1E-9                          | -189.2E-3     | -6.589E-3    | 29.10E-12    | -29.10E-12 |  |  |
|                                |               |                  | ( 11) ( 10) ( 9) ( 16) ( 9) ( 16)   | ( 15) ( 9) ( 15) ( 9) ( 15) ( 9)   |               |              |              |            |  |  |
|                                |               |                  | 12.77                               | -59.60E-9                          | 189.2E-3      | -3.408E-3    | 147.7E-12    | 845.7E-15  |  |  |
|                                |               |                  | 6.672                               | -745.1E-9                          | 189.2E-3      | -6.589E-3    | 29.10E-12    | -29.10E-12 |  |  |
| 248                            | E1            | 74               | ( 9) ( 15) ( 10) ( 9) ( 16) ( 10)   | ( 10) ( 9) ( 11) ( 10) ( 11) ( 9)  |               |              |              |            |  |  |
|                                |               |                  | 10.09                               | -59.60E-9                          | -190.0E-3     | -7.907E-3    | 29.10E-12    | -12.74E-12 |  |  |
|                                |               |                  | 5.526                               | .0                                 | -190.0E-3     | -9.304E-3    | -88.21E-12   | -36.38E-12 |  |  |
|                                |               |                  | ( 9) ( 15) ( 10) ( 9) ( 16) ( 10)   | ( 10) ( 9) ( 11) ( 10) ( 11) ( 9)  |               |              |              |            |  |  |
|                                |               |                  | 10.12                               | -59.60E-9                          | 190.0E-3      | -7.907E-3    | 29.10E-12    | -12.74E-12 |  |  |
|                                |               |                  | 5.560                               | .0                                 | 190.0E-3      | -9.304E-3    | -88.21E-12   | -36.38E-12 |  |  |
| 249                            | E1            | 73               | ( 9) ( 15) ( 15) ( 16) ( 16) ( 11)  | ( 10) ( 11) ( 11) ( 16) ( 9) ( 16) |               |              |              |            |  |  |
|                                |               |                  | 10.30                               | 302.5E-9                           | -190.4E-3     | -9.860E-3    | 465.7E-12    | 43.66E-12  |  |  |
|                                |               |                  | -1.848                              | -1.520E-6                          | -190.4E-3     | -12.60E-3    | 378.3E-12    | 40.02E-12  |  |  |
|                                |               |                  | ( 9) ( 15) ( 15) ( 16) ( 16) ( 11)  | ( 10) ( 11) ( 11) ( 16) ( 9) ( 16) |               |              |              |            |  |  |
|                                |               |                  | 10.32                               | 302.5E-9                           | 190.4E-3      | -9.860E-3    | 465.7E-12    | 43.66E-12  |  |  |
|                                |               |                  | -1.828                              | -1.520E-6                          | 190.4E-3      | -12.60E-3    | 378.3E-12    | 40.02E-12  |  |  |
| 250                            | E1            | 72               | ( 11) ( 10) ( 16) ( 9) ( 16) ( 11)  | ( 10) ( 9) ( 9) ( 16) ( 11) ( 10)  |               |              |              |            |  |  |
|                                |               |                  | 11.44                               | 628.8E-9                           | -190.7E-3     | -9.801E-3    | 582.1E-12    | 2.726E-12  |  |  |
|                                |               |                  | 6.798                               | -59.60E-9                          | -190.7E-3     | -11.40E-3    | 553.0E-12    | .0         |  |  |
|                                |               |                  | ( 11) ( 10) ( 16) ( 9) ( 16) ( 11)  | ( 10) ( 9) ( 9) ( 16) ( 11) ( 10)  |               |              |              |            |  |  |
|                                |               |                  | 11.45                               | 628.8E-9                           | 190.7E-3      | -9.801E-3    | 582.1E-12    | 2.726E-12  |  |  |
|                                |               |                  | 6.805                               | -59.60E-9                          | 190.7E-3      | -11.40E-3    | 553.0E-12    | .0         |  |  |
| Maximum values in this output: |               |                  |                                     |                                    |               |              |              |            |  |  |
|                                |               |                  | Elem                                |                                    |               |              |              |            |  |  |
| 239                            | E1            | 23               | 15) 19.63                           | -719.7E-9                          | 188.3E-3      | -2.037E-3    | -89.49E-12   | -44.75E-12 |  |  |
| 238                            | E1            | 67               | 15) 7.501                           | -1.878E-6                          | -189.2E-3     | 6.182E-3     | -29.10E-12   | .0         |  |  |
| 242                            | E1            | 27               | 11) 11.46                           | -119.7E-9                          | 190.7E-3      | 10.76E-3     | -29.10E-12   | -14.58E-12 |  |  |
| 244                            | E1            | 48               | 11) 13.91                           | 112.9E-9                           | -169.5E-3     | 27.20E-3     | -2.183E-12   | 29.10E-12  |  |  |
| 236                            | E1            | 46               | 15) 14.37                           | 29.80E-9                           | -169.5E-3     | -27.15E-3    | 817.1E-12    | -36.38E-12 |  |  |
| 249                            | E1            | 73               | 9) 10.30                            | -178.8E-9                          | -190.4E-3     | -11.50E-3    | 407.5E-12    | 43.66E-12  |  |  |
| Minimum values in this output: |               |                  |                                     |                                    |               |              |              |            |  |  |
|                                |               |                  | Elem                                |                                    |               |              |              |            |  |  |
| 244                            | E1            | 48               | 11) -3.019                          | 134.1E-9                           | -169.5E-3     | 4.366E-3     | -7.276E-12   | 29.10E-12  |  |  |
| 249                            | E1            | 73               | 15) 9.694                           | -1.520E-6                          | -190.4E-3     | -10.87E-3    | 378.3E-12    | 40.02E-12  |  |  |
| 242                            | E1            | 70               | 15) 7.481                           | -298.0E-9                          | -190.7E-3     | 10.76E-3     | -29.10E-12   | -14.58E-12 |  |  |
| 236                            | E1            | 46               | 11) 14.25                           | 29.80E-9                           | -169.5E-3     | -27.21E-3    | 814.9E-12    | -36.38E-12 |  |  |
| 246                            | E1            | 66               | 9) 5.719                            | 308.6E-9                           | -188.3E-3     | -3.077E-3    | -218.3E-12   | 14.32E-12  |  |  |
| 238                            | E1            | 65               | 15) 19.57                           | -719.7E-9                          | -188.3E-3     | -2.037E-3    | -89.49E-12   | -44.75E-12 |  |  |

**BEAM & SPRING FORCE & MOMENT ENVELOPES**

|          |               | Beam Property 21 |                                    |                                     |               |              |              |            |  |
|----------|---------------|------------------|------------------------------------|-------------------------------------|---------------|--------------|--------------|------------|--|
| Elem no. | Load case no. | Node no.         | Axial [kN]                         | Shear [kN]                          | Torsion [kNm] | Moment [kNm] | Moment [kNm] |            |  |
|          |               |                  | Px                                 | Fy                                  | Mxx           | Myy          | Mzz          | Mzz        |  |
| 352      | E1            | 26               | ( 11) ( 12) ( 10) ( 9) ( 9) ( 16)  | ( 10) ( 11) ( 10) ( 11) ( 9) ( 9)   |               |              |              |            |  |
|          |               |                  | 10.63                              | -1.751E-9                           | -133.7E-3     | -2.432E-3    | -86.84E-15   | 29.10E-12  |  |
|          |               |                  | -4.144                             | -2.078E-9                           | -133.7E-3     | -7.932E-3    | -177.6E-15   | 29.10E-12  |  |
|          |               |                  | ( 11) ( 12) ( 10) ( 9) ( 9) ( 16)  | ( 10) ( 11) ( 10) ( 11) ( 9) ( 9)   |               |              |              |            |  |
|          |               |                  | 10.76                              | -1.751E-9                           | 133.7E-3      | -2.432E-3    | -86.84E-15   | 29.10E-12  |  |
|          |               |                  | -4.012                             | -2.078E-9                           | 133.7E-3      | -7.932E-3    | -177.6E-15   | 29.10E-12  |  |
| 353      | E1            | 39               | ( 12) ( 11) ( 9) ( 10) ( 9) ( 16)  | ( 10) ( 11) ( 10) ( 11) ( 10) ( 11) |               |              |              |            |  |
|          |               |                  | -40.84E-3                          | 2.001E-9                            | -133.7E-3     | -2.990E-3    | 319.7E-15    | 21.83E-12  |  |
|          |               |                  | -16.12                             | 1.681E-9                            | -133.7E-3     | -8.938E-3    | 81.71E-15    | -218.3E-12 |  |
|          |               |                  | ( 12) ( 11) ( 9) ( 10) ( 9) ( 16)  | ( 10) ( 11) ( 10) ( 11) ( 10) ( 11) |               |              |              |            |  |
|          |               |                  | -172.6E-3                          | 2.001E-9                            | 133.7E-3      | -2.990E-3    | 319.7E-15    | 21.83E-12  |  |
|          |               |                  | -16.25                             | 1.681E-9                            | 133.7E-3      | -8.938E-3    | 81.71E-15    | -218.3E-12 |  |
| 354      | E1            | 40               | ( 10) ( 15) ( 16) ( 12) ( 16) ( 9) | ( 15) ( 10) ( 10) ( 10) ( 15) ( 16) |               |              |              |            |  |
|          |               |                  | 108.6E-3                           | -1.703E-9                           | -133.7E-3     | 8.946E-3     | 291.6E-15    | 174.9E-12  |  |
|          |               |                  | -16.13                             | -2.078E-9                           | -133.7E-3     | 3.005E-3     | 86.84E-15    | -65.48E-12 |  |
|          |               |                  | ( 10) ( 15) ( 16) ( 12) ( 16) ( 9) | ( 15) ( 10) ( 10) ( 10) ( 15) ( 16) |               |              |              |            |  |
|          |               |                  | 96.5E-3</                          |                                     |               |              |              |            |  |

KOC UNIVERSITESI

SPOR SALONU

CELIK CATI ANA MAKASLARI t.sch

|           |           |      |           |         |
|-----------|-----------|------|-----------|---------|
| Job No.   | Sheet No. | Rev. |           |         |
| 38035     |           |      |           |         |
| Drg. Ref. |           |      |           |         |
| Made by   | SK        | Date | 06-May-98 | Checked |

BEAM & SPRING FORCE & MOMENT ENVELOPES

| Elem Load Node no. case no. | Beam Property 22  |                             |                       |  |   |                        |                       |   |
|-----------------------------|---|-----------------------------|-----------------------|--|---|------------------------|-----------------------|---|
|                             | Axial [kN] Fx   | Shear [kN] Fy               | Torsion [kNm] Mxz     | Moment [kNm] Myz                                 |   |                        |                       |   |
| 287 EL 116                  | (15) (9) (11) (16) (10) (12) (15) (11) (16) (10) (11) (10)  | 34.05 63.20 -42.20 165.3E-3 | 15.15 9.018           | -497.2E-3 882.1E-3 -83.85 -9.417 11.89 -309.8E-3 |   |                        |                       |   |
| 94                          | (15) (9) (11) (16) (10) (12) (15) (11) (16) (10) (11) (10)  | 34.20 63.20 -42.13 165.3E-3 | 6.225 -424.9E-3       | -106.1E-3 862.1E-3 -53.78 -9.417 4.854 -1.832    |   |                        |                       |   |
| 106 EL 46                   | (11) (12) (16) (15) (14) (16) (15) (16) (9) (10) (16) (15)  | -38.33 152.9E-3 982.1E-3    | 9.151 4.588 -21.20E-3 | -56.36 -56.32 180.7E-3 -483.9E-3 4.169 -111.2    |   |                        |                       |   |
| 123                         | (11) (12) (16) (15) (14) (16) (15) (16) (9) (10) (16) (15)  | -37.38 152.9E-3 1.418       | 9.151 5.769 -181.1E-3 | -88.41 -56.32 616.3E-3 -483.9E-3 4.988 -54.08    |   |                        |                       |   |
| 308 EL 2                    | (10) (15) (10) (15) (12) (11) (11) (12) (11) (10) (15) (15) | -77.45 221.4E-3 993.2E-3    | 4.497 4.541 -950.5E-3 | -138.8 -87.51 232.6E-3 -244.2E-3 4.000 -114.4    |   |                        |                       |   |
| 124                         | (10) (15) (10) (15) (12) (11) (11) (12) (11) (10) (15) (15) | -78.51 221.4E-3 1.429       | 4.497 5.598 -1.18E    | -127.8 -87.51 688.2E-3 -244.2E-3 4.873 -94.06    |   |                        |                       |   |
| 126 EL 123                  | (11) (12) (16) (15) (11) (12) (15) (16) (12) (11) (16) (15) | -8.048 -471.9E-3 1.658      | 8.116 10.72 -109.8E-3 | -46.32 -59.05 -2.059 -318.3E-3 9.030 -84.26      |   |                        |                       |   |
| 129                         | (11) (12) (16) (15) (11) (12) (15) (16) (12) (11) (16) (15) | -7.64 -471.9E-3 1.928       | 8.116 10.39 280.7E-3  | -48.63 -59.05 -1.759 -318.3E-3 8.688 -9.921      |   |                        |                       |   |
| 327 EL 129                  | (11) (12) (16) (15) (10) (11) (15) (16) (16) (10) (10) (15) | 30.79 -767.5E-3 -49.18      | 8.526 14.64 326.4E-3  | 96   | (11) (12) (16) (15) (10) (11) (15) (16) (16) (10) (10) (15) | 30.95 -767.5E-3 -49.12 | 8.526 8.543 774.2E-3  | -3.743 -63.08 -54.38 -194.4E-3 4.984 431.9E-3 |
| 328 EL 124                  | (10) (15) (10) (15) (16) (15) (11) (12) (15) (10) (10) (15) | -43.46 -534.3E-3 1.421      | 8.157 10.85 -1.110    | 130  | (10) (15) (10) (15) (16) (15) (11) (12) (15) (10) (10) (15) | -42.77 -534.3E-3 1.720 | 8.157 10.44 -688.4E-3 | -84.50 -58.46 -1.624 -90.93E-3 9.201 -10.48   |
| 329 EL 130                  | (10) (15) (10) (15) (10) (16) (15) (16) (15) (10) (16) (15) | -4.587 -1.088 -48.81        | 8.149 15.40 -616.3E-3 | 98   | (10) (15) (10) (15) (10) (16) (15) (16) (15) (10) (16) (15) | -4.428 -1.088 -48.75   | 8.149 15.40 -616.3E-3 | -39.79 -60.89 -53.51 98.71E-3 9.457 -448.3E-3 |

Maximum values in this output:

|                |        |        |          |        |       |        |
|----------------|--------|--------|----------|--------|-------|--------|
| 287 EL 94 15)  | 34.20  | 63.19  | -51.60   | -9.417 | 5.895 | -1.832 |
| 287 EL 116 11) | 34.05  | 63.20  | -51.76   | -9.417 | 14.87 | 9.018  |
| 286 EL 94 15)  | 34.05  | 63.20  | -51.76   | -9.417 | 14.87 | 9.018  |
| 108 EL 2 11)   | -127.9 | -57.51 | 232.6E-3 | 9.497  | 4.541 | -134.4 |
| 284 EL 114 15) | -36.65 | 60.57  | -54.96   | -8.961 | 16.16 | 9.710  |
| 288 EL 4 11)   | -136.0 | 56.65  | 955.0E-3 | -8.542 | 4.475 | 115.5  |

Minimum values in this output:

|                |        |           |           |          |       |          |
|----------------|--------|-----------|-----------|----------|-------|----------|
| 288 EL 4 11)   | -136.0 | 56.65     | 955.0E-3  | -8.542   | 4.475 | 115.5    |
| 327 EL 129 15) | 30.74  | -63.09    | -94.24    | 8.526    | 14.31 | -9.969   |
| 284 EL 114 15) | -36.65 | 60.57     | -54.96    | -8.963   | 16.14 | 9.716    |
| 287 EL 116 11) | 34.03  | 63.20     | -51.76    | -9.417   | 14.87 | 9.018    |
| 288 EL 4 10)   | -73.59 | -330.9E-3 | -197.4E-3 | 304.4E-3 | 1.945 | 859.5E-3 |
| 108 EL 2 11)   | -127.9 | -57.51    | 232.6E-3  | 9.497    | 4.541 | -134.4   |

BEAM & SPRING FORCE & MOMENT ENVELOPES

| Elem Load Node no. case no. | Beam Property 23  |                               |                           |  |  |                          |                              |   |
|-----------------------------|---|-------------------------------|---------------------------|--|--|--------------------------|------------------------------|---|
|                             | Axial [kN] Fx   | Shear [kN] Fy                 | Torsion [kNm] Mxz         | Moment [kNm] Myz                                   |  |                          |                              |   |
| 282 EL 32                   | (11) (16) (15) (10) (15) (10) (12) (11) (10) (11) (12) (11) | 30.49 20.47E-3 1.112 287.1E-6 | -1.114 3.145E-3           | 19.22 16.99E-3 619.1E-3 -5.385E-3 -1.686 -8.284E-3 |  |                          |                              |   |
| 101                         | (11) (16) (15) (10) (15) (10) (12) (11) (10) (11) (12) (11) | 30.49 20.47E-3 2.203 287.1E-6 | 3.476 -80.41E-3           | 19.22 16.99E-3 1.711 -5.385E-3 2.512 -71.83E-3     |  |                          |                              |   |
| 283 EL 101                  | (10) (16) (9) (15) (11) (10) (16) (11) (10) (11) (11) (10)  | -22.59 1.027 44.91            | -917.2E-6 -6.092 486.4E-3 | 103  | (10) (16) (9) (15) (11) (10) (16) (11) (10) (11) (11) (10) | -23.59 1.027 45.08       | -917.2E-6 8.637 555.2E-3     | -33.07 -181.6E-3 21.90 -8.890E-3 5.977 -199.7E-3        |
| 284 EL 101                  | (10) (11) (9) (15) (10) (11) (10) (11) (11) (10) (10) (15)  | -33.90 1.482E-3 -1.245        | -88.33E-6 2.278 2.968E-3  | 97   | (10) (11) (9) (15) (10) (11) (10) (11) (10) (10) (15) (9)  | -33.90 1.482E-3 163.2E-3 | -88.33E-6 -308.7E-3 39.49E-3 | -44.06 -47.53E-3 12.83E-3 -3.383E-3 -499.9E-3 -3.649E-3 |
| 285 EL 76                   | (9) (15) (15) (10) (12) (11) (16) (15) (10) (9) (15) (9)    | 25.07 50.23E-3 833.8E-3       | 323.4E-6 -1.111 31.29E-3  | 102  | (9) (15) (15) (10) (12) (11) (16) (15) (10) (9) (15) (9)   | 25.07 50.23E-3 1.925     | 323.4E-6 2.936 -81.49E-3     | 14.76 16.82E-3 1.699 -8.804E-3 2.442 -125.1E-3          |

BEAM & SPRING FORCE & MOMENT ENVELOPES

| Elem Load Node no. case no. | Beam Property 23  |                           |                             |                  |   |                           |                           |                            |                               |
|-----------------------------|---|---------------------------|-----------------------------|------------------|---|---------------------------|---------------------------|----------------------------|-------------------------------|
|                             | Axial [kN] Fx   | Shear [kN] Fy             | Torsion [kNm] Mxz           | Moment [kNm] Myz |   |                           |                           |                            |                               |
| 266 EL 102                  | (10) (15) (11) (10) (9) (15) (10) (11) (15) (9) (11) (10)   | -22.40 2.182 39.14        | -768.6E-6 -5.935 986.3E-3   | 104              | (10) (15) (11) (10) (9) (15) (10) (11) (15) (9) (11) (10)   | -33.23 821.2E-3 30.06     | -7.197E-3 5.584 -190.2E-3 |                            |                               |
| 267 EL 104                  | (10) (16) (16) (15) (10) (9) (16) (11) (9) (10) (16) (15)   | -34.19 762.4E-6 -1.241    | 4.588 -21.20E-3             | 98               | (10) (16) (16) (15) (10) (9) (16) (11) (9) (10) (16) (15)   | -34.19 762.4E-6 166.9E-3  | 4.588 -21.20E-3           | -43.68 -51.61E-3 36.78E-3  | -3.334E-3 -464.6E-3 -3.025E-3 |
| 310 EL 100                  | (10) (12) (15) (16) (12) (10) (15) (16) (15) (10) (12) (15) | -40.07 54.81E-3 -38.83E-3 | 3.181E-3 -340.6E-3 47.54E-3 | 123              | (10) (12) (15) (16) (12) (10) (15) (16) (15) (10) (12) (15) | -40.07 54.81E-3 1.383     | 3.181E-3 2.184 499.5E-6   | -44.66 -995.1E-6 -100.8E-3 | -11.03E-6 -2.012 -169.6E-3    |
| 311 EL 123                  | (10) (11) (10) (15) (11) (12) (11) (12) (11) (10) (12) (11) | -22.57 -886.8E-3 -26.09   | 7.790E-3 7.201 -126.4E-3    | 122              | (10) (11) (10) (15) (11) (12) (11) (12) (11) (10) (12) (11) | -22.57 -886.8E-3 -26.09   | 7.790E-3 7.201 -126.4E-3  | -22.57 -886.8E-3 -26.09    | 7.790E-3 7.201 -126.4E-3      |
| 312 EL 122                  | (12) (11) (10) (11) (15) (9) (11) (16) (16) (15) (10) (11)  | 29.44 -17.88E-3 -1.700    | 5.513E-3 2.999 -53.95E-3    | 64               | (12) (11) (10) (11) (15) (9) (11) (16) (16) (15) (10) (11)  | 29.44 -17.88E-3 -608.9E-3 | 5.513E-3 -1.151 30.69E-3  | 16.46 -48.56E-3 -827.2E-3  | -323.1E-6 -1.376 324.0E-6     |
| 313 EL 99                   | (10) (13) (11) (12) (14) (10) (15) (10) (10) (14) (11) (12) | -39.76 51.48E-3 -31.25E-3 | 3.205E-3 -349.6E-3 44.11E-3 | 124              | (10) (13) (11) (12) (14) (10) (15) (10) (10) (14) (11) (12) | -39.76 51.48E-3 1.358     | 3.205E-3 2.294 2.221E-3   | -44.61 -1.281E-3 -97.82E-3 | 85.12E-6 -413.9E-3 -2.902E-3  |
| 314 EL 124                  | (15) (16) (10) (15) (10) (15) (15) (10) (15) (10) (11) (12) | -22.27 -789.9E-3 -26.81   | 6.715E-3 7.911 219.0E-3     | 121              | (15) (16) (10) (15) (10) (15) (15) (10) (15) (10) (11) (12) | -22.27 -789.9E-3 -26.81   | 6.715E-3 7.911 219.0E-3   | -28.98 -898.9E-3 -35.88    | 927.7E-6 6.219 -193.1E-3      |
| 315 EL 121                  | (15) (16) (10) (9) (10) (11) (11) (12) (11) (10) (10) (11)  | 33.59 -17.83E-3 -1.799    | 5.367E-3 3.470 -52.62E-3    | 20               | (15) (16) (10) (9) (10) (11) (11) (12) (11) (10) (10) (11)  | 33.59 -17.83E-3 -1.799    | 5.367E-3 3.470 -52.62E-3  | -28.98 -898.9E-3 -35.88    | 927.7E-6 6.219 -193.1E-3      |

Maximum values in this output:

|                |        |           |        |           |           |           |          |
|----------------|--------|-----------|--------|-----------|-----------|-----------|----------|
| 315 EL 121 15) | 33.59  | -17.83E-3 | -1.799 | 5.367E-3  | 3.470     | -52.62E-3 |          |
| 266 EL 102 11) | -33.01 | 2.182     | 30.32  | -7.197E-3 | -6.009    | 986.3E-3  |          |
| 267 EL 104 11) | -34.19 | 762.4E-6  | -1.241 | 4.588     | -21.20E-3 | -8.637    | 555.2E-3 |
| 311 EL 123 11) | -22.57 | -886.8E-3 | -26.09 | 7.790E-3  | 7.201     | -126.4E-3 |          |
| 312 EL 122 15) | 29.44  | -17.88E-3 | -1.700 | 5.513E-3  | 2.999     | -53.95E-3 |          |
| 311 EL 123 15) | -22.57 | -886.8E-3 | -26.09 | 7.790E-3  | 7.201     | -126.4E-3 |          |

Minimum values in this output:

|                |        |           |           |           |           |           |
|----------------|--------|-----------|-----------|-----------|-----------|-----------|
| 310 EL 100 12) | -40.07 | 54.81E-3  | -38.83E-3 | 3.181E-3  | -340.6E-3 | 47.54E-3  |
| 311 EL 123 15) | -22.57 | -886.8E-3 | -26.09    | 7.790E-3  | 7.201     | -126.4E-3 |
| 314 EL 124 15) | -22.27 | -789.9E-3 | -26.81    | 6.715E-3  | 7.911     | 219.0E-3  |
| 266 EL 102 11) | -33.01 | 2.182     | 30.32     | -7.197E-3 | -6.009    | 986.3E-3  |
| 283 EL 101 11) | -28.91 | -178.6E-3 | 44.91     | -8.890E-3 | -8.636    | 486.4E-3  |
| 263 EL 103 9)  | -30.79 | 1.027     | 39.20     | -1.055E-3 | 7.234     | -199.7E-3 |

BEAM & SPRING FORCE & MOMENT ENVELOPES

| Elem Load Node no. case no. | Beam Property 24  |                           |                              |                  |   |                        |                            |                    |                              |                     |                            |        |
|-----------------------------|---|---------------------------|------------------------------|------------------|---|------------------------|----------------------------|--------------------|------------------------------|---------------------|----------------------------|--------|
|                             | Axial [kN] Fx   | Shear [kN] Fy             | Torsion [kNm] Mxz            | Moment [kNm] Myz |   |                        |                            |                    |                              |                     |                            |        |
| 288 EL 93                   | (15) (10) (9) (15) (10) (16) (10) (11) (16) (10) (9) (15)   | 31.82 548.6E-3 -7.948     | -12.12E-3 7.225 90.32E-3     | 117              | (15) (10) (9) (15) (10) (16) (10) (11) (16) (10) (9) (15)   | 31.82 548.6E-3 -7.948  | -12.12E-3 7.225 90.32E-3   | -23.59 1.027 45.08 | -917.2E-6 8.637 555.2E-3     | 39.80 -1.446 -9.392 | -320.4E-3 -348.6E-3 -8.514 |        |
| 289 EL 117                  | (14) (10) (10) (11) (13) (16) (15) (9) (16) (15) (10) (11)  | 44.05 -91.91E-3 -669.3E-3 | 11.78E-3 -589.3E-3 -265.8E-3 | 97               | (14) (10) (10) (11) (13) (16) (15) (9) (16) (15) (10) (11)  | 44.05 -91.91E-3 2.065  | 11.78E-3 772.2E-3 3.542E-3 | 34.49 -1.882 1.721 | -778.2E-6 342.8E-3 -33.66E-3 |                     |                            |        |
| 291 EL 94                   | (12) (10) (10) (11) (10) (11) (16) (15) (11) (10) (16) (11) | 51.14 -454.6E-3 -7.999    | -10.63E-3 7.642 -585.8E-3    | 119              | (12) (10) (10) (11) (10) (11) (16) (15) (11) (10) (16) (11) | 51.14 -454.6E-3 -7.999 | -10.63E-3 7.642 -585.8E-3  | 39.82              | -0.492                       | -9.922              | -226.4E-3 -389.9E-3        | -8.385 |

KOC UNIVERSITESI

SPOR SALONU

CELIK CATI ANA MAKASLARI t.seh

Job No. 38035, Sheet No., Rev., Drg. Ref., Made by SR, Date 06-May-98, Checked

BEAM & SPRING FORCE & MOMENT ENVELOPES

Beam Property 24 table with columns: Elem Load Node no. case no., Axial [kN] Fx, Shear [kN] Fy, Torsion [kNm] Mxx, Moment [kNm] Myy, Mzz. Includes maximum and minimum values in this output.

BEAM & SPRING FORCE & MOMENT ENVELOPES

Beam Property 25 table with columns: Elem Load Node no. case no., Axial [kN] Fx, Shear [kN] Fy, Torsion [kNm] Mxx, Moment [kNm] Myy, Mzz. Includes maximum and minimum values in this output.

BEAM & SPRING FORCE & MOMENT ENVELOPES

Beam Property 26 table with columns: Elem Load Node no. case no., Axial [kN] Fx, Shear [kN] Fy, Torsion [kNm] Mxx, Moment [kNm] Myy, Mzz. Includes maximum and minimum values in this output.

BEAM & SPRING FORCE & MOMENT ENVELOPES

Beam Property 27 table with columns: Elem Load Node no. case no., Axial [kN] A, Bending [kNm] Bx, By, Bz, Combined [kN/cm] Cx, Cy. Includes maximum and minimum values in this output.

KOC UNIVERSITESI

SPOR SALONU

CELIK CATI ANA MAKASLARI t.seh

|           |           |         |
|-----------|-----------|---------|
| Job No.   | Sheet No. | Rev.    |
| 38035     |           |         |
| Drg. Ref. |           |         |
| Made by   | Date      | Checked |
| SK        | 06-May-98 |         |

BEAM STRESS ENVELOPES

| Elem no. | Load case | Node no. | Beam Property 1 |             |             |             |             |
|----------|-----------|----------|-----------------|-------------|-------------|-------------|-------------|
|          |           |          | Axial           | Bending     | Combined    | Cl          | C2          |
| 26       | E1        | 21       | ( 15) ( 16)     | ( 11) ( 10) | ( 15) ( 16) | ( 15) ( 16) | ( 15) ( 16) |
| 23       |           | 23       | ( 15) ( 16)     | ( 10) ( 15) | ( 11) ( 10) | ( 15) ( 16) | ( 15) ( 16) |
| 27       | E1        | 23       | ( 15) ( 16)     | ( 10) ( 15) | ( 11) ( 10) | ( 15) ( 16) | ( 15) ( 16) |
| 24       |           | 24       | ( 15) ( 16)     | ( 10) ( 15) | ( 11) ( 10) | ( 15) ( 16) | ( 15) ( 16) |
| 28       | E1        | 24       | ( 15) ( 16)     | ( 10) ( 15) | ( 11) ( 10) | ( 15) ( 16) | ( 15) ( 16) |
| 25       |           | 25       | ( 15) ( 16)     | ( 10) ( 15) | ( 11) ( 12) | ( 15) ( 16) | ( 15) ( 16) |
| 29       | E1        | 25       | ( 15) ( 16)     | ( 10) ( 15) | ( 11) ( 10) | ( 15) ( 16) | ( 15) ( 16) |
| 26       |           | 26       | ( 15) ( 16)     | ( 10) ( 15) | ( 12) ( 11) | ( 15) ( 16) | ( 15) ( 16) |
| 30       | E1        | 26       | ( 15) ( 16)     | ( 10) ( 15) | ( 9) ( 15)  | ( 15) ( 16) | ( 15) ( 16) |
| 27       |           | 27       | ( 15) ( 16)     | ( 10) ( 11) | ( 15) ( 9)  | ( 15) ( 16) | ( 15) ( 16) |
| 31       | E1        | 27       | ( 11) ( 10)     | ( 10) ( 15) | ( 11) ( 12) | ( 11) ( 10) | ( 11) ( 10) |
| 28       |           | 28       | ( 11) ( 10)     | ( 10) ( 11) | ( 12) ( 11) | ( 11) ( 10) | ( 11) ( 10) |
| 29       | E1        | 28       | ( 11) ( 10)     | ( 10) ( 11) | ( 15) ( 10) | ( 11) ( 10) | ( 11) ( 10) |
| 30       |           | 30       | ( 11) ( 10)     | ( 10) ( 11) | ( 15) ( 10) | ( 11) ( 10) | ( 11) ( 10) |
| 33       | E1        | 29       | ( 11) ( 10)     | ( 10) ( 11) | ( 15) ( 9)  | ( 11) ( 10) | ( 11) ( 10) |
| 30       |           | 30       | ( 11) ( 10)     | ( 10) ( 11) | ( 15) ( 10) | ( 11) ( 10) | ( 11) ( 10) |
| 34       | E1        | 30       | ( 11) ( 10)     | ( 10) ( 11) | ( 15) ( 10) | ( 11) ( 10) | ( 11) ( 10) |
| 31       |           | 31       | ( 11) ( 10)     | ( 10) ( 11) | ( 15) ( 10) | ( 11) ( 10) | ( 11) ( 10) |
| 35       | E1        | 31       | ( 11) ( 10)     | ( 10) ( 11) | ( 15) ( 10) | ( 11) ( 10) | ( 11) ( 16) |
| 22       |           | 22       | ( 11) ( 10)     | ( 15) ( 10) | ( 11) ( 10) | ( 11) ( 10) | ( 11) ( 10) |
| 36       | E1        | 22       | ( 11) ( 16)     | ( 10) ( 11) | ( 11) ( 10) | ( 11) ( 16) | ( 10) ( 16) |
| 32       |           | 32       | ( 11) ( 16)     | ( 12) ( 11) | ( 12) ( 11) | ( 9) ( 16)  | ( 11) ( 16) |
| 37       | E1        | 32       | ( 10) ( 15)     | ( 10) ( 15) | ( 12) ( 11) | ( 10) ( 15) | ( 10) ( 15) |
| 4        |           | 4        | ( 10) ( 15)     | ( 15) ( 10) | ( 10) ( 15) | ( 10) ( 16) | ( 10) ( 16) |
| 94       | E1        | 46       | ( 15) ( 16)     | ( 16) ( 15) | ( 10) ( 11) | ( 15) ( 16) | ( 15) ( 16) |
| 64       |           | 64       | ( 15) ( 16)     | ( 15) ( 9)  | ( 16) ( 15) | ( 15) ( 16) | ( 18) ( 16) |
| 96       | E1        | 64       | ( 12) ( 16)     | ( 16) ( 15) | ( 11) ( 10) | ( 12) ( 16) | ( 12) ( 16) |
| 65       |           | 65       | ( 12) ( 16)     | ( 16) ( 15) | ( 15) ( 16) | ( 12) ( 16) | ( 12) ( 16) |
| 100      | E1        | 65       | ( 12) ( 11)     | ( 16) ( 15) | ( 15) ( 16) | ( 12) ( 11) | ( 12) ( 11) |
| 67       |           | 67       | ( 12) ( 11)     | ( 11) ( 12) | ( 11) ( 10) | ( 12) ( 11) | ( 12) ( 11) |

BEAM STRESS ENVELOPES

| Elem no. | Load case | Node no. | Beam Property 1 |             |             |             |             |
|----------|-----------|----------|-----------------|-------------|-------------|-------------|-------------|
|          |           |          | Axial           | Bending     | Combined    | Cl          | C2          |
| 101      | E1        | 67       | ( 12) ( 11)     | ( 10) ( 12) | ( 11) ( 10) | ( 12) ( 11) | ( 12) ( 11) |
| 68       |           | 68       | ( 12) ( 11)     | ( 11) ( 12) | ( 11) ( 10) | ( 12) ( 11) | ( 12) ( 11) |
| 102      | E1        | 68       | ( 12) ( 11)     | ( 10) ( 12) | ( 11) ( 10) | ( 12) ( 11) | ( 12) ( 11) |
| 69       |           | 69       | ( 12) ( 11)     | ( 11) ( 12) | ( 11) ( 12) | ( 12) ( 11) | ( 12) ( 11) |
| 103      | E1        | 69       | ( 12) ( 11)     | ( 11) ( 12) | ( 11) ( 10) | ( 12) ( 11) | ( 12) ( 11) |
| 70       |           | 70       | ( 12) ( 11)     | ( 10) ( 12) | ( 10) ( 12) | ( 12) ( 11) | ( 12) ( 11) |
| 71       |           | 71       | ( 12) ( 11)     | ( 15) ( 9)  | ( 11) ( 12) | ( 12) ( 11) | ( 12) ( 11) |
| 105      | E1        | 71       | ( 9) ( 15)      | ( 11) ( 12) | ( 11) ( 12) | ( 9) ( 15)  | ( 9) ( 15)  |
| 72       |           | 72       | ( 9) ( 15)      | ( 10) ( 9)  | ( 12) ( 11) | ( 9) ( 15)  | ( 9) ( 15)  |
| 106      | E1        | 72       | ( 9) ( 15)      | ( 10) ( 9)  | ( 12) ( 11) | ( 9) ( 15)  | ( 9) ( 15)  |
| 73       |           | 73       | ( 9) ( 15)      | ( 15) ( 9)  | ( 11) ( 10) | ( 9) ( 15)  | ( 9) ( 15)  |
| 107      | E1        | 73       | ( 9) ( 15)      | ( 15) ( 9)  | ( 15) ( 9)  | ( 9) ( 15)  | ( 9) ( 15)  |
| 74       |           | 74       | ( 9) ( 15)      | ( 10) ( 9)  | ( 15) ( 10) | ( 9) ( 15)  | ( 9) ( 15)  |
| 108      | E1        | 74       | ( 9) ( 15)      | ( 15) ( 9)  | ( 15) ( 10) | ( 9) ( 15)  | ( 9) ( 15)  |
| 75       |           | 75       | ( 9) ( 15)      | ( 10) ( 9)  | ( 15) ( 10) | ( 9) ( 15)  | ( 9) ( 15)  |
| 109      | E1        | 75       | ( 9) ( 15)      | ( 15) ( 9)  | ( 15) ( 10) | ( 9) ( 15)  | ( 9) ( 15)  |
| 66       |           | 66       | ( 9) ( 15)      | ( 15) ( 11) | ( 11) ( 10) | ( 9) ( 15)  | ( 9) ( 15)  |
| 110      | E1        | 66       | ( 9) ( 16)      | ( 10) ( 11) | ( 11) ( 10) | ( 9) ( 16)  | ( 9) ( 16)  |
| 76       |           | 76       | ( 9) ( 16)      | ( 12) ( 11) | ( 11) ( 10) | ( 9) ( 16)  | ( 9) ( 16)  |
| 111      | E1        | 76       | ( 11) ( 12)     | ( 11) ( 12) | ( 16) ( 11) | ( 11) ( 12) | ( 11) ( 12) |
| 48       |           | 48       | ( 11) ( 12)     | ( 12) ( 11) | ( 10) ( 15) | ( 11) ( 12) | ( 11) ( 12) |

Maximum values in this output:  
 Elem no. Node no. Axial Bending Combined Cl C2  
 30 E1 26 15 78.12E+3 -9.494E+3 1.645E+3 87.75E+3 68.48E+3  
 20 E1 2 11-25.12E+3 17.18E+3 -7.473E+3 -6.584E+3 44.06E+3  
 32 E1 29 15 73.21E+3 -8.687E+3 4.776E+3 63.13E+3 63.30E+3  
 30 E1 27 15 73.10E+3 -9.966E+3 -1.345E+3 88.16E+3 68.04E+3  
 30 E1 26 15 78.12E+3 -9.494E+3 1.645E+3 87.75E+3 68.48E+3

Minimum values in this output:  
 Elem no. Node no. Axial Bending Combined Cl C2  
 37 E1 4 15-25.73E+3 17.00E+3 -7.800E+3 -7.028E+3 -44.44E+3  
 28 E1 25 15 63.88E+3 -10.93E+3 1.912E+3 74.98E+3 52.79E+3  
 111 E1 48 15-14.64E+3 8.148E+3 -2.749E+3 -1.938E+3 -27.34E+3  
 37 E1 32 15-25.64E+3 -9.331E+3 -1.69E+3 -16.31E+3 -36.97E+3  
 37 E1 4 15-25.73E+3 17.00E+3 -7.800E+3 -7.028E+3 -44.44E+3

KOC UNIVERSITESI  
SPOR SALONU  
CELIK CATI ANA MAKASLARI t.seh

|           |           |         |
|-----------|-----------|---------|
| Job No.   | Sheet No. | Rev.    |
| 38035     |           |         |
| Drg. Ref. |           |         |
| Made by   | Date      | Checked |
| SK        | 06-May-98 |         |

BEAM STRESS ENVELOPES

| Elem Load Node no. case no. | Beam Property 2 |               |               |               |               |
|-----------------------------|-----------------|---------------|---------------|---------------|---------------|
|                             | Axial A         | Bending By    | Bs            | Combined Cl   | C2            |
| 18 EL 13                    | ( 10 ) ( 9 )    | ( 16 ) ( 15 ) | ( 12 ) ( 11 ) | ( 10 ) ( 9 )  | ( 10 ) ( 9 )  |
| -66.83E+3                   | -11.50E+3       | 4.346E+3      | -54.59E+3     | -79.97E+3     |               |
| -76.41E+3                   | -15.07E+3       | 773.1         | -69.12E+3     | -89.69E+3     |               |
| 19                          | ( 10 ) ( 12 )   | ( 10 ) ( 11 ) | ( 15 ) ( 9 )  | ( 10 ) ( 14 ) | ( 10 ) ( 12 ) |
| -66.83E+3                   | 3.779E+3        | 1.584E+3      | -62.98E+3     | -70.70E+3     |               |
| -76.42E+3                   | -699.3          | -967.7        | -73.79E+3     | -79.48E+3     |               |
| 19 EL 19                    | ( 10 ) ( 12 )   | ( 10 ) ( 11 ) | ( 15 ) ( 9 )  | ( 10 ) ( 14 ) | ( 10 ) ( 12 ) |
| -66.83E+3                   | 3.779E+3        | 1.584E+3      | -62.98E+3     | -70.70E+3     |               |
| -76.42E+3                   | -699.3          | -967.7        | -73.79E+3     | -79.48E+3     |               |
| 14                          | ( 10 ) ( 12 )   | ( 16 ) ( 11 ) | ( 9 ) ( 15 )  | ( 10 ) ( 12 ) | ( 10 ) ( 12 ) |
| -66.83E+3                   | -11.50E+3       | 4.314E+3      | -54.43E+3     | -79.23E+3     |               |
| -76.51E+3                   | -15.05E+3       | 765.0         | -63.28E+3     | -89.74E+3     |               |
| 66 EL 5                     | ( 10 ) ( 15 )   | ( 15 ) ( 10 ) | ( 12 ) ( 11 ) | ( 11 ) ( 10 ) | ( 10 ) ( 15 ) |
| -15.17E+3                   | 22.62E+3        | 283.9         | 9.753E+3      | -31.51E+3     |               |
| -21.20E+3                   | 16.34E+3        | -21.10E+3     | 1.177E+3      | -82.13E+3     |               |
| 33                          | ( 10 ) ( 15 )   | ( 11 ) ( 12 ) | ( 12 ) ( 11 ) | ( 10 ) ( 15 ) | ( 10 ) ( 15 ) |
| -15.13E+3                   | -3.19E+3        | 1.465E+3      | -11.60E+3     | -18.66E+3     |               |
| -21.20E+3                   | -4.11E+3        | -568.7        | -17.64E+3     | -24.76E+3     |               |
| 67 EL 33                    | ( 10 ) ( 15 )   | ( 11 ) ( 12 ) | ( 12 ) ( 11 ) | ( 10 ) ( 15 ) | ( 10 ) ( 15 ) |
| -14.33E+3                   | -2.767E+3       | 1.465E+3      | -11.48E+3     | -18.45E+3     |               |
| -20.97E+3                   | -6.06E+3        | -569.1        | -17.80E+3     | -24.14E+3     |               |
| 7                           | ( 10 ) ( 15 )   | ( 16 ) ( 15 ) | ( 10 ) ( 11 ) | ( 10 ) ( 14 ) | ( 10 ) ( 15 ) |
| -14.89E+3                   | -1.943E+3       | -143.5        | -12.61E+3     | -17.17E+3     |               |
| -20.95E+3                   | -4.976E+3       | -6.181E+3     | -14.51E+3     | -28.88E+3     |               |
| 68 EL 8                     | ( 10 ) ( 11 )   | ( 15 ) ( 11 ) | ( 10 ) ( 15 ) | ( 10 ) ( 9 )  | ( 10 ) ( 11 ) |
| -11.93E+3                   | -2.030E+3       | -155.8        | -11.17E+3     | -16.69E+3     |               |
| -20.73E+3                   | -8.075E+3       | -6.157E+3     | -13.85E+3     | -28.71E+3     |               |
| 34                          | ( 10 ) ( 11 )   | ( 10 ) ( 15 ) | ( 15 ) ( 16 ) | ( 10 ) ( 11 ) | ( 10 ) ( 11 ) |
| -13.96E+3                   | -2.473E+3       | 1.419E+3      | -11.45E+3     | -16.47E+3     |               |
| -26.77E+3                   | -3.523E+3       | -833.1        | -17.70E+3     | -23.76E+3     |               |
| 69 EL 34                    | ( 10 ) ( 11 )   | ( 10 ) ( 16 ) | ( 15 ) ( 16 ) | ( 10 ) ( 11 ) | ( 10 ) ( 11 ) |
| -14.13E+3                   | -2.515E+3       | 1.412E+3      | -11.57E+3     | -16.68E+3     |               |
| -21.00E+3                   | -3.869E+3       | -532.4        | -17.63E+3     | -24.37E+3     |               |
| 6                           | ( 10 ) ( 11 )   | ( 11 ) ( 10 ) | ( 9 ) ( 15 )  | ( 10 ) ( 11 ) | ( 10 ) ( 11 ) |
| -14.15E+3                   | 22.56E+3        | 221.3         | 10.08E+3      | -29.13E+3     |               |
| -21.04E+3                   | 15.07E+3        | -21.30E+3     | 903.7         | -52.12E+3     |               |
| 70 EL 7                     | ( 10 ) ( 15 )   | ( 15 ) ( 10 ) | ( 12 ) ( 11 ) | ( 11 ) ( 14 ) | ( 10 ) ( 15 ) |
| -24.79E+3                   | 9.944E+3        | -402.4        | -16.29E+3     | -32.43E+3     |               |
| -29.97E+3                   | 7.633E+3        | -9.419E+3     | -19.41E+3     | -41.28E+3     |               |
| 35                          | ( 10 ) ( 15 )   | ( 10 ) ( 13 ) | ( 11 ) ( 12 ) | ( 11 ) ( 14 ) | ( 10 ) ( 15 ) |
| -24.75E+3                   | -9.207E+3       | 12.43E+3      | -13.24E+3     | -33.97E+3     |               |
| -29.85E+3                   | -10.76E+3       | -803.1        | -17.52E+3     | -46.28E+3     |               |
| 71 EL 35                    | ( 10 ) ( 15 )   | ( 10 ) ( 14 ) | ( 13 ) ( 12 ) | ( 11 ) ( 14 ) | ( 10 ) ( 15 ) |
| -24.50E+3                   | -9.161E+3       | 12.43E+3      | -13.35E+3     | -33.75E+3     |               |
| -29.68E+3                   | -10.51E+3       | -803.1        | -17.48E+3     | -48.80E+3     |               |
| 9                           | ( 10 ) ( 15 )   | ( 16 ) ( 15 ) | ( 12 ) ( 11 ) | ( 11 ) ( 14 ) | ( 10 ) ( 15 ) |
| -24.54E+3                   | 2.496E+3        | 150.7         | -21.83E+3     | -28.34E+3     |               |
| -29.64E+3                   | 585.1           | -7.531E+3     | -25.87E+3     | -37.18E+3     |               |
| 72 EL 9                     | ( 10 ) ( 15 )   | ( 16 ) ( 10 ) | ( 12 ) ( 11 ) | ( 10 ) ( 12 ) | ( 10 ) ( 15 ) |
| -40.72E+3                   | 4.908E+3        | 191.6         | -36.67E+3     | -44.78E+3     |               |
| -47.27E+3                   | 4.053E+3        | -8.839E+3     | -41.31E+3     | -97.17E+3     |               |
| 36                          | ( 10 ) ( 15 )   | ( 10 ) ( 15 ) | ( 11 ) ( 12 ) | ( 10 ) ( 14 ) | ( 10 ) ( 15 ) |
| -40.69E+3                   | -11.55E+3       | 18.46E+3      | -29.12E+3     | -82.26E+3     |               |
| -47.27E+3                   | -14.06E+3       | -782.9        | -32.79E+3     | -64.79E+3     |               |
| 73 EL 36                    | ( 10 ) ( 15 )   | ( 10 ) ( 15 ) | ( 11 ) ( 12 ) | ( 10 ) ( 14 ) | ( 10 ) ( 15 ) |
| -40.59E+3                   | -11.50E+3       | 10.48E+3      | -29.03E+3     | -82.07E+3     |               |
| -45.11E+3                   | -13.99E+3       | -339.5        | -32.70E+3     | -66.30E+3     |               |
| 10                          | ( 10 ) ( 15 )   | ( 15 ) ( 15 ) | ( 12 ) ( 11 ) | ( 10 ) ( 14 ) | ( 10 ) ( 15 ) |
| -40.52E+3                   | 1.065E+3        | 678.8         | -39.75E+3     | -41.29E+3     |               |
| -47.10E+3                   | -1.243E+3       | -5.888E+3     | -45.21E+3     | -82.82E+3     |               |
| 74 EL 10                    | ( 10 ) ( 15 )   | ( 16 ) ( 15 ) | ( 12 ) ( 11 ) | ( 10 ) ( 14 ) | ( 10 ) ( 15 ) |
| -52.14E+3                   | 3.264E+3        | 423.8         | -50.61E+3     | -89.67E+3     |               |
| -60.85E+3                   | 2.189E+3        | -6.996E+3     | -57.20E+3     | -68.16E+3     |               |
| 37                          | ( 10 ) ( 15 )   | ( 10 ) ( 15 ) | ( 11 ) ( 12 ) | ( 10 ) ( 12 ) | ( 10 ) ( 15 ) |
| -51.13E+3                   | -13.47E+3       | 9.353E+3      | -39.62E+3     | -66.61E+3     |               |
| -60.85E+3                   | -16.28E+3       | -888.4        | -44.68E+3     | -79.62E+3     |               |
| 75 EL 37                    | ( 10 ) ( 15 )   | ( 10 ) ( 15 ) | ( 11 ) ( 12 ) | ( 10 ) ( 14 ) | ( 10 ) ( 15 ) |
| -51.01E+3                   | -13.43E+3       | 9.352E+3      | -39.56E+3     | -66.46E+3     |               |
| -60.73E+3                   | -15.98E+3       | -888.5        | -44.65E+3     | -79.22E+3     |               |
| 11                          | ( 10 ) ( 15 )   | ( 16 ) ( 15 ) | ( 12 ) ( 11 ) | ( 10 ) ( 14 ) | ( 10 ) ( 15 ) |
| -52.99E+3                   | -486.4          | 812.9         | -59.83E+3     | -94.14E+3     |               |
| -60.73E+3                   | -2.502E+3       | -3.726E+3     | -68.77E+3     | -85.21E+3     |               |
| 76 EL 11                    | ( 10 ) ( 14 )   | ( 16 ) ( 15 ) | ( 12 ) ( 11 ) | ( 10 ) ( 12 ) | ( 10 ) ( 15 ) |
| -61.89E+3                   | 870.7           | 425.7         | -61.51E+3     | -82.27E+3     |               |
| -70.02E+3                   | -478.1          | -6.013E+3     | -69.91E+3     | -74.83E+3     |               |
| 38                          | ( 10 ) ( 14 )   | ( 10 ) ( 15 ) | ( 11 ) ( 12 ) | ( 10 ) ( 12 ) | ( 10 ) ( 15 ) |
| -61.87E+3                   | -13.54E+3       | 8.380E+3      | -48.01E+3     | -75.74E+3     |               |
| -78.09E+3                   | -17.90E+3       | -920.8        | -94.31E+3     | -88.82E+3     |               |
| 77 EL 38                    | ( 10 ) ( 14 )   | ( 10 ) ( 15 ) | ( 11 ) ( 12 ) | ( 10 ) ( 12 ) | ( 10 ) ( 15 ) |
| -70.01E+3                   | -13.50E+3       | 6.304E+3      | -47.98E+3     | -75.83E+3     |               |
| -78.01E+3                   | -17.46E+3       | -919.6        | -94.27E+3     | -88.53E+3     |               |
| 12                          | ( 10 ) ( 14 )   | ( 16 ) ( 11 ) | ( 12 ) ( 11 ) | ( 10 ) ( 12 ) | ( 10 ) ( 15 ) |
| -61.73E+3                   | 179.5           | 1.058E+3      | -60.89E+3     | -62.73E+3     |               |
| -70.07E+3                   | -4.324E+3       | -5.004E+3     | -69.89E+3     | -76.39E+3     |               |
| 78 EL 12                    | ( 10 ) ( 12 )   | ( 16 ) ( 15 ) | ( 12 ) ( 11 ) | ( 11 ) ( 12 ) | ( 10 ) ( 15 ) |
| -67.06E+3                   | 1.729E+3        | 382.6         | -65.09E+3     | -68.35E+3     |               |
| -76.11E+3                   | -1.268E+3       | -8.284E+3     | -74.82E+3     | -82.92E+3     |               |
| 39                          | ( 10 ) ( 12 )   | ( 11 ) ( 12 ) | ( 11 ) ( 12 ) | ( 10 ) ( 14 ) | ( 10 ) ( 15 ) |
| -67.09E+3                   | -15.37E+3       | 17.18E+3      | -48.77E+3     | -88.31E+3     |               |
| -76.18E+3                   | -20.39E+3       | -2.579E+3     | -86.42E+3     | -97.11E+3     |               |

BEAM STRESS ENVELOPES

| Elem Load Node no. case no. | Beam Property 2 |               |               |               |               |
|-----------------------------|-----------------|---------------|---------------|---------------|---------------|
|                             | Axial A         | Bending By    | Bs            | Combined Cl   | C2            |
| 79 EL 39                    | ( 10 ) ( 12 )   | ( 11 ) ( 12 ) | ( 11 ) ( 12 ) | ( 10 ) ( 14 ) | ( 10 ) ( 15 ) |
| -67.02E+3                   | -15.24E+3       | 17.18E+3      | -48.78E+3     | -88.27E+3     |               |
| -76.14E+3                   | -20.16E+3       | -2.581E+3     | -56.48E+3     | -97.01E+3     |               |
| 13                          | ( 10 ) ( 12 )   | ( 10 ) ( 11 ) | ( 12 ) ( 11 ) | ( 10 ) ( 12 ) | ( 10 ) ( 15 ) |
| -67.00E+3                   | -8.795E+3       | 5.697E+3      | -56.93E+3     | -77.08E+3     |               |
| -76.21E+3                   | -13.56E+3       | 594.3         | -69.08E+3     | -87.63E+3     |               |
| 80 EL 14                    | ( 10 ) ( 9 )    | ( 16 ) ( 15 ) | ( 9 ) ( 15 )  | ( 10 ) ( 9 )  | ( 10 ) ( 11 ) |
| -65.60E+3                   | -8.774E+3       | 5.665E+3      | -55.04E+3     | -76.15E+3     |               |
| -75.75E+3                   | -13.58E+3       | 587.4         | -64.56E+3     | -87.50E+3     |               |
| 40                          | ( 10 ) ( 9 )    | ( 19 ) ( 9 )  | ( 18 ) ( 9 )  | ( 10 ) ( 14 ) | ( 10 ) ( 11 ) |
| -65.60E+3                   | -15.21E+3       | 17.17E+3      | -48.81E+3     | -82.40E+3     |               |
| -75.76E+3                   | -20.23E+3       | -2.508E+3     | -59.94E+3     | -96.88E+3     |               |
| 81 EL 40                    | ( 10 ) ( 9 )    | ( 16 ) ( 9 )  | ( 18 ) ( 9 )  | ( 10 ) ( 14 ) | ( 10 ) ( 11 ) |
| -65.63E+3                   | -15.33E+3       | 17.17E+3      | -48.81E+3     | -82.40E+3     |               |
| -75.80E+3                   | -20.26E+3       | -2.506E+3     | -59.92E+3     | -96.98E+3     |               |
| 15                          | ( 10 ) ( 9 )    | ( 16 ) ( 11 ) | ( 9 ) ( 15 )  | ( 10 ) ( 14 ) | ( 10 ) ( 11 ) |
| -65.64E+3                   | -1.727E+3       | 313.5         | -65.02E+3     | -66.23E+3     |               |
| -75.81E+3                   | -1.216E+3       | -8.264E+3     | -74.46E+3     | -82.82E+3     |               |
| 82 EL 15                    | ( 10 ) ( 11 )   | ( 16 ) ( 15 ) | ( 9 ) ( 15 )  | ( 10 ) ( 9 )  | ( 10 ) ( 11 ) |
| -69.31E+3                   | 158.4           | 1.019E+3      | -55.20E+3     | -60.82E+3     |               |
| -69.31E+3                   | -4.115E+3       | -5.012E+3     | -68.17E+3     | -75.11E+3     |               |
| 41                          | ( 10 ) ( 11 )   | ( 10 ) ( 11 ) | ( 12 ) ( 9 )  | ( 10 ) ( 11 ) | ( 10 ) ( 11 ) |
| -69.52E+3                   | -12.26E+3       | 6.387E+3      | -47.23E+3     | -71.81E+3     |               |
| -69.52E+3                   | -17.63E+3       | -900.1        | -53.76E+3     | -88.27E+3     |               |
| 83 EL 41                    | ( 10 ) ( 11 )   | ( 10 ) ( 11 ) | ( 13 ) ( 9 )  | ( 10 ) ( 9 )  | ( 10 ) ( 11 ) |
| -69.58E+3                   | -12.30E+3       | 6.383E+3      | -47.23E+3     | -71.90E+3     |               |
| -69.60E+3                   | -17.66E+3       | -901.3        | -53.80E+3     | -88.86E+3     |               |
| 16                          | ( 10 ) ( 11 )   | ( 16 ) ( 10 ) | ( 9 ) ( 15 )  | ( 10 ) ( 9 )  | ( 10 ) ( 11 ) |
| -69.59E+3                   | 544.8           | 397.9         | -58.87E+3     | -60.32E+3     |               |
| -69.62E+3                   | -651.8          | -5.036E+3     | -68.94E+3     | -74.67E+3     |               |
| 84 EL 16                    | ( 10 ) ( 11 )   | ( 16 ) ( 11 ) | ( 9 ) ( 15 )  | ( 10 ) ( 9 )  | ( 10 ) ( 11 ) |
| -80.39E+3                   | -524.5          | 783.2         | -48.62E+3     | -52.16E+3     |               |
| -80.43E+3                   | -2.339E+3       | -3.732E+3     | -57.62E+3     | -64.93E+3     |               |
| 42                          | ( 10 ) ( 11 )   | ( 10 ) ( 11 ) | ( 15 ) ( 9 )  | ( 10 ) ( 9 )  | ( 10 ) ( 11 ) |
| -80.41E+3                   | -11.75E+3       | 9.259E+3      | -38.64E+3     | -79.20E+3     |               |
| -80.45E+3                   | -15.79E+3       | -855.6        | -44.08E+3     | -78.80E+3     |               |
| 85 EL 42                    | ( 10 ) ( 11 )   | ( 10 ) ( 11 ) | ( 15 ) ( 9 )  | ( 10 ) ( 9 )  | ( 10 ) ( 11 ) |
| -80.45E+3                   | -11.75E+3       | 9.259E+3      | -38.68E+3     | -62.31E+3     |               |
| -80.47E+3                   | -16.13E+3       | -855.5        | -44.15E+3     | -79.20E+3     |               |
| 17                          | ( 10 ) ( 11 )   | ( 16 ) ( 10 ) | ( 9 ) ( 15 )  | ( 10 ) ( 9 )  | ( 10 ) ( 11 ) |
| -80.52E+3                   | 3.182E+3        | 397.4         | -48.76E+3     | -52.28E+3     |               |
| -80.59E+3                   | 1.731E+3        | -6.993E+3     | -56.27E+3     | -67.89E+3     |               |
| 86 EL 17                    | ( 10 ) ( 11 )   | ( 16 ) ( 11 ) | ( 9 ) ( 15 )  | ( 10 ) ( 9 )  | ( 10 ) ( 11 ) |
| -81.17E+3                   | 979.3           | 645.1         | -37.88E+3     | -19.76E+3     |               |
| -81.17E+3                   | -1.344E+3       | -43.99E+3     | -43.99E+3     | -52.52E+3     |               |
| 43                          | ( 10 ) ( 11 )   | ( 10 ) ( 11 ) | ( 15 ) ( 9 )  | ( 10 ) ( 9 )  | ( 10 ) ( 11 ) |
| -81.20E+3                   | -9.882E+3       | 10.99E+3      | -38.70E+3     | -45.10E+3     |               |
| -81.23E+3                   | -13.47E+3       | -716.8        | -42.12E+3     | -63.87E+3     |               |
| 87 EL 43                    | ( 10 ) ( 11 )   | ( 10 ) ( 11 ) | ( 15 ) ( 9 )  | ( 10 ) ( 9 )  | ( 10 ) ( 11 ) |
| -81.31E+3                   | -9.929E+3       | 10.48E+3      | -38.37E+3     | -48.26E+3     |               |
| -81.36E+3                   | -13.87E+3       | -717.4</      |               |               |               |

**KOC UNIVERSITESI**

**SPOR SALONU**

**CELIK CATI ANA MAKASLARI t.seh**

|           |           |         |
|-----------|-----------|---------|
| Job No.   | Sheet No. | Rev.    |
| 38035     |           |         |
| Drg. Ref. |           |         |
| Made by   | Date      | Checked |
| SK        | 06-May-98 |         |

**BEAM STRESS ENVELOPES**

| Elem no. | Load case | Node no. | Beam Property 2  |  |   |  |  |
|----------|-----------|----------|--|--|---|--|--|
|          |           |          | Axial A  | Bending By   |   | Combined [kN/m <sup>2</sup> ]  |  |
|          |           |          |  | Bs   | Cl  | C2   |  |
| 142      | 51        | 52       | (10) (11)<br>-13.99E+3<br>-17.04E+3<br>(10) (11)<br>-14.02E+3<br>-17.08E+3 | (15) (10)<br>-663.2<br>-2.73E+3<br>(10) (11)<br>-2.57E+3<br>-5.39E+3 | (15) (9)<br>13.92E+3<br>-768.0<br>(16) (15)<br>187.6<br>-11.64E+3 | (15) (9)<br>-3.94E+3<br>-13.83E+3<br>(15) (9)<br>-4.13E+3<br>-12.94E+3 | (10) (11)<br>-16.80E+3<br>-29.97E+3<br>(10) (11)<br>-16.61E+3<br>-29.89E+3 |

**BEAM STRESS ENVELOPES**

| Elem no. | Load case | Node no. | Beam Property 2  |  |  |  |  |
|----------|-----------|----------|--|--|--|--|--|
|          |           |          | Axial A  | Bending By   |  | Combined [kN/m <sup>2</sup> ]  |  |
|          |           |          |  | Bs   | Cl   | C2   |  |
| 157      | 51        | 55       | (10) (11)<br>-56.68E+3<br>-69.72E+3<br>(10) (11)<br>-56.70E+3<br>-69.73E+3 | (10) (9)<br>726.3<br>-15.24E+3<br>(10) (14)<br>966.5<br>-318.4 | (9) (15)<br>6.83E+3<br>-1.39E+3<br>(9) (15)<br>6.83E+3<br>-1.39E+3 | (10) (11)<br>-44.50E+3<br>-55.42E+3<br>(10) (14)<br>-55.65E+3<br>-69.49E+3 | (10) (11)<br>-66.68E+3<br>-82.01E+3<br>(10) (11)<br>-67.72E+3<br>-82.16E+3 |

Maximum values in this output:  
 68 El 8 10-13.91E+3 -2.76E+3 -155.8 -11.17E+3 -16.49E+3  
 69 El 6 11-21.04E+3 22.64E+3 -31.29E+3 10.04E+3 -52.12E+3  
 81 El 40 15-23.05E+3 -15.33E+3 17.17E+3 50.83E+3 -98.87E+3  
 69 El 6 15-20.91E+3 22.32E+3 -21.30E+3 10.08E+3 -51.91E+3  
 68 El 34 10-13.96E+3 -2.47E+3 -444.0 -11.45E+3 -16.47E+3

Minimum values in this output:  
 19 El 14 12-76.51E+3 -12.52E+3 4.28E+3 -63.28E+3 -89.74E+3  
 153 El 82 15-74.10E+3 -22.96E+3 15.43E+3 -66.77E+3 -101.4E+3  
 69 El 6 15-20.91E+3 22.32E+3 -21.30E+3 10.08E+3 -51.91E+3  
 78 El 12 12-76.51E+3 -12.52E+3 4.28E+3 -63.28E+3 -89.74E+3  
 153 El 82 15-74.10E+3 -22.96E+3 15.43E+3 -66.77E+3 -101.4E+3

**BEAM STRESS ENVELOPES**

| Elem no. | Load case | Node no. | Beam Property 3  |  |  |  |  |
|----------|-----------|----------|--|--|--|--|--|
|          |           |          | Axial A  | Bending By   |  | Combined [kN/m <sup>2</sup> ]                          |  |
|          |           |          |  | Bs   | Cl   | C2   |  |
| 252      | 51        | 4        | (10) (11)<br>-7.01E+3<br>-14.11E+3<br>(10) (11)<br>-6.93E+3<br>-14.04E+3 | (12) (11)<br>8.74E+3<br>4.63E+3<br>(11) (10)<br>6.65E+3<br>6.40E+3 | (11) (12)<br>144.6E+3<br>75.15<br>66.92E+3<br>-165.2 | (15) (9)<br>130.5E+3<br>-2.76E+3<br>53.43E+3<br>-860.1 | (10) (11)<br>-11.82E+3<br>-159.7E+3<br>(11) (12)<br>-13.35E+3<br>-81.52E+3 |

KOC UNIVERSITESI

SPOR SALONU

CELIK CATI ANA MAKASLARI t.seh

|           |           |         |
|-----------|-----------|---------|
| Job No.   | Sheet No. | Rev.    |
| 38035     |           |         |
| Drg. Ref. |           |         |
| Made by   | Date      | Checked |
| SK        | 06-May-98 |         |

BEAM STRESS ENVELOPES

|                                |        | Beam Property 1 |             |             |             |                      |  |  |  |
|--------------------------------|--------|-----------------|-------------|-------------|-------------|----------------------|--|--|--|
| Elem Load Node                 |        | Axial           | Bending     | By          | Br          | Combined             |  |  |  |
| no. case no.                   |        | A               |             |             |             | (kN/m <sup>2</sup> ) |  |  |  |
| 278                            | EL 110 | ( 10) ( 11)     | ( 10) ( 12) | ( 11) ( 10) | ( 16) ( 11) | ( 10) ( 15)          |  |  |  |
|                                |        | -9.494E+3       | -9.394E+3   | 8.998E+3    | 1.960E+3    | -18.903E+3           |  |  |  |
|                                |        | -17.80E+3       | -12.90E+3   | 438.9       | -4.054E+3   | -31.88E+3            |  |  |  |
|                                | 6      | ( 10) ( 11)     | ( 10) ( 11) | ( 9) ( 15)  | ( 11) ( 10) | ( 10) ( 11)          |  |  |  |
|                                |        | -9.467E+3       | -18.28E+3   | 1.144E+3    | 13.68E+3    | -27.78E+3            |  |  |  |
|                                |        | -17.77E+3       | -24.99E+3   | -19.10E+3   | 8.814E+3    | -49.22E+3            |  |  |  |
| 279                            | EL 102 | ( 15) ( 9)      | ( 9) ( 10)  | ( 11) ( 16) | ( 11) ( 10) | ( 10) ( 11)          |  |  |  |
|                                |        | -3.668E+3       | 21.03E+3    | 64.17E+3    | 63.14E+3    | -27.07E+3            |  |  |  |
|                                |        | -11.18E+3       | 17.67E+3    | -899.1      | 8.281E+3    | -70.37E+3            |  |  |  |
|                                | 111    | ( 15) ( 9)      | ( 10) ( 15) | ( 11) ( 16) | ( 15) ( 9)  | ( 10) ( 11)          |  |  |  |
|                                |        | -3.641E+3       | -1.220E+3   | 36.11E+3    | 32.97E+3    | -10.98E+3            |  |  |  |
|                                |        | -11.15E+3       | -2.761E+3   | -224.5      | -9.571E+3   | -39.89E+3            |  |  |  |
| 280                            | EL 111 | ( 15) ( 9)      | ( 10) ( 15) | ( 11) ( 16) | ( 15) ( 9)  | ( 10) ( 11)          |  |  |  |
|                                |        | -3.641E+3       | -1.220E+3   | 36.11E+3    | 32.97E+3    | -10.98E+3            |  |  |  |
|                                |        | -11.15E+3       | -2.761E+3   | -224.5      | -9.571E+3   | -39.89E+3            |  |  |  |
|                                | 112    | ( 15) ( 9)      | ( 10) ( 12) | ( 11) ( 16) | ( 15) ( 10) | ( 11) ( 12)          |  |  |  |
|                                |        | -3.614E+3       | -20.06E+3   | 8.117E+3    | 21.65E+3    | -28.85E+3            |  |  |  |
|                                |        | -11.12E+3       | -25.14E+3   | 448.2       | 10.72E+3    | -36.12E+3            |  |  |  |
| 281                            | EL 112 | ( 15) ( 9)      | ( 10) ( 15) | ( 11) ( 16) | ( 15) ( 10) | ( 10) ( 12)          |  |  |  |
|                                |        | -3.894E+3       | -9.29E+3    | 8.118E+3    | 12.89E+3    | -18.93E+3            |  |  |  |
|                                |        | -11.55E+3       | -14.60E+3   | 447.1       | -397.3      | -24.66E+3            |  |  |  |
|                                | 50     | ( 15) ( 9)      | ( 10) ( 9)  | ( 16) ( 15) | ( 11) ( 10) | ( 10) ( 9)           |  |  |  |
|                                |        | -3.829E+3       | -18.68E+3   | 1.248E+3    | 22.75E+3    | -28.35E+3            |  |  |  |
|                                |        | -11.52E+3       | -22.40E+3   | -18.35E+3   | 9.97E+3     | -33.92E+3            |  |  |  |
| 302                            | EL 2   | ( 10) ( 15)     | ( 15) ( 16) | ( 15) ( 10) | ( 11) ( 12) | ( 10) ( 15)          |  |  |  |
|                                |        | -7.979E+3       | -4.869E+3   | 145.4E+3    | 130.7E+3    | -11.22E+3            |  |  |  |
|                                |        | -14.86E+3       | -6.011E+3   | -33.09      | -3.313E+3   | -180.4E+3            |  |  |  |
|                                | 121    | ( 10) ( 15)     | ( 16) ( 14) | ( 15) ( 9)  | ( 15) ( 16) | ( 10) ( 15)          |  |  |  |
|                                |        | -7.906E+3       | -7.189E+3   | 66.49E+3    | 52.40E+3    | -15.22E+3            |  |  |  |
|                                |        | -14.79E+3       | -8.953E+3   | -124.5      | -1.244E+3   | -81.92E+3            |  |  |  |
| 304                            | EL 46  | ( 11) ( 12)     | ( 10) ( 11) | ( 15) ( 16) | ( 11) ( 12) | ( 10) ( 15)          |  |  |  |
|                                |        | -1.887E+3       | -9.421E+3   | 143.8E+3    | 141.1E+3    | -13.54E+3            |  |  |  |
|                                |        | -8.997E+3       | -7.179E+3   | -1.740E+3   | -3.239E+3   | -144.9E+3            |  |  |  |
|                                | 122    | ( 11) ( 12)     | ( 16) ( 12) | ( 15) ( 16) | ( 15) ( 16) | ( 10) ( 15)          |  |  |  |
|                                |        | -8.614E+3       | -7.339E+3   | 64.23E+3    | 62.87E+3    | -15.49E+3            |  |  |  |
|                                |        | -8.924E+3       | -8.671E+3   | -773.4      | -1.200E+3   | -66.92E+3            |  |  |  |
| 318                            | EL 121 | ( 10) ( 15)     | ( 10) ( 15) | ( 15) ( 9)  | ( 15) ( 16) | ( 10) ( 15)          |  |  |  |
|                                |        | -9.928E+3       | -18.67E+3   | 66.47E+3    | 51.02E+3    | -28.40E+3            |  |  |  |
|                                |        | -17.35E+3       | -22.51E+3   | -130.5      | 8.727E+3    | -87.72E+3            |  |  |  |
|                                | 125    | ( 10) ( 15)     | ( 11) ( 10) | ( 15) ( 10) | ( 16) ( 15) | ( 10) ( 11)          |  |  |  |
|                                |        | -9.874E+3       | 25.41E+3    | 9.290E+3    | 14.15E+3    | -32.21E+3            |  |  |  |
|                                |        | -17.30E+3       | 22.33E+3    | 509.9       | 9.670E+3    | -44.30E+3            |  |  |  |
| 319                            | EL 125 | ( 10) ( 15)     | ( 16) ( 15) | ( 15) ( 10) | ( 16) ( 15) | ( 10) ( 11)          |  |  |  |
|                                |        | -10.29E+3       | 12.28E+3    | 9.296E+3    | 1.398E+3    | -20.68E+3            |  |  |  |
|                                |        | -17.83E+3       | 9.270E+3    | 809.3       | -4.702E+3   | -31.06E+3            |  |  |  |
|                                | 8      | ( 10) ( 15)     | ( 15) ( 10) | ( 12) ( 11) | ( 15) ( 10) | ( 10) ( 15)          |  |  |  |
|                                |        | -10.26E+3       | 24.96E+3    | 1.379E+3    | 13.86E+3    | -29.98E+3            |  |  |  |
|                                |        | -17.80E+3       | 19.69E+3    | -19.01E+3   | 9.464E+3    | -49.17E+3            |  |  |  |
| 320                            | EL 122 | ( 11) ( 12)     | ( 11) ( 12) | ( 15) ( 16) | ( 15) ( 10) | ( 10) ( 15)          |  |  |  |
|                                |        | -3.646E+3       | -18.27E+3   | 64.19E+3    | 63.12E+3    | -29.14E+3            |  |  |  |
|                                |        | -11.22E+3       | -21.52E+3   | -777.6      | 8.831E+3    | -70.51E+3            |  |  |  |
|                                | 126    | ( 11) ( 12)     | ( 16) ( 10) | ( 15) ( 16) | ( 11) ( 10) | ( 15) ( 9)           |  |  |  |
|                                |        | -3.592E+3       | 24.49E+3    | 8.483E+3    | 21.85E+3    | -28.99E+3            |  |  |  |
|                                |        | -11.23E+3       | 22.37E+3    | 474.7       | 12.31E+3    | -35.68E+3            |  |  |  |
| 321                            | EL 126 | ( 11) ( 12)     | ( 11) ( 10) | ( 15) ( 16) | ( 11) ( 12) | ( 15) ( 16)          |  |  |  |
|                                |        | -3.605E+3       | 34.09E+3    | 8.490E+3    | 12.56E+3    | -20.21E+3            |  |  |  |
|                                |        | -11.75E+3       | 10.22E+3    | 474.2       | -1.209E+3   | -23.33E+3            |  |  |  |
|                                | 49     | ( 11) ( 12)     | ( 12) ( 11) | ( 16) ( 11) | ( 15) ( 10) | ( 13) ( 12)          |  |  |  |
|                                |        | -3.881E+3       | 22.73E+3    | 1.223E+3    | 22.69E+3    | -10.28E+3            |  |  |  |
|                                |        | -11.72E+3       | 19.17E+3    | -18.34E+3   | 9.738E+3    | -34.48E+3            |  |  |  |
| Maximum values in this output: |        |                 |             |             |             |                      |  |  |  |
| LC.                            |        |                 |             |             |             |                      |  |  |  |
| 294                            | EL 102 | 15-1.483E+3     | 7.769E+3    | 64.17E+3    | 63.13E+3    | -66.12E+3            |  |  |  |
| 318                            | EL 125 | 11-17.26E+3     | 28.41E+3    | 9.287E+3    | 9.794E+3    | -44.30E+3            |  |  |  |
| 302                            | EL 2   | 15-14.86E+3     | -4.869E+3   | 145.4E+3    | 130.7E+3    | -160.4E+3            |  |  |  |
| 304                            | EL 46  | 11-1.887E+3     | -7.179E+3   | 143.8E+3    | 141.1E+3    | -144.9E+3            |  |  |  |
| 277                            | EL 109 | 10-9.206E+3     | -1.362E+3   | 143.1       | -7.537E+3   | -10.98E+3            |  |  |  |
| Minimum values in this output: |        |                 |             |             |             |                      |  |  |  |
| LC.                            |        |                 |             |             |             |                      |  |  |  |
| 319                            | EL 125 | 15-17.35E+3     | 9.270E+3    | 9.296E+3    | -4.702E+3   | -30.96E+3            |  |  |  |
| 277                            | EL 110 | 15-17.80E+3     | -28.23E+3   | 8.981E+3    | 30.47E+3    | -44.98E+3            |  |  |  |
| 278                            | EL 6   | 15-17.71E+3     | -24.94E+3   | -19.10E+3   | -3.313E+3   | -49.05E+3            |  |  |  |
| 279                            | EL 111 | 9-11.15E+3      | -1.866E+3   | 208.9       | -9.571E+3   | -12.73E+3            |  |  |  |
| 302                            | EL 2   | 15-14.86E+3     | -4.869E+3   | 145.4E+3    | 130.7E+3    | -180.4E+3            |  |  |  |

BEAM STRESS ENVELOPES

|                                |        | Beam Property 4 |             |             |             |                      |  |  |  |
|--------------------------------|--------|-----------------|-------------|-------------|-------------|----------------------|--|--|--|
| Elem Load Node                 |        | Axial           | Bending     | By          | Br          | Combined             |  |  |  |
| no. case no.                   |        | A               |             |             |             | (kN/m <sup>2</sup> ) |  |  |  |
| 40                             | EL 20  | ( 10) ( 15)     | ( 10) ( 11) | ( 15) ( 10) | ( 11) ( 12) | ( 10) ( 15)          |  |  |  |
|                                |        | -18.04E+3       | -18.69E+3   | 24.47E+3    | 11.04E+3    | -36.87E+3            |  |  |  |
|                                |        | -25.23E+3       | -26.74E+3   | 2.270E+3    | 748.7       | -61.49E+3            |  |  |  |
|                                | 7      | ( 10) ( 15)     | ( 15) ( 10) | ( 10) ( 15) | ( 11) ( 12) | ( 10) ( 15)          |  |  |  |
|                                |        | -17.89E+3       | 27.08E+3    | -1.196E+3   | 2.110E+3    | -36.96E+3            |  |  |  |
|                                |        | -25.09E+3       | 19.03E+3    | -2.107E+3   | 1.149E+3    | -52.26E+3            |  |  |  |
| 41                             | EL 32  | ( 10) ( 11)     | ( 15) ( 10) | ( 11) ( 10) | ( 15) ( 9)  | ( 10) ( 11)          |  |  |  |
|                                |        | -16.67E+3       | 26.73E+3    | 24.39E+3    | 11.03E+3    | -34.35E+3            |  |  |  |
|                                |        | -28.40E+3       | 17.59E+3    | 2.128E+3    | 928.9       | -61.39E+3            |  |  |  |
|                                | 8      | ( 10) ( 11)     | ( 10) ( 11) | ( 10) ( 11) | ( 15) ( 9)  | ( 10) ( 11)          |  |  |  |
|                                |        | -16.51E+3       | -17.91E+3   | -1.123E+3   | 2.215E+3    | -34.46E+3            |  |  |  |
|                                |        | -25.04E+3       | -27.17E+3   | -2.066E+3   | 1.378E+3    | -52.29E+3            |  |  |  |
| 114                            | EL 64  | ( 11) ( 12)     | ( 11) ( 12) | ( 15) ( 16) | ( 11) ( 12) | ( 10) ( 15)          |  |  |  |
|                                |        | -14.64E+3       | -15.87E+3   | 21.94E+3    | 12.28E+3    | -26.91E+3            |  |  |  |
|                                |        | -20.20E+3       | -20.66E+3   | 2.112E+3    | 835.9       | -41.61E+3            |  |  |  |
|                                | 51     | ( 11) ( 12)     | ( 12) ( 11) | ( 10) ( 15) | ( 10) ( 12) | ( 11) ( 12)          |  |  |  |
|                                |        | -14.49E+3       | 21.06E+3    | -1.012E+3   | 1.307E+3    | -30.20E+3            |  |  |  |
|                                |        | -20.05E+3       | 15.96E+3    | -2.229E+3   | 1.049E+3    | -41.14E+3            |  |  |  |
| 115                            | EL 76  | ( 15) ( 9)      | ( 9) ( 15)  | ( 11) ( 10) | ( 15) ( 9)  | ( 10) ( 11)          |  |  |  |
|                                |        | -14.98E+3       | 20.66E+3    | 21.08E+3    | 12.27E+3    | -34.27E+3            |  |  |  |
|                                |        | -20.01E+3       | 15.59E+3    | 2.128E+3    | 806.3       | -41.50E+3            |  |  |  |
|                                | 52     | ( 15) ( 9)      | ( 9) ( 15)  | ( 10) ( 11) | ( 16) ( 9)  | ( 15) ( 9)           |  |  |  |
|                                |        | -19.85E+3       | -21.06E+3   | -2.218E+3   | 1.243E+3    | -40.95E+3            |  |  |  |
| Maximum values in this output: |        |                 |             |             |             |                      |  |  |  |
| LC.                            |        |                 |             |             |             |                      |  |  |  |
| 115                            | EL 52  | 15-14.43E+3     | -15.61E+3   | -2.214E+3   | 1.334E+3    | -30.19E+3            |  |  |  |
| 40                             | EL 20  | 15-25.23E+3     | -27.08E+3   | -2.107E+3   | 2.036E+3    | -52.26E+3            |  |  |  |
| 40                             | EL 20  | 15-25.23E+3     | -27.08E+3   | -2.107E+3   | 2.036E+3    | -52.26E+3            |  |  |  |
| 115                            | EL 76  | 15-14.43E+3     | -15.61E+3   | -2.214E+3   | 1.334E+3    | -30.19E+3            |  |  |  |
| 115                            | EL 52  | 15-14.43E+3     | -15.61E+3   | -2.214E+3   | 1.334E+3    | -30.19E+3            |  |  |  |
| Minimum values in this output: |        |                 |             |             |             |                      |  |  |  |
| LC.                            |        |                 |             |             |             |                      |  |  |  |
| 40                             | EL 20  | 15-25.23E+3     | -27.08E+3   | -2.107E+3   | 2.036E+3    | -52.26E+3            |  |  |  |
| 41                             | EL 8   | 11-15.84E+3     | -27.17E+3   | -2.066E+3   | 2.201E+3    | -52.29E+3            |  |  |  |
| 114                            | EL 64  | 11-15.84E+3     | -27.17E+3   | -2.066E+3   | 2.201E+3    | -52.29E+3            |  |  |  |
| 114                            | EL 64  | 12-20.20E+3     | -20.66E+3   | 2.112E+3    | 835.9       | -41.61E+3            |  |  |  |
| 40                             | EL 20  | 15-25.23E+3     | -27.08E+3   | -2.107E+3   | 2.036E+3    | -52.26E+3            |  |  |  |
| BEAM STRESS ENVELOPES          |        |                 |             |             |             |                      |  |  |  |
|                                |        | Beam Property 5 |             |             |             |                      |  |  |  |
| Elem Load Node                 |        | Axial           | Bending     | By          | Br          | Combined             |  |  |  |
| no. case no.                   |        | A               |             |             |             | (kN/m <sup>2</sup> ) |  |  |  |
| 270                            | EL 6   | ( 11) ( 10)     | ( 11) ( 10) | ( 15) ( 16) | ( 11) ( 10) | ( 10) ( 15)          |  |  |  |
|                                |        | 41.12E+3        | 16.47E+3    | 1.161E+3    | 58.94E+3    | 32.23E+3             |  |  |  |
|                                |        | 28.05E+3        | 10.85E+3    | -6.818E+3   | 38.98E+3    | 17.16E+3             |  |  |  |
|                                | 103    | ( 11) ( 10)     | ( 11) ( 10) | ( 12) ( 11) | ( 11) ( 10) | ( 13) ( 10)          |  |  |  |
|                                |        | 41.09E+3        | 3.113E+3    | 1.164E+3    | 49.95E+3    | 12.24E+3             |  |  |  |
|                                |        | 28.03E+3        | 2.077E+3    | -8.302E+3   | 30.33E+3    | 28.73E+3             |  |  |  |
| 271                            | EL 103 | ( 11) ( 10)     | ( 10) ( 11) | ( 12) ( 11) | ( 11) ( 10) | ( 11) ( 10)          |  |  |  |
|                                |        | 48.75E+3        | -5.966E+3   | 1.822E+3    | 60.11E+3    | 37.38E+3             |  |  |  |
|                                |        | 33.22E+3        | -8.280E+3   | -7.787E+3   | 39.27E+3    | 27.17E+3             |  |  |  |
|                                | 106    | ( 11) ( 10)     | ( 10) ( 11) | ( 9) ( 15)  | ( 11) ( 10) | ( 11) ( 10)          |  |  |  |
|                                |        | 48.75E+3        | -2.122E+3   | 1.011E+3    | 57.66E+3    | 39.77E+3             |  |  |  |
|                                |        | 33.12E+3        | -2.693E+3   | -8.531E+3   | 35.48E+3    | 27.92E+3             |  |  |  |
| 272                            | EL 106 | ( 11) ( 10)     | ( 10) ( 11) | ( 9) ( 15)  | ( 11) ( 10) | ( 11) ( 10)          |  |  |  |
|                                |        | 48.72E+3        | -2.129E+3   | 1.011E+3    | 57.67E+3    | 39.77E+3             |  |  |  |
|                                |        | 33.12E+3        | -2.693E+3   | -8.531E+3   | 35.48E+3    | 27.92E+3             |  |  |  |
|                                | 32     | ( 11) ( 10)     | ( 15) ( 10) | ( 9) ( 15)  | ( 11) ( 10) | ( 11) ( 10)          |  |  |  |
|                                |        | 48.69E+3        | 5.649E+3    | 839.6       | 39.82E+3    | 37.86E+3             |  |  |  |
|                                |        | 33.16E+3        | 4.184E+3    | -9.282E+3   | 37.40E+3    | 28.92E+3             |  |  |  |
| 273                            | EL 50  | ( 9) ( 15)      | ( 9) ( 15)  | ( 16) ( 15) | ( 9) ( 15)  | ( 9) ( 15)           |  |  |  |
|                                |        | 33.24E+3        | 12.43E+3    | 1.005E+3    | 45.71E+3    | 20.78E+3             |  |  |  |
|                                |        | 28.05E+3        | 8.250E+3    | -2.815E+3   | 33.77E+3    |                      |  |  |  |



**KOC UNIVERSITESI**

SPOR SALONU

CELIK CATI ANA MAKASLARI t.seh

|            |           |         |
|------------|-----------|---------|
| Job No.    | Sheet No. | Rev.    |
| 38035      |           |         |
| Drq. Ref.  |           |         |
| Made by SK |           |         |
| Date       | 06-May-98 | Checked |

**BEAM STRESS ENVELOPES**

| Elem Load Node no. case no. | Axial A     | Bending     |             | Combined [kN/m2] |             |
|-----------------------------|-------------|-------------|-------------|------------------|-------------|
|                             |             | By          | Bs          | C1               | C2          |
| 323 EI 127                  | ( 15) ( 10) | ( 10) ( 15) | ( 11) ( 12) | ( 15) ( 10)      | ( 15) ( 10) |
|                             | 48.85E+3    | -6.945E+3   | 7.828E+3    | 60.28E+3         | 37.02E+3    |
|                             | 35.72E+3    | -6.603E+3   | -1.198E+3   | 42.78E+3         | 26.89E+3    |
|                             | ( 15) ( 10) | ( 11) ( 10) | ( 11) ( 12) | ( 15) ( 10)      | ( 13) ( 10) |
| 324 EI 49                   | ( 12) ( 11) | ( 12) ( 11) | ( 15) ( 16) | ( 12) ( 11)      | ( 12) ( 11) |
|                             | 33.62E+3    | 12.59E+3    | 2.862E+3    | 46.28E+3         | 20.99E+3    |
|                             | 25.17E+3    | 8.23E+3     | -991.7      | 31.88E+3         | 16.48E+3    |
|                             | ( 12) ( 11) | ( 15) ( 15) | ( 11) ( 16) | ( 12) ( 11)      | ( 12) ( 11) |
| 325 EI 128                  | ( 12) ( 11) | ( 11) ( 12) | ( 11) ( 16) | ( 12) ( 11)      | ( 12) ( 11) |
|                             | 39.85E+3    | -6.514E+3   | 5.924E+3    | 47.76E+3         | 31.95E+3    |
|                             | 29.88E+3    | -7.917E+3   | -1.193E+3   | 38.62E+3         | 21.87E+3    |
|                             | ( 12) ( 11) | ( 9) ( 15)  | ( 11) ( 16) | ( 12) ( 10)      | ( 12) ( 11) |

Maximum values in this output:

|                        |           |           |          |          |
|------------------------|-----------|-----------|----------|----------|
| 271 EI 105 11 48.75E+3 | -8.280E+3 | -7.787E+3 | 60.11E+3 | 37.38E+3 |
| 270 EI 6 11 41.12E+3   | 16.47E+3  | -6.016E+3 | 58.94E+3 | 23.29E+3 |
| 325 EI 64 11 39.82E+3  | 3.803E+3  | 11.92E+3  | 42.13E+3 | 17.32E+3 |
| 323 EI 127 15 48.85E+3 | -6.603E+3 | 7.827E+3  | 60.28E+3 | 37.02E+3 |
| 271 EI 106 11 48.72E+3 | -2.693E+3 | -6.838E+3 | 57.66E+3 | 39.77E+3 |

Minimum values in this output:

|                        |           |           |          |          |
|------------------------|-----------|-----------|----------|----------|
| 273 EI 107 15 25.02E+3 | 1.820E+3  | -6.854E+3 | 31.82E+3 | 18.22E+3 |
| 323 EI 127 15 48.85E+3 | -6.603E+3 | 7.827E+3  | 60.28E+3 | 37.02E+3 |
| 275 EI 76 15 29.75E+3  | 3.854E+3  | -11.87E+3 | 42.23E+3 | 17.27E+3 |
| 271 EI 107 10 28.05E+3 | 2.046E+3  | 394.4     | 30.32E+3 | 25.78E+3 |
| 273 EI 90 15 25.05E+3  | 6.250E+3  | -2.018E+3 | 37.77E+3 | 18.33E+3 |

**BEAM STRESS ENVELOPES**

| Elem Load Node no. case no. | Axial A     | Bending     |             | Combined [kN/m2] |             |
|-----------------------------|-------------|-------------|-------------|------------------|-------------|
|                             |             | By          | Bs          | C1               | C2          |
| 44 EI 7                     | ( 15) ( 10) | ( 10) ( 15) | ( 11) ( 12) | ( 15) ( 10)      | ( 15) ( 10) |
|                             | 44.69E+3    | -9.333E+3   | 10.38E+3    | 61.70E+3         | 27.67E+3    |
|                             | 31.21E+3    | -13.54E+3   | -2.577E+3   | 40.94E+3         | 21.05E+3    |
|                             | ( 15) ( 10) | ( 15) ( 10) | ( 15) ( 10) | ( 15) ( 10)      | ( 15) ( 10) |
| 45 EI 8                     | ( 11) ( 10) | ( 10) ( 11) | ( 9) ( 15)  | ( 11) ( 10)      | ( 11) ( 10) |
|                             | 44.59E+3    | -8.610E+3   | -5.510E+3   | 61.49E+3         | 27.56E+3    |
|                             | 29.40E+3    | -13.53E+3   | -10.39E+3   | 38.27E+3         | 20.52E+3    |
|                             | ( 11) ( 10) | ( 11) ( 10) | ( 10) ( 11) | ( 11) ( 10)      | ( 11) ( 10) |

Maximum values in this output:

|                       |             |             |             |             |
|-----------------------|-------------|-------------|-------------|-------------|
| 118 EI 51 ( 12) ( 11) | ( 11) ( 12) | ( 11) ( 12) | ( 12) ( 11) | ( 9) ( 11)  |
| 34.93E+3              | -6.901E+3   | 10.48E+3    | 46.04E+3    | 23.82E+3    |
| 24.26E+3              | -10.78E+3   | -2.692E+3   | 36.81E+3    | 11.71E+3    |
| ( 12) ( 11)           | ( 12) ( 11) | ( 15) ( 10) | ( 12) ( 11) | ( 12) ( 11) |

Minimum values in this output:

|                      |            |             |            |             |
|----------------------|------------|-------------|------------|-------------|
| 119 EI 52 ( 9) ( 15) | ( 15) ( 9) | ( 9) ( 15)  | ( 9) ( 15) | ( 12) ( 15) |
| 34.58E+3             | -6.860E+3  | -2.643E+3   | 45.42E+3   | 23.77E+3    |
| 24.16E+3             | -10.51E+3  | -10.49E+3   | 36.59E+3   | 11.63E+3    |
| ( 9) ( 15)           | ( 9) ( 15) | ( 10) ( 11) | ( 9) ( 15) | ( 9) ( 15)  |

Maximum values in this output:

|                      |          |          |          |          |
|----------------------|----------|----------|----------|----------|
| 44 EI 7 15 44.69E+3  | -9.33E+3 | 10.38E+3 | 61.70E+3 | 27.67E+3 |
| 45 EI 8 11 44.59E+3  | -8.60E+3 | -5.51E+3 | 62.95E+3 | 26.06E+3 |
| 44 EI 21 15 44.57E+3 | 13.19E+3 | 12.91E+3 | 63.01E+3 | 26.12E+3 |
| 44 EI 21 15 44.57E+3 | 13.19E+3 | 12.91E+3 | 63.01E+3 | 26.12E+3 |
| 44 EI 7 15 44.69E+3  | -9.33E+3 | 10.38E+3 | 61.70E+3 | 27.67E+3 |

Minimum values in this output:

|                       |          |           |          |          |
|-----------------------|----------|-----------|----------|----------|
| 119 EI 66 15 24.05E+3 | 6.707E+3 | -11.74E+3 | 37.57E+3 | 10.53E+3 |
| 45 EI 8 11 44.59E+3   | -8.60E+3 | -5.51E+3  | 62.95E+3 | 26.06E+3 |
| 45 EI 22 11 44.59E+3  | 13.22E+3 | -12.86E+3 | 62.95E+3 | 26.06E+3 |
| 119 EI 52 15 24.16E+3 | -8.60E+3 | -10.49E+3 | 36.59E+3 | 11.63E+3 |
| 119 EI 66 15 24.05E+3 | 6.707E+3 | -11.74E+3 | 37.57E+3 | 10.53E+3 |

**BEAM STRESS ENVELOPES**

| Elem Load Node no. case no. | Axial A     | Bending     |             | Combined [kN/m2] |             |
|-----------------------------|-------------|-------------|-------------|------------------|-------------|
|                             |             | By          | Bs          | C1               | C2          |
| 46 EI 21                    | ( 10) ( 11) | ( 10) ( 15) | ( 15) ( 10) | ( 10) ( 11)      | ( 10) ( 11) |
|                             | -43.78E+3   | -4.661E+3   | -2.059E+3   | -38.38E+3        | -38.59E+3   |
|                             | -63.97E+3   | -5.732E+3   | 2.266E+3    | -97.59E+3        | -70.35E+3   |
|                             | ( 10) ( 11) | ( 11) ( 10) | ( 10) ( 15) | ( 10) ( 11)      | ( 10) ( 11) |
| 47 EI 23                    | ( 10) ( 15) | ( 10) ( 11) | ( 10) ( 11) | ( 10) ( 15)      | ( 10) ( 15) |
|                             | -41.19E+3   | -4.423E+3   | -2.118E+3   | -36.29E+3        | -46.10E+3   |
|                             | -64.01E+3   | -5.697E+3   | -2.820E+3   | -97.67E+3        | -70.35E+3   |
|                             | ( 10) ( 15) | ( 11) ( 10) | ( 11) ( 10) | ( 10) ( 15)      | ( 10) ( 15) |

Maximum values in this output:

|                      |             |             |             |             |
|----------------------|-------------|-------------|-------------|-------------|
| 49 EI 31 ( 10) ( 15) | ( 10) ( 11) | ( 11) ( 12) | ( 10) ( 15) | ( 10) ( 15) |
| -30.60E+3            | -7.146E+3   | 1.044E+3    | -23.30E+3   | -37.90E+3   |
| -48.15E+3            | -9.510E+3   | -1.771E+3   | -36.59E+3   | -57.71E+3   |
| ( 10) ( 15)          | ( 12) ( 10) | ( 11) ( 10) | ( 10) ( 15) | ( 10) ( 15) |

Minimum values in this output:

|                       |             |             |             |             |
|-----------------------|-------------|-------------|-------------|-------------|
| 120 EI 68 ( 11) ( 12) | ( 10) ( 15) | ( 15) ( 10) | ( 15) ( 10) | ( 9) ( 11)  |
| -33.83E+3             | -4.630E+3   | 3.089E+3    | -27.21E+3   | -39.88E+3   |
| -48.82E+3             | -5.335E+3   | 2.846E+3    | -42.89E+3   | -54.76E+3   |
| ( 11) ( 12)           | ( 15) ( 10) | ( 10) ( 15) | ( 11) ( 12) | ( 11) ( 12) |

Maximum values in this output:

|                      |             |             |             |             |
|----------------------|-------------|-------------|-------------|-------------|
| 121 EI 66 ( 15) ( 9) | ( 10) ( 11) | ( 10) ( 11) | ( 11) ( 12) | ( 15) ( 9)  |
| -33.83E+3            | -4.383E+3   | -2.373E+3   | -27.24E+3   | -38.81E+3   |
| -48.78E+3            | -5.302E+3   | -3.061E+3   | -42.98E+3   | -54.64E+3   |
| ( 15) ( 9)           | ( 11) ( 10) | ( 11) ( 10) | ( 11) ( 12) | ( 11) ( 12) |

Minimum values in this output:

|                      |             |             |            |            |
|----------------------|-------------|-------------|------------|------------|
| 122 EI 67 ( 15) ( 9) | ( 10) ( 11) | ( 9) ( 15)  | ( 15) ( 9) | ( 15) ( 9) |
| -33.27E+3            | -7.411E+3   | 1.844E+3    | -15.43E+3  | -31.10E+3  |
| -35.61E+3            | -8.378E+3   | -394.6      | -27.07E+3  | -44.15E+3  |
| ( 15) ( 9)           | ( 11) ( 10) | ( 10) ( 11) | ( 15) ( 9) | ( 15) ( 9) |

Maximum values in this output:

|                       |             |             |             |             |
|-----------------------|-------------|-------------|-------------|-------------|
| 123 EI 75 ( 11) ( 12) | ( 10) ( 9)  | ( 11) ( 12) | ( 11) ( 12) | ( 11) ( 12) |
| -32.43E+3             | -7.027E+3   | 386.4       | -15.60E+3   | -31.26E+3   |
| -36.17E+3             | -8.338E+3   | -1.885E+3   | -27.64E+3   | -44.68E+3   |
| ( 11) ( 12)           | ( 15) ( 10) | ( 11) ( 10) | ( 11) ( 12) | ( 11) ( 12) |

Minimum values in this output:

|                       |           |           |           |           |
|-----------------------|-----------|-----------|-----------|-----------|
| 122 EI 67 15-23.02E+3 | 3.634E+3  | -7.755E+3 | -14.52E+3 | -31.65E+3 |
| 123 EI 61 15-23.41E+3 | 3.765E+3  | 7.749E+3  | -14.80E+3 | -32.03E+3 |
| 123 EI 61 11-23.25E+3 | 3.705E+3  | 7.750E+3  | -14.66E+3 | -31.84E+3 |
| 122 EI 64 15-23.08E+3 | 3.634E+3  | -7.755E+3 | -14.52E+3 | -31.65E+3 |
| 122 EI 67 15-23.27E+3 | -7.826E+3 | -394.6    | -15.43E+3 | -31.10E+3 |

**BEAM STRESS ENVELOPES**

| Elem Load Node no. case no. | Axial A     | Bending     |             | Combined [kN/m2] |             |
|-----------------------------|-------------|-------------|-------------|------------------|-------------|
|                             |             | By          | Bs          | C1               | C2          |
| 50 EI 9                     | ( 11) ( 10) | ( 10) ( 15) | ( 15) ( 9)  | ( 15) ( 10)      | ( 11) ( 10) |
|                             | 60.80E+3    | -7.643E+3   | 5.718E+3    | 65.04E+3         | 36.55E+3    |
|                             | 34.78E+3    | -13.06E+3   | -3.127E+3   | 42.90E+3         | 26.63E+3    |
|                             | ( 11) ( 10) | ( 11) ( 10) | ( 11) ( 10) | ( 11) ( 10)      | ( 11) ( 10) |
| 51 EI 19                    | ( 15) ( 10) | ( 10) ( 11) | ( 12) ( 11) | ( 11) ( 10)      | ( 15) ( 10) |
|                             | 50.88E+3    | 9.582E+3    | 11.48E+3    | 65.63E+3         | 36.74E+3    |
|                             | 34.64E+3    | 5.283E+3    | 4.023E+3    | 41.27E+3         | 28.01E+3    |
|                             | ( 15) ( 10) | ( 10) ( 11) | ( 12) ( 11) | ( 11) ( 10)      | ( 15) ( 10) |
| 52 EI 17                    | ( 15) ( 10) | ( 15) ( 10) | ( 12) ( 11) | ( 15) ( 10)      | ( 15) ( 10) |
|                             | 43.21E+3    | -5.946E+3   | 1.915E+3    | 58.88E+3         | 30.73E+3    |
|                             | 28.99E+3    | -11.21E+3   | -5.511E+3   | 35.16E+3         | 22.83E+3    |
|                             | ( 15) ( 10) | ( 15) ( 10) | ( 10) ( 15) | ( 15) ( 10)      | ( 15) ( 10) |

**KOC UNIVERSITESI**

SPOR SALONU

CELIK CATI ANA MAKASLARI t.seh

|           |           |         |
|-----------|-----------|---------|
| Job No.   | Sheet No. | Rev.    |
| 38035     |           |         |
| Dry. Ref. |           |         |
| Made by   | Date      | Checked |
| SK        | 06-May-98 |         |

**BEAM STRESS ENVELOPES**

| Elem Load Node no. case no. | Beam Property 8 |             |             |                                     |             |  |
|-----------------------------|-----------------|-------------|-------------|-------------------------------------|-------------|--|
|                             | Axial A         | Bending By  |             | Combined [kN/m <sup>2</sup> ] C1 C2 |             |  |
| 53 EL 10                    | ( 11) ( 10)     | ( 10) ( 11) | ( 15) ( 9)  | ( 11) ( 10)                         | ( 11) ( 10) |  |
| 24 ( 11) ( 10)              | ( 11) ( 10)     | ( 11) ( 10) | ( 15) ( 9)  | ( 11) ( 10)                         | ( 11) ( 10) |  |
| 124 EL 53                   | ( 12) ( 11)     | ( 11) ( 12) | ( 15) ( 9)  | ( 12) ( 11)                         | ( 9) ( 15)  |  |
| 67 ( 12) ( 11)              | ( 9) ( 15)      | ( 12) ( 11) | ( 15) ( 9)  | ( 12) ( 11)                         | ( 12) ( 11) |  |
| 128 EL 62                   | ( 9) ( 15)      | ( 15) ( 9)  | ( 12) ( 11) | ( 9) ( 15)                          | ( 12) ( 11) |  |
| 75 ( 9) ( 15)               | ( 12) ( 11)     | ( 11) ( 12) | ( 15) ( 9)  | ( 12) ( 11)                         | ( 9) ( 15)  |  |
| 126 EL 61                   | ( 12) ( 11)     | ( 11) ( 12) | ( 15) ( 9)  | ( 12) ( 11)                         | ( 12) ( 11) |  |
| 74 ( 12) ( 11)              | ( 12) ( 11)     | ( 10) ( 15) | ( 12) ( 11) | ( 12) ( 11)                         | ( 12) ( 11) |  |
| 127 EL 54                   | ( 9) ( 15)      | ( 15) ( 9)  | ( 12) ( 11) | ( 9) ( 15)                          | ( 9) ( 15)  |  |
| 68 ( 9) ( 15)               | ( 9) ( 15)      | ( 11) ( 10) | ( 9) ( 15)  | ( 9) ( 15)                          | ( 9) ( 15)  |  |

Maximum values in this output:

|             |          |           |           |          |          |
|-------------|----------|-----------|-----------|----------|----------|
| 51 EL 18 15 | 50.82E+3 | -12.94E+3 | -5.711E+3 | 64.95E+3 | 35.67E+3 |
| 51 EL 31 15 | 50.70E+3 | 9.58E+3   | -11.45E+3 | 65.63E+3 | 35.77E+3 |
| 50 EL 23 15 | 50.67E+3 | 9.55E+3   | -11.45E+3 | 65.60E+3 | 35.73E+3 |
| 51 EL 31 15 | 50.70E+3 | 9.58E+3   | -11.45E+3 | 65.63E+3 | 35.77E+3 |
| 51 EL 18 15 | 50.82E+3 | -12.94E+3 | -5.711E+3 | 64.95E+3 | 35.67E+3 |

Minimum values in this output:

|              |          |           |          |          |          |
|--------------|----------|-----------|----------|----------|----------|
| 127 EL 68 15 | 21.95E+3 | -1.294E+3 | 10.46E+3 | 32.49E+3 | 11.41E+3 |
| 50 EL 9 15   | 50.79E+3 | -13.05E+3 | 5.71E+3  | 65.04E+3 | 35.54E+3 |
| 51 EL 31 11  | 50.69E+3 | -11.46E+3 | 9.55E+3  | 65.61E+3 | 35.76E+3 |
| 127 EL 94 15 | 22.08E+3 | -2.473E+3 | 4.364E+3 | 32.09E+3 | 17.05E+3 |
| 127 EL 68 15 | 21.95E+3 | -1.294E+3 | 10.46E+3 | 32.49E+3 | 11.41E+3 |

**BEAM STRESS ENVELOPES**

| Elem Load Node no. case no. | Beam Property 9 |             |             |                                     |             |  |
|-----------------------------|-----------------|-------------|-------------|-------------------------------------|-------------|--|
|                             | Axial A         | Bending By  |             | Combined [kN/m <sup>2</sup> ] C1 C2 |             |  |
| 130 EL 74                   | ( 11) ( 12)     | ( 10) ( 12) | ( 11) ( 12) | ( 11) ( 12)                         | ( 11) ( 12) |  |
| 60 ( 11) ( 12)              | ( 11) ( 12)     | ( 15) ( 9)  | ( 15) ( 10) | ( 11) ( 12)                         | ( 11) ( 12) |  |
| 131 EL 73                   | ( 11) ( 12)     | ( 10) ( 15) | ( 11) ( 10) | ( 11) ( 12)                         | ( 10) ( 15) |  |
| 59 ( 11) ( 12)              | ( 11) ( 12)     | ( 15) ( 9)  | ( 15) ( 10) | ( 11) ( 12)                         | ( 11) ( 12) |  |
| 129 EL 62                   | ( 9) ( 15)      | ( 15) ( 9)  | ( 12) ( 11) | ( 9) ( 15)                          | ( 12) ( 11) |  |
| 75 ( 9) ( 15)               | ( 12) ( 11)     | ( 11) ( 12) | ( 15) ( 9)  | ( 12) ( 11)                         | ( 9) ( 15)  |  |
| 129 EL 56                   | 10-10.80E+3     | 2.904E+3    | -2.658E+3   | 8.514E+3                            | -14.74E+3   |  |

Maximum values in this output:

|           |             |           |           |           |           |
|-----------|-------------|-----------|-----------|-----------|-----------|
| 129 EL 96 | 10-22E+3    | 7.075E+3  | -4.154E+3 | -2.018E+3 | -15.43E+3 |
| 131 EL 59 | 15-11.10E+3 | 4.193E+3  | -2.745E+3 | -2.745E+3 | -15.45E+3 |
| 57 EL 29  | 11-18.37E+3 | -10.42E+3 | -10.36E+3 | -3.674E+3 | -31.06E+3 |
| 129 EL 69 | 10-10.39E+3 | -11.79E+3 | -10.11E+3 | 5.143E+3  | -25.92E+3 |
| 129 EL 56 | 10-10.80E+3 | 2.904E+3  | -2.658E+3 | 8.514E+3  | -14.74E+3 |

Minimum values in this output:

|           |             |           |           |           |           |
|-----------|-------------|-----------|-----------|-----------|-----------|
| 56 EL 30  | 15-18.89E+3 | -9.767E+3 | 3.688E+3  | -28.49E+3 | -49.33E+3 |
| 131 EL 73 | 15-11.47E+3 | -11.87E+3 | 10.08E+3  | -4.304E+3 | -26.84E+3 |
| 55 EL 28  | 15-17.88E+3 | -10.38E+3 | -10.38E+3 | -3.202E+3 | -32.56E+3 |
| 56 EL 18  | 15-18.71E+3 | 1.632E+3  | 5.988E+3  | -32.51E+3 | -44.91E+3 |
| 56 EL 30  | 15-18.89E+3 | -9.767E+3 | 3.688E+3  | -28.49E+3 | -49.33E+3 |

**BEAM STRESS ENVELOPES**

| Elem Load Node no. case no. | Beam Property 10 |             |             |                                     |             |  |
|-----------------------------|------------------|-------------|-------------|-------------------------------------|-------------|--|
|                             | Axial A          | Bending By  |             | Combined [kN/m <sup>2</sup> ] C1 C2 |             |  |
| 58 EL 11                    | ( 11) ( 10)      | ( 10) ( 11) | ( 15) ( 9)  | ( 11) ( 10)                         | ( 11) ( 10) |  |
| 25 ( 11) ( 10)              | ( 11) ( 10)      | ( 11) ( 12) | ( 11) ( 10) | ( 11) ( 10)                         | ( 11) ( 10) |  |
| 59 EL 12                    | ( 11) ( 10)      | ( 10) ( 11) | ( 11) ( 10) | ( 11) ( 10)                         | ( 11) ( 10) |  |
| 26 ( 11) ( 10)              | ( 11) ( 12)      | ( 9) ( 15)  | ( 11) ( 10) | ( 11) ( 10)                         | ( 11) ( 10) |  |
| 60 EL 16                    | ( 15) ( 10)      | ( 10) ( 15) | ( 12) ( 11) | ( 15) ( 10)                         | ( 14) ( 10) |  |
| 29 ( 15) ( 10)              | ( 15) ( 9)       | ( 10) ( 15) | ( 15) ( 10) | ( 15) ( 10)                         | ( 15) ( 10) |  |
| 61 EL 15                    | ( 15) ( 16)      | ( 10) ( 13) | ( 10) ( 11) | ( 10) ( 11)                         | ( 12) ( 11) |  |
| 28 ( 15) ( 16)              | ( 10) ( 9)       | ( 11) ( 12) | ( 15) ( 10) | ( 14) ( 16)                         | ( 14) ( 16) |  |
| 132 EL 53                   | ( 9) ( 15)       | ( 15) ( 9)  | ( 15) ( 16) | ( 9) ( 15)                          | ( 9) ( 15)  |  |
| 69 ( 9) ( 15)               | ( 9) ( 15)       | ( 9) ( 15)  | ( 11) ( 10) | ( 9) ( 15)                          | ( 9) ( 15)  |  |
| 133 EL 56                   | ( 9) ( 15)       | ( 10) ( 9)  | ( 11) ( 10) | ( 11) ( 10)                         | ( 9) ( 15)  |  |
| 70 ( 9) ( 15)               | ( 10) ( 15)      | ( 10) ( 15) | ( 10) ( 15) | ( 11) ( 10)                         | ( 9) ( 15)  |  |
| 134 EL 60                   | ( 12) ( 11)      | ( 11) ( 12) | ( 12) ( 11) | ( 12) ( 11)                         | ( 12) ( 11) |  |
| 73 ( 12) ( 11)              | ( 10) ( 11)      | ( 10) ( 15) | ( 12) ( 11) | ( 12) ( 11)                         | ( 12) ( 11) |  |
| 135 EL 59                   | ( 12) ( 11)      | ( 11) ( 12) | ( 10) ( 11) | ( 15) ( 10)                         | ( 12) ( 11) |  |
| 72 ( 12) ( 11)              | ( 10) ( 11)      | ( 11) ( 12) | ( 11) ( 12) | ( 15) ( 10)                         | ( 12) ( 11) |  |

**KOC UNIVERSITESI**

SPOR SALONU

CELIK CATI ANA MAKASLARI t.seh

|           |           |         |
|-----------|-----------|---------|
| Job No.   | Sheet No. | Rev.    |
| 38035     |           |         |
| Drg. Ref. |           |         |
| 38035     |           |         |
| Dr. Ref.  | Date      | Checked |
|           | 06-May-98 |         |

**BEAM STRESS ENVELOPES**

**BEAM STRESS ENVELOPES**

| Beam Property 10                      |               |          |            |                     |          |
|---------------------------------------|---------------|----------|------------|---------------------|----------|
| Elem no.                              | Load case no. | Axial A  | Bending By | Combined [kN/m2] C1 | C2       |
| <b>Maximum values in this output:</b> |               |          |            |                     |          |
| Lc.                                   |               |          |            |                     |          |
| 60                                    | El 16         | 41.49E+3 | -8.79E+3   | 53.18E+3            | 29.79E+3 |
| 60                                    | El 29         | 41.35E+3 | 97E+5      | 50.16E+3            | 32.54E+3 |
| 133                                   | El 56         | 16.66E+3 | -3.38E+3   | 24.89E+3            | 41.76E+3 |
| 60                                    | El 16         | 41.49E+3 | -8.79E+3   | 53.18E+3            | 29.79E+3 |
| 60                                    | El 29         | 41.35E+3 | 97E+5      | 50.16E+3            | 32.54E+3 |
| <b>Minimum values in this output:</b> |               |          |            |                     |          |
| Lc.                                   |               |          |            |                     |          |
| 133                                   | El 70         | 16.14E+3 | -4.96E+3   | 26.69E+3            | 5.86E+3  |
| 60                                    | El 16         | 41.49E+3 | -8.79E+3   | 53.18E+3            | 29.79E+3 |
| 135                                   | El 99         | 11.66E+3 | -3.37E+3   | 24.87E+3            | 41.76E+3 |
| 133                                   | El 70         | 16.91E+3 | -3.77E+3   | 21.70E+3            | 13.77E+3 |
| 133                                   | El 56         | 16.28E+3 | -3.31E+3   | 24.87E+3            | 41.76E+3 |

| Beam Property 12                      |               |               |               |                     |               |
|---------------------------------------|---------------|---------------|---------------|---------------------|---------------|
| Elem no.                              | Load case no. | Axial A       | Bending By    | Combined [kN/m2] C1 | C2            |
| <b>Maximum values in this output:</b> |               |               |               |                     |               |
| Lc.                                   |               |               |               |                     |               |
| 213                                   | El 1          | ( 10 ) ( 11 ) | ( 11 ) ( 10 ) | ( 16 ) ( 15 )       | ( 11 ) ( 10 ) |
|                                       |               | -678.0        | 7.408E+3      | 53.66               | 15.13E+3      |
|                                       |               | -1.043E+3     | 5.808E+3      | -8.692E+3           | 4.910E+3      |
| 89                                    | ( 10 ) ( 11 ) | ( 10 ) ( 11 ) | ( 10 ) ( 15 ) | ( 11 ) ( 10 )       | ( 10 ) ( 11 ) |
|                                       |               | -583.9        | -11.16E+3     | -4.72E              | 19.04E+3      |
|                                       |               | -949.1        | -14.97E+3     | -5.019E+3           | 10.98E+3      |
| <b>Minimum values in this output:</b> |               |               |               |                     |               |
| Lc.                                   |               |               |               |                     |               |
| 214                                   | El 89         | ( 10 ) ( 11 ) | ( 10 ) ( 11 ) | ( 10 ) ( 15 )       | ( 11 ) ( 10 ) |
|                                       |               | -553.0        | -11.17E+3     | -4.72E              | 19.12E+3      |
|                                       |               | -928.2        | -15.03E+3     | -5.019E+3           | 10.61E+3      |
| 2                                     | ( 10 ) ( 11 ) | ( 9 ) ( 9 )   | ( 15 ) ( 10 ) | ( 15 ) ( 9 )        | ( 10 ) ( 11 ) |
|                                       |               | -381.1        | .0            | 3.381E+3            | 2.666E+3      |
|                                       |               | -716.4        | .0            | 16.00               | -369.9        |
| <b>Minimum values in this output:</b> |               |               |               |                     |               |
| Lc.                                   |               |               |               |                     |               |
| 215                                   | El 3          | ( 10 ) ( 15 ) | ( 10 ) ( 15 ) | ( 14 ) ( 11 )       | ( 15 ) ( 10 ) |
|                                       |               | -685.4        | -5.808E+3     | 53.91               | 15.33E+3      |
|                                       |               | -1.048E+3     | -7.696E+3     | -8.938E+3           | 4.933E+3      |
| 90                                    | ( 10 ) ( 15 ) | ( 15 ) ( 10 ) | ( 12 ) ( 11 ) | ( 15 ) ( 10 )       | ( 10 ) ( 15 ) |
|                                       |               | -861.2        | 15.39E+3      | -4.327              | 19.48E+3      |
|                                       |               | -990.8        | 11.16E+3      | -5.012E+3           | 10.60E+3      |

**BEAM STRESS ENVELOPES**

**BEAM STRESS ENVELOPES**

| Beam Property 11                      |               |               |               |                     |               |
|---------------------------------------|---------------|---------------|---------------|---------------------|---------------|
| Elem no.                              | Load case no. | Axial A       | Bending By    | Combined [kN/m2] C1 | C2            |
| <b>Maximum values in this output:</b> |               |               |               |                     |               |
| Lc.                                   |               |               |               |                     |               |
| 62                                    | El 26         | ( 10 ) ( 11 ) | ( 10 ) ( 11 ) | ( 10 ) ( 11 )       | ( 10 ) ( 11 ) |
|                                       |               | -1.654E+3     | -6.091E+3     | -28.78E+3           | 10.32E+3      |
|                                       |               | -3.088E+3     | -6.733E+3     | 21.38E+3            | -5.424E+3     |
|                                       |               | -1.494E+3     | -8.383E+3     | 3.283E+3            | 8.662E+3      |
| 63                                    | El 28         | ( 9 ) ( 13 )  | ( 10 ) ( 15 ) | ( 11 ) ( 10 )       | ( 16 ) ( 15 ) |
|                                       |               | 530.2         | -4.732E+3     | 25.78E+3            | 24.82E+3      |
|                                       |               | -2.208E+3     | -6.162E+3     | 8.014E+3            | 8.286E+3      |
|                                       |               | 690.1         | -6.648E+3     | -3.207E+3           | 20.83E+3      |
|                                       |               | -2.046E+3     | -8.092E+3     | -21.30E+3           | 6.563E+3      |
| 64                                    | El 14         | ( 15 ) ( 16 ) | ( 9 ) ( 15 )  | ( 10 ) ( 15 )       | ( 10 ) ( 11 ) |
|                                       |               | 13.00E+3      | 8.553E+3      | -13.01E+3           | 37.90E+3      |
|                                       |               | 10.91E+3      | 2.296E+3      | -22.71E+3           | 27.31E+3      |
|                                       |               | 14.92E+3      | -9.119E+3     | 21.17E+3            | ( 15 ) ( 16 ) |
|                                       |               | 10.78E+3      | -13.30E+3     | 11.79E+3            | 28.14E+3      |
| 65                                    | El 27         | ( 11 ) ( 10 ) | ( 11 ) ( 12 ) | ( 15 ) ( 10 )       | ( 11 ) ( 10 ) |
|                                       |               | 14.43E+3      | -9.211E+3     | 21.18E+3            | 37.93E+3      |
|                                       |               | 7.87E+3       | -12.81E+3     | 11.85E+3            | 24.32E+3      |
| 13                                    | ( 11 ) ( 10 ) | ( 12 ) ( 11 ) | ( 10 ) ( 11 ) | ( 11 ) ( 10 )       | ( 16 ) ( 15 ) |
|                                       |               | 14.59E+3      | 8.843E+3      | -13.04E+3           | 37.42E+3      |
|                                       |               | 8.026E+3      | 2.381E+3      | -22.71E+3           | 23.64E+3      |
| 136                                   | El 70         | ( 15 ) ( 16 ) | ( 10 ) ( 9 )  | ( 10 ) ( 11 )       | ( 15 ) ( 16 ) |
|                                       |               | 2.738E+3      | -4.010E+3     | -7.382E+3           | 26.31E+3      |
|                                       |               | -207.0        | -5.226E+3     | -23.13E+3           | 9.178E+3      |
|                                       |               | 2.898E+3      | -6.221E+3     | 18.64E+3            | 33.08E+3      |
|                                       |               | -47.09        | -7.668E+3     | 2.737E+3            | 6.827E+3      |
| 137                                   | El 72         | ( 11 ) ( 12 ) | ( 10 ) ( 12 ) | ( 15 ) ( 10 )       | ( 11 ) ( 10 ) |
|                                       |               | 2.269E+3      | -4.603E+3     | 23.13E+3            | 25.87E+3      |
|                                       |               | -1.478E+3     | -5.439E+3     | 7.281E+3            | 7.393E+3      |
| 88                                    | ( 11 ) ( 12 ) | ( 10 ) ( 11 ) | ( 10 ) ( 11 ) | ( 11 ) ( 10 )       | ( 16 ) ( 15 ) |
|                                       |               | 2.429E+3      | -5.846E+3     | -2.894E+3           | 22.85E+3      |
|                                       |               | -1.315E+3     | -7.587E+3     | -18.63E+3           | 8.005E+3      |
| 138                                   | El 88         | ( 12 ) ( 11 ) | ( 11 ) ( 10 ) | ( 10 ) ( 15 )       | ( 10 ) ( 11 ) |
|                                       |               | 12.34E+3      | 13.05E+3      | -12.87E+3           | 38.89E+3      |
|                                       |               | 7.875E+3      | 6.364E+3      | -20.52E+3           | 25.04E+3      |
| 71                                    | ( 12 ) ( 11 ) | ( 10 ) ( 11 ) | ( 11 ) ( 10 ) | ( 15 ) ( 16 )       | ( 10 ) ( 11 ) |
|                                       |               | 12.19E+3      | -9.317E+3     | 18.94E+3            | 11.56E+3      |
|                                       |               | 7.723E+3      | -13.82E+3     | 11.38E+3            | 26.19E+3      |
| 139                                   | El 71         | ( 9 ) ( 15 )  | ( 10 ) ( 15 ) | ( 15 ) ( 10 )       | ( 16 ) ( 15 ) |
|                                       |               | 10.79E+3      | -10.20E+3     | -19.98E+3           | 11.18E+3      |
|                                       |               | 7.277E+3      | -13.91E+3     | 11.34E+3            | 22.60E+3      |
| 57                                    | ( 9 ) ( 15 )  | ( 15 ) ( 16 ) | ( 10 ) ( 11 ) | ( 11 ) ( 10 )       | ( 10 ) ( 15 ) |
|                                       |               | 10.88E+3      | 13.12E+3      | -12.91E+3           | 32.18E+3      |
|                                       |               | 7.429E+3      | 7.171E+3      | -20.82E+3           | 22.35E+3      |
| <b>Maximum values in this output:</b> |               |               |               |                     |               |
| Lc.                                   |               |               |               |                     |               |
| 64                                    | El 14         | 15.00E+3      | 2.296E+3      | -22.71E+3           | 37.90E+3      |
| 139                                   | El 57         | 7.429E+3      | 13.12E+3      | -20.82E+3           | 31.79E+3      |
| 63                                    | El 28         | 15-2.164E+3   | -6.162E+3     | 25.78E+3            | 24.34E+3      |
| 64                                    | El 27         | 14.92E+3      | -9.119E+3     | 21.17E+3            | 37.97E+3      |
| 64                                    | El 14         | 12.92E+3      | 7.831E+3      | -13.01E+3           | 37.95E+3      |
| <b>Minimum values in this output:</b> |               |               |               |                     |               |
| Lc.                                   |               |               |               |                     |               |
| 63                                    | El 28         | 13-2.206E+3   | -6.019E+3     | 20.96E+3            | 19.60E+3      |
| 139                                   | El 71         | 7.277E+3      | -13.91E+3     | 18.98E+3            | 19.78E+3      |
| 62                                    | El 26         | 11-1.654E+3   | -6.091E+3     | -28.78E+3           | 24.84E+3      |
| 137                                   | El 70         | 10-1.438E+3   | -5.846E+3     | -2.894E+3           | 5.005E+3      |
| 63                                    | El 28         | 18-2.164E+3   | -6.162E+3     | 25.78E+3            | 24.34E+3      |

| Beam Property 11                      |               |               |               |                     |               |
|---------------------------------------|---------------|---------------|---------------|---------------------|---------------|
| Elem no.                              | Load case no. | Axial A       | Bending By    | Combined [kN/m2] C1 | C2            |
| <b>Maximum values in this output:</b> |               |               |               |                     |               |
| Lc.                                   |               |               |               |                     |               |
| 216                                   | El 90         | ( 10 ) ( 15 ) | ( 15 ) ( 10 ) | ( 12 ) ( 11 )       | ( 15 ) ( 10 ) |
|                                       |               | -540.3        | 15.48E+3      | -4.327              | 19.54E+3      |
|                                       |               | -929.9        | 11.17E+3      | -5.013E+3           | 10.63E+3      |
| 4                                     | ( 10 ) ( 15 ) | ( 9 ) ( 9 )   | ( 11 ) ( 10 ) | ( 11 ) ( 10 )       | ( 10 ) ( 15 ) |
|                                       |               | -328.5        | .0            | 3.167E+3            | 2.670E+3      |
|                                       |               | -718.1        | .0            | 15.97               | -375.4        |
| 217                                   | El 45         | ( 15 ) ( 16 ) | ( 16 ) ( 15 ) | ( 9 ) ( 15 )        | ( 11 ) ( 10 ) |
|                                       |               | -382.8        | 6.746E+3      | 98.90E+3            | 13.42E+3      |
|                                       |               | -713.5        | 4.868E+3      | -8.713E+3           | 4.681E+3      |
| 91                                    | ( 15 ) ( 16 ) | ( 15 ) ( 16 ) | ( 16 ) ( 15 ) | ( 11 ) ( 10 )       | ( 10 ) ( 11 ) |
|                                       |               | -288.7        | -9.773E+3     | 106.1               | 14.87E+3      |
|                                       |               | -619.4        | -13.49E+3     | -4.978E+3           | 10.15E+3      |
| 218                                   | El 91         | ( 15 ) ( 16 ) | ( 15 ) ( 16 ) | ( 16 ) ( 15 )       | ( 11 ) ( 10 ) |
|                                       |               | -287.8        | -9.710E+3     | 106.1               | 14.83E+3      |
|                                       |               | -998.4        | -13.49E+3     | -4.978E+3           | 10.16E+3      |
| 46                                    | ( 15 ) ( 16 ) | ( 9 ) ( 9 )   | ( 15 ) ( 16 ) | ( 15 ) ( 9 )        | ( 10 ) ( 11 ) |
|                                       |               | -85.95        | .0            | 3.101E+3            | 3.248E+3      |
|                                       |               | -386.6        | .0            | -41.93              | -378.8        |
| 219                                   | El 47         | ( 11 ) ( 12 ) | ( 11 ) ( 12 ) | ( 12 ) ( 11 )       | ( 15 ) ( 10 ) |
|                                       |               | -384.0        | -8.093E+3     | 1.924               | 13.62E+3      |
|                                       |               | -717.9        | -6.821E+3     | -8.708E+3           | 4.708E+3      |
| 92                                    | ( 11 ) ( 12 ) | ( 12 ) ( 11 ) | ( 12 ) ( 11 ) | ( 15 ) ( 10 )       | ( 10 ) ( 15 ) |
|                                       |               | -289.8        | 13.64E+3      | 106.7               | 15.28E+3      |
|                                       |               | -623.7        | 10.19E+3      | -4.967E+3           | 10.17E+3      |
| 220                                   | El 92         | ( 11 ) ( 12 ) | ( 12 ) ( 11 ) | ( 16 ) ( 11 )       | ( 15 ) ( 10 ) |
|                                       |               | -269.9        | -13.64E+3     | 106.7               | 15.24E+3      |
|                                       |               | -602.8        | 10.12E+3      | -4.967E+3           | 10.19E+3      |
| 48                                    | ( 11 ) ( 12 ) | ( 9 ) ( 9 )   | ( 11 ) ( 16 ) | ( 11 ) ( 12 )       | ( 10 ) ( 15 ) |
|                                       |               | -87.07        | .0            | 3.308E+3            | 3.248E+3      |
|                                       |               | -391.0        | .0            | -42.68              | -381.2        |
| <b>Maximum values in this output:</b> |               |               |               |                     |               |
| Lc.                                   |               |               |               |                     |               |
| 216                                   | El 46         | 15            | -85.95        | .0                  | 3.301E+3      |
| 216                                   | El 90         | 15            | -929.9        | 15.48E+3            | -5.013E+3     |
| 216                                   | El 4          | 11            | -716.7        | .0                  | 3.167E+3      |
| 216                                   | El 90         | 15            | -929.9        | 15.48E+3            | -5.013E+3     |
| 220                                   | El 48         | 10            | -327.5        | .0                  | -6.148        |
| <b>Minimum values in this output:</b> |               |               |               |                     |               |
| Lc.                                   |               |               |               |                     |               |
| 215                                   | El 3          | 15            | -1.048E+3     | -7.696E+3           | -8.662E+3     |
| 214                                   | El 89         | 11            | -928.2        | -15.03E+3           | -5.019E+3     |
| 217                                   | El 45         | 15            | -382.8        | 4.868E+3            | -8.713E+3     |
| 220                                   | El 48         | 12            | -391.0        | .0                  | -7.746        |
| 216                                   | El 90         | 15            | -929.9        | 15.48E+3            | -5.012E+3     |

**BEAM STRESS ENVELOPES**

**BEAM STRESS ENVELOPES**

| Beam Property 11                      |               |               |               |                     |               |
|---------------------------------------|---------------|---------------|---------------|---------------------|---------------|
| Elem no.                              | Load case no. | Axial A       | Bending By    | Combined [kN/m2] C1 | C2            |
| <b>Maximum values in this output:</b> |               |               |               |                     |               |
| Lc.                                   |               |               |               |                     |               |
| 167                                   | El 51         | ( 12 ) ( 11 ) | ( 12 ) ( 11 ) | ( 9 ) ( 9 )         | ( 12 ) ( 11 ) |
|                                       |               | 827.1         | .0            | .0                  | 827.1         |
|                                       |               | -30.88E+3     | .0            | .0                  | -30.88E+3     |
| 7                                     | ( 12 ) ( 11 ) | ( 9 ) ( 9 )   | ( 9 ) ( 9 )   | ( 12 ) ( 11 )       | ( 12 ) ( 11 ) |
|                                       |               | 827.1         | .0            | .0                  | 827.1         |
|                                       |               | -30.88E+3     | .0            | .0                  | -30.88E+3     |
| 168                                   | El 93         | ( 12 ) ( 11 ) | ( 9 ) ( 9 )   | ( 9 ) ( 9 )         | ( 12 ) ( 11 ) |
|                                       |               | 1.685E+3      | .0            | .0                  | 1.685E+3      |
|                                       |               | -27.01E+3     | .0            | .0                  | -27.01E+3     |
| 9                                     | ( 12 ) ( 11 ) | ( 9 ) ( 9 )   | ( 9 ) ( 9 )   | ( 12 ) ( 11 )       | ( 12 ) ( 11 ) |
|                                       |               | 1.685E+3      | .0            | .0                  | 1.685E+3      |
|                                       |               | -27.01E+3     | .0            | .0                  | -27.01E+3     |
| 169                                   | El 94         | ( 12 ) ( 11 ) | ( 9 ) ( 9 )   | ( 9 ) ( 9 )         | ( 12 ) ( 11 ) |
|                                       |               | 2.322E+3      | .0            | .0                  | 2.322E+3      |
|                                       |               | -21.77E+3     | .0            | .0                  | -21.77E+3     |
| 10                                    | ( 12 ) ( 11 ) | ( 9 ) ( 9 )   | ( 9 ) ( 9 )   | ( 12 ) ( 11 )       | ( 12 ) ( 11 ) |
|                                       |               | 2.322E+3      | .0            | .0                  | 2.322E+3      |
|                                       |               | -21.77E+3     | .0            | .0                  | -21.77E+3     |

| Beam Property 13                      |               |         |            |                     |    |
|---------------------------------------|---------------|---------|------------|---------------------|----|
| Elem no.                              | Load case no. | Axial A | Bending By | Combined [kN/m2] C1 | C2 |
| <b>Maximum values in this output:</b> |               |         |            |                     |    |
| Lc.                                   |               |         |            |                     |    |
| 167</                                 |               |         |            |                     |    |

KOC UNIVERSITESI

SPOR SALONU

CELIK CATI ANA MAKASLARI t.seh

Job No. Sheet No. Rev. 38035 Drg. Ref. Made by Date 06-May-98 Checked

BEAM STRESS ENVELOPES

Table with columns: Elem Load Node no., case no., Axial A, Bending By, Bx, Combined [kN/m2] C1, C2. Contains beam stress data for nodes 170-177.

BEAM STRESS ENVELOPES

Table with columns: Elem Load Node no., case no., Axial A, Bending By, Bx, Combined [kN/m2] C1, C2. Contains beam stress data for nodes 172-177.

**KOC UNIVERSITESI**

SPOR SALONU

CELIK CATI ANA MAKASLARI t.seh

|           |           |         |
|-----------|-----------|---------|
| Job No.   | Sheet No. | Rev.    |
| 38035     |           |         |
| Drg. Ref. |           |         |
| Made by   | Date      | Checked |
| SK        | 06-May-98 |         |

BEAM STRESS ENVELOPES

| Elem Load Node no. case no. | Beam Property 14 |             |             |             |             |         |
|-----------------------------|------------------|-------------|-------------|-------------|-------------|---------|
|                             | Axial A          | Bending By  | Sz          | Combined C1 | Combined C2 | [kg/m2] |
| 191 El 17                   | ( 15) ( 9)       | ( 11) ( 12) | ( 9) ( 10)  | ( 15) ( 9)  | ( 15) ( 9)  |         |
|                             | 97.288E+3        | 10.43E+6    | -1.304E-6   | 97.288E+3   | 97.288E+3   |         |
|                             | -9.146E+3        | -692.0E-9   | -1.955E-6   | -8.146E+3   | -8.146E+3   |         |
| 62 ( 15) ( 9)               | ( 11) ( 12)      | ( 9) ( 10)  | ( 15) ( 9)  | ( 15) ( 9)  |             |         |
|                             | 97.18E+3         | 10.43E+6    | -1.304E-6   | 97.18E+3    | 97.18E+3    |         |
|                             | -8.208E+3        | -692.0E-9   | -1.955E-6   | -8.208E+3   | -8.208E+3   |         |
| 192 El 18                   | ( 15) ( 9)       | ( 9) ( 12)  | ( 11) ( 9)  | ( 15) ( 9)  | ( 15) ( 9)  |         |
|                             | 120.2E+3         | -2.608E-6   | 2.608E-6    | 120.2E+3    | 120.2E+3    |         |
|                             | -5.114E+3        | -3.260E-6   | .0          | -5.114E+3   | -5.114E+3   |         |
| 52 ( 15) ( 9)               | ( 9) ( 12)       | ( 11) ( 9)  | ( 15) ( 9)  | ( 15) ( 9)  |             |         |
|                             | 120.1E+3         | -2.608E-6   | 2.608E-6    | 120.1E+3    | 120.1E+3    |         |
|                             | -5.191E+3        | -3.260E-6   | .0          | -5.191E+3   | -5.191E+3   |         |
| 193 El 8                    | ( 15) ( 9)       | ( 10) ( 11) | ( 10) ( 11) | ( 15) ( 9)  | ( 15) ( 9)  |         |
|                             | 121.2E+3         | 326.0E-9    | 163.0E-9    | 121.2E+3    | 121.2E+3    |         |
|                             | -1.579E+3        | -13.04E-6   | -3.260E-6   | -1.579E+3   | -1.579E+3   |         |
| 90 ( 15) ( 9)               | ( 10) ( 11)      | ( 10) ( 11) | ( 15) ( 9)  | ( 15) ( 9)  |             |         |
|                             | 121.1E+3         | 326.0E-9    | 163.0E-9    | 121.1E+3    | 121.1E+3    |         |
|                             | -1.651E+3        | -13.04E-6   | -3.260E-6   | -1.651E+3   | -1.651E+3   |         |
| 343 El 98                   | ( 9) ( 15)       | ( 15) ( 10) | ( 9) ( 11)  | ( 9) ( 15)  | ( 9) ( 15)  |         |
|                             | 270.0            | 43.09E-6    | .0          | 270.0       | 270.0       |         |
|                             | -749.2           | -1.141E-6   | -10.43E-6   | -749.2      | -749.2      |         |
| 117 ( 9) ( 15)              | ( 15) ( 10)      | ( 9) ( 11)  | ( 9) ( 15)  | ( 9) ( 15)  |             |         |
|                             | 324.1            | 43.09E-6    | .0          | 324.1       | 324.1       |         |
|                             | -695.1           | -1.141E-6   | -10.43E-6   | -695.1      | -695.1      |         |
| 347 El 100                  | ( 12) ( 11)      | ( 9) ( 10)  | ( 12) ( 9)  | ( 12) ( 11) | ( 12) ( 11) |         |
|                             | 347.9            | 3.912E-6    | 346.4E-9    | 347.9       | 347.9       |         |
|                             | -1.242E+3        | -2.934E-6   | 326.0E-9    | -1.242E+3   | -1.242E+3   |         |
| 132 ( 12) ( 11)             | ( 9) ( 10)       | ( 12) ( 9)  | ( 12) ( 11) | ( 12) ( 11) |             |         |
|                             | 301.6            | 3.912E-6    | 346.4E-9    | 301.6       | 301.6       |         |
|                             | -1.188E+3        | -2.934E-6   | 326.0E-9    | -1.188E+3   | -1.188E+3   |         |

Maximum values in this output:  
 Lc.

|                       |           |           |          |          |
|-----------------------|-----------|-----------|----------|----------|
| 180 El 7 11 121.3E+3  | -7.824E-6 | 1.955E-6  | 121.3E+3 | 121.3E+3 |
| 343 El 98 15 -749.2   | 43.09E-6  | -10.43E-6 | -749.2   | -749.2   |
| 182 El 53 15 96.98E+3 | -13.24E-6 | 2.705E-6  | 96.98E+3 | 96.98E+3 |
| 180 El 7 11 121.3E+3  | -7.824E-6 | 1.955E-6  | 121.3E+3 | 121.3E+3 |
| 180 El 7 11 121.3E+3  | -7.824E-6 | 1.955E-6  | 121.3E+3 | 121.3E+3 |

Minimum values in this output:  
 Lc.

|                        |           |           |           |           |
|------------------------|-----------|-----------|-----------|-----------|
| 186 El 57 15 -34.84E+3 | .0        | .0        | -34.84E+3 | -34.84E+3 |
| 182 El 53 12 -8.677E+3 | -13.69E-6 | 326.0E-9  | -8.677E+3 | -8.677E+3 |
| 343 El 98 11 -749.8    | 43.03E-6  | -10.43E-6 | -749.8    | -749.8    |
| 186 El 57 15 -34.84E+3 | .0        | .0        | -34.84E+3 | -34.84E+3 |
| 186 El 57 15 -34.84E+3 | .0        | .0        | -34.84E+3 | -34.84E+3 |

BEAM STRESS ENVELOPES

| Elem Load Node no. case no. | Beam Property 15 |            |             |             |             |         |
|-----------------------------|------------------|------------|-------------|-------------|-------------|---------|
|                             | Axial A          | Bending By | Sz          | Combined C1 | Combined C2 | [kg/m2] |
| 194 El 77                   | ( 12) ( 11)      | ( 9) ( 9)  | ( 9) ( 9)   | ( 12) ( 11) | ( 12) ( 11) |         |
|                             | 288.1            | .0         | .0          | 288.1       | 288.1       |         |
|                             | -6.888E+3        | .0         | .0          | -6.888E+3   | -6.888E+3   |         |
| 33 ( 12) ( 11)              | ( 9) ( 9)        | ( 9) ( 9)  | ( 12) ( 11) | ( 12) ( 11) |             |         |
|                             | 288.1            | .0         | .0          | 288.1       | 288.1       |         |
|                             | -6.888E+3        | .0         | .0          | -6.888E+3   | -6.888E+3   |         |
| 196 El 79                   | ( 12) ( 11)      | ( 9) ( 9)  | ( 9) ( 9)   | ( 12) ( 11) | ( 12) ( 11) |         |
|                             | 284.3            | .0         | .0          | 284.3       | 284.3       |         |
|                             | -7.627E+3        | .0         | .0          | -7.627E+3   | -7.627E+3   |         |
| 35 ( 12) ( 11)              | ( 9) ( 9)        | ( 9) ( 9)  | ( 12) ( 11) | ( 12) ( 11) |             |         |
|                             | 284.3            | .0         | .0          | 284.3       | 284.3       |         |
|                             | -7.627E+3        | .0         | .0          | -7.627E+3   | -7.627E+3   |         |
| 196 El 80                   | ( 12) ( 11)      | ( 9) ( 9)  | ( 9) ( 9)   | ( 12) ( 11) | ( 12) ( 11) |         |
|                             | 433.3            | .0         | .0          | 433.3       | 433.3       |         |
|                             | -6.451E+3        | .0         | .0          | -6.451E+3   | -6.451E+3   |         |
| 36 ( 12) ( 11)              | ( 9) ( 9)        | ( 9) ( 9)  | ( 12) ( 11) | ( 12) ( 11) |             |         |
|                             | 433.3            | .0         | .0          | 433.3       | 433.3       |         |
|                             | -6.451E+3        | .0         | .0          | -6.451E+3   | -6.451E+3   |         |
| 197 El 81                   | ( 12) ( 11)      | ( 9) ( 9)  | ( 9) ( 9)   | ( 12) ( 11) | ( 12) ( 11) |         |
|                             | 549.6            | .0         | .0          | 549.6       | 549.6       |         |
|                             | -5.363E+3        | .0         | .0          | -5.363E+3   | -5.363E+3   |         |
| 37 ( 12) ( 11)              | ( 9) ( 9)        | ( 9) ( 9)  | ( 12) ( 11) | ( 12) ( 11) |             |         |
|                             | 549.6            | .0         | .0          | 549.6       | 549.6       |         |
|                             | -5.363E+3        | .0         | .0          | -5.363E+3   | -5.363E+3   |         |
| 198 El 82                   | ( 12) ( 11)      | ( 9) ( 9)  | ( 9) ( 9)   | ( 12) ( 11) | ( 12) ( 11) |         |
|                             | 606.1            | .0         | .0          | 606.1       | 606.1       |         |
|                             | -4.157E+3        | .0         | .0          | -4.157E+3   | -4.157E+3   |         |
| 38 ( 12) ( 11)              | ( 9) ( 9)        | ( 9) ( 9)  | ( 12) ( 11) | ( 12) ( 11) |             |         |
|                             | 606.1            | .0         | .0          | 606.1       | 606.1       |         |
|                             | -4.157E+3        | .0         | .0          | -4.157E+3   | -4.157E+3   |         |
| 199 El 83                   | ( 12) ( 11)      | ( 9) ( 9)  | ( 9) ( 9)   | ( 12) ( 11) | ( 12) ( 11) |         |
|                             | 2.094E+3         | .0         | .0          | 2.094E+3    | 2.094E+3    |         |
|                             | -793.3           | .0         | .0          | -793.3      | -793.3      |         |
| 39 ( 12) ( 11)              | ( 9) ( 9)        | ( 9) ( 9)  | ( 12) ( 11) | ( 12) ( 11) |             |         |
|                             | 2.094E+3         | .0         | .0          | 2.094E+3    | 2.094E+3    |         |
|                             | -793.3           | .0         | .0          | -793.3      | -793.3      |         |

**KOC UNIVERSITESI**

SPOR SALONU

CELIK CATI ANA MAKASLARI t.seh

|           |           |         |
|-----------|-----------|---------|
| Job No.   | Sheet No. | Rev.    |
| 38035     |           |         |
| Drg. Ref. |           |         |
| Made by   | Date      | Checked |
| SK        | 06-May-98 |         |

**BEAM STRESS ENVELOPES**

Beam Property 16

| Elem Load Node no. case no.    | Axial A | Bending By | Bx | Combined (kN/m <sup>2</sup> ) C1 | C2        |
|--------------------------------|---------|------------|----|----------------------------------|-----------|
| Maximum values in this output: |         |            |    |                                  |           |
| Lc.                            |         |            |    |                                  |           |
| 208 El 4 15 2.945E+3           | .0      | .0         | .0 | 2.945E+3                         | 2.945E+3  |
| 166 El 49 9 1.361E+3           | .0      | .0         | .0 | 1.361E+3                         | 1.361E+3  |
| 208 El 4 15 2.945E+3           | .0      | .0         | .0 | 2.945E+3                         | 2.945E+3  |
| 208 El 4 15 2.945E+3           | .0      | .0         | .0 | 2.945E+3                         | 2.945E+3  |
| Minimum values in this output: |         |            |    |                                  |           |
| Lc.                            |         |            |    |                                  |           |
| 179 El 50 15 -6.904E+3         | .0      | .0         | .0 | -6.904E+3                        | -6.904E+3 |
| 166 El 49 9 1.361E+3           | .0      | .0         | .0 | 1.361E+3                         | 1.361E+3  |
| 179 El 49 9 1.361E+3           | .0      | .0         | .0 | 1.361E+3                         | 1.361E+3  |
| 179 El 50 15 -6.904E+3         | .0      | .0         | .0 | -6.904E+3                        | -6.904E+3 |
| 179 El 50 15 -6.904E+3         | .0      | .0         | .0 | -6.904E+3                        | -6.904E+3 |

**BEAM STRESS ENVELOPES**

Beam Property 17

| Elem Load Node no. case no.   | Axial A   | Bending By | Bx        | Combined (kN/m <sup>2</sup> ) C1 | C2        |
|---|-----------|------------|-----------|----------------------------------|-----------|
| Maximum values in this output:  |           |            |           |                                  |           |
| Lc.   |           |            |           |                                  |           |
| 209 El 5 ( 11 ( 12 ) ( 9 ) ( 9 ) ( 9 ) ( 9 ) ( 11 ) ( 12 ) ( 11 ) ( 12 )  | .0        | .0         | .0        | 16.22E+3                         | 16.22E+3  |
| 46 ( 11 ( 12 ) ( 9 ) ( 9 ) ( 9 ) ( 9 ) ( 11 ) ( 12 ) ( 11 ) ( 12 )  | .0        | .0         | .0        | -1.078E+3                        | -1.078E+3 |
| 210 El 2 ( 10 ( 11 ) ( 9 ) ( 9 ) ( 9 ) ( 9 ) ( 10 ) ( 11 ) ( 10 ) ( 11 )  | .0        | .0         | .0        | -401.2                           | -401.2    |
| 49 ( 10 ( 11 ) ( 9 ) ( 9 ) ( 9 ) ( 9 ) ( 10 ) ( 11 ) ( 10 ) ( 11 )  | .0        | .0         | .0        | -25.27E+3                        | -25.27E+3 |
| 211 El 4 ( 10 ( 15 ) ( 9 ) ( 9 ) ( 9 ) ( 9 ) ( 10 ) ( 15 ) ( 10 ) ( 15 )  | .0        | .0         | .0        | -323.7                           | -323.7    |
| 50 ( 10 ( 15 ) ( 9 ) ( 9 ) ( 9 ) ( 9 ) ( 10 ) ( 15 ) ( 10 ) ( 15 )  | .0        | .0         | .0        | -169.7                           | -169.7    |
| 212 El 6 ( 15 ( 16 ) ( 9 ) ( 9 ) ( 9 ) ( 9 ) ( 15 ) ( 16 ) ( 15 ) ( 16 )  | .0        | .0         | .0        | 16.35E+3                         | 16.35E+3  |
| 48 ( 15 ( 16 ) ( 9 ) ( 9 ) ( 9 ) ( 9 ) ( 15 ) ( 16 ) ( 15 ) ( 16 )  | .0        | .0         | .0        | -1.005E+3                        | -1.005E+3 |
| 348 El 4 ( 10 ( 11 ) ( 11 ) ( 10 ) ( 11 ) ( 10 ) ( 11 ) ( 10 ) ( 11 ) ( 11 ) ( 10 )                                     | 53.31E+3  | 9.294E+3   | 40.77E+3  | -4.028E+3                        | -4.028E+3 |
| 94 ( 10 ( 11 ) ( 11 ) ( 10 ) ( 11 ) ( 10 ) ( 11 ) ( 10 ) ( 11 ) ( 11 ) ( 10 )   | 3.411E+3  | 808.1      | 2.982E+3  | -67.47E+3                        | -67.47E+3 |
| 349 El 93 ( 15 ( 16 ) ( 11 ) ( 16 ) ( 10 ) ( 11 ) ( 15 ) ( 16 ) ( 15 ) ( 16 ) ( 11 ) ( 16 ) ( 10 ) ( 11 )               | 247.0E+3  | 1.770E+3   | -1.258E+3 | 7.811E+3                         | -2.137E+3 |
| 48 ( 15 ( 16 ) ( 16 ) ( 15 ) ( 16 ) ( 11 ) ( 15 ) ( 16 ) ( 15 ) ( 16 ) ( 11 ) ( 16 ) ( 15 ) ( 16 )                      | 4.035E+3  | -1.267E+3  | 60.34E+3  | -1.610E+3                        | -1.610E+3 |
| 350 El 96 ( 10 ( 15 ) ( 15 ) ( 11 ) ( 11 ) ( 10 ) ( 15 ) ( 12 ) ( 11 ) ( 10 ) ( 15 ) ( 12 ) ( 11 ) ( 10 ) ( 15 )        | -268.5    | 3.875E+3   | -3.032E+3 | 4.620E+3                         | -4.852E+3 |
| 3 ( 10 ( 15 ) ( 15 ) ( 10 ) ( 11 ) ( 10 ) ( 15 ) ( 10 ) ( 10 ) ( 15 ) ( 10 ) ( 15 ) ( 10 ) ( 10 ) ( 15 )                | -407.1    | 83.25E+3   | 9.836E+3  | 40.91E+3                         | -3.879E+3 |
| 351 El 46 ( 11 ( 16 ) ( 16 ) ( 11 ) ( 11 ) ( 16 ) ( 15 ) ( 11 ) ( 10 ) ( 11 ) ( 16 ) ( 11 ) ( 16 ) ( 15 ) ( 11 ) ( 16 ) | 12.97E+3  | 3.968E+3   | -1.340E+3 | 60.66E+3                         | -3.510E+3 |
| 95 ( 11 ( 16 ) ( 15 ) ( 16 ) ( 11 ) ( 16 ) ( 15 ) ( 16 ) ( 11 ) ( 16 ) ( 15 ) ( 16 ) ( 11 ) ( 16 ) ( 15 ) ( 16 )        | 16.00     | -46.57E+3  | -10.28E+3 | 3.629E+3                         | -34.72E+3 |
| Maximum values in this output:  |           |            |           |                                  |           |
| Lc.   |           |            |           |                                  |           |
| 212 El 6 15 16.35E+3  | .0        | .0         | .0        | 16.35E+3                         | 16.35E+3  |
| 166 El 4 11 13.35E+3  | .0        | .0         | .0        | 13.35E+3                         | 13.35E+3  |
| 350 El 2 11 13.35E+3  | .0        | .0         | .0        | 13.35E+3                         | 13.35E+3  |
| 351 El 46 11 12.97E+3   | .0        | .0         | .0        | 12.97E+3                         | 12.97E+3  |
| 212 El 6 15 16.35E+3  | .0        | .0         | .0        | 16.35E+3                         | 16.35E+3  |
| Minimum values in this output:  |           |            |           |                                  |           |
| Lc.   |           |            |           |                                  |           |
| 210 El 2 11 -25.27E+3   | .0        | .0         | .0        | -25.27E+3                        | -25.27E+3 |
| 351 El 46 11 12.97E+3   | -46.57E+3 | -10.27E+3  | 60.66E+3  | -34.72E+3                        | -34.72E+3 |
| 351 El 46 11 12.97E+3   | -46.57E+3 | -10.28E+3  | 60.66E+3  | -34.72E+3                        | -34.72E+3 |
| 310 El 2 11 -25.27E+3   | .0        | .0         | .0        | -25.27E+3                        | -25.27E+3 |
| 348 El 4 11 13.35E+3  | 53.31E+3  | 9.294E+3   | -40.77E+3 | -4.028E+3                        | -4.028E+3 |

**BEAM STRESS ENVELOPES**

Beam Property 18

| Elem Load Node no. case no.   | Axial A | Bending By | Bx | Combined (kN/m <sup>2</sup> ) C1 | C2    |
|---|---------|------------|----|----------------------------------|-------|
| Maximum values in this output:                                      |         |            |    |                                  |       |
| Lc.   |         |            |    |                                  |       |
| 221 El 89 ( 16 ( 10 ) ( 9 ) ( 9 ) ( 9 ) ( 16 ) ( 10 ) ( 16 ) ( 10 ) | 12.24   | .0         | .0 | 12.24                            | 12.24 |
| 91 ( 16 ( 10 ) ( 9 ) ( 9 ) ( 9 ) ( 16 ) ( 10 ) ( 16 ) ( 10 )        | 1.239   | .0         | .0 | 1.239                            | 1.239 |
| 222 El 90 ( 16 ( 10 ) ( 9 ) ( 9 ) ( 9 ) ( 16 ) ( 10 ) ( 16 ) ( 10 ) | 12.24   | .0         | .0 | 12.24                            | 12.24 |
| 92 ( 16 ( 10 ) ( 9 ) ( 9 ) ( 9 ) ( 16 ) ( 10 ) ( 16 ) ( 10 )        | 1.239   | .0         | .0 | 1.239                            | 1.239 |
| Minimum values in this output:                                      |         |            |    |                                  |       |
| Lc.   |         |            |    |                                  |       |
| 222 El 90 16 12.24  | .0      | .0         | .0 | 12.24                            | 12.24 |
| 221 El 89 9 1.332   | .0      | .0         | .0 | 1.332                            | 1.332 |
| 221 El 89 9 1.332   | .0      | .0         | .0 | 1.332                            | 1.332 |
| 222 El 90 16 12.24  | .0      | .0         | .0 | 12.24                            | 12.24 |
| 222 El 90 16 12.24  | .0      | .0         | .0 | 12.24                            | 12.24 |

**BEAM STRESS ENVELOPES**

Beam Property 19

| Elem Load Node no. case no.    | Axial A | Bending By | Bx | Combined (kN/m <sup>2</sup> ) C1 | C2    |
|--------------------------------|---------|------------|----|----------------------------------|-------|
| Maximum values in this output: |         |            |    |                                  |       |
| Lc.                            |         |            |    |                                  |       |
| 221 El 89 10 1.239             | .0      | .0         | .0 | 1.239                            | 1.239 |
| 221 El 89 9 1.332              | .0      | .0         | .0 | 1.332                            | 1.332 |
| 221 El 89 9 1.332              | .0      | .0         | .0 | 1.332                            | 1.332 |
| 221 El 89 10 1.239             | .0      | .0         | .0 | 1.239                            | 1.239 |
| 221 El 89 10 1.239             | .0      | .0         | .0 | 1.239                            | 1.239 |

**BEAM STRESS ENVELOPES**

Beam Property 19

| Elem Load Node no. case no.   | Axial A   | Bending By | Bx | Combined (kN/m <sup>2</sup> ) C1 | C2        |
|---|-----------|------------|----|----------------------------------|-----------|
| Maximum values in this output:                                      |           |            |    |                                  |           |
| Lc.   |           |            |    |                                  |           |
| 223 El 64 ( 16 ( 15 ) ( 9 ) ( 9 ) ( 9 ) ( 16 ) ( 15 ) ( 16 ) ( 15 ) | -24.48    | .0         | .0 | -24.48                           | -24.48    |
| 20 ( 16 ( 15 ) ( 9 ) ( 9 ) ( 9 ) ( 16 ) ( 15 ) ( 16 ) ( 15 )        | -7.708E+3 | .0         | .0 | -7.708E+3                        | -7.708E+3 |
| 234 El 65 ( 10 ( 15 ) ( 9 ) ( 9 ) ( 9 ) ( 10 ) ( 15 ) ( 10 ) ( 15 ) | -1.419E+3 | .0         | .0 | -1.419E+3                        | -1.419E+3 |
| 21 ( 10 ( 15 ) ( 9 ) ( 9 ) ( 9 ) ( 10 ) ( 15 ) ( 10 ) ( 15 )        | -8.880E+3 | .0         | .0 | -8.880E+3                        | -8.880E+3 |
| 228 El 67 ( 10 ( 15 ) ( 9 ) ( 9 ) ( 9 ) ( 10 ) ( 15 ) ( 10 ) ( 15 ) | -2.131E+3 | .0         | .0 | -2.131E+3                        | -2.131E+3 |
| 23 ( 10 ( 15 ) ( 9 ) ( 9 ) ( 9 ) ( 10 ) ( 15 ) ( 10 ) ( 15 )        | -6.781E+3 | .0         | .0 | -6.781E+3                        | -6.781E+3 |
| 226 El 68 ( 10 ( 15 ) ( 9 ) ( 9 ) ( 9 ) ( 10 ) ( 15 ) ( 10 ) ( 15 ) | -4.501E+3 | .0         | .0 | -4.501E+3                        | -4.501E+3 |
| 24 ( 10 ( 15 ) ( 9 ) ( 9 ) ( 9 ) ( 10 ) ( 15 ) ( 10 ) ( 15 )        | -2.760E+3 | .0         | .0 | -2.760E+3                        | -2.760E+3 |
| 227 El 69 ( 11 ( 12 ) ( 9 ) ( 9 ) ( 9 ) ( 11 ) ( 12 ) ( 11 ) ( 12 ) | -2.100E+3 | .0         | .0 | -2.100E+3                        | -2.100E+3 |
| 25 ( 11 ( 12 ) ( 9 ) ( 9 ) ( 9 ) ( 11 ) ( 12 ) ( 11 ) ( 12 )        | -3.510E+3 | .0         | .0 | -3.510E+3                        | -3.510E+3 |
| 228 El 70 ( 11 ( 12 ) ( 9 ) ( 9 ) ( 9 ) ( 11 ) ( 12 ) ( 11 ) ( 12 ) | -1.901E+3 | .0         | .0 | -1.901E+3                        | -1.901E+3 |
| 26 ( 11 ( 12 ) ( 9 ) ( 9 ) ( 9 ) ( 11 ) ( 12 ) ( 11 ) ( 12 )        | -2.273E+3 | .0         | .0 | -2.273E+3                        | -2.273E+3 |
| 229 El 71 ( 10 ( 15 ) ( 9 ) ( 9 ) ( 9 ) ( 10 ) ( 15 ) ( 10 ) ( 15 ) | -2.276E+3 | .0         | .0 | -2.276E+3                        | -2.276E+3 |
| 27 ( 10 ( 15 ) ( 9 ) ( 9 ) ( 9 ) ( 10 ) ( 15 ) ( 10 ) ( 15 )        | -5.044E+3 | .0         | .0 | -5.044E+3                        | -5.044E+3 |
| 230 El 72 ( 15 ( 9 ) ( 9 ) ( 9 ) ( 9 ) ( 15 ) ( 9 ) ( 15 ) ( 9 )    | -1.871E+3 | .0         | .0 | -1.871E+3                        | -1.871E+3 |
| 28 ( 15 ( 9 ) ( 9 ) ( 9 ) ( 9 ) ( 15 ) ( 9 ) ( 15 ) ( 9 )           | -1.871E+3 | .0         | .0 | -1.871E+3                        | -1.871E+3 |
| 231 El 73 ( 15 ( 9 ) ( 9 ) ( 9 ) ( 9 ) ( 15 ) ( 9 ) ( 15 ) ( 9 )    | -2.061E+3 | .0         | .0 | -2.061E+3                        | -2.061E+3 |
| 29 ( 15 ( 9 ) ( 9 ) ( 9 ) ( 9 ) ( 15 ) ( 9 ) ( 15 ) ( 9 )           | -3.378E+3 | .0         | .0 | -3.378E+3                        | -3.378E+3 |

KOC UNIVERSITESI

SPOR SALONU

CELIK CATI ANA MAKASLARI t.seh

|           |           |         |
|-----------|-----------|---------|
| Job No.   | Sheet No. | Rev.    |
| 38035     |           |         |
| Drg. Ref. |           |         |
| Made by   | Date      | Checked |
| SK        | 06-May-98 |         |

BEAM STRESS ENVELOPES

| Beam Property 19            |           |         |            |         |                               |           |  |
|-----------------------------|-----------|---------|------------|---------|-------------------------------|-----------|--|
| Elem Load Node no. case no. | Axial A   |         | Bending By |         | Combined (kN/m <sup>2</sup> ) |           |  |
|                             | By        | By      | By         | By      | C1                            | C2        |  |
| 212 EI 74                   | (10) (11) | (9) (9) | (9) (9)    | (9) (9) | (10) (11)                     | (10) (11) |  |
|                             | -2.503E+3 | .0      | .0         | .0      | -2.503E+3                     | -2.503E+3 |  |
|                             | -4.453E+3 | .0      | .0         | .0      | -4.453E+3                     | -4.453E+3 |  |
| 30                          | (10) (11) | (9) (9) | (9) (9)    | (9) (9) | (10) (11)                     | (10) (11) |  |
|                             | -2.503E+3 | .0      | .0         | .0      | -2.503E+3                     | -2.503E+3 |  |
|                             | -4.453E+3 | .0      | .0         | .0      | -4.453E+3                     | -4.453E+3 |  |
| 213 EI 75                   | (10) (11) | (9) (9) | (9) (9)    | (9) (9) | (10) (11)                     | (10) (11) |  |
|                             | -1.884E+3 | .0      | .0         | .0      | -1.884E+3                     | -1.884E+3 |  |
|                             | -6.730E+3 | .0      | .0         | .0      | -6.730E+3                     | -6.730E+3 |  |
| 31                          | (10) (11) | (9) (9) | (9) (9)    | (9) (9) | (10) (11)                     | (10) (11) |  |
|                             | -1.884E+3 | .0      | .0         | .0      | -1.884E+3                     | -1.884E+3 |  |
|                             | -6.730E+3 | .0      | .0         | .0      | -6.730E+3                     | -6.730E+3 |  |
| 214 EI 66                   | (10) (11) | (9) (9) | (9) (9)    | (9) (9) | (10) (11)                     | (10) (11) |  |
|                             | -1.218E+3 | .0      | .0         | .0      | -1.218E+3                     | -1.218E+3 |  |
|                             | -8.846E+3 | .0      | .0         | .0      | -8.846E+3                     | -8.846E+3 |  |
| 22                          | (10) (11) | (9) (9) | (9) (9)    | (9) (9) | (10) (11)                     | (10) (11) |  |
|                             | -1.218E+3 | .0      | .0         | .0      | -1.218E+3                     | -1.218E+3 |  |
|                             | -8.846E+3 | .0      | .0         | .0      | -8.846E+3                     | -8.846E+3 |  |
| 215 EI 76                   | (12) (11) | (9) (9) | (9) (9)    | (9) (9) | (12) (11)                     | (12) (11) |  |
|                             | -10.44    | .0      | .0         | .0      | -10.44                        | -10.44    |  |
|                             | -7.638E+3 | .0      | .0         | .0      | -7.638E+3                     | -7.638E+3 |  |
| 32                          | (12) (11) | (9) (9) | (9) (9)    | (9) (9) | (12) (11)                     | (12) (11) |  |
|                             | -10.44    | .0      | .0         | .0      | -10.44                        | -10.44    |  |
|                             | -7.638E+3 | .0      | .0         | .0      | -7.638E+3                     | -7.638E+3 |  |

Maximum values in this output:

| Elem Load Node no. case no. | Axial A | Bending By | Combined (kN/m <sup>2</sup> ) |
|-----------------------------|---------|------------|-------------------------------|
| 219 EI 75 12                | -10.44  | .0         | -10.44                        |
| 223 EI 64 9                 | -120.0  | .0         | -120.0                        |
| 223 EI 64 9                 | -120.0  | .0         | -120.0                        |
| 219 EI 75 12                | -10.44  | .0         | -10.44                        |
| 219 EI 75 12                | -10.44  | .0         | -10.44                        |

Minimum values in this output:

| Elem Load Node no. case no. | Axial A   | Bending By | Combined (kN/m <sup>2</sup> ) |
|-----------------------------|-----------|------------|-------------------------------|
| 224 EI 65 15                | -8.880E+3 | .0         | -8.880E+3                     |
| 224 EI 64 9                 | -120.0    | .0         | -120.0                        |
| 223 EI 64 9                 | -120.0    | .0         | -120.0                        |
| 224 EI 65 15                | -8.880E+3 | .0         | -8.880E+3                     |
| 224 EI 65 15                | -8.880E+3 | .0         | -8.880E+3                     |

BEAM STRESS ENVELOPES

| Beam Property 20            |           |           |            |           |                               |           |  |
|-----------------------------|-----------|-----------|------------|-----------|-------------------------------|-----------|--|
| Elem Load Node no. case no. | Axial A   |           | Bending By |           | Combined (kN/m <sup>2</sup> ) |           |  |
|                             | By        | By        | By         | By        | C1                            | C2        |  |
| 236 EI 46                   | (15) (16) | (15) (9)  | (16) (9)   | (15) (16) | (15) (16)                     | (15) (16) |  |
|                             | -1.268E+3 | -10.43E-6 | -3.260E-6  | -1.259E+3 | -3.259E+3                     | -3.259E+3 |  |
|                             | 16.62E+3  | 73.22E-6  | -2.934E-6  | 16.62E+3  | 16.62E+3                      | 16.62E+3  |  |
| 20                          | (15) (16) | (18) (9)  | (16) (9)   | (15) (16) | (15) (16)                     | (15) (16) |  |
|                             | -3.188E+3 | -10.43E-6 | -3.260E-6  | -3.188E+3 | -3.188E+3                     | -3.188E+3 |  |
|                             | 16.62E+3  | 73.22E-6  | -2.934E-6  | 16.62E+3  | 16.62E+3                      | 16.62E+3  |  |
| 217 EI 64                   | (15) (10) | (11) (12) | (10) (9)   | (15) (10) | (15) (10)                     | (15) (10) |  |
|                             | 31.96E+3  | 39.12E-6  | -489.0E-9  | 31.96E+3  | 31.96E+3                      | 31.96E+3  |  |
|                             | 3.019E+3  | -2.934E-6 | -692.0E-9  | 3.019E+3  | 3.019E+3                      | 3.019E+3  |  |
| 21                          | (15) (10) | (11) (12) | (10) (9)   | (15) (10) | (15) (10)                     | (15) (10) |  |
|                             | 11.90E+3  | 39.12E-6  | -489.0E-9  | 11.90E+3  | 11.90E+3                      | 11.90E+3  |  |
|                             | 3.019E+3  | -2.934E-6 | -692.0E-9  | 3.019E+3  | 3.019E+3                      | 3.019E+3  |  |
| 238 EI 65                   | (15) (16) | (16) (10) | (9) (15)   | (15) (16) | (15) (16)                     | (15) (16) |  |
|                             | 22.53E+3  | -7.172E-6 | 1.304E-6   | 22.53E+3  | 22.53E+3                      | 22.53E+3  |  |
|                             | 6.052E+3  | -8.478E-6 | -4.010E-6  | 6.052E+3  | 6.052E+3                      | 6.052E+3  |  |
| 23                          | (15) (16) | (16) (10) | (9) (15)   | (15) (16) | (15) (16)                     | (15) (16) |  |
|                             | 32.60E+3  | -7.172E-6 | 1.304E-6   | 32.60E+3  | 32.60E+3                      | 32.60E+3  |  |
|                             | 6.122E+3  | -8.478E-6 | -4.010E-6  | 6.122E+3  | 6.122E+3                      | 6.122E+3  |  |
| 219 EI 67                   | (15) (10) | (11) (12) | (9) (10)   | (15) (10) | (15) (10)                     | (15) (10) |  |
|                             | 14.82E+3  | 7.824E-6  | .0         | 14.82E+3  | 14.82E+3                      | 14.82E+3  |  |
|                             | 8.515E+3  | -3.260E-6 | -163.0E-9  | 8.515E+3  | 8.515E+3                      | 8.515E+3  |  |
| 24                          | (15) (10) | (11) (12) | (9) (10)   | (15) (10) | (15) (10)                     | (15) (10) |  |
|                             | 14.87E+3  | 7.824E-6  | .0         | 14.87E+3  | 14.87E+3                      | 14.87E+3  |  |
|                             | 8.569E+3  | -3.260E-6 | -163.0E-9  | 8.569E+3  | 8.569E+3                      | 8.569E+3  |  |
| 240 EI 68                   | (12) (11) | (9) (10)  | (11) (16)  | (12) (11) | (12) (11)                     | (12) (11) |  |
|                             | 12.10E+3  | .0        | -2.282E-6  | 12.10E+3  | 12.10E+3                      | 12.10E+3  |  |
|                             | 6.508E+3  | -2.608E-6 | -2.934E-6  | 6.508E+3  | 6.508E+3                      | 6.508E+3  |  |
| 25                          | (12) (11) | (9) (10)  | (11) (16)  | (12) (11) | (12) (11)                     | (12) (11) |  |
|                             | 12.14E+3  | .0        | -2.282E-6  | 12.14E+3  | 12.14E+3                      | 12.14E+3  |  |
|                             | 6.547E+3  | -2.608E-6 | -2.934E-6  | 6.547E+3  | 6.547E+3                      | 6.547E+3  |  |
| 241 EI 69                   | (12) (11) | (11) (10) | (9) (10)   | (12) (11) | (12) (11)                     | (12) (11) |  |
|                             | 12.28E+3  | 36.51E-6  | -1.304E-6  | 12.28E+3  | 12.28E+3                      | 12.28E+3  |  |
|                             | -3.008E+3 | 28.49E-6  | -1.467E-6  | -3.008E+3 | -3.008E+3                     | -3.008E+3 |  |
| 26                          | (12) (11) | (11) (10) | (9) (10)   | (12) (11) | (12) (11)                     | (12) (11) |  |
|                             | 12.31E+3  | 36.51E-6  | -1.304E-6  | 12.31E+3  | 12.31E+3                      | 12.31E+3  |  |
|                             | -1.978E+3 | 28.49E-6  | -1.467E-6  | -1.978E+3 | -1.978E+3                     | -1.978E+3 |  |
| 242 EI 70                   | (15) (10) | (9) (10)  | (9) (12)   | (15) (10) | (15) (10)                     | (15) (10) |  |
|                             | 13.26E+3  | .0        | -1.304E-6  | 13.26E+3  | 13.26E+3                      | 13.26E+3  |  |
|                             | 8.299E+3  | -3.912E-6 | -1.309E-6  | 8.299E+3  | 8.299E+3                      | 8.299E+3  |  |
| 27                          | (15) (10) | (9) (10)  | (9) (12)   | (15) (10) | (15) (10)                     | (15) (10) |  |
|                             | 13.27E+3  | .0        | -1.304E-6  | 13.27E+3  | 13.27E+3                      | 13.27E+3  |  |
|                             | 8.299E+3  | -3.912E-6 | -1.309E-6  | 8.299E+3  | 8.299E+3                      | 8.299E+3  |  |

BEAM STRESS ENVELOPES

| Beam Property 20            |           |           |            |           |                               |           |  |
|-----------------------------|-----------|-----------|------------|-----------|-------------------------------|-----------|--|
| Elem Load Node no. case no. | Axial A   |           | Bending By |           | Combined (kN/m <sup>2</sup> ) |           |  |
|                             | By        | By        | By         | By        | C1                            | C2        |  |
| 244 EI 48                   | (11) (12) | (10) (12) | (9) (10)   | (11) (12) | (11) (12)                     | (11) (12) |  |
|                             | 16.16E+3  | 1.304E-6  | 2.608E-6   | 16.16E+3  | 16.16E+3                      | 16.16E+3  |  |
|                             | -3.478E+3 | -692.0E-9 | 2.445E-6   | -3.478E+3 | -3.478E+3                     | -3.478E+3 |  |
| 32                          | (11) (12) | (10) (12) | (9) (10)   | (11) (12) | (11) (12)                     | (11) (12) |  |
|                             | 16.21E+3  | 1.304E-6  | 2.608E-6   | 16.21E+3  | 16.21E+3                      | 16.21E+3  |  |
|                             | -3.403E+3 | -692.0E-9 | 2.445E-6   | -3.403E+3 | -3.403E+3                     | -3.403E+3 |  |
| 245 EI 76                   | (11) (10) | (15) (9)  | (10) (16)  | (11) (10) | (11) (10)                     | (11) (10) |  |
|                             | 21.83E+3  | 44.60E-6  | 723.8E-9   | 21.83E+3  | 21.83E+3                      | 21.83E+3  |  |
|                             | 2.554E+3  | 2.771E-6  | 670.5E-9   | 2.554E+3  | 2.554E+3                      | 2.554E+3  |  |
| 22                          | (11) (10) | (15) (9)  | (10) (16)  | (11) (10) | (11) (10)                     | (11) (10) |  |
|                             | 21.87E+3  | 44.60E-6  | 723.8E-9   | 21.87E+3  | 21.87E+3                      | 21.87E+3  |  |
|                             | 2.604E+3  | 2.771E-6  | 670.5E-9   | 2.604E+3  | 2.604E+3                      | 2.604E+3  |  |
| 246 EI 66                   | (11) (10) | (11) (9)  | (9) (10)   | (11) (10) | (11) (10)                     | (11) (10) |  |
|                             | 5.343E+3  | -19.96E-6 | 1.284E-6   | 5.343E+3  | 5.343E+3                      | 5.343E+3  |  |
|                             | 22.41E+3  | 1.304E-6  | 1.304E-6   | 22.41E+3  | 22.41E+3                      | 22.41E+3  |  |
| 31                          | (11) (10) | (11) (9)  | (9) (10)   | (11) (10) | (11) (10)                     | (11) (10) |  |
|                             | 5.412E+3  | -19.96E-6 | 1.284E-6   | 5.412E+3  | 5.412E+3                      | 5.412E+3  |  |
|                             | 22.41E+3  | 1.304E-6  | 1.304E-6   | 22.41E+3  | 22.41E+3                      | 22.41E+3  |  |
| 247 EI 75                   | (11) (10) | (15) (9)  | (10) (16)  | (11) (10) | (11) (10)                     | (11) (10) |  |
|                             | 14.85E+3  | 13.24E-6  | 48.90E-9   | 14.85E+3  | 14.85E+3                      | 14.85E+3  |  |
|                             | 7.627E+3  | 2.608E-6  | -2.608E-6  | 7.627E+3  | 7.627E+3                      | 7.627E+3  |  |
| 30                          | (11) (10) | (15) (9)  | (10) (16)  | (11) (10) | (11) (10)                     | (11) (10) |  |
|                             | 14.70E+3  | 13.24E-6  | 48.90E-9   | 14.70E+3  | 14.70E+3                      | 14.70E+3  |  |
|                             | 7.681E+3  | 2.608E-6  | -2.608E-6  | 7.681E+3  | 7.681E+3                      | 7.681E+3  |  |
| 248 EI 74                   | (9) (15)  | (11) (10) | (11) (9)   | (9) (15)  | (9) (15)                      | (9) (15)  |  |
|                             | 11.61E+3  | 2.608E-6  | -2.934E-6  | 11.61E+3  | 11.61E+3                      | 11.61E+3  |  |
|                             | 6.362E+3  | -5.216E-6 | -3.260E-6  | 6.362E+3  | 6.362E+3                      | 6.362E+3  |  |
| 29                          | (9) (15)  | (11) (10) | (11) (9)   | (9) (15)  | (9) (15)                      | (9) (15)  |  |
|                             | 11.65E+3  | 2.608E-6  | -2.934E-6  | 11.65E+3  | 11.65E+3                      | 11.65E+3  |  |
|                             | 6.401E+3  | -5.216E-6 | -3.260E-6  | 6.401E+3  | 6.401E+3                      | 6.401E+3  |  |
| 249 EI 73                   | (9) (15)  | (11) (16) | (9) (16)   | (9) (15)  | (9) (15)                      | (9) (15)  |  |
|                             | 11.86E+3  | 41.73E-6  | 3.886E-6   | 11.86E+3  | 11.86E+3                      | 11.86E+3  |  |
|                             | -2.104E+3 | 33.91E-6  | 3.886E-6   | -2.104E+3 | -2.104E+3                     | -2.104E+3 |  |
| 28                          | (9) (15)  | (11) (16) | (9) (16)   | (9) (15)  | (9) (15)                      | (9) (15)  |  |
|                             | 11.88E+3  | 41.73E-6  | 3.912E-6   | 11.88E+3  | 11.88E+3                      | 11.88E+3  |  |
|                             | -2.104E+3 | 33.91E-6  | 3.886E-6   | -2.104E+3 | -2.104E+3                     | -2.104E+3 |  |
| 250 EI 72                   | (11) (10) | (9) (16)  | (11) (10)  | (11) (10) | (11) (10)                     | (11) (10) |  |
|                             | 13.17E+3  | 52.16E-6  | 244.5E-9   | 13.17E+3  | 13.17E+3                      | 13.17E+3  |  |
|                             | 7.826E+3  | 49.95E-6  | .0         | 7.826E+3  | 7.826E+3                      | 7.826E+3  |  |
| 27                          | (11) (10) | (9) (16)  | (11) (10)  | (11) (10) | (11) (10)                     | (11) (10) |  |
|                             | 13.18E+3  | 52.16E-6  | 244.5E-9   | 13.18E+3  | 13.18E+3                      | 13.18E+3  |  |
|                             | 7.834E+3  | 49.95E-6  | .0         | 7.834E+3  | 7.834E+3                      | 7.834E+3  |  |

Maximum values in this output:

| Elem Load Node no. case no. | Axial A  | Bending By | Combined (kN/m <sup>2</sup> ) |
|-----------------------------|----------|------------|-------------------------------|
| 238 EI 23 15                | 22.60E+3 | -8.020E-6  | 22.60E+3                      |
| 246 EI 66 9                 | 16.34E+3 | -3.260E-6  | 16.34E+3                      |
| 249 EI 73 9                 | 11.86E+3 | -2.104E-6  | 11.86E+3                      |
| 238 EI 23 15                | 22.60E+3 | -8.020E-6  | 22.60E+3                      |
| 238 EI 23 15                | 22.60E+3 | -8.020E-6  | 22.60E+3                      |

Minimum values in this output:

| Elem Load Node no. case |
|-------------------------|
|-------------------------|

KOC UNIVERSITESI

SPOR SALONU  
CELIK CATI ANA MAKASLARI t.seh

Job No. 38035, Sheet No., Rev., Drg. Ref., Made by SK, Date 06-May-98, Checked

BEAM STRESS ENVELOPES

Beam Property 21 table with columns: Elem Load Node no., case no., Axial A, Bending By, Bz, Combined (kN/m2) C1, C2. Includes maximum and minimum values for various beam elements.

BEAM STRESS ENVELOPES

Beam Property 22 table with columns: Elem Load Node no., case no., Axial A, Bending By, Bz, Combined (kN/m2) C1, C2. Includes maximum and minimum values for various beam elements.

BEAM STRESS ENVELOPES

Beam Property 22 table (continued) with columns: Elem Load Node no., case no., Axial A, Bending By, Bz, Combined (kN/m2) C1, C2. Includes maximum and minimum values for various beam elements.

BEAM STRESS ENVELOPES

Beam Property 23 table with columns: Elem Load Node no., case no., Axial A, Bending By, Bz, Combined (kN/m2) C1, C2. Includes maximum and minimum values for various beam elements.

BEAM STRESS ENVELOPES

Beam Property 23 table (continued) with columns: Elem Load Node no., case no., Axial A, Bending By, Bz, Combined (kN/m2) C1, C2. Includes maximum and minimum values for various beam elements.

BEAM STRESS ENVELOPES

Beam Property 23 table (continued) with columns: Elem Load Node no., case no., Axial A, Bending By, Bz, Combined (kN/m2) C1, C2. Includes maximum and minimum values for various beam elements.



KOC UNIVERSITESI

SPOR SALONU

CELIK CATI ANA MAKASLARI t.seh

|           |           |         |
|-----------|-----------|---------|
| Job No.   | Sheet No. | Rev.    |
| 38035     |           |         |
| Drg. Ref. |           |         |
| Made by   | Date      | Checked |
| SK        | 06-May-98 |         |

BEAM STRESS ENVELOPES

Beam Property 23

| Elem Load Node no. case no. | Axial A   | Bending     |             | Combined (kN/m2) |           |
|-----------------------------|-----------|-------------|-------------|------------------|-----------|
|                             |           | By          | Bz          | C1               | C2        |
| 312 El 122                  | (12) (11) | (16) (16)   | (11) (10)   | (12) (11)        | (10) (16) |
|                             | 6.463E+3  | 11.02E+3    | 12.861E+3   | 20.74E+3         | -6.922E+3 |
|                             | 3.618E+3  | [-12.02E+3] | 11.281E+3   | 17.48E+3         | -6.604E+3 |
|                             |           |             |             |                  |           |
|                             | 6.463E+3  | [6.149E+3]  | 298.4       | 12.42E+3         | 306.1     |
|                             | 3.618E+3  | -6.149E+3   | [-729.0]    | 9.063E+3         | -2.264E+3 |
| 313 El 99                   | (10) (13) | (14) (14)   | (11) (11)   | (10) (16)        | (10) (15) |
|                             | -8.728E+3 | (1.941E+3)  | 429.2       | -7.107E+3        | -10.32E+3 |
|                             | -9.793E+3 | -1.941E+3   | [-1.048E+3] | -7.760E+3        | -12.69E+3 |
|                             |           |             |             |                  |           |
|                             | (10) (13) | (14) (14)   | (11) (11)   | (10) (16)        | (10) (15) |
|                             | -8.728E+3 | 9.817E+3    | [3.794E+3]  | 3.602E+3         | -17.79E+3 |
|                             | -9.793E+3 | [-9.817E+3] | -1.593E+3   | -1.935           | -21.11E+3 |
| 314 El 124                  | (15) (16) | (15) (15)   | (12) (11)   | (15) (10)        | (10) (15) |
|                             | -4.888E+3 | 35.39E+3    | [4.588E+3]  | 32.63E+3         | -34.69E+3 |
|                             | -6.363E+3 | [-35.39E+3] | [-9.203E+3] | 26.53E+3         | -45.48E+3 |
|                             |           |             |             |                  |           |
|                             | (15) (16) | (15) (15)   | (12) (11)   | (15) (10)        | (10) (15) |
|                             | -4.889E+3 | [34.78E+3]  | 5.966E+3    | 35.85E+3         | -36.99E+3 |
|                             | -6.363E+3 | -34.78E+3   | [-14.95E+3] | 24.26E+3         | -54.22E+3 |
| 315 El 121                  | (15) (16) | (11) (11)   | (11) (10)   | (15) (10)        | (10) (15) |
|                             | 4.578E+3  | [-15.32E+3] | [1.280E+3]  | 18.40E+3         | -9.071E+3 |
|                             |           |             |             |                  |           |
|                             | (15) (16) | (11) (11)   | (11) (10)   | (15) (10)        | (10) (15) |
|                             | 7.378E+3  | [7.324E+3]  | [215.3]     | 15.11E+3         | 3.684     |
|                             | 4.578E+3  | -7.324E+3   | -88.12      | 10.59E+3         | -1.470E+3 |

Maximum values in this output:

| Elem Load Node no. case no. | Axial     | Bending     | Combined |
|-----------------------------|-----------|-------------|----------|
| 315 El 121 15 7.378E+3      | 15.47E+3  | [1.580E+3]  | 24.43E+3 |
| 263 El 103 11 -6.348E+3     | 36.65E+3  | [-13.18E+3] | 37.69E+3 |
| 311 El 122 15 -6.723E+3     | -26.18E+3 | [-24.80E+3] | 29.61E+3 |
| 312 El 64 12 6.463E+3       | -6.149E+3 | [-7.49E+3]  | 12.62E+3 |

Minimum values in this output:

| Elem Load Node no. case no. | Axial     | Bending     | Combined  |
|-----------------------------|-----------|-------------|-----------|
| 310 El 100 12 -9.808E+3     | 176.611   | -7.832E+3   | -11.73E+3 |
| 263 El 103 11 -6.348E+3     | 36.65E+3  | [-13.18E+3] | 37.69E+3  |
| 311 El 122 15 -6.723E+3     | -26.18E+3 | [-24.80E+3] | 29.61E+3  |
| 310 El 100 16 -9.673E+3     | -1.79E+3  | [81.781]    | -7.832E+3 |
| 263 El 103 11 -6.348E+3     | 36.65E+3  | [-13.18E+3] | 37.69E+3  |

BEAM STRESS ENVELOPES

Beam Property 24

| Elem Load Node no. case no. | Axial A   | Bending   |           | Combined (kN/m2) |           |
|-----------------------------|-----------|-----------|-----------|------------------|-----------|
|                             |           | By        | Bz        | C1               | C2        |
| 288 El 93                   | (15) (10) | (16) (10) | (9) (15)  | (11) (10)        | (10) (11) |
|                             | 3.988E+3  | 9.210E+3  | 118.1     | 17.62E+3         | -4.308E+3 |
|                             | 3.052E+3  | 7.295E+3  | -10.39E+3 | 10.39E+3         | -9.658E+3 |
|                             |           |           |           |                  |           |
|                             | (15) (10) | (10) (12) | (10) (11) | (15) (10)        | (9) (11)  |
|                             | 3.977E+3  | -94.02    | -334.1    | 11.01E+3         | 3.390E+3  |
|                             | 3.081E+3  | -444.5    | -7.029E+3 | 3.428E+3         | -3.666E+3 |
| 289 El 117                  | (14) (10) | (10) (15) | (10) (11) | (15) (10)        | (9) (11)  |
|                             | 1.565E+3  | -791.6    | -240.1    | 10.78E+3         | 2.278E+3  |
|                             | 2.724E+3  | -1.403E+3 | -7.084E+3 | 3.504E+3         | -3.702E+3 |
|                             |           |           |           |                  |           |
|                             | (11) (10) | (11) (10) | (9) (15)  | (11) (10)        | (16) (10) |
|                             | 3.473E+3  | 984.8     | 4.541     | 4.458E+3         | 2.784E+3  |
|                             | -2.678E+3 | 437.0     | -42.91    | 8.107E+3         | 2.238E+3  |
| 291 El 94                   | (12) (10) | (11) (10) | (16) (11) | (11) (10)        | (10) (11) |
|                             | 3.959E+3  | 9.743E+3  | -746.8    | 19.51E+3         | -4.408E+3 |
|                             | 3.094E+3  | 7.487E+3  | -12.22E+3 | 10.59E+3         | -11.75E+3 |
|                             |           |           |           |                  |           |
|                             | (12) (10) | (10) (13) | (16) (15) | (15) (10)        | (16) (11) |
|                             | 3.947E+3  | 16.76     | 238.5     | 10.78E+3         | 3.606E+3  |
|                             | 3.083E+3  | -360.6    | -6.885E+3 | 3.388E+3         | -3.901E+3 |
| 292 El 119                  | (12) (10) | (10) (12) | (16) (15) | (15) (10)        | (16) (11) |
|                             | 3.861E+3  | -447.5    | -246.4    | 10.44E+3         | 2.809E+3  |
|                             | 2.739E+3  | -985.4    | -6.314E+3 | 3.285E+3         | -3.494E+3 |
|                             |           |           |           |                  |           |
|                             | (16) (10) | (9) (15)  | (16) (11) | (11) (10)        | (11) (10) |
|                             | 3.437E+3  | 941.8     | 3.743     | 3.977E+3         | 3.228E+3  |
|                             | 2.685E+3  | 193.1     | -49.34    | 3.021E+3         | 2.349E+3  |
| 330 El 100                  | (14) (10) | (12) (11) | (16) (15) | (12) (10)        | (15) (10) |
|                             | 3.518E+3  | 488.2     | 4.268     | 4.402E+3         | 3.231E+3  |
|                             | 3.183E+3  | 146.9     | -88.05    | 3.542E+3         | 2.764E+3  |
|                             |           |           |           |                  |           |
|                             | (11) (10) | (15) (16) | (16) (11) | (11) (10)        | (16) (15) |
|                             | 3.537E+3  | 583.8     | -277.4    | 10.04E+3         | 3.092E+3  |
|                             | 3.208E+3  | 330.1     | -6.483E+3 | 3.731E+3         | -2.992E+3 |
| 331 El 131                  | (16) (10) | (12) (11) | (16) (11) | (11) (10)        | (16) (15) |
|                             | 3.985E+3  | 1.011E+3  | -269.6    | 10.44E+3         | 3.037E+3  |
|                             | 3.631E+3  | 714.2     | -6.497E+3 | 4.993E+3         | -2.963E+3 |
|                             |           |           |           |                  |           |
|                             | (16) (10) | (15) (10) | (16) (15) | (11) (10)        | (10) (15) |
|                             | 3.997E+3  | 8.721E+3  | -848.7    | 18.15E+3         | -4.047E+3 |
|                             | 3.643E+3  | 7.657E+3  | -11.22E+3 | 11.33E+3         | -10.27E+3 |
| 332 El 99                   | (13) (10) | (18) (10) | (18) (11) | (15) (10)        | (12) (11) |
|                             | 3.817E+3  | 884.3     | 3.626     | 4.396E+3         | 2.898E+3  |
|                             | 3.136E+3  | 489.8     | -83.76    | 3.626E+3         | 2.619E+3  |
|                             |           |           |           |                  |           |
|                             | (11) (10) | (12) (11) | (10) (15) | (11) (10)        | (9) (15)  |
|                             | 3.868E+3  | 176.4     | -294.6    | 10.04E+3         | 3.171E+3  |
|                             | 3.192E+3  | 158.5     | -6.493E+3 | 3.512E+3         | -2.955E+3 |

BEAM STRESS ENVELOPES

Beam Property 24

| Elem Load Node no. case no.    | Axial A   | Bending   |           | Combined (kN/m2) |           |
|--------------------------------|-----------|-----------|-----------|------------------|-----------|
|                                |           | By        | Bz        | C1               | C2        |
| 333 El 132                     | (11) (10) | (16) (10) | (10) (15) | (15) (10)        | (9) (15)  |
|                                | 4.022E+3  | 1.028E+3  | 1.028E+3  | 10.86E+3         | 3.121E+3  |
|                                | 3.628E+3  | 791.8     | -6.405E+3 | 4.471E+3         | -2.531E+3 |
|                                |           |           |           |                  |           |
|                                | (11) (10) | (12) (10) | (10) (11) | (15) (10)        | (10) (15) |
|                                | 4.023E+3  | 8.396E+3  | 72.80     | 16.51E+3         | -3.847E+3 |
|                                | 3.648E+3  | 7.487E+3  | -9.643E+3 | 11.13E+3         | -8.473E+3 |
| Maximum values in this output: |           |           |           |                  |           |
| Elem Load Node no. case no.    |           |           |           |                  |           |
| 333 El 99 11 4.022E+3          | 7.887E+3  | -9.643E+3 | 16.49E+3  | -8.423E+3        |           |
| 291 El 94 11 3.881E+3          | 9.743E+3  | -12.22E+3 | 19.51E+3  | -11.75E+3        |           |
| 288 El 93 9 3.923E+3           | 9.268E+3  | 115.1     | 13.13E+3  | -5.269E+3        |           |
| 291 El 94 11 3.881E+3          | 9.743E+3  | -12.22E+3 | 19.51E+3  | -11.75E+3        |           |
| 291 El 119 16 3.919E+3         | -203.1    | -236.5    | 4.233E+3  | 3.605E+3         |           |
| Minimum values in this output: |           |           |           |                  |           |
| Elem Load Node no. case no.    |           |           |           |                  |           |
| 289 El 97 10 2.678E+3          | 437.0     | 3.662     | 3.107E+3  | 2.338E+3         |           |
| 291 El 117 15 3.948E+3         | -1.481E+3 | -7.081E+3 | 10.78E+3  | -3.686E+3        |           |
| 291 El 94 11 3.881E+3          | 9.743E+3  | -12.22E+3 | 19.51E+3  | -11.75E+3        |           |
| 292 El 98 10 2.685E+3          | 336.0     | 3.581     | 3.021E+3  | 2.349E+3         |           |
| 291 El 94 11 3.881E+3          | 9.743E+3  | -12.22E+3 | 19.51E+3  | -11.75E+3        |           |

BEAM STRESS ENVELOPES

Beam Property 25

| Elem Load Node no. case no. | Axial A   | Bending     |             | Combined (kN/m2) |           |
|-----------------------------|-----------|-------------|-------------|------------------|-----------|
|                             |           | By          | Bz          | C1               | C2        |
| 294 El 105                  | (11) (10) | (11) (11)   | (11) (11)   | (11) (10)        | (10) (15) |
|                             | 6.405E+3  | -12.90E+3   | -1.348E+3   | 25.67E+3         | -2.748E+3 |
|                             |           |             |             |                  |           |
|                             | (11) (10) | (11) (11)   | (12) (11)   | (11) (10)        | (10) (11) |
|                             | 9.478E+3  | 35.93E+3    | [1.247E+3]  | 45.79E+3         | -19.15E+3 |
|                             | 6.405E+3  | [-35.93E+3] | [-930.6]    | 32.59E+3         | -27.35E+3 |
| 295 El 110                  | (13) (10) | (11) (11)   | (11) (11)   | (11) (10)        | (16) (11) |
|                             | 14.61E+3  | [10.33E+3]  | 6.989E+3    | 40.98E+3         | -3.226E+3 |
|                             | 11.24E+3  | -19.35E+3   | [-17.07E+3] | 25.31E+3         | -21.78E+3 |
|                             |           |             |             |                  |           |
|                             | (13) (10) | (11) (11)   | (12) (11)   | (11) (10)        | (10) (11) |
|                             | 14.83E+3  | 37.33E+3    | [16.11E+3]  | 68.08E+3         | -16.76E+3 |
|                             | 11.24E+3  | [-37.33E+3] | -6.594E+3   | 41.92E+3         | -29.28E+3 |
| 296 El 114                  | (10) (11) | (11) (11)   | (15) (15)   | (15) (10)        | (10) (11) |
|                             | -778.9    | 10.96E+3    | [7.113E+3]  | 17.03E+3         | -9.249E+3 |
|                             | -1.048E+3 | [-10.96E+3] | -2.912E+3   | 7.662E+3         | -14.92E+3 |
|                             |           |             |             |                  |           |
|                             | (10) (11) | (15) (15)   | (11) (11)   | (15) (10)        | (10) (11) |
|                             | -1.048E+3 | [-10.96E+3] | [-938.4]    | 2.948E+3         | -2.808E+3 |
|                             |           |             |             |                  |           |
| 297 El 107                  | (9) (15)  | (9) (9)     | (11) (11)   | (11) (10)        | (10) (15) |
|                             | 7.783E+3  | 11.20E+3    | [4.808E+3]  | 29.60E+3         | -2.781E+3 |
|                             | 5.822E+3  | -11.20E+3   | -1.845E+3   | 18.66E+3         | -3.146E+3 |
|                             |           |             |             |                  |           |
|                             | (9) (15)  | (9) (9)     | (16) (16)   | (9) (15)         | (15) (9)  |
|                             | 7.783E+3  | 30.05E+3    | [1.254E+3]  | 39.14E+3         | -18.24E+3 |
|                             | 5.822E+3  | [-30.05E+3] | -954.2      | 30.22E+3         | -22.80E+3 |
| 298 El 112                  | (12) (10) | (9) (9)     | (11) (11)   | (11) (10)        | (16) (11) |
|                             | 14.51E+3  | [15.41E+3]  | 12.74E+3    | 35.30E+3         | -1.990E+3 |
|                             | 11.07E+3  | -15.41E+3   | [-11.12E+3] | 24.83E+3         | 26.45E+3  |
|                             |           |             |             |                  |           |
|                             | (12) (10) | (9) (9)     | (11) (11)   | (11) (10)        | (10) (11) |
|                             | 14.51E+3  | 32.56E+3    | [27.76E+3]  | 67.91E+3         | -16.40E+3 |
|                             | 11.07E+3  | [-32.56E+3] | -21.26E+3   | 40.26E+3         | -23.69E+3 |
| 299 El 116                  | (13) (16) | (16) (16)   | (11) (11)   | (15) (10)        | (10) (11) |
|                             | -747.0    | 10.41E+3    | [8.036E+3]  | 17.25E+3         | -9.885E+3 |
|                             | -923.7    | [-10.41E+3] | -3.290E+3   | 7.679E+3         | -14.14E+3 |
|                             |           |             |             |                  |           |
|                             | (13) (16) | (12) (12)   | (15) (15)   | (15) (10)        | (10) (16) |
|                             | -747.0    | [2.470E+3]  | [808.4]     | 2.111E+3         | -2.611E+3 |
|                             | -923.7    | -2.470E+3   | -330.9      | 1.558E+3         | -3.397E+3 |
| 334 El 131                  | (11) (12) | (16) (16)   | (11) (11)   | (11) (12)        | (11) (12) |
|                             | -817.5    | [2.187E+3]  | [453.5]     | 1.450E+3         | -2.817E+3 |
|                             | -1.122E+3 | -2.187E+3   | -185.6      | 3.193E+3         | -3.321E+3 |
|                             |           |             |             |                  |           |
|                             | (11) (12) | (12) (12)   | (15) (15)   | (11) (10)        | (10       |

**KOC UNIVERSITESI**

SPOR SALONU

CELIK CATI ANA MAKASLARI t.seh

|           |           |         |
|-----------|-----------|---------|
| Job No.   | Sheet No. | Rev.    |
| 38035     |           |         |
| Drg. Ref. |           |         |
| Made by   | Date      | Checked |
| SK        | 06-May-98 |         |

**BEAM STRESS ENVELOPES**

| Elem no.                       | Load case no. | Node        | Axial A     | Bending     |             | Beam Property |             | Combined (kN/m <sup>2</sup> ) |   |
|--------------------------------|---------------|-------------|-------------|-------------|-------------|---------------|-------------|-------------------------------|---|
|                                |               |             |             | By          | Bs          | C1            | C2          |                               |   |
| 338                            | E1            | 130         | ( 15) ( 10) | ( 15) ( 15) | ( 15) ( 15) | ( 15) ( 10)   | ( 15) ( 15) | *                             |   |
|                                |               |             | 14.00E+3    | 37.43E+3    | [19.38E+3]  | 70.35E+3      | -19.57E+3   |                               |   |
|                                |               |             | 12.53E+3    | [-37.43E+3] | -7.920E+3   | 47.68E+3      | -31.78E+3   |                               |   |
|                                | 125           | ( 15) ( 10) | ( 15) ( 15) | ( 15) ( 15) | ( 15) ( 10) | ( 15) ( 15)   | *           |                               |   |
|                                |               | 14.00E+3    | [20.78E+3]  | 7.453E+3    | 41.81E+3    | -5.416E+3     |             |                               |   |
|                                |               | 12.53E+3    | -20.78E+3   | [-18.21E+3] | 29.44E+3    | -25.41E+3     |             |                               |   |
| 339                            | E1            | 125         | ( 15) ( 10) | ( 15) ( 15) | ( 9) ( 15)  | ( 15) ( 10)   | ( 10) ( 15) | *                             |   |
|                                |               |             | 9.344E+3    | 35.54E+3    | [1.242E+3]  | 45.30E+3      | -20.54E+3   |                               |   |
|                                |               |             | 6.909E+3    | [-35.54E+3] | [-1.015E+3] | 35.01E+3      | -27.21E+3   |                               |   |
|                                | 127           | ( 15) ( 10) | ( 15) ( 15) | ( 15) ( 15) | ( 15) ( 10) | ( 10) ( 15)   | *           |                               |   |
|                                |               | 9.344E+3    | [12.95E+3]  | [3.365E+3]  | 25.65E+3    | -3.243E+3     |             |                               |   |
|                                |               | 6.909E+3    | -12.95E+3   | -1.378E+3   | 17.12E+3    | -4.986E+3     |             |                               |   |
| Maximum values in this output: |               |             |             |             |             |               |             |                               |   |
| Loc.                           |               |             |             |             |             |               |             |                               |   |
| 298                            | E1            | 110         | 13          | 14.83E+3    | -16.89E+3   | [-13.51E+3]   | 37.25E+3    | -15.98E+3                     | * |
| 338                            | E1            | 130         | 15          | 13.57E+3    | 37.43E+3    | [19.38E+3]    | 70.35E+3    | -31.78E+3                     | * |
| 338                            | E1            | 129         | 15          | 13.66E+3    | 27.85E+3    | [30.13E+3]    | 71.64E+3    | -26.52E+3                     | * |
| 335                            | E1            | 129         | 15          | 13.66E+3    | 27.85E+3    | [30.13E+3]    | 71.64E+3    | -26.52E+3                     | * |
| 298                            | E1            | 112         | 16          | 14.33E+3    | -13.78E+3   | [-2.836E+3]   | 29.15E+3    | -1.990E+3                     | * |
| Minimum values in this output: |               |             |             |             |             |               |             |                               |   |
| Loc.                           |               |             |             |             |             |               |             |                               |   |
| 337                            | E1            | 130         | 13          | -1.218E+3   | 11.02E+3    | [5.059E+3]    | 14.07E+3    | -14.21E+3                     | * |
| 338                            | E1            | 130         | 15          | 13.57E+3    | 37.43E+3    | [19.38E+3]    | 70.35E+3    | -31.78E+3                     | * |
| 338                            | E1            | 126         | 15          | 13.66E+3    | -11.33E+3   | [-31.38E+3]   | 37.84E+3    | -29.05E+3                     | * |
| 299                            | E1            | 119         | 10          | -773.1      | -1.778E+3   | [152.8]       | 1.185E+3    | -2.818E+3                     | * |
| 338                            | E1            | 130         | 15          | 13.57E+3    | 37.43E+3    | [19.38E+3]    | 70.35E+3    | -31.78E+3                     | * |

KOC UNIVERSITESI  
SPOR SALONU CELIK CATI  
KONSOL GAGA BOLUMU

|           |           |         |
|-----------|-----------|---------|
| Job No.   | Sheet No. | Rev.    |
| 38035     |           |         |
| Drg. Ref. |           |         |
| Made by   | Date      | Checked |
| YSK       | Dec-03-98 | GAGA    |

Type of Structure: PLANE FRAME

Global Restraints: Y XX ZZ

Input Data Units: MM m T s deg.C Gravity = 9.80665 m/s<sup>2</sup>

Results Units: - same as input data units

Number of Nodes = 7 Highest Node = 7  
 Number of Elements = 8 Highest Element = 8  
 Number of Basic Loadcases = 3 Highest Basic Loadcase = 3  
 Number of Combination Loadcases = 2  
 Number of Envelopes = 0

Static Loadcase Titles:

Basic Loadcases  
 1 KAPLAMA  
 2 GRAVITY  
 3 KAR  
 Combination Loadcases  
 4 DUSEY-YUKLER  
 1\* 1.000 2\* 1.000  
 5 DUSEY-KAR  
 1\* 1.000 2\* 1.000 3\* 1.000

ANALYSIS BY GSA Version 6s036

Static analysis

| Nodes | Units: [m] |       |       | Axis |
|-------|------------|-------|-------|------|
| Node  | X          | Y     | Z     |      |
| 1     | .0         | .0    | .0    |      |
| 2     | .0         | .0    | 1.730 |      |
| 3     | .0         | .0    | 2.870 |      |
| 4     | .213       | .630  | .0    |      |
| 5     | .363       | 1.730 | .0    |      |
| 6     | .700       | 2.070 | .0    |      |
| 7     | 4.600      | .630  | .0    |      |

Elements

| Elem. No.   | Type     | Fixity        | Group                | Topology | Length [m] |
|-------------|----------|---------------|----------------------|----------|------------|
| No. of ele. | xx yy zz | No. of elems. | End 1 End 2 3rd Node |          |            |
| 1           | BEAM     | fff           | 1                    | 1 2      | 1.730 V    |
| 2           | BEAM     | fff           | 1                    | 2 3      | 560.0E-3 V |
| 3           | BEAM     | fff           | 1                    | 2 1 4    | 669.0E-3   |
| 4           | BEAM     | fff           | 1                    | 2 4 5    | 1.161      |
| 5           | BEAM     | fff           | 1                    | 2 5 6    | 358.9E-3   |
| 6           | BEAM     | fff           | 1                    | 3 6 7    | 4.157      |
| 7           | BEAM     | fff           | 2                    | 4 6 7    | 4.187      |
| 8           | BEAM     | fff           | 2                    | 5 2 5    | 585.0E-3   |

Beam Properties

\* Indicates that properties are derived from the Beam Sections module  
 Prop: Mats-Area Iyy Izz Iyz Data Tors.(C) Ky Kz  
 Property: Area [m<sup>2</sup>] Iyy [m<sup>4</sup>] Izz [m<sup>4</sup>] Iyz [m<sup>4</sup>] Data [m] Tors.(C) [m<sup>4</sup>] Ky [kN/m] Kz [kN/m]  
 1\* 12.92E-3 107.1E-6 107.1E-6 214.1E-6 .500 .500  
 2\* 15.771E-3 24.42E-6 24.42E-6 48.83E-6 .698 .698

Beam Sections

Modified Properties labelled x are factors of the section properties  
 Derived properties are listed in the Beam Properties module above

| Prop. Name | Area        | Iyy | Izz | Torsion | Ky | Kz |
|------------|-------------|-----|-----|---------|----|----|
| 1          | CBS273x16.0 |     |     |         |    |    |
| 2          | CBS193x10.0 |     |     |         |    |    |

Materials

| Material | Young's Mod. (E) [kN/m <sup>2</sup> ] | Poissons Ratio (Nu) | Density (Ro) [T/m <sup>3</sup> ] | Coef. of Exp. (Alpha) [1/deg-C] |
|----------|---------------------------------------|---------------------|----------------------------------|---------------------------------|
| 1        | 205.0E+6                              | 300.0E-3            | 7.850                            | 12.00E-6                        |

Pinned Supports

List of Nodes

1 3

Beam Loads

| Element No. | Load- Type | Direction        | Units: [kN] | [kNm] | per [m] | L1 | L2 |
|-------------|------------|------------------|-------------|-------|---------|----|----|
| 5           | 1          | U.D.L. Fz Global | -3.800      | .0    | .0      | .0 | .0 |
| 5           | 3          | U.D.L. Fz Global | -3.800      | .0    | .0      | .0 | .0 |
| 6           | 1          | U.D.L. Fz Global | -3.800      | .0    | .0      | .0 | .0 |
| 8           | 1          | U.D.L. Fz Global | -3.800      | .0    | .0      | .0 | .0 |
| 6           | 3          | U.D.L. Fz Global | -3.800      | .0    | .0      | .0 | .0 |
| 8           | 3          | U.D.L. Fz Global | -3.800      | .0    | .0      | .0 | .0 |

Gravity Loads

| Loadcase | XD Value | YD Value | ZD Value |
|----------|----------|----------|----------|
| 2        | .0       | .0       | -1.000   |

ELEMENT DISPLACEMENTS

Directions are in global axes  
 Loadcases: 3

| Elem no. | Load case no. | Node no. | DX        | Translation [m] | DY | DZ | phi-XX | Rotation [rad] | phi-YY | phi-ZZ |
|----------|---------------|----------|-----------|-----------------|----|----|--------|----------------|--------|--------|
| 1        | 5             | 1        | r         | r               | r  | r  | r      | -28.14E-6      | r      | r      |
|          |               | 2        | 188.2E-6  | 539.9E-9        |    |    |        | -164.8E-6      |        |        |
| 2        | 5             | 2        | 188.2E-6  | 539.9E-9        |    |    |        | -164.8E-6      |        |        |
|          |               | 3        | r         | r               | r  | r  | r      | -440.2E-6      | r      | r      |
| 3        | 5             | 1        | r         | r               | r  | r  | r      | -28.14E-6      | r      | r      |
|          |               | 4        | -68.41E-6 | 6.153E-6        |    |    |        | -34.37E-6      |        |        |
| 4        | 5             | 4        | -68.41E-6 | 6.153E-6        |    |    |        | -34.37E-6      |        |        |
|          |               | 5        | 217.6E-6  | -113.0E-6       |    |    |        | 629.5E-6       |        |        |
| 5        | 5             | 5        | 217.6E-6  | -113.0E-6       |    |    |        | 629.5E-6       |        |        |
|          |               | 6        | 484.9E-6  | -206.1E-6       |    |    |        | 902.3E-6       |        |        |
| 6        | 5             | 6        | 484.9E-6  | -206.1E-6       |    |    |        | 902.3E-6       |        |        |
|          |               | 7        | -210.1E-6 | -2.275E-3       |    |    |        | -19.75E-6      |        |        |

Maximum values in this output:

|   |   |   |           |           |  |  |  |           |  |  |
|---|---|---|-----------|-----------|--|--|--|-----------|--|--|
| 5 | 5 | 6 | 484.9E-6  | -206.1E-6 |  |  |  | 902.3E-6  |  |  |
| 3 | 5 | 4 | -68.41E-6 | 6.153E-6  |  |  |  | -34.37E-6 |  |  |
| 5 | 5 | 6 | 484.9E-6  | -206.1E-6 |  |  |  | 902.3E-6  |  |  |

Minimum values in this output:

|   |   |   |           |           |   |   |   |           |   |   |
|---|---|---|-----------|-----------|---|---|---|-----------|---|---|
| 6 | 5 | 7 | -210.1E-6 | -2.275E-3 |   |   |   | -19.75E-6 |   |   |
| 6 | 5 | 7 | -210.1E-6 | -2.275E-3 |   |   |   | -19.75E-6 |   |   |
| 2 | 5 | 3 | r         | r         | r | r | r | -440.2E-6 | r | r |

ELEMENT DISPLACEMENTS

Directions are in global axes  
 Loadcases: 3

| Elem no. | Load case no. | Node no. | DX        | Translation [m] | DY | DZ | phi-XX | Rotation [rad] | phi-YY | phi-ZZ |
|----------|---------------|----------|-----------|-----------------|----|----|--------|----------------|--------|--------|
| 7        | 5             | 4        | -68.41E-6 | 6.153E-6        |    |    |        | -34.37E-6      |        |        |
|          |               | 7        | -210.1E-6 | -2.275E-3       |    |    |        | -19.75E-6      |        |        |
| 8        | 5             | 2        | 188.2E-6  | 539.9E-9        |    |    |        | -164.8E-6      |        |        |
|          |               | 3        | 217.6E-6  | -113.0E-6       |    |    |        | 629.5E-6       |        |        |
| 8        | 5             | 5        | 217.6E-6  | -113.0E-6       |    |    |        | 629.5E-6       |        |        |
|          |               | 7        | -210.1E-6 | -2.275E-3       |    |    |        | -19.75E-6      |        |        |
| 7        | 5             | 4        | -68.41E-6 | 6.153E-6        |    |    |        | -34.37E-6      |        |        |
| 6        | 5             | 5        | 217.6E-6  | -113.0E-6       |    |    |        | 629.5E-6       |        |        |
| 7        | 5             | 7        | -210.1E-6 | -2.275E-3       |    |    |        | -19.75E-6      |        |        |
| 7        | 5             | 7        | -210.1E-6 | -2.275E-3       |    |    |        | -19.75E-6      |        |        |
| 8        | 5             | 2        | 188.2E-6  | 539.9E-9        |    |    |        | -164.8E-6      |        |        |

BEAM & SPRING FORCES & MOMENTS

The force in an element at any point is the force required to maintain equilibrium if the element is cut at that point and the end 2 part of the element is discarded. Thus: we axial forces are tensile  
 Directions are in element axes  
 Loadcases: 3

| Elem no. | Load case no. | Node no. | Axial [kN] | Shear [kN] | Torsion [kNm] | Moment [kNm] |
|----------|---------------|----------|------------|------------|---------------|--------------|
|          |               |          | Fx         | Fy         | Hxx           | Hyy          |
| 1        | 5             | 1        | -33.82E-3  | -18.0E     |               | 13.89        |
|          |               | 2        | 1.687      | -18.0E     |               | -17.3E       |
| 2        | 5             | 2        | -2.916     | 41.47      |               | -22.39       |
|          |               | 3        | -2.379     | 41.47      |               | -6.168E-6    |
| 3        | 5             | 1        | -66.3E     | 41.08      |               | -13.89       |
|          |               | 4        | -63.73     | 41.29      |               | 13.90        |
| 4        | 5             | 4        | -48.95     | 5.941      |               | 9.026        |
|          |               | 5        | -47.85     | 6.311      |               | 16.14        |
| 5        | 5             | 5        | -20.41     | -47.25     |               | 25.11        |
|          |               | 6        | -17.7E     | -46.35     |               | 6.311        |
| 6        | 5             | 6        | 46.82      | -16.47     |               | 8.311        |
|          |               | 7        | 35.60      | 13.93      |               | 3.016        |
| 6        | 5             | 6        | 46.82      | -16.47     |               | 8.311        |
|          |               | 2        | -2.916     | 41.47      |               | -22.39       |
| 5        | 5             | 5        | -20.41     | -47.25     |               | 25.11        |
| 3        | 5             | 1        | -66.3E     | 41.08      |               | -13.89       |
| 5        | 5             | 5        | -20.41     | -47.25     |               | 25.11        |
| 2        | 5             | 2        | -2.916     | 41.47      |               | -22.39       |

Minimum values in this output:

|           |           |         |
|-----------|-----------|---------|
| Job No.   | Sheet No. | Rev.    |
| 38035     |           |         |
| Drg. Ref. |           |         |
| Made by   | Date      | Checked |
| YSK       | Dec-03-98 | GAGA    |

KOC UNIVERSITESI  
SPOR SALONU CELIK CATI  
KONSOL GAGA BOLUMLU

BEAM & SPRING FORCES & MOMENTS

| Elem no. | Load case no. | Node no. | Axial [kN]<br>Fx | Shear [kN]<br>Fy | Torsion [kNm]<br>Mx | Moment [kNm]<br>My<br>Mz |
|----------|---------------|----------|------------------|------------------|---------------------|--------------------------|
| 7        | 5             | 4        | -38.22           | -2.682           |                     | 4.475                    |
|          |               | 7        | -38.22           | -733.0E-3        |                     | -3.016                   |
| 8        | 5             | 2        | 39.53            | 4.603            |                     | 5.036                    |
|          |               | 5        | 39.53            | 8.841            |                     | 8.968                    |

Maximum values in this output:

|   |   |   |       |       |  |       |
|---|---|---|-------|-------|--|-------|
| 8 | 5 | 2 | 39.53 | 4.603 |  | 5.036 |
| 8 | 5 | 5 | 39.53 | 8.841 |  | 8.968 |
| 8 | 5 | 5 | 39.53 | 8.841 |  | 8.968 |

Minimum values in this output:

|   |   |   |        |           |  |        |
|---|---|---|--------|-----------|--|--------|
| 7 | 5 | 4 | -38.22 | -2.682    |  | 4.475  |
| 7 | 5 | 4 | -38.22 | -2.682    |  | 4.475  |
| 7 | 5 | 7 | -38.22 | -733.0E-3 |  | -3.016 |

REACTIONS

Directions are in global axes  
Total moments are about (0,0,0)  
Loadcases: 5

| Node no. | Load case | FX     | Force [kN]<br>FY | FZ     | MOX | Moment [kNm]<br>MY<br>MZ |
|----------|-----------|--------|------------------|--------|-----|--------------------------|
| 1 pin    | 5         | 41.67  |                  | 47.84  |     |                          |
| 3 pin    | 5         | -41.67 |                  | -2.379 |     |                          |

BEAM STRESSES

Stresses: tensile  
Bending & combined stresses are only given for elements with sections specified  
Of these, unsymmetrical sections are marked by \*\*  
Bending stresses:  $S_x = My/I_{yy} \times D_x$   $S_z = Mz/I_{zz} \times D_y$   
where  $D_x$  &  $D_y$  are the distances from the centre of gravity to the edge of the section in the +ve z and y directions respectively. For unsymmetrical sections where the +ve  $D_x$  or  $D_y$  magnitude is greater than the -ve, the -ve distance is used and the bending stress is output enclosed by [ ] so as to highlight the change of sign.  
For circular sections:  $C1 = A + \sqrt{D_x^2 + D_y^2} \times S_x$   $C2 = A - \sqrt{D_x^2 + D_y^2} \times S_x$   
For rect. & I sections:  $C1 = A + ABS(S_y) + ABS(S_z)$   $C2 = A - ABS(S_y) - ABS(S_z)$   
For unsymmetrical sections the combined stress:  $A + S_x$  is calculated at the top and points of both the top and bottom edges of the section. C1 is output as the maximum of these four values and C2 as the minimum.  
Directions are in element axes  
Loadcases: 5

| Elem no. | Load case no. | Node no. | Axial<br>A | Bending<br>By<br>Bz | Combined [kN/m2]<br>C1<br>C2 |
|----------|---------------|----------|------------|---------------------|------------------------------|
| 1        | 5             | 1        | -2.618     | 17.71E+3            | 17.70E+3                     |
|          |               | 2        | 130.6      | -22.13E+3           | 22.26E+3                     |
| 2        | 5             | 2        | -225.7     | -28.55E+3           | 28.32E+3                     |
|          |               | 3        | -184.2     | -9.314E+3           | -184.2                       |
| 3        | 5             | 1        | -4.982E+3  | -17.71E+3           | 12.72E+3                     |
|          |               | 4        | -4.933E+3  | 17.21E+3            | 12.28E+3                     |
| 4        | 5             | 4        | -3.789E+3  | 11.51E+3            | 7.719E+3                     |
|          |               | 5        | -3.704E+3  | 20.58E+3            | 16.87E+3                     |
| 5        | 5             | 5        | -1.580E+3  | 32.01E+3            | 30.43E+3                     |
|          |               | 6        | -1.379E+3  | 10.60E+3            | 9.221E+3                     |
| 6        | 5             | 6        | 3.625E+3   | 10.60E+3            | 14.22E+3                     |
|          |               | 7        | 2.756E+3   | 3.845E+3            | 6.601E+3                     |

Maximum values in this output:

|   |   |   |           |           |          |
|---|---|---|-----------|-----------|----------|
| 6 | 5 | 6 | 3.625E+3  | 10.60E+3  | 14.22E+3 |
| 5 | 5 | 5 | -1.580E+3 | 32.01E+3  | 30.43E+3 |
| 1 | 5 | 1 | -2.618    | 17.71E+3  | 17.70E+3 |
| 3 | 5 | 3 | -1.580E+3 | 32.01E+3  | 30.43E+3 |
| 2 | 5 | 3 | -184.2    | -9.314E+3 | -184.2   |

Minimum values in this output:

|   |   |   |           |           |          |
|---|---|---|-----------|-----------|----------|
| 3 | 5 | 1 | -4.982E+3 | -17.71E+3 | 12.72E+3 |
| 2 | 5 | 2 | -225.7    | -28.55E+3 | 28.32E+3 |
| 1 | 5 | 1 | -2.618    | 17.71E+3  | 17.70E+3 |
| 2 | 5 | 3 | -184.2    | -9.314E+3 | -184.2   |
| 5 | 5 | 5 | -1.580E+3 | 32.01E+3  | 30.43E+3 |

BEAM STRESSES

| Elem no. | Load case no. | Node no. | Axial<br>A | Bending<br>By<br>Bz | Combined [kN/m2]<br>C1<br>C2 |
|----------|---------------|----------|------------|---------------------|------------------------------|
| 7        | 5             | 4        | -6.622E+3  | 17.69E+3            | 11.06E+3                     |
|          |               | 7        | -6.622E+3  | -11.92E+3           | 5.299E+3                     |
| 8        | 5             | 2        | 10.31E+3   | 19.90E+3            | 30.22E+3                     |
|          |               | 5        | 10.31E+3   | 35.45E+3            | 45.76E+3                     |

Maximum values in this output:

|   |   |   |           |          |          |
|---|---|---|-----------|----------|----------|
| 8 | 5 | 2 | 10.31E+3  | 19.90E+3 | 30.22E+3 |
| 8 | 5 | 5 | 10.31E+3  | 35.45E+3 | 45.76E+3 |
| 7 | 5 | 4 | -6.622E+3 | 17.69E+3 | 11.06E+3 |
| 8 | 5 | 5 | 10.31E+3  | 35.45E+3 | 45.76E+3 |
| 8 | 5 | 2 | 10.31E+3  | 19.90E+3 | 30.22E+3 |

Minimum values in this output:

|   |   |   |           |           |          |
|---|---|---|-----------|-----------|----------|
| 7 | 5 | 4 | -6.622E+3 | 17.69E+3  | 11.06E+3 |
| 7 | 5 | 7 | -6.622E+3 | -11.92E+3 | 5.299E+3 |
| 7 | 5 | 4 | -6.622E+3 | 17.69E+3  | 11.06E+3 |
| 7 | 5 | 7 | -6.622E+3 | -11.92E+3 | 5.299E+3 |
| 8 | 5 | 5 | 10.31E+3  | 35.45E+3  | 45.76E+3 |

|           |           |         |
|-----------|-----------|---------|
| Job No.   | Sheet No. | Rev.    |
| 38035     |           |         |
| Drg. Ref. |           |         |
| Made by   | Date      | Checked |
| SK        | 16-May-98 |         |

KOC UNIVERSITESI  
SPOR SALONU CELIK CATI MAKASLARI  
TUM YUKLER + ZATI YUK DEP.SERB

Type of Structure: GENERAL 3D  
Global Restraints: none  
Input Data Units: kg m T s deg.C Gravity = 9.80665 m/s2  
Results Units: same as input data units  
Number of Nodes = 130 Highest Node = 132  
Number of Elements = 306 Highest Element = 363  
Number of Basic Loadcases = 8 Highest Basic Loadcase = 8  
Number of Combination Loadcases = 0  
Number of Envelopes = 1

Static Loadcase Titles:

Basic Loadcases  
1 COMB 9 + LCI  
2 COMB10 + LCI  
3 COMB10 + LCI  
4 COMB11 + LCI  
5 COMB12 + LCI  
6 COMB13 + LCI  
7 COMB14 + LCI  
8 COMB15 + LCI

Envelopes

1 All

ANALYSIS BY GSA Version 6a021

Static analysis

| Node | X      | Y     | Z      | Axis |
|------|--------|-------|--------|------|
| 1    | 0.0    | 0.0   | -9.000 |      |
| 2    | 0.0    | 0.0   | 4.000  |      |
| 3    | 50.400 | 0.0   | -9.000 |      |
| 4    | 50.400 | 0.0   | 4.000  |      |
| 5    | 0.0    | 0.0   | 6.000  |      |
| 6    | 50.400 | 0.0   | 6.000  |      |
| 7    | 3.113  | 0.0   | 6.945  |      |
| 8    | 47.287 | 0.0   | 6.945  |      |
| 9    | 7.053  | 0.0   | 9.975  |      |
| 10   | 11.038 | 0.0   | 8.758  |      |
| 11   | 15.059 | 0.0   | 9.366  |      |
| 12   | 19.105 | 0.0   | 9.771  |      |
| 13   | 23.167 | 0.0   | 9.975  |      |
| 14   | 27.233 | 0.0   | 9.975  |      |
| 15   | 31.295 | 0.0   | 9.771  |      |
| 16   | 35.341 | 0.0   | 9.366  |      |
| 17   | 39.362 | 0.0   | 8.758  |      |
| 18   | 43.347 | 0.0   | 7.951  |      |
| 19   | 47.287 | 0.0   | 10.000 |      |
| 20   | 3.113  | 0.0   | -4.945 |      |
| 21   | 5.077  | 0.0   | 5.473  |      |
| 22   | 45.323 | 0.0   | 5.473  |      |
| 23   | 9.041  | 0.0   | 6.380  |      |
| 24   | 13.045 | 0.0   | 7.087  |      |
| 25   | 17.050 | 0.0   | 7.594  |      |
| 26   | 21.135 | 0.0   | 7.898  |      |
| 27   | 25.200 | 0.0   | 8.000  |      |
| 28   | 29.265 | 0.0   | 7.898  |      |
| 29   | 33.320 | 0.0   | 7.594  |      |
| 30   | 37.355 | 0.0   | 7.087  |      |
| 31   | 41.359 | 0.0   | 6.380  |      |
| 32   | 47.287 | 0.0   | 4.945  |      |
| 33   | 1.957  | 0.0   | 6.473  |      |
| 34   | 48.844 | 0.0   | 6.473  |      |
| 35   | 5.083  | 0.0   | 7.448  |      |
| 36   | 49.846 | 0.0   | 7.448  |      |
| 37   | 13.049 | 0.0   | 9.862  |      |
| 38   | 17.082 | 0.0   | 9.559  |      |
| 39   | 21.136 | 0.0   | 9.873  |      |
| 40   | 25.264 | 0.0   | 9.873  |      |
| 41   | 29.348 | 0.0   | 9.559  |      |
| 42   | 37.352 | 0.0   | 9.862  |      |
| 43   | 41.385 | 0.0   | 8.355  |      |
| 44   | 45.317 | 0.0   | 7.448  |      |
| 45   | 0.0    | 4.000 | -9.000 |      |
| 46   | 0.0    | 4.000 | 4.000  |      |
| 47   | 50.400 | 4.000 | -9.000 |      |
| 48   | 50.400 | 4.000 | 4.000  |      |
| 49   | 0.0    | 4.000 | 6.000  |      |
| 50   | 50.400 | 4.000 | 6.000  |      |
| 51   | 3.113  | 4.000 | 6.945  |      |
| 52   | 47.287 | 4.000 | 6.945  |      |
| 53   | 7.053  | 4.000 | 7.951  |      |
| 54   | 11.038 | 4.000 | 8.758  |      |
| 55   | 15.059 | 4.000 | 9.366  |      |
| 56   | 19.105 | 4.000 | 9.771  |      |
| 57   | 23.167 | 4.000 | 9.975  |      |
| 58   | 27.233 | 4.000 | 9.975  |      |
| 59   | 31.295 | 4.000 | 9.771  |      |
| 60   | 35.341 | 4.000 | 9.366  |      |
| 61   | 39.362 | 4.000 | 8.758  |      |
| 62   | 43.347 | 4.000 | 7.951  |      |
| 63   | 47.287 | 4.000 | 10.000 |      |
| 64   | 3.113  | 4.000 | -4.945 |      |
| 65   | 5.077  | 4.000 | 5.473  |      |
| 66   | 45.323 | 4.000 | 5.473  |      |
| 67   | 9.041  | 4.000 | 6.380  |      |
| 68   | 13.045 | 4.000 | 7.087  |      |
| 69   | 17.050 | 4.000 | 7.594  |      |
| 70   | 21.135 | 4.000 | 7.898  |      |
| 71   | 25.200 | 4.000 | 8.000  |      |
| 72   | 29.265 | 4.000 | 7.898  |      |
| 73   | 33.320 | 4.000 | 7.594  |      |
| 74   | 37.355 | 4.000 | 7.087  |      |
| 75   | 41.359 | 4.000 | 6.380  |      |
| 76   | 47.287 | 4.000 | 4.945  |      |

| Nodes | Units: [m] | Axis |
|-------|------------|------|
| 77    | 1.957      | X    |
| 78    | 48.844     | Y    |
| 79    | 5.083      | Z    |
| 80    | 9.046      | X    |
| 81    | 13.049     | Y    |
| 82    | 17.082     | Z    |
| 83    | 21.136     | X    |
| 84    | 25.264     | Y    |
| 85    | 29.348     | Z    |
| 86    | 37.352     | X    |
| 87    | 41.385     | Y    |
| 88    | 45.317     | Z    |
| 89    | 0.0        | X    |
| 90    | 50.400     | Y    |
| 91    | 0.0        | Z    |
| 92    | 50.400     | X    |
| 93    | 51.200     | Y    |
| 94    | 51.200     | Z    |
| 95    | -0.800     | X    |
| 96    | -0.800     | Y    |
| 97    | 54.800     | Z    |
| 98    | 54.800     | X    |
| 99    | -4.400     | Y    |
| 100   | -4.400     | Z    |
| 101   | 50.400     | X    |
| 102   | 50.400     | Y    |
| 103   | 50.784     | Z    |
| 104   | 50.784     | X    |
| 105   | 49.362     | Y    |
| 106   | 48.325     | Z    |
| 107   | 49.362     | X    |
| 108   | 48.325     | Y    |
| 109   | 50.400     | Z    |
| 110   | 50.400     | X    |
| 111   | 50.400     | Y    |
| 112   | 50.400     | Z    |
| 113   | 50.923     | X    |
| 114   | 51.131     | Y    |
| 115   | 50.923     | Z    |
| 116   | 51.131     | X    |
| 117   | 51.950     | Y    |
| 118   | 51.950     | Z    |
| 119   | 51.950     | X    |
| 120   | 0.0        | Y    |
| 121   | 0.0        | Z    |
| 122   | 0.0        | X    |
| 123   | -0.438     | Y    |
| 124   | -0.438     | Z    |
| 125   | 0.0        | X    |
| 126   | 0.0        | Y    |
| 127   | 1.044      | Z    |
| 128   | 1.044      | X    |
| 129   | -0.739     | Y    |
| 130   | -0.739     | Z    |
| 131   | -1.488     | X    |
| 132   | -1.488     | Y    |

| Elements | Elem. No. | Type | Flexity | Prop. No. | Group | Topology | 3rd Node | Length [m] |
|----------|-----------|------|---------|-----------|-------|----------|----------|------------|
| 18       | BEAM      | E/E  | E/E     | 2         | 2     | 13       | 19       | 2.033      |
| 19       | BEAM      | E/E  | E/E     | 2         | 2     | 19       | 14       | 2.033      |
| 20       | BEAM      | E/E  | E/E     | 1         | 1     | 2        | 20       | 3.293      |
| 22       | BEAM      | E/E  | E/E     | 1         | 1     | 20       | 21       | 2.034      |
| 21       | BEAM      | E/E  | E/E     | 1         | 1     | 21       | 23       | 4.066      |
| 27       | BEAM      | E/E  | E/E     | 1         | 1     | 23       | 24       | 4.066      |
| 28       | BEAM      | E/E  | E/E     | 1         | 1     | 24       | 25       | 4.067      |
| 29       | BEAM      | E/E  | E/E     | 1         | 1     | 25       | 26       | 4.066      |
| 30       | BEAM      | E/E  | E/E     | 1         | 1     | 26       | 27       | 4.066      |
| 31       | BEAM      | E/E  | E/E     | 1         | 1     | 27       | 28       | 4.066      |
| 32       | BEAM      | E/E  | E/E     | 1         | 1     | 28       | 29       | 4.066      |
| 33       | BEAM      | E/E  | E/E     | 1         | 1     | 29       | 30       | 4.067      |
| 34       | BEAM      | E/E  | E/E     | 1         | 1     | 30       | 31       | 4.066      |
| 35       | BEAM      | E/E  | E/E     | 1         | 1     | 31       | 32       | 4.066      |
| 36       | BEAM      | E/E  | E/E     | 1         | 1     | 32       | 32       | 2.034      |
| 37       | BEAM      | E/E  | E/E     | 1         | 1     | 32       | 4        | 3.253      |
| 40       | BEAM      | E/E  | E/E     | 4         | 4     | 20       | 7        | 2.000      |
| 41       | BEAM      | E/E  | E/E     | 4         | 4     | 32       | 8        | 2.000      |
| 44       | BEAM      | E/E  | E/E     | 6         | 6     | 7        | 21       | 2.454      |
| 46       | BEAM      | E/E  | E/E     | 6         | 6     | 8        | 22       | 2.454      |
| 47       | BEAM      | E/E  | E/E     | 7         | 7     | 21       | 9        | 3.189      |
| 47       | BEAM      | E/E  | E/E     | 7         | 7     | 22       | 18       | 3.189      |
| 48       | BEAM      | E/E  | E/E     | 7         | 7     | 23       | 10       | 3.105      |
| 49       | BEAM      | E/E  | E/E     | 7         | 7     | 31       | 17       | 3.105      |
| 80       | BEAM      | E/E  | E/E     | 8         | 8     | 9        | 23       | 2.534      |
| 81       | BEAM      | E/E  | E/E     | 8         | 8     | 10       | 31       | 2.534      |
| 82       | BEAM      | E/E  | E/E     | 8         | 8     | 17       | 30       | 2.532      |
| 83       | BEAM      | E/E  | E/E     | 8         | 8     | 10       | 24       | 2.512      |
| 84       | BEAM      | E/E  | E/E     | 9         | 9     | 24       | 11       | 3.041      |
| 85       | BEAM      | E/E  | E/E     | 9         | 9     | 25       | 12       | 2.973      |
| 86       | BEAM      | E/E  | E/E     | 9         | 9     | 30       | 16       | 3.041      |
| 87       | BEAM      | E/E  | E/E     | 9         | 9     | 29       | 15       | 2.973      |
| 88       | BEAM      | E/E  | E/E     | 10        | 10    | 11       | 25       | 2.688      |
| 89       | BEAM      | E/E  | E/E     | 10        | 10    | 12       | 26       | 2.782      |
| 90       | BEAM      | E/E  | E/E     | 10        | 10    | 16       | 29       | 2.688      |
| 91       | BEAM      | E/E  | E/E     | 11        | 11    | 18       | 28       | 2.782      |
| 92       | BEAM      | E/E  | E/E     | 11        | 11    | 25       | 13       | 2.906      |
| 93       | BEAM      | E/E  | E/E     | 11        | 11    | 28       | 14       | 2.824      |
| 94       | BEAM      | E/E  | E/E     | 11        | 11    | 14       | 27       | 2.834      |
| 95       | BEAM      | E/E  | E/E     | 11        | 11    | 27       | 13       | 2.834      |
| 96       | BEAM      | E/E  | E/E     | 2         | 2     | 5        | 33       | 1.627      |
| 97       | BEAM      | E/E  | E/E     | 2         | 2     | 33       | 7        | 1.626      |
| 98       | BEAM      | E/E  | E/E     | 2         | 2     | 6        | 34       | 1.627      |
| 69       | BEAM      | E/E  | E/E     | 2         | 2     | 34       | 6        | 2.033      |
| 70       | BEAM      | E/E  | E/E     | 2         | 2     | 7        | 35       | 2.033      |
| 71       | BEAM      | E/E  | E/E     | 2         | 2     | 35       | 9        | 2.033      |
| 72       | BEAM      | E/E  | E/E     | 2         | 2     | 9        | 36       | 2.034      |
| 73       | BEAM      | E/E  | E/E     | 2         | 2     | 36       | 10       | 2.032      |
| 74       | BEAM      | E/E  | E/E     | 2         | 2     | 10       | 37       | 2.034      |
| 75       | BEAM      | E/E  | E/E     | 2         | 2     | 37       | 11       | 2.033      |

**KOC UNIVERSITESI**

**SPOR SALONU CELIK CATI MAKASLARI**

**TUM YUKLER + ZATI YUK DEP. SERB**

|                         |                          |                  |
|-------------------------|--------------------------|------------------|
| Job No.<br><b>38035</b> | Sheet No.<br><b>1</b>    | Rev.<br><b>1</b> |
| Drq. Ref.               |                          |                  |
| Made by<br><b>SK</b>    | Date<br><b>16-May-98</b> | Checked          |

| Elements  |      |     |     |     |       |       |          |       |          |        |  |
|-----------|------|-----|-----|-----|-------|-------|----------|-------|----------|--------|--|
| Elem. No. | Type | xx  | yy  | zz  | Prop. | Group | Topology |       |          | Length |  |
| No.       |      |     |     |     |       |       | End 1    | End 2 | 3rd Node | [m]    |  |
| 76        | BEAM | E/E | E/E | E/E | 2     | 2     | 11       | 38    |          | 2.033  |  |
| 77        | BEAM | E/E | E/E | E/E | 2     | 2     | 12       | 39    |          | 2.034  |  |
| 78        | BEAM | E/E | E/E | E/E | 2     | 2     | 12       | 39    |          | 2.034  |  |
| 79        | BEAM | E/E | E/E | E/E | 2     | 2     | 13       | 13    |          | 2.034  |  |
| 80        | BEAM | E/E | E/E | E/E | 2     | 2     | 14       | 40    |          | 2.034  |  |
| 81        | BEAM | E/E | E/E | E/E | 2     | 2     | 40       | 15    |          | 2.033  |  |
| 82        | BEAM | E/E | E/E | E/E | 2     | 2     | 15       | 41    |          | 2.033  |  |
| 83        | BEAM | E/E | E/E | E/E | 2     | 2     | 41       | 16    |          | 2.033  |  |
| 84        | BEAM | E/E | E/E | E/E | 2     | 2     | 16       | 42    |          | 2.034  |  |
| 85        | BEAM | E/E | E/E | E/E | 2     | 2     | 42       | 17    |          | 2.033  |  |
| 86        | BEAM | E/E | E/E | E/E | 2     | 2     | 17       | 43    |          | 2.033  |  |
| 87        | BEAM | E/E | E/E | E/E | 2     | 2     | 43       | 18    |          | 2.033  |  |
| 88        | BEAM | E/E | E/E | E/E | 2     | 2     | 18       | 44    |          | 2.033  |  |
| 89        | BEAM | E/E | E/E | E/E | 2     | 2     | 44       | 8     |          | 2.033  |  |
| 90        | BEAM | E/E | E/E | E/E | 2     | 2     | 8        | 63    |          | 2.033  |  |
| 91        | BEAM | E/E | E/E | E/E | 2     | 2     | 63       | 89    |          | 2.033  |  |
| 94        | BEAM | E/E | E/E | E/E | 1     | 1     | 45       | 64    |          | 3.253  |  |
| 95        | BEAM | E/E | E/E | E/E | 1     | 1     | 64       | 65    |          | 2.034  |  |
| 100       | BEAM | E/E | E/E | E/E | 1     | 1     | 65       | 67    |          | 4.066  |  |
| 101       | BEAM | E/E | E/E | E/E | 1     | 1     | 67       | 68    |          | 4.066  |  |
| 102       | BEAM | E/E | E/E | E/E | 1     | 1     | 68       | 69    |          | 4.067  |  |
| 103       | BEAM | E/E | E/E | E/E | 1     | 1     | 69       | 70    |          | 4.066  |  |
| 104       | BEAM | E/E | E/E | E/E | 1     | 1     | 70       | 71    |          | 4.066  |  |
| 105       | BEAM | E/E | E/E | E/E | 1     | 1     | 71       | 72    |          | 4.066  |  |
| 106       | BEAM | E/E | E/E | E/E | 1     | 1     | 72       | 73    |          | 4.066  |  |
| 107       | BEAM | E/E | E/E | E/E | 1     | 1     | 73       | 74    |          | 4.067  |  |
| 108       | BEAM | E/E | E/E | E/E | 1     | 1     | 74       | 75    |          | 4.066  |  |
| 109       | BEAM | E/E | E/E | E/E | 1     | 1     | 75       | 66    |          | 4.066  |  |
| 110       | BEAM | E/E | E/E | E/E | 1     | 1     | 66       | 76    |          | 2.034  |  |
| 111       | BEAM | E/E | E/E | E/E | 1     | 1     | 76       | 48    |          | 3.253  |  |
| 114       | BEAM | E/E | E/E | E/E | 4     | 4     | 64       | 51    |          | 2.000  |  |
| 115       | BEAM | E/E | E/E | E/E | 4     | 4     | 76       | 52    |          | 2.000  |  |
| 116       | BEAM | E/E | E/E | E/E | 6     | 6     | 51       | 53    |          | 2.454  |  |
| 119       | BEAM | E/E | E/E | E/E | 6     | 6     | 52       | 66    |          | 2.454  |  |
| 120       | BEAM | E/E | E/E | E/E | 7     | 7     | 65       | 53    |          | 3.169  |  |
| 121       | BEAM | E/E | E/E | E/E | 7     | 7     | 66       | 54    |          | 3.169  |  |
| 122       | BEAM | E/E | E/E | E/E | 7     | 7     | 67       | 54    |          | 3.105  |  |
| 123       | BEAM | E/E | E/E | E/E | 7     | 7     | 75       | 61    |          | 3.105  |  |
| 124       | BEAM | E/E | E/E | E/E | 8     | 8     | 53       | 57    |          | 2.534  |  |
| 125       | BEAM | E/E | E/E | E/E | 8     | 8     | 62       | 75    |          | 2.534  |  |
| 126       | BEAM | E/E | E/E | E/E | 8     | 8     | 61       | 74    |          | 2.512  |  |
| 127       | BEAM | E/E | E/E | E/E | 8     | 8     | 54       | 68    |          | 2.512  |  |
| 128       | BEAM | E/E | E/E | E/E | 9     | 9     | 68       | 55    |          | 3.041  |  |
| 129       | BEAM | E/E | E/E | E/E | 9     | 9     | 69       | 56    |          | 2.973  |  |
| 130       | BEAM | E/E | E/E | E/E | 9     | 9     | 74       | 60    |          | 1.041  |  |
| 131       | BEAM | E/E | E/E | E/E | 9     | 9     | 73       | 59    |          | 2.973  |  |
| 132       | BEAM | E/E | E/E | E/E | 10    | 10    | 55       | 69    |          | 2.688  |  |
| 133       | BEAM | E/E | E/E | E/E | 10    | 10    | 56       | 70    |          | 2.782  |  |
| 134       | BEAM | E/E | E/E | E/E | 10    | 10    | 60       | 73    |          | 2.688  |  |
| 135       | BEAM | E/E | E/E | E/E | 10    | 10    | 59       | 72    |          | 2.782  |  |
| 136       | BEAM | E/E | E/E | E/E | 11    | 11    | 70       | 57    |          | 2.906  |  |
| 137       | BEAM | E/E | E/E | E/E | 11    | 11    | 72       | 58    |          | 2.906  |  |
| 138       | BEAM | E/E | E/E | E/E | 11    | 11    | 58       | 71    |          | 2.834  |  |
| 139       | BEAM | E/E | E/E | E/E | 11    | 11    | 71       | 57    |          | 2.834  |  |
| 140       | BEAM | E/E | E/E | E/E | 2     | 2     | 49       | 77    |          | 1.627  |  |
| 141       | BEAM | E/E | E/E | E/E | 2     | 2     | 72       | 51    |          | 1.627  |  |
| 142       | BEAM | E/E | E/E | E/E | 2     | 2     | 52       | 78    |          | 1.627  |  |
| 143       | BEAM | E/E | E/E | E/E | 2     | 2     | 78       | 50    |          | 1.626  |  |
| 144       | BEAM | E/E | E/E | E/E | 2     | 2     | 51       | 79    |          | 2.033  |  |
| 145       | BEAM | E/E | E/E | E/E | 2     | 2     | 79       | 53    |          | 2.033  |  |
| 146       | BEAM | E/E | E/E | E/E | 2     | 2     | 53       | 80    |          | 2.034  |  |
| 147       | BEAM | E/E | E/E | E/E | 2     | 2     | 80       | 54    |          | 2.032  |  |
| 148       | BEAM | E/E | E/E | E/E | 2     | 2     | 54       | 81    |          | 2.034  |  |
| 149       | BEAM | E/E | E/E | E/E | 2     | 2     | 81       | 85    |          | 2.033  |  |
| 150       | BEAM | E/E | E/E | E/E | 2     | 2     | 85       | 82    |          | 2.033  |  |
| 151       | BEAM | E/E | E/E | E/E | 2     | 2     | 82       | 83    |          | 2.033  |  |
| 152       | BEAM | E/E | E/E | E/E | 2     | 2     | 56       | 83    |          | 2.034  |  |
| 153       | BEAM | E/E | E/E | E/E | 2     | 2     | 83       | 87    |          | 2.034  |  |
| 154       | BEAM | E/E | E/E | E/E | 2     | 2     | 88       | 84    |          | 2.034  |  |
| 155       | BEAM | E/E | E/E | E/E | 2     | 2     | 84       | 89    |          | 2.034  |  |
| 156       | BEAM | E/E | E/E | E/E | 2     | 2     | 89       | 85    |          | 2.033  |  |
| 157       | BEAM | E/E | E/E | E/E | 2     | 2     | 85       | 60    |          | 2.033  |  |
| 158       | BEAM | E/E | E/E | E/E | 2     | 2     | 60       | 85    |          | 2.034  |  |
| 159       | BEAM | E/E | E/E | E/E | 2     | 2     | 86       | 61    |          | 2.033  |  |
| 160       | BEAM | E/E | E/E | E/E | 2     | 2     | 61       | 87    |          | 2.033  |  |
| 161       | BEAM | E/E | E/E | E/E | 2     | 2     | 87       | 62    |          | 2.033  |  |
| 162       | BEAM | E/E | E/E | E/E | 2     | 2     | 62       | 88    |          | 2.033  |  |
| 163       | BEAM | E/E | E/E | E/E | 2     | 2     | 88       | 52    |          | 2.033  |  |
| 166       | BEAM | E/E | E/E | E/E | 16    | 16    | 49       | 5     |          | 4.000  |  |
| 167       | BEAM | E/E | E/E | E/E | 13    | 13    | 51       | 7     |          | 4.000  |  |
| 168       | BEAM | E/E | E/E | E/E | 13    | 13    | 53       | 9     |          | 4.000  |  |
| 169       | BEAM | E/E | E/E | E/E | 13    | 13    | 54       | 10    |          | 4.000  |  |
| 170       | BEAM | E/E | E/E | E/E | 13    | 13    | 55       | 11    |          | 4.000  |  |
| 171       | BEAM | E/E | E/E | E/E | 13    | 13    | 56       | 12    |          | 4.000  |  |
| 172       | BEAM | E/E | E/E | E/E | 13    | 13    | 57       | 13    |          | 4.000  |  |
| 173       | BEAM | E/E | E/E | E/E | 13    | 13    | 58       | 14    |          | 4.000  |  |
| 174       | BEAM | E/E | E/E | E/E | 13    | 13    | 59       | 15    |          | 4.000  |  |
| 175       | BEAM | E/E | E/E | E/E | 13    | 13    | 60       | 16    |          | 4.000  |  |
| 176       | BEAM | E/E | E/E | E/E | 13    | 13    | 61       | 17    |          | 4.000  |  |
| 177       | BEAM | E/E | E/E | E/E | 13    | 13    | 62       | 18    |          | 4.000  |  |
| 178       | BEAM | E/E | E/E | E/E | 13    | 13    | 52       | 8     |          | 4.000  |  |
| 179       | BEAM | E/E | E/E | E/E | 16    | 16    | 50       | 6     |          | 4.000  |  |
| 180       | BEAM | E/E | E/E | E/E | 14    | 14    | 49       | 7     |          | 5.704  |  |
| 181       | BEAM | E/E | E/E | E/E | 14    | 14    | 51       | 9     |          | 5.704  |  |
| 182       | BEAM | E/E | E/E | E/E | 14    | 14    | 53       | 10    |          | 5.704  |  |
| 183       | BEAM | E/E | E/E | E/E | 14    | 14    | 54       | 11    |          | 5.704  |  |
| 184       | BEAM | E/E | E/E | E/E | 14    | 14    | 55       | 12    |          | 5.704  |  |
| 185       | BEAM | E/E | E/E | E/E | 14    | 14    | 56       | 13    |          | 5.705  |  |
| 186       | BEAM | E/E | E/E | E/E | 14    | 14    | 57       | 14    |          | 5.704  |  |
| 187       | BEAM | E/E | E/E | E/E | 14    | 14    | 58       | 13    |          | 5.704  |  |
| 188       | BEAM | E/E | E/E | E/E | 14    | 14    | 14       | 59    |          | 5.705  |  |
| 189       | BEAM | E/E | E/E | E/E | 14    | 14    | 15       | 60    |          | 5.704  |  |
| 190       | BEAM | E/E | E/E | E/E | 14    | 14    | 16       | 61    |          | 5.704  |  |
| 191       | BEAM | E/E | E/E | E/E | 14    | 14    | 17       | 62    |          | 5.704  |  |
| 192       | BEAM | E/E | E/E | E/E | 14    | 14    | 18       | 62    |          | 5.704  |  |
| 193       | BEAM | E/E | E/E | E/E | 14    | 14    | 8        | 50    |          | 5.186  |  |
| 194       | BEAM | E/E | E/E | E/E | 15    | 15    | 77       | 33    |          | 4.000  |  |
| 195       | BEAM | E/E | E/E | E/E | 15    | 15    | 79       | 35    |          | 4.000  |  |

| Elements  |      |     |     |     |       |       |          |       |          |        |  |
|-----------|------|-----|-----|-----|-------|-------|----------|-------|----------|--------|--|
| Elem. No. | Type | xx  | yy  | zz  | Prop. | Group | Topology |       |          | Length |  |
| No.       |      |     |     |     |       |       | End 1    | End 2 | 3rd Node | [m]    |  |
| 196       | BEAM | E/E | E/E | E/E | 15    | 15    | 80       | 36    |          | 4.000  |  |
| 197       | BEAM | E/E | E/E | E/E | 15    | 15    | 81       | 37    |          | 4.000  |  |
| 198       | BEAM | E/E | E/E | E/E | 15    | 15    | 82       | 38    |          | 4.000  |  |
| 199       | BEAM | E/E | E/E | E/E | 15    | 15    | 83       | 39    |          | 4.000  |  |
| 200       | BEAM | E/E | E/E | E/E | 15    | 15    | 83       | 19    |          | 4.000  |  |
| 201       | BEAM | E/E | E/E | E/E | 15    | 15    | 84       | 40    |          | 4.000  |  |
| 202       | BEAM | E/E | E/E | E/E | 15    | 15    | 85       | 41    |          | 4.000  |  |
| 203       | BEAM | E/E | E/E | E/E | 15    | 15    | 86       | 42    |          | 4.000  |  |
| 204       | BEAM | E/E | E/E | E/E | 15    | 15    | 87       | 43    |          | 4.000  |  |
| 205       | BEAM | E/E | E/E | E/E | 15    | 15    | 88       | 44    |          | 4.000  |  |
| 206       | BEAM | E/E | E/E | E/E | 15    | 15    | 78       | 34    |          | 4.000  |  |
| 207       | BEAM | E/E | E/E | E/E | 17    | 17    | 6        | 45    |          | 4.472  |  |
| 208       | BEAM | E/E | E/E | E/E | 16    | 16    | 4        | 48    |          | 4.000  |  |
| 209       | BEAM | E/E | E/E | E/E | 17    | 17    | 5        | 46    |          | 4.472  |  |
| 210       | BEAM | E/E | E/E | E/E | 17    | 17    | 2        | 49    |          | 4.472  |  |
| 211       | BEAM | E/E | E/E | E/E | 17    | 17    | 4        | 50    |          | 4.472  |  |
| 212       | BEAM | E/E | E/E | E/E | 17    | 17    | 6        | 46    |          | 4.472  |  |
| 213       | BEAM | E/E | E/E | E/E | 12    | 12    | 1        | 89    |          | 4.000  |  |
| 214       | BEAM | E/E | E/E | E/E | 12    | 12    | 89       | 2     |          | 9.000  |  |
| 215       | BEAM | E/E | E/E | E/E | 12    | 12    | 3        | 90    |          | 4.000  |  |
| 216       | BEAM | E/E | E/E | E/E | 12    | 12    | 90       | 4     |          | 9.000  |  |
| 217       | BEAM | E/E | E/E | E/E | 12    | 12    | 4        | 91    |          | 4.000  |  |
| 218       | BEAM | E/E | E/E | E/E | 12    | 12    | 91       | 46    |          | 9.000  |  |
| 219       | BEAM | E/E | E/E | E/E | 12    | 12    | 47       | 92    |          | 4.000  |  |
| 220       | BEAM | E/E | E/E | E/E | 12    | 12    | 92       | 48    |          | 9.000  |  |
| 221       | BEAM | E/E | E/E | E/E | 18    | 18    | 89       | 91    |          | 4.000  |  |
| 222       | BEAM | E/E | E/E | E/E | 18    | 18    | 90       | 92    |          | 4.000  |  |
| 223       | BEAM | E/E | E/E | E/E | 19    | 19    | 64       | 20    |          | 4.000  |  |
| 224       | BEAM | E/E | E/E | E/E | 19    | 19    | 65       | 21    |          | 4.000  |  |
| 225       | BEAM | E/E | E/E | E/E | 19    | 19    | 67       | 23    |          | 4.000  |  |
| 226       | BEAM | E/E | E/E | E/E | 19    | 19    | 68       | 24    |          | 4.000  |  |
| 227       | BEAM | E/E | E/E | E/E | 19    | 19    | 69       | 25    |          | 4.000  |  |
| 228       | BEAM | E/E | E/E | E/E | 19    | 19    | 70       | 26    |          | 4.000  |  |
| 229       | BEAM | E/E | E/E | E/E | 19    | 19    | 71       | 27    |          | 4.000  |  |
| 230       | BEAM | E/E | E/E | E/E | 19    | 19    | 72       | 28    |          | 4.000  |  |
| 231       | BEAM | E/E | E/E | E/E | 19    | 19    | 73       | 29    |          | 4.000  |  |
| 232       | BEAM | E/E | E/E | E/E | 19    | 19    | 74       | 30    |          | 4.000  |  |
| 233       | BEAM | E/E | E/E | E/E | 19    | 19    | 75       | 31    |          | 4.000  |  |
| 234       | BEAM | E/E | E/E | E/E | 19    | 19    | 76       | 32    |          | 4.000  |  |
| 235       | BEAM | E/E | E/E | E/E | 20    |       |          |       |          |        |  |

**KOC UNIVERSITESI**  
**SPOR SALONU CELIK CATI MAKASLARI**  
**TUM YUKLER + ZATI YUK DEP.SERB**

|           |           |         |
|-----------|-----------|---------|
| Job No.   | Sheet No. | Rev.    |
| 38035     |           |         |
| Drg. Ref. |           |         |
| Made by   | Date      | Checked |
| SK        | 16-May-98 |         |

| Elem. No. | Type | Fixity | Group | Topology | Length [m] |
|-----------|------|--------|-------|----------|------------|
| 324       | BEAM | E/E/E  | 5     | 5        | 1.102      |
| 325       | BEAM | E/E/E  | 5     | 5        | 2.485      |
| 326       | BEAM | E/E/E  | 22    | 22       | 751.0E-3   |
| 327       | BEAM | E/E/E  | 22    | 22       | 170.3E-3   |
| 328       | BEAM | E/E/E  | 22    | 22       | 751.0E-3   |
| 329       | BEAM | E/E/E  | 22    | 22       | 170.3E-3   |
| 330       | BEAM | E/E/E  | 24    | 24       | 2.994      |
| 331       | BEAM | E/E/E  | 24    | 24       | 705.7E-3   |
| 332       | BEAM | E/E/E  | 24    | 24       | 2.994      |
| 333       | BEAM | E/E/E  | 24    | 24       | 705.7E-3   |
| 334       | BEAM | E/E/E  | 25    | 25       | 749.0E-3   |
| 335       | BEAM | E/E/E  | 25    | 25       | 739.0E-3   |
| 336       | BEAM | E/E/E  | 25    | 25       | 1.044      |
| 337       | BEAM | E/E/E  | 25    | 25       | 749.0E-3   |
| 338       | BEAM | E/E/E  | 25    | 25       | 739.0E-3   |
| 339       | BEAM | E/E/E  | 25    | 25       | 1.044      |
| 340       | BEAM | E/E/E  | 13    | 13       | 4.000      |
| 341       | BEAM | E/E/E  | 13    | 13       | 4.000      |
| 342       | BEAM | E/E/E  | 13    | 13       | 4.000      |
| 343       | BEAM | E/E/E  | 14    | 14       | 4.962      |
| 344       | BEAM | E/E/E  | 13    | 13       | 4.000      |
| 345       | BEAM | E/E/E  | 13    | 13       | 4.000      |
| 346       | BEAM | E/E/E  | 13    | 13       | 4.000      |
| 347       | BEAM | E/E/E  | 14    | 14       | 4.997      |
| 348       | BEAM | E/E/E  | 17    | 17       | 4.459      |
| 349       | BEAM | E/E/E  | 17    | 17       | 4.459      |
| 350       | BEAM | E/E/E  | 17    | 17       | 4.459      |
| 351       | BEAM | E/E/E  | 21    | 21       | 4.461      |
| 352       | BEAM | E/E/E  | 21    | 21       | 4.461      |
| 353       | BEAM | E/E/E  | 21    | 21       | 4.461      |
| 354       | BEAM | E/E/E  | 21    | 21       | 4.461      |
| 355       | BEAM | E/E/E  | 21    | 21       | 4.461      |
| 356       | BEAM | E/E/E  | 21    | 21       | 4.461      |
| 357       | BEAM | E/E/E  | 21    | 21       | 4.461      |
| 358       | BEAM | E/E/E  | 21    | 21       | 4.461      |
| 359       | BEAM | E/E/E  | 21    | 21       | 4.461      |
| 360       | BEAM | E/E/E  | 21    | 21       | 4.461      |
| 361       | BEAM | E/E/E  | 21    | 21       | 4.461      |
| 362       | BEAM | E/E/E  | 21    | 21       | 4.461      |
| 363       | BEAM | E/E/E  | 21    | 21       | 4.461      |

| Prop-Section Name | Area  | Iyy   | Izz   | Torsion | Ky | Kz |
|-------------------|-------|-------|-------|---------|----|----|
| 15 CHS139x5.0     | -     | -     | -     | -       | -  | -  |
| 16 CHS193x5.0     | -     | -     | -     | -       | -  | -  |
| 17 CHS193x10.0    | -     | -     | -     | -       | -  | -  |
| 18 GRS800x400     | -     | -     | -     | -       | -  | -  |
| 19 CHS139x5.0     | -     | -     | -     | -       | -  | -  |
| 20 CHS60x5.0      | -     | -     | -     | -       | -  | -  |
| 21 CHS60x5.0      | -     | -     | -     | -       | -  | -  |
| 22 CHS273x16.0    | -     | -     | -     | -       | -  | -  |
| 23 CHS273x16.0    | x2.00 | x2.00 | x2.00 | x2.00   | -  | -  |
| 24 CHS273x16.0    | -     | -     | -     | -       | -  | -  |
| 25 CHS273x16.0    | x2.00 | x2.00 | x2.00 | x2.00   | -  | -  |

Note: General sections are specified in [mm] as follows:  
 GRS Depth x Width

| Material | Youngs Mod. (E) [kN/m2] | Poissons Ratio (Nu) | Density (Ro) (T/m3) | Coef. of Exp. (Alpha) [1/deg.C] |
|----------|-------------------------|---------------------|---------------------|---------------------------------|
| 1        | 205.0E+6                | 300.0E-3            | 7.850               | 12.00E-6                        |
| 2        | 33.0E+6                 | 300.0E-3            | 2.400               | 12.00E-6                        |

**BEAM & SPRING FORCE & MOMENT ENVELOPES**  
 The forces in an element at any point is the force required to maintain equilibrium if the element is cut at that point and the end 2 part of the element is discarded. Thus: +ve axial forces are tensile  
 Directions are in element axes  
 Maximum & minimum values are given on consecutive lines per point  
 Associated loadcase numbers are given in brackets: (max) (min)  
 Loadcases: 01

| Prop-Mate-Area | Iyy        | Izz      | Beta     | Tors. (C) | Ky       | Kz    |
|----------------|------------|----------|----------|-----------|----------|-------|
| 1*             | 1.12.92E-3 | 107.1E-6 | 107.1E-6 | 0.0       | 214.1E-6 | 0.500 |
| 2*             | 1.12.92E-3 | 107.1E-6 | 107.1E-6 | 0.0       | 214.1E-6 | 0.500 |
| 3*             | 1.12.92E-3 | 107.1E-6 | 107.1E-6 | 0.0       | 214.1E-6 | 0.500 |
| 4*             | 1.7.13E-3  | 29.34E-6 | 29.34E-6 | 0.0       | 58.69E-6 | 0.498 |
| 5*             | 1.5.77E-3  | 24.42E-6 | 24.42E-6 | 0.0       | 48.83E-6 | 0.498 |
| 6*             | 1.4.66E-3  | 20.16E-6 | 20.16E-6 | 0.0       | 40.31E-6 | 0.498 |
| 7*             | 1.3.70E-3  | 16.30E-6 | 16.30E-6 | 0.0       | 32.60E-6 | 0.498 |
| 8*             | 1.3.70E-3  | 16.30E-6 | 16.30E-6 | 0.0       | 32.60E-6 | 0.498 |
| 9*             | 1.2.96E-3  | 13.20E-6 | 13.20E-6 | 0.0       | 26.40E-6 | 0.498 |
| 10*            | 1.2.96E-3  | 13.20E-6 | 13.20E-6 | 0.0       | 26.40E-6 | 0.498 |
| 11*            | 1.2.96E-3  | 13.20E-6 | 13.20E-6 | 0.0       | 26.40E-6 | 0.498 |
| 12*            | 2.720.0E-3 | 66.40E-3 | 21.60E-3 | 0.0       | 59.33E-3 | 0.833 |
| 13*            | 1.2.116E-3 | 4.80E-6  | 4.80E-6  | 0.0       | 9.611E-6 | 0.497 |
| 14*            | 1.868.7E-6 | 334.8E-9 | 334.8E-9 | 0.0       | 689.8E-9 | 0.497 |
| 15*            | 1.2.116E-3 | 4.80E-6  | 4.80E-6  | 0.0       | 9.611E-6 | 0.497 |
| 16*            | 1.2.96E-3  | 13.20E-6 | 13.20E-6 | 0.0       | 26.40E-6 | 0.498 |
| 17*            | 1.5.77E-3  | 24.42E-6 | 24.42E-6 | 0.0       | 48.83E-6 | 0.498 |
| 18*            | 2.320.0E-3 | 17.07E-3 | 4.267E-3 | 0.0       | 11.72E-3 | 0.833 |
| 19*            | 1.2.116E-3 | 4.80E-6  | 4.80E-6  | 0.0       | 9.611E-6 | 0.497 |
| 20*            | 1.868.7E-6 | 334.8E-9 | 334.8E-9 | 0.0       | 689.8E-9 | 0.497 |
| 21*            | 1.868.7E-6 | 334.8E-9 | 334.8E-9 | 0.0       | 689.8E-9 | 0.497 |
| 22*            | 1.12.92E-3 | 107.1E-6 | 107.1E-6 | 0.0       | 214.1E-6 | 0.500 |
| 23*            | 1.4.75E-3  | 17.07E-6 | 4.276E-6 | 0.0       | 118.6E-6 | 0.476 |
| 24*            | 1.12.92E-3 | 107.1E-6 | 107.1E-6 | 0.0       | 214.1E-6 | 0.500 |
| 25*            | 1.4.99E-3  | 17.03E-6 | 2.276E-6 | 0.0       | 118.8E-6 | 0.305 |

| Elem no. | Load case no. | Axial [kN] | Shear [kN] | Torsion [kNm] | Moment [kNm] |
|----------|---------------|------------|------------|---------------|--------------|
| 30       | 01            | 26.7       | 1.208E+3   | -2.039        | 1.764        |
| 31       | 01            | 26.1       | 963.5      | -2.009        | 1.230        |
| 32       | 01            | 4.3        | -279.0     | 864.1E-3      | 7.830        |
| 33       | 01            | 32.7       | -284.1     | 870.3E-3      | 8.779        |
| 37       | 01            | 4.7        | -285.2     | 870.3E-3      | 7.802        |
| 103      | 01            | 69.3       | 622.6      | 952.6E-3      | -2.242       |

| Prop-Section Name | Area | Iyy | Izz | Torsion | Ky | Kz |
|-------------------|------|-----|-----|---------|----|----|
| 1 CHS273x16.0     | -    | -   | -   | -       | -  | -  |
| 2 CHS273x16.0     | -    | -   | -   | -       | -  | -  |
| 3 CHS273x16.0     | -    | -   | -   | -       | -  | -  |
| 4 CHS193x12.5     | -    | -   | -   | -       | -  | -  |
| 5 CHS193x10.0     | -    | -   | -   | -       | -  | -  |
| 6 CHS193x8.0      | -    | -   | -   | -       | -  | -  |
| 7 CHS193x5.3      | -    | -   | -   | -       | -  | -  |
| 8 CHS193x5.3      | -    | -   | -   | -       | -  | -  |
| 9 CHS193x5.0      | -    | -   | -   | -       | -  | -  |
| 10 CHS193x5.0     | -    | -   | -   | -       | -  | -  |
| 11 CHS193x5.0     | -    | -   | -   | -       | -  | -  |
| 12 GRS1200x400    | -    | -   | -   | -       | -  | -  |
| 13 CHS139x5.0     | -    | -   | -   | -       | -  | -  |
| 14 CHS60x5.0      | -    | -   | -   | -       | -  | -  |

| Elem no. | Load case no. | Axial [kN] | Shear [kN] | Torsion [kNm] | Moment [kNm] |
|----------|---------------|------------|------------|---------------|--------------|
| 68       | 01            | 8.2        | -269.8     | -37.09E-3     | 268.3E-3     |
| 142      | 01            | 52.7       | -287.8     | 12.61         | -1.660       |
| 69       | 01            | 6.3        | -298.7     | 11.33         | 14.37        |
| 141      | 01            | 77.3       | -260.1     | -12.51        | 301.1E-3     |
| 69       | 01            | 6.3        | -298.7     | 11.33         | 14.37        |
| 74       | 01            | 37.3       | -857.1     | -10.67        | -3.194       |

KOC UNIVERSITESI  
SPOR SALONU CELIK CATI MAKASLARI  
TUM YUKLER + ZATI YUK DEP.SERB

|           |           |         |
|-----------|-----------|---------|
| Job No.   | Sheet No. | Rev.    |
| 38035     |           |         |
| Dry. Ref. |           |         |
| Made by   | Date      | Checked |
| SK        | 16-May-98 |         |

BEAM & SPRING FORCE & MOMENT ENVELOPES

| Elem no.                       | Load case no. | Node | Axial [kN] |        |    | Shear [kN] |    |        | Torsion [kNm] |         |     | Moment [kNm] |     |         |
|--------------------------------|---------------|------|------------|--------|----|------------|----|--------|---------------|---------|-----|--------------|-----|---------|
|                                |               |      | Fx         | Fy     | Fz | Fx         | Fy | Fz     | Mxx           | Myy     | Mzz | Mxx          | Myy | Mzz     |
| Maximum values in this output: |               |      |            |        |    |            |    |        |               |         |     |              |     |         |
| 254                            | E1            | 102  | 7)         | -28.86 |    | 65.81      |    | 3.740  |               | 12.83   |     | 8.225        |     | 80.74   |
| 276                            | E1            | 101  | 3)         | -237.2 |    | 66.85      |    | -88.96 |               | 13.11   |     | 20.92        |     | 52.97   |
| 318                            | E1            | 121  | 7)         | -236.3 |    | 66.47      |    | 86.83  |               | -13.13  |     | -19.92       |     | 51.68   |
| 252                            | E1            | 4    | 3)         | -191.2 |    | 65.28      |    | 4.998  |               | 13.40   |     | 3.324        |     | 114.7   |
| 319                            | E1            | 5    | 7)         | -244.1 |    | 63.41      |    | 43.61  |               | -13.55  |     | 21.32        |     | -16.68  |
| 252                            | E1            | 4    | 3)         | -191.2 |    | 65.28      |    | 4.998  |               | 13.40   |     | 3.324        |     | 114.7   |
| Minimum values in this output: |               |      |            |        |    |            |    |        |               |         |     |              |     |         |
| 278                            | E1            | 110  | 3)         | -244.2 |    | 65.05      |    | -41.36 |               | 12.68   |     | -6.908       |     | 6.122   |
| 321                            | E1            | 126  | 8)         | -152.2 |    | -1.240     |    | 31.62  |               | -611.18 |     | 7.143        |     | -840.98 |
| 277                            | E1            | 109  | 3)         | -236.8 |    | 66.64      |    | -88.98 |               | 11.11   |     | 163.48       |     | 29.81   |
| 302                            | E1            | 2    | 3)         | -200.1 |    | 65.75      |    | -4.701 |               | -13.64  |     | -3.390       |     | 113.8   |
| 278                            | E1            | 6    | 3)         | -244.2 |    | 65.05      |    | -41.36 |               | 12.68   |     | -21.47       |     | -16.78  |
| 278                            | E1            | 6    | 3)         | -244.2 |    | 65.05      |    | -41.36 |               | 12.68   |     | -21.47       |     | -16.78  |

| Elem no.                       | Load case no. | Node | Axial [kN] |        |    | Shear [kN] |    |        | Torsion [kNm] |           |     | Moment [kNm] |     |          |
|--------------------------------|---------------|------|------------|--------|----|------------|----|--------|---------------|-----------|-----|--------------|-----|----------|
|                                |               |      | Fx         | Fy     | Fz | Fx         | Fy | Fz     | Mxx           | Myy       | Mzz | Mxx          | Myy | Mzz      |
| Maximum values in this output: |               |      |            |        |    |            |    |        |               |           |     |              |     |          |
| 115                            | E1            | 52   | 7)         | -121.2 |    | 3.653      |    | -5.104 |               | 2.162     |     | -5.001       |     | -1.004   |
| 41                             | E1            | 32   | 3)         | -190.4 |    | 3.978      |    | -8.178 |               | 2.304     |     | 8.268        |     | 7.071    |
| 40                             | E1            | 20   | 3)         | -190.1 |    | 3.975      |    | 8.109  |               | -2.312    |     | -8.214       |     | 6.974    |
| 41                             | E1            | 32   | 3)         | -190.4 |    | 3.978      |    | -8.178 |               | 2.304     |     | 8.268        |     | 7.071    |
| 41                             | E1            | 32   | 3)         | -190.4 |    | 3.978      |    | -8.178 |               | 2.304     |     | 8.268        |     | 7.071    |
| 41                             | E1            | 32   | 3)         | -190.4 |    | 3.978      |    | -8.178 |               | 2.304     |     | 8.268        |     | 7.071    |
| Minimum values in this output: |               |      |            |        |    |            |    |        |               |           |     |              |     |          |
| 40                             | E1            | 20   | 3)         | -190.4 |    | 3.977      |    | 8.105  |               | -2.313    |     | -8.210       |     | 6.974    |
| 114                            | E1            | 64   | 8)         | -157.0 |    | 227.2E-3   |    | 7.367  |               | -91.58E-3 |     | -7.085       |     | 154.2E-3 |
| 41                             | E1            | 32   | 3)         | -190.4 |    | 3.975      |    | -8.178 |               | 2.304     |     | 8.268        |     | 7.071    |
| 40                             | E1            | 20   | 3)         | -190.4 |    | 3.977      |    | 8.105  |               | -2.313    |     | -8.210       |     | 6.974    |
| 40                             | E1            | 20   | 3)         | -190.1 |    | 3.975      |    | 8.109  |               | -2.312    |     | -8.214       |     | 6.974    |
| 114                            | E1            | 51   | 7)         | -123.3 |    | 3.599      |    | 5.162  |               | -2.176    |     | 5.051        |     | -1.027   |

| Elem no.                       | Load case no. | Node | Axial [kN] |       |    | Shear [kN] |    |          | Torsion [kNm] |        |     | Moment [kNm] |     |           |
|--------------------------------|---------------|------|------------|-------|----|------------|----|----------|---------------|--------|-----|--------------|-----|-----------|
|                                |               |      | Fx         | Fy    | Fz | Fx         | Fy | Fz       | Mxx           | Myy    | Mzz | Mxx          | Myy | Mzz       |
| Maximum values in this output: |               |      |            |       |    |            |    |          |               |        |     |              |     |           |
| 271                            | E1            | 105  | 3)         | 299.0 |    | 259.8E-3   |    | 1.198    |               | -2.924 |     | -2.310       |     | -2.302    |
| 273                            | E1            | 50   | 3)         | 159.3 |    | 1.082      |    | -2.273   |               | -2.889 |     | 2.688        |     | -833.3E-3 |
| 272                            | E1            | 32   | 7)         | 297.9 |    | 299.8E-3   |    | 2.298    |               | -2.924 |     | 1.926        |     | -2.872    |
| 325                            | E1            | 128  | 7)         | 282.9 |    | -853.2E-3  |    | 895.8E-3 |               | 2.234  |     | -1.931       |     | 1.807     |
| 270                            | E1            | 6    | 3)         | 251.9 |    | 466.8E-3   |    | -3.613   |               | -2.868 |     | 4.461        |     | -1.923    |
| 225                            | E1            | 64   | 3)         | 201.8 |    | -853.3E-3  |    | 1.820    |               | 2.734  |     | 1.044        |     | 3.694     |
| Minimum values in this output: |               |      |            |       |    |            |    |          |               |        |     |              |     |           |
| 273                            | E1            | 107  | 7)         | 159.1 |    | 1.082      |    | -1.812   |               | -2.889 |     | 416.4E-3     |     | -1.987    |
| 324                            | E1            | 49   | 3)         | 170.3 |    | -1.082     |    | -2.274   |               | 2.863  |     | 6.439        |     | 821.3E-3  |
| 122                            | E1            | 5    | 7)         | 251.7 |    | -483.2E-3  |    | -3.672   |               | 2.635  |     | 4.259        |     | 1.889     |
| 274                            | E1            | 107  | 3)         | 202.3 |    | 854.2E-3   |    | 808.3E-3 |               | -2.960 |     | -1.673       |     | -1.807    |
| 323                            | E1            | 127  | 7)         | 298.1 |    | -279.8E-3  |    | 1.323    |               | 2.891  |     | -2.401       |     | 2.285     |
| 275                            | E1            | 76   | 7)         | 201.1 |    | 856.4E-3   |    | 1.851    |               | -2.958 |     | 1.046        |     | -3.688    |

| Elem no.                       | Load case no. | Node | Axial [kN] |       |    | Shear [kN] |    |       | Torsion [kNm] |           |     | Moment [kNm] |     |           |
|--------------------------------|---------------|------|------------|-------|----|------------|----|-------|---------------|-----------|-----|--------------|-----|-----------|
|                                |               |      | Fx         | Fy    | Fz | Fx         | Fy | Fz    | Mxx           | Myy       | Mzz | Mxx          | Myy | Mzz       |
| Maximum values in this output: |               |      |            |       |    |            |    |       |               |           |     |              |     |           |
| 44                             | E1            | 7    | 7)         | 227.7 |    | -30.78E-3  |    | 1.928 |               | 451.6E-3  |     | -2.799       |     | 2.749     |
| 119                            | E1            | 52   | 8)         | 176.4 |    | 153.2E-3   |    | 1.960 |               | 26.03E-3  |     | -3.019       |     | 76.91E-3  |
| 119                            | E1            | 66   | 8)         | 176.9 |    | 153.2E-3   |    | 2.666 |               | 26.03E-3  |     | -2.657       |     | -299.3E-3 |
| 44                             | E1            | 7    | 3)         | 227.3 |    | -30.01E-3  |    | 1.919 |               | 451.7E-3  |     | -2.783       |     | 2.780     |
| 45                             | E1            | 22   | 3)         | 227.0 |    | 50.68E-3   |    | 2.613 |               | -476.9E-3 |     | 2.803        |     | -2.840    |
| 44                             | E1            | 21   | 7)         | 227.1 |    | -30.78E-3  |    | 2.434 |               | 451.6E-3  |     | 2.799        |     | 2.828     |
| Minimum values in this output: |               |      |            |       |    |            |    |       |               |           |     |              |     |           |
| 119                            | E1            | 66   | 7)         | 141.1 |    | -65.99E-3  |    | 1.694 |               | -349.1E-3 |     | 1.611        |     | -2.585    |
| 118                            | E1            | 81   | 8)         | 176.8 |    | -124.4E-3  |    | 1.951 |               | -50.65E-3 |     | -3.004       |     | -36.61E-3 |
| 119                            | E1            | 52   | 7)         | 141.6 |    | -65.99E-3  |    | 2.622 |               | -477.1E-3 |     | -1.679       |     | -2.747    |
| 45                             | E1            | 22   | 7)         | 226.7 |    | 49.82E-3   |    | 2.622 |               | -477.1E-3 |     | 2.795        |     | -2.839    |
| 119                            | E1            | 52   | 8)         | 176.4 |    | 153.2E-3   |    | 1.960 |               | 26.03E-3  |     | -3.019       |     | 76.91E-3  |
| 45                             | E1            | 22   | 3)         | 227.0 |    | 50.68E-3   |    | 2.613 |               | -476.9E-3 |     | 2.803        |     | -2.840    |

BEAM & SPRING FORCE & MOMENT ENVELOPES

| Elem no.                       | Load case no. | Node | Axial [kN] |        |    | Shear [kN] |    |          | Torsion [kNm] |           |     | Moment [kNm] |     |           |
|--------------------------------|---------------|------|------------|--------|----|------------|----|----------|---------------|-----------|-----|--------------|-----|-----------|
|                                |               |      | Fx         | Fy     | Fz | Fx         | Fy | Fz       | Mxx           | Myy       | Mzz | Mxx          | Myy | Mzz       |
| Maximum values in this output: |               |      |            |        |    |            |    |          |               |           |     |              |     |           |
| 123                            | E1            | 61   | 3)         | -102.3 |    | -141.1E-3  |    | 968.5E-3 |               | -52.20E-3 |     | 575.3E-3     |     | 1.210     |
| 120                            | E1            | 65   | 7)         | -145.8 |    | 298.2E-3   |    | 265.3E-3 |               | -57.67E-3 |     | -1.189       |     | -102.3E-3 |
| 122                            | E1            | 94   | 8)         | -142.2 |    | 194.3E-3   |    | 1.183    |               | -21.47E-3 |     | 990.3E-3     |     | -565.7E-3 |
| 47                             | E1            | 18   | 7)         | -250.3 |    | -254.5E-3  |    | 908.1E-3 |               | 112.9E-3  |     | 787.4E-3     |     | 526.0E-3  |
| 122                            | E1            | 64   | 8)         | -142.2 |    | 194.3E-3   |    | 1.183    |               | -21.47E-3 |     | 990.3E-3     |     | -565.7E-3 |
| 123                            | E1            | 61   | 7)         | -102.3 |    | -141.4E-3  |    | 971.4E-3 |               | -52.25E-3 |     | 586.1E-3     |     | 1.210     |
| Minimum values in this output: |               |      |            |        |    |            |    |          |               |           |     |              |     |           |
| 47                             | E1            | 22   | 7)         | -251.0 |    | -254.5E-3  |    | 343.9E-3 |               | 112.9E-3  |     | -1.197       |     | 19.21E-3  |
| 121                            | E1            | 66   | 3)         | -145.1 |    | -126.7E-3  |    | 265.4E-3 |               | 68.60E-3  |     | -1.156       |     | 49.65E-3  |
| 121                            | E1            | 66   | 8)         | -199.1 |    | -110.2E-3  |    | 73.9E-3  |               | -38.78E-3 |     | -704.9E-3    |     | -189.9E-3 |
| 46                             | E1            | 21   | 3)         | -250.3 |    | 222.6E-3   |    | 339.4E-3 |               | -101.2E-3 |     | -1.198       |     | -81.98E-3 |
| 122                            | E1            | 67   | 8)         | -142.9 |    | 194.3E-3   |    | 613.2E-3 |               | -21.47E-3 |     | -1.799       |     | 97.54E-3  |
| 122                            | E1            | 94   | 3)         | -104.0 |    | 137.8E-3   |    | 981.1E-3 |               | 62.01E-3  |     | 603.6E-3     |     | -1.216    |

| Elem no.                       | Load case no. | Node | Axial [kN] |       |    | Shear [kN] |    |           | Torsion [kNm] |           |     | Moment [kNm] |     |           |
|--------------------------------|---------------|------|------------|-------|----|------------|----|-----------|---------------|-----------|-----|--------------|-----|-----------|
|                                |               |      | Fx         | Fy    | Fz | Fx         | Fy | Fz        | Mxx           | Myy       | Mzz | Mxx          | Myy | Mzz       |
| Maximum values in this output: |               |      |            |       |    |            |    |           |               |           |     |              |     |           |
| 51                             | E1            | 18   | 7)         | 205.2 |    | 93.46E-3   |    | 1.615     |               | -105.6E-3 |     | -2.831       |     | -1.512    |
| 53                             | E1            | 10   | 7)         | 176.5 |    | 1.020      |    | 711.7E-3  |               | -131.9E-3 |     | -1.749       |     | 2.803     |
| 50                             | E1            | 23   | 7)         | 204.4 |    | -91.34E-3  |    | 2.203     |               | 103.7E-3  |     | 1.959        |     | 1.744     |
| 126                            | E1            | 61   | 7)         | 102.6 |    | -879.6E-3  |    | -27.72E-3 |               | 207.4E-3  |     | -809.4E-3    |     | -2.489    |
| 50                             | E1            | 23   | 3)         | 204.4 |    | -91.41E-3  |    | 2.202     |               | 103.7E-3  |     | 1.958        |     | 1.744     |
| 53                             | E1            | 10   | 7)         | 176.6 |    | 1.020      |    | 711.7E-3  |               | -131.9E-3 |     | -1.748       |     | 2.802     |
| Minimum values in this output: |               |      |            |       |    |            |    |           |               |           |     |              |     |           |
| 126                            | E1            | 74   | 3)         | 101.6 |    | -860.0E-3  |    | 540.3E-3  |               | 207.3E-3  |     | -144.6E-3    |     | -193.3E-3 |
| 52                             | E1            | 17   | 3)         | 178.0 |    | -976.7E-3  |    | 724.5E-3  |               | 124.2E-3  |     | -1.756       |     | -2.746    |
| 126                            | E1            | 61   | 3)         | 102.1 |    | -860.0E-3  |    | -32.72E-3 |               | 207.3E-3  |     | -807.6E-3    |     | -2.491    |
| 127                            | E1            | 68   | 3)         | 102.4 |    | 925.2E-3   |    | 932.9E-3  |               | -214.3E-3 |     | -129.4E-3    |     | 161.6E-3  |
| 50                             | E1            | 9    | 7)         | 204.8 |    | -91.34E-3  |    | 1.635     |               | 103.7E-3  |     | -2.828       |     | 1.512     |
| 52                             | E1            | 17   | 3)         | 178.0 |    | -976.7E-3  |    | 724.5E-3  |               | 124.2E-3  |     | -1.756       |     | -2.746    |

| Elem no.                       | Load case no. | Node | Axial [kN] |        |    | Shear [kN] |    |          | Torsion [kNm] |           |     | Moment [kNm] |     |           |
|--------------------------------|---------------|------|------------|--------|----|------------|----|----------|---------------|-----------|-----|--------------|-----|-----------|
|                                |               |      | Fx         | Fy     | Fz | Fx         | Fy | Fz       | Mxx           | Myy       | Mzz | Mxx          | Myy | Mzz       |
| Maximum values in this output: |               |      |            |        |    |            |    |          |               |           |     |              |     |           |
| 129                            | E1            | 56   | 7)         | -23.64 |    | -124.8E-3  |    | 1.038    |               | 55.13E-3  |     | 738.9E-3     |     | -423.6E-3 |
| 56                             | E1            | 30   | 3)         | -127.8 |    | 675.4E-3   |    | 455.5E-3 |               | -158.2E-3 |     | -1.617       |     | 1.491     |
| 57                             | E1            | 15   | 8)         | -49.65 |    | -203.1E-3  |    | 1.674    |               | -55.72E-3 |     | 699.1E-3     |     |           |



**KOC UNIVERSITESI**  
**SPOR SALONU CELIK CATI MAKASLARI**  
**TUM YUKLER + ZATI YUK DEP.SERB**

|           |           |         |
|-----------|-----------|---------|
| Job No.   | Sheet No. | Rev.    |
| 38035     |           |         |
| Drq. Ref. |           |         |
| Made by   | Date      | Checked |
| SK        | 16-May-98 |         |

| BEAM & SPRING FORCE & MOMENT ENVELOPES |      |      |       |        |           |           | BEAM & SPRING FORCE & MOMENT ENVELOPES |            |            |       |       |         |        |          |           |           |           |        |        |
|--|------|------|-------|--------|-----------|-----------|--|------------|------------|-------|-------|---------|--------|----------|-----------|-----------|-----------|--------|--------|
| Beam Property 11                       |      |      |       |        |           |           | Beam Property 18                       |            |            |       |       |         |        |          |           |           |           |        |        |
| Elem                                   | Load | Node | Axial | Shear  | Torsion   | Moment    | Elem                                   | Load       | Node       | Axial | Shear | Torsion | Moment |          |           |           |           |        |        |
| no.                                    | case | no.  | Fx    | Fy     | Max       | Myy       | no.                                    | case       | no.        | Fx    | Fy    | Max     | Myy    |          |           |           |           |        |        |
| Maximum values in this output:         |      |      |       |        |           |           | Maximum values in this output:         |            |            |       |       |         |        |          |           |           |           |        |        |
| 64                                     | EL   | 14   | 7)    | -1.971 | -965.08-3 | 53.40E-3  | 529.3E-3                               | -2.956     | 195        | EL    | 79    | 4)      | 5.719  | 1.319E-9 | -325.8E-3 | -29.87E-3 | .0        | .0     |        |
| 65                                     | EL   | 27   | 7)    | 1.966  | 521.8E-3  | -51.65E-3 | -1.879                                 | 2.633      | 194        | EL    | 77    | 1)      | -15.14 | 19.74E-9 | -325.8E-3 | -306.1E-3 | .0        | .0     |        |
| 139                                    | EL   | 57   | 7)    | 28.58  | 1.791     | 1.482     | -70.59E-3                              | 1.600      | -2.701     | 200   | EL    | 19      | 3)     | 280.9E-3 | 274.8E-12 | 325.8E-3  | 2.100E-3  | .0     | .0     |
| 62                                     | EL   | 13   | 3)    | -2.325 | -1.552    | 65.49E-3  | 117.4E-3                               | -1.351     | 1.930      | 205   | EL    | 88      | 3)     | -6.912   | -13.14E-9 | -325.8E-3 | 311.7E-3  | .0     | .0     |
| 139                                    | EL   | 57   | 7)    | 28.58  | 1.791     | 1.482     | -70.59E-3                              | 1.600      | -2.701     | 194   | EL    | 77      | 1)     | 288.7E-3 | 1.832E-9  | -325.8E-3 | -24.01E-3 | .0     | .0     |
| 65                                     | EL   | 27   | 7)    | 47.96  | 1.966     | 521.8E-3  | -51.65E-3                              | -1.579     | 2.633      | 194   | EL    | 77      | 1)     | 288.7E-3 | 1.832E-9  | -325.8E-3 | -24.01E-3 | .0     | .0     |
| Minimum values in this output:         |      |      |       |        |           |           | Minimum values in this output:         |            |            |       |       |         |        |          |           |           |           |        |        |
| 63                                     | EL   | 28   | 7)    | -5.460 | 1.552     | -389.3E-3 | -119.5E-3                              | -866.0E-3  | 2.589      | 206   | EL    | 78      | 7)     | -15.24   | -19.09E-9 | -325.8E-3 | 295.9E-3  | .0     | .0     |
| 64                                     | EL   | 14   | 3)    | 80.92  | -1.972    | -971.3E-3 | 53.40E-3                               | 940.6E-3   | -2.956     | 206   | EL    | 78      | 7)     | -15.24   | -19.09E-9 | -325.8E-3 | 299.9E-3  | .0     | .0     |
| 139                                    | EL   | 57   | 7)    | 28.58  | -1.803    | -1.479    | 74.6E-3                                | 1.592      | -2.731     | 194   | EL    | 77      | 1)     | 288.7E-3 | 1.832E-9  | -325.8E-3 | -24.01E-3 | .0     | .0     |
| 63                                     | EL   | 14   | 7)    | -4.986 | 1.552     | 76.37E-3  | -119.5E-3                              | -1.332     | -1.921     | 195   | EL    | 79      | 7)     | -8.937   | 13.68E-9  | -325.8E-3 | -316.6E-3 | .0     | .0     |
| 68                                     | EL   | 27   | 4)    | 35.57  | -1.451    | 937.2E-3  | -74.6E-3                               | -1.976     | 1.939      | 194   | EL    | 77      | 1)     | 288.7E-3 | 1.832E-9  | -325.8E-3 | -24.01E-3 | .0     | .0     |
| 64                                     | EL   | 14   | 7)    | 82.34  | -1.971    | -965.08-3 | 53.40E-3                               | 929.3E-3   | -2.956     | 194   | EL    | 77      | 1)     | 288.7E-3 | 1.832E-9  | -325.8E-3 | -24.01E-3 | .0     | .0     |
| Beam Property 12                       |      |      |       |        |           |           | Beam Property 16                       |            |            |       |       |         |        |          |           |           |           |        |        |
| Elem                                   | Load | Node | Axial | Shear  | Torsion   | Moment    | Elem                                   | Load       | Node       | Axial | Shear | Torsion | Moment |          |           |           |           |        |        |
| no.                                    | case | no.  | Fx    | Fy     | Max       | Myy       | no.                                    | case       | no.        | Fx    | Fy    | Max     | Myy    |          |           |           |           |        |        |
| Maximum values in this output:         |      |      |       |        |           |           | Maximum values in this output:         |            |            |       |       |         |        |          |           |           |           |        |        |
| 220                                    | EL   | 48   | 3)    | -39.00 | -66.68    | -102.6    | 60.84                                  | .0         | 239.3      | 207   | EL    | 2       | 3)     | 9.519    | .0        | -456.4E-3 | -664.7E-3 | .0     | .0     |
| 213                                    | EL   | 1    | 8)    | -811.7 | 3.310     | -542.6    | -4.504                                 | 723.4      | 6.899      | 166   | EL    | 49      | 1)     | 3.711    | .0        | -456.4E-3 | -75.08E-3 | .0     | .0     |
| 215                                    | EL   | 3    | 7)    | -785.7 | -66.56    | 612.0     | 60.47                                  | -816.1     | -610.5     | 166   | EL    | 49      | 1)     | 3.711    | .0        | -456.4E-3 | -75.08E-3 | .0     | .0     |
| 219                                    | EL   | 47   | 3)    | -274.4 | -67.87    | 349.4     | 60.84                                  | -465.9     | -612.3     | 166   | EL    | 49      | 1)     | 3.711    | .0        | -456.4E-3 | -75.08E-3 | .0     | .0     |
| 216                                    | EL   | 4    | 3)    | -519.3 | -67.76    | -175.6    | 60.48                                  | .0         | 245.5      | 166   | EL    | 49      | 1)     | 3.711    | .0        | -456.4E-3 | -75.08E-3 | .0     | .0     |
| Minimum values in this output:         |      |      |       |        |           |           | Minimum values in this output:         |            |            |       |       |         |        |          |           |           |           |        |        |
| 215                                    | EL   | 3    | 7)    | -785.7 | -66.56    | 612.0     | 60.47                                  | -816.1     | -610.5     | 166   | EL    | 49      | 1)     | 3.711    | .0        | -456.4E-3 | -75.08E-3 | .0     | .0     |
| 219                                    | EL   | 47   | 3)    | -274.4 | -67.87    | 349.4     | 60.84                                  | -465.9     | -612.3     | 166   | EL    | 49      | 1)     | 3.711    | .0        | -456.4E-3 | -75.08E-3 | .0     | .0     |
| 213                                    | EL   | 1    | 3)    | -748.7 | -69.50    | -593.8    | -62.11                                 | 791.7      | -620.9     | 166   | EL    | 49      | 1)     | 3.711    | .0        | -456.4E-3 | -75.08E-3 | .0     | .0     |
| 218                                    | EL   | 91   | 3)    | -197.3 | -65.61    | 101.3     | -62.36                                 | -911.6     | -395.3     | 166   | EL    | 49      | 1)     | 3.711    | .0        | -456.4E-3 | -75.08E-3 | .0     | .0     |
| 214                                    | EL   | 89   | 3)    | -669.9 | -66.71    | 176.9     | -62.11                                 | -1.892E+3  | -398.9     | 166   | EL    | 49      | 1)     | 3.711    | .0        | -456.4E-3 | -75.08E-3 | .0     | .0     |
| 219                                    | EL   | 47   | 3)    | -274.4 | -67.87    | 349.4     | 60.84                                  | -465.9     | -612.3     | 166   | EL    | 49      | 1)     | 3.711    | .0        | -456.4E-3 | -75.08E-3 | .0     | .0     |
| Beam Property 13                       |      |      |       |        |           |           | Beam Property 17                       |            |            |       |       |         |        |          |           |           |           |        |        |
| Elem                                   | Load | Node | Axial | Shear  | Torsion   | Moment    | Elem                                   | Load       | Node       | Axial | Shear | Torsion | Moment |          |           |           |           |        |        |
| no.                                    | case | no.  | Fx    | Fy     | Max       | Myy       | no.                                    | case       | no.        | Fx    | Fy    | Max     | Myy    |          |           |           |           |        |        |
| Maximum values in this output:         |      |      |       |        |           |           | Maximum values in this output:         |            |            |       |       |         |        |          |           |           |           |        |        |
| 172                                    | EL   | 57   | 4)    | 23.44  | 23.01E-12 | -325.8E-3 | 10.38E-3                               | .0         | .0         | 212   | EL    | 6       | 7)     | 109.8    | 178.1E-9  | -888.9E-3 | 1.557     | .0     | .0     |
| 344                                    | EL   | 100  | 7)    | -1.619 | 27.74E-9  | -325.8E-3 | -250.7E-3                              | .0         | .0         | 348   | EL    | 4       | 3)     | -76.11   | 602.4E-3  | -4.007    | 1.186     | 13.58  | 2.185  |
| 172                                    | EL   | 13   | 3)    | 14.42  | 149.0E-12 | 325.8E-3  | -64.94E-3                              | .0         | .0         | 350   | EL    | 2       | 7)     | -74.54   | -741.4E-3 | 3.918     | -1.204    | 13.35  | 2.430  |
| 177                                    | EL   | 62   | 3)    | -85.24 | -9.834E-9 | -325.8E-3 | 389.1E-3                               | .0         | .0         | 211   | EL    | 4       | 3)     | -153.2   | -604.6E-9 | -888.9E-3 | 1.572     | .0     | .0     |
| 167                                    | EL   | 51   | 1)    | 1.480  | 1.586E-9  | -325.8E-3 | -21.15E-3                              | .0         | .0         | 348   | EL    | 4       | 3)     | -76.11   | 602.4E-3  | -4.007    | 1.186     | 13.58  | 2.185  |
| 167                                    | EL   | 51   | 1)    | 1.480  | 1.586E-9  | -325.8E-3 | -21.15E-3                              | .0         | .0         | 350   | EL    | 2       | 3)     | -74.54   | -741.0E-3 | 3.918     | -1.201    | 13.35  | 2.431  |
| Minimum values in this output:         |      |      |       |        |           |           | Minimum values in this output:         |            |            |       |       |         |        |          |           |           |           |        |        |
| 178                                    | EL   | 52   | 7)    | -66.43 | -16.30E-9 | -325.8E-3 | 290.1E-3                               | .0         | .0         | 311   | EL    | 4       | 7)     | -151.2   | -603.1E-9 | -888.9E-3 | 1.566     | .0     | .0     |
| 340                                    | EL   | 97   | 3)    | -1.049 | -26.79E-9 | -325.8E-3 | 238.4E-3                               | .0         | .0         | 350   | EL    | 2       | 7)     | -74.54   | -741.4E-3 | 3.918     | -1.204    | 13.35  | 2.430  |
| 344                                    | EL   | 100  | 7)    | -1.618 | 27.73E-9  | -325.8E-3 | -250.6E-3                              | .0         | .0         | 348   | EL    | 4       | 3)     | -76.11   | 602.4E-3  | -4.007    | 1.186     | 13.58  | 2.185  |
| 188                                    | EL   | 53   | 7)    | -97.69 | 10.33E-9  | -325.8E-3 | -313.3E-3                              | .0         | .0         | 210   | EL    | 2       | 7)     | -149.7   | 613.7E-9  | -888.9E-3 | -1.511    | .0     | .0     |
| 167                                    | EL   | 51   | 1)    | 1.480  | 1.586E-9  | -325.8E-3 | -21.15E-3                              | .0         | .0         | 349   | EL    | 48      | 7)     | 72.88    | 403.9E-3  | -2.112    | 46.43E-3  | -11.81 | -2.384 |
| 167                                    | EL   | 51   | 1)    | 1.480  | 1.586E-9  | -325.8E-3 | -21.15E-3                              | .0         | .0         | 351   | EL    | 46      | 7)     | 74.11    | -573.8E-3 | 2.024     | -103.9E-3 | -11.60 | -2.676 |
| Beam Property 14                       |      |      |       |        |           |           | Beam Property 18                       |            |            |       |       |         |        |          |           |           |           |        |        |
| Elem                                   | Load | Node | Axial | Shear  | Torsion   | Moment    | Elem                                   | Load       | Node       | Axial | Shear | Torsion | Moment |          |           |           |           |        |        |
| no.                                    | case | no.  | Fx    | Fy     | Max       | Myy       | no.                                    | case       | no.        | Fx    | Fy    | Max     | Myy    |          |           |           |           |        |        |
| Maximum values in this output:         |      |      |       |        |           |           | Maximum values in this output:         |            |            |       |       |         |        |          |           |           |           |        |        |
| 193                                    | EL   | 8    | 7)    | 103.8  | -3.788E-6 | -169.8E-3 | 2.608E-3                               | -29.34E-12 | -21.90E-12 | 221   | EL    | 89      | 8)     | 2.986    | .0        | -15.06    | 847.0E-3  | .0     | .0     |
| 181                                    | EL   | 51   | 3)    | 106.3  | 1.698E-6  | -197.7E-3 | 1.538E-3                               | 14.88E-12  | .0         | 221   | EL    | 89      | 1)     | 515.3E-3 | .0        | -15.06    | 836.8E-3  | .0     | .0     |
| 186                                    | EL   | 14   | 3)    | -14.39 | -119.2E-9 | 199.7E-3  | 6.438E-3                               | -29.10E-12 | .0         | 221   | EL    | 89      | 1)     | 515.3E-3 | .0        | -15.06    | 836.8E-3  | .0     | .0     |
| 185                                    | EL   | 56   | 4)    | -16.53 | -7.481E-9 | -190.8E-3 | 16.19E-3                               | .0         | 29.10E-12  | 221   | EL    | 89      | 7)     | 1.205    | .0        | -15.06    | 8.649     | .0     | .0     |
| 191                                    | EL   | 17   | 2)    | -9.170 | 29.80E-9  | -188.8E-3 | -7.978E-3                              | 145.8E-12  | 36.38E-12  | 221   | EL    | 89      | 1)     | 515.3E-3 | .0        | -15.06    | 836.8E-3  | .0     | .0     |
| 191                                    | EL   | 17   | 2)    | -9.170 | 29.80E-9  | -188.8E-3 | -7.978E-3                              | 145.8E-12  | 36.38E-12  | 221   | EL    | 89      | 1)     | 515.3E-3 | .0        | -15.06    | 836.8E-3  | .0     | .0     |
| Minimum values in this output:         |      |      |       |        |           |           | Minimum values in this output:         |            |            |       |       |         |        |          |           |           |           |        |        |
| 186                                    | EL   | 57   | 7)    | -14.41 | -118.1E-9 | -190.7E-3 | 6.437E-3                               | -29.14E-12 | .0         | 222   | EL    | 90      | 2)     | 438.3E-3 | .0        | -15.06    | -429.0E-3 | .0     | .0     |
| 180                                    | EL   | 49   | 7)    | 103.5  | -3.817E-6 | -169.8E-3 | -2.898E-3                              | -14.28E-12 | -14.59E-12 | 221   | EL    | 89      | 1)     | 515.3E-3 | .0        | -15.06    | 836.8E-3  | .0     | .0     |
| 186                                    | EL   | 57   | 7)    | -14.72 | -117.2E-9 | -190.7E-3 | 7.917E-3                               | .0         | .0         | 221   | EL    | 89      | 1)     | 515.3E-3 | .0        | -15.06    | 836.8E-3  | .0     | .0     |
| 188                                    | EL   | 14   | 1)    | -13.14 | 476.8E-9  | -190.8E-3 | -16.09E-3                              | .0         | .0         | 222   | EL    | 90      | 3)     | 1.194    | .0        | -15.06    | -2.146    | .0     | .0     |
| 182                                    | EL   | 53   | 1)    | -10.39 | 29.80E-9  | -188.8E-3 | -7.957E-3                              | -232.8E-12 | .0         | 221   | EL    | 89      | 1)     | 515.3E-3 | .0        | -15.06    | 836.8E-3  | .0     | .0     |
| 184                                    | EL   | 53   | 3)    | 33.32  | .0        | -190.2E-3 | 8.981E-3                               | 55.21E-12  | -68.48E-12 | 221   | EL    | 89      | 1)     | 515.3E-3 | .0        | -15.06    | 836.8E-3  | .0     | .0     |

KOC UNIVERSITESI

SPOR SALONU CELIK CATI MAKASLARI

TUM YUKLER + ZATI YUK DEP. SERB

Job No. 38035, Sheet No., Rev., Drg. Ref., Made by SK, Date 16-May-98, Checked

BEAM & SPRING FORCE & MOMENT ENVELOPES

Beam Property 19, Elem Load Node, Axial [kN], Shear [kN], Torsion [kNm], Moment [kNm], Maximum values in this output, Minimum values in this output

Beam Property 20, Elem Load Node, Axial [kN], Shear [kN], Torsion [kNm], Moment [kNm], Maximum values in this output, Minimum values in this output

Beam Property 21, Elem Load Node, Axial [kN], Shear [kN], Torsion [kNm], Moment [kNm], Maximum values in this output, Minimum values in this output

Beam Property 22, Elem Load Node, Axial [kN], Shear [kN], Torsion [kNm], Moment [kNm], Maximum values in this output, Minimum values in this output

BEAM & SPRING FORCE & MOMENT ENVELOPES

Beam Property 23, Elem Load Node, Axial [kN], Shear [kN], Torsion [kNm], Moment [kNm], Maximum values in this output, Minimum values in this output

Beam Property 24, Elem Load Node, Axial [kN], Shear [kN], Torsion [kNm], Moment [kNm], Maximum values in this output, Minimum values in this output

Beam Property 25, Elem Load Node, Axial [kN], Shear [kN], Torsion [kNm], Moment [kNm], Maximum values in this output, Minimum values in this output

Beam Property 26, Elem Load Node, Axial [kN], Shear [kN], Torsion [kNm], Moment [kNm], Maximum values in this output, Minimum values in this output

Beam Property 27, Elem Load Node, Axial [kN], Bending [kNm], Combined [kN/m], Maximum values in this output, Minimum values in this output

KOC UNIVERSITESI

SPOR SALONU CELIK CATI MAKASLARI

TUM YUKLER + ZATI YUK DEP.SERB

|           |           |         |
|-----------|-----------|---------|
| Job No.   | Sheet No. | Rev.    |
| 38035     |           |         |
| Drg. Ref. |           |         |
| Made by   | Date      | Checked |
| SK        | 16-May-98 |         |

BEAM STRESS ENVELOPES

BEAM STRESS ENVELOPES

Beam Property 2

| Elem no.                       | Load case | Node | Axial      |           |           | Bending   |           | Combined (kN/m2) |  |
|--------------------------------|-----------|------|------------|-----------|-----------|-----------|-----------|------------------|--|
|                                |           |      | A          | By        | Bz        | C1        | C2        |                  |  |
| Maximum values in this output: |           |      |            |           |           |           |           |                  |  |
| Lc.                            |           |      |            |           |           |           |           |                  |  |
| 68                             | El        | 8    | 2-15.90E+3 | -4.875E+3 | -888.8    | -10.95E+3 | -20.85E+3 |                  |  |
| 69                             | El        | 5    | 3-22.89E+3 | 22.11E+3  | -22.40E+3 | 10.17E+3  | -55.95E+3 |                  |  |
| 74                             | El        | 37   | 3-66.35E+3 | 12.03E+3  | 17.17E+3  | -45.38E+3 | -87.11E+3 |                  |  |
| 69                             | El        | 6    | 7-22.77E+3 | 24.19E+3  | -22.40E+3 | 10.21E+3  | -55.74E+3 |                  |  |
| 68                             | El        | 34   | 2-15.94E+3 | -2.713E+3 | -811.8    | -13.11E+3 | -18.77E+3 |                  |  |
| Minimum values in this output: |           |      |            |           |           |           |           |                  |  |
| Lc.                            |           |      |            |           |           |           |           |                  |  |
| 19                             | El        | 14   | 4-87.09E+3 | -15.55E+3 | 5.438E+3  | -70.62E+3 | -103.6E+3 |                  |  |
| 78                             | El        | 39   | 4-86.47E+3 | -23.71E+3 | -6.097E+3 | -61.99E+3 | -111.0E+3 |                  |  |
| 69                             | El        | 6    | 7-22.77E+3 | 24.19E+3  | -22.40E+3 | 10.21E+3  | -55.74E+3 |                  |  |
| 78                             | El        | 12   | 6-85.94E+3 | -418.2    | -76.37    | -85.82E+3 | -95.37E+3 |                  |  |
| 78                             | El        | 39   | 4-86.47E+3 | -23.71E+3 | -6.097E+3 | -61.99E+3 | -111.0E+3 |                  |  |

Beam Property 7

| Elem no.                       | Load case | Node | Axial      |           |           | Bending   |           | Combined (kN/m2) |  |
|--------------------------------|-----------|------|------------|-----------|-----------|-----------|-----------|------------------|--|
|                                |           |      | A          | By        | Bz        | C1        | C2        |                  |  |
| Maximum values in this output: |           |      |            |           |           |           |           |                  |  |
| Lc.                            |           |      |            |           |           |           |           |                  |  |
| 123                            | El        | 61   | 3-27.75E+3 | 3.406E+3  | 7.163E+3  | -19.82E+3 | -35.68E+3 |                  |  |
| 123                            | El        | 54   | 8-38.38E+3 | 5.882E+3  | -2.994E+3 | -31.77E+3 | -44.93E+3 |                  |  |
| 123                            | El        | 61   | 7-27.92E+3 | 3.470E+3  | 7.163E+3  | -19.82E+3 | -35.68E+3 |                  |  |
| 123                            | El        | 78   | 1-27.91E+3 | -9.157E+3 | 4.970E+3  | -17.25E+3 | -28.37E+3 |                  |  |
| 123                            | El        | 61   | 3-27.75E+3 | 3.406E+3  | 7.163E+3  | -19.82E+3 | -35.68E+3 |                  |  |
| Minimum values in this output: |           |      |            |           |           |           |           |                  |  |
| Lc.                            |           |      |            |           |           |           |           |                  |  |
| 47                             | El        | 22   | 7-87.68E+3 | -7.084E+3 | 113.7     | -60.59E+3 | -74.76E+3 |                  |  |
| 122                            | El        | 67   | 8-38.33E+3 | -10.68E+3 | 877.4     | -27.66E+3 | -49.20E+3 |                  |  |
| 122                            | El        | 54   | 3-28.05E+3 | 3.874E+3  | -7.197E+3 | -20.07E+3 | -36.08E+3 |                  |  |
| 46                             | El        | 9    | 7-67.37E+3 | -4.818E+3 | -4.662E+3 | -60.27E+3 | -73.76E+3 |                  |  |
| 46                             | El        | 22   | 7-67.68E+3 | -7.084E+3 | 113.7     | -60.59E+3 | -74.76E+3 |                  |  |

Beam Property 3

| Elem no.                       | Load case | Node | Axial      |           |           | Bending   |           | Combined (kN/m2) |  |
|--------------------------------|-----------|------|------------|-----------|-----------|-----------|-----------|------------------|--|
|                                |           |      | A          | By        | Bz        | C1        | C2        |                  |  |
| Maximum values in this output: |           |      |            |           |           |           |           |                  |  |
| Lc.                            |           |      |            |           |           |           |           |                  |  |
| 254                            | El        | 102  | 7-3.241E+3 | 10.49E+3  | 64.68E+3  | 63.29E+3  | -87.77E+3 |                  |  |
| 319                            | El        | 5    | 7-18.90E+3 | 27.27E+3  | -21.27E+3 | 15.69E+3  | -83.48E+3 |                  |  |
| 255                            | El        | 4    | 3-14.80E+3 | 4.237E+3  | 146.2E+3  | 131.4E+3  | -161.0E+3 |                  |  |
| 254                            | El        | 48   | 7-2.318E+3 | 5.900E+3  | 143.6E+3  | 141.4E+3  | -146.1E+3 |                  |  |
| 277                            | El        | 109  | 2-10.22E+3 | -25.77    | 225.4     | -9.999E+3 | -10.44E+3 |                  |  |
| Minimum values in this output: |           |      |            |           |           |           |           |                  |  |
| Lc.                            |           |      |            |           |           |           |           |                  |  |
| 278                            | El        | 110  | 3-18.93E+3 | -8.807E+3 | 7.808E+3  | -7.162E+3 | -30.70E+3 |                  |  |
| 278                            | El        | 6    | 3-18.90E+3 | -27.37E+3 | -21.39E+3 | 15.83E+3  | -83.64E+3 |                  |  |
| 278                            | El        | 6    | 3-18.90E+3 | -27.37E+3 | -21.39E+3 | 15.83E+3  | -83.64E+3 |                  |  |
| 279                            | El        | 111  | 4-12.19E+3 | -78.73    | 145.5     | -12.03E+3 | -12.36E+3 |                  |  |
| 252                            | El        | 4    | 3-14.80E+3 | 4.237E+3  | 146.2E+3  | 131.4E+3  | -161.0E+3 |                  |  |

Beam Property 8

| Elem no.                       | Load case | Node | Axial      |           |           | Bending  |          | Combined (kN/m2) |  |
|--------------------------------|-----------|------|------------|-----------|-----------|----------|----------|------------------|--|
|                                |           |      | A          | By        | Bz        | C1       | C2       |                  |  |
| Maximum values in this output: |           |      |            |           |           |          |          |                  |  |
| Lc.                            |           |      |            |           |           |          |          |                  |  |
| 51                             | El        | 18   | 7 85.33E+3 | -16.88E+3 | -8.959E+3 | 74.44E+3 | 36.22E+3 |                  |  |
| 50                             | El        | 23   | 3 55.11E+3 | 11.69E+3  | 10.33E+3  | 70.68E+3 | 39.54E+3 |                  |  |
| 53                             | El        | 10   | 7 47.61E+3 | -10.33E+3 | 16.63E+3  | 67.18E+3 | 28.03E+3 |                  |  |
| 50                             | El        | 9    | 7 55.22E+3 | -17.15E+3 | 8.959E+3  | 74.57E+3 | 35.87E+3 |                  |  |
| 52                             | El        | 30   | 7 47.99E+3 | 5.104E+3  | -1.185E+3 | 53.42E+3 | 42.86E+3 |                  |  |
| Minimum values in this output: |           |      |            |           |           |          |          |                  |  |
| Lc.                            |           |      |            |           |           |          |          |                  |  |
| 126                            | El        | 74   | 3 27.40E+3 | -886.2    | -1.144E+3 | 28.83E+3 | 25.97E+3 |                  |  |
| 50                             | El        | 9    | 7 55.22E+3 | -17.15E+3 | 8.959E+3  | 74.57E+3 | 35.87E+3 |                  |  |
| 52                             | El        | 17   | 3 47.98E+3 | -10.40E+3 | -16.26E+3 | 67.28E+3 | 28.69E+3 |                  |  |
| 127                            | El        | 68   | 7 27.48E+3 | -810.4    | 888.3     | 28.66E+3 | 26.30E+3 |                  |  |
| 127                            | El        | 54   | 7 27.61E+3 | -4.876E+3 | 15.14E+3  | 43.92E+3 | 11.70E+3 |                  |  |

Beam Property 4

| Elem no.                       | Load case | Node | Axial      |           |           | Bending   |           | Combined (kN/m2) |  |
|--------------------------------|-----------|------|------------|-----------|-----------|-----------|-----------|------------------|--|
|                                |           |      | A          | By        | Bz        | C1        | C2        |                  |  |
| Maximum values in this output: |           |      |            |           |           |           |           |                  |  |
| Lc.                            |           |      |            |           |           |           |           |                  |  |
| 115                            | El        | 52   | 7-17.03E+3 | -16.45E+3 | -3.302E+3 | -252.2    | -33.80E+3 |                  |  |
| 41                             | El        | 32   | 7-26.71E+3 | 27.20E+3  | 23.25E+3  | 9.078E+3  | -62.49E+3 |                  |  |
| 41                             | El        | 32   | 3-26.70E+3 | 27.19E+3  | 23.25E+3  | 9.027E+3  | -62.83E+3 |                  |  |
| 115                            | El        | 76   | 7-17.18E+3 | 17.12E+3  | 20.73E+3  | 9.703E+3  | -44.07E+3 |                  |  |
| 115                            | El        | 52   | 7-17.03E+3 | -16.45E+3 | -3.302E+3 | -252.2    | -33.80E+3 |                  |  |
| Minimum values in this output: |           |      |            |           |           |           |           |                  |  |
| Lc.                            |           |      |            |           |           |           |           |                  |  |
| 40                             | El        | 20   | 7-26.76E+3 | 27.00E+3  | 22.94E+3  | 8.469E+3  | -62.19E+3 |                  |  |
| 40                             | El        | 20   | 3-26.72E+3 | -27.01E+3 | -22.94E+3 | -9.740E+3 | -62.49E+3 |                  |  |
| 114                            | El        | 51   | 7-17.19E+3 | 16.54E+3  | -3.379E+3 | -205.4    | -34.15E+3 |                  |  |
| 40                             | El        | 7    | 4-21.59E+3 | 20.77E+3  | -1.492E+3 | -768.5    | -42.41E+3 |                  |  |
| 41                             | El        | 32   | 3-26.75E+3 | 27.19E+3  | 23.25E+3  | 9.027E+3  | -62.53E+3 |                  |  |

Beam Property 9

| Elem no.                       | Load case | Node | Axial       |           |           | Bending   |           | Combined (kN/m2) |  |
|--------------------------------|-----------|------|-------------|-----------|-----------|-----------|-----------|------------------|--|
|                                |           |      | A           | By        | Bz        | C1        | C2        |                  |  |
| Maximum values in this output: |           |      |             |           |           |           |           |                  |  |
| Lc.                            |           |      |             |           |           |           |           |                  |  |
| 129                            | El        | 56   | 7-7.974E+3  | 5.379E+3  | -3.098E+3 | -1.767E+3 | -4.18E+3  |                  |  |
| 129                            | El        | 56   | 3-8.403E+3  | 5.459E+3  | -3.114E+3 | -2.118E+3 | -14.69E+3 |                  |  |
| 56                             | El        | 30   | 3-43.11E+3  | -11.82E+3 | 10.92E+3  | -27.03E+3 | -59.19E+3 |                  |  |
| 129                            | El        | 69   | 7-8.142E+3  | -12.15E+3 | -6.028E+3 | 5.421E+3  | -21.70E+3 |                  |  |
| 129                            | El        | 56   | -2-10.67E+3 | 1.918E+3  | -2.681E+3 | -7.372E+3 | -13.92E+3 |                  |  |
| Minimum values in this output: |           |      |             |           |           |           |           |                  |  |
| Lc.                            |           |      |             |           |           |           |           |                  |  |
| 56                             | El        | 30   | 7-43.49E+3  | -11.83E+3 | 10.89E+3  | -27.41E+3 | -59.57E+3 |                  |  |
| 57                             | El        | 29   | 4-19.08E+3  | -13.21E+3 | -372.2    | -5.864E+3 | -2.38E+3  |                  |  |
| 54                             | El        | 24   | 7-42.13E+3  | -11.77E+3 | -11.18E+3 | -26.09E+3 | -59.96E+3 |                  |  |
| 56                             | El        | 16   | 7-43.11E+3  | 1.468E+3  | -4.116E+3 | -27.25E+3 | -48.71E+3 |                  |  |
| 56                             | El        | 30   | 7-43.49E+3  | -11.83E+3 | 10.89E+3  | -27.41E+3 | -59.57E+3 |                  |  |

Beam Property 5

| Elem no.                       | Load case | Node | Axial       |           |           | Bending  |          | Combined (kN/m2) |  |
|--------------------------------|-----------|------|-------------|-----------|-----------|----------|----------|------------------|--|
|                                |           |      | A           | By        | Bz        | C1       | C2       |                  |  |
| Maximum values in this output: |           |      |             |           |           |          |          |                  |  |
| Lc.                            |           |      |             |           |           |          |          |                  |  |
| 273                            | El        | 103  | -3-23.82E+3 | 9-128E+3  | -9-097E+3 | 68-00E+3 | 38-92E+3 |                  |  |
| 125                            | El        | 64   | 3 34.96E+3  | -4.125E+3 | 14.60E+3  | 80.12E+3 | 19.75E+3 |                  |  |
| 123                            | El        | 127  | 7 51.66E+3  | -9.497E+3 | 9.033E+3  | 64.77E+3 | 38.58E+3 |                  |  |
| 274                            | El        | 108  | 1 44.44E+3  | -2.962E+3 | -84.38    | 47.40E+3 | 41.47E+3 |                  |  |
| Minimum values in this output: |           |      |             |           |           |          |          |                  |  |
| Lc.                            |           |      |             |           |           |          |          |                  |  |
| 273                            | El        | 107  | 7 29.30E+3  | 1.646E+3  | -7.893E+3 | 17.32E+3 | 21.28E+3 |                  |  |
| 123                            | El        | 127  | 7 51.66E+3  | -9.497E+3 | 9.033E+3  | 64.77E+3 | 38.58E+3 |                  |  |
| 275                            | El        | 76   | 7 34.89E+3  | 4.142E+3  | -14.56E+3 | 49.99E+3 | 19.71E+3 |                  |  |
| 270                            | El        | 105  | 2 30.85E+3  | 3.969E+3  | 279.3     | 22.82E+3 | 28.86E+3 |                  |  |
| 273                            | El        | 50   | 7 29.33E+3  | 10.49E+3  | -3.293E+3 | 40.32E+3 | 18.33E+3 |                  |  |

Beam Property 10

| Elem no.                       | Load case | Node | Axial      |           |           | Bending  |          | Combined (kN/m2) |  |
|--------------------------------|-----------|------|------------|-----------|-----------|----------|----------|------------------|--|
|                                |           |      | A          | By        | Bz        | C1       | C2       |                  |  |
| Maximum values in this output: |           |      |            |           |           |          |          |                  |  |
| Lc.                            |           |      |            |           |           |          |          |                  |  |
| 60                             | El        | 16   | 7 49.17E+3 | -12.85E+3 | -8.076E+3 | 64.42E+3 | 34.40E+3 |                  |  |
| 50                             | El        | 29   | 7 49.23E+3 | 2.580E+3  | -3.022E+3 | 53.28E+3 | 45.30E+3 |                  |  |
| 133                            | El        | 66   | 3 18.08E+3 | -2.204E+3 | 15.78E+3  | 34.12E+3 | 1.997E+3 |                  |  |
| 60                             | El        | 16   | 7 49.41E+3 | -12.69E+3 | -8.076E+3 | 64.42E+3 | 34.40E+3 |                  |  |
| 60                             | El        | 29   | 7 49.28E+3 | 2.580E+3  | -3.022E+3 | 53.25E+3 | 45.30E+3 |                  |  |
| Minimum values in this output: |           |      |            |           |           |          |          |                  |  |
| Lc.                            |           |      |            |           |           |          |          |                  |  |
| 133                            | El        | 70   | 7 17.54E+3 | -6.026E+3 | -3.652E+3 | 24.68E+3 | 10.49E+3 |                  |  |
| 60                             | El        | 16   | 7 49.41E+3 | -12.85E+3 | -8.076E+3 | 64.42E+3 | 34.40E+3 |                  |  |
| 136                            | El        | 99   | 3 17.69E+3 | -3.070E+3 | -18.66E+3 | 33.68E+3 | 1.728E+3 |                  |  |
| 133                            | El        | 66   | 2 19.81E+3 | -4.061E+3 | -331.2    | 23.88E+3 | 15.74E+3 |                  |  |
| 133                            | El        | 56   | 7 17.68E+3 | -3.136E+3 | 18.74E+3  | 33.73E+3 | 1.528E+3 |                  |  |

Beam Property 6

| Elem no.                       | Load case | Node | Axial      |           |           | Bending  |          | Combined (kN/m2) |  |
|--------------------------------|-----------|------|------------|-----------|-----------|----------|----------|------------------|--|
|                                |           |      | A          | By        | Bz        | C1       | C2       |                  |  |
| Maximum values in this output: |           |      |            |           |           |          |          |                  |  |
| Lc.                            |           |      |            |           |           |          |          |                  |  |
| 44                             | El        | 7    | 7 48.78E+3 | -13.40E+3 | 13.16E+3  | 67.87E+3 | 30.00E+3 |                  |  |
| 45                             | El        | 22   | 3 48.65E+3 | 13.42E+3  | -13.60E+3 | 67.78E+3 | 29.94E+3 |                  |  |
| 44                             | El        | 21   | 7 48.67E+3 | 13.40E+3  | 13.52E+3  | 67.71E+3 | 29.63E+3 |                  |  |
| 45                             | El        | 22   | 3 48.65E+3 | 13.42E+3  | -13.60E+3 | 67.78E+3 | 29.84E+3 |                  |  |
| 45                             | El        | 8    | 5 48.66E+3 | -12.37E+3 | -9.30E+3  | 81.14E+3 | 38.18E+3 |                  |  |
| Minimum values in this output: |           |      |            |           |           |          |          |                  |  |
| Lc.                            |           |      |            |           |           |          |          |                  |  |
| 119                            | El        | 66   | 7 10.21E+3 | 7.71E+3   | -12.18E+3 | 44.82E+3 | 15.68E+3 |                  |  |
| 119                            | El        | 62   | 8 37.80E+3 | -14.46E+3 | 366.3     | 52.28E+3 | 21.34E+3 |                  |  |
| 45                             | El        | 22   | 3 48.65E+3 | 13.42E+3  | -13.60E+3 | 67.78E+3 | 29.94E+3 |                  |  |
| 45                             | El        | 8    | 2 33.03E+3 | -9.173E+3 | -198.3    | 42.81E+3 | 24.48E+3 |                  |  |
| 118                            | El        | 91   | 3 30.47E+3 | -8.081E+3 | 13.38E+3  | 46.08E+3 | 14.67E+3 |                  |  |

Beam Property 11

| Elem no.                       | Load case | Node | Axial      |           |           | Bending  |           | Combined (kN/m2) |  |
|--------------------------------|-----------|------|------------|-----------|-----------|----------|-----------|------------------|--|
|                                |           |      | A          | By        | Bz        | C1       | C2        |                  |  |
| Maximum values in this output: |           |      |            |           |           |          |           |                  |  |
| Lc.                            |           |      |            |           |           |          |           |                  |  |
| 64                             | El        | 14   | 7 17.66E+3 | 3.869E+3  | -21.62E+3 | 39.62E+3 | -4.309E+3 |                  |  |
| 139                            | El        | 97   | 7 9.642E+3 | 11.70E+3  | -19.78E+3 | 32.99E+3 | -13.31E+3 |                  |  |
| 65                             | El        | 27   | 7 16.18E+3 | -11.94E+3 | 19.24E+3  | 38.62E+3 | -6.282E+3 |                  |  |
| 64                             | El        | 27   | 7 17.51E+3 | -11.38E+3 | 19.71E+3  | 39.80E+3 | -4.793E+3 |                  |  |
| 64                             | El        | 14   | 2 15.39E+3 | 8.387E+3  | -14.33E+3 | 51.99E+3 | -1.215E+3 |                  |  |
| Minimum values in this output: |           |      |            |           |           |          |           |                  |  |
| Lc.                            |           |      |            |           |           |          |           |                  |  |
| 63                             | El        | 28   | 7-1.642E+3 | -6.476E+3 | 18.93E+3  | 18.16E+3 | -21.84E+3 |                  |  |
| 65                             | El        | 27   | 12.00E+3   | -14.44E+3 | 14.17E+3  | 32.24E+3 | -8.233E+3 |                  |  |
| 64                             | El        | 14   | 7 17.66E+3 | 3.869E+3  | -21.62E+3 | 39.62E+3 | -4.309E+3 |                  |  |
| 137                            | El        | 98   | 2 100.9    | -6.672E+3 | -60.08    | 5.773E+3 | -6.571E+3 |                  |  |
| 63                             | El        | 28   | 7-1.642E+3 | -6.476E+3 | 18.93E+3  | 18.16E+3 | -21.84E+3 |                  |  |

KOC UNIVERSITESI  
 SPOR SALONU CELIK CATI MAKASLARI  
 TUM YUKLER + ZATI YUK DEP.SERB

|           |           |         |
|-----------|-----------|---------|
| Job No.   | Sheet No. | Rev.    |
| 38035     |           |         |
| Drq. Ref. |           |         |
| Made by   | Date      | Checked |
| EK        | 16-May-98 |         |

BEAM STRESS ENVELOPES

BEAM STRESS ENVELOPES

| Beam Property 12               |       |         |           |                               |           |           |           |
|--------------------------------|-------|---------|-----------|-------------------------------|-----------|-----------|-----------|
| Elem Load Node                 | Axial | Bending |           | Combined [kN/m <sup>2</sup> ] |           |           |           |
| no. case no.                   | A     | By      | Bz        | C1                            | C2        |           |           |
| Maximum values in this output: |       |         |           |                               |           |           |           |
| Lc.                            |       |         |           |                               |           |           |           |
| 220 EI                         | 48    | 3       | -84.17    | 3.323E+3                      | 3.269E+3  | -3.377E+3 |           |
| 216 EI                         | 90    | 7       | -934.5    | 11.39E+3                      | 15.84E+3  | -17.39E+3 |           |
| 216 EI                         | 4     | 3       | -721.2    | 3.610E+3                      | 3.689E+3  | -4.133E+3 |           |
| 215 EI                         | 90    | 7       | -934.5    | 11.39E+3                      | 15.84E+3  | -17.39E+3 |           |
| 220 EI                         | 48    | 2       | -324.5    | 0                             | 13.82     | -310.7    | -338.3    |
| Minimum values in this output: |       |         |           |                               |           |           |           |
| Lc.                            |       |         |           |                               |           |           |           |
| 215 EI                         | 4     | 3       | -71.05E+3 | -5.667E+3                     | -8.75E+3  | 11.38E+3  | -15.47E+3 |
| 214 EI                         | 89    | 7       | -974.3    | -11.06E+3                     | -4.984E+3 | 15.12E+3  | -16.97E+3 |
| 219 EI                         | 47    | 3       | -181.1    | -3.233E+3                     | -8.78E+3  | 11.64E+3  | -12.40E+3 |
| 220 EI                         | 48    | 4       | -388.0    | 0                             | 11.53     | -376.5    | -399.5    |
| 216 EI                         | 90    | 7       | -934.5    | 11.39E+3                      | -5.060E+3 | 15.82E+3  | -17.39E+3 |

| Beam Property 17               |       |         |           |                               |           |           |           |
|--------------------------------|-------|---------|-----------|-------------------------------|-----------|-----------|-----------|
| Elem Load Node                 | Axial | Bending |           | Combined [kN/m <sup>2</sup> ] |           |           |           |
| no. case no.                   | A     | By      | Bz        | C1                            | C2        |           |           |
| Maximum values in this output: |       |         |           |                               |           |           |           |
| Lc.                            |       |         |           |                               |           |           |           |
| 212 EI                         | 6     | 7       | 19.02E+3  | 0                             | 0         | 19.02E+3  | 19.02E+3  |
| 348 EI                         | 4     | 3       | -13.19E+3 | 53.66E+3                      | 8.634E+3  | 41.16E+3  | -67.54E+3 |
| 350 EI                         | 2     | 3       | -13.91E+3 | 52.75E+3                      | 9.809E+3  | 40.70E+3  | -66.83E+3 |
| 349 EI                         | 7     | 12      | 631E+3    | -46.66E+3                     | -9.434E+3 | 50.23E+3  | -34.97E+3 |
| 212 EI                         | 6     | 7       | 19.02E+3  | 0                             | 0         | 19.02E+3  | 19.02E+3  |
| Minimum values in this output: |       |         |           |                               |           |           |           |
| Lc.                            |       |         |           |                               |           |           |           |
| 211 EI                         | 4     | 7       | -26.20E+3 | 0                             | 0         | -26.20E+3 | -26.20E+3 |
| 349 EI                         | 48    | 7       | -12.63E+3 | -46.66E+3                     | -9.424E+3 | 60.23E+3  | -34.97E+3 |
| 381 EI                         | 46    | 7       | -12.64E+3 | -48.88E+3                     | -10.89E+3 | 59.90E+3  | -34.22E+3 |
| 211 EI                         | 4     | 7       | -26.20E+3 | 0                             | 0         | -26.20E+3 | -26.20E+3 |
| 348 EI                         | 4     | 3       | -13.19E+3 | 53.66E+3                      | 8.634E+3  | 41.16E+3  | -67.54E+3 |

| Beam Property 13               |       |         |           |                               |    |           |           |
|--------------------------------|-------|---------|-----------|-------------------------------|----|-----------|-----------|
| Elem Load Node                 | Axial | Bending |           | Combined [kN/m <sup>2</sup> ] |    |           |           |
| no. case no.                   | A     | By      | Bz        | C1                            | C2 |           |           |
| Maximum values in this output: |       |         |           |                               |    |           |           |
| Lc.                            |       |         |           |                               |    |           |           |
| 172 EI                         | 57    | 4       | 11.08E+3  | 0                             | 0  | 11.08E+3  | 11.08E+3  |
| 167 EI                         | 51    | 1       | 699.4     | 0                             | 0  | 699.4     | 699.4     |
| 167 EI                         | 51    | 1       | 699.4     | 0                             | 0  | 699.4     | 699.4     |
| 172 EI                         | 57    | 4       | 11.08E+3  | 0                             | 0  | 11.08E+3  | 11.08E+3  |
| 172 EI                         | 57    | 4       | 11.08E+3  | 0                             | 0  | 11.08E+3  | 11.08E+3  |
| Minimum values in this output: |       |         |           |                               |    |           |           |
| Lc.                            |       |         |           |                               |    |           |           |
| 178 EI                         | 52    | 7       | -31.39E+3 | 0                             | 0  | -31.39E+3 | -31.39E+3 |
| 167 EI                         | 51    | 1       | 699.4     | 0                             | 0  | 699.4     | 699.4     |
| 167 EI                         | 51    | 1       | 699.4     | 0                             | 0  | 699.4     | 699.4     |
| 178 EI                         | 52    | 7       | -31.39E+3 | 0                             | 0  | -31.39E+3 | -31.39E+3 |
| 178 EI                         | 52    | 7       | -31.39E+3 | 0                             | 0  | -31.39E+3 | -31.39E+3 |

| Beam Property 18               |       |         |       |                               |    |       |       |
|--------------------------------|-------|---------|-------|-------------------------------|----|-------|-------|
| Elem Load Node                 | Axial | Bending |       | Combined [kN/m <sup>2</sup> ] |    |       |       |
| no. case no.                   | A     | By      | Bz    | C1                            | C2 |       |       |
| Maximum values in this output: |       |         |       |                               |    |       |       |
| Lc.                            |       |         |       |                               |    |       |       |
| 221 EI                         | 89    | 8       | 12.46 | 0                             | 0  | 12.46 | 12.46 |
| 221 EI                         | 89    | 1       | 1.610 | 0                             | 0  | 1.610 | 1.610 |
| 221 EI                         | 89    | 1       | 1.610 | 0                             | 0  | 1.610 | 1.610 |
| 221 EI                         | 89    | 8       | 12.46 | 0                             | 0  | 12.46 | 12.46 |
| 221 EI                         | 89    | 8       | 12.46 | 0                             | 0  | 12.46 | 12.46 |
| Minimum values in this output: |       |         |       |                               |    |       |       |
| Lc.                            |       |         |       |                               |    |       |       |
| 222 EI                         | 90    | 2       | 1.370 | 0                             | 0  | 1.370 | 1.370 |
| 221 EI                         | 89    | 1       | 1.610 | 0                             | 0  | 1.610 | 1.610 |
| 221 EI                         | 89    | 1       | 1.610 | 0                             | 0  | 1.610 | 1.610 |
| 222 EI                         | 90    | 2       | 1.370 | 0                             | 0  | 1.370 | 1.370 |
| 222 EI                         | 90    | 2       | 1.370 | 0                             | 0  | 1.370 | 1.370 |

| Beam Property 14               |       |         |           |                               |           |           |           |
|--------------------------------|-------|---------|-----------|-------------------------------|-----------|-----------|-----------|
| Elem Load Node                 | Axial | Bending |           | Combined [kN/m <sup>2</sup> ] |           |           |           |
| no. case no.                   | A     | By      | Bz        | C1                            | C2        |           |           |
| Maximum values in this output: |       |         |           |                               |           |           |           |
| Lc.                            |       |         |           |                               |           |           |           |
| 193 EI                         | 8     | 7       | 125.2E+3  | -2.620E+6                     | -1.962E+6 | 125.2E+3  | 125.2E+3  |
| 191 EI                         | 17    | 1       | 10.96E+3  | 13.04E+6                      | 3.260E+6  | -10.96E+3 | -10.96E+3 |
| 191 EI                         | 17    | 2       | -9.099E+3 | 13.04E+6                      | 4.564E+6  | -9.099E+3 | -9.099E+3 |
| 193 EI                         | 8     | 7       | 125.2E+3  | -2.620E+6                     | -1.962E+6 | 125.2E+3  | 125.2E+3  |
| 193 EI                         | 8     | 7       | 125.2E+3  | -2.620E+6                     | -1.962E+6 | 125.2E+3  | 125.2E+3  |
| Minimum values in this output: |       |         |           |                               |           |           |           |
| Lc.                            |       |         |           |                               |           |           |           |
| 186 EI                         | 57    | 7       | -39.61E+3 | -2.611E+6                     | 0         | -39.61E+3 | -39.61E+3 |
| 186 EI                         | 57    | 7       | -39.61E+3 | -2.611E+6                     | 0         | -39.61E+3 | -39.61E+3 |
| 184 EI                         | 55    | 3       | 38.36E+3  | 5.216E+6                      | 5.868E+6  | 38.36E+3  | 38.36E+3  |
| 186 EI                         | 57    | 7       | -39.61E+3 | -2.611E+6                     | 0         | -39.61E+3 | -39.61E+3 |
| 186 EI                         | 57    | 7       | -39.61E+3 | -2.611E+6                     | 0         | -39.61E+3 | -39.61E+3 |

| Beam Property 19               |       |         |           |                               |    |           |           |
|--------------------------------|-------|---------|-----------|-------------------------------|----|-----------|-----------|
| Elem Load Node                 | Axial | Bending |           | Combined [kN/m <sup>2</sup> ] |    |           |           |
| no. case no.                   | A     | By      | Bz        | C1                            | C2 |           |           |
| Maximum values in this output: |       |         |           |                               |    |           |           |
| Lc.                            |       |         |           |                               |    |           |           |
| 224 EI                         | 65    | 1       | 1.224E+3  | 0                             | 0  | 1.224E+3  | 1.224E+3  |
| 223 EI                         | 64    | 1       | 978.8     | 0                             | 0  | 978.8     | 978.8     |
| 223 EI                         | 64    | 1       | 978.8     | 0                             | 0  | 978.8     | 978.8     |
| 224 EI                         | 65    | 1       | 1.224E+3  | 0                             | 0  | 1.224E+3  | 1.224E+3  |
| 224 EI                         | 65    | 1       | 1.224E+3  | 0                             | 0  | 1.224E+3  | 1.224E+3  |
| Minimum values in this output: |       |         |           |                               |    |           |           |
| Lc.                            |       |         |           |                               |    |           |           |
| 224 EI                         | 74    | 8       | -10.40E+3 | 0                             | 0  | -10.40E+3 | -10.40E+3 |
| 223 EI                         | 64    | 1       | 978.8     | 0                             | 0  | 978.8     | 978.8     |
| 223 EI                         | 64    | 1       | 978.8     | 0                             | 0  | 978.8     | 978.8     |
| 232 EI                         | 74    | 8       | -10.40E+3 | 0                             | 0  | -10.40E+3 | -10.40E+3 |
| 232 EI                         | 74    | 8       | -10.40E+3 | 0                             | 0  | -10.40E+3 | -10.40E+3 |

| Beam Property 15               |       |         |           |                               |    |           |           |
|--------------------------------|-------|---------|-----------|-------------------------------|----|-----------|-----------|
| Elem Load Node                 | Axial | Bending |           | Combined [kN/m <sup>2</sup> ] |    |           |           |
| no. case no.                   | A     | By      | Bz        | C1                            | C2 |           |           |
| Maximum values in this output: |       |         |           |                               |    |           |           |
| Lc.                            |       |         |           |                               |    |           |           |
| 195 EI                         | 79    | 4       | 2.703E+3  | 0                             | 0  | 2.703E+3  | 2.703E+3  |
| 194 EI                         | 77    | 1       | 135.4     | 0                             | 0  | 135.4     | 135.4     |
| 194 EI                         | 77    | 1       | 135.4     | 0                             | 0  | 135.4     | 135.4     |
| 199 EI                         | 79    | 4       | 2.703E+3  | 0                             | 0  | 2.703E+3  | 2.703E+3  |
| 195 EI                         | 79    | 4       | 2.703E+3  | 0                             | 0  | 2.703E+3  | 2.703E+3  |
| Minimum values in this output: |       |         |           |                               |    |           |           |
| Lc.                            |       |         |           |                               |    |           |           |
| 206 EI                         | 78    | 7       | -7.203E+3 | 0                             | 0  | -7.203E+3 | -7.203E+3 |
| 194 EI                         | 77    | 1       | 135.4     | 0                             | 0  | 135.4     | 135.4     |
| 194 EI                         | 77    | 1       | 135.4     | 0                             | 0  | 135.4     | 135.4     |
| 206 EI                         | 78    | 7       | -7.203E+3 | 0                             | 0  | -7.203E+3 | -7.203E+3 |
| 206 EI                         | 78    | 7       | -7.203E+3 | 0                             | 0  | -7.203E+3 | -7.203E+3 |

| Beam Property 20               |       |         |           |                               |           |           |           |
|--------------------------------|-------|---------|-----------|-------------------------------|-----------|-----------|-----------|
| Elem Load Node                 | Axial | Bending |           | Combined [kN/m <sup>2</sup> ] |           |           |           |
| no. case no.                   | A     | By      | Bz        | C1                            | C2        |           |           |
| Maximum values in this output: |       |         |           |                               |           |           |           |
| Lc.                            |       |         |           |                               |           |           |           |
| 248 EI                         | 29    | 3       | 22.93E+3  | -26.08E+6                     | 1.260E+6  | 22.93E+3  | 22.93E+3  |
| 240 EI                         | 68    | 3       | 21.65E+3  | 46.95E+6                      | -652.0E+9 | 21.65E+3  | 21.65E+3  |
| 248 EI                         | 29    | 3       | 22.93E+3  | -26.08E+6                     | 1.260E+6  | 22.93E+3  | 22.93E+3  |
| 248 EI                         | 29    | 3       | 22.93E+3  | -26.08E+6                     | 1.260E+6  | 22.93E+3  | 22.93E+3  |
| 248 EI                         | 29    | 3       | 22.93E+3  | -26.08E+6                     | 1.260E+6  | 22.93E+3  | 22.93E+3  |
| Minimum values in this output: |       |         |           |                               |           |           |           |
| Lc.                            |       |         |           |                               |           |           |           |
| 236 EI                         | 46    | 1       | -6.157E+3 | 5.216E+6                      | -3.423E+6 | -6.157E+3 | -6.157E+3 |
| 244 EI                         | 48    | 7       | 15.94E+3  | -51.99E+6                     | -2.787E+6 | 15.94E+3  | 15.94E+3  |
| 236 EI                         | 46    | 1       | -6.157E+3 | 5.216E+6                      | -3.423E+6 | -6.157E+3 | -6.157E+3 |
| 236 EI                         | 46    | 1       | -6.157E+3 | 5.216E+6                      | -3.423E+6 | -6.157E+3 | -6.157E+3 |
| 236 EI                         | 46    | 1       | -6.157E+3 | 5.216E+6                      | -3.423E+6 | -6.157E+3 | -6.157E+3 |

| Beam Property 16               |       |         |           |                               |    |           |           |
|--------------------------------|-------|---------|-----------|-------------------------------|----|-----------|-----------|
| Elem Load Node                 | Axial | Bending |           | Combined [kN/m <sup>2</sup> ] |    |           |           |
| no. case no.                   | A     | By      | Bz        | C1                            | C2 |           |           |
| Maximum values in this output: |       |         |           |                               |    |           |           |
| Lc.                            |       |         |           |                               |    |           |           |
| 207 EI                         | 2     | 3       | 3.212E+3  | 0                             | 0  | 3.212E+3  | 3.212E+3  |
| 166 EI                         | 49    | 1       | 1.252E+3  | 0                             | 0  | 1.252E+3  | 1.252E+3  |
| 166 EI                         | 49    | 1       | 1.252E+3  | 0                             | 0  | 1.252E+3  | 1.252E+3  |
| 207 EI                         | 2     | 3       | 3.212E+3  | 0                             | 0  | 3.212E+3  | 3.212E+3  |
| 207 EI                         | 2     | 3       | 3.212E+3  | 0                             | 0  | 3.212E+3  | 3.212E+3  |
| Minimum values in this output: |       |         |           |                               |    |           |           |
| Lc.                            |       |         |           |                               |    |           |           |
| 179 EI                         | 50    | 7       | -7.054E+3 | 0                             | 0  | -7.054E+3 | -7.054E+3 |
| 166 EI                         | 49    | 1       | 1.252E+3  | 0                             | 0  | 1.252E+3  | 1.252E+3  |
| 166 EI                         | 49    | 1       | 1.252E+3  | 0                             | 0  | 1.252E+3  | 1.252E+3  |
| 179 EI                         | 50    | 7       | -7.054E+3 | 0                             | 0  | -7.054E+3 | -7.054E+3 |
| 179 EI                         | 50    | 7       | -7.054E+3 | 0                             | 0  | -7.054E+3 | -7.054E+3 |

| Beam Property 21               |       |         |           |                               |           |           |           |
|--------------------------------|-------|---------|-----------|-------------------------------|-----------|-----------|-----------|
| Elem Load Node                 | Axial | Bending |           | Combined [kN/m <sup>2</sup> ] |           |           |           |
| no. case no.                   | A     | By      | Bz        | C1                            | C2        |           |           |
| Maximum values in this output: |       |         |           |                               |           |           |           |
| Lc.                            |       |         |           |                               |           |           |           |
| 361 EI                         | 81    | 8       | 19.85E+3  | 8.909E+3                      | 1.406E+3  | 28.87E+3  | 10.82E+3  |
| 360 EI                         | 68    | 3       | -16.82E+3 | 12.73E+3                      | -3.308E+3 | -3.670E+3 | -29.98E+3 |
| 388 EI                         | 22    | 7       | 9.565E+3  | 10.07E+3                      | 8.365E+3  | 3.529E+3  | -22.68E+3 |
| 361 EI                         | 81    | 8       | 19.85E+3  | 8.909E+3                      | 1.406E+3  | 28.87E+3  | 10.82E+3  |
| 361 EI                         | 81    | 8       | 19.85E+3  | 8.909E+3                      | 1.406E+3  | 28.87E+3  | 10.82E+3  |
| Minimum values in this output: |       |         |           |                               |           |           |           |
| Lc.                            |       |         |           |                               |           |           |           |
| 360 EI                         | 68    | 3       | -16.82E+3 | 12.73E+3                      | -3.308E+3 | -3.670E+3 | -29.98E+3 |
| 382 EI                         | 26    | 3       | 3.084E+3  | -18.47E+3                     | -2.608E+3 | 3.084E+3  | 3.084E+3  |
| 363 EI                         | 21    | 3       | -8.833E+3 | 9.917E+3                      | -8.250E+3 | 4.067E+3  | -21.73E+3 |
| 360 EI                         | 68    | 3       | -16.82E+3 | 12.73E+3                      | -3.308E+3 | -3.670E+3 | -29.98E+3 |
| 360 EI                         | 68    | 3       | -16.82E+3 | 12.73E+3                      | -3.308E+3 | -3.670E+3 | -29.98E+3 |

**KOC UNIVERSITESI**

SPOR SALONU CELIK CATI MAKASLARI

TUM YUKLER + ZATI YUK DEP.SERB

|           |           |         |
|-----------|-----------|---------|
| Job No.   | Sheet No. | Rev.    |
| 38035     |           |         |
| Drg. Ref. |           |         |
| Made by   | Date      | Checked |
| SK        | 16-May-98 |         |

**BEAM STRESS ENVELOPES**

Beam Property 22

| Elem no.                       | Load case no. | Node | Axial A   | Bending By | Bz        | Combined C1 | C2        |
|--------------------------------|---------------|------|-----------|------------|-----------|-------------|-----------|
| Maximum values in this output: |               |      |           |            |           |             |           |
| Lc.                            |               |      |           |            |           |             |           |
| 287                            | EL 94         | 7    | 2.622E+3  | 7.754E+3   | -1.847E+3 | 10.59E+3    | -5.349E+3 |
| 284                            | EL 114        | 3    | -2.814E+3 | 20.23E+3   | 12.28E+3  | 20.85E+3    | -26.48E+3 |
| 258                            | EL 4          | 3    | -11.04E+3 | 5.851E+3   | 147.8E+3  | 136.9E+3    | -159.0E+3 |
| 260                            | EL 48         | 7    | -3.998E+3 | 6.089E+3   | 145.9E+3  | 142.0E+3    | -190.0E+3 |
| 327                            | EL 95         | 3    | 2.347E+3  | 6.508E+3   | 895.8     | 8.916E+3    | -4.222E+3 |
| Minimum values in this output: |               |      |           |            |           |             |           |
| Lc.                            |               |      |           |            |           |             |           |
| 259                            | EL 4          | 3    | -11.04E+3 | 5.861E+3   | 147.8E+3  | 136.9E+3    | -159.0E+3 |
| 308                            | EL 2          | 2    | -6.582E+3 | 5.134E+3   | -413.5    | -1.401E+3   | -11.70E+3 |
| 308                            | EL 2          | 7    | -10.48E+3 | 5.820E+3   | -144.9E+3 | 134.8E+3    | -188.4E+3 |
| 260                            | EL 48         | 7    | -3.998E+3 | 5.919E+3   | 454.7     | -1.692E+3   | -13.82E+3 |
| 258                            | EL 4          | 3    | -11.04E+3 | 5.861E+3   | 147.8E+3  | 136.9E+3    | -159.0E+3 |

Beam Property 23

| Elem no.                       | Load case no. | Node | Axial A   | Bending By | Bz          | Combined C1 | C2        |
|--------------------------------|---------------|------|-----------|------------|-------------|-------------|-----------|
| Maximum values in this output: |               |      |           |            |             |             |           |
| Lc.                            |               |      |           |            |             |             |           |
| 315                            | EL 121        | 7    | 10.05E+3  | 15.21E+3   | (786.4)     | 26.05E+3    | -5.477E+3 |
| 263                            | EL 103        | 3    | -4.991E+3 | 42.33E+3   | [-18.23E+3] | 44.80E+3    | -65.55E+3 |
| 311                            | EL 122        | 7    | -4.936E+3 | -30.40E+3  | [-21.42E+3] | 34.23E+3    | -86.75E+3 |
| 263                            | EL 103        | 3    | -4.991E+3 | 42.33E+3   | [-18.23E+3] | 44.80E+3    | -65.55E+3 |
| 312                            | EL 64         | 4    | 9.688E+3  | -6.611E+3  | [-466.9]    | 16.49E+3    | 2.611E+3  |
| Minimum values in this output: |               |      |           |            |             |             |           |
| Lc.                            |               |      |           |            |             |             |           |
| 310                            | EL 100        | 4    | -9.803E+3 | -2.024E+3  | (127.2)     | -7.682E+3   | -11.88E+3 |
| 263                            | EL 103        | 3    | -4.991E+3 | 42.33E+3   | [-18.23E+3] | 44.80E+3    | -65.55E+3 |
| 311                            | EL 122        | 7    | -4.936E+3 | -30.40E+3  | [-21.42E+3] | 34.23E+3    | -86.75E+3 |
| 310                            | EL 100        | 4    | -9.803E+3 | -2.024E+3  | (127.2)     | -7.682E+3   | -11.88E+3 |
| 263                            | EL 103        | 3    | -4.991E+3 | 42.33E+3   | [-18.23E+3] | 44.80E+3    | -65.55E+3 |

Beam Property 24

| Elem no.                       | Load case no. | Node | Axial A  | Bending By | Bz        | Combined C1 | C2        |
|--------------------------------|---------------|------|----------|------------|-----------|-------------|-----------|
| Maximum values in this output: |               |      |          |            |           |             |           |
| Lc.                            |               |      |          |            |           |             |           |
| 333                            | EL 95         | 3    | 4.014E+3 | 7.924E+3   | -9.290E+3 | 16.22E+3    | -8.190E+3 |
| 291                            | EL 94         | 3    | 3.889E+3 | 9.636E+3   | -11.92E+3 | 19.22E+3    | -11.44E+3 |
| 333                            | EL 95         | 3    | 4.014E+3 | 7.924E+3   | 283.1     | 11.12E+3    | -3.870E+3 |
| 291                            | EL 94         | 3    | 3.889E+3 | 9.636E+3   | -11.92E+3 | 19.22E+3    | -11.44E+3 |
| 291                            | EL 119        | 2    | -784.2   | -241.6     | -74.03    | 4.174E+3    | 1.668E+3  |
| Minimum values in this output: |               |      |          |            |           |             |           |
| Lc.                            |               |      |          |            |           |             |           |
| 289                            | EL 97         | 2    | 2.462E+3 | 436.8      | 1.891     | 3.098E+3    | 2.225E+3  |
| 289                            | EL 117        | 7    | 3.746E+3 | -11.007E+3 | -6.789E+3 | 10.48E+3    | -3.377E+3 |
| 291                            | EL 94         | 3    | 3.889E+3 | 9.636E+3   | -11.92E+3 | 19.22E+3    | -11.44E+3 |
| 289                            | EL 97         | 2    | 2.462E+3 | 436.8      | 1.891     | 3.098E+3    | 2.225E+3  |
| 291                            | EL 94         | 3    | 3.889E+3 | 9.636E+3   | -11.92E+3 | 19.22E+3    | -11.44E+3 |

Beam Property 25

| Elem no.                       | Load case no. | Node | Axial A   | Bending By | Bz          | Combined C1 | C2        |
|--------------------------------|---------------|------|-----------|------------|-------------|-------------|-----------|
| Maximum values in this output: |               |      |           |            |             |             |           |
| Lc.                            |               |      |           |            |             |             |           |
| 298                            | EL 110        | 7    | 11.21E+3  | 18.54E+3   | [-4.71E+3]  | 34.78E+3    | -9.18E+3  |
| 338                            | EL 130        | 7    | 12.85E+3  | 41.11E+3   | [-16.95E+3] | 70.91E+3    | -35.19E+3 |
| 335                            | EL 129        | 7    | 13.00E+3  | 32.67E+3   | [-27.77E+3] | 73.45E+3    | -31.04E+3 |
| 335                            | EL 129        | 7    | 13.00E+3  | 32.67E+3   | [-27.77E+3] | 73.45E+3    | -31.04E+3 |
| 299                            | EL 119        | 2    | -784.2    | -1.826E+3  | (87.88)     | 1.159E+3    | -2.616E+3 |
| Minimum values in this output: |               |      |           |            |             |             |           |
| Lc.                            |               |      |           |            |             |             |           |
| 337                            | EL 130        | 7    | -1.218E+3 | 10.95E+3   | [-4.817E+3] | 14.58E+3    | -14.14E+3 |
| 338                            | EL 130        | 7    | 12.85E+3  | 41.11E+3   | [-16.95E+3] | 70.91E+3    | -35.19E+3 |
| 335                            | EL 126        | 7    | 13.00E+3  | -17.07E+3  | [-28.62E+3] | 41.79E+3    | -32.69E+3 |
| 299                            | EL 119        | 2    | -784.2    | -1.826E+3  | (87.88)     | 1.159E+3    | -2.616E+3 |
| 338                            | EL 130        | 7    | 12.85E+3  | 41.11E+3   | [-16.95E+3] | 70.91E+3    | -35.19E+3 |

|            |                |            |
|------------|----------------|------------|
| Job No.    | Sheet No.      | Rev.       |
| 38035      |                |            |
| Drg. Ref.  |                |            |
| Made by SK | Date Apr-24-97 | Data GYM12 |
| Checked    |                |            |

KOC UNIVERSITESI  
SPOR SALONU  
CELIK CATI ANA MAKASLARI t.seh

Type of Structure: GENERAL 3D  
Global Restraints: none  
Input Data Units: mm = T s deg.C Gravity = 9.80665 m/s2  
Results Units: - same as input data units  
Number of Nodes = 44 Highest Node = 44  
Number of Elements = 70 Highest Element = 91  
Number of Basic Loadcases = 3 Highest Basic Loadcase = 3  
Number of Combination Loadcases = 0  
Number of Envelopes = 0  
Modal Specification:  
Number of Automatic Masters = 0  
Number of Modes = 3  
Start MODS = 1  
Self-mass: DYNAMICAL  
Additional mass: Loadcase: 0 Direction: Scale factor:  
Static Loadcase Titles:  
Basic Loadcases:  
1 dussey yukler  
2  
3

ANALYSIS BY GSA Version 6s016

Buckling analysis of loadcase 1

| Nodes | X      | Y  | Z      | Axis |
|-------|--------|----|--------|------|
| 1     | .0     | .0 | -9.000 |      |
| 2     | .0     | .0 | 4.000  |      |
| 3     | 50.400 | .0 | -9.000 |      |
| 4     | 50.400 | .0 | 4.000  |      |
| 5     | .0     | .0 | 6.000  |      |
| 6     | 50.400 | .0 | 6.000  |      |
| 7     | 3.113  | .0 | 6.945  |      |
| 8     | 47.287 | .0 | 6.945  |      |
| 9     | 7.053  | .0 | 7.951  |      |
| 10    | 11.038 | .0 | 8.758  |      |
| 11    | 15.059 | .0 | 9.366  |      |
| 12    | 19.105 | .0 | 9.771  |      |
| 13    | 23.167 | .0 | 9.975  |      |
| 14    | 27.233 | .0 | 9.975  |      |
| 15    | 31.295 | .0 | 9.771  |      |
| 16    | 35.341 | .0 | 9.366  |      |
| 17    | 39.362 | .0 | 8.758  |      |
| 18    | 43.347 | .0 | 7.951  |      |
| 19    | 45.200 | .0 | 7.053  |      |
| 20    | 3.113  | .0 | 4.945  |      |
| 21    | 5.077  | .0 | 5.473  |      |
| 22    | 45.323 | .0 | 5.473  |      |
| 23    | 9.041  | .0 | 6.380  |      |
| 24    | 13.045 | .0 | 7.057  |      |
| 25    | 17.060 | .0 | 7.594  |      |
| 26    | 21.135 | .0 | 7.898  |      |
| 27    | 25.200 | .0 | 8.000  |      |
| 28    | 29.265 | .0 | 7.898  |      |
| 29    | 33.320 | .0 | 7.594  |      |
| 30    | 37.355 | .0 | 7.057  |      |
| 31    | 41.359 | .0 | 6.380  |      |
| 32    | 47.287 | .0 | 4.945  |      |
| 33    | 1.957  | .0 | 6.473  |      |
| 34    | 48.844 | .0 | 6.473  |      |
| 35    | 3.053  | .0 | 7.448  |      |
| 36    | 9.846  | .0 | 8.355  |      |
| 37    | 13.049 | .0 | 9.062  |      |
| 38    | 17.082 | .0 | 9.569  |      |
| 39    | 21.136 | .0 | 9.873  |      |
| 40    | 25.204 | .0 | 9.873  |      |
| 41    | 29.310 | .0 | 9.569  |      |
| 42    | 37.352 | .0 | 9.062  |      |
| 43    | 41.355 | .0 | 8.355  |      |
| 44    | 45.317 | .0 | 7.448  |      |

| Elem. No. | Type | Fixity xx yy zz | Prop. No. | Group | Topology End 1 End 2 | 3rd Node | Length [m] |
|-----------|------|-----------------|-----------|-------|----------------------|----------|------------|
| 49        | BEAM | E/E E/E E/E     | 7         | 7     | 31 17                |          | 3.105      |
| 50        | BEAM | E/E E/E E/E     | 8         | 8     | 9 23                 |          | 2.934      |
| 51        | BEAM | E/E E/E E/E     | 8         | 8     | 19 31                |          | 2.934      |
| 52        | BEAM | E/E E/E E/E     | 8         | 8     | 17 30                |          | 2.612      |
| 53        | BEAM | E/E E/E E/E     | 8         | 8     | 10 24                |          | 2.612      |
| 54        | BEAM | E/E E/E E/E     | 9         | 9     | 24 11                |          | 3.041      |
| 55        | BEAM | E/E E/E E/E     | 9         | 9     | 25 12                |          | 2.973      |
| 56        | BEAM | E/E E/E E/E     | 9         | 9     | 30 16                |          | 3.041      |
| 57        | BEAM | E/E E/E E/E     | 9         | 9     | 29 15                |          | 2.973      |
| 58        | BEAM | E/E E/E E/E     | 10        | 10    | 11 25                |          | 2.688      |
| 59        | BEAM | E/E E/E E/E     | 10        | 10    | 12 26                |          | 2.762      |
| 60        | BEAM | E/E E/E E/E     | 10        | 10    | 15 29                |          | 2.688      |
| 61        | BEAM | E/E E/E E/E     | 10        | 10    | 15 26                |          | 2.762      |
| 62        | BEAM | E/E E/E E/E     | 11        | 11    | 26 13                |          | 2.906      |
| 63        | BEAM | E/E E/E E/E     | 11        | 11    | 28 14                |          | 2.906      |
| 64        | BEAM | E/E E/E E/E     | 11        | 11    | 14 27                |          | 2.834      |
| 65        | BEAM | E/E E/E E/E     | 11        | 11    | 27 13                |          | 2.834      |
| 66        | BEAM | E/E E/E E/E     | 2         | 2     | 5 33                 |          | 1.627      |
| 67        | BEAM | E/E E/E E/E     | 2         | 2     | 13 7                 |          | 1.626      |
| 68        | BEAM | E/E E/E E/E     | 2         | 2     | 8 34                 |          | 1.627      |
| 69        | BEAM | E/E E/E E/E     | 2         | 2     | 34 6                 |          | 1.626      |
| 70        | BEAM | E/E E/E E/E     | 2         | 2     | 7 35                 |          | 2.033      |
| 71        | BEAM | E/E E/E E/E     | 2         | 2     | 35 9                 |          | 2.033      |
| 72        | BEAM | E/E E/E E/E     | 2         | 2     | 9 36                 |          | 2.034      |
| 73        | BEAM | E/E E/E E/E     | 2         | 2     | 36 10                |          | 2.032      |
| 74        | BEAM | E/E E/E E/E     | 2         | 2     | 10 37                |          | 2.034      |
| 75        | BEAM | E/E E/E E/E     | 2         | 2     | 37 11                |          | 2.033      |
| 76        | BEAM | E/E E/E E/E     | 2         | 2     | 11 38                |          | 2.033      |
| 77        | BEAM | E/E E/E E/E     | 2         | 2     | 38 12                |          | 2.033      |
| 78        | BEAM | E/E E/E E/E     | 2         | 2     | 12 39                |          | 2.034      |
| 79        | BEAM | E/E E/E E/E     | 2         | 2     | 39 13                |          | 2.034      |
| 80        | BEAM | E/E E/E E/E     | 2         | 2     | 14 40                |          | 2.034      |
| 81        | BEAM | E/E E/E E/E     | 2         | 2     | 40 15                |          | 2.034      |
| 82        | BEAM | E/E E/E E/E     | 2         | 2     | 15 41                |          | 2.033      |
| 83        | BEAM | E/E E/E E/E     | 2         | 2     | 41 16                |          | 2.033      |
| 84        | BEAM | E/E E/E E/E     | 2         | 2     | 16 42                |          | 2.034      |
| 85        | BEAM | E/E E/E E/E     | 2         | 2     | 42 17                |          | 2.033      |
| 86        | BEAM | E/E E/E E/E     | 2         | 2     | 17 43                |          | 2.033      |
| 87        | BEAM | E/E E/E E/E     | 2         | 2     | 43 18                |          | 2.033      |
| 88        | BEAM | E/E E/E E/E     | 2         | 2     | 18 44                |          | 2.033      |
| 89        | BEAM | E/E E/E E/E     | 2         | 2     | 44 8                 |          | 2.033      |
| 90        | BEAM | E/E E/P E/E     | 12        | 12    | 1 2                  |          | 13.00 V    |
| 91        | BEAM | E/E E/P E/E     | 12        | 12    | 3 4                  |          | 13.00 V    |

Beam Properties

\* indicates that properties are derived from the Beam Sections module

| Prop. | Units | Area [m2] | Iyy [m4] | Izz [m4] | Ixy [m4] | Sxx [m3] | Syy [m3] | Szz [m3] | Sxy [m3] | Syz [m3] | Sxz [m3] |
|-------|-------|-----------|----------|----------|----------|----------|----------|----------|----------|----------|----------|
| 1*    |       | 12.92E-3  | 107.1E-6 | 107.1E-6 | 0        | 214.1E-6 | .000     | .500     | .000     | .500     | .000     |
| 2*    |       | 12.92E-3  | 107.1E-6 | 107.1E-6 | 0        | 214.1E-6 | .000     | .500     | .000     | .500     | .000     |
| 3*    |       | 8.93E-3   | 35.54E-6 | 35.54E-6 | 0        | 71.09E-6 | .498     | .498     | .000     | .498     | .000     |
| 4*    |       | 7.11E-3   | 24.34E-6 | 24.34E-6 | 0        | 49.33E-6 | .498     | .498     | .000     | .498     | .000     |
| 5*    |       | 5.77E-3   | 20.16E-6 | 20.16E-6 | 0        | 40.31E-6 | .498     | .498     | .000     | .498     | .000     |
| 6*    |       | 4.56E-3   | 16.30E-6 | 16.30E-6 | 0        | 32.60E-6 | .498     | .498     | .000     | .498     | .000     |
| 7*    |       | 3.70E-3   | 13.20E-6 | 13.20E-6 | 0        | 26.40E-6 | .498     | .498     | .000     | .498     | .000     |
| 8*    |       | 2.96E-3   | 10.20E-6 | 10.20E-6 | 0        | 21.40E-6 | .498     | .498     | .000     | .498     | .000     |
| 9*    |       | 2.36E-3   | 7.80E-6  | 7.80E-6  | 0        | 16.40E-6 | .498     | .498     | .000     | .498     | .000     |
| 10*   |       | 1.86E-3   | 6.00E-6  | 6.00E-6  | 0        | 12.40E-6 | .498     | .498     | .000     | .498     | .000     |
| 11*   |       | 1.46E-3   | 4.60E-6  | 4.60E-6  | 0        | 9.40E-6  | .498     | .498     | .000     | .498     | .000     |
| 12*   |       | 1.10E-3   | 3.50E-6  | 3.50E-6  | 0        | 7.00E-6  | .498     | .498     | .000     | .498     | .000     |

Beam Sections

Modified Properties labelled \* are factors of the section properties  
Derived properties are listed in the Beam Properties module above

| Prop. | Section Name | Area | Iyy | Izz | Torsion | Sy | Sz |
|-------|--------------|------|-----|-----|---------|----|----|
| 1     | CHS273x16.0  |      |     |     |         |    |    |
| 2     | CHS273x16.0  |      |     |     |         |    |    |
| 3     | CHS193x16.0  |      |     |     |         |    |    |
| 4     | CHS193x12.5  |      |     |     |         |    |    |
| 5     | CHS193x10.0  |      |     |     |         |    |    |
| 6     | CHS193x8.0   |      |     |     |         |    |    |
| 7     | CHS193x6.3   |      |     |     |         |    |    |
| 8     | CHS193x6.3   |      |     |     |         |    |    |
| 9     | CHS193x5.0   |      |     |     |         |    |    |
| 10    | CHS193x5.0   |      |     |     |         |    |    |
| 11    | CHS193x5.0   |      |     |     |         |    |    |
| 12    | CHS150x600   |      |     |     |         |    |    |

Note: General sections are specified in [mm] as follows:  
G88 Depth x Width

Restraints

| Rest. | Trans. | Rot. | Plane of nodes | Plane datum | List of nodes |
|-------|--------|------|----------------|-------------|---------------|
| 1     | r      | r    | r              | r           | 1 3           |

Node Loads

| Node | Loadcase | Direction | Value  |
|------|----------|-----------|--------|
| 9    | 1        | PZ        | -14.50 |
| 9    | 1        | PZ        | -14.50 |
| 7    | 1        | PZ        | -14.50 |
| 8    | 1        | PZ        | -14.50 |
| 9    | 1        | PZ        | -14.50 |

KOC UNIVERSITESI  
SPOR SALONU  
CELIK CATI ANA MAKASLARI t.seh

|           |           |         |
|-----------|-----------|---------|
| Job No.   | Sheet No. | Rev.    |
| 38035     |           |         |
| Drg. Ref. |           |         |
| Made by   | Date      | Data    |
| SK        | Apr-24-97 | GYMH12  |
|           |           | Checked |

| Node Loads |          |           | Units: (kN) (kNm) |  |
|------------|----------|-----------|-------------------|--|
| Node       | Loadcase | Direction | Value             |  |
| 10         | 1        | FZ        | -14.50            |  |
| 11         | 1        | FZ        | -14.50            |  |
| 12         | 1        | FZ        | -14.50            |  |
| 13         | 1        | FZ        | -14.50            |  |
| 14         | 1        | FZ        | -14.50            |  |
| 15         | 1        | FZ        | -14.50            |  |
| 16         | 1        | FZ        | -14.50            |  |
| 17         | 1        | FZ        | -14.50            |  |
| 18         | 1        | FZ        | -14.50            |  |
| 19         | 1        | FZ        | -14.50            |  |
| 20         | 1        | FZ        | -14.50            |  |
| 21         | 1        | FZ        | -14.50            |  |
| 22         | 1        | FZ        | -14.50            |  |
| 23         | 1        | FZ        | -14.50            |  |
| 24         | 1        | FZ        | -14.50            |  |
| 25         | 1        | FZ        | -14.50            |  |
| 26         | 1        | FZ        | -14.50            |  |
| 27         | 1        | FZ        | -14.50            |  |
| 28         | 1        | FZ        | -14.50            |  |
| 29         | 1        | FZ        | -14.50            |  |
| 30         | 1        | FZ        | -14.50            |  |
| 31         | 1        | FZ        | -14.50            |  |
| 32         | 1        | FZ        | -14.50            |  |
| 4          | 1        | FZ        | -4.600            |  |
| 20         | 1        | FZ        | -4.600            |  |
| 21         | 1        | FZ        | -4.600            |  |
| 22         | 1        | FZ        | -4.600            |  |
| 23         | 1        | FZ        | -4.600            |  |
| 24         | 1        | FZ        | -4.600            |  |
| 25         | 1        | FZ        | -4.600            |  |
| 26         | 1        | FZ        | -4.600            |  |
| 27         | 1        | FZ        | -4.600            |  |
| 28         | 1        | FZ        | -4.600            |  |
| 29         | 1        | FZ        | -4.600            |  |
| 30         | 1        | FZ        | -4.600            |  |
| 31         | 1        | FZ        | -4.600            |  |
| 32         | 1        | FZ        | -4.600            |  |

| BEAM & SPRING FORCES & MOMENTS |               |          |            |            |               |              |               |        |     |
|--------------------------------|---------------|----------|------------|------------|---------------|--------------|---------------|--------|-----|
| Beam Property                  |               |          |            |            |               |              | Beam Property |        |     |
| Elem no.                       | Load case no. | Node no. | Axial (kN) | Shear (kN) | Torsion (kNm) | Moment (kNm) | Max           | Myy    | Mzz |
| Maximum values in this output: |               |          |            |            |               |              |               |        |     |
| 39                             | 3             | 4        | 1.286      | -59.57     | 63.59E-3      | -31.46       | -67.37E-3     | -158.5 |     |
| 39                             | 3             | 4        | 232.7E-3   | -2.763     | 11.52E-3      | -63.49       | -12.52E-3     | 137.6  |     |
| 39                             | 3             | 4        | 1.286      | -59.57     | 63.59E-3      | -31.46       | -67.37E-3     | -158.5 |     |
| 39                             | 1             | 2        | 130.7E-3   | -20.31     | -4.248E-3     | 42.05        | 3.151E-3      | 31.60  |     |
| 39                             | 1             | 6        | 1.286      | -59.57     | 63.59E-3      | -31.46       | -67.37E-3     | -158.5 |     |
| 39                             | 1             | 6        | 232.7E-3   | -2.763     | 11.52E-3      | -63.49       | -12.51E-3     | 137.6  |     |
| Minimum values in this output: |               |          |            |            |               |              |               |        |     |
| 38                             | 1             | 2        | 130.7E-3   | -20.31     | -4.248E-3     | 42.05        | 3.151E-3      | 31.60  |     |
| 39                             | 3             | 4        | 1.286      | -59.57     | 63.59E-3      | -31.46       | -67.37E-3     | -158.5 |     |
| 38                             | 1             | 2        | 1.219      | -59.02     | -40.23E-3     | 30.99        | 10.45E-3      | -157.6 |     |
| 38                             | 2             | 2        | 219.3E-3   | -4.634     | -7.059E-3     | -77.00       | 5.170E-3      | -159.9 |     |
| 39                             | 3             | 4        | 1.286      | -59.57     | 63.59E-3      | -31.46       | -67.37E-3     | -158.5 |     |
| 38                             | 2             | 2        | 219.3E-3   | -4.634     | -7.059E-3     | -77.00       | 5.170E-3      | -159.9 |     |

| BEAM PROPERTY 4                |               |          |            |            |               |              |           |        |     |
|--------------------------------|---------------|----------|------------|------------|---------------|--------------|-----------|--------|-----|
| Elem no.                       | Load case no. | Node no. | Axial (kN) | Shear (kN) | Torsion (kNm) | Moment (kNm) | Max       | Myy    | Mzz |
| Maximum values in this output: |               |          |            |            |               |              |           |        |     |
| 40                             | 3             | 20       | 1.154      | 18.95      | -88.36E-3     | -15.41       | 57.73E-3  | -24.33 |     |
| 41                             | 2             | 32       | 204.4E-3   | 26.58      | 9.849E-3      | -24.51       | -9.960E-3 | 74.00  |     |
| 41                             | 3             | 32       | 1.133      | 19.18      | 84.10E-3      | 18.50        | -84.97E-3 | -24.32 |     |
| 41                             | 3             | 32       | 1.133      | 19.18      | 84.10E-3      | 18.50        | -84.97E-3 | -24.32 |     |
| 40                             | 3             | 20       | 1.154      | 18.95      | -88.36E-3     | -15.41       | 57.73E-3  | -24.33 |     |
| 41                             | 2             | 32       | 204.4E-3   | 26.58      | 9.849E-3      | -24.51       | -9.960E-3 | 74.00  |     |
| Minimum values in this output: |               |          |            |            |               |              |           |        |     |
| 41                             | 1             | 32       | 121.7E-3   | 16.24      | 5.846E-3      | -12.34       | -5.923E-3 | 31.65  |     |
| 40                             | 2             | 20       | 208.5E-3   | -30.87     | -10.10E-3     | -32.95       | 10.51E-3  | -95.46 |     |
| 40                             | 3             | 20       | 1.154      | 18.95      | -88.36E-3     | -15.41       | 57.73E-3  | -24.33 |     |
| 40                             | 2             | 20       | 208.5E-3   | -30.87     | -10.10E-3     | -32.95       | 10.51E-3  | -95.46 |     |
| 41                             | 3             | 32       | 1.133      | 19.18      | 84.10E-3      | 18.50        | -84.97E-3 | -24.32 |     |
| 40                             | 2             | 20       | 208.5E-3   | -30.87     | -10.10E-3     | -32.95       | 10.51E-3  | -95.46 |     |

| BEAM PROPERTY 5                |               |          |            |            |               |              |           |          |     |
|--------------------------------|---------------|----------|------------|------------|---------------|--------------|-----------|----------|-----|
| Elem no.                       | Load case no. | Node no. | Axial (kN) | Shear (kN) | Torsion (kNm) | Moment (kNm) | Max       | Myy      | Mzz |
| Maximum values in this output: |               |          |            |            |               |              |           |          |     |
| 42                             | 1             | 8        | -220.7E-3  | -6.529     | -260.8E-6     | -8.399       | 607.7E-6  | -8.76E-3 |     |
| 43                             | 3             | 6        | -2.135     | 22.90      | 1.837E-3      | 12.77        | -2.204E-3 | 11.11    |     |
| 43                             | 3             | 6        | -2.135     | 22.90      | 1.837E-3      | 12.77        | -2.204E-3 | 11.11    |     |
| 43                             | 3             | 6        | -2.135     | 22.90      | 1.837E-3      | 12.77        | -2.204E-3 | 11.11    |     |
| 42                             | 3             | 6        | -2.055     | -22.69     | -2.305E-3     | -12.65       | -2.148E-3 | -53.84   |     |
| Minimum values in this output: |               |          |            |            |               |              |           |          |     |
| 43                             | 3             | 6        | -2.135     | 22.90      | 1.837E-3      | 12.77        | -2.204E-3 | 11.11    |     |
| 42                             | 3             | 6        | -2.055     | -22.69     | -2.305E-3     | -12.65       | -2.148E-3 | -53.84   |     |
| 42                             | 3             | 6        | -2.135     | 22.90      | 1.837E-3      | 12.77        | -2.204E-3 | 11.11    |     |
| 42                             | 3             | 6        | -2.055     | -22.69     | -2.305E-3     | -12.65       | -2.148E-3 | -53.84   |     |
| 43                             | 3             | 6        | -2.135     | 22.90      | 1.837E-3      | 12.77        | -2.204E-3 | 11.11    |     |
| 43                             | 3             | 32       | -2.135     | 22.90      | 1.837E-3      | 12.77        | -2.204E-3 | 11.11    |     |

| BEAM PROPERTY 6                |               |          |            |            |               |              |           |          |     |
|--------------------------------|---------------|----------|------------|------------|---------------|--------------|-----------|----------|-----|
| Elem no.                       | Load case no. | Node no. | Axial (kN) | Shear (kN) | Torsion (kNm) | Moment (kNm) | Max       | Myy      | Mzz |
| Maximum values in this output: |               |          |            |            |               |              |           |          |     |
| 45                             | 1             | 8        | -168.9E-3  | 10.90E-3   | -1.246E-3     | 4.389        | 1.899E-3  | 805.7E-3 |     |
| 45                             | 1             | 8        | -1.547     | 20.85      | -11.63E-3     | 15.37        | 18.37E-3  | -4.163   |     |
| 45                             | 1             | 8        | -168.9E-3  | 10.90E-3   | -1.246E-3     | 4.389        | 1.899E-3  | 805.7E-3 |     |
| 45                             | 3             | 8        | -1.547     | 20.85      | -11.63E-3     | 15.37        | 18.37E-3  | -4.163   |     |
| 44                             | 3             | 7        | -1.881     | -20.79     | -16.31E-3     | -15.25       | 21.38E-3  | 4.040    |     |
| 44                             | 3             | 21       | -1.881     | -20.79     | -16.31E-3     | -15.25       | 21.38E-3  | 4.040    |     |
| Minimum values in this output: |               |          |            |            |               |              |           |          |     |
| 44                             | 3             | 7        | -1.881     | -20.79     | -16.31E-3     | -15.25       | 21.38E-3  | 4.040    |     |
| 44                             | 3             | 7        | -1.581     | -20.79     | -16.31E-3     | -15.25       | 21.38E-3  | 4.040    |     |
| 44                             | 3             | 7        | -1.581     | -20.79     | -16.31E-3     | -15.25       | 21.38E-3  | 4.040    |     |
| 44                             | 3             | 21       | -1.881     | -20.79     | -16.31E-3     | -15.25       | 21.38E-3  | 4.040    |     |
| 45                             | 3             | 22       | -1.547     | 20.85      | -11.63E-3     | 15.37        | -10.17E-3 | -83.34   |     |

| BEAM PROPERTY 2                |               |          |            |            |               |              |           |        |     |
|--------------------------------|---------------|----------|------------|------------|---------------|--------------|-----------|--------|-----|
| Elem no.                       | Load case no. | Node no. | Axial (kN) | Shear (kN) | Torsion (kNm) | Moment (kNm) | Max       | Myy    | Mzz |
| Maximum values in this output: |               |          |            |            |               |              |           |        |     |
| 81                             | 3             | 40       | 10.67      | 13.66      | -2.803        | -57.66       | 3.030     | -127.9 |     |
| 79                             | 2             | 39       | 1.308      | 117.5      | -300.7E-3     | -377.0       | 718.1E-3  | 324.9  |     |
| 78                             | 3             | 12       | 10.60      | 13.85      | 2.567         | 67.72        | -2.103    | -154.0 |     |
| 71                             | 3             | 35       | 665.7E-3   | -89.53     | -14.78E-3     | 165.2        | 17.38E-3  | -27.45 |     |
| 80                             | 3             | 40       | 10.67      | -21.02     | 1.898         | -66.49       | 3.482     | -127.8 |     |
| 77                             | 2             | 38       | 1.726      | 92.58      | -206.4E-3     | -185.9       | 59.43E-3  | 285.0  |     |
| Minimum values in this output: |               |          |            |            |               |              |           |        |     |
| 66                             | 1             | 8        | 234.1E-3   | -10.62     | 5.111E-3      | -43.21       | -4.894E-3 | 63.31  |     |
| 74                             | 2             | 10       | 1.458      | -80.59     | 117.8E-3      | 817.89       | -92.60E-3 | 163.7  |     |
| 81                             | 3             | 40       | 10.67      | 13.66      | -2.803        | -57.66       | 3.030     | -127.9 |     |
| 18                             | 2             | 33       | 1.680      | 109.0      | -502.8E-3     | -491.0       | 182.1E-3  | 141.6  |     |
| 19                             | 3             | 19       | 9.706      | 19.21      | 2.028         | 2.960        | -3.493    | -139.1 |     |
| 82                             | 2             | 41       | 1.733      | 41.74      | 217.8E-3      | -83.59       | 71.70E-3  | -327.9 |     |

KOC UNIVERSITESI  
 SPOR SALONU  
 CELIK CATI ANA MAKASLARI t.seh

Job No. 38035 Sheet No. Rev.  
 Drg. Ref.  
 Made by SK Date Apr-24-97 Data GYM12 Checked

BEAM & SPRING FORCES & MOMENTS

Beam Property 7

| Elem Load Node no. case no.    | Axial [kN] Fx | Shear [kN] Fy | Torsion [kNm] Mxx | Moment [kNm] Myy | Moment [kNm] Mzz |
|--------------------------------|---------------|---------------|-------------------|------------------|------------------|
| Maximum values in this output: |               |               |                   |                  |                  |
| 47 3 22                        | 1.715         | -5.553        | -5.697E-3         | -12.14           | 9.247E-3         |
| 46 3 21                        | 1.665         | 5.624         | -7.920E-3         | 12.10            | 14.97E-3         |
| 47 1 22                        | 184.48E-3     | -509.8E-3     | -601.25E-6        | -1.829           | 969.1E-6         |
| 48 2 23                        | 299.8E-3      | -29.68        | -2.002E-3         | 15.25            | 1.781E-3         |
| 49 3 11                        | 1.677         | -383.1E-3     | -21.77E-3         | -5.150           | 34.09E-3         |
| 47 3 18                        | 1.715         | -5.553        | -5.697E-3         | -12.14           | -8.808E-3        |
| Minimum values in this output: |               |               |                   |                  |                  |
| 48 1 23                        | 1.781E-3      | 231.8E-3      | -1.138E-3         | -834.7E-3        | 1.036E-3         |
| 48 2 23                        | 299.8E-3      | -29.68        | -2.002E-3         | 15.25            | 1.781E-3         |
| 49 3 11                        | 1.677         | -383.1E-3     | -21.77E-3         | -5.150           | 34.09E-3         |
| 47 3 22                        | 1.715         | -5.553        | -5.697E-3         | -12.14           | 9.247E-3         |
| 49 3 17                        | 1.677         | -383.1E-3     | -21.77E-3         | -5.150           | -11.52E-3        |
| 48 2 23                        | 299.8E-3      | -29.68        | -2.002E-3         | 15.25            | 1.781E-3         |

Beam Property 8

| Elem Load Node no. case no.    | Axial [kN] Fx | Shear [kN] Fy | Torsion [kNm] Mxx | Moment [kNm] Myy | Moment [kNm] Mzz |
|--------------------------------|---------------|---------------|-------------------|------------------|------------------|
| Maximum values in this output: |               |               |                   |                  |                  |
| 52 1 17                        | -74.18E-3     | -804.1E-3     | -5.343E-3         | -1.462           | 8.173E-3         |
| 53 2 10                        | -135.4E-3     | 80.25         | -3.002E-3         | -24.73           | 8.543E-3         |
| 51 3 19                        | -142.7E-3     | 3.054         | -224.7E-6         | -1.444           | 2.068E-3         |
| 50 1 8                         | -1.305        | 8.812         | -24.97E-3         | 2.274            | 37.48E-3         |
| 52 1 17                        | -74.18E-3     | -804.1E-3     | -5.343E-3         | -1.462           | 8.173E-3         |
| 53 2 10                        | -135.4E-3     | 80.25         | -3.002E-3         | -24.73           | 8.543E-3         |
| Minimum values in this output: |               |               |                   |                  |                  |
| 50 3 9                         | -1.332        | -9.214        | -5.787E-3         | -7.367           | 20.05E-3         |
| 50 3 9                         | -1.332        | -9.214        | -5.787E-3         | -7.367           | 20.05E-3         |
| 52 3 17                        | -727.8E-3     | -8.138        | -46.10E-3         | 1.851            | 70.74E-3         |
| 53 2 10                        | -135.4E-3     | 80.25         | -3.002E-3         | -24.73           | 8.543E-3         |
| 52 3 30                        | -727.8E-3     | -8.138        | -46.10E-3         | 1.851            | -49.66E-3        |
| 53 2 24                        | -135.4E-3     | 80.25         | -3.002E-3         | -24.73           | 703.0E-6         |

Beam Property 9

| Elem Load Node no. case no.    | Axial [kN] Fx | Shear [kN] Fy | Torsion [kNm] Mxx | Moment [kNm] Myy | Moment [kNm] Mzz |
|--------------------------------|---------------|---------------|-------------------|------------------|------------------|
| Maximum values in this output: |               |               |                   |                  |                  |
| 57 3 29                        | 1.996         | 25.86         | -111.3E-3         | 6.220            | 126.0E-3         |
| 57 3 29                        | 1.996         | 25.86         | -111.3E-3         | 6.220            | 126.0E-3         |
| 54 3 26                        | 1.350         | -10.72        | 22.50E-3          | -1.400           | -26.47E-3        |
| 56 2 10                        | 234.5E-3      | -17.62        | 1.810E-3          | 11.89            | 1.247E-3         |
| 57 3 29                        | 1.996         | 25.86         | -111.3E-3         | 6.220            | 126.0E-3         |
| 55 2 12                        | 383.0E-3      | -111.6        | -18.98E-3         | 8.800            | -49.14E-3        |
| Minimum values in this output: |               |               |                   |                  |                  |
| 56 1 30                        | 141.1E-3      | -2.077        | 777.2E-6          | 2.407            | 888.8E-6         |
| 55 2 25                        | 383.0E-3      | -111.6        | -18.98E-3         | 8.800            | 15.08E-3         |
| 57 3 29                        | 1.996         | 25.86         | -111.3E-3         | 6.220            | 126.0E-3         |
| 55 3 25                        | 1.982         | -25.87        | -80.05E-3         | -6.158           | 53.82E-3         |
| 57 3 15                        | 1.996         | 25.86         | -111.3E-3         | 6.220            | -205.0E-3        |
| 55 2 25                        | 383.0E-3      | -111.6        | -18.98E-3         | 8.800            | 15.08E-3         |

Beam Property 10

| Elem Load Node no. case no.    | Axial [kN] Fx | Shear [kN] Fy | Torsion [kNm] Mxx | Moment [kNm] Myy | Moment [kNm] Mzz |
|--------------------------------|---------------|---------------|-------------------|------------------|------------------|
| Maximum values in this output: |               |               |                   |                  |                  |
| 61 3 15                        | 1.091         | -39.05        | -167.5E-3         | -7.172           | 281.0E-3         |
| 58 2 11                        | -99.65E-3     | 135.3         | 8.490E-3          | -16.77           | -9.951E-3        |
| 58 3 11                        | -811.2E-3     | 24.82         | 38.08E-3          | 3.070            | -38.20E-3        |
| 59 3 12                        | 1.054         | -38.29        | -111.4E-3         | -7.222           | 229.3E-3         |
| 61 3 15                        | 1.091         | -39.05        | -167.5E-3         | -7.172           | 281.0E-3         |
| 58 2 11                        | -99.65E-3     | 135.3         | 8.490E-3          | -16.77           | -9.951E-3        |
| Minimum values in this output: |               |               |                   |                  |                  |
| 58 3 11                        | -811.2E-3     | 24.82         | 38.08E-3          | 3.070            | -38.20E-3        |
| 61 3 15                        | 1.091         | -39.05        | -167.5E-3         | -7.172           | 281.0E-3         |
| 61 3 15                        | 1.091         | -39.05        | -167.5E-3         | -7.172           | 281.0E-3         |
| 50 2 16                        | -78.62E-3     | 74.75         | 556.9E-6          | -17.11           | -2.752E-3        |
| 61 3 28                        | 1.091         | -39.05        | -167.5E-3         | -7.172           | -181.6E-3        |
| 59 2 25                        | 226.0E-3      | 114.0         | -25.71E-3         | -619.6E-3        | -19.12E-3        |

BEAM & SPRING FORCES & MOMENTS

Beam Property 11

| Elem Load Node no. case no.    | Axial [kN] Fx | Shear [kN] Fy | Torsion [kNm] Mxx | Moment [kNm] Myy | Moment [kNm] Mzz |
|--------------------------------|---------------|---------------|-------------------|------------------|------------------|
| Maximum values in this output: |               |               |                   |                  |                  |
| 62 3 14                        | 892.4E-3      | -43.40        | 265.7E-3          | -9.440           | -808.9E-3        |
| 64 2 14                        | 158.8E-3      | 77.24         | 61.88E-3          | 2.526            | -138.5E-3        |
| 62 3 26                        | 81.63E-3      | -37.30        | 285.3E-3          | -8.886           | -288.3E-3        |
| 62 2 26                        | -49.48E-3     | -39.79        | 64.88E-3          | 10.52            | -64.74E-3        |
| 62 3 13                        | 81.63E-3      | -37.30        | 285.3E-3          | -8.886           | 843.7E-3         |
| 63 2 14                        | -62.62E-3     | -92.13        | 55.08E-3          | 6.110            | 114.4E-3         |
| Minimum values in this output: |               |               |                   |                  |                  |
| 63 2 28                        | -62.62E-3     | -92.13        | 55.08E-3          | 6.110            | -45.63E-3        |
| 63 2 28                        | -62.62E-3     | -92.13        | 55.08E-3          | 6.110            | -45.63E-3        |
| 59 3 27                        | 796.9E-3      | 42.64         | -254.1E-3         | 9.134            | 298.4E-3         |
| 64 3 14                        | 892.4E-3      | -43.40        | 265.7E-3          | -9.440           | -808.9E-3        |
| 65 3 13                        | 796.9E-3      | 42.64         | -254.1E-3         | 9.134            | -338.3E-3        |
| 64 2 27                        | 158.8E-3      | 77.24         | 61.88E-3          | 2.526            | 86.86E-3         |

Beam Property 12

| Elem Load Node no. case no.    | Axial [kN] Fx | Shear [kN] Fy | Torsion [kNm] Mxx | Moment [kNm] Myy | Moment [kNm] Mzz |
|--------------------------------|---------------|---------------|-------------------|------------------|------------------|
| Maximum values in this output: |               |               |                   |                  |                  |
| 90 3 1                         | 2.089E-3      | -17.97        | -2.162            | 482.7            | 28.11            |
| 91 2 3                         | -419.6E-6     | 39.63         | 387.2E-3          | -693.6           | -5.033           |
| 91 3 3                         | -2.089E-3     | -18.44        | 2.162             | -483.9           | -27.99           |
| 90 3 1                         | 2.089E-3      | -17.97        | -2.162            | 482.7            | 28.11            |
| 90 3 1                         | 2.089E-3      | -17.97        | -2.162            | 482.7            | 28.11            |
| 91 3 3                         | -2.089E-3     | -18.44        | 2.162             | -483.9           | -27.99           |
| 90 2 1                         | 419.6E-6      | -39.63        | -387.2E-3         | 693.6            | 5.033            |
| Minimum values in this output: |               |               |                   |                  |                  |
| 91 3 3                         | -2.089E-3     | 18.44         | 2.162             | -483.9           | -27.99           |
| 90 2 1                         | 419.6E-6      | -39.63        | -387.2E-3         | 693.6            | 5.033            |
| 90 3 1                         | 2.089E-3      | -17.97        | -2.162            | 482.7            | 28.11            |
| 90 2 1                         | 419.6E-6      | -39.63        | -387.2E-3         | 693.6            | 5.033            |
| 91 3 3                         | -2.089E-3     | -18.44        | 2.162             | -483.9           | -27.99           |
| 90 2 1                         | 419.6E-6      | -39.63        | -387.2E-3         | 693.6            | 5.033            |

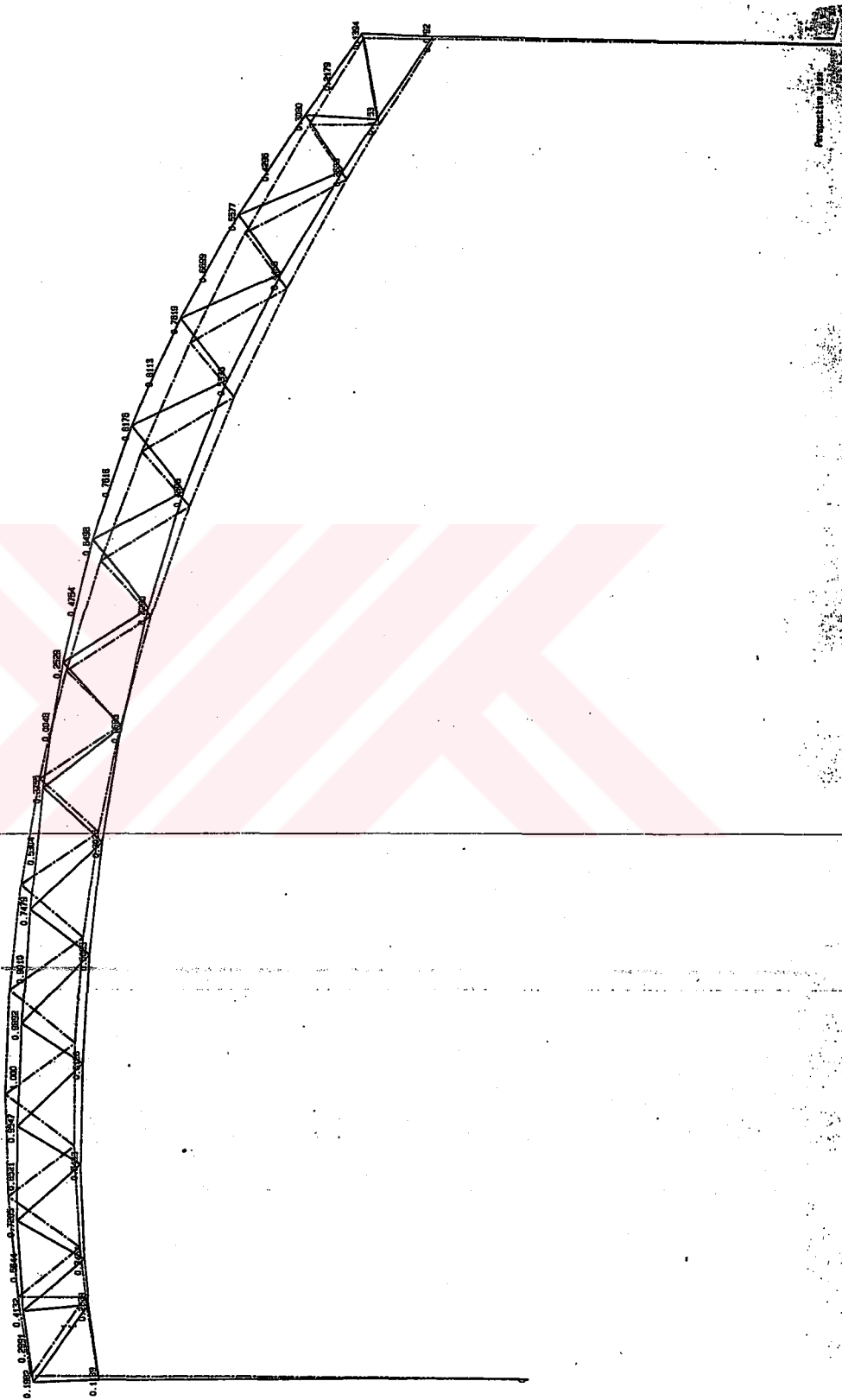
MODAL DETAILS

| Loadcase | Mode          | Load multiplier | Modal stiffness | Error norm |
|----------|---------------|-----------------|-----------------|------------|
| 1        | Buckling mode | 1.384           | 49.72           | 467.7E-3   |
| 2        | Buckling mode | 3.305           | 869.4           | 515.9E-3   |
| 3        | Buckling mode | -3.489          | 203.8           | 412.1E-3   |



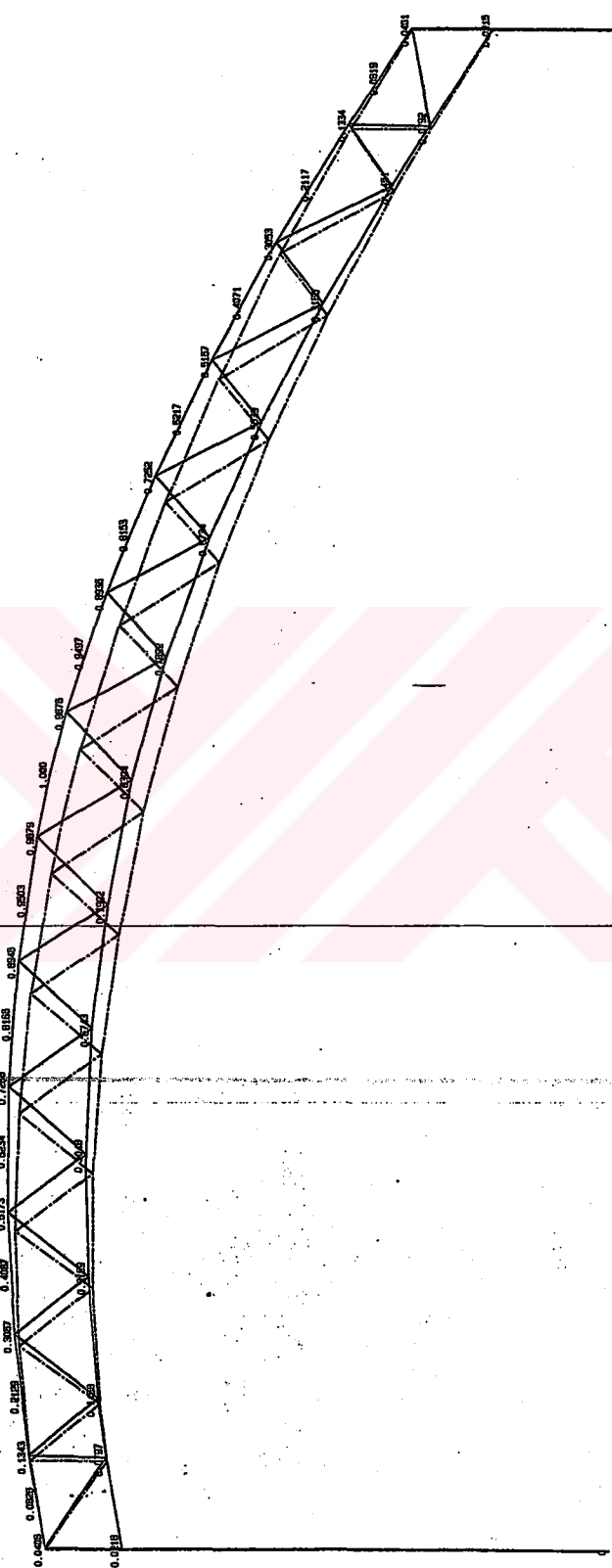
Osays GSA Version 6.2 (c) Osays Ltd. 1996

Lt. 2  
Load multiplier: 3.36178  
TRANSITIONAL DISP.  
No intermediate values  
No intermediate values



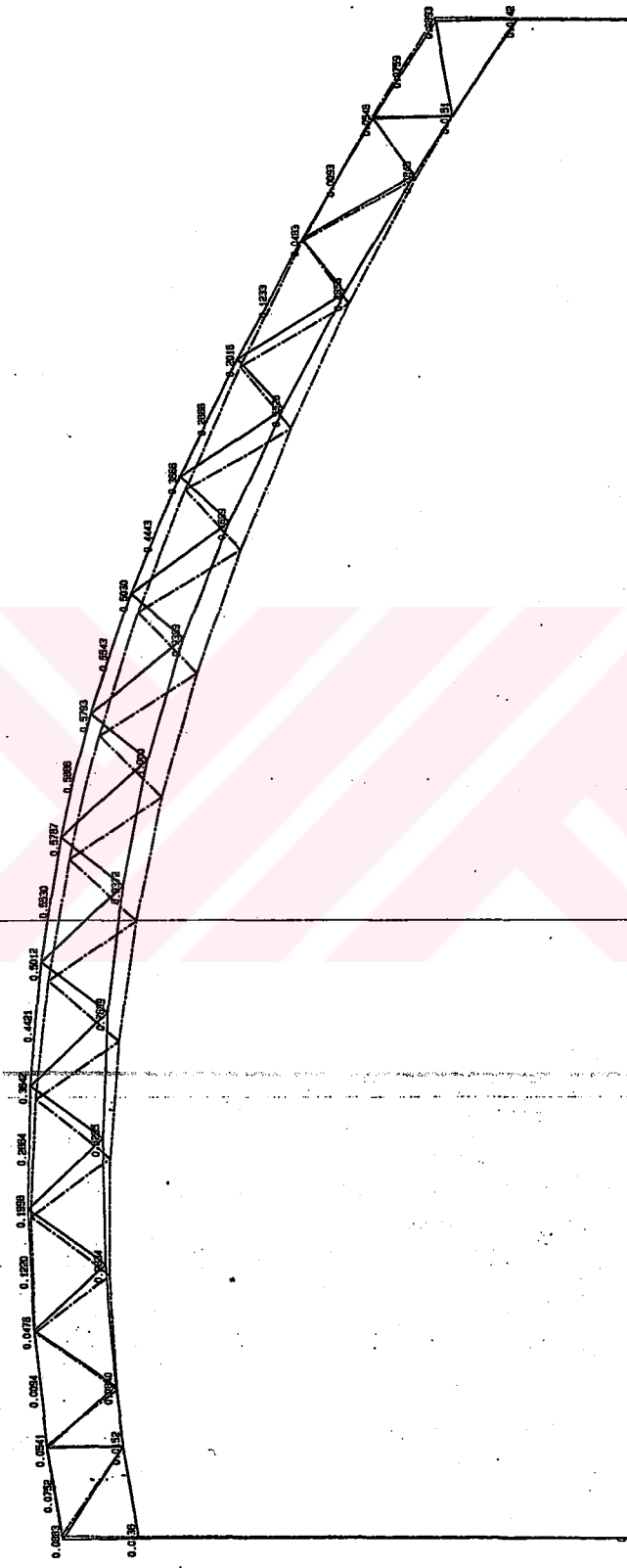
U.S. GEOLOGICAL SURVEY  
WATER RESOURCES DIVISION  
FEMA 817 (Rev. 8/83)  
1,000 L PER IN  
(In intermediate values)

Gasys GSA Version 8.2 (c) Gasys Ltd. 1996



Osays BSA Version 8.2 (c) Osays Ltd. 1988

Load multiplier: -3.46328  
TRANSLATIONAL DISP.  
1.000 in per in  
(in illustrative values)



Perpendicular view





## ÖZGEÇMİŞ

1972 yılında İzmir'de doğdu. İlk, orta, lise öğrenimini İzmir'de tamamladı. Orta ve Lise öğrenimini tamamladığı İzmir Özel Türk Koleji Anadolu İngilizce Bölümü'nde 5 yıl arka arkaya devlet bursu kazandı. 1991 yılında girdiği Yıldız Üniversitesi Kocaeli Mühendislik Fakültesi Makina Mühendisliği Bölümü'nden 1996 yılında Makina Mühendisi olarak mezun oldu.

1996 yılından beri ELTEK Çelik A.Ş.'de Fabrika Müdür Yardımcısı olarak görev yapmaktadır.